



# كتاب وقائع المؤتمر الثالث للتشييد في

## المناطق الصدراوية

في الفترة 26-28/10/2023

تنظيم جامعة الجفرة

بدعم من وزارة التعليم العالي والبحث العلمي -ليبيا



اللجنة العلمية للمؤتمر:

## مقدمة

نظراً لما تتميز به ليبيا من تنوع في المناخ بدءاً من المناخ الرطب على الساحل إلى المناخ الحار الجاف بمناطق جنوب والدي بدوره يحتم وجود مواصفات خاصة وملائمة لكل مناخ، حيث يؤثر المناخ على المنشآت بشكل كبير الأمر الذي يدعو إلى ايجاد تصاميم واعتبارات ومعالجات خاصة وذلك لجعلها أكثر تحملًا واستدامة. أن الحرارة العالية وانخفاض الرطوبة النسبة والرياح المحمولة بالغيار وكذلك اشعة الشمس المباشرة كان لها بالغ الأثر في حدوث انهيارات في طبقات رصف الطرق وهذا ما أكدته بعض الدراسات السابقة كما ان هذه المؤثرات المناخية لها تأثير سلبي على بعض المواد الداخلة في صناعة المنشآت والتي تؤدي وبالتالي إلى حدوث اضرار منها على المواد الخرسانية والموصلية الحرارية للمبني. وبناء على أهمية الموضوع وعلى ما تم ذكره أتفا وكذلك قلة الابحاث المتعلقة بتأثيرات العوامل الجوية على المنشآت فقد جاءت فكرة عقد مثل هذه المؤتمرات من قسم الهندسة المدنية بجامعة سبها والتي توجت بعد المؤتمر الأول للتشييد في المناطق الصحراوية عام 2008 ، وعقد المؤتمر الثاني بجامعة الرفاق بمدينة طرابلس عام 2021 وهو المؤتمر الثالث يستضاف من قبل جامعة الجفرة بمدينة هون في الفترة من 24 - 26 / 10 / 2023 شعوراً منها بأهمية وضرورة التركيز على هذه المواضيع المهمة حيث ان القسم الاكبر من الاراضي الليبية هي اراضي صحراوية او شبه صحراوية وسيتم في هذه الدورة التركيز على تأثير الأجواء الصحراوية على احوال الطرق والمبني بصورة خاصة ودراسة الأسباب الموضوعية التي تؤدي إلى حدوث تدهور في المنشآت وتقديم بعض المقترنات والحلول الناجعة لمنع حدوث أي مشاكل فنية مستقبلًا. وبناء على ذلك فقد تم الإعلان عن إقامه المؤتمر الثالث للتشييد في المناطق الصحراوية، تشارك في هذا المؤتمر جميع المؤسسات العلمية والهيئات والشركات المتخصصة في مجالات البناء والتشييد وكذلك جميع المهندسين المهتمين بموضوع المؤتمر على مستوى ليبيا، كما يتم دعوة عدد من الشخصيات العلمية المحلية المهمة بالتشييد في المناطق الصحراوية للمشاركة بخبرتهم في هذا المجال والاستفادة منهم في المساهمة في حل بعض المشاكل الموجودة. وفي إطار الاستجابة لدعوة البحث والدراسات التي عممتها اللجنة العلمية للمؤتمر على العديد من المؤسسات والهيئات الأكاديمية والبحثية والمهنية بليبيا، فقد استلمت اللجنة العلمية أكثر من ثمانين ملخص بحث ثم قبول ستون ملخص بحث بشكل مبدئي، كما استلمت اللجنة أكثر من خمسون ورقة بحثية في صورتها النهائية، وأجازت منهم تسعه وثلاثون بحثاً التي يتضمنها هذا المجلد. وبهذه المناسبة يسر اللجنة العلمية للمؤتمر الثاني للتشييد في المناطق الصحراوية أن تقدم للمشاركين في هذا المؤتمر والقارئ وكل المؤسسات والهيئات ذات العلاقة بموضوع هذا الحصيلة العلمية ، والمتمثلة في الدراسات والبحوث التي وصلت في الموعد المحدد والتي استوفت الشروط الخاصة بالمستوى العلمي والطباعة التي أقرتها اللجنة العلمية ، والتي قمنا بترتيبها وتبويتها حسب محاور المؤتمر الأربع في مجلد واحد والمتمثلة في تحطيط وتصميم المنشآت في البيئة الصحراوية ، مواد التشييد الملائمة للبيئة الصحراوية ، تنفيذ وصيانة المنشآت في البيئة الصحراوية ، المشاكل والحلول في البيئة الصحراوية. هذا ويجدونا الأمل في أن تتم الاستفادة من هذه الدراسات والبحوث وما تتضمنه من مقترنات، وما ينتج عن هذا المؤتمر من نتائج ووصيات ليتم ترجمتها على أرض الواقع. كما تنتهي اللجنة العلمية هذه الفرصة لتجوّه بالشكر والتقدير لكافة الأخوة الذين ساهموا في هذا العمل سواء بإعداد الورقات أو المشاركة أو التحضير لهذا المؤتمر العلمي، وكذلك كافة الجهات التي تبنت ودعمت المؤتمر مادياً ومعنوياً وأسهمت في إظهار هذا الحث بالشكل المطلوب.

وفي الختام نسأل الله العلي القدير أن يوفقنا إلى ما فيه الخير

والسلام عليكم ورحمة الله وبركاته

أ. د. عبد السلام المبروك عاكاشة

أستاذ الخرسانة ومواد البناء بجامعة سبها

رئيس اللجنة العلمية للمؤتمر

## المحتويات

<b>المحور الأول: تخطيط وتصميم المنشاءات في البيئة الصحراوية</b>		
الصفحة	عنوان الورقة	الترتيب
1	القوى المكافحة لتأثير فرق درجات الحرارة بين سطحي عارضة بسيطة الارتكاز عند طرف وكاملة التثبيت عند الطرف الآخر	1
9	مفردات الجملة الفراغية للبيئة الصحراوية "التركيب المكاني لمدينة غات"	2
26	دراسة مقارنة لتأثير أنواع من الطوب على المنشأ الخرساني	3
33	معايير ولوائح التخطيط الحضري بالمناطق الصحراوية في منظومة العمran الليبي بين الواقع والأفاق.	4
52	تأثير الظروف المناخية على تخطيط المدن الصحراوية في إطار التنمية المستدامة "مدينة غات حالة دراسية"	5
69	استخدام نظم المعلومات الجغرافية في تحديد موقع المحاجر في ليبيا	6
79	حدود قوام التربة الطينية في بعض مناطق ليبيا	7
<b>المحور الثاني: مواد التشييد الملائمة للبيئة الصحراوية</b>		
87	دراسة مرجعية: استخدام خبث الأفران المنشط قلوايا كبديل للإسمنت	8
102	إنتاج خرسانة ذاتية الدمك باستخدام بودرة الرخام	9
114	تأثير درجات حرارة الخلطات الاسفلاتية على الخواص الحجمية والدمك	10
124	تأثير نعومة البوزولانا بالجنوب الليبي على مقاومة المونة الإسمنتية	11
133	دراسة خصائص المونة الجبوبوليمرية باستخدام البوزولانا المحلية	12
142	استخدام الخرسانة الاسمنتية المدموعة بالحدادات في إنشاء الطرق ومقارنتها بالطرق الاسفلاتية في المناطق الصحراوية	13
158	تأثير إضافة ألياف البولي بروبلين فايبر على خواص الخرسانة	14
172	دراسة مرجعية لاستخدام بعض المواد كبديل جزئي للركام الناعم في ليبيا	15
184	خصائص البوزولانا المحلية الموجودة بالجنوب الليبي	16
202	دراسة الخصائص الانسيابية للأسفالت المعدل ببوليمر الأكريليت وجسيمات أكسيد الألومنيوم النانوية في درجات الحرارة العالية	17
210	دراسة مدى تأثير كبريتات الصوديوم على الخرسانة المصنعة بمواد البناء المحلية	18
223	مقارنة لكميات المطلوبة في تصميم الخلطة الخرسانية دراسة مقارنة لكميات المطلوبة في تصميم الخلطة الخرسانية بطرق مختلفة	19
238	دراسة تأثير استخدام أنواع الأسمنت بالسوق المحلي على إنساب الخرسانة ذاتية الدمك	20

252	دراسة مقارنة تصميم الخلطة الخرسانية باستخدام طريقة المعادلات الثلاثة	21
262	الخرسانة ذاتية الدمك باستخدام البوزولانا المحلية	22
273	دراسة بعض الخواص الميكانيكية للخرسانة المسلحة بألياف البروبيلين	23
284	دراسة تأثير إضافة خبث الأفران كركام خشن على بعض خواص الخرسانة	24
<b>المحور الثالث: تنفيذ وصيانة المنشآت في البيئة الصحراوية</b>		
288	دراسة تأثير درجة حرارة الركام الكبير على الخواص الميكانيكية للخرسانة الطازجة والمتصددة	25
303	تأثير درجة حرارة التجفيف ونوع المعالجة على خصائص المونتا الاسمنتية (دراسة بارامترية)	26
<b>المحور الرابع: المشاكل والحلول في البيئة الصحراوية</b>		
317	دراسة تأثير العزل الحراري على وحدات تكييف الهواء	27
330	أهمية استخدام العوازل الحرارية في المباني السكنية	28

## **المحور الأول: تخطيط وتصميم المنشاءات في البيئة الصحراوية**

### **القوى المكافحة لتأثير فرق درجات الحرارة بين سطحي عارضة بسيطة الإرتكاز عند طرف وكاملة التثبيت عند الطرف الآخر**

أ. د. مصطفى محمد الطويل

أستاذ شرف الهندسة المدنية

كلية الهندسة - جامعة طرابلس، ليبيا

mmtawil01@gmail.com

#### **ملخص**

تفاوت درجات الحرارة في المناطق الصحراوية ما بين سطحي العنصر الإنسائي بدرجة كبيرة، وإذا ما كان هذا العنصر من نوع الحركة المحورية فسينقوس نتيجة الفرق في درجة الحرارة فيما بين السطحين. هذا التقوس سيسبب زيادة في عزوم الإنحناء الداخلية وعزز الإنحناء عند الطرف كامل التثبيت يجب أخذها في الإعتبار عند القيام بأعمال حسابات التحليل الإنسائي.

تهدف الدراسة في هذه الورقة إلى استنتاج فوهة مكافحة تنتج تقوساً محاكياً للتقوس الناتج عن فرق درجة الحرارة من حيث الشكل والطول لعارضة بسيطة الإرتكاز عند طرف وكاملة التثبيت عند الطرف الآخر من نوعة الحركة المحورية، ولحالتي تحمل الأولى لعزم مركز عند المرتكز البسيط والثانية لفورة موزعة بانتظام ثابت على طول العارضة. تدرج النتائج المتحصل عليها للحالتين لعدد من فروقات درجة الحرارة في صورة جداول ورسومات بيانية ويتم تقديم إقتراح الأنسب منها لحساب القوة المكافحة في كل حالة.

**كلمات دالة:** المناطق الصحراوية، فرق درجة الحرارة، التقوس، القوة المكافحة، العارضة

#### **مقدمة**

تنتقص العارضة بسيطة الإرتكاز عند طرف وكاملة التثبيت عند الطرف الآخر من نوعة الحركة المحورية بسبب وجود فرق في درجة الحرارة بين سطحيها، وينتج عن ذلك قوى داخلية يجب أن تضاف إلى القوى الناتجة عن الأحمال الخارجية الأخرى المتعرضة لها. يتم في هذه الورقة تمثيل القوى الداخلية الناتجة عن فرق درجة الحرارة بقوى خارجية مكافحة

## المحور الأول: تخطيط وتصميم المنشاءات في البيئة الصحراوية

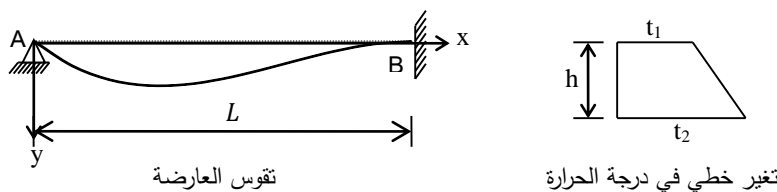
تضاف إلى القوى الخارجية المسلطة على العارضة، حيث تم تجريب التقوس الناتج عن فرق درجة الحرارة بالतقوس الناتج عن عزم إلحناء عند الطرف بسيط الإرتكاز مرة والناتج عن قوة موزعة بانتظام على طول العارضة مرة أخرى. تعرض النتائج في جداول ورسومات بيانية بقيم عزوم الإنحناء والقوى الموزعة بانتظام لعدد من قيم الفرق في درجات الحرارة، يتم بعدها إقتراح بتحديد القوى المكافئة الممثلة لتأثير فرق درجة الحرارة بين سطحي العارضة في علاقات عامة. وقد تم في دراسة سابقة إجراء نفس الإجراءات لعارضه بسيطة الإرتكاز عند الطرفين ممنوعة التحرك محوريًا [1].

### تقوس العارضة بسيطة الإرتكاز عند طرف وكاملة التثبيت في الطرف الآخر

يتقوس هذا النوع من العوارض، ممنوعة الحركة المحورية، نتيجة وجود فرق في درجة الحرارة بين سطحيها وعند تعرضها لقوى خارجية مختلفة.

### التقوس نتيجة الفرق في درجة الحرارة

يمثل الشكل 1 التغير الخطى فيما بين درجة السطح العلوي للعارضه ( $t_1$ ) ودرجة حرارة السطح السفلى للعارضه ( $t_2$ ) والتقوس الناتج عن فرق درجة الحرارة ( $\Delta t$ ).



الشكل 1. التقوس نتيجة فرق درجة الحرارة

يكون طول القوس ( $L_1$ ) في هذه الحالة:

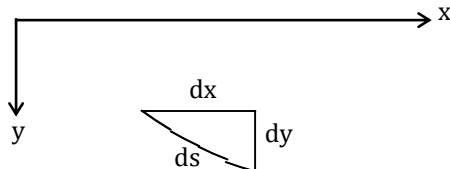
$$(1) \quad L_1 = L + \alpha L \Delta t$$

حيث ( $L$ ) هو طول العارضة و ( $\alpha$ ) هو معامل التمدد لمادة العارضة و ( $\Delta t = t_1 - t_2$ ).

## المحور الأول: تخطيط وتصميم المنشاءات في البيئة الصحراوية

طول التقوس بصورة عامة

يمثل الشكل 2 جزءاً متناهياً من قوس بطول ( $ds$ ) والذي يعبر عنه رياضياً كما يلي:



الشكل 2. جزء متناهي من التقوس

$$(2) \quad ds \approx \sqrt{1 + \left(\frac{dy}{dx}\right)^2} dx \approx \sqrt{1 + z^2} dx$$

حيث:  $z = \frac{dy}{dx}$

بتكمال الطرفين:

$$(3) \quad L_1 \approx \int \sqrt{1 + z^2} dx \approx 1 + \frac{z}{2} - \frac{z^2}{8}$$

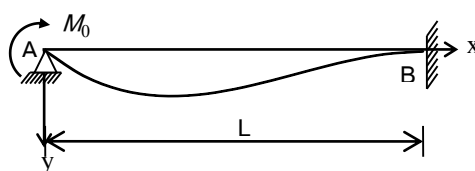
التقوس نتيجة عزم انحناء مركز طرفي عند المرتكز البسيط

يمثل الشكل 3 التقوس الناتج عن عزم انحناء ( $M_0$ ) مركز طرفي عند المرتكز البسيط. ويمكن استنتاج معادلة الميل

لهذا النوع من التحميل من علاقة عزم الإنحناء ( $M_x$ ) بالتقوس:

$$(4) \quad \frac{d^2y}{dx^2} = - \frac{M_x}{EI}$$

حيث: ( $E$ ) معامل يانع للمرنة و ( $I$ ) عزم القصور الذاتي لقطاع العارضة.



الشكل 3. التقوس نتيجة عزم الإنحناء الطرفي المركز

عزم الإنحناء ( $M_x$ ) في هذه الحالة:

$$M_x = \frac{M_0}{2L} (2L - 3x)$$

وتكون معادلة الميل:

$$(5)$$

## المحور الأول: تخطيط وتصميم المنشاءات في البيئة الصحراوية

$$\frac{dy}{dx} = \frac{M_0}{4EI} (3x^2 - 4Lx + L^2)$$

يتم استنتاج طول القوس ( $L_2$ ) في هذه الحالة بتطبيق المعادلتين (3 و 5) ووضعه في الصورة التالية:

$$(6) \quad L_2 \equiv L + L(28\gamma - 3\gamma^2)/420$$

$$\text{حيث: } \gamma = \left(\frac{M_0 L}{4EI}\right)^2$$

بمساواة الطول ( $L_2$ ) من المعادلة (6) بالطول ( $L_1$ ) من المعادلة (1) يتم التوصل للعلاقة الآتية:

$$(7) \quad 0.0071\gamma^2 - 0.0667\gamma + \alpha\Delta t = 0$$

وبمعرفة قيمة ( $\alpha\Delta t$ ) تحسب قيمة ( $\gamma$ ) من حل المعادلة (7). الجدول 1 يعطي قيم  $\left(\frac{M_0 L}{EI}\right)$  بإعطاء قيمة ( $\alpha = 10^{-5}$ )

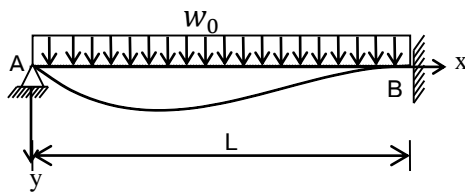
ولقيم ( $\Delta t$ ) من 5 درجات إلى 40 درجة مئوية.

الجدول 1. قيم معاملات عزم الإنحناء المكافئ للتقوس نتيجة الفرق في درجة الحرارة

$\Delta t^\circ$	5	10	15	20	25	30	35	40
$M_0 L/EI$	0.10955	0.15493	0.18976	0.21912	0.24500	0.26839	0.28991	0.30994
$M_0 L/(EI\sqrt{\Delta t})$	0.04899	0.04899	0.04900	0.04900	0.04900	0.04900	0.04900	0.04901

التقوس نتيجة قوة موزعة بانتظام على طول العارضة

يمثل الشكل 4 التقوس الناتج عن قوة موزعة بانتظام ( $w_0$ ) على طول العارضة.



الشكل 4. التقوس نتيجة الحمل الموزع بانتظام

عزم الإنحناء ( $M_x$ ) في هذه الحالة:

$$M_x = \frac{w_0}{8} (3Lx - 4x^2)$$

ونكون معادلة الميل:

$$(8) \quad \frac{dy}{dx} = \frac{w_0}{48} (8x^3 - 9Lx^2 + L^3)$$

## المحور الأول: تخطيط وتصميم المنشاءات في البيئة الصحراوية

بتم استنتاج طول القوس ( $L_3$ ) في هذه الحالة بتطبيق المعادلتين (3 و 6) ووضعه في الصورة التالية:

$$(9) \quad L_3 \approx L + (1716\beta L^7 - 249\beta^2 L^{13})/10010$$

$$\beta = \left( \frac{w_0 L^3}{48EI} \right)^2 \text{ حيث:}$$

بمساواة الطول ( $L_3$ ) من المعادلة (9) بالطول ( $L$ ) من المعادلة (1) يتم التوصل للعلاقة الآتية:

$$(10) \quad 0.0249\beta^2 - 0.1714\beta + \alpha\Delta t = 0$$

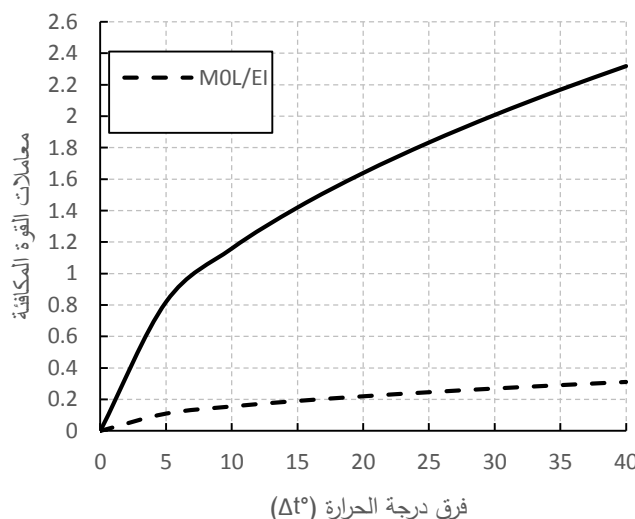
وبمعرفة قيمة ( $\alpha\Delta t$ ) تحسب قيمة ( $\beta$ ) من حل المعادلة (10). الجدول 2 يعطي قيم  $\left( \frac{w_0 L^3}{EI} \right)$  بإعطاء قيمة  $(\Delta t = 10^\circ)$  ولقيم ( $\Delta t$ ) من 5 درجات إلى 40 درجة مئوية.

الجدول 2. قيم معاملات الحمل الموزع المكافئ للتقوس نتيجة الفرق في درجة الحرارة

$\Delta t^\circ$	5	10	15	20	25	30	35	40
$w_0 L^3/EI$	0.81977	1.15936	1.41995	1.63965	1.83322	2.00824	2.16919	2.31901
$w_0 L^3$	0.36661	0.36662	0.36663	0.36664	0.36664	0.36665	0.36666	0.36667

### القوى المكافأة المحسوبة والمفترحة

يوضح الشكل 5 تبياناً لتغير معاملات القوى المكافأة المحسوبة في هذه الورقة مع فرق درجات الحرارة لكل من عزم الإنحناء عند الطرف بسيط الإرتكاز من جهة والقوة الموزعة بانتظام على طول العارضة من جهة أخرى.



الشكل 5. معاملات القوة المكافأة لحمل فروق درجات الحرارة

## المحور الأول: تخطيط وتصميم المنشاءات في البيئة الصحراوية

من الجدول (1) يلاحظ أن النسبة  $M_0L/(EI\sqrt{\Delta t})$  ثابتة لثلاثة أرقام عشرية في حالة عزم الإنحناء المسلط على طرف العارضة بسيط الإرتكاز وتساوي (0.049) لكل فروق درجة الحرارة المطبقة في هذه الدراسة، كما يلاحظ من الجدول (2) أن النسبة  $w_0L^3/(EI\sqrt{\Delta t})$  ثابتة لثلاثة أرقام عشرية في حالة عزم الحمل الموزع بانتظام على طول العارضة وتساوي (0.367) لكل فروق درجة الحرارة أيضاً. عليه يتم هنا إقتراح وضع علاقات عامة لتحديد القوة المكافحة لأي قيمة لفرق في درجة الحرارة بين سطحي العارضة بسيطة الإرتكاز في طرف وكاملة التثبيت في الطرف الآخر كما يلي:

في حالة حمل عزم الإنحناء حول الطرف بسيط الإرتكاز ( $M_0$ ):

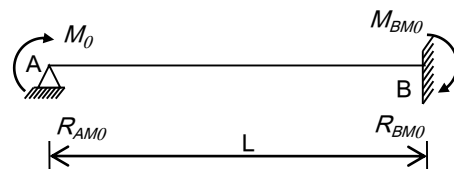
$$M_0 = 0.049\sqrt{\Delta t}EI/L$$

يمكن حساب ردود الأفعال نتيجة هذا الحمل والموضحة في (الشكل 6):

$$R_{AM0} = -0.073\sqrt{\Delta t}EI/L^2$$

$$R_{BM0} = 0.073\sqrt{\Delta t}EI/L^2$$

$$M_{BM0} = 0.024\sqrt{\Delta t}EI/L$$



الشكل 6. ردود الأفعال نتيجة ( $M_0$ )

في حالة الحمل الموزع بانتظام على طول العارضة ( $w_0$ ):

$$w_0 = 0.367\sqrt{\Delta t}EI/L^3$$

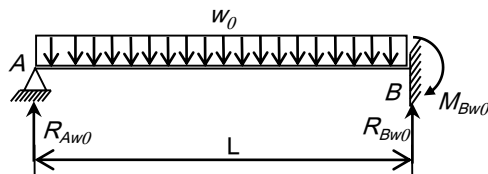
يمكن حساب ردود الأفعال نتيجة هذا الحمل والموضحة في (الشكل 7):

$$R_{Aw0} = 0.137\sqrt{\Delta t}EI/L^2$$

$$R_{Bw0} = 0.229\sqrt{\Delta t}EI/L^2$$

$$M_{Bw0} = 0.046\sqrt{\Delta t}EI/L$$

## المحور الأول: تخطيط وتصميم المنشاءات في البيئة الصحراوية



الشكل 7. ردود الأفعال نتيجة ( $w_0$ )

### الخلاصة والتوصيات

تم في هذه الورقة إستنتاج طول التقوس الناتج عن تعريض طرف عارضة بسيطة الإرتكاز كاملة التثبيت في الطرف الآخر إلى عزم إلحناء مركز من جهة، وتعريض نفس العارضة إلى حمل متعدد موزعاً بانتظام على طولها من جهة أخرى. وبمساواة طول التقوس في كل حالة بطول التقوس الناتج عن فرق درجتي الحرارة بين سطحي العارضة، تم التوصل إلى علاقات بما يوصف بأنها تمثل القوى المكافئة الناتجة عن هذا الفرق.

يلاحظ من النتائج أن الحمل الموزع بانتظام ( $w_0$ ) أعطى ردود أفعال أعلى قيمة من تلك الناتجة عن حمل عزم إلحناء ( $M_0$ )، وبذلك يقترح استعمال القوة ( $w_0$ ) كقوة مكافئة لتأثير فرق درجة الحرارة عند التحليل الإنسائي لهذا النوع من العوارض، ومعاملتها معاملة الأحمال الحية عند حساب الأحمال القصوى على العنصر الإنسائي من حيث المعاملات المحددة بالمواصفات. كما يوصى بإجراء دراسة مماثلة لعارضة كاملة التثبيت عند الطرفين.

### المراجع

- [1] الطويل، مصطفى محمد، (القوى المكافئة لتأثير فرق درجات الحرارة بين سطحي عارضة خرسانية بسيطة الإرتكاز)، المؤتمر الثاني للتشييد في المناطق الصحراوية، مجلد الأبحاث العلمية، (2021)، ص. 14-25.

### الرموز

معامل يانغ للمرنة	E
سمك العارضة	h
معامل القصور الذاتي للقطع	I
طول باع العارضة	L

## المحور الأول: تخطيط وتصميم المنشاءات في البيئة الصحراوية

---

أطوال التقوس نتيجة الأحمال المختلفة	$L_2, L_3$
عزم الإنحناء الطرفي	$M_0$
عزم الإنحناء عند المسافة ( $x$ )	$M_x$
رد الفعل العزمي عند المرتكز (B) نتيجة الحمل ( $M_0$ )	$M_{BM0}$
رد الفعل العزمي عند المرتكز (B) نتيجة الحمل ( $w_0$ )	$M_{BW0}$
رد الفعل الرأسى عند المرتكز (A) نتيجة الحمل ( $M_0$ )	$R_{AM0}$
رد الفعل الرأسى عند المرتكز (B) نتيجة الحمل ( $M_0$ )	$R_{BM0}$
رد الفعل الرأسى عند المرتكز (A) نتيجة الحمل ( $w_0$ )	$R_{Aw0}$
رد الفعل الرأسى عند المرتكز (B) نتيجة الحمل ( $w_0$ )	$R_{Bw0}$
درجة حرارة السطح العلوي للعارضة	$t_1$
درجة حرارة السطح السفلي للعارضة	$t_2$
الحمل الموزع بانتظام على طول العارضة	$w_0$
المحور السيني	$x$
المحور الصادي	$y$
ميل التقوس عند المسافة ( $x$ )	$z$
معامل التمدد الحراري	$\alpha$
معاملات وعلاقات متعددة	$\beta, \gamma$
الزيادة في طول العارضة للتقوس الناتج عن فرق درجة الحرارة	$\Delta L$
فرق في درجة الحرارة	$\Delta t$

# المحور الأول: تخطيط وتصميم المنشاءات في البيئة الصحراوية

## مفردات الجملة الفراغية للبيئة الصحراوية

### " التركيب المكاني لمدينة غات القديمة "

<sup>2</sup> د. عمر علي الأمين

<sup>1</sup> د. فوزي محمد علي عفيف

أستاذ مساعد

أستاذ مساعد

[Omar3228579@gmail.com](mailto:Omar3228579@gmail.com)

[fawzi6664@gmail.com](mailto:fawzi6664@gmail.com)

جامعة المرقب، كلية الهندسة، قسم الهندسة المعمارية والتخطيط العمراني، الخمس

**الملخص:** تتناول هذه الورقة أهم سمات التركيب المكاني والتخطيط العمراني لمدينة غات القديمة، وتستعرض بعض اهم الفراغات العمرانية وطرق بناءها وتخطيطها لتلائم الموقع والمناخ.

تستمد هذه الورقة اهميتها من عدم وجود دراسات كافية لعمارة وتحطيط مدينة غات وندرتها، كما تهدف هذه الورقة للتعریف بمدينة غات وتركيبها المكاني من خلال هندسة البناء بها ونمط تخطيط أرققتها وفراغاتها المختلفة.

اعتمد هذا البحث على المنهج الوصفي بالاستعانة ببعض المطبوعات كالكتب والبحوث وبعض المواقع والمدونات العلمية على شبكة الانترنت والمنهج التحليلي بالاعتماد على نظرية التركيب المكاني واستعمال برنامج دبیت ماب Depthmap والتحليل المحوري الرياضي لأرقة المدينة للوصول لمعرفة طرق البناء والتخطيط العمراني للمدينة مع توفير قاعدة رقمية حسابية للتركيبات العمرانية المكانية بها.

**كلمات مفتاحية:** مدينة غات القديمة، الفراغات العمرانية، هندسة البناء، نمط التخطيط العمراني، نظرية التركيب المكاني، التحليل المحوري.

## مقدمة

إن تطور النمو العمراني للمدن وفق تقييمات نظرية التركيب المكاني يعتمد على تحليل المكونات الفراغية والتركيب المكانية التي جعلت المدينة تتشكل بما هي عليه الآن. كما يعتمد على فهم الحركة والطريقة التي يرى بها الملاحظ عناصرها المختلفة كما انها تدرس السلوك الناتج نتيجة تلك التركيبات الفراغية والتي ينشأ من التفاعل بين حركة الأفراد وتفاعلاتهم المختلفة. يعتبر التحليل المكاني اعتماداً على الخطوط المحورية (Axial lines analysis) من الافكار الفعالة في تقنية التركيب المكاني كأسلوب لإعادة تمثيل البنية العمرانية [1] حيث يمكن الوصول الى تمثيل الحركة ومجالات الرؤية والمشاهدة ضمن الفراغ الحضري.

## **المحور الأول: تخطيط وتصميم المنشاءات في البيئة الصحراوية**

تختلف الطرق المعتمدة للحياة باختلاف المدن وموقعها الجغرافي وببيئتها المحيطة وتشهد المناطق الحضرية القريبة من التغيرات الاجتماعية المختلفة الكثير من التحسن والتقدم الامر الذي وسع بشكل كبير من التصميم متعدد الاشكال [2]. ان عمليات التصميم والتطوير للفراغات المختلفة وسهولة الوصول اليها لا يجعلها فراغات جيدة اذا حرمت من حركة الناس في هذه الأماكن ولن يستعمل الناس هذه الفراغات الا اذا تم تشطيط هذه الأماكن وزيادة جاذبيتها كاماكن للأنشطة الاجتماعية التي تسمح بالتفاعل الاجتماعي للناس في هذه الأماكن العامة [3].

الثقافة عنصر مهم جدا فمع اختلاف الناس وتتنوعهم فانهم سيمتلكون صفات مختلفة وتوجهات ايضا مختلفة ومتعددة فيما يتعلق بالقدرة على الادارة والقيادة والتي عادة ما يتحكم بها الاساس الثقافي للناس [4]. وقد اتفقت الكثير من الابحاث على أن المستوى الثقافي يؤثر بشكل كبير على افكار وسلوك الافراد [5].

أن المشكلة تكمن في وصف الهياكل القائمة والتركيب المكانية الموجودة لأنماط المختلفة للفراغات وليس طريقة وجودها وإنشائها وهذا ما استطاعت نظرية التركيب الفراغي من ايجاده بواسطة الصيغ والمؤشرات التي تمكنت من هيكلة اغلب الانواع البارزة من التركيب الفراغية والمكانية وتقديم وصف واضح لها. لقد تعددت النظرية المكان ومواصفاته لتنتطرق لعلاقة المكان بالمجتمع وكانت هذه نقطة البداية لنطورة النظرية [6] وقد انتج هذا تقديم كتاب (المنطق الاجتماعي للفراغ) في عام 1984 والذي تناول نظرية اثر التركيب المكانية الفراغية على المجتمع والعكس [6]، وقد تم وفقا لذلك تطوير النظرية لفهم كيفية عمل التركيب الفراغية الشاملة للمدن والمجاورات كاملة واكتشاف التكوينات الفراغية المختلفة وما يحدث فيها من علاقات وسلوك مختلف وكان من نتائج ذلك اكتشاف ان طريقة تجميع الفراغات والهيكل المكانية مع بعضها البعض يؤثر بشكل كبير على سلوك المستخدمين [7] ، وقد اعتمدت النظرية وادواتها على التحليل الرياضي وانشاء رسوم بيانية واستخراج نتائج حسابية عديدة.

### **الأنظمة الاجتماعية والثقافية**

الممارسات الثقافية التي تحدث بين الناس اضافة الى نتائجها المادية وما ينتج عنها من سلوك تمثل ما نعرفه بالثقافة، اما اشكال الحياة المختلفة والمرتبطة مع بعضها البعض في حيز عمراني واحد فيعبر عنها بالمجتمع وللحافظة على هذه الاجزاء المهمة والتي تتفاعل مع بعضها البعض للعمل مشتركة وفي انسجام وتكامل تام يجب ايجاد ووضع الانظمة

## المحور الأول: تخطيط وتصميم المنشاءات في البيئة الصحراوية

التي ستحافظ على هذا التفاعل بشكله الايجابي لإفراز ما يسمى بالمجتمع متضمنا كل ما تحمله هذه الكلمة من صفات ومكونات وما تعبّر عنه من اشكال وانواع.

### التحليل المحوري

أحدى الطرق المهمة للتحليل المكاني للهيكل الفراغية الكبيرة ويتم من خلاله تحويل الخريطة المحورية المرسومة ببرنامج أتوCAD وبصيغة DXF إلى رسوم بيانية وقيم عدبية وهو طريقة تمثل العلاقات الترابطية بين كل الفراغات المحورية للمدينة ونوضح العلاقة بين الخطوط المحورية بواسطة الشكل ولون الخطوط وتقديم التحليل العددي الأعلى أو الأدنى من الكفاءة ومع الشكل الرياضي عن طريق تحليل التراكيب المورفولوجية يمكن التنبؤ بالسلوك المكاني البشري فعلى سبيل المثال أثبتت الدراسات التجريبية أن تدفقات المشاة ترتبط ارتباطاً وثيقاً بقيمة Local Integration التكامل المحلي [8] وبفضل التطوير في برنامج Depthmap ويعتبر التحليل المحوري أفضل طريقة للحصول على نتائج موثوقة. تقرأ الخريطة المحورية بصرياً بواسطة الألوان المحورية وفقاً للقيم المحسوبة من الأحمر إلى النبيتي عبر البرتقالي والأصفر والأخضر والأزرق (الشكل 1) أو بوضع السهم على أي خط يراد قراءته او حسابها عددياً باستخراج الجداول وال العلاقات المختلفة بين القياسات المتعددة.



الشكل (1) الخريطة المحورية

## المحور الأول: تخطيط وتصميم المنشاءات في البيئة الصحراوية

### البلدة القديمة غات

إن مساكن المدينة وضواحيها متشابهة و كلها مبنية بالحجارة و الطوب الطيني ، و مقاومة للأمطار و الرطوبة ، و هي نادرة الهطول خلال سنة كاملة ، إن شكل البيوت و طراز إنشائها و تقسيمها الداخلية مطابقة و متشابهة تماماً لجميع مباني القرى في - بلاد الأمازيغ الإسلامية فالدخول من الباب الخارجي للبيت وهو في العادة باب ضيق و منخفض و بالمرور من السقية و هي عبارة عن ممر طويل مسقف ينتهي إلى ساحة المنزل الداخلية أما السقائف ولبرودتها فهي مصممة على أن تكون أفضل مكان يقضي فيه سكان البيت اوقاتهم لتجنب حرارة فصل الصيف الشديد . أكثر أهل غات و خاصة التجار يستقبلون زوارهم في السقية المفروشة بالحصير و الزرابي الصوفية المزركشة المفروشة على أرض رملية بيضاء نظيفة و يتكون على و سائد من الجلد المصنوع في السودان و المحسنة بالقطن أو الشعر . ساحة البيت الداخلية غير مسقوفة و تضيئها الشمس من جميع الجهات ، وفي جوانبها أبواب الحجرات ، أما المطبخ و المนาفع تقع في ساحة أخرى داخلية يسوقك إليها ممر ضيق الساحة يقع خلفها زقاد أو ممر خارجي ، و الأبواب الخارجية و الداخلية ضيقة و اعتابها منخفضة نظراً لندرة المواد الخشبية المستعملة في صناعة الابواب و هي عادة من أخشاب النخيل و بعض الأشجار الساقية العبر مثلمرة ، و بعضها مصنوعة من أحزمة الجريد أو الخشب المغلف بجلد الجمال و الأبقار ، إذا استثنينا بعض الابواب الحديثة التي بناها التجار الطرابلسيون و الغدامسيون فإن جميع بيوت المدينة خالية من النوافذ ، و لمقاومة الحشرات فإن جميع الاسقف مصنوعة من خشب الأثل و البرمبخ المقاوم لهذه الحشرة وفى حالة استعمال خشب النخيل و جريده فعادة ما يُدهن بالجير و الفلفل كمادة واقية للتأكل بسبب نوع من الحشرات الأرضية المتسلقة مثل (حشرة الأرضة و النمل ) . كما يبني في وسط كل حجرة موقد من الطين مدفون في التراب يكشف عنه وقت، توقد فيه في فصل الشتاء النار للتتدفئة و عمل الشاي، و في كل حجرة مخصصة للنوم يعمل فيها سدة طبيعية من الرمل ترتفع قليلاً عن الأرض وتزين و بعض الحجرات بنقوش جميلة تحاط بفتحات داخل الجدار لوضع بعض الحاجة التحف لوازم الزينة وأدوات الأكل والبخور .

## **المحور الأول: تخطيط وتصميم المنشاءات في البيئة الصحراوية**

### **الموقع الجغرافي:**

تقع غات في أقصى الجنوب الغربي من ليبيا فهي تقع إلى الجنوب الغربي من غدامس وبسبها ومرزق وتبعد عن طرابلس مسافة 1360 كم عند عنق وادي مارازت بين سلستين من الجبال العالية الشرقية منها تسمى جبال تدرارت أو أكاكوس والغربية منها تسمى تسيلي ان انجر وهي تقع على دائرة عرض 37° 24' شمالاً وعلى خط طول 7.27° شرقاً .شكل

(2)

### **معالم المدينة**

يحيط بمدينة غات سور دائري يضم آثار أبراج مربعة الشكل . ويعتقد أن هذا السور بُني في الفترة السابقة لانتشار الإسلام في المناطق الصحراوية ويضم المنطقة الوسطى للمدينة التي تضم القلعة والبيوت المحيطة بها ويعود بناء السور إلى ما بعد القرن الرابع الهجري . تم بناء القلعة على الأرجح في موقع حصن قديم ، وترك خالية بعد هجوم الطوارق عليها في عام 1879، وتعتبر الثكنة العسكرية الأثر الوحيد للحكم العثماني في مركز التجارة الصحراوية غات، وتم إنشاؤها عام 1879 ، أيضاً يعرف المسجد الكبير في غات باسم "العنيق" ، ويقع ملائقاً للحصن ولميدان أشلياني الذي نقام فيه الاحتفالات الدينية . ويرى الداخل إلى المسجد أربعة أقواس غير منتظمة ، و يتميز بمئذنته على شكل هرم ناقص ، وتضم غات عدة زوايا ، وأشهرها تأسست عام 1860م ، وهي عبارة عن بناء مربع الشكل له باب ومنفذة طلية جدرانها بالجبس . وتستخدم هذه الزوايا لتعليم الأطفال القرآن الكريم . كما أنه توجد مقبرة خارج المدينة على أطراف الواحات الصحراوية بالقرب من ضريح سيدي عبد الرزاق وضريح الشريف موسى عبد الكريم التواتي وضريح الافاطمة . وإلى الجنوب من بركت توجد آثار قلعة تسمى ديدت ، وأمامها جبانة كبيرة بها قبور مبنية بالأحجار على هيئة مثلث اما إلى الغرب من غات فيمر وادي الفيوت ويوجد به كهف به رسوم صخرية شبيهة برسوم أكاكوس وهي رسوم ملونة تمثل الأبقار والنعام والزراف والحفلات الراقصة . شكل ( 3 )

## المحور الأول: تخطيط وتصميم المنشاءات في البيئة الصحراوية



شكل ( 2 ) مدينة غات

## المحور الأول: تخطيط وتصميم المنشاءات في البيئة الصحراوية



شكل (3) بعض معالم مدينة غات

### نطء شبكة الشوارع وتنوع اختيار المسار

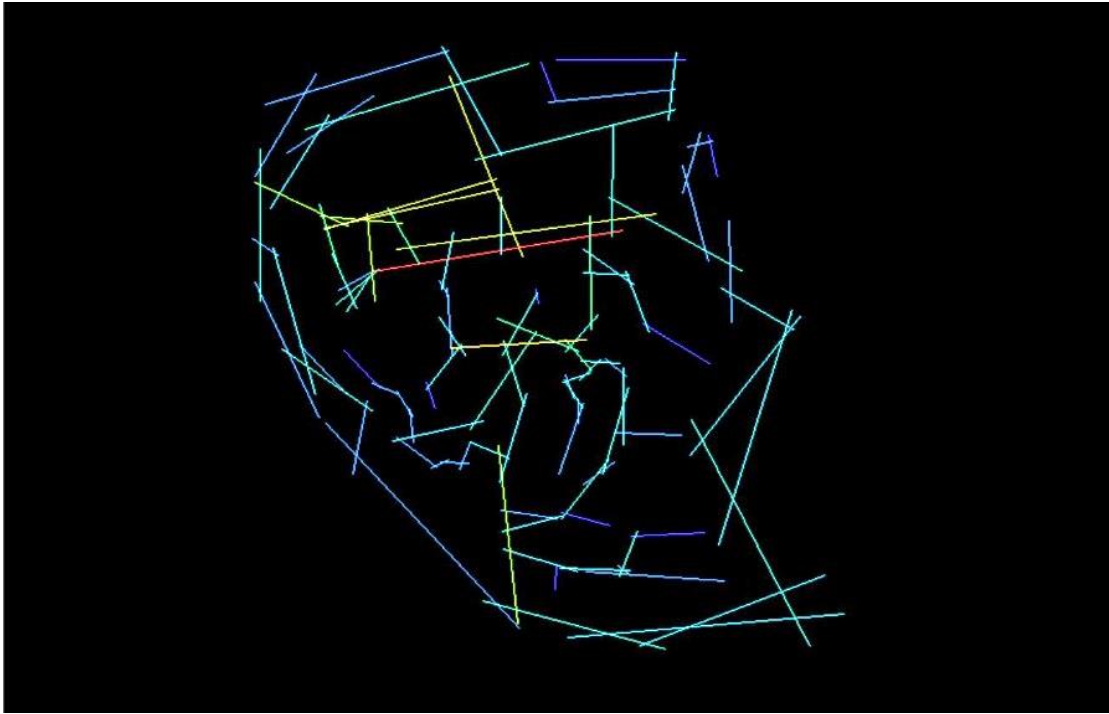
لقد سجلت مدينة غات قيم ترابط متوسطة نسبية الى باقي المدن الليبية وهذه القيم ليست غريبة لأن فراغات المدينة متتابعة في العمق وتخدم في الدرجة الاولى المشاة وهذا النمط يعكس الخصوصية و يعني هذا ان انماط توزيع الفراغات تهيمن عليها الفراغات الحضرية المغلقة وهي لا تشجع على إتاحة التنوع في اختيار المسارات وهي عادة قيم تسجل في هذا المتوسط للمدن التقليدية ذات الازقة الضيقة والمخصصة للمشاة فقط وقد بلغت قيمة الترابطية connectivity مدينة غات 0.79.

(الشكل 4.3.18.)

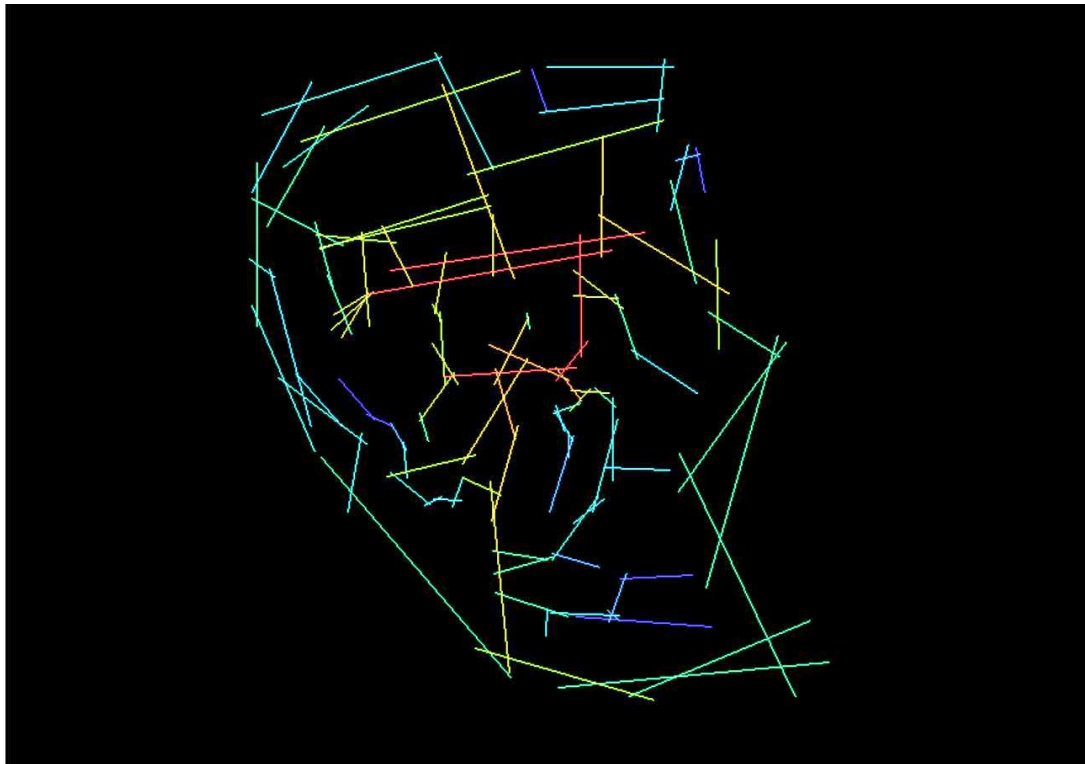
### إمكانية الوصول والحركة للتركيبات الحضرية المكانية الشاملة

من خلال نتائج قيم القياسات قد بلغت قيمة التكامل الشامل global integration 0.79 (الشكل 5) ويعني هذا الامر أن القيمة ضعيفة إلى متوسطة ويفسر هذا المعنى بأن التركيب المكاني لهذه المدينة أقل تربطاً من المدن الحديثة وأن تركيبها المكاني لا يشجع كثيراً على الانتقال من أي جزء في المدينة إلى الأجزاء الأخرى بشكل سهل وتخصر الحركة ضمن شوارع وأزقة محددة.

## المحور الأول: تخطيط وتصميم المنشاءات في البيئة الصحراوية



الشكل (4) الترابطية  
connectivity (4)



الشكل (5) التكامل الشامل  
global integration (5)

## المحور الأول: تخطيط وتصميم المنشاءات في البيئة الصحراوية

### إمكانية الوصول والحركة للتركيبات الحضرية المكانية المحلية

اما بالنسبة للتكامل المحلي (local integration) فإنه قد بلغ قيمة 1.37 الشكل (6) وهذا يمثل قيم منخفضة نسبية إلى قياسات المدن الليبية جدول (1) وهو يعني أن البيئة العمرانية لمدينة غات أقل ارتباطا فيما بين أجزائها ويفسر هذا ايضاً نسبة الخصوصية العالية نسبياً ومن خلال دراسات سابقة فإن التكامل المحلي يفسر من خلال التسلسل الهرمي إمكانية الوصول والحركة المحلية للمشاة ويتميز التكامل المحلي المتوسط تقديرات المزج للخطوط المحورية في نصف القطر 3 (الجذر بالإضافة إلى خطوتين طبولوجيتين من الجذر) وبمقارنة قيمة هذا المؤشر مع بعض قياسات

جدول (1) قياسات بعض المدن الليبية

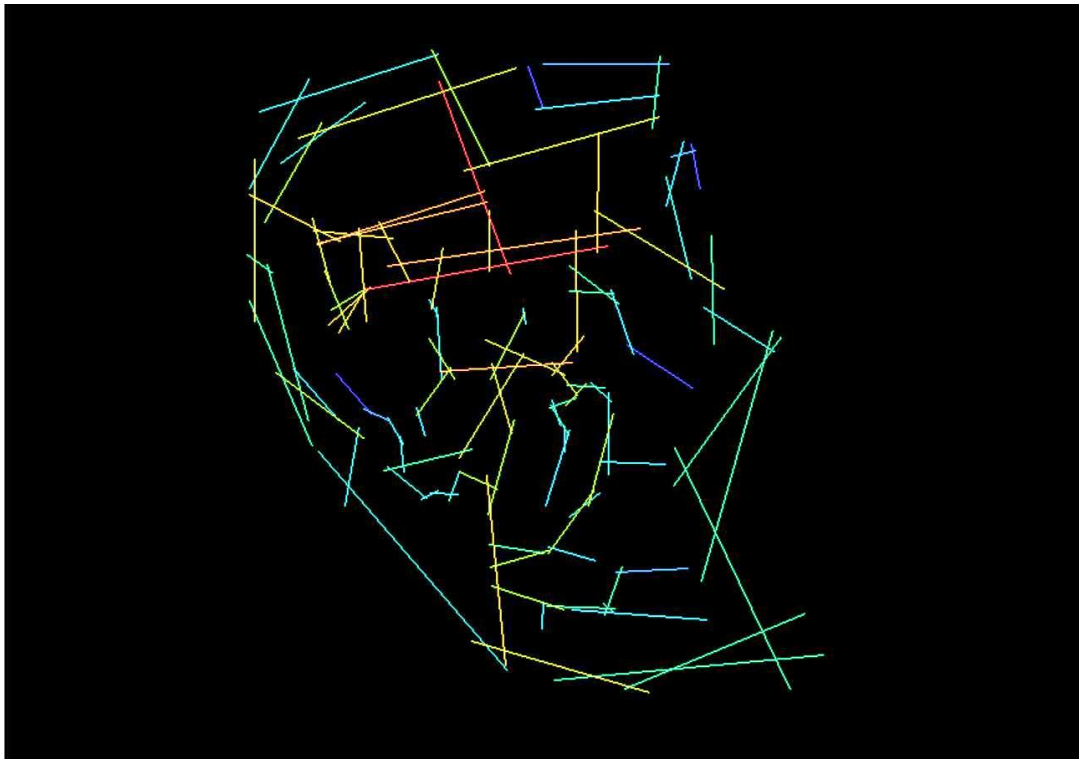
synergy	intelligibility	global integration	local integration	
0.4041	0.219	1.15	2.5	بنغازي القديمة
0.3204	0.1565	0.992	2.528	طرابلس
0.4456	0.1976	0.948	2.229	طرابلس القديمة
0.7128	0.3286	1.293	1.842	الخمس
0.3563	0.2134	0.898	1.809	بنغازي
0.2747	0.0624	0.348	1.303	بني وليد
0.191	0.0987	0.5037	1.518	غادسون

المدن الليبية فإن التكامل المحلي لفراغات مدينة غات هو وأقل من الكثير من المدن وأن أعلى قيم لهذا التكامل كانت عن الميادين والشوارع الرئيسية.

### التعقيد الشبكي المكاني لنظام الطرق

ويكون مقياس (entropy) هو المسؤول عن تحديد مدى تشابك وتعقيد الشبكة المكانية ويشير هذا المقياس الى القدرة على الانتقال في نظام الطرق والتفاعل بين المناطق المختلفة ويتم حساب هذا المقياس عن طريق تحليل الشبكة المكانية ودرجة اتصال كل عقدة (نقطة تفرع في الشبكة) في نظام فراغات الطرق ويتم استخدام المقياس لتحليل الانظمة الحضرية وفهم التنظيم المكاني للمدينة خاصة فيما يتعلق في تصميم الشوارع والتغيرات الناتجة عن تغيراتها على حركة المشاة والتفاعل الاجتماعي في المدينة.

تُعبر قيمة 3.24 لهذا المقياس الشكل (7) على ان الشبكة المكانية لنظام الطرق في المدينة معقدة نسبياً وان هناك تشابكاً نسبياً عالياً بين الشوارع وهذا يشير لوجود عدد كبير من المسارات المختلفة والروابط بين الاحياء والاماكن



الشكل (6) التكامل المحلي local integration

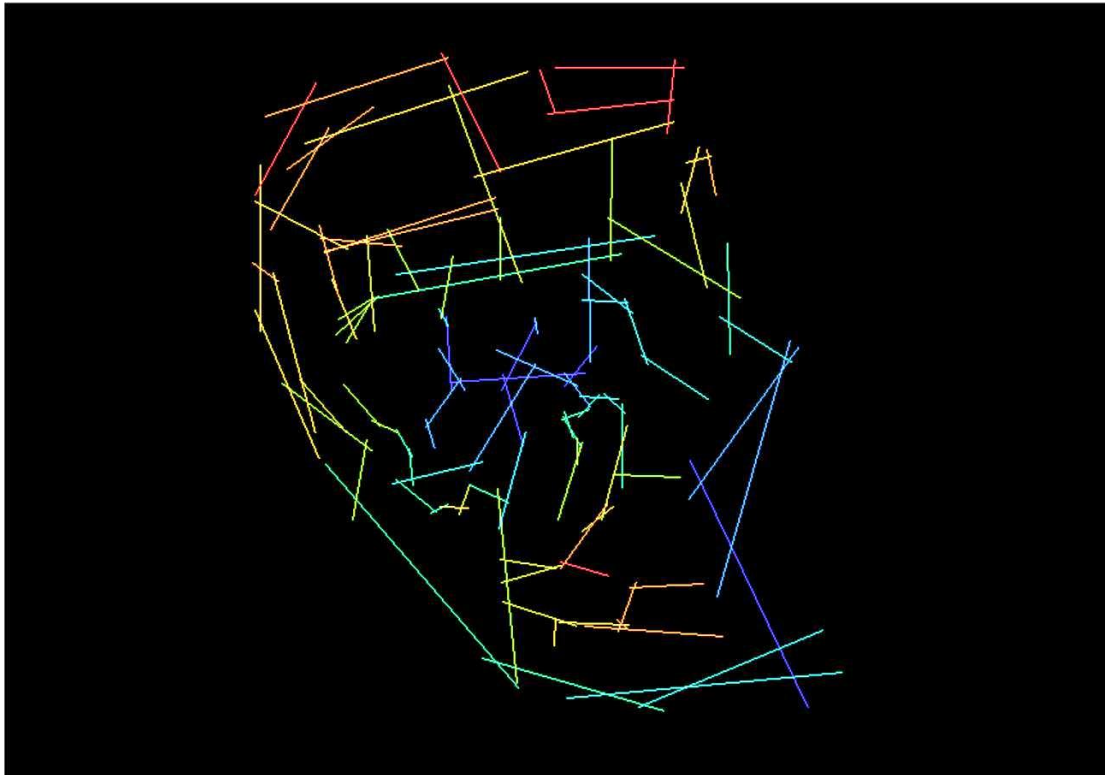
المختلفة وممكن ان يؤدي هذا الى تحسين الوصول وزيادة التفاعل الاجتماعي والتنوع الثقافي لذلك فإن قيمة هذا المقياس مفيدة جداً لفهم التنظيم المكاني وتصميم الشوارع والمناطق المختلفة للمدينة.

#### متوسط عمق الموضع في الشبكة المكانية

بشكل عام يمكن تفسير مقياس harmony mean depth ومدى استجابة نظام فراغات الشوارع لذلك الموضع وكلما كان متوسط القيمة أقل فإن ذلك يعني أن للمدينة شبكة مكانية متصلة وسهلة الوصول وبالتالي يمكن للسكان الوصول لكل الأماكن بسهولة وعلى عكس ذلك كلما كان المتوسط أعلى فإنه يعني أن المدينة تحتوي على شبكة مكانية أكثر تعقيداً وأقل سهولة في الوصول إلى الموضع المختلفة ويمكن استخدام هذا القياس في تصميم المدن وتحسين نظام الطرق لتحسين سهولة الوصول وتعزيز الاستجابة للحياة والمناطق المختلفة. إن تسجيل قيمة 6.24 كمتوسط لهذا المؤشر الشكل (8) لمدينة غات يعني أن المدينة تحتوي على شبكة مكانية معقدة نسبياً وأن الوصول إلى الموضع المختلفة سيكون

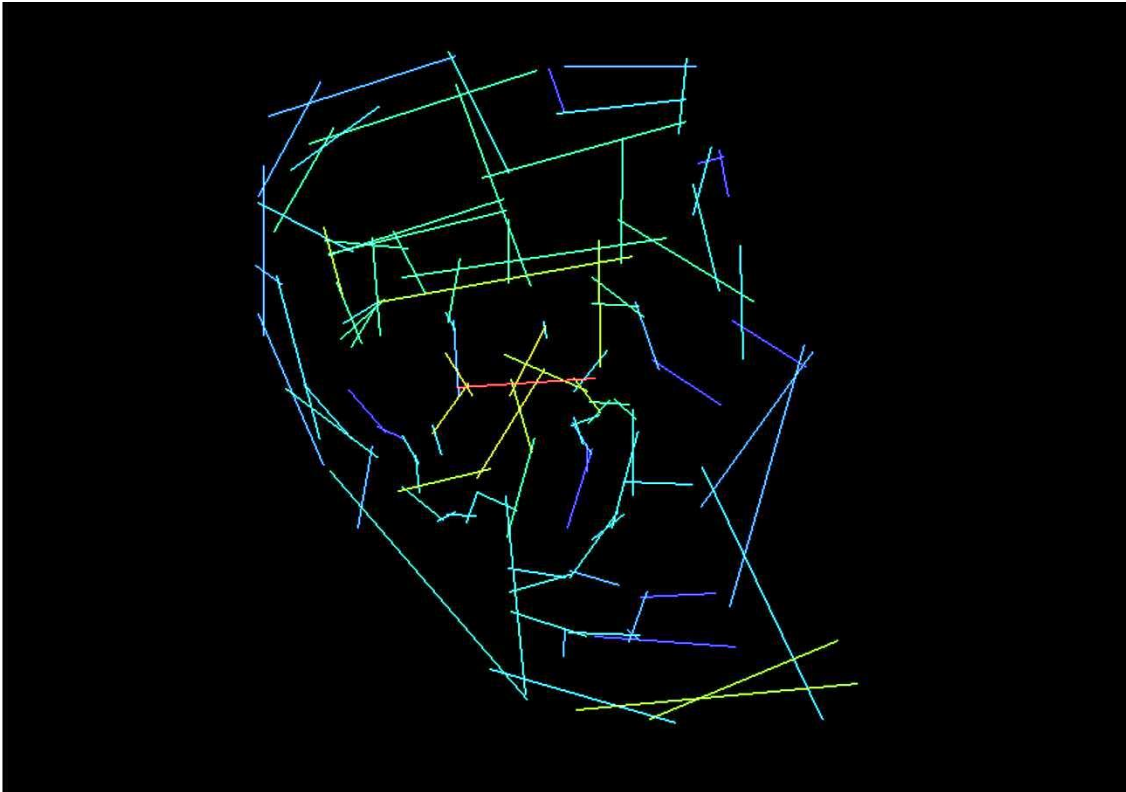
## المحور الأول: تخطيط وتصميم المنشاءات في البيئة الصحراوية

اكثر صعوبة وهو امر يجعل المدينة قد تواجه تحديات في توفير الوصول السريع بسبب تعقيد الشبكة المكانية، هذا الامر يمكن ان يؤذى الى تقييد جزئي للحركة والتقل بسهولة والذي بدوره سيؤدي الى استهلاك وقت اضافي.



الشكل (7) مقياس التشابك والتعقيد

للوصول الى موقع مختلف لكن مع هذا كله يجب الانتباه الى ان هذا المقياس لا يعني بالضرورة الى ان مدينة غير جذابة او غير مرغوبة بل هو مؤشر لتحليل وفهم نظام فراغات الطرق لتطوير الاستراتيجيات لتحسين الوصول الى الموقع المختلفة وتعزيز الاستجابة لاحياء ومناطق المدينة.



الشكل (8) مقياس متوسط العمق **harmony mean depth**

#### كثافة الحركة المتوقعة في الشوارع

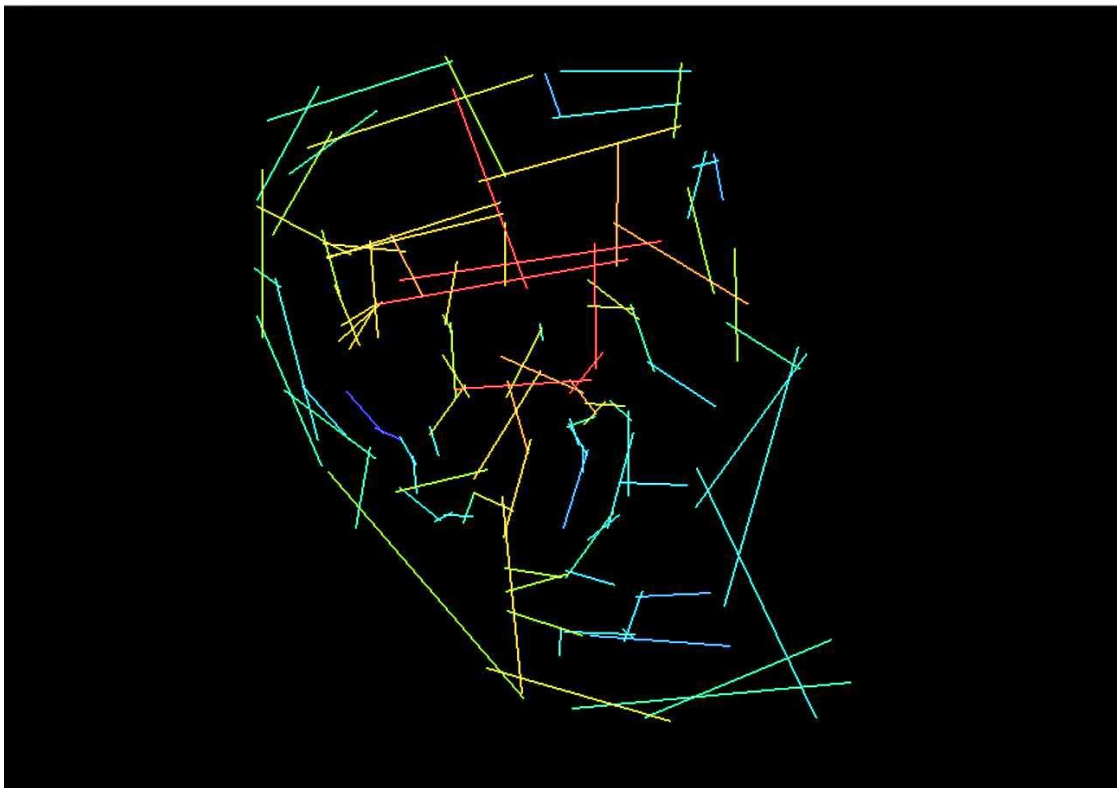
يمكن تقسيم مقياس (intensity) بأنه يدل على مستوى الازدحام او الكثافة الذي يتوقع حدوثه في شارع ما وكلما كانت القيمة اعلى فإن ذلك يعني فراغ الشارع سيشهد مزيدا من الحركة والاستخدام ويمكن استخدام هذا المقياس لتحليل النظام الطرقي في المدن وفهم توزيع كثافة الحركة ، ويعني تسجيل قيمة 0.62 لـ( Global intensity) الشكل (9) و 1.545 لـ( local intensity) أن كثافة الحركة في الفراغات الشاملة (فراغات المدينة) أقل مقارنة بالفراغات المحلية المجاورة لها وهذا يعني أن الفراغات المحلية (الأزقة الداخلية ) تكون عادة أكثر نشاطا وكثافة للحركة من الحركة العامة للمدينة .

#### دعم الفراغات للحركة بين السكان والزوار (مؤشر تفافي اجتماعي)

إن العلاقة بين قيم التكامل الشامل والتكميل المحلي تؤشر إلى إمكانية الإرتباط ومدى عرقلة او تشجيع الحركة بين الزوار والسكان ، إن قيمة تظافر (synergy) قد بلغت 0.690 الشكل (11) وهي قيمة عالية جداً وهذا يدل على ان

## المحور الأول: تخطيط وتصميم المنشاءات في البيئة الصحراوية

التركيب الفراغي لمدينة غات يساند ويشجع على نشوء تفاعل إيجابي بين السكان والزوار وعلى الرغم من أن هذا المؤشر عادة ما يسجل ارقام منخفضة في المدن التقليدية إلى أنه على عكس ذلك كانت قيمته عالية جداً ويبدو أن ذلك يرجع إلى وجود فراغات رئيسية متقدمة كثيرة في الاتساع مع ارتباطها باغلب الفراغات الأخرى كما ان نفس السبب والذي جعل امكانية فهم الفراغات يكون عالياً أثر ايضاً في هذه القيمة وهو قلة فراغات المدينة الكلية رغم تشابكها وتعقيدها .

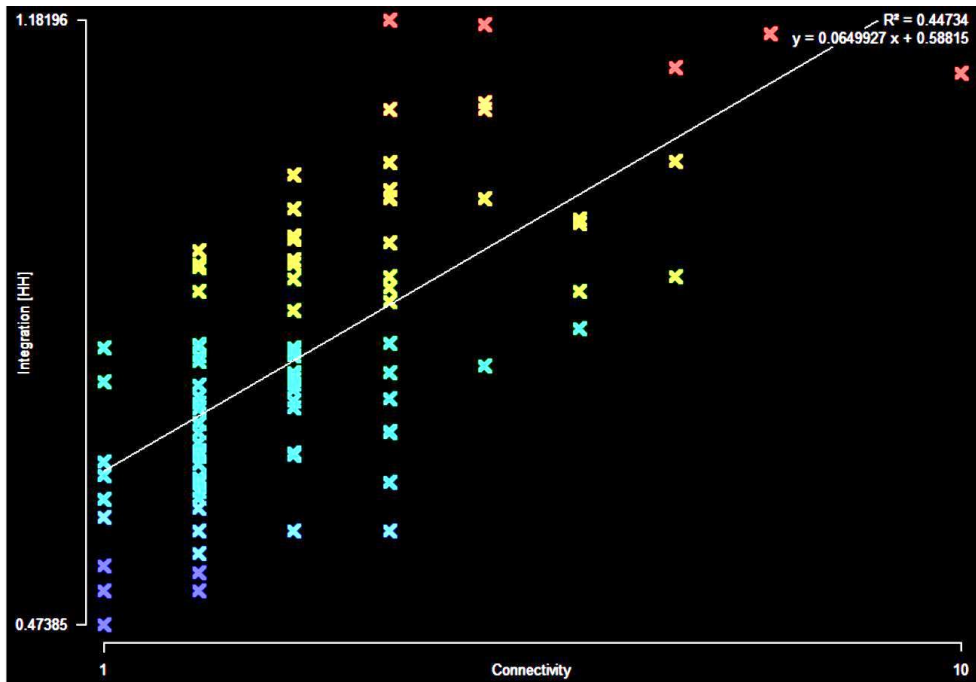


الشكل (9) intensity قياس مستوى الازدحام والكثافة

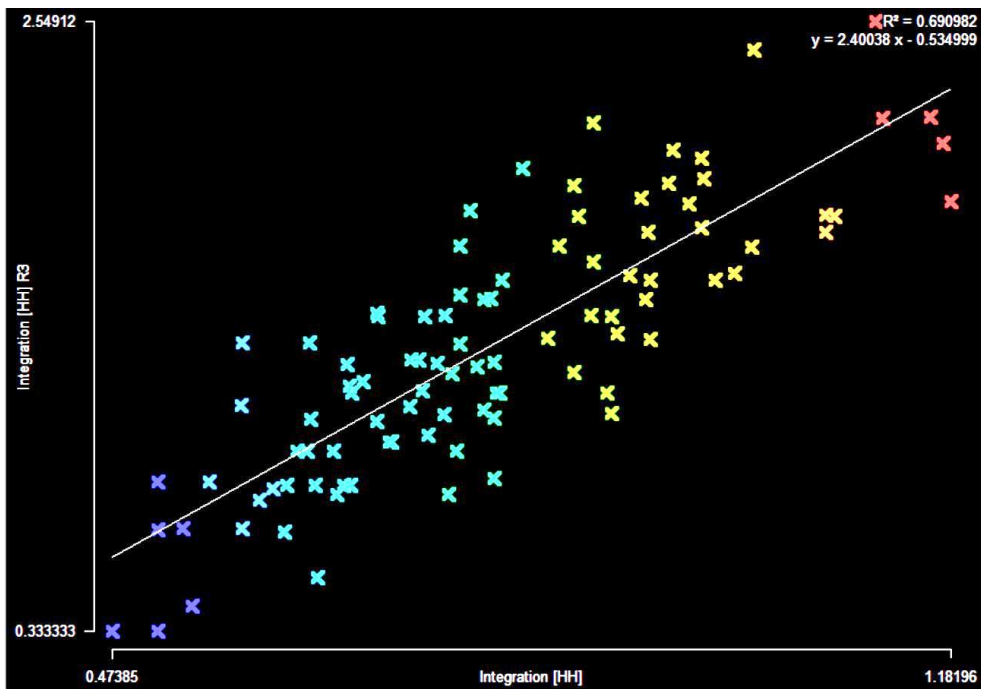
### إمكانية فهم فراغات المدينة

لقد أظهرت نتائج التحليل المحوري بأن مدينة غات لا تعاني من صعوبة في فهم فراغاتها من قبل المشاهد وقد بلغت قيمة العلاقة ما بين التكامل المحلي والتكمال الشامل 0.44 الشكل (10) لذلك فإن المشاهد يستطيع فهم كافة فراغات المدينة من خلال فهم علاقتها مع الفراغات المجاورة ولا يحتاج المشاهد هنا إلى تخطي الكثير من الفراغات لفهم باقي أجزائها وهذا أمر يتعارض قليلاً مع القيم المنخفضة للتكمال ويرجع ذلك للعدد القليل من الفراغات الذي تتكون منه المدينة والتي بلغت 101 فراغ فقط (شارع وزفاف).

## المحور الأول: تخطيط وتصميم المنشاءات في البيئة الصحراوية



الشكل (10) مقياس الوضوح الشامل intelligibility



الشكل (11) مقياس التظافر أو التأزر synergy

## المحور الأول: تخطيط وتصميم المنشاءات في البيئة الصحراوية

### المناقشة والنتائج

لقد سجلت قيمة ترابط 3.18 وهو رقم تسجله عادة المدن التقليدية ، فهو يبين ان فراغات المدينة متتابعة في العمق وتحدم المشاهة وتتميز بخصوصية ولا تشجع على إتاحة التنوع في اختيار المسارات ، وعلى الرغم من ذلك فإن قيم التكامل الشامل سجلت 0.79 وهي قيمة ضعيفة الى متوسطة وهو ما يجعل التركيب المكاني للمدينة اقل تربطاً من غيرها من المدن الحديثة وان هذا الترتيب لا يشجع على الانتقال الى اجزائها الاخرى بسهولة وتخصر سهولة الحركة ضمن فراغات محددة ، وهذا تأكده القيم المنخفضة للتكامل المحلي والتي سجلت 1.37 ويعني هذا أن الفراغات أقل تربطاً وأكثر خصوصية وهو من تأثيرات المدن التقليدية القديمة والثقافة العربية الاسلامية ، ويتضح من خلال قيمة *entropy* والتي بلغت 3.24 ان الشبكة المكانية للفراغات المفتوحة معقدة نسبياً وهذا الامر هو ما يفسر القيم المنخفضة للتكامل المحلي ودرجة الخصوصية العالية الامر الذي يعني ان الزوار لن يستطيعوا التحرك خلال الفراغات المحلية بسهولة وهو أمر يزيد من تأكيد هذه القيمة متوسط عمل المواقع (*harmony mean depth*) والذي بلغ 6.24 وهي قيمة تؤكد ان المدينة تحتوي على شبكة فراغية مكانية معقدة جدا وأن الوصول للمواقع المغلقة لن يكون سهلاً أما عن كثافة الحركة المحلية والتي تمثل السكان فيما بينهم فإن تبدو أكثر قليلاً من الكثافة في الشوارع العامة والتي عادة ما تستعمل أكثر من قبل الزوار وهذا يعني أن الأزقة الداخلية تكون أكثر نشاطاً وكثافة للحركة وقد سجلت *global intensity* (0.62) أما *local intensity* فقد كانت (1.545) وعلى العكس من كل التوقعات فإن إمكانية فهم فراغات هذه المدينة وقيم التظاهر والذي يعبر عن دعم الفراغات للعلاقات الاجتماعية والثقافية مع الزوار أرقاماً كبيرة ورغم التشابك والتعقيد في الشبكة وربما يرجع ذلك لقلة فراغات المدينة .

### الخاتمة

أن التشابه في تركيب الفراغات الحضارية بين بعض المدن لا يعني أنها تشبه انماطها المكانية لكن ومن خلال نظرية التركيب المكاني (*space syntax*) والتي وفرت تحاليل رياضية دقيقة قد تلاحظ تشابهاً في القيم الحسابية في بعض المدن وهذا الامر يعبر عن اكتسابها نفس الخصائص الحضارية رغم اختلاف الانماط وقد وفرت مجموعة التقييمات المختلفة لنظرية التركيب المكاني الكثير من المقاييس والمؤشرات وال العلاقات الهامة التي ساعدت على فهم تخطيط

## **المحور الأول: تخطيط وتصميم المنشاءات في البيئة الصحراوية**

المجتمعات المختلفة من خلال ترابط فراغاتها الحضارية وتراكيبها المكانية وقد وضح هذا في تحليل مدينة غات والتي تشبهت في جميع قيمها المكانية مع قيم المدن التقليدية كمدينة غدامس إلا أنها اختلفت وبشكل كبير جدا في قيم إمكانية الفهم والتظافر والتي تعطي دائماً مؤشرات اجتماعية ثقافية مما يدل على أن هناك بعض الاختلافات الثقافية والاجتماعية لهذه المجتمعات التي يتحكم بها عادة حجم المدينة (عدد الفراغات) ووظيفتها وثقافة المكان وموضعها الجغرافي .

### **المراجع**

- [1] عقيل، فوزي. (2019). التحليل المحوري المكاني للبيئة المبنية كمنتج للتفاعل الاجتماعي الثقافي. المجلة الدولية للعلوم والتقنية (عدد خاص) بالمؤتمر والمعرض التقني الأول للهندسة المعمارية والمدنية ، 23-24 فبراير 2019 – قمينس – ليبيا.
- [2] Johnston R .J. et. al. (2000). The dictionary of human geography. Oxford: Blackwell.
- [3] Moeini, M. (2012). Attitudes to urban walking in Tehran. Journal of E&PB.
- [4] Hofstede, G. (2001) Culture's Consequences – Second Edition: Comparing Values, Behaviors, Institutions and Organizations Across Nations. London: Sage.
- [5] Kirkman, B. L., Lowe, K. B., & Gibson, C. B. (2006). A quarter century of Culture's consequences: A review of empirical research incorporating Hofstede's cultural values framework. Journal of International Business Studies.
- [6] Hillier, B, Hanson, J and Peponis, J. 1987. The syntactic analysis of settlements. Architecture et Comportement/Architecture and Behavior. vol. 3, 1987, Vol. no. 3.

- [7] Batty M, M and Rana, S. 2002. Reformulating space syntax: the automatic definition and generation of axial lines and axial maps. Center for Advanced Spatial Analysis, University College, London.WP58, 2002.
- [8] Hillier B. and Hanson J. The Social Logic of Space: Cambridge Omversl ty Press, forthcoming 1983

## **المحور الأول: تخطيط وتصميم المنشاءات في البيئة الصحراوية**

### **دراسة مقارنة لتأثير الطوب الأحمر والطوب الإسمنتي المفرغ على المنشأ الخرساني**

ذكرى سعد محمود<sup>(1)</sup>, محمد عبدالفتاح صالح<sup>(2)</sup>

<sup>(1)</sup> محاضر مساعد بقسم الهندسة المدنية - كلية الهندسة - جامعة عمر المختار [zakaria.abdalsalam@omu.edu.ly](mailto:zakaria.abdalsalam@omu.edu.ly)

<sup>(2)</sup> أستاذ مشارك بقسم الهندسة المدنية - كلية الهندسة - جامعة عمر المختار [mohamed.aljewifi@omu.edu.ly](mailto:mohamed.aljewifi@omu.edu.ly)

#### **ملخص**

اختيار النوع المناسب من الطوب له أهمية كبيرة في التأثير على التصميم الإنثائي والهندسي للمنشآت حيث أن خصائص ونوعية الطوب وأبعاده وكثافتها وقدرتها على العزل الحراري لها أثر كبير على المنشأ، فالأحمال الميئية للطوب تؤثر على القطاعات الإنثائية، وكلما كان الطوب خفيف الوزن أدى ذلك إلى الوفر في الهيكل الإنثائي وكمية حديد التسلیح وكذلك كلما كانت قدرة الطوب المستخدم على العزل الحراري أكبر كلما أدى ذلك إلى وفر في الطاقة اللازمة للتడفئة والتبريد. يهدف هذا البحث لمقارنة نوعين من الطوب وهي من الأنواع الشائعة الاستخدام محلياً وهو الطوب الإسمنتي المفرغ وطوب الأجر الأحمر حيث تم إجراء دراسة على مبني سكني مكون من أربعة طوابق ارتفاع الطابق (3.2) متر ومساحة الطابق (430) متر مربع. تم استخدام برنامج (ETABS) لنموذج المبني والقيام بالتحليل الإنثائي والتصميم، كذلك تم عمل مجموعة من الاختبارات المعملية على عينات من الطوب الإسمنتي وطوب الأجر الأحمر (اختبار الانضغاط، اختبار الامتصاص، اختبار الكثافة، اختبار الوزن النوعي) لتحقق من مدى مطابقة الطوب المحلي للمواصفات. من خلال التحليل والتصميم الإنثائي للمنشأ تبين إن وزن المنشأ يقل باستخدام الطوب الأجر الأحمر وذلك يؤدي إلى وفر في كميات الخرسانة وحديد التسلیح.

الكلمات الدالة: التصميم الإنثائي، الأحمال الميئية، العزل الحراري، طوب الأجر الأحمر.

#### **المقدمة**

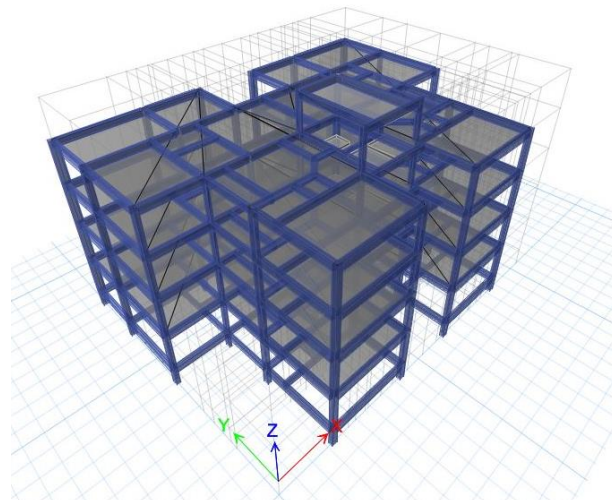
مع التطور الذي يشهده العالم في مجال البناء والتشييد للمشروعات المختلفة نجد أهمية البحث عن خامات البناء المتوفقة مع البيئة وترتقي بمستوى جودة تلك المنشآت، مع مراعاة الجوانب الاقتصادية وسهولة التشغيل والصيانة مستقبلاً. يعتبر الطوب أحد مواد البناء المهمة والتي تمثل العازل بين المناخ الخارجي والداخلي للمبني، يتعرض الطوب إلى العوامل الخارجية منها العوامل الطبيعية كاختلاف درجات الحرارة وارتفاع نسبة الرطوبة والتعرض للأمطار وأشعة الشمس وللهزات والزلزال، وعوامل أخرى مثل المؤثرات الكيميائية والمواد العضوية. يدخل الطوب في بناء الحائط التي تعتبر أحد العناصر المكونة للهيكل الإنثائي حيث إن خامة ونوعية الطوب المستخدم من حيث السماكة والكتافة والقدرة على تحمل التغيرات

## المحور الأول: تخطيط وتصميم المنشاءات في البيئة الصحراوية

المناخية، لها تأثير كبير على المنشأ وبالإضافة إلى الأحمال الميّة للحوائط والتي تؤثّر على مقاسات القطاعات الإنسانية<sup>[4]</sup>. كلما كانت الحوائط خفيفة الوزن كلما أدى إلى ذلك إلى وفر في الهيكل الإنسائي فعلى سبيل المثال عند استخدام بлокات الخرسانة المسامية بدلاً من الطوب الإسمنتي يؤدي ذلك إلى وفر بنسبة تتراوح بين 20% و 25% من تكاليف الهيكل الخرساني للمنشآت<sup>[3]</sup>. كذلك كلما كانت قدرة الحوائط على العزل الحراري أكبر كلما أدى ذلك إلى وفر في أحوال التكييف للمنشأ، عند فعند استخدام بлокات الخرسانة المسامية بدلاً من الطوب الإسمنتي يؤدي ذلك إلى وفر بنسبة 15% من تكاليف التكييف للمنشآت<sup>[3]</sup>. ولذلك لابد أن يتحمل الطوب في جميع الأحوال الإجهادات والضغوط التي يتعرض لها بالإضافة إلى مقاومة المؤثرات الجوية والطبيعية والحرائق، وكذلك يفضل أن يتوفّر فيه سهولة التصنيع باستخدام مواد البناء الأولية المتوفّرة محلياً. الهدف من هذه الدراسة مقارنة الخصائص الفيزيائية والميكانيكية لكل من الطوب الأجر الأحمر والطوب الإسمنتي المفرغ وكذلك دراسة الوفر في كميات الخرسانة وتحديد التسلیح عند استخدام الطوب الأجر الأحمر بدلاً من الطوب الإسمنتي المفرغ

### منهجية البحث

الدراسة قائمة على المقارنة بين الطوب الأجر الأحمر والطوب الإسمنتي المفرغ من خلال مقارنة الخصائص الفيزيائية والميكانيكية (اختبار الانضغاط، اختبار الامتصاص، اختبار الكثافة، اختبار الوزن النوعي)، وعمل نموذج إنسائي متمثل في مبني سكني مكون من أربعة طوابق باستخدام برنامج (ETABS) النموذج الإنسائي للمبني مبين بالشكل (1).



الشكل (1) يبيّن النموذج الإنسائي للمبني

## المحور الأول: تخطيط وتصميم المنشاءات في البيئة الصحراوية

### الاختبارات المعملية وعينات الاختبار:

تم إجراء الفحوصات المعملية على الطوب المبين أنواعه وأبعاده بالجدول (1) لمعرفة الخصائص الفيزيائية والميكانيكية من أجل المقارنة بين أنواع الطوب المختلفة والتأثير على التصميم الإنثائي من حيث الوزن، القدرة على الامتصاص الماء و مقاومه الأحمال. جميع الاختبارات تم إجراءها وفق المعايير الأمريكية ASTM.

هذه الدراسة تستهدف نوعان من الطوب المستخدم في البناء والمتوفرة في السوق المحلي، وهما الطوب الأحمر الذي يتمتع بخصائص جيدة فيما يخص دوره في أعمال البناء، والطوب الخرساني (الإسمنت) المفرغ انظر الشكل (2).



شكل (2) عينات من الطوب الأحمر والطوب الإسمنتى

. دراسة تحليلية لمزايا استخدام الطوب الأجر الأحمر مقابل استخدام الطوب الإسمنتى المفرغ

اعتمدت الدراسة على تطبيق عملي لمبني سكنى مكون أربع طوابق مساحة الطابق الواحد( $430\text{m}^2$ )، التحليل الإنثائي والتصميم للمبني باستخدام برنامج (ETABS) والذي تم مرة باستخدام الطوب الإسمنتى المفرغ ذو كثافة ( $9.25\text{KN/m}^3$ ) ومرة باستخدام طوب الأجر الأحمر ذو كثافة ( $5.85\text{KN/m}^3$ ) في كل من الهوائيات الداخلية والخارجية وبلاطات الموردي وذلك لتحديد الوفر في كمية الحديد والخرسانة الناتج عن استخدام طوب الأجر الأحمر بدل من الطوب الإسمنتى الطوب الإسمنتى المفرغ وذلك بدراسة للأحمال المئية وتأثيرها على الهيكل الإنثائي.

## المحور الأول: تخطيط وتصميم المنشاءات في البيئة الصحراوية

الجدول (1) يوضح أنواع وأبعاد الطوب المستخدم في البحث

متوسط وزن العينات (kg)	أبعاد العينة (سم)			نوع العينة
	الارتفاع	العرض	الطول	
5.4	15	20	30	الطوب الأحمر
15.2	20	20	40	الطوب الإسمنتي للحوائط
11.4	14	20	40	الطوب الإسمنتي للأسقف

الجدول (2) المتغيرات المستخدمة

الطوب الأحمر	الطوب الإسمنتي	المتغير
28	28	مقاومة الخرسانة للانضغاط $F_c'(MPa)$
24	24	كثافة الخرسانة $\rho(KN/m^3)$
24,855	24,855	معامل يونج للخرسانة $E(MPa)$
420	420	إجهاد الخضوع لحديد التسلیح $F_y(MPa)$
620	620	إجهاد الشد الأقصى لحديد التسلیح $F_u(MPa)$
77	77	كثافة الحديد $\rho(KN/m^3)$
200,000	200,000	معامل يونج للحديد $E(Mpa)$

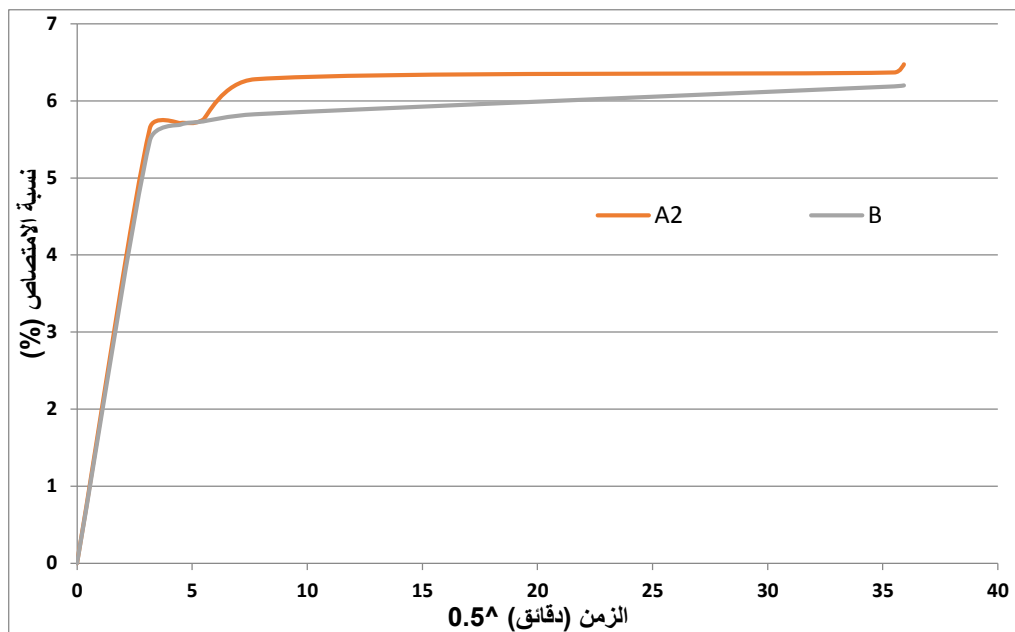
النتائج:

بعد تعين حمل الفشل للعينات المختبرة تم حساب مقاومة الانضغاط للعينات ومن ثم يتم حساب المتوسط الحسابي للعدد ثلاث عينات لكل نوع من الطوب، وفيما يلي عرض نتائج اختبار مقاومة الانضغاط حيث تبين إن مقاومة الانضغاط للطوب الإسمنتي المفرغ أكبر من الطوب الأحمر الأجر. والجدول (3) توضح نتائج مقاومة الانضغاط للطوب الإسمنتي المفرغ والطوب الأحمر. الشكل (3) يوضح العلاقة بين نسبة الامتصاص والزمن للطوب الإسمنتي المفرغ والطوب الأحمر الأجر، وبين المنحى أن نسبة الامتصاص للماء في الطوب الإسمنتي A2 أعلى من الطوب الأحمر B.

## المحور الأول: تخطيط وتصميم المنشاءات في البيئة الصحراوية

جدول (3) يوضح مقاومة الانضغاط للطوب

مقامة الانضغاط (كغم/ سم <sup>2</sup> )	الكثافة (كيلونيوتن/ م <sup>3</sup> )	مساحة المقطع (سم <sup>2</sup> )	نوع العينة
19.5	5.85	600	الطوب الأحمر
19.8	9.3	800	الطوب الإسمنتى



شكل (3) العلاقة بين نسبة الامتصاص والزمن للطوب الإسمنتى المفرغ والطوب الأحمر الأجر

### الخلاصة

من خلال التحليل الانشائي والتصميم للبنية السكنية المكونة من أربع طوابق حيث تم استخدام نموذجين أحدهم باستخدام الطوب الاسمنتى المفرغ والآخر باستخدام طوب الأجر الاحمر، وجد إن الأحمال الميتة للحوائط والأسقف تؤثر على القطاعات الإنسانية للمنشأ وكلما كانت الحوائط خفيفة الوزن كلما أدى ذلك إلى وفر في الهيكل الإنساني، فتبين من خلال التحليل التصميم للمنشأ إن وزن المنشأ يقل باستخدام الطوب الأجر الأحمر وذلك يؤدي إلى وفر في كميات الخرسانة وال الحديد للمنشأ. جدول (4) يبيّن أوزان المنشأ في حالة استخدام الطوب الاسمنتى المفرغ والطوب الأجر الاحمر.

## المحور الأول: تخطيط وتصميم المنشاءات في البيئة الصحراوية

جدول(4) يوضح الفروقات في الأوزان على المنشأ الخرساني

الفرق في الوزن	الطوب الأحمر الأجر (طن)	الطوب الإسمنتي (طن)	أوزان المنشآت
0	515.6	515.6	وزن التشطيبات(FW)
380.6	940.0	1320.6	وزن الطوب(BW)
20.5	941.9	962.4	وزن الخرسانة(SW)
0	262.6	262.6	وزن الحمل الحي(LL)
0	41.2	41.2	وزن حمل السقف(Ls)

### الاستنتاجات والتوصيات

استهدف البرنامج المعملي عينات من الطوب الأحمر الذي يتمتع بخصائص جيدة فيما يخص دوره في أعمال البناء والطوب الإسمنتي، حيث تم استخدام نوعان من أنواع الطوب حسب الوظيفة الإنسانية له في المبني وهم الطوب المستخدم في الحوائط (البناء) والطوب المستخدم في الأسفال تم إجراء اختبارات مقاومة الانضغاط، امتصاص الماء، الكثافة الجافة، الوزن النوعي للطوب المستخدم. النتائج المتحصل عليها تبين أن الطوب الأحمر يعطي نتائج أفضل في التحميل الإنسائي من وفر في كميات الحديد والخرسانة في الأسفال الإنسانية.

### المراجع

- [1]-الظاهري، جمال عبد الواحد فرحان، "تصميم منشآت الخرسانية وفقاً لمتطلبات الكود 14-ACI318M-2016 ، (الطبعة الثانية)، بغداد، العرق.
- [2]-النهاري، أيمن عبد الرحمن وآخرون، "دليل استخدام برنامج ETABS" ، مطبع صناعة الحديث ، صناعة.
- [3]-محمد عبد الباقى إبراهيم ،شيماء محمد كامل محمود، "مزایا استخدام بلوکات الخرسانة المسامية الخفيفة مقابل استخدام الطوب الإسمنتي في التصميم والبناء" ، (2003)، مركز الدراسات التخطيطية والمعمارية، القاهرة، مصر.
- [4]-الزمزمي، معتصم عبدالله وآخرون، " دراسة أثر نوع الطوب الأحمر على خواص الحائط وتكلفة البناء" ، (2000)، جامعة الخرطوم، السودان.

## **المحور الأول: تخطيط وتصميم المنشاءات في البيئة الصحراوية**

---

[5] - محمد عبد الباقي إبراهيم، داليا محمد سيف الدين، "محاكاة أداء المبني باستخدام الطوب الخفيف في البناء"، (2013)، مركز الدراسات التخطيطية والمعمارية، القاهرة، مصر.

[6] - مالك، محمد إقبال وآخرون، "دراسة مقارنة بين الطوب الأحمر الطيني والطوب الإسمنتي المفرغ"، (2013)، المجلة الدولية للبحوث المدنية والهندسة الإنشائية، الهند.

[7]- American Concrete Institute "ACI 318-14M Building Code Requirements for Structural Concrete and Commentary", (2014), Farmington Hills.

[8]- Jack C. McCorm, Russell H. Brown, "Design of Reinforced Concrete 10<sup>th</sup> Edition", (2015), John Wiley & Sons Ltd.

[9]- M. Nadim Hassoun, Akthem Al-Manaseer, "Structural Concrete Theory and Design 4<sup>th</sup> Edition", (2008), John Wiley & Sons Ltd.,.

## **معايير ولوائح التخطيط الحضري بالمناطق الصحراوية في منظومة**

### **العمران الليبي بين الواقع والأفاق.**

المهندس/عبد الحفيظ أبوزيف المودى

بكالوريوس هندسة، قسم تخطيط مدن ، كلية الهندسة، جامعة بنغازي ، 1992م

مصلحة التخطيط العمراني

#### **ملخص :**

لكل منطقة على كوكب الأرض خصائصها المناخية التي تميز بها وتجعلها مختلفة عن المناطق الأخرى ، فهناك المناطق ذات المناخ الاستوائي ، وذات المناخ الصحراوي ، وذات المناخ المعتمد ، وذات المناخ البارد ، وغيرها من التصنيفات الأخرى ، وفيما يتعلق بليبيا فهي ذات أقسام مناخية متعددة ، منها المناخ المتوسطي والمناخ شبه الصحراوي والمناخ الصحراوي ، وأغلب مساحة البلاد هي ضمن مناطق المناخ شبه الصحراوي والمناخ الصحراوي.

وقدّيماً كان للخصائص المناخية الأثر الكبير في اختيار نمط العمارة ونمط النسيج الحضري الذي يتلاءم مع تلك الخصائص ، وكان ذلك جلياً في عمارة وعمران المدن الصحراوية الأثرية والقديمة الموزعة في مختلف أنحاء البلاد ، والتي منها مدن غدامس وغات وجرمه وهون و الفقهاء وسوكنه و زويلة وأوجله والكفرة وغيرها من المدن الصحراوية الأخرى ، وكان لمواد البناء و التصميم المعماري والنسيج الحضري دور رياضي في التخفيف من شدة الحرارة نهاراً والبرودة ليلاً ، وجعل المباني والحيز العمراني ملائماً للقيام بأنشطة الناس المختلفة ، أما في العصر الحديث فقد توجهت السلطات والناس إلى استخدام أساس تخطيط حضري و مواد بناء حديثة جعلت من الطاقة (الكهرباء والغاز ومشتقات البترول) العامل الأساسي في ملائمة الشدة في خصائص المناخ المحلي ، من خلال استخدام وسائل النقل الحديثة في التنقل وأجهزة تكيف الهواء وتسخين المياه داخل المباني ، وبرزت أصوات ومحاولات عملية تدعوا إلى عدم الركون الكامل للطاقة ، وأهمية التركيز على تطوير معايير تخطيط وتصميم حضري وعماري ومواد بناء تتفق مع الخصائص المناخية للمناطق الصحراوية ، وانتهاء بمقاربة الاستدامة الحضرية التي تسعى مختلف دول العالم لتحقيقها.

ستتضمن هذه الورقة تسلیط الضوء على معايير التخطيط الطبيعي المعتمل بها في ليبيا ، ولوائح استعمال وتصنيف المناطق ، بالإضافة إلى استعراض مقاربة الاستدامة الحضرية ضمن المناطق الصحراوية والاشتراطات التي يتطلب تحقيقها كل ذلك فيما يتعلق بمضمون هذه الورقة.

محتوى هذه الورقة سيكون استجابة لمتطلبات الفقرة الأولى (أسس ومعايير التخطيط) ضمن المحور الأول المعنى بـ تخطيط وتصميم المنشآت في البيئة الصحراوية .

**الكلمات المفتاحية :** المدن الصحراوية، الجيل التخطيطي، معايير التخطيط الطبيعي، النسيج الحضري، الاستدامة، النسيج العمراني المتضامن.

## **المحور الأول: تخطيط وتصميم المنشاءات في البيئة الصحراوية**

**مشكلة الدراسة:** تشكل المناطق الصحراوية مساحة كبيرة من مساحة ليبيا ، بنسبة تتجاوز 90% من مساحة البلاد ، وقد استقرار الإنسان في مختلف مناطق الصحراء الليبية منذ ألف السنين ، ولا تزال المدن القديمة شاهداً قائماً حتى يومنا الحاضر ، في دلالة على نجاح السكان في بلوغ مجموعة من التطبيقات على العمارة وال عمران استطاعوا من خلالها التصدي للعوامل المناخية و مقاومة شدة الظروف البيئية القاسية، وإننا نسب حضري متميز ولكن الاتجاهات الحديثة للتنمية والتخطيط العمراني أفقدت تلك المدن ذلك التميز ، وتحولت المدن الصحراوية ذات الخصائص المتميزة إلى مفهوم مدن الصحراء باعتبارها مدن كغيرها من المدن الأخرى ، مما جعل الانتباه يتتركز حول معايير التخطيط الطبيعي ولوائح التخطيط والبناء وسبل الاستدامة الحضرية ودورها في الحفاظ على خصائص المدن الصحراوية التي تحقق توافق العمران مع الخصائص البيئية المحيطة و ملائمته لها.

**المنهجية:** اعتمدت الورقة على منهج دراسة الحال الذي يتطلب التأسيس لمجموعة من الخطوات التي تمكن من دراسة كافة الجوانب التي ترتبط بمشكلة البحث ، وقد تضمنت تلك الخطوات سرد التقسيمات المناخية المحلية وخصائص العمران الصحراوي قديماً وحديثاً، ثم الانتقال إلى أجيال المخططات الحضرية التي أعدت للمدن الليبية خلال العصر الحديث ، وقوانين ولوائح ومعايير التخطيط الطبيعي ، والمعالجات التخطيطية والمعمارية في المدن الصحراوية ، والاستدامة في المدن الصحراوية ، ثم النتائج والتوصيات.

**أهداف الدراسة:** يسعى الباحث من وراء هذه الورقة إلى تحقيق مجموعة من الأهداف، من أهمها ما يلي:

- تأكيد أهمية البعد الطبيعي المتعلق بالمناخ عند إعداد المخططات الحضرية وإنشاء المبني بالمدن الصحراوية
- التعرف على مضمون التشريعات ومعايير ولوائح التخطيط الحضري الليبي بشأن تخطيط و عمارة مدن الصحراء.
- استعراض المعالجات التخطيطية والمعمارية في المدن الصحراوية.
- تقديم خلاصة النتائج والتوصيات التي تدعم خصوصية المدن الصحراوية وتحقق الاستدامة.

**تساؤلات الدراسة :** قبل وأثناء إعداد هذه الورقة كانت في الذهن مجموعة من التساؤلات ، سعينا إلى الإجابة عنها وهي كما يلى:

- ما هي التقسيمات المناخية في ليبيا؟
- ما هو الفرق بين المدن الصحراوية بين الأمس واليوم؟
- ما هي أجيال المخططات الحضرية في ليبيا؟
- ما هو مضمون قوانين ولوائح ومعايير التخطيط العمراني المتعلق بالمدن والعمارة الصحراوية؟
- ما هي ملامح الاستدامة الحضرية في المدن الصحراوية؟
- ما هي المعالجات والتوصيات التي تدعم خصوصيات المدن الصحراوية وتوجهها نحو الاستدامة؟

## المحور الأول: تخطيط وتصميم المنشاءات في البيئة الصحراوية

المحتويات :

رقم الصفحة	المحتوى	الرقم
3	التقسيمات المناخية المحلية.	1
3	العمران الصحراوي قديماً وحديثاً.	2
4	أجيال المخططات العمرانية الثلاثة.	3
5	قوانين ولوائح ومعايير التخطيط العمراني.	4
5	قوانين التخطيط العمراني.	1-4
5	لوائح استعمال وتصنيف المناطق.	2-4
5	لوائح البناء وتقسيم الأراضي.	3-4
6	معايير التخطيط العمراني.	4-4
8	المعالجات التخطيطية والمعمارية في المدن الصحراوية.	5
9	الاستدامة في المدن الصحراوية.	6
9	التحديات التي تواجه المدن الصحراوية.	1-6
9	الاستدامة الحضرية ضمن المناطق الصحراوية.	2-6
10	النتائج والتوصيات.	7
12	المراجع.	8

### 1- التقسيمات المناخية المحلية:

تخضع ليبيا في جملتها كما يقول الدكتور عبد العزيز شرف: إلى المناخ الصحراوي الحار الذي يسود في معظم القسم الشمالي من القارة الأفريقية، ولا يُستثنى من ذلك إلا الشريط الساحلي الضيق الذي يمتد على طول البحر المتوسط. وكذلك المناطق الجبلية المتاخمة لهذا الشريط في برقة وطرابلس ثم بعض الجبال الواقعة على أطراف البلاد [5]، ويؤكد الدكتور محمد عياد امقلی ما جاء في المرجع السابق و يحدد خمسة عوامل مؤثرة في مناخ، ليبيا وهي : درجة العرض ، والارتفاع والتضاريس ، والمسطحات البحرية ، والكتل الهوائية ، والغطاء النباتي وفي مجمل توصيفه لحالة المناخ يتعرض لحالة المناخ في الشتاء متضمنة للضغط والرياح والأمطار ، كما يتعرض لحالة المناخ في الصيف متضمنة طقس القبلي ونسمة البحر و درجة الحرارة والرطوبة النسبية والتباخر [6].

ويقسم الأستاذ محمد عبد السلام الفيتوري البلاد إلى أربعة أقاليم مناخية [7] وهي:

- مناخ البحر المتوسط.
- مناخ المرتفعات الساحلية.
- مناخ الاستبس .

## **المحور الأول: تخطيط وتصميم المنشاءات في البيئة الصحراوية**

- المناخ شبه الصحراوي والصحراوي .

ويذكر بعد ذلك أن منطقة المناخ شبه الصحراوي و الصحراء ويضم أكبر مساحة من البلاد وبنسبة تزيد عن 90% من مساحة البلاد ،

ومما تجدر الإشارة إليه هي أن اعتبارات الراحة الحرارية للإنسان والتي تعنى الإحساس الجسدي والعقلي الكامل بالراحة [16]، قد استدعت تصنيف المناطق المناخية في العالم إلى أربعة تصنيفات وهي: المناخ البارد القطبي، والمناخ المعتمد ، والمناخ الحار الجاف ، والمناخ الحار الرطب ، وفي كل الأحوال فإن المساحة الكبيرة التي يسودها المناخ الصحراوي بجفافه وحرارته في بلادنا تدعوا إلى أهمية الدراسات المتعلقة باستطاعان الإنسان لهذه المناطق لا سيما الدراسات الحضرية المعنية بالمدن والتجمعات السكنية.

### **2- العمران الصحراوي قديماً وحديثاً:**

تدل الشواهد العمرانية على استقرار الإنسان في مختلف مناطق الصحراء الليبية منذآلاف السنين ، والمدن الصحراوية القديمة والأثرية لا تزال قائمة حتى يومنا هذا ومنها غدامس وغات وجرمه ومرزق وهون والفقهاء وسوكنه و زوبلة وأوجله والكفرة وغيرها ، وقد استطاع سكان تلك المدن التوصل إلى بلورة مجموعة من التطبيقات على العمارة والعمران استطاعوا من خلالها التصدي للعوامل المناخية و مقاومة شدة الظروف البيئية الصحراوية القاسية، مما مكنهم من الحياة في تلك المدن وممارسة كافة أنشطة حياتهم بكفاءة .

أما في العصر الحديث وبعد انتشار وسائل النقل ومواد البناء الحديثة وتقنيات تبريد الهواء فقد تغير النسيج الحضري والعمارة بالمناطق الصحراوية واتجهت المدن والتجمعات السكنية إلى اكتساب خصائص النسيج الحضري والعمارة كالتى تتوارد في أية منطقة أخرى بالبلاد ويوضح الشكل [1] الفرق بين النموذج القديم والنموذج الحديث ونلاحظ هنا التحول من مفهوم المدن الصحراوية ذات الخصائص المتميزة إلى مفهوم مدن الصحراء باعتبارها مدن كغيرها من المدن إلا أنها تقع في الصحراء ، وفي هذا الخصوص تقول كل من الباحثة يسرى حمرة والدكتورة حكيمة حلبي في بحثهما عن تهيئة المدن الصحراوية وفق أبعاد التنمية المستدامة [12] أنه على عكس المدن الصحراوية التقليدية التي نجحت في التعامل والتكيف مع قساوة بيئتها ، تظهر المدن الصحراوية الجديدة و بتخطيطاتها العمرانية والحضارية عجزاً في تحقيق التوافق والتلاؤم مع هذه البيئة وذلك للأسباب التالية:

- عدم توفر الحد الأدنى من الخدمات الاجتماعية وهيكلا عمراني قادرin على الإبقاء على سكانها المقيمين ، واحتذاب سكان جدد واستثمارات جديدة.

- تصميم المساكن بطريقة غير مدروسة مما يعرضها لمخاطر العواصف الترابية و تجمع الكثبان الرملية .  
- كثرة الفراغات والشوارع المكشوفة المعرضة للإشعاع الشمسي مما يحد من الحركة والتنقل وخصوصاً في ساعات النهار.

- عدم توفير الخصوصية لسكان المدن الصحراوية الجديدة ، إذ تعاني مساكنها المفتوحة على الخارج من مشكلات أمنية أهمها السطو على المساكن بعرض السرقة.

## المحور الأول: تخطيط وتصميم المنشاءات في البيئة الصحراوية

- عدم وجود سياسة واضحة للاقتصاد في الطاقة وتوفيرها ، في النمط المنتهج في بناء المساكن والمباني والذي يعرض واجهاتها لأشعة الشمس طوال اليوم ، يزيد من استهلاك أجهزة التكييف، ناهيك عن الإسراف الشديد في استهلاك المياه لري الساحات الكبيرة المكشوفة والحدائق الخارجية المعرضة لأشعة الشمس المحرقة.



الشكل (1) الفرق بين النموذج القديم والنموذج الحديث في عمران المدن الصحراوية (غدامس)

وتقترن بالباحثان بلغيفي نوال وسهام قوت[13] في إطار تعزيز البعد الإيكولوجي في تخطيط المدن الصحراوية وخصوصياتها الثقافية والبيئية المتميزة أن يتم تبنيه مجال حضري يتاسب ويتماشى مع الثقافة المحلية للمجتمعات الصحراوية ، أي على المخططين تجنب نقل طابع عمراني من منطقة تختلف في ظروفها البيئية وخصوصياتها الثقافية والاجتماعية ، إلى منطقة أخرى لأن هذه العوامل تتحدد على أساسها الأنماط العمرانية (Urban Morphology) لكل منطقة ، أي أنه إذا كانت العمارة قد حققت أهدافها بالمناطق الشمالية ، فليس معناه هذا بأنها ستحقق ذلك بمناطق الجنوب.

### 3- أجيال المخططات العمرانية الثلاثة:

يقصد بالجيل التخططيي برنامج التخطيط العمراني الذي تبنته الحكومة الليبية وتولت عملية اختيار المكاتب الاستشارية والتعاقد معها لإعداد المخططات ، ويمتد الجيل التخططيي لفترة لا تقل عن عشرين سنة ، ويستهدف كل المدن والتجمعات السكنية بالبلاد ، ووفقاً لذلك نجد لدينا ثلاثة أجيال من المخططات العمرانية وهي:

#### أولاً: الجيل التخططيي الأول:

يغطي هذا الجيل فترة تخططية مدتها عشرون سنة من سنة 1968م وحتى سنة 1988م وقد ترافق مع أول الخطة التنموية الاقتصادية الخامسة (1963-1969) ، حيث وجدت وزارة التنمية والتخطيط في ذلك الوقت أن الحاجة تدعو لإعداد مخططات حضرية للمدن ، وتم التعاقد خلال سنة 1966 مع مجموعة من مكاتب استشارية غربية [14] ، وتمثلت مخرجات هذا الجيل في عدد 177 مخطط حضري غطت كل المدن والتجمعات السكنية في ليبيا ، واعتمد في ذات الفترة القانون رقم 5 لسنة 1969م بشأن تخطيط وتنظيم المدن والقرى ، الذي منح قدرأ من المرونة للسلطات المحلية في إعداد اللوائح المحلية للمباني والاستعمال وتصنيف المناطق.

#### ثانياً: الجيل التخططيي الثاني:

## **المحور الأول: تخطيط وتصميم المنشاءات في البيئة الصحراوية**

استحدثت في هذا الجيل النظام التخطيطي متعدد المستويات والذي يشمل المستوى الوطني ومستوى الأقاليم التخطيطية ومستوى الأقاليم الفرعية التخطيطية والمستوى الحضري، وتمثلت مخرجات هذا الجيل في إعداد المخطط الوطني الطبيعي طویل المدى (1985-2000)، وعدد 4 مخططات إقليمية، وعدد 18 مخطط إقليم فرعى، وعدد 244 مخطط حضري غطت كل المدن والتجمعات السكنية في ليبيا، من خلال عقود أبرمتها الحكومة الليبية مع عدد أربع شركات أجنبية، وصدر في هذه الأثناء تقرير معايير التخطيط الطبيعي.

### **ثالثاً: الجيل التخطيطي الثالث:**

استهدف الجيل التخطيطي الثالث تغطية فترة تخطيطية لمدة عشرين سنة بعد عام 2000م، وبادرت مصلحة التخطيط العمراني في إجراءات إعداد المخططات مع نهاية عام 2004م، حيث تم التعاقد مع أربعة مكاتب استشارية وطنية للقيام بإعداد المخططات، ولكن المشروع تأخر عن برنامجه الزمني قبل عام 2011م، ولم تتمكن مصلحة التخطيط العمراني من تفعيل عقود المشروع بعد عام 2012م، وإلى هذا الحين كانت قد أعدت وثيقة السياسة المكانية الوطنية (2006-2030) وتم اعتمادها من مجلس التخطيط الوطني وتضمن جزءاً كاملاً عن الإدارات البيئية بما تشمله من إدارة استخدامات الأراضي حسب تقسيمات المناطق البيئية الإيكولوجية الأربع [16]، وأعدت أربعة مخططات إقليمية وعدد 18 مخطط إقليم فرعى، كما تم دراسة عدد (136) مخطط حضري، بالإضافة إلى مقترنات المعايير التخطيطية لكل إقليم تخططي، ولم تصل تلك الأعمال إلى مرحلة الاعتماد، وفي عام 2021م قررت الحكومة فض وتصفية عقود المشروع، والاستعاضة عنه بمشروع الخطة القصيرة لمعالجة أوضاع العمران القائم.

### **4- قوانين ولوائح ومعايير التخطيط العمراني:**

#### **4-1 قوانين التخطيط العمراني:**

##### **أولاً: قانون 5 لسنة 1969 بشأن تخطيط وتنظيم المدن والقرى :**

وهو أول قانون متكامل يصدر في هذا المجال، وشمل وقت سريانه كل الأراضي الليبية، وعلى الرغم من تكامل المجالات التي تطرق إليها إلا أنه لا توجد فيه إشارات محددة لاشتراطات خاصة بالمناطق الصحراوية، ومنح قدرأ من المرونة للسلطات المحلية (البلديات) في إعداد لائحة محلية للمباني والاستعمال وتصنيف المناطق بما يعكس خصوصيتها و بما يتفق مع ظروفها المناخية والطبوغرافية ومستويات التحضر بها فقد تضمنت المادة 19 من القانون أن تصدر بقرار من المجلس البلدي لائحة تحدد استعمالات كل منطقة والشروط الواجب توفرها بالنسبة للأراضي والمباني، والشروط العامة الواجب توفرها في قطع التقسيم من حيث المساحات وارتفاعات المباني وخطوط التنظيم، كما تضمن المادة 47 من القانون أن يتولى المجلس البلدي إصدار لائحة للمباني تحدد الشروط الواجب توافرها في المباني من الناحية الفنية أو الصحية، وقامت بعض البلديات مثل طرابلس وبنغازي بإصدار لائحة للمباني بما يتماشى مع مخططات التي أعدت في تلك الفترة.

### ثانياً: قانون 3 لسنة 2001م بشأن التخطيط العمراني :

يسري هذا القانون كل الأراضي الليبية ولا توجد فيه إشارات محددة لاشتراطات خاصة بالمناطق الصحراوية ، وتتضمن المادة 39 منه على أن تتولى اللجنة الشعبية العامة إصدار اللائحة التنفيذية على أن تتضمن قواعد تصنيف واستعمال المناطق والأحكام الخاصة بالمباني وضوابط وقواعد تقسيم الأراضي.

### 4-2 لوائح استعمال وتصنيف المناطق:

لم أتمكن من العثور عن لوائح استعمال وتصنيف للمناطق تخص مخططات المدن الصحراوية قبل عام 1998م وما بعد هذا العام فقد اعتمدت الحكومة لائحة استعمال وتصنيف المناطق لمخططات التطبيقات بالقرار رقم (189)، ليتم تطبيقها على كل المخططات الحضرية بالبلاد، وتتضمن هذه اللائحة تعريفات ، واستعمالات الأرضي وتصنيفاتها واشتراطاتها التخطيطية التي منها الحد الأدنى لمساحة القطعة، والحد الأدنى لعرض القطعة ، وحدود الأفنية الأمامية والجانبية والخلفية ، والحد الأقصى للنسبة الإجمالية لمساحة المسبوقة، والحد الأعلى لارتفاع المبني ، وتعمل هذه اللائحة كوسيلة لتنمية المناطق الحضرية ، وإيجاد بنية صحيحة وملائمة للعيش والعمل بمختلف نشاطات الحياة ، وتوفير الهواء والضوء ، ومنع الازدحام ، والحد من تركز السكان أكثر من الحد المقبول ، وتسهيل سبل المواصلات ، وتزويد المدن بالمياه والشبكات المجاري ، والمدارس والحدائق العامة والمرافق ، ومكافحة الحرائق ، وتسري أحكام هذه اللائحة على كل المناطق الحضرية باستثناء المناطق المتضمنة لأوضاعا ذات طبيعة خاصة حيث تراعي بشأنها تشريعاتها النافذة .

ولم تفرق هذه اللائحة في الاشتراطات الفنية التخطيطية وفقاً لاختلاف الخصائص البيئية المختلفة في البلاد ، ولكن المادة (3) من اللائحة في فقرتها الرابعة تجيز للجنة تخطيط المدن وتنظيم المباني اشتراط أية شروط أخرى متعلقة باستعمالات الأرضي في إطار توصيات المخطط العام والاهتداء بالمعايير التخطيطية المعتمدة.

### 4-3 لوائح البناء وتقسيم الأرضي:

فيما يتعلق بلوائح البناء فقد توفرت لدى لائحة المباني الخاصة ببلدية طرابلس والمعتمدة بقرار المجلس البلدي وصدرت بتاريخ 23/01/1971 ولا زالت سارية المفعول حتى يومنا الحالي ، ولم أتمكن من العثور على لوائح مباني تخص البلديات الواقعة ضمن النطاق الصحراوي ، أما فيما يتعلق بتقسيم الأرضي فقد تضمن قرار وزير الشؤون البلدية بشأن تقسيم الأرضي المعدة للبناء الصادر بتاريخ 10 يونيو 1969م عدد من المواد التي تحتوى على الشروط العامة لمشروعات تقسيم الأرضي والتزامات المقسم وإجراءات الاعتماد ، ومن ضمن الشروط العامة ما يلي :

- أن يكون مشروع التقسيم متجانسا مع المخطط المعتمد للمدينة او المنطقة الواقعة بها أرض المشروع .
- يجب أن يكون مشروع التقسيم منتشيا مع أهداف المخطط المعتمد .
- أن يتم تخصيص نسبة 35% من جملة مساحة الأرض المراد تقسيمها للطرق والخدمات والمرافق العامة .
- أن تكون الأرض موضوع التقسيم صالحة للبناء دون الإضرار بالصحة العامة أو التعرض للأخطار الطبيعية كالسيول وأخطار الحرائق وغيرها .

## **المحور الأول: تخطيط وتصميم المنشاءات في البيئة الصحراوية**

- أن يكون الاستعمال المقترن لقطع التقسيم متمنياً مع الاستعمالات المقررة في المخطط .  
وطالب القرار بأن يضم عرض الطرق وانحدارها وموقعها بحيث تستوعب المرور المتوقع وتؤمن التور والهواء وتسهل مكافحة الحرائق في حدود المعايير والمقاييس الواردة في المادة (15) من القانون رقم 5 بشأن تخطيط وتنظيم المدن والقري ، وأن تتم المحافظة على المظاهر الطبيعية الموجودة التي يمكن أن ترفع من قيمة المنطقة مثل الأشجار والجداول والمجاري الطبيعية والشواطئ وغير ذلك ، ويشتمل هذا القرار على اشتراطات فنية تضمن توفير الطرق والميادين والحدائق والمنتزهات العامة والمرافق والمنافع العامة ، وتتضمن السلامة من المخاطر والمحافظة على البيئة ، ولم يتضمن اشتراطات محددة بالمناطق الصحراوية ، بل أنماط ذلك بالمخاطط العام المعتمد وما يتضمنه من استعمالات واشتراطات ، بالإضافة إلى الاشتراطات الواردة في المادة 15 من القانون رقم 5 بشأن تخطيط وتنظيم المدن والقري ، والتي تنص على أن يتولى وزير البلديات إصدار لائحة بالاتفاق مع وزير المواصلات تتضمن تصنيف الطرق العامة للبلدية وقياسها ومعاييرها وكل ما يتعلق بها ، وفي كل الأحوال منع القانون (3) لسنة 2001م بشأن التخطيط العمراني الأفراد من إجراء تقسيمات على الأراضي المعدة للبناء وفقاً لنص المادة (22) من القانون.

### **4-4 معايير التخطيط الطبيعي:**

تتضمن معايير التخطيط العمراني المقاييس المستعملة من قبل المخططين الحضريين في تخطيط المدن والأحياء وال المجاورات السكنية ، وتعتبر المرجعية الأساسية لما ينبغي أن تكون عليه أوضاع العمران المستقبلية ، كما أنها مرجعية مهمة يتم الاحتكام إليها عند مراجعة وتقدير واعتماد المخططات الحضرية من قبل جهات الاختصاص ، وقد استخدمت في إعداد المخططات الحضرية بالجيل الأول للمخططات مقاييس ومعايير تخطيطية تتعلق باستعمالات الأراضي وشبكات الطرق والمنافع العامة ، ولكن لم نلاحظ فارقاً في المعايير المستخدمة باختلاف الظروف المناخية ، حيث أن المقاييس التي استخدمت في مدينة الكفرة الصحراوية هي نفسها المقاييس التي استخدمت في مدينة رأس الهلال الساحلية الجبلية ، والمقاييس التي استخدمت في مدينة غدامس الصحراوية هي نفسها المقاييس التي استخدمت في مدينة صرمان الساحلية أو مدينة يفرن الجبلية.

وصدرت لأول مرة معايير موحدة للتخطيط الطبيعي على مستوى ليبيا مستهل ثمانينيات القرن العشرين ، ضمن تقرير دليل معايير التخطيط الطبيعي الذي أصدرته لجنة تقييم الدراسات الخاصة بالمخططات الإقليمية وال محلية [1] ، وجاء في مقدمة التقرير أن هذه المعايير هي أحد الوسائل المهمة في إعداد وتنفيذ المخططات العمرانية ، وأن المعايير ينبغي أن تتصف بالمرونة ، ومن المهم لا يتم تطبيق المعايير بشيء من الصلابة في البلاد ذات الظروف الاجتماعية والاقتصادية والجغرافية والمناخية المتباينة ، ويطلب الأمر تطبيقها بدرجة كافية من المرونة عند إعادة تطوير المناطق القائمة ، كما جاء في التقرير أن المعايير لابد أن تعكس الأهداف والسياسات الاقتصادية والاجتماعية وأن تأخذ في اعتبارها المحافظة على التراث الاجتماعي والحضاري للمجتمع بالإضافة إلى البيئة الخاصة بالبلاد ويجب أن توافق التطور الاجتماعي والاقتصادي و يمكن تطبيقها على الظروف المحلية المختلفة.

وقد استندت المعايير الواردة في التقرير على دراسات مخططات الجيل الثاني بمختلف الأقاليم التخطيطية في ليبيا بالإضافة إلى مجموعة من المصادر الأخرى ، وهي وبالتالي معدة للاستخدام في كل أنحاء البلاد من أجل العمل على تحسين مستوى معيشة السكان ، وتقدير الاحتياج من الأراضي للأغراض الحضرية ، وتقليل الفروق غير المقبولة في

## **المحور الأول: تخطيط وتصميم المنشاءات في البيئة الصحراوية**

مستوى معايير الإسكان والمرافق الأساسية داخل البلد ، وتزويد المواطنين بالمرافق الأساسية والخدمات على مستوى متساوي في جميع أنحاء البلد، وتضمن التقرير معايير المرافق التعليمية والمرافق الصحية والمرافق الدينية والمرافق الثقافية والاجتماعية والمرافق التجارية والمناطق الخضراء والطرق والمواصلات والمرافق العامة (المياه ، الماء ، الماء ، الطاقة ، الهواتف) ، وارتكزت تلك المعايير في صياغتها على خبرة المكاتب الاستشارية التي أعدت مخططات المرحلة و لم يتم توضيح الأسس النظرية والعملية التي استندت إليها ، ولم تغط عدد من الأنشطة الحيوية مثل تنسيق الواقع والتصميم الحضري والجانب البيئي وغيرها ، ولم تراع الاختلافات في الأقاليم التخطيطية والمتطلبات الوظيفية والتصميمية لكل منها ، وبعد مرور عشرين سنة على الإصدار الأول للمعايير لم تجرى عملية تديثها أو تطويرها إلا من خلال المقترنات المقدمة بمشروع الجيل الثالث للمخططات عام 2008م ، وتمثل المقترنات المقدمة في التقارير التالية :

### **- تقرير معايير التخطيط الطبيعي باقليم طرابلس التخططي:**

لا يتضمن تقرير معايير التخطيط الطبيعي باقليم طرابلس التخططي أية إشارة صريحة إلى تقسيمات مناخية معينة أو اختلافات في المعايير الجديدة المقترنة بين المناطق والمدن الواقعة ضمن الإقليم التخططي [2].

### **- تقرير معايير التخطيط الطبيعي باقليم بنغازي التخططي:**

تضمنت مقدمة التقرير مجموعة من الأهداف والمبادئ التخطيطية التي ينبغي أن تشكل خطوط إرشادية عند إعداد المخططات الحضرية والتي منها (التقليل من التأثير السلبي للتغير المناخي بمراعاة الظروف المناخية المحلية السائدة والأخطار الطبيعية نتيجة لذلك في عملية تخطيط البيئة العمرانية ويشمل ذلك أنظمة البناء العمرانية ومن أمثلة التصاميم التقليدية لمعالجة الظروف المناخية هي الممرات المنسورة والميادين والشوارع المتلألئة والمتنهجة كما يعتبر المحافظة على المساحات المزروعة القائمة وإيجاد أحزمة خضراء جديدة بأطراف المنطقة العمرانية مناسبة كمصادات للرياح الجنوبية "القبلي" ، ولم تتضمن محتويات التقرير الأخرى كيفية انعكاس هذا الأساس على المعايير الجديدة المقترنة .[3].

### **- تقرير معايير التخطيط الطبيعي باقليم الخليج التخططي:**

تضمن التقرير جملة من الاعتبارات الخاصة بالمنطقة ، منها الموقع الجغرافي بين الساحل والصحراء ووجود بيئتين طبيعيتين مختلفتين هما البيئة الساحلية والبيئة الصحراوية ، والظروف الطبيعية القاسية الأخرى كالمناخ . كما تضمن بعض التفاصيل ذات العلاقة مثل:

**- عزل المنطقة الترفيهية عما يجاورها بأسوار أو أشجار أو مصدات رياح إذا تم إنشاؤها داخل المدن أو التجمعات السكانية.**

**- اشتغال حدائق المدن على بنبابع وشلالات المياه والبحيرات الصناعية.**

**- أن تتحقق المنتزهات الاستدامة في المحافظة على الموارد البيئية.**

**- تنفيذ المعايير البيئية الواردة بالقوانين والقرارات المتعلقة بالحماية والعناية بالبيئة وتطبيقاتها على المستوى المحلي.**

## **المحور الأول: تخطيط وتصميم المنشاءات في البيئة الصحراوية**

ولم يتضمن التقرير أية تفاصيل أخرى تتعلق بكيفية انعكاس الخصائص الصحراوية على المعايير التخطيطية الجديدة المقترحة [4].

### **- تقرير معايير التخطيط الطبيعي ياقليم فزان التخططي:**

تضمن التقرير في مقدمته فقرة بعنوان المعايير التخطيطية للتنمية المستدامة ، وجاء فيها أن هذا الطرح والتوجيه العلمي ، يدعو الباحثين وواعضي المخططات العمرانية المختلفة لمرحلة الجيل الثالث ومعايير توجه وأنماط النمو في القطاع العام والخاص وتنظيم البيئة العمرانية لخلق وسط حضري ملائم اجتماعياً وبيئياً [18] ، وبين التقرير جملة من المشاكل و الإخفاقات التي تعاني المعايير التخطيطية الراهنة ، والتي يمكن تشخيصها في النقاط الأساسية التالية :

1. وضع المعايير الحالية عام 1980 على المستوى الوطني و بذلك لم تراع خصوصية الأقاليم التخطيطية و سماتها الطبيعية.

2. اشتقت معظم المعايير من تلك التي تتبعها بعض الشركات والمؤسسات الأجنبية التي أعدت مخططات الجيل الثاني دونها وضع أساس نظري أو عملي في صياغتها واعتمادها وتطبيقها.

3. لأكثر من عقدين ونصف من الزمن لم يتم تحديث أو استحداث أي معايير عمرانية جديدة على الرغم من التغيرات الجذرية في بنية المجتمع الليبي و في السياسات الاقتصادية و التكنولوجية و السكانية.

4. في معظم المعايير الحالية نقص واضح في التعرض إلى الكثير من الجوانب مثل معايير التهيئة البيئية، معايير التصميم الحضري، معايير تنسيق الواقع و تنظيم الحائق و معايير الفئات الخاصة ( كبار السن و المعاقين و الأطفال) و غيرها.

5. تفتقر المعايير إلى أساس نظري واضح في صياغتها و في كيفية تحديثها و تعديلها و تطويرها لمواكبة مستجدات المدن في القرن الحادي و العشرين.

6. وجود هوة واسعة ما بين المعايير التخطيطية الحالية من جانب و لوائح و نظم المبني (Building Codes ) من جانب آخر حيث تمت صياغة الأخيرة بمعزل عن الأولى و جاءت كلتيهما مستقلة عن الأخرى.

7. لم تصاغ المعايير الحالية كمنظومة مترابطة و متكاملة الأركان حيث لا ترتبط مع بعضها البعض .

كما تضمن التقرير مجموعة من المحددات المؤثرة على المعايير والتي من بينها المحدد الاقتصادي ، والمحدد الحضري الريفي ، والمحدد التقني والتكنولوجي ، والمحدد البيئي الذي حظي بأهمية متزايدة خلال السنوات الأخيرة على الصعيدين المحلي والعالمي وذلك لما يتضمنه من عوامل مؤثرة على الصحة العامة وتوفير المحيط الحيوي المناسب لتعزيز التنمية العمرانية المستدامة.

وأصبحت المعايير التخطيطية أداة فعالة يفترض إن تحاكي التغيرات البيئية في المناخ وتأكل التربة و ازدياد الرقعة الصحراوية والإخلال بأنظمة البيئة الطبيعية وما يصاحبها من تلوث في مصادر المياه وفي الهواء وفي المناطق الصناعية المحاذية للمناطق المأهولة بالسكان وكذلك التلوث السمعي والبصري في التجمعات الحضرية و انعكاساتها على الصحة البدنية والنفسية للسكان . إن توظيف معطيات البيئة الطبيعية توظيفاً إيجابياً يعد مسألة حيوية وتحظى

## **المحور الأول: تخطيط وتصميم المنشاءات في البيئة الصحراوية**

بدرجة عالية من الأهمية خاصة في إقليم التخطيطي فزان ، خاصة في تخطيط وتصميم تجمعات عمرانية جديدة وتحديث وتطوير القائم منها.

لقد لوحظ في اللائحة تخصيص وتوزيع استعمالات الأرضي المعمول بها خلاً وأضحاً في الأسس المتبعة في صياغتها بحيث أنها لا تتعرض إلى الاختلافات الجذرية الواضحة في المحيط البيئي بين الأقاليم التخطيطية التي تغطيها وتفترض تعرض هذه الأقاليم إلى نفس المؤثرات البيئية رغم تباينها والذي يعد افتراض غير واقعي لا يعكس الواقع الحال فمثلاً: المساحات المخصصة لمختلف الأنشطة الحضرية مفتوحة كانت أم مسقفة في أي إقليم تخططي هي واحدة بغض النظر عن الظروف الموضوعية لكل إقليم تخططي مثل تباين درجات الحرارة ونسبة الرطوبة ومعدل التشمس ونوعية التربة واتجاه وسرعة ونمط الرياح السائدة ونوعية مواد البناء ومقاومتها ومستويات العزل الحراري المرغوبة وطبيعة الغطاء النباتي القابل للنمو وغيرها، وعليه لا يمكن تحديد مساحات مفتوحة أو مغطاة وفق هذه الآلية أو المعيار الموحد لأقاليم التخطيطية لاختلاف الظروف الموضوعية المرتبطة بكل إقليم تخططي.

وتضمن التقرير الاعتماد على مجموعة من المبادئ الأساسية للمعايير المقترنة والمتمثلة في المرونة والواقعية والشمولية والتنوع ، والتكامل والانتظام ، ومراعاة اقتصadiات البناء والتسييد ، كما تضمن مجموعة من المحددات المؤثرة على التخطيط مثل المحدد الاقتصادي ، والمحدد الحضري والريفي ، والمحدد التقني والتكنولوجي ، والمحدد البيئي وهو المحدد الذي يتقاطع مع هذه الورقة حيث أشار إلى خلل واضح في الأسس المتبعة في صياغة لائحة وتوزيع استعمالات الأرضي المعمول بها ، بحيث أنها لا تتعرض إلى الاختلافات الجذرية الواضحة في المحيط البيئي بين الأقاليم التخطيطية التي تغطيها وتفترض تعرض هذه الأقاليم إلى نفس المؤثرات البيئية رغم تباينها ، والذي يعد افتراض غير واقعي لا يعكس الواقع الحال المتعلق بتباين درجات الحرارة ونسبة الرطوبة ومعدل التشمس ونوعية التربة واتجاه وسرعة ونمط الرياح السائدة ونوعية مواد البناء و مقاومتها ومستويات العزل الحراري المرغوبة وطبيعة الغطاء النباتي القابل للنمو وغيرها ، و يتضمن التقرير مجموعة العوامل التي يجب مراعاتها عند اختيار المنطقة السكنية والتي منها:

- إمكانية تزويد الموقع بالخدمات العامة.
- ميكانيكية التربة ومدى صلاحيتها للإنساء.
- خلو الموقع من العوائق المضرة بالإسكان .
- المسافة المناسبة بين موقع السكن وأماكن العمل.
- سهولة ربطها بمناطق الحدائق والملعب من خلال محاور الحركة.
- ملائمة ثمن الأرض أو تكلفتها لأنماط السكن المقترنة.
- قابلية الأرض للاستزراع لما يقام بها من تشجير ومسطحات خضراء وغيرها.
- مراعاة العوامل الجوية خاصة ما يتعلق بسرعة الرياح واتجاهاتها.
- سهولة تصريف المياه إلى داخل المنطقة السكنية وخارجها.
- تضاريس مناسبة تكفل التمدد المستقبلي.

## **5      المعالجات التخطيطية والمعمارية في المدن الصحراوية:**

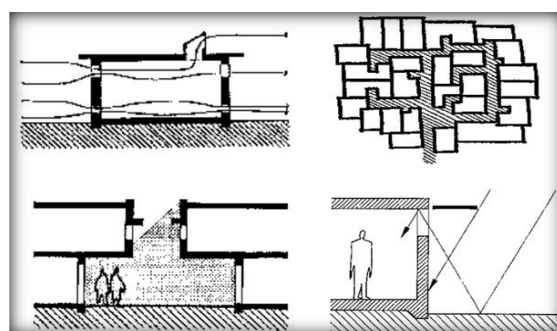
## المحور الأول: تخطيط وتصميم المنشاءات في البيئة الصحراوية

الصحراء من البيئات التي يصعب على الإنسان العيش فيها بسهولة ، ويتحتم عليه البحث عن أسباب البقاء فيها وأهمها توفر المياه ومصادر الكسب والأمان ، ومن ثم تكيف العمارة لاستجابة للظروف البيئية التي تميز الصحراء عن غيرها ، وفي هذا الشأن يحدد الدكتور حمزة الخازمي والدكتور فوزي عقيل في بحث لهما عن الاستدامة في العمارة الصحراوية [11] أن المناطق الصحراوية لا يمكن للإنسان العيش فيها إلا من خلال ابتكار وتطوير حلول ومعالجات تعمل على الحد من تأثير المناخ وتجعل من المناطق الصحراوية أماكن يمكن العيش فيها ومن ذلك المعالجات ما يلي:

- استخدام النسيج العمراني المتضام (compact) مما يقلل من الكسب الحراري .
- استخدام شبكة الشوارع غير المستقيمة والضيقة والمغطاة للعمل على كسر وتقليل سرعة الرياح.
- استخدام النظام العمودي متعدد الطوابق (multi floor) للمساعدة على مقاومة وتقليل الكسب الحراري
- استخدام مواد بناء ذات مقاومة حرارية عالية.
- استخدام أنظمة تهوية طبيعية تعتمد على الأفنية الداخلية (courts) ما بين الوحدات السكنية وفتحات التهوية العلوية في الأسقف.
- تقليل حجم الفتحات الخارجية في المبني.

كما يتمثل التأثير الواضح للعوامل المناخية على النسيج الحضري والعمارة في تلك المدن في العديد من التطبيقات التي تخفف من شدة تلك العوامل ذكرتها الباحثة فائزه العنای [8] ما يلي :

- الحوائط العريضة إذ يصل عرضها إلى ما يزيد عن 50 سم وهي مبنية من مادة تبدو بسيطة التوصيل للحرارة.
- السقف كما يتضح في تفصيل السقف المرتفع للتهوية وقلة النوافذ وصغرها.
- ضيق الشوارع وقرب الحوائط بعضها من بعض وجود المظلات والأقواس أحياناً أدى إلى وفرة الظل في الشوارع لوقاية المشاة من ضربة الشمس .
- تجاور المساكن وقربها من بعض في المدينة والشكل المخروطي للزرائب في المزارع أدى إلى التقليل من تأثير الرياح .
- تفضيل التوجيه إلى الاتجاه البحري لحصول المبني على أكبر قدر من الهواء البحري البارد ولتحاشى رياح القبافي .



## المحور الأول: تخطيط وتصميم المنشاءات في البيئة الصحراوية

الشكل (2) نماذج من المعالجات التخطيطية والمعمارية

وتضيف إليها الباحثان بلغيفي نوال وسهام قوت في بحثهما عن بعد الإيكولوجي في التخطيط العمراني بالمدينة الصحراوية [13]، أسلوباً استخدم في واحة تمراست بالجزائر يتمثل في تغطية واجهة المبنى بطبقة من البياض (وهو عبارة عن كتل من عجينة الطين)، فتلقى الكتل بالظلال على الحائط، وبذلك يكون جزء كبير من السطح مغطى بالظلال، مما يحقق عزل أكبر.

كما يعدد المهندس محمد حمودة في بحث له عن العوامل المناخية وتأثيرها على الفراغات في المناطق الحارة الصحراوية [14] عدد من الطرق لمعالجة الفراغات بالمدن الصحراوية مثل المعالجة الحرارية والتحكم في الإشعاع الشمسي من خلال تشكيل وتوجيه وتظليل الفراغ ومعالجة درجة الرطوبة واستخدام الأشجار والنباتات والينابيع والبرك والتبطيط الخاص والتكتونيات الفنية والمظللات والمقاعد والشوارع ممرات المشاة المتعرجة وتسقيف الشوارع والممرات وبروز الواجهات.

من ذلك تولى سكان تلك المناطق تشييد المدن وتجمعات حضرية ذات نسيج حضري ومباني تتماشي مع خصائص المناخ الصحراوي واستطاعوا من خلالها ممارسة حياتهم بكل أنشطتها ضمن تلك المباني والفراغات.

وحدد كل من الدكتورة شرق الوكيل والدكتور محمد سراج في كتابهما المناخ وعمارة المناطق الحارة [15] عدد من التوصيات بشأن التخطيط والتصميم في المناطق الحارة منها استخدام التخطيط المتضام (compact) لتوفير أكبر قدر من الظلال، ومراعاة عدم المبالغة في اتساع الفراغات الخارجية، وتفضيل الفراغات الصغيرة المتكررة عن الفضاء الكبير الواحد، وجعل ممرات المشاة أقصر ما يمكن وتضييقها وتظليلها أما بالبيواك أو الأشجار، واستخدام المسطحات الخضراء والمائية، بالإضافة إلى عدد من التوصيات المتعلقة بتصميم المباني وتوجيهها وتنفيذها.

وفي مدينة غدامس الليبية وجدت محاولة حديثة لإنشاء حي سكنى حديث وفقاً لمجموعة من أسس التصميم المستوحاة من المدينة القديمة، ولكن يبدوا أن النتائج لم تكن مرضية، ففي دراسة لكل من الدكتور وليد فرييوان وعبد السلام الشيبدين تختص بالموضوع ونشرت عام 2019م [17] قاما فيها بالمقارنة بين التخطيط التقليدي والتخطيط المعاصر بحي "توكاش" بالمدينة، واثبنا فيها أن التخطيط الحديث للشوارع لم يحقق الراحة الحرارية للسكان بالرغم من محاولة اقتباس بعض المعالجات المستخدمة في المدينة القديمة، ويوصون باستخدام مواد البناء المحلية والعمل على وضع معايير تخطيطية بيئية تتناسب مع البيئة العمرانية المحلية.

## 6 الاستدامة في المدن الصحراوية:

### 6-1 التحديات التي تواجه المدن الصحراوية:

تذكر كل من الباحثة يسرى حمرة والدكتورة حكيمة حليمي في بحثهما عن تهيئة المدن الصحراوية وفق أبعاد التنمية المستدامة [12] عدد من التحديات التي تواجه المدن الصحراوية وهي:

## **المحور الأول: تخطيط وتصميم المنشاءات في البيئة الصحراوية**

- الجفاف وندرة مياه الأمطار، وندرة الغطاء النباتي.
- مناخ شديد الحرارة.
- تباين واختلاف في درجات الحرارة.
- مشكل التربة وندرة الغطاء النباتي.
- حركة الرياح والعواصف الترابية.
- مشكلة التلوث.

### **6-2 الاستدامة الحضرية ضمن المناطق الصحراوية:**

وفق تعريف الأمم المتحدة فإن التنمية المستدامة هي التنمية التي تلبي حاجيات الأجيال الحالية دون المساس بحق الأجيال القادمة التنمية، وينبغي لأي برنامج تنموية أن تبني هذا المفهوم وتعمل على تحقيق الأهداف المرتبطة به، وينطبق ذلك على التنمية الحضرية التي تستهدف المدن بشكل عام والمدن الصحراوية بشكل خاص بهذه الورقة، ويرى كثير من المتخصصين أن هناك ارتباط بين التنمية المستدامة والعمان الصحراوي التقليدي، ويتجسد ذلك في البعد البيئي من حيث الكفاءة وديمومة مواد البناء المستخدمة وفي البعد الاجتماعي من حيث توفير الجو الاجتماعي الإيجابي والشعور بالراحة والخصوصية والأمان، وبعد الاقتصادي من حيث تقليص حجم الطلب على الطاقة وفعالية قضاء الحاجيات اليومية [12].

ومن أجل تحقيق الاستدامة في المدن الصحراوية يعدد كل من حبيب الشويخات ودانجوما في ورقة لهما عام 2002م [10]، مجموعة من الأهداف التي ينبغي أن تركز عليها المخططات الحضرية والتي منها :

- دمج الخدمات من خلال التوصيل الدقيق لاستعمالات الأراضي المختلفة بواسطة دمج ممرات الأحزمة الخضراء.
- تشجيع الارتفاع العمودي عبر توظيف الهياكل المتوسطة والعالية الارتفاع في المناطق المركزية.
- تقديم مجاورات سكنية ذات غطاء نباتي واسع وبناء منخفض الكثافة في أكبر قدر من مساحة المدينة.
- توجيه المباني بشكل يتنقق مع الاعتبارات المناخية لا سيما الرياح، واستخدام نظام الأفنيه.
- اعتماد مواد البناء المحلية، والتدقيق الوثيق قبل استخدام أي بديل.
- تصور التنمية الصناعية لتشكل جزء لا يتجزأ من البنية التحتية للمدينة على مسافة سير بالأقدام من 30 إلى 45 دقيقة أو ما يعادلها.
- زراعة الأشجار في الوحدات السكنية والمناطق العامة الأخرى، بدعم من نظام الري المناسب.

### **7 النتائج ولتوصيات :**

تشكل البيئة الطبيعية الصحراوية الحصة الأكبر من مساحة ليبيا وبنسبة تزيد عن 90% من مساحة البلاد، ووسط هذه البيئة استقر الإنسان في مختلف مناطق الصحراء منذ آلاف السنين، وتدل على ذلك المدن القديمة والأثرية التي

## **المحور الأول: تخطيط وتصميم المنشاءات في البيئة الصحراوية**

لا تزال قائمة حتى يومنا هذا شاهدا على نجاح سكانها في التعامل مع شدة الظروف البيئية الصحراوية القاسية ، حيث استطاعوا التوصل إلى بلورة مجموعة من التطبيقات على العمارة والعمران ، مما مكّنهم من الحياة في تلك المدن وممارسة كافة أنشطة حياتهم بكفاءة ، أما في العصر الحديث فإننا نلاحظ في اغلب الأحيان أن المدن الصحراوية تظهر بخططها وأنسجتها الحضرية عجزاً في تحقيق التوافق والتلاؤم مع هذه البيئة ، وذلك للعديد من الأسباب التي تتعلق بالعمارة والتخطيط ، مما جعل كثير من الباحثين والمهتمين يوجهون اهتمامهم لكشف تلك الأسباب واقتراح المسارات المستدامة التي ينبغي أن يتبعها العمران في المدن الصحراوية.

ولقد أعدت السلطات الليبية في العصر الحديث المخططات الحضرية لكافّة المدن في مختلف أنحاء البلاد والتي منها المدن الصحراوية ، وكانت أهم البرامج الوطنية التي أنتجت فيها تلك المخططات هي الجيل الأول للمخططات (1968-1988) ، والجيل الثاني للمخططات (1980-2000) ، والجيل الثالث للمخططات (2005-2025) ، وصاحب تلك الأجيال إصدار قوانين التخطيط العمراني ولوائح استعمالات وتصنيف المناطق ولوائح البناء ، ومعايير التخطيط الطبيعي ، ولم اعثر أثناء هذه الدراسة على مخططات حضرية او لوائح بناء أو معايير تختص بالبيئة الصحراوية ، باستثناء بعض المحاولات التي استهدفت إقامة مشروعات إسكانية ذات خصائص متميزة ، وكذلك التوجّه نحو تقسيم البلاد إلى أقاليم ايكولوجية ضمن وثائق مشروع الجيل الثالث للمخططات ، بهدف توجيه سياسات التخطيط العمراني نحو الخصائص البيئية بكل إقليم ايكولوجي .

وقد نصت قوانين التخطيط العمراني الصادرة على أن تصدر لائحة تحدد استعمالات كل منطقة والشروط الواجب توفرها بالنسبة للأراضي والمباني ، والشروط العامة الواجب توفرها في قطع التقسيم من حيث المساحات وارتفاعات المباني وخطوط التنظيم بقرار من المجلس البلدي ، وعلى أن يتولى المجلس البلدي إصدار لائحة للمباني تحدد الشروط الواجب توافرها في المباني من الناحية الفنية أو الصحية .

وبعد الاطلاع على آخر إصدارات لائحة استعمال وتصنيف المناطق ، نجد أنها لم تفرق بين الاشتراطات الفنية التخطيطية وفقاً لاختلاف الخصائص البيئية المختلفة في البلاد ، ولكن المادة (3) من اللائحة في فقرتها الرابعة تجيز للجنة تخطيط المدن وتنظيم المباني اشتراط آية شروط أخرى متعلقة باستعمالات الأرضي في إطار توصيات المخطط العام والاهداء بالمعايير التخطيطية المعتمدة ، وينطبق هذا الاستنتاج على لائحة تقسيم الأرضي التي لم تتضمن اشتراطات محددة بالمناطق الصحراوية ، وأنّاطت ذلك بالمخطط العام المعتمد وما يتضمنه من استعمالات واحتياطات ، بينما منع القانون (3) لسنة 2001 بشأن التخطيط العمراني الأفراد من إجراء تقسيمات على الأرضي المعدة للبناء وفقاً لنص المادة (22) من القانون.

وقد صدرت معايير التخطيط الطبيعي في ليبيا بشكل معدل لاستعمال في كل أنحاء البلاد من أجل العمل على تحسين مستوى معيشة السكان ، وتقدير الاحتياج من الأرضي للأغراض الحضرية ، وتقليل الفروق غير المقبولة في مستوى معايير الإسكان والمرافق الأساسية داخل البلاد ، وتزويد المواطنين بالمرافق الأساسية والخدمات على مستوى متساوي في جميع أنحاء البلاد.

ولكنها لم تغط عدد من الأنشطة الحيوية مثل تنسيق الموقع والتصميم الحضري والجانب البيئي وغيرها ، ولم تراع الاختلافات في الأقاليم التخطيطية والمتطلبات الوظيفية والتصميمية لكل منها ، وتم تقديم مسودة معايير التخطيط

## **المحور الأول: تخطيط وتصميم المنشاءات في البيئة الصحراوية**

الطبيعي للجبل الثالث عبر أربعة تقارير تغطي الأقاليم التخطيطية الأربع، ولم تتضمن المعايير المقدمة أية انعكاسات مباشرة أو إشارة صريحة إلى تقسيمات مناخية معينة أو اختلافات في المعايير الجديدة المقترنة بين المناطق والمدن باستثناء بعض الإشارات بإقليم الخليج التخطيطي وإقليم فزان التخطيطي والتي نجملها في الآتي:

- عزل المنطقة الترفيهية عما يجاورها بأسوار أو أشجار أو مصادر رياح إذا تم إنشاؤها داخل المدن أو التجمعات السكانية.
- اشتغال حدائق المدن على بنبابع وشلالات المياه والبحيرات الصناعية.
- أن تحقق المنتزهات الاستدامة في المحافظة على الموارد البيئية.
- تنفيذ المعايير البيئية الواردة بالقوانين والقرارات المتعلقة بالحماية والعناية بالبيئة وتطبيقاتها على المستوى المحلي.

و تضمن تقرير إقليم فزان التخطيطي مجموعة من المحددات المؤثرة على المعايير والتي من بينها المحدد الاقتصادي ، والمحدد الحضري الريفي ، والمحدد التقني والتكنولوجي ، والمحدد البيئي الذي حظي بأهمية متزايدة خلال السنوات الأخيرة على الصعيدين المحلي والعالمي ، ويوصى بتوظيف معطيات البيئة الطبيعية توظيفاً إيجابياً خاصة في إقليم فزان التخطيطي، عند تخطيط وتصميم تجمعات عمرانية جديدة وتحديث وتطوير القائم منها ، وتضمن التقرير الاعتماد على مجموعة من المبادئ الأساسية مثل المرونة والواقعية، والشمولية والتوع ، والتكامل والانتظام ، ومراعاة اقتصاديات البناء والتشييد ، كما يتضمن التقرير مجموعة العوامل التي يجب مراعاتها عند اختيار المنطقة السكنية والتي منها إمكانية تزويد الموقع بالخدمات العامة، وميكانيكية التربة ومدى صلاحتها للإنشاء، وخلو الموقع من العوائق المضرة بالإسكان، والمسافة المناسبة بين موقع السكن وأماكن العمل ، وسهولة ربطها بمناطق الحدائق والملعب من خلال محاور الحركة ، وقابلية الأرض للاسترراع لما يقام بها من تشجير ومسطحات خضراء وغيرها ، ومراعاة العوامل الجوية ، وسهولة تصريف المياه إلى داخل المنطقة السكنية وخارجها ، والتضاريس المناسبة.

وقد استحدثت عبر السنين العديد من المعالجات التخطيطية والمعمارية في المدن الصحراوية بهدف الحد من تأثير المناخ القاسي وجعل المناطق الصحراوية أماكن يمكن العيش ، وتولى كثر من الباحثين والمتخصصين تناول تلك المعالجات ودراسة تأثيرها على الحياة البشرية ، ثم أتت الأصوات التي تنادي بتطبيق والاستدامة والبحث عن صيغة توافقية بين تنمية المدن الصحراوية و أبعاد التنمية المستدامة ، وتأسисاً على ما سبق يمكن بلورة مجموعة من المعالجات للتخطيط والعمارة في المناطق الصحراوية تتحترم الخصوصية المكانية وتدعم الاستدامة الحضرية على النحو التالي:

### **معالجات في التخطيط:**

- استخدام النسيج العمراني المتضام (compact).
- استخدام شبكة الشوارع غير المستقيمة والضيقه والمعطاء.
- تفضيل توجيه الشوارع من الشمال إلى الجنوب.
- جعل ممرات المشاة أقصر ما يمكن وتضييقها وتظليلها إما بالبواكي أو الأشجار.

## **المحور الأول: تخطيط وتصميم المنشاءات في البيئة الصحراوية**

- مراعاة عدم المبالغة في اتساع الفراغات الخارجية ، مع تفضيل الفراغات الصغيرة المتكررة عن الفضاء الكبير الواحد.
  - إدماج غطاء نباتي واسع عند وضع مخططات الأحياء والمجاورات السكنية ، واقتراح زراعة الأشجار في الوحدات السكنية والمناطق العامة الأخرى .
  - استخدام نظام البناء العمودي متعدد الطوابق (multi floor) .
  - دمج الخدمات المختلفة ضمن مراكز محددة واستخدام ممرات الأحزمة الخضراء.
  - جعل ممرات المشاة أقصر ما يمكن وتضييقها وتظليلها إما بالبواكي أو الأشجار.
  - استخدام المسطحات المائية والنباتات والينابيع والبرك والتبطيط الخاص والتكتونيات الفنية والمظلات.
- معالجات في العمارة:**

- توجيه المبني بشكل يتفق مع الاعتبارات المناخية لا سيما الرياح ، واستخدام نظام الأفنيه.
- اعتماد مواد البناء المحلية ، خصوصاً مواد البناء ذات المقاومة الحرارية العالية ، والتدقيق الوثيق قبل استخدام أي بديل.
- استخدام الأسفف المزدوجة.
- تقليل حجم الفتحات الخارجية في المبني.
- استخدام أنظمة تهوية طبيعية تعتمد على الأفنيه الداخلية (courts).
- استخدام كاسرات الشمس الأفقية والرأسمية والمشربيات لمنع وصول أشعة الشمس إلى الداخل.
- تقليل مساحات الواجهات الخارجية المعرضة للحرارة الخارجية.
- أهمية استخدام الأشجار والشجيرات بجانب المبني وفقاً لمناطق التعرض لأشعة الشمس.
- بروز واجهات المبني.
- استعمال الألوان الفاتحة لدهان الأسطح والجدران الداخلية والخارجية

### **وأخيراً نصل إلى وضع مجموعة من التوصيات :**

- التأكيد على أهميةأخذ الاعتبارات المتعلقة بالطبيعة والبيئة والاستدامة عند تحديث أو إصلاح أو إصدار أية تشريعات عمرانية في المستقبل.
- الانتقال من العمل بلائحة استعمال وتصنيف المناطق الموحدة إلى لوائح استعمال وتصنيف المناطق تصدر على مستوى الأقاليم الإيكولوجية ذات الخصائص الواحدة.
- ضرورة التعاون بين كل من مؤسسة التخطيط العمراني والجامعات ومراكز البحث و السلطات المحلية في كل المدن الصحراوية من أجل الوصول إلى الصيغة المناسبة من معايير التخطيط الطبيعي ولوائح استعمالات الأراضي ولوائح البناء.

## **المحور الأول: تخطيط وتصميم المنشاءات في البيئة الصحراوية**

- الاستفادة من مسودة معايير التخطيط الطبيعي المعدة عام 2008 لإقليم فزان التخططي بمشروع الجيل الثالث للمخططات والعمل على تطويرها وفقا لمجموعة المعالجات الواردة في هذه الورقة أو غيرها.

### **8 المراجع :**

- 1- التقرير رقم (2) دليل معايير التخطيط العمراني ,لجنة تقييم الدراسات الخاصة بالمخططات الإقليمية والمحلية،أمانة اللجنة الشعبية العامة للمرافق،1981.
- 2- الخطوط الإرشادية التخطيطية لمشروع مخططات الجيل الثالث بإقليم طرابلس التخططيي ,مصلحة التخطيط العمراني ,المكتب الوطني الاستشاري ,2009م.
- 3- تقرير معايير التخطيط والتربية لإقليم بنغازي التخططيي مصلحة التخطيط العمراني , مصلحة التخطيط العمراني , مكتب العمارة للاستشارات الهندسية ,2008.
- 4- تقرير معايير التخطيط المقترحة للإقليمين الفرعين التخططييين الواحات والكفرة , مصلحة التخطيط العمراني , مكتب الجامعة للاستشارات الهندسية ,2008.
- 5- دكتور عبد العزيز طريح شرف , جغرافية ليبيا , توزيع منشأة المعرف بالإسكندرية ,طبعة الثانية 1971م.
- 6- د. الهادي مصطفى أبو لقمة , د. سعد خليل القزيري , الجماهيرية دراسة في الجغرافيا , الدار الجماهيرية للنشر والتوزيع والإعلان , الطبعة الأولى 1995م.
- 7- أ. محمد عبد السلام عمار الفيتوري , مذكرة في جغرافية ليبيا , كلية العلوم والأداب- قسم الجغرافيا- الأبيار فائزه احمد الغنائى , مبانى مدينة مرزق القديمة الصحراوية , مدونة الميراث , 13/02/2010م.
- 8- على الميلودي عمورة , ليبيا نطور المدن والتخطيط الحضري , دار الملتقي للطباعة والنشر , الطبعة الأولى 1998م.
- 9- HabibAlshuwaikhat and DanjumaNkwenti , Developing Sustainable Cities in Arid Regions,2002.
- دكتور. حمزة محمد أبو بكر الخازمى د. فوزي محمد عقيل , دراسة وتحليل المعالجات المعمارية المستخدمة لتنقیل الكسب الحراري في المناطق الصحراوية - دراسة حالة مدينة غدامس , المؤتمر الهندسي الثاني لقبة المهن الهندسية بالزاوية 2019م.
- 10- حمرة يسري د. حليمي حكيمة , تهيئة المدن الصحراوية وفق أبعاد التنمية المستدامة - المدينة الجديدة (حاسي مسعود ، الجزائر ) أنموذجا, مجلة البحث والدراسات التجارية مجلد 05 عدد 01 - مارس 2021.
- 11- بلغليفى نوال , سهام قوت , البعد الايكولوجي في التخطيط العمراني بالمدينة الصحراوية 'مجلة العلوم الإنسانية والاجتماعية , المجلد 7 , العدد 22 , 2015 .

## **المحور الأول: تخطيط وتصميم المنشاءات في البيئة الصحراوية**

---

- 12-مهندس / محمود محمد حمودة ، العوامل المناخية وتأثيرها على الفراغات في المناطق الحارة الصحراوية ، مجلة جمعية المهندسين المصرية ، المجلد 58، العدد الأول ، 2019م.
- 13-د. م. شفق العوضي الوكيل ، د . م. محمد عبد الله سراج، المناخ وعمارة المناطق الحارة ، عالم الكتب ، الطبعة الثالثة 1989م.
- 14- مصلحة التخطيط العمراني ، السياسة المكانية الوطنية (2006-2030) ، 2008م.
- 15- وليد عبد السلام فريوان ، عبد السلام محمد الرشيد ، تحقيق خصائص التصميم البيئي في المدن الصحراوية المعاصرة مقارنة بين تخطيط الشوارع (الأزقة) بمدينة غدامس القديمة والحديثة ، مجلة العلوم البحثية والتطبيقية ، 2019م.
- 16- تحديث دليل معايير التخطيطي العمراني ضمن الجيل الثالث للمخططات ، مصلحة التخطيط العمراني ، المكتب الاستشاري الهندسي للمرافق ، 2008.

# المحور الأول: تخطيط وتصميم المنشاءات في البيئة الصحراوية

## تأثير الظروف المناخية على تخطيط المدن الصحراوية في إطار التنمية المستدامة "مدينة غات حالة دراسية"

م. عيسى احمد اللافي <sup>3</sup>	أ. عبدالسلام محمد الرشيد <sup>2</sup>	د. وليد عبدالسلام فريوان <sup>1</sup>
طالب مرحلة درسات العليا / جامعة المرقب	كلية التقنية الهندسية - مسلاته	المعهد العالي للعلوم والتقنية- الخمس
E-mail		E-mail
eng_alrachidy@yahoo.com		waledfree79@gmail.com

### ملخص

تهدف هذه الورقة الى دراسة العناصر المناخية المؤثرة على التخطيط العمراني لمدينة غات(القديم والحديث)، ومدى تأثيرها عليه، حيث أن المدينة القديمة تعتبر مثال يحتذى به في كيفية التفاعل بين تخطيط الشارع والازقة، وتصميم المباني مع ساكنيها، ومدى مراعاتها للظروف المكانية المناخية القاسية أثناء تتنفيذها في تلك الفترة، ومن جانب اخر فإن التخطيط الحديث للمدينة، واختيار نوع مواد البناء، وتصميم المباني لم يأخذ في الحسبان هذه الظروف المناخية القاسية مما أثره سلباً على الراحة الحرارية لساكنيها، مما جعل الزاماً حل هذه المشكلة الاستعanaة بالوسائل الميكانيكية، وتكمn أهمية الدراسة في تسليط الضوء على تخطيط المدينة القديم ومعالجته المعمارية في مقاومة الظروف المناخية الصحراوية، ويحاول الباحث التركيز على العلاقة بين التخطيط العمراني في المناطق الحارة الجافة و المناخ المحيط بها، وكيف تم التعامل معه قيماً ومدى تحقيقه لمتطلبات التنمية المستدامة للخروج بنقاط توضع كأسس أو معايير بيئية تخطيطية تصميمية للمدن الصحراوية بشكل عام ومدينة غات بشكل خاص.

لذلك فقد تطرقنا لهذا الموضوع للحصول على بيئة عمرانية مكيفة طبيعياً، وللوصل لذلك سوف نتبع في هذا البحث (المنهج التاريخي، والمنهج الوصفي التحليلي، والمنهج المقارن).

الكلمات المفتاحية:- ( مدينة غات - العناصر المناخية - التخطيط العمراني "الحديث والقديم" - المناطق الحارة الجافة ) .

### المقدمة :

على مر السنين عاشت أجيالاً متعاقبة في المناطق الحارة الجافة خاصة في شمال إفريقيا، والجزيرة العربية، هذه الأجيال هيأت اساليباً، ومعالجات في البناء، والتخطيط للتقليل من تأثير المناخ الصحراوي المتطرف، وتتجه إلى حد كبير في التأقلم مع المناخ الحارة الجاف، أن العيش في المناطق الصحراوية ذات المناخ القاسي تعتبر من بين أصعب البيئات المناخية التي تتعكس سلباً على الإنسان، نظراً لأنها تحد من أنشطته اليومية، وبالتالي تؤثر سالباً على أداءه، وإنتاجه ولجعل هذه البيئة أكثر ملائمة للعيش فيها كان لابد من اللجوء إلى ابتكار وتطوير حلول معمارية.

### مشكلة البحث:

لتحديد مشكلة الدراسة علينا أولاً الإجابة على بعض الأسئلة التي من شأنها تحديد المشكلة :

هل التخطيط العمراني الحديث لمدينة غات يتماشى مع الظروف المناخية السائدة في المنطقة مقارنة بالتخطيط العمراني القديم؟ وهل أخذت الظروف المناخية في الاعتبار من الناحية التخطيطية لمدينة غات؟

## **المحور الأول: تخطيط وتصميم المنشاءات في البيئة الصحراوية**

### **فرضيات البحث:**

- 1 - إن تخطيط مدينة غات القديمة كان نتيجة تأثيرات في البيئة المحيطة، والظروف المناخية الصحراوية.
- 2 - لم يراعي التخطيط العمراني الحديث لمدينة غات الظروف المناخية مقارنة بالتخطيط القديم.
- 3 - إن محاولة إعطاء مدينة غات وجها حضاريا تشبه في تخطيطها المدن العصرية، فقد تم التخطيط العمراني الحديث فيه بوضع لا يتلاءم مع الظروف المناخية المحيطة.

### **أهمية البحث:**

- 1 - يمكن الاستفادة من هذا الموضوع في عمليات التخطيط العمراني مستقبلاً سواء على مستوى المدينة في إقامة المباني الحديثة، أو على مستوى إقليمي عند التخطيط لأقامته ذات ظروف مناخية مشابهة .
- 2 - يعتبر التخطيط القديم لمدينة غات نموذجاً للمدن المحافظة بنسجها المعماري، الذي يعكس الحياة الاجتماعية للسكان، ومعالجتهم المعمارية في مقاومة الظروف المناخية الصحراوية.

### **أهداف البحث:**

- 1 - معرفة مدى ملائمة تخطيط مدينة غات (القديم والحديث) للظروف المناخية الصحراوية.
- 2 - معرفة العوامل المناخية المؤثرة من خلال تحليل عناصر المناخ، ومدى تأثير البيئة الصحراوية على التخطيط العمراني.

### **منهج البحث :**

(المنهج التاريخي – المنهج الوصفي التحليلي – المنهج المقارن).

### **حدود البحث :**

الحدود الجغرافية (مدينة غات)

### **الدراسات السابقة :**

- 1 - دراسة مركز البحوث الصناعية (دراسة التنمية المكانية لشعبية غات ) سنة 2006، وتناولت التكوينات الجيولوجية للمنطقة بشكل مفصل، وكذلك مظاهر السطح والسكان وأنشطتهم الاقتصادية، تم تناول المركز الحضري في الشعبية ومستوى الخدمات فيها، وأفاق قيام صناعة مختلفة على المواد الخام المتوفرة في هذه المنطقة [1].
- 2 - مقالة الدكتور الهادي أبو لقمة والدكتور منصور البابور التي نشرتها في عام ( 1991)ف، تحت عنوان (غدامس و غات تؤاماً الصحراء) حيث تعرض الباحثان لدراسة تطور ونمو هاتين المدينتين و درساً مورفولوجية المدينتين والتركيب الداخلي لهما وطراز العمارة، وعاداتها الاجتماعية، وتوصلاً إلى أن كل هذا يدلنا على ملائمة جيدة وتناسب منطقي مع بيئه الصحراء القاسية من ناحية، ملائمة حضرية من خلال استمرارية نموذج المدينة الإسلامية التقليدية من ناحية أخرى . كما أكد الباحثان بأن المخطط العصري الحديث الذي فرض على مدينة غات، هو بلاشك

## المحور الأول: تخطيط وتصميم المنشاءات في البيئة الصحراوية

عمل تخطيطي تقصه حكمة من قام بإنشاء هذه المراكز العمرانية القديمة، كما ينقصه الإطار الشمولي الذي ينظر للإنسان وأعماله من خلال علاقته مع بيئته [2].

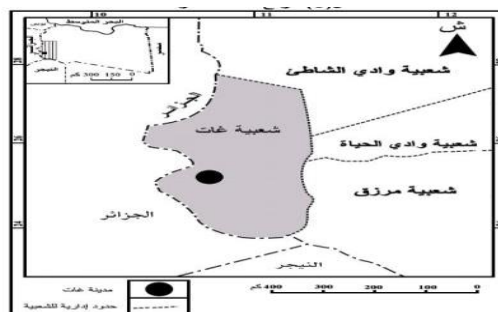
3 - في سنة 1970 ف قامت شركة (WHITNG ASSOCIATES INTERNATIONAL) بأعداد مخطط عام لمدينة غات يشمل استعمالات الأراضي حتى سنة 1988 ،اشتمل التقرير على معلومات عن اتجاهات التطوير العمراني بالمدينة ومتطلباته حتى سنة 1988[1]، كما احتوى على خرائط تبين استخدام الأرضي خلال سنوات التخطيط، وخرج بتوصيات عامة تتعلق بمراحل التطور العمراني السكنى وبرامج التحسينات العامة، ونشاط التخطيط اللاحق في المدينة، والحفاظ على الطابع المعماري في المدينة القديمة [3].

### التعريف بموقع مدينة غات :

تقع مدينة غات في الجنوب الغربي من ليبيا ممثلة الحلقة الشمالية الأخيرة من مجموعة الواحات المنتشرة في الصحراء الكبرى، حيث أعطى الموقع أهمية كبيرة للمدينة منذ القدم . فهي تقع إلى الجنوب الغربي من سبها، ومرزق، وتبعد عن الأولى بمسافة 570 كم، وعن الثانية بمسافة 450 كم، كما تبعد عن طرابلس بـ 1360 كم [4].

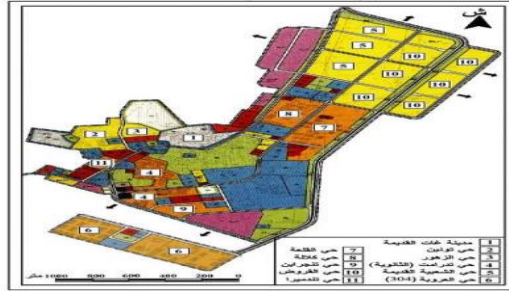
وهناك تباين ملحوظ في موضع المدينة ما بين القديمة والحديثة، إذ أن المدينة القديمة تقع ضمن منطقة مرتفعة على سفح جبل كوكمن، حيث تمتد البقعة التي نشأت عليها المدينة في اتجاه شمال شرق الواحة، وعمل أهالي المدينة على إحاطتها من باقي الاتجاهات بمزارع التخيل، لتعمل كمصدات للرياح المحملة بالأثيرية والتي تهب عادة من الجهة الجنوبية الغربية [1].

أما المدينة الحديثة فتقع على ارتفاع (640 متر) عن مستوى سطح البحر وبالتالي فهي تتحفظ عن سابقتها بنحو (30 متراً) ، وقد أنشأت على أرض منخفضة تمتد من شمال الشمال الغربي إلى جنوب الجنوب الغربي ، ويحدها من ناحية الشمال المدينة القديمة والسبخة، ومن الجهة الشرقية تحدها الكثبان الرملية ووادي تنزوفت، والأراضي الزراعية من الجهتين الغربية والشمالية الغربية، وقد كان لتغير طوبغرافية موضع المدينة من المرتفع إلى المنخفض وما أعقبه من تغير في مورفولوجيتها تأثير في تباين الظروف المناخية المؤثرة في المدينة [5].

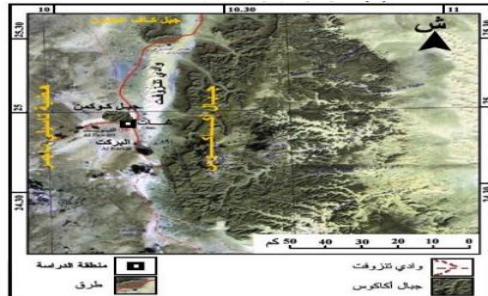


شكل (1) موقع مدينة غات القديمة [6]

## المحور الأول: تخطيط وتصميم المنشاءات في البيئة الصحراوية



شكل (2) خريطة توضح أحياء مدينة غات [7]



شكل(3) الظواهر الطبيعية لمدينة غات [8]

### بعض التعريفات الهامة :

- 1 - العوامل المناخية:- هي مجموعة العناصر المناخية التي تفرض على مخططى المدن إتباع نمط معين من التخطيط للتخفيف من أثر هذه العناصر على السكان، بما يضمن توفير الحدود الدنيا من الراحة الحرارية لهؤلاء السكان ضمن حدود المدينة [9] .
- 2 - التخطيط المتضامن:- يقصد بالتخطيط المتضامن هو تقارب مباني المدينة بعضها من بعض بحيث تتكتل وتتراس مبانيها لمنع تعرض واجهاتها للعوامل الجوية [10] .
- 3 - الفناء الداخلي:- هو عبارة عن مساحة مكشوفة تترك في وسط مسطح المبنى لإضاءة وتهوية وحدات المبنى الداخلية، وقد يكون الفناء محاطاً بوحدات المبنى من أربعة جوانب (فناء مغلق)، أو من ثلاثة جوانب أو جانبين (فناء مفتوح) [11] .
- 4 - التخطيط العمراني:- وهو مجموعة متكاملة من الإجراءات الاجتماعية والاقتصادية، الصحية الوقائية، التكنيكية الإنسانية والمعمارية، التي يكون الغرض منها تكوين الهيكل التخطيطي الأمثل للمدينة [12] .
- 5 - المناخ التطبيقي:- هو العلم الذي يهتم بدراسة مدى تأثير مختلف العناصر المناخية على جوانب البيئة البشرية المختلفة (مناخ زراعي، صناعي، تجاري سياحي...الخ)، بما في ذلك الإنسان ذاته من حيث لباسه وطعامه، وسكنه وحركاته [13] .
- 6 - مورفولوجية (شكل) المدينة:- ويقصد بها شكل المدينة، وتركيبها، ومظهرها الخارجي، ونسيجها الحضري وترتيب المباني فيها، والنمط الذي تأخذه، و كذلك استخدامات الأرض فيها [14] .

## المحور الأول: تخطيط وتصميم المنشاءات في البيئة الصحراوية

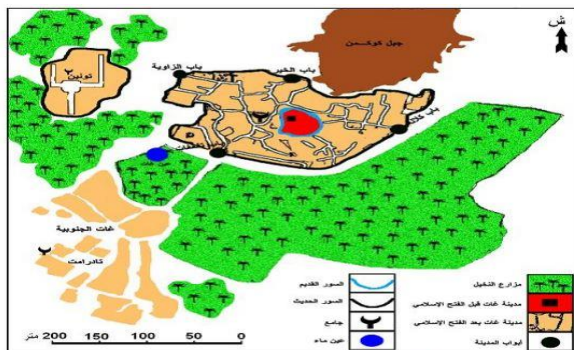
**المجاورة السكنية:-** هي ضاحية من ضواحي المدينة، تحدّها من الخارج شوارع رئيسية، وبالداخل شبكة طرق فرعية توفر الراحة والهدوء، وتضم مؤسسات تعليمية تقع في المنطقة المركزية لها، ويقع بالقرب منها بعض المباني العامة، ومجموعة من المحلات التجارية، ومركز اجتماعي، وحديقة عامة، وملعب رياضي [15].

## مراحل التخطيط العمراني لمدينة غات:

1 - المرحلة القدیمة:

بدأت هذه المرحلة منذ نشأة المدينة وامتدت إلى فترة الفتح الإسلامي ثم الحكم العثماني من بعده، حيث يرى المؤرخون أن الجزء القديم من المدينة الذي يتكون من قلعة (تعرفت) وبعض البيوت المحيطة بها والتي تعرف بـ (أغنم وشرن) قد تم بناؤه في الفترة التي سبقت انتشار الإسلام في المناطق الصحراوية، ويستدل على ذلك من وجود المسجد العتيق خارج سور الذي أحيط بهذا الجزء.

ثم زادت المباني في المدينة القديمة بزيادة عدد سكانها، حيث تم بناء حي كلالة في فترة لاحقة لبناء المسجد العتيق، و الذي يعتبر أكبر أحياء المدينة مساحة، وبعد ذلك تم بناء حي الزاوية (الأمين) في سنة (1861م) [7].



شكل (4) توسيع مدينة غات القديمة قبل الفتح الإسلامي وحتى عام 1909م [17]

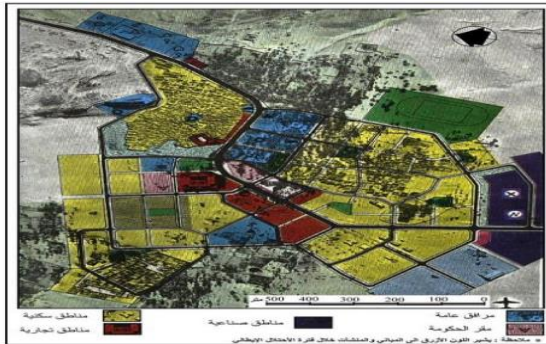
2 - المرحلة الانتقالية:

بدأت هذه المرحلة مع بداية الاحتلال الإيطالي لمدينة غات سنة (1914 م) واستمرت حتى بداية ثورة الفاتح سنة (1969 م)، وتميزت هذه المرحلة ببداية البناء خارج أسوار المدينة، وأقتصر التوسع في بداية هذه الفترة على المباني والمنشآت العامة التي تخدم مصالح الإدارة الإيطالية، حيث تم بناء المطار القديم في الجزء الجنوبي الغربي للمدينة . [17].

وقد كانت سنة 1968 أول عهد للمدينة بالخطيط العمراني، حيث تم تكليف مؤسسة INTERNATIONAL ASSOCIAES WHITING بإعداد مخطط للمدينة يغطي استعمالات الأرض حتى عام 1988 م، إن أهم ما يميز هذه المرحلة أنها تمثل البداية الفعلية لخروج السكان من المدينة القديمة والسكن في المساكن الحديثة نتيجة التوسيع في إنشاء المباني السكنية، حيث أنشئت حي ترامت (الثانوية) أو جزء منه سنة 1964 م ضمن برنامج الإسكان العام، وهي كلالة ومساكن تونين الحديثة في سنة 1965 م وللذان يتكون كل منهما من 12 وحدة سكنية. [3].

## المحور الأول: تخطيط وتصميم المنشاءات في البيئة الصحراوية

وقد كان الاختلاف واضحًا بين هذه المباني ومباني المدينة القديمة سواء في موضعها أو شكلها أو مواد بنائها، وهكذا بدأ النشاط العمراني الذي أخذ في التوسيع والانتشار خارج أسوار المدينة القديمة فاختلطت أساليب التنظيم العمراني بين محلية ومستوردة، وتغيرت بذلك النسب والج拇وم المعمارية والمقاييس والمعايير التخطيطية، وظهرت التداخل واضحًا بين نمطي البناء القديم والحديث سواء كان في مادة البناء أو شكله.

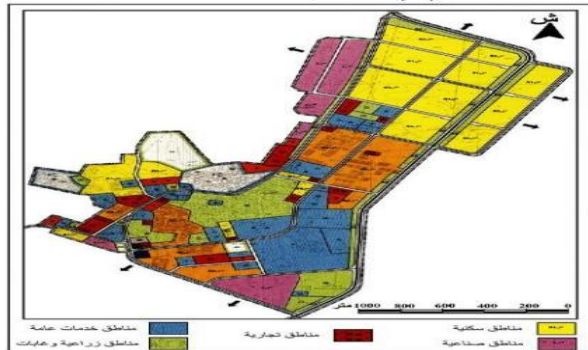


شكل(5) مخطط مدينة غات (1970-1988) [18]

### 3 - المرحلة الحديثة:

وقد بدأت هذه المرحلة بالتحديد في مدينة غات بتاريخ 4-الكانون ديسمبر 1980 م، بموجب عقد تم توقيعه مع شركة FINNMAP لإعداد مخطط عام يستهدف تطوير مدينة غات حتى عام 2000 ف، باعتبارها ستشكل مركزاً إدارياً وصناعياً ومركز خدمات في المنطقة، وبالتالي ستشهد زيادة كبيرة في عدد السكان، ترتب على ذلك وضع مخطط للمدينة يستوعب هذه الزيادة السكانية المتوقعة، حيث قدر الاستشاري أن تصل نسبة النمو السكاني في المدينة إلى حوالي (2.9%) خلال الفترة بين عامي (1981-2000) ف، وقد بلغ إجمالي المساحة الحضرية التي شملت في المخطط حوالي 372 هكتاراً [17]، وعلى الرغم من أهمية المخططات التي أعدت للمدينة وضرورتها لتنظيم النمو والتطور العمراني، إلا أنها فشلت في معرفة إمكانية التطور والنمو على مستوى الإقليم، كما أن مدة المخططات كانت (20 سنة) وهي تعتبر مدة طويلة، ويفترض على الأقل أنها قسمت إلى أربع خطط خمسية كل خطة متكونة من كسوارات، إذا ما أخذنا في الاعتبار التطورات الهائلة التي حدثت في البلاد في السنوات الأخيرة مثل زيادة الدخل القومي من النفط وارتفاع مستوى المعيشة، كما أن هذه المخططات لم تأخذ في الاعتبار تكيف البيئة الطبيعية (المناخ) والترااث الثقافي والمعماري مع متطلبات الحياة في بيئة حضرية عصرية، إضافة إلى غياب المشاركة الشعبية في التخطيط، حيث أن التخطيط كان مركزياً ولم يكن محلياً، وبالتالي جاءت عملية التخطيط جائرة على رغبات المواطن وعلاقاته الاجتماعية [15].

## المحور الأول: تخطيط وتصميم المنشاءات في البيئة الصحراوية



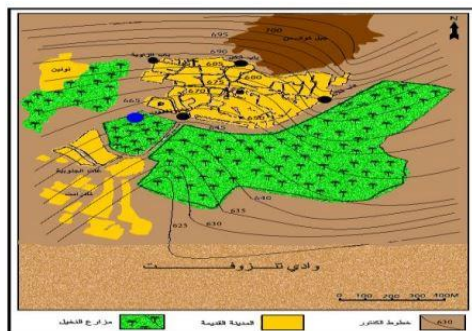
شكل(6) مخطط مدينة غات لسنة 2000م [17]

### علاقة المناخ بـتخطيط وتصميم مباني مدينة غات القديمة:

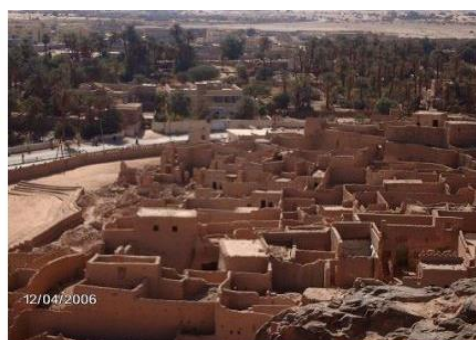
#### 1 - المعالجات التخطيطية للمناخ في المدينة:

##### أ - اختيار مكان المدينة.

لقد بني الأهالي المدينة على السفح الجنوبي لجبل كوكمن، الذي يرتفع حوالي 700 مترًا عن مستوى سطح البحر وإن المدينة ترتفع بحوالي 30 مترًا عما يجاورها، وهذا الموضع الذي نشأت فيه المدينة ساهم في التكيف مع ظروف المناخ السائدة في المنطقة، فمن ناحية الشمال يعمل جبل كوكمن على حماية المدينة من الرياح الشمالية التي تهب طوال العام تقريبًا.



شكل(7) طبوغرافية مدينة غات القديمة [17]



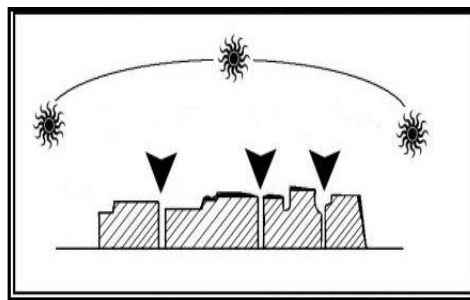
صورة (1 ) مدينة غات القديمة المرتفعة على سفح جبل كوكمن [17]

## المحور الأول: تخطيط وتصميم المنشاءات في البيئة الصحراوية

إن امتداد المدينة على سفح جبلي جعلها أقل حرارة من المناطق المنخفضة التي تحيط بها، وذلك بتأثير نسيم الجبل ونسيم الوادي، حيث يكون هذا النسيم أكثر رطوبة وأقل حرارة إذا انتشرت المدن على السفوح الجبلية في المناطق الحارة الجافة [19].

### بــ أتباع نمط التخطيط المتضامن للمدينة :

تظهر المدينة القديمة على شكل كثلة مدمجة واحدة لا تفصل أحياها حواجز أو فواصل حيث تظهر المدينة وكأنها بناء واحد لا يتصل بالمحيط الخارجي ، وقد ساعدت هذه المورفولوجية المدمجة على زيادة نسبة الأرض المغطاة بالمباني في المدينة، إذ أن زيادة الفراغات بين المباني (المساحات غير المبنية) تساعد على ارتفاع درجة الحرارة، نظراً لما تعكسه هذه الفراغات على المباني من إشعاعات حرارية ساقطة عليها من أشعة الشمس ( الإشعاع الارضي )، ولذلك كلما قل حجم هذه المساحات إلى جملة الأرض المبنية كلما ساعد ذلك على تقليل انعكاس الحرارة إلى المساكن [20].



شكل(8) دور تكوين المدينة المتضامن في الحد من دخول أشعة الشمس بشكل مباشر [21]



صورة (2) تكوين مدينة غات القديمة [17]

### ج - الشوارع الضيقة والمترعة:

إن اللجوء لإتباع الحل المتضامن في النسيج العمراني لمدينة غات أدى بالتبعية إلى أن تكون شوارع المدينة ضيقة، حيث يؤدي ذلك لتجربتها لأقل قدر من الإشعاع الشمسي المباشر، إلى جانب أن ضيق الشوارع كان يتناسب مع وسائل الانتقال في ذلك الوقت (الدواوين) والتي لم تكن تتطلب شارع عريضة وقد كان لارتفاع المباني على جانبي الشارع أثره الواضح في توفير قدر كبير من الظل طوال النهار، حيث تبلغ نسبة ارتفاع المباني إلى عرض الشارع 1:4 تقريباً، وهذا ما يساعد على استمرارية الظل فيها.

## المحور الأول: تخطيط وتصميم المنشاءات في البيئة الصحراوية

لقد فهم أهالي غات بفطرتهم وخبرتهم البسيطة مسارات الإشعاع الشمسي في المنطقة، وانعكس هذا الفهم على توجيه الشوارع في المدينة، فجاءت الشوارع عمودية على حركة الشمس آخذة اتجاه عام من الشمال إلى الجنوب، حيث ساعد ذلك على عدم تعرض واجهات البيوت المطلة على هذه الشوارع فترة طويلة للإشعاع الشمسي، إضافة إلى اكتسابها الرياح الشمالية التي تساعد على استمرار بروابتها أطول فترة لوجود نسبة الظل العالية في هذه الشوارع [22].

ومن جهة أخرى فإن كثرة التعرجات في الشوارع ساهم إلى حد كبير في كسر حدة الرياح في المدينة، فعدم تخطيط شوارع وممرات المدينة بشكل مستقيم جنبها أن تتحول إلى أنفاق للرياح الشتوية الباردة أو لرياح القبلي الساخنة والمحمولة بالأثيرية مع أن ضيق الشوارع يمنع حدوث ذلك، كما تتيح وجود مناطق مظللة في مختلف أجزاء الشارع في معظم ساعات النهار بغض النظر عن توجيه الشارع [23].



شكل(9) دور الشارع الضيق والمترعة لكسر حدة الرياح في مدينة غات القديمة [24]

### د - الشوارع المنسورة:

تعتبر الشارع المنسورة من أهم الأساليب التخطيطية التي فرضتها ظروف المناخ الصحراوي المتمثلة في شدة الحرارة وزيادة عدد ساعات سطوع الشمس، وعلى الرغم من أن الشارع الضيق توفر قدرًا كبيرًا من الظل خلال النهار، إلا أنها تصبح غير فعالة عند ساعات معينة من النهار عندما تكون الشمس في كبد السماء. وبالتالي كان اللجوء لتسقيف أو تغطية الشارع من أفضل الحلول لتقليل أثر الإشعاع الشمسي على المارة خلال هذه الساعات من النهار [25].

## المحور الأول: تخطيط وتصميم المنشاءات في البيئة الصحراوية

تحتوي هذه الشوارع على فتحات علوية سماوية دائيرية الشكل تسمح بإضاءة الشارع فمن خلال هذه الفتحات تدخل أشعة الشمس والتي بدورها تؤدي إلى اختلاف في درجات الحرارة على طول الشارع؛ مما يسبب اختلافات محلية في معدلات الضغط وبالتالي تحرك الهواء الساخن المتجمع بالشوارع قرب السقف.

ونظراً لأن شوارع المدينة ليست مسقوفة كلها فإن ذلك يساعد على حركة الهواء وبرودته على طول هذه الشوارع، فعندما تسقط أشعة الشمس على الشوارع المكشوفة يسخن الهواء الموجود بها ويرتفع إلى أعلى، فيسحب الهواء البارد من الشوارع المنسقفة ليحل محله، مما يساعد على خلق تيار بارد على طول الشارع [26].

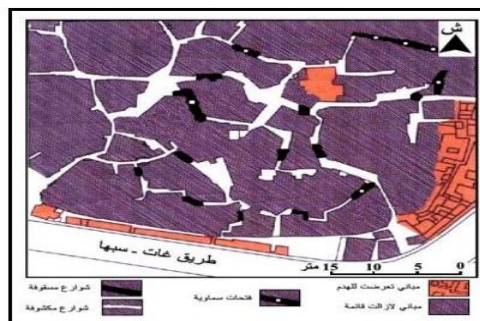


صورة ( 4 ) الفتحات السماوية في الشوارع المنسقفة



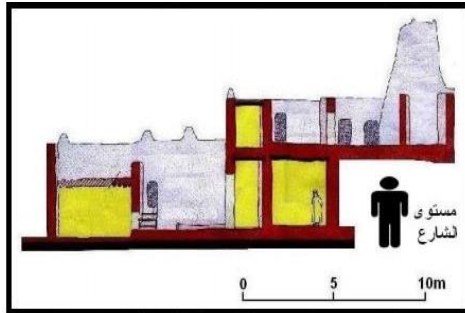
صورة ( 5 ) الشوارع المنسقفة في المدينة القديمة

كما لجأ الأهالي إلى وسيلة أخرى من أجل إلقاء المزيد من الظل على أرضيات الشارع، وذلك عن طريق عمل بروزات في واجهات المباني المطلة على الشارع، فتلقي الظل على واجهة المبني نفسه وعلى أرضية الشارع التي نظر عليه [27].



شكل(10) شبكة الشوارع في المدينة القديمة

## المحور الأول: تخطيط وتصميم المنشاءات في البيئة الصحراوية



شكل (11) بروز واجهات المباني لتنظيل الشوارع في مدينة غات القديمة [24]

### 2 - عناصر المعالجات المناخية في المبني

#### أ - مواد البناء:

يتأثر البناء ومادته بشكل كبير بالموقع الذي يبني فيه، إذ أن كل موقع يحتاج لنوع معين من مواد البناء لمقاومة الظروف المناخية السائدة وفيما يلي عرض لأهم مواد البناء التي استخدمت في تشييد مباني مدينة غات القديمة:

**1 . الطوب الطيني:** وبعد أكثر مواد البناء استخداماً في المدينة القديمة، بسبب توفره في جميع الأودية المحيطة بالمدينة،.



صورة (6) طريقة تجهيز الطوب الطيني وتجفيفه بأشعة الشمس [28]

**2 . الحجارة :** وهي أقدم مواد البناء التي استخدمت في المدينة القديمة، حيث تم استخدامها في بناء الحي القديم من المدينة المعروف باسم (أغرم وشنن) إضافة إلى القلعة التركية القديمة (قلعة تغرفت)، غير أن استخدامها قلل في الفترات اللاحقة واستعمل الطين بدلاً عنها، وأقصر استخدامها في الأساسات السفلية للجدران حتى ارتفاع متر ونصف بسمك يصل إلى 50 سم، وذلك لمقاومتها للرطوبة والمياه إضافة للأحمال، وبسبب اللون الفاتح للحجارة فإنها تعكس جزءاً كبيراً من الإشعاع الشمسي الساقط عليها.

**3- الجبس والجير:** وهو يجلب من منطقة تجرابن جنوبى المدينة، ويستخدم في تبييض الجدران، وتنعكس أهميته مناخياً في أن لونه الأبيض يعكس أشعة الشمس، مما يخفف الأحمال الحرارية على المبنى، إضافة إلى حماية الجدران من مياه الأمطار، وي العمل على تقويتها وعزلها مما يقلل من عوامل التفسخ والانهيار [29].

**4 . النخيل والأثل:** تعد واحة غات غنية بهذه النوعين من الأشجار، ويتميز نخيلها بطول جذعه الذي يصل أحياناً إلى 12 متراً ، مما يساعد في عملية البناء، حيث تستخدم جذوعه كدعامات للأسقف وفي صناعة الأبواب، وعلى الرغم من أن الخشب بصفة عامة يتعرض للتحلل بفعل البكتيريا والرطوبة والتلوس، إلا أن أهالي المنطقة استطاعوا

## المحور الأول: تخطيط وتصميم المنشاءات في البيئة الصحراوية

التغلب على هذه المشكلة وذلك بطلاء هذه الأخشاب بمحلول جيري لكي يصمد أطول فترة ممكنة ، كما يستفاد من الجريد في الأسف، إذ يتم وضع جذوع النخيل أو الأثل وتوضع فوقها طبقة من سيقان نبات البرمبخ، ثم طبقة من الجريد المشدود لبعضه لتقليل الفراغات البينية، ثم تغطى بطبقة أخرى من سعف النخيل وأوراق الأثل لسد الفراغات تماماً، وتوضع بعد ذلك طبقة سميكة من المونة الطينية المخلوطة بروث الحيوانات أو أوراق الأثل.

5. البرمبخ (الفخار) : تستخدم سيقانه كغازل حراري في أسقف مباني المدينة القديمة، حيث تتميز بأنها مجوفة من الداخل وتحتوي على مادة لبنية سامة مما يحميها من التسوس، وعندما تجف هذه السيقان تصبح أكثر متانة .

### ب - الفناء الداخلي :

يلعب الفناء الداخلي في مباني غات القديمة دور المنظم الحراري، حيث يقوم أثناء الليل بإعادة الإشعاع الأرضي الذي تم امتصاصه واختزانته طوال النهار في حوائطه إلى الجو الخارجي، وفي الوقت نفسه يتم تخزين الهواء البارد به، ليتم الاستفادة من برونته أثناء النهار .

أما أثناء النهار فيختلف أداء الفناء الداخلي مع تعرضه للإشعاع الشمسي، حيث تتم عملية سحب هوائي، فعندما يتعرض الفناء لأشعة الشمس يقل وزن الهواء الساخن ويرتفع إلى أعلى من الفناء المفتوح، وفي هذه الحالة يسحب الهواء البارد من خلال نوافذ الحجرات ليحل محل الهواء الساخن [26].

### ج - الفتحات والنوافذ :

لقد جاءت الفتحات والنوافذ في مباني غات القديمة استجابة لمؤثرات المناخ الصحراوي الذي يسود المنطقة، وتأخذ هذه الفتحات أشكالاً مختلفة مثلثة أو مربعة أو على شكل أسمهم في حين نجد النوافذ العريضة مطلة على الفناء الداخلي للمسكن.



صورة ( 7 ) الفتحات الخارجية في مباني مدينة غات      صورة ( 8 ) النوافذ الداخلية المطلة على الفناء الداخلي في مساكن مدينة غات القديمة

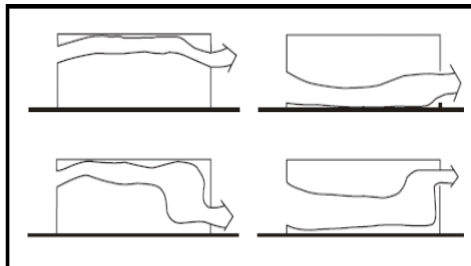
إن توزيع الفتحات بواجهات المبني في المدينة جاء وفق أساس علمية دقيقة، فوجود الفتحات الضيقة والمرتفعة في الجدران الخارجية للمبني المواجهة للرياح، والنوافذ العريضة المطلة على الفناء الداخلي يحدث فرق في الضغط يؤثر في كمية حركة الهواء داخل المبني، فكلما زادت مساحة فتحة خروج الهواء عن فتحة دخوله زادت حركة الهواء داخل المبني [30].

## المحور الأول: تخطيط وتصميم المنشاءات في البيئة الصحراوية

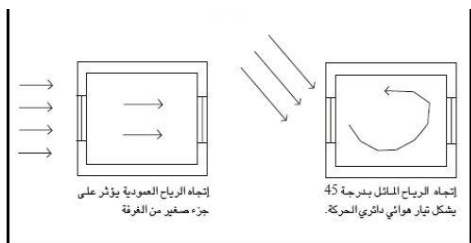
### تأثير المبني بالظروف المناخية:

إن أفضل الطرق لتوجيه المبني في المناطق الحارة الجافة، هي توجيه واجهاتها الأمامية نحو الشمال أو الجنوب (التوجيه بزاوية ارتفاع معينة)، أو بإمالة المحور الطولي للمبني في المسقط الأفقي بزاوية تتراوح (47) حيث يساعد توجيه المبني بزاوية ارتفاع معينة على الحد من الإشعاع الشمسي المفرط، وكذلك يحسن التهوية الطبيعية للمبني أو الغرف [12].

وتأخذ المبني في مدينة غات الحديثة اتجاهًا عاماً نحو الشرق أو الغرب، حيث تكون واجهاتها مفتوحة في هذا الاتجاه، وبالتالي فإنها تتعرض للإشعاع الشمسي المباشر من الساعة التاسعة صباحاً إلى الساعة السادسة بعد الظهر، وهي فترة حركة الشمس الظاهرية من الشرق إلى الغرب في أطول فترة ممكنة إن توجيه المبني في غات والمناطق الحارة الجافة عموماً يخضع لعنصر الشمس أكثر من خصوصه لعنصر حركة الرياح، وذلك لضمان توفير أكبر قدر من الظل أو البعد عن الهواء الجاف الساخن الذي تميز به المنطقة، ويستحسن أن يمر الهواء على مناطق رطبة أو مظلة قبل وصوله إلى المبني [31].



شكل (12) تأثير موقع الفتحات على نمط وحركة الهواء في المبني [32]



شكل (13) نمط حركة الهواء في المبني حسب اتجاه الفتحات [33]

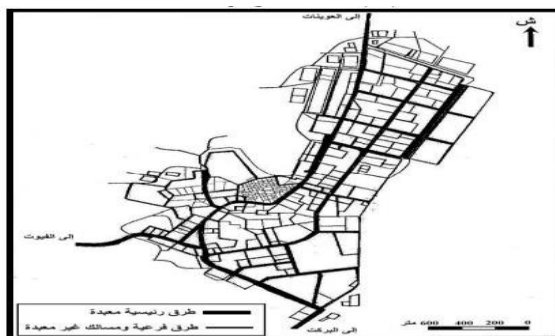
### علاقة شكل الشوارع في المدينة بالظروف المناخية:

يمكن تصنيف الشوارع في مدينة غات إلى نوعين رئيسيين هما:-

**1 - طرق رئيسية:** وهي مخصصة لتسهيل حركة مرور وسائل النقل بين مختلف مناطق المدينة، وتمثل خطوط مستقيمة يتراوح متوسط اتساعها بين (16 . 18م)، وقد تكون فردية أو مزدوجة وكلها معبدة، ويعتبر الطريق المار بوسط غات من أهم هذه الطرق وأكثرها نشاطاً، حيث يقسم المدينة إلى جزئين: جزء غربي حيث تتمركز المدينة القديمة، وجزء شرقي يضم طريقين رئيسيين يمر أحدهما بالمستشفى وكلية الآداب والعلوم حتى يلتقي بالطريق الرئيسي (غات . العوينات)، أما الطريق الآخر فيمر أمام المجمع الإداري ثم يتصل بالطريق الرئيسي السابق [5].

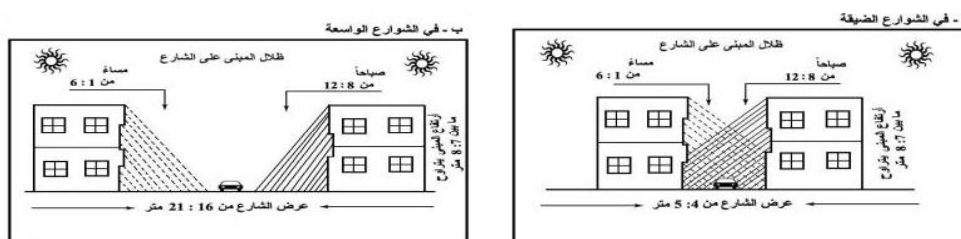
## المحور الأول: تخطيط وتصميم المنشاءات في البيئة الصحراوية

2 - طرق فرعية: وهي التي تربط بين أجزاء الحي السكني الواحد، وتمتاز بأنها أقل اتساعاً من سابقتها، حيث لا يتجاوز عرض الشارع (8 أمتار)، وإن كانت تقل عن ذلك كثيراً في بعض الأحياء لتصل إلى (90,3 م)، كما في حي الثانوية (تدر امت)، ويصل مجموع أطوال هذا النوع من الطرق حوالي (9,15 كم)، وأغلبها غير معبدة وتقتصر إلى الأشجار التي ترعرع على جانبي الطريق لحمايتها.



شكل (15) شبكة الشوارع في مدينة غات [5].

وتساهم الأبنية بما تملك من شرفات خارجية معلقة أو محمولة في رفع نسبة الظل في الشارع المطلة عليه وحماية المارة من تأثير عناصر المناخ كأشعة الشمس والأمطار، يمكن ملاحظة أن المباني المقامة على جانبي الطريق لها القدرة على تزييل الشارع باختلاف فترات النهار عندما تكون هذه الشوارع ضيقة، بينما تقل نسبة الظل في حالة الشوارع العريضة، وتتجدر الإشارة إلى العلاقة بين عرض الشارع ودرجة تعرض واجهات المباني لأشعة الشمس، إذ كلما زاد عرض الشارع زادت درجة التعرض الشمسي والعكس، وتبدل هذه العلاقة بتبدل النسبة بين السطح المشغول أفقياً عمودياً، إذ كلما زادت مساحة السطح المشغول بالبناء قلت نسبة تعرض الشارع لأشعة الشمس والعكس صحيح [34].



شكل (16) رسم توضيحي يبين إسقاطات الظل على شارع المدينة [19]

### علاقة مواد البناء بالظروف المناخية:

لقد استعيض عن مواد البناء المستخدمة في مدينة غات القديمة بمواد إنشائية أخرى غير محلية، وإنما هي مواد مصنعة بأساليب وطرق حديثة، وذلك نظراً لتطور أساليب الحياة وطلب تحقيق حياة عصرية تتمتع بمستوى رفاهية أكبر، وتمثل هذه المواد في الأسمنت والブلاوك الأسمنتى المجوف، وحديد التسليح والركام (الزلط) والخشب والرخام والزجاج وغيرها، وكلها مواد غير محلية تجلب إلى المدينة من المناطق الشمالية للبلاد، كما أنها ذات سعة حرارية منخفضة جداً مقارنة بالمواد المحلية التي كانت تستخدم في البناء التقليدي كما سبق التوضيح، وعلى الرغم من

## **المحور الأول: تخطيط وتصميم المنشاءات في البيئة الصحراوية**

أن هذه المواد لا تستغرق وقتا طويلا في عملية إنشائها ولا تتطلب جهدا كبيرا، إلا أنها تعتبر غير اقتصادية ومكلفة جداً، ونتيجة لذلك فإن أسعار البناء في تزايد مستمر.

إن اختيار مواد البناء وطريقة استخدامها له دور كبير في التحكم بكمية الحرارة المتسربة إلى داخل المبني، فالمواد الحديثة المستخدمة في مدينة غات الحديثة ذات سعة حرارية منخفضة ولها القدرة على التوصيل الحراري خلال فترة زمنية قصيرة، عند المقارنة بين الأداء الحراري للمسكن التقليدي والمسكن الحديث، وقد ترتب على ذلك أن أصبح لا يكاد يخلو مسكن من المساكن الحديثة إلا ويوجد به أجهزة تكييف الهواء.

### **النتائج**

1 - العناصر المناخية المؤثرة في التخطيط العمراني هي الإشعاع الشمسي ودرجة الحرارة والرياح والأمطار والرطوبة النسبية، وبعد الإشعاع الشمسي أهمها في مدينة غات.

2 - إتباع شكل التخطيط المتضامن له دورا كبيرا في حماية واجهات المبني من التعرض لفترة طويلة لأشعة الشمس ومن ثم الحرارة النافذة إلى داخل المدينة.

3 - إن استخدام مواد بناء محلية ذات سعة حرارية عالية في بناء المدينة القديمة له دوراً كبيراً في تحسين المناخ المحلي للمدينة ومبانيها كما أظهرت الدراسات أفضلية المسكن التقليدي على المسكن الحديث فيما يتعلق بالأداء الحراري وذلك في حالة عدم استخدام أجهزة تبريد الهواء.

4 - استخدام الفناء الداخلي في المبني القديمة استجابة لعوامل مناخية صرفة.

5 - تغير موضع المدينة الحديثة وشكلها أصبحت أكثر تأثرا بالظروف المناخية.

6 - جاء امتداد الشوارع الرئيسية في المدينة متماشيا مع اتجاه الرياح السائدة في المنطقة، حيث تمتد في اتجاه شمال . جنوب.

7 - سبب استخدام مواد البناء الحديثة إلى زيادة أثر الحرارة على السكان داخل مساكنهم؛ وذلك بسبب انخفاض سعتها الحرارية.

### **التوصيات**

1 - إحاطة المدينة بحزام أخضر ليعمل كمصد للرياح المحملة بالأثيرية، والإكثار من زراعة الأشجار حول المبني لإسقاط مزيد من الظل عليها.

2 - محاولة إتباع شكل متضامن للمدينة الحديثة على غرار المدينة القديمة وذلك لتقليل أثر الإشعاع الشمسي على السكان.

3 - يفضل اختيار التوجيه الأمثل للمبني في المدينة، لتوفير أكبر قدر من الظل، ويفضل توجيهها في اتجاه الشمال، لتنقليل تعرضها لأشعة الشمس لفترة طويلة.

## المحور الأول: تخطيط وتصميم المنشاءات في البيئة الصحراوية

4 - الاستفادة من مواد وأساليب البناء القديمة بعد ثبات نجاحها في معالجة الظروف المناخية، ولكن بطرق حديثة تتماشى مع متطلبات العصر.

### المصادر

1. مركز البحث الصناعية.(2006). "دراسة التنمية المكانية الصناعية لشعبة غات".
2. أبو لقمة، الهادي، والبابو، منصور محمد .(1991). "غدامس وغات تؤمّن الصحراء". مجلة البحوث التاريخية: العدد الثاني، السنة الثالثة عشرة، منشورات مركز دراسة جهاد الليبيين ضد الغزو الإيطالي. طرابلس.
3. تقارير التخطيط للمحافظات الجنوبية .(1970). "تخطيط غات". إعداد وتنفيذ مؤسسة ويت Ning العالمية .المجلد 1-7.
- ضياف، نجمي رجب.(1999). غات وتجارة القوافل الصحراوية خلال القرن التاسع عشر الميلادي. الطبعة الأولى. منشور مركز جهاد الليبيين للدراسات التاريخية. طرابلس.
4. الطبعة الأولى. منشور مركز جهاد الليبيين للدراسات التاريخية. طرابلس.
5. المشاير، أبو القاسم .(2005). مدينة غات: دراسة في جغرافية المدن."قسم العلوم الاجتماعية، قسم الجغرافيا، أكاديمية الدراسات العليا. ليبيا.
6. أمانة التخطيط، مصلحة المساحة. (1978). الأطلس الوطني. الطبعة الأولى. . طرابلس.
7. مخطط إقليم سبها، المنطقة الفرعية غات.(1985)."أعداد وتنفيذ شركة فنما ب المحدودة". تقرير س/ن 8 ، أمانة اللجنة الشعبية العامة للمرافق والإسكان بشعبية غات)
8. جيوماب، الشركة المصرية للأعمال الهندسية.(2004). لوحة غات NG 32 SE. الطبعة الأولى . القاهرة.
9. لاسوبل، توماس.(1997). الاعتبارات الإنسانية في التصميم المعماري.الطبعة الأولى. دار النشر العلمي والمطبع. جامعة الملك سعود. الرياض.
10. الخولي ، محمد بدر الدين.(1975). المؤثرات المناخية والعمارة العربية. جامعة بيروت، بيروت.
11. عبد الجود، محمد توفيق.(1976). معجم العمارة وإنشاء المباني. مؤسسة الأهرام .القاهرة.
12. ريمشا ،اناتولي .(1977). تخطيط وبناء المدن في المناطق الحارة.الطبعة الأولى. دار مير للطباعة والنشر. موسكو.
13. موسى ،على حسن.(1986). العلم الجغرافي المناخي. الطبعة الأولى. دار الفكر للطباعة والتوزيع والنشر. دمشق.
14. القرزى، سعد خليل .(1995). الجماهيرية دراسة فى الجغرافيا.الطبعة الأولى. دار الجماهيرية للنشر والتوزيع والإعلام. سرت.
15. جامي، عبد القادر.(1974). من طرابلس الغرب إلى فزان. دار المصратي. . طرابلس. ليبيا.
16. ( اللجنة الشعبية للمرافق والإسكان بشعبية غات)
17. ( مؤسسة ويت Ning العالمية، 1970)
18. كامل، محمد وليد. (1989). "المناخ في الشارع العربي ". مجلة المدينة العربية، منظمة المدن العربية. العدد 37. الكويت.
19. عيفي، أحمد كمال الدين.(1988). "النسيج العمراني لحي البستكية".مجلة المدينة العربية، العدد 30. الكويت.
20. (الحاسي، ص112)

## المحور الأول: تخطيط وتصميم المنشاءات في البيئة الصحراوية

---

21. (كمونة، ص204).
  22. فتحي ،حسن .(1988). "الطاقة الطبيعية والعمارة التقليدية".طبعة الأولى. المؤسسة العربية للدراسات والنشر . بيروت، لبنان.
  23. (تنفيذ مكتب الأمم المتحدة لخدمات المشاريع)
  24. ملا، محمد زياد.(2001)."التخطيط لطرق المدنية الإسلامية". مجلد الأبحاث، الجزء الأول، طرابلس.
  25. (البدوي، ص47، 1984)
  26. وزيري، يحي .(2004)." العمارة الإسلامية :الروافد التي شكلت التعمير الإسلامي". سلسلة عالم المعرف. العدد304. المجلس الوطني للثقافة والفنون ولآداب. الكويت.
  27. (الدراسة الحلقية لمدينة غات، 2006)
  28. . (عبد الله، 1990، ص115)
  29. فجال، خالد سليم (2011)، "العمارة والبيئة المعاصرة"، دار الكتاب للنشر / رقم الایداع 2011/17674
  30. الوكيل. شفق العوض- سراج. محمد عبد الله "المناخ وعمارة المناطق الحارة"(1989)الناشر عالم الكتاب 28 شارع عبد الحالق ثروت- القاهرة
  31. (بن عوف، 1987، ص187)
  32. بيومي، سمير.(1980). المناخ والعمارة.طبعة الأولى. الدار الجامعية للنشر،بيروت
  33. أحمد، حمدي صادق.(1994).تأثير العوامل المناخية في المناطق الصحراوية على التشكيل المعماري للمسكن الإسلامي، وأثر ذلك في تشكيل المساكن الصحراوية المعاصرة في شمال إفريقيا". كلية الهندسة، جامعة حلوان المطيرية. القاهرة
-

## استخدام نظم المعلومات الجغرافية في تحديد موقع المحاجر في ليبيا

م. هيفاء ابوحليقة<sup>١</sup>، د. علي منصور<sup>٢</sup>، احمد الرشراش<sup>٣</sup>، احمد بلال<sup>٤</sup>

١ جامعة طرابلس كلية الهندسة، طرابلس، ليبيا ، eng.haifa.ali@gmail.com

٢ جامعة طرابلس كلية الهندسة، طرابلس، ليبيا ، bomnadi@yahoo.com

٣ جامعة طرابلس كلية الهندسة، طرابلس، ليبيا ahmed.rashrash95@gmail.com

٤ جامعة طرابلس كلية الهندسة، طرابلس، ليبيا Ahmedbilalbi@gmail.com

## الملخص

نتيجة لتطور التكنولوجيا أصبح العالم يؤرشف البيانات والمعلومات بالطريقة الإلكترونية لسهولة الوصول إليها والاستفادة منها بطريقة سهلة وميسورة، و من هذا المنطلق ركزت الدراسة على استخدام برنامج برنامج نظم المعلومات الجغرافية GIS والذي يعتبر من أفضل الطرق للأرشفة الإلكترونية، لسهولة إدخال المعلومات وإظهار الموقع والبيانات المكانية والوصفية. خلال هذه الورقة البحثية تم حصر ما يقارب 25 محجر وتم تقسيم محاجر الركام في ليبيا إلى خمسة مناطق، والمتمثلة في محاجر المنطقة الشمالية الغربية، ومحاجر المنطقة الجنوبية الغربية، ومحاجر المنطقة الوسطى، ومحاجر المنطقة الشمالية الشرقية، ومحاجر المنطقة الغربية، حيث تم جمع وحصر هذه البيانات في 900 خلية . وتم ذلك لغرض التسهيل على الجهات والشركات ذات العلاقة الراغبة في إنشاء مشاريع النهضة العمرانية مستقبلاً، في الحصول على أي معلومات عن محاجر الركام ومدى قربها من مشروع ما، ويمكن لأي مهتم باستخدام الركام سواء في الخلطات الخرسانية او الاسفلتية الحصول على جميع خصائص الركام الفيزيائية والكيميائية والميكانيكية بسهولة ويسر وفي أسرع وقت.

كلمات مفتاحية: نظم المعلومات الجغرافية، GIS، محاجر، ليبيا.

## ١. المقدمة

تعتبر هذه الدراسة هي الدراسة الأولى في ليبيا على المستوى الأكاديمي لتوثيق احداثيات وخصوصيات الركام المستخدم في تنفيذ الخلطات الإسفلتية بمختلف مناطق ليبيا، إلا أنها ليست الأولى في المجال الحقل والعالمي. يجب أن تتوفر خصائص معينة في مواد البناء وان تكون مطابقة للمواصفات المحددة في التصميم، وبالنظر إلى التكلفة العالية نسبياً لنقل مواد البناء في مشروعات الطرق فإنه يفضل عادة استخدام المواد المحلية والمتوفرة بالقرب من موقع البناء. حتى يتمكن مهندس الطرق من القيام بدوره في إعداد التصميمات الهندسية المطلوبة لأعمال الرصف واتخاذ القرارات المناسبة لتوفير مواد البناء فأنه لابد أن يكون قادرًا على فهم الخواص الطبيعية والهندسية لهذه المواد الموجودة بتلك المناطق وكذلك الطرق المستخدمة في إنتاجها بالإضافة إلى تحديد المصدر الذي تتغذى منه تلك المحاجر ونقل المواد واستعمالها في تنفيذ الرصف.

## ٢. مشكلة الدراسة

- صعوبة الحصول على البيانات والمعلومات على المحاجر.
- عدم إتاحة هذه البيانات للأشخاص الراغبين في إقامة مشروع ما.

## **المحور الأول: تخطيط وتصميم المنشاءات في البيئة الصحراوية**

- البيانات المؤرشفة ورقياً معرضة لتلف.
- عدم الاستفادة من البيانات بسبب سوء طريقة الأرشفة.

### **3. أهداف الدراسة:**

تسعى هذه الدراسة للوصول لعدة أهداف، منها:

- حفظ المعلومات والبيانات المتاحة عن محاجر الركام لحين الحاجة إليها.
- إتاحة المعلومات التي توضح مدى صلاحية وجودة الركام للمستخدم الراغب في إنشاء مشروع ما وسهولة انتقاء المناسب.
- تحويل البيانات الورقية إلى الكترونية عن طريق إنشاء قاعدة بيانات مخصصة لموقع المحاجر المستهدفة في ليبيا باستخدام برنامج نظم المعلومات الجغرافية GIS.
- التسهيل على الجهات والشركات ذات العلاقة الراغبة في إنشاء مشاريع النهضة العمرانية مستقبلاً، وذلك للحصول على أي معلومات عن محاجر الركام ومدى قربها من مشروع ما.
- تخفيض التكلفة من خلال التقليل من الوقت والجهد وعمليات البحث وسهولة الحصول على البيانات والاستفادة منها.

### **4. الدراسات السابقة**

تناول الباحث (محمود سالم) في دراسته برصد التغيرات في حالة الغطاء الأرضي في منطقة طرابلس و جوارها بمساحة بلغت  $1314.1 \text{كم}^2$  ، اعتماداً على تقنيتي الاستشعار عن بعد ونظم المعلومات الجغرافية. حيث استخدم في دراسته مرئيات القمر الصناعي (لاندسات5) للسنوات 2001، 2005، 2015م، وأظهرت نتائج الدراسة أن المنطقة قد صُنفت إلى خمسة أصناف من الغطاء الأرضي ، وهي أراضي حضارية وأراضي زراعية وأراضي غابات وأراضي مراعي وأراضي جراء لجميع السنوات، وأوضحت الدراسة الزيادة الواضحة في المناطق الحضارية غير سنوات الدراسة، وقابل ذلك انخفاض واضح أيضاً في مساحة الغابات والأراضي الزراعية ، بينما تراوحت مساحات أراضي المراعي والأراضي الجراء بين الزيادة والنقصان خلال فترة الدراسة<sup>[1]</sup> .

تناول الباحث (سوبيسي ) تناول في دراسته استخدام تقنيات الاستشعار عن بعد ونظم المعلومات الجغرافية في مراقبة التغير في مساحة الغابات لمنطقة (الجبل الأخضر\_ شمال شرق ليبيا)، حيث قام باستخدام مرئية القمر الصناعي SPOT5 بدقة 2.5 متر لسنة 2010 بتعطية منطقة الدراسة ومقارنتها بخرائط الأساس المتمثلة في خريطة استعمال الأراضي سنة 1972م، حيث بلغت نسبة الغطاء الغابي فيها لسنة 1972م حوالي 225957 هكتار وفي سنة 2010م بلغت 216202 هكتار ونسبة الفاقد بين الفترتين بلغت 9755 هكتار .<sup>[2]</sup>

تناول الباحثين (زريقات ،الحسبان ) في دراستهم التغير في أنماط الغطاء الأرضي في فضاء بrama، الواقع في محافظة جرش الشمالي الاردن، خلال الفترة 1987\_2009م، وذلك بهدف تحديد الأنواع الرئيسية للغطاء الأرضي ، ومعرفة نسبة التغير في الغطاء الأرضي باستخدام الصور الجوية و نظم المعلومات الجغرافية ArcGIS ، ومعرفة العوامل

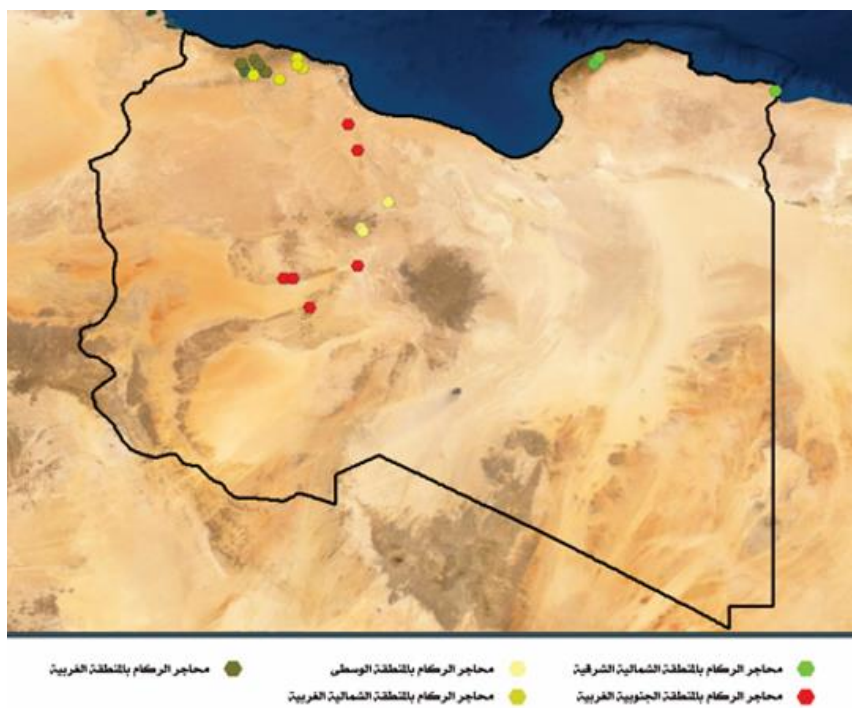
## المحور الأول: تخطيط وتصميم المنشاءات في البيئة الصحراوية

المؤثرة في تغيير الغطاء الأرضي خلال تلك الفترة بهدف انتاج خرائط رقمية للغطاء الأرضي في فضاء بrama ، وتم تحديد ثلاثة أنواع رئيسية للغطاء الأرضي وهي : الأرضي العمرانية ، الأرضي الزراعية، الغابات ، وتبين وجود تغير في مساحات الأرضي المبنية ، حيث وصلت نسبة التغير إلى 50%، بينما وصلت نسبة التناقص في مساحة الأرضي الزراعية إلى 10.3%، مع تغير مساحة أراضي الغابات وتراجعاً بنسبة 29% [3] .

### 5. بيانات عن مواقع المحاجر في ليبيا [4]

#### 1.5 تحديد موقع محاجر الركام

تم رصد بيانات موقع المحاجر المارة بمسار السكة الحديدية من قبل جهاز التنفيذ للطرق وسكك الحديدية وبلغت 25 محجر وقد شملت البيانات الاختبارات على الركام ويوضح الشكل (1) موقع هذه المحاجر والتي تم رصد معظمها بواسطة جهاز GPS Positioning System Global



شكل (1) يوضح مواقع محاجر الدراسة في ليبيا

#### 2.4 موقع ونتائج اختبارات الركام

تم جمع الاختبارات على الركام الطبيعي الذي تم الحصول عليه من كافة المحاجر في ليبيا والمتمثلة في محاجر المنطقة الشمالية الغربية، ومحاجر المنطقة الجنوبية الغربية، ومحاجر المنطقة الوسطى، ومحاجر المنطقة الشمالية الشرقية، ومحاجر المنطقة الغربية وسنوضح من خلال جدول (1) موقع بعض المحاجر المستهدفة في الدراسة وجدول (2) يبين نتائج بعض الاختبارات التي أجريت على الركام، كما يلي :

## المحور الأول: تخطيط وتصميم المنشاءات في البيئة الصحراوية

جدول (1) بعض مواقع وبيانات محاجر الدراسة في ليبيا

notes	Location name	Coordinates of Location		Date of explosion	sheet name	No
		E	N			
بالقرب من مصنع الرابطة	جبل تونات	12° 57' 55.5"	32° 13' 50.5"	7.12.2003	طرابلس	1
تعرف بكسارة بل فجر بمنطقة راس الأفعى	كسارة المارافق	12° 52' 25.1"	31° 24' 14.1"	7.12.2003	طرابلس	2
بالقرب من كسارة المارافق بمنطقة راس الأفعى	كسارة الاتحاد	12° 52' 05"	32° 24' 46"	7.12.2003	طرابلس	3

جدول (2) بعض الاختبارات الفنية على صخور محاجر الدراسة في ليبيا

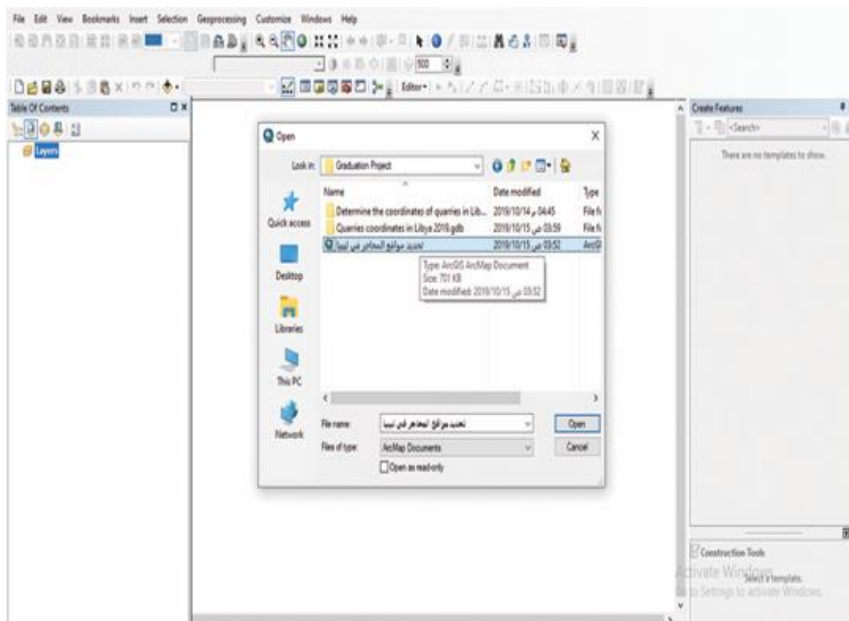
نتائج الاختبارات الخاصة بتقييم المحاجر										uniaxial compressive (Mpa)		
sheet no	unit weight kg/m3	sieve analysis	flakiness value %	elongation value %	specific gravity	water absorption %	fineness %	impact value %	crushing value %	loss anglos test %	ع	إ
1	1505	*	29.9	39.42	2.51	0.44	*	18.1	22.2	16.3	65.67	290.2
2	1525	*	20.4	29.7	2.63	1.05	3.45	23.9	24.66	23.1	23.15	162.5
3	1508	*	19.8	35.4	2.67	0.77	1.36	25.4	23.38	23.38	18.77	107

### 5. توظيف البرنامج GIS بالدراسة<sup>[2]</sup>

تم إنشاء قاعدة بيانات تحتوي على موقع وخصائص محاجر الركام في ليبيا باستخدام برنامج نظم المعلومات الجغرافية. وكان عدد الموقع المستهدفة لدراسة 25 محجر. تم تقسيم محاجر الركام في ليبيا إلى خمسة مناطق، حيث تم جمع وحصر هذه البيانات في 900 خلية والخطوات التالية تبين كيفية العمل بقاعدة البيانات:

## المحور الأول: تخطيط وتصميم المنشاءات في البيئة الصحراوية

- باستدعاء قاعدة البيانات المخزنة في الحاسوب والتي قمنا بوضعها في القرض C تحت اسم (تحديد احداثيات المحاجر في ليبيا) ثم نضغط عليها، كما هو موضح في الشكل (2)

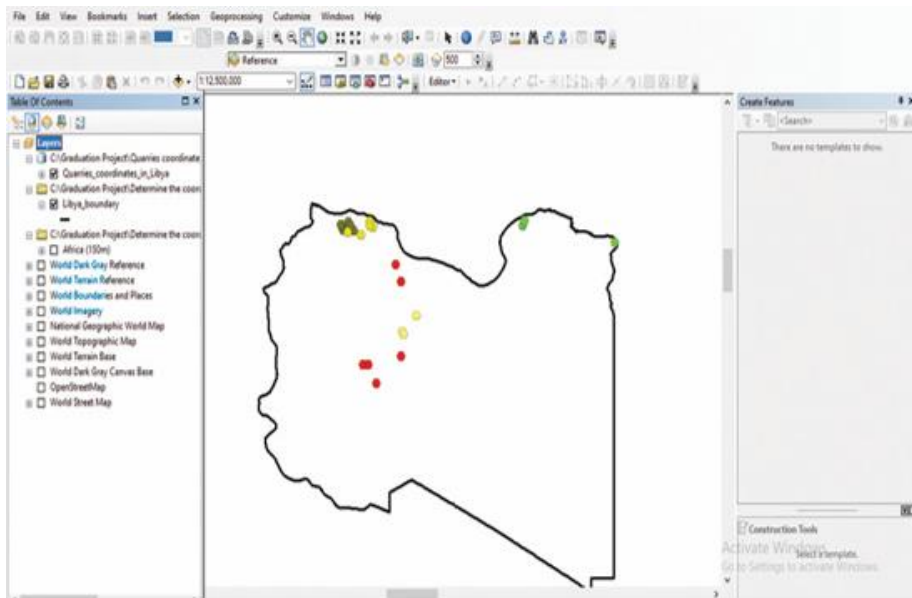


الشكل (2) استدعاء قاعدة البيانات

- عند فتح الملف سيتم ظهر كل الاحداثيات في الخريطة على هيئة نقاط وترمز النقاط الى الاحداثيات (الخطوط الطول والعرض) وعلى جانب الخريطة يظهر لنا Layers وهي الطبقات الخاصة بالخريطة وتوجد بجانب كل طبقة مربع فارغ عند الضغط عليه سيتم وضع الطبقة على الخريطة لتبين وتوضح معالم الخريطة او تقسيم المناطق وغيرها يوجد منها خرائط GIS وباقى الخرائط تم اتصالها على الانترنت عن طريق الأقمار الصناعية. كما هو موضح في الشكل (3).

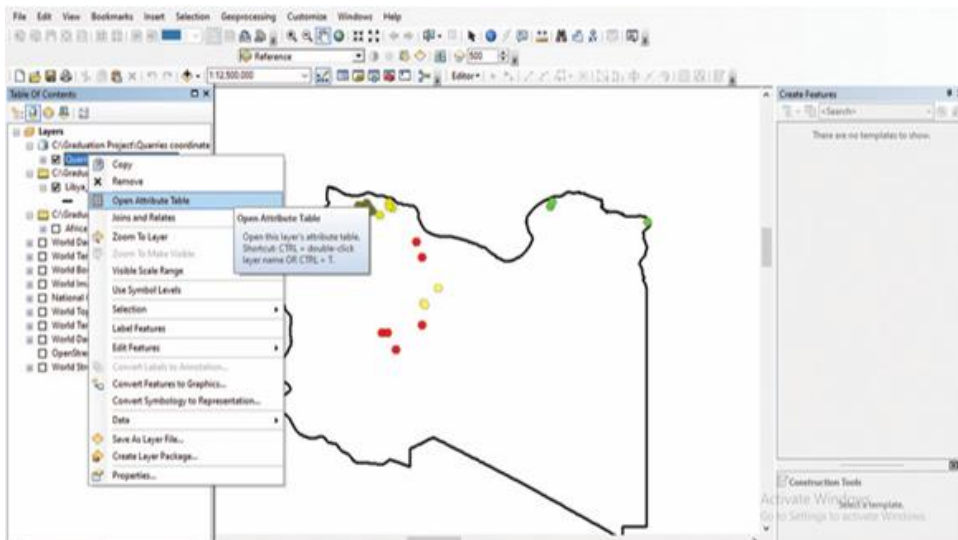
- يمكننا اظهار البيانات للنقاط كاملة عن طريق الذهاب الى الطبقات Quarries ثم نضغط على Layers، ثم نضغط على الزر اليمين للفأرة ويظهر لنا قائمة نضغط من خلالها على Open Attribute Table وهو الخيار الذي يظهر لنا قاعدة البيانات لكل الاحداثيات بالإضافة إلى الاختبارات الفنية لها والتي تم إدخالها في البرنامج خلال هذا العمل. كما هو موضح في الشكل (4).

## المحور الأول: تخطيط وتصميم المنشاءات في البيئة الصحراوية



الشكل (3) اظهار كافة الإحداثيات لمواقع المحاجر الركامية التي تم إدخالها •

- سيعرض لنا البرنامج كافة الخلايا التي تم إدخالها ويتم البحث عن المحاجر عن طريق الضغط على اسم المحجر او عن طريق البحث او عن طريق تتبع البيانات الخاصة لكل محجر في الجداول. كما هو موضح في الشكل (5).

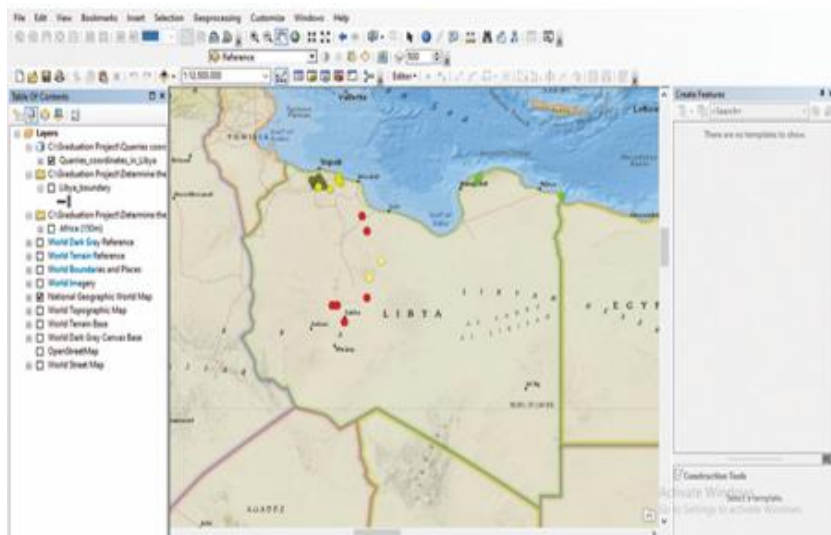


الشكل (4) كيفية اظهار كافة البيانات المدخلة

## **المحور الأول: تخطيط وتصميم المنشاءات في البيئة الصحراوية**

الشكل (5) قائمة الإحداثيات والاختبارات الفنية للمهاجر الركامية

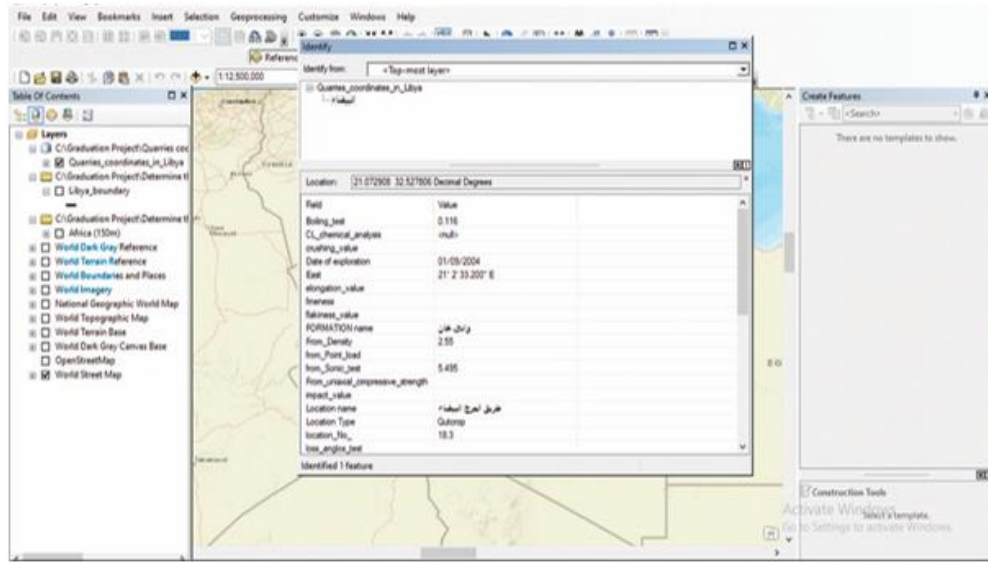
- عند الانتهاء من عرض الجدول نضغط على زر الإغلاق حتى نخرج ونظهر لنا خريطة لليبيا سواء من الخرائط أو خرائط عن طريق الأهمار الصناعية تبين لنا المدن الليبية وموقع كل نقطة على الخريطة وأين تقع بشكل مبسط وواضح وتفصيلي أكثر وهيا من أفضل أنواع الطبقات نظراً لكونها تبين كل نقطة أين تقع تحديداً على الخريطة لسهولة الوصول إليها ومعرفة المحجر القريب من المشروع مستقبلاً ليتم الاستفادة منها كما هو موضح في الشكل (6) إذا أردنا معرفة بيانات كل محجر على حدّ نقوم بالضغط على إحدى النقاط، ثم نضغط على المحجر الذي نريد معرفة البيانات الخاصة به على سبيل المثال نضغط على المحجر الذي يقع في مدينة البيضاء (وادي خان) ثم نضغط على الزر الأيمن للفأرة ثم تظهر لنا القائمة كما هو موضح في الشكل(7) ثم نضغط على Identify وتعني اظهار البيانات.



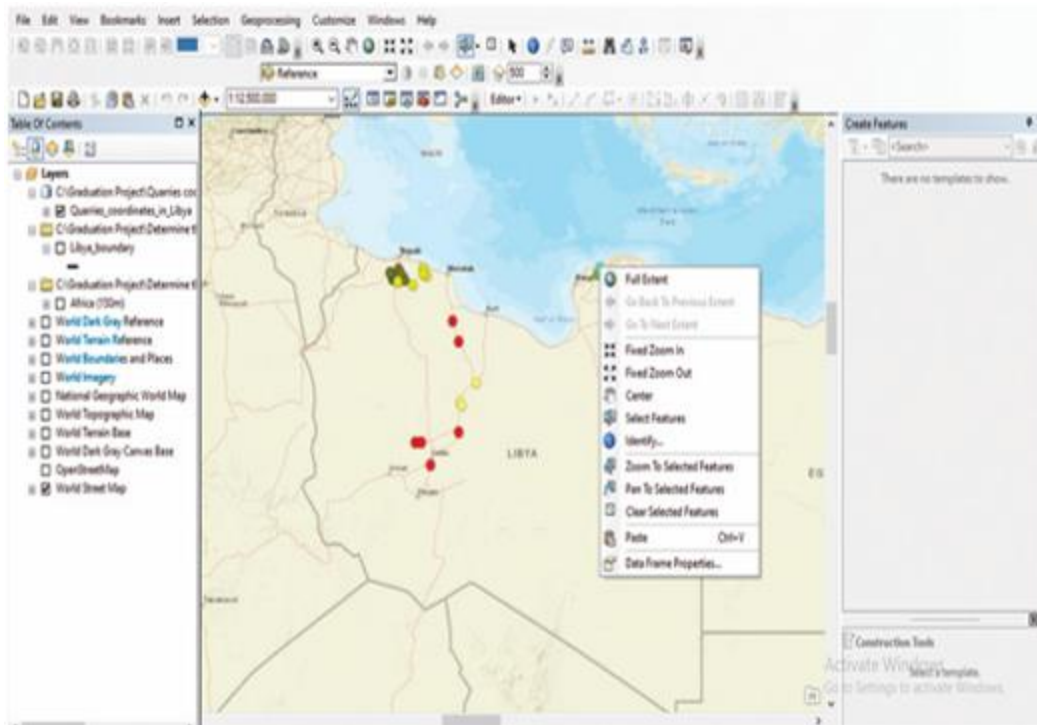
الشكل (6) خريطة لليبيا عن طريق الاقمار الصناعية

## المحور الأول: تخطيط وتصميم المنشاءات في البيئة الصحراوية

- ثم تظهر لنا البيانات الخاصة بالمحجر التي تم إدخالها كالتالي وبالتمرير الى أسفل تظهر لنا باقي البيانات، كما هو في الشكل (8)



الشكل (7) تحديد أحد محاجر الركام للمنطقة الشمالية الشرقية (البيضاء وادي خان)



الشكل (8) بيانات محجر (وادي خان في مدينة البيضاء)

## المحور الأول: تخطيط وتصميم المنشاءات في البيئة الصحراوية



محاجر الرخام بالمنطقة الشمالية الشرقية (البيضاء)

الشكل (9) صورة لمحجر وادي خان عن طريق الأقمار الصناعية

يتيح لنا البرنامج عند ربطه بإنترنت اظهار المعالم الجغرافية للموقع وذلك عن طريق التقرير بخاصية (zoom) ليبين لنا المحجر عن قرب والطرق والمباني القريبة منه وكيفية الوصول إليه وموقعه تحديداً كما هو في الشكل (9) حتى يسهل الوصول إليه ومعرفة مكان وقوعه بشكل دقيق جداً.

### 5. الاستنتاجات

- تم حصر ما يقارب 25 محجر وتم تقسيم محاجر الركام في ليبيا إلى خمسة مناطق، والمتمثلة في محاجر المنطقة الشمالية الغربية، ومحاجر المنطقة الجنوبية الغربية، ومحاجر المنطقة الوسطى، ومحاجر المنطقة الشمالية الشرقية، ومحاجر المنطقة الغربية، حيث تم جمع وحصر هذه البيانات في 900 خلية .

- تم توظيف برنامج نظم المعلومات الجغرافية (GIS) في إعداد قاعدة بيانات عن كل ما تم جمعه من معلومات عن المحاجر لسهولة الوصول إليها وأرشفتها إلكترونياً ليستفيد منها أكبر قدر ممكن لمن يحتاجون هذه المعلومات بالإضافة إلى الاستغناء عن الأرشيف الورقية.

- تم جمع معظم البيانات عن المحاجر الركامية داخل ليبيا كالموقع العام، الإحداثيات، وخصائص محاجر الركام

### 6. التوصيات

- مقارنة هذه الخواص الموثقة للركام بالمواصفات العالمية والمطلوبة لتنفيذ الخلطات الإسفلاتية وذلك حتى يتم تحديد المحاجر التي يمكن قبول أو رفض مواد الرصف منها.

## **المحور الأول: تخطيط وتصميم المنشاءات في البيئة الصحراوية**

- تصميم خلطات إسفلانية لكل محجر بحسب خواص الركام الموثقة له وذلك بعد مقارنتها بالمواصفات العالمية والتأكد من مدى ملائمتها لهذه المواصفات وذلك للتعرف على مدى تأثير خواص الركام على الخلطات الإسفلانية لكل محجر.
- ضرورة الاستفادة من وسائل الاستشعار عن بعد ونظم المعلومات الجغرافية في بناء قاعدة بيانات تستقيد منها الشركات أثناء القيام بالمشاريع، لأن برنامج نظم المعلومات الجغرافية يعتمد إلى جمع وتحليل البيانات وحصرها وسهولة الوصول إليها لأنه يوفر الوقت والجهد والدقة والسرعة في النتائج، دون الاستغناء عن الدراسة الميدانية مع توصية الجهات المختصة للاستفادة من هذه التقنيات في اختيار أنساب المواقع وأقربها للمشروعات المستقبلية مثل الطرق والسكك الحديدية وغيرها.
- ضرورة الاهتمام بتجهيز قاعدة من المتخصصين في تقنيات نظم المعلومات الجغرافية والاستشعار عن بعد وقواعد البيانات وتطبيقاتها في مستوى البكالوريوس والدراسات العليا لتكون قاعدة عريضة من الكفاءات البشرية لتلبية احتياجات السوق مستقبلاً وللحاق بركب هذه التقنيات عالمياً
- تفعيل وتمكين الاعتماد على نظم المعلومات الجغرافية وتأسيس قواعد بيانات مكانية ووصفية كبيرة ومتوسطة الحجم.

### **8. المراجع**

- محمود عامر عثمان سالم ، رصد التغييرات للغطاء الأرضي لمنطقة طرابلس وما جاورها باستخدام تقنيتي الاستشعار عن بعد ونظم المعلومات الجغرافية خلال الفترة ( 2001 م الي 2015 م ) .
- حمد عبدالسلام سوسي ، استخدام تقنية الاستشعار عن بعد ونظم المعلومات الجغرافية في مراقبة التغير في مساحة غابات شمال شرق ليبيا ، الأكاديمية الليبية ، 2013 م .
- دلل زرقيات ويسري الحسبان ، كشف التغير في الغطاء الأرضي باستخدام الصور الجوية ونظم المعلومات الجغرافية في قضاء بربما\_ جرش ، المملكة الأردنية الهاشمية ، 2012 م .
- الجهاز التنفيذي للطرق الحديدية ( الدراسات الفنية لصخور طبقة الأساس للمحاجر في المناطق الجنوبية و الوسطى و الشرقية و الغربية من مسار السكة الحديدية .
- د. خالد محمد غومة ( دليل استخدام نظم المعلومات الجغرافية ) ، ورقة عمل - كلية الآداب - قسم الجغرافيا و نظم المعلومات الجغرافية - ربيع 2017.

### حدود قوام التربة الطينية في بعض مناطق ليبيا

مسعود فرج أبوكليش

أستاذ مشارك بقسم الهندسة المدنية

كلية الهندسة/جامعة وادي الشاطئ

Email: m.abouklaish@wau.edu.ly

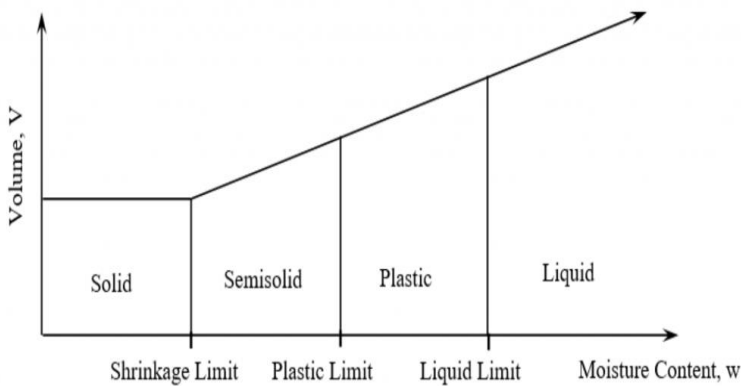
#### الملخص:

التربة الطينية هي التربة المتماسكة الحبيبات و هي أحد أنواع التربة الهندسية و التي تتواجد بكثرة في بعض المناطق بلبيبا الأمر الذي يتطلب الاهتمام بدراستها و التعرف على سلوكياتها و خصائصها الهندسية المختلفة و التي تعتبر من الأمور الهامة للمختصين في مجالات الأعمال الهندسية المختلفة. إن تغير محتوى الرطوبة و الخواص الهندسية للتربة الطينية يسبب الكثير من الأضرار للأبنية و المنشآت الهندسية و يعد من أكثر المشاكل التي تواجه المهندسين المختصين. و تعتبر حدود القوام للترابة المتماسكة الحبيبات من المعايير الرئيسية المستخدمة في تصنيف و تحديد الخواص الهندسية لهذه الأنواع من التربة. و لأهمية دراسة حدود قوام التربة الطينية فقد تم جمع أكثر من أربعون عينة تربة من بعض المناطق في جنوب ليبيا، و عند أعمق تراوحت بين نصف متر و ثلاثة أمثار و أجريت عليها اختبارات معملية و هي اختبارات حد السائلة و حد اللدونة و الأنكماش الطولي و تم حساب دليل اللدونة و دليل القوام و عمل بيان و توضيح للنتائج و تحديد و وصف لحالات و سلوكيات هذه العينات من التربة و مقارنة لنتائج العينات بعضها ببعض و تخلص هذه الورقة إلى إستنتاجات و توصيات.

الكلمات الدالة: التربة الطينية، الخصائص الهندسية للتربة الطينية، حدود قوام التربة الطينية، سلوكيات التربة الطينية

#### المقدمة:

التربة الطينية هي التربة المتماسكة الحبيبات و التي قطر حبيباتها ما بين 0.075 مم إلى 0.001 مم و فقاً لمعظم التصنيفات الهندسية<sup>[1,2]</sup>، و تتأثر سلوك و خصائص التربة الطينية بمجموعة من العوامل منها حجم و شكل الحبيبات و بالتركيب المعذني و بالمحتوى الرطوي. و قد بين العالم السويدي أتربرغ(1911) أن التربة الناعمة الحبيبات ممكن أن تكون في أربع حالات رئيسية و هي الحالة السائلة و اللدونة و شبه الصلبة و الصلبة و أن محتوى الرطوبة التي تحول فيه التربة من حالة إلى أخرى يعرف بحدود قوام التربة أو حدود أتربرغ (شكل 1) و الحدود التي تدرس و تستخدم على نطاق واسع هي حد السائلة و حد اللدونة و حد الأنكماش<sup>[3,4,5]</sup>. و حدود قوام التربة الطينية يتم إيجادها عن طريق إجراء اختبارات معملية، و تعتبر طريقة كاسغراندي هي الأساس في تحديد حد السائلة و حد اللدونة للتربة المتماسكة الحبيبات و تتطلب طرق الإختبار المختلفة أجهزة و أدوات خاصة و تتطلب الدقة في إجراء الإختبارات و تتطلب الخبرة و المعرفة و التخصص، و أهتم العديد من الباحثين المختصين<sup>[6,7,10]</sup> بدراسة حدود القوام للتربة المتماسكة الحبيبات و إيجاد علاقات بينها و بين بعض الخصائص الهندسية الأخرى، و بمعرفة حدود القوام للتربة و بمعرفة المحتوى الرطوي نستطيع إيجاد علامات أو مؤشرات مثل علامة اللدونة و علامة السائلة و علامة القوام و درجة الإنكمash و وبالتالي يمكننا التعرف على سلوكيات التربة و تصنيف التربة و تعطينا مؤشر واضح عن خصائصها الهندسية ، و تعتبر حدود القوام من المتطلبات الضرورية و المهمة في العديد من التصنيفات الهندسية للتربة و بمعرفة تصنيف التربة نستطيع استخدام التربة باستخدام مثالى و صحيح في جميع الأعمال التي تتطلب تربة طينية من مواد بناء أو إنشاء مباني على تربة طينية.



شكل(1) حالات و حدود قوام التربة المتماسكة الحبيبات

### الهدف من البحث:

حيث أن التربة الطينية تتأثر بمحنوى الرطوبة و ممكن أن تتغير من حالة إلى أخرى و تختلف الصفات الهندسية للتربة و قوامها في كل حالة من الحالات، عليه فإنه من المهم معرفة حدود القوام لها لأن ذلك يمكننا من التعرف على سلوكها و خصائصها الهندسية و يساعدنا في عمليات إستخدام هذه الأنواع من التربة في الأعمال الصناعية و الهندسية المختلفة. و زيادة البحث و الدراسة على أنواع مختلفة من التربة الطينية و إيجاد خصائصها الهامة مثل خصائص حدود القوام يساعد الباحثين المختصين على وضع دليل تصنيف يتم العمل و الإشتراك به عند إستخدام التربة الطينية في الأعمال الهندسية المختلفة.

### عينات التربة و إختباراتها:

عينات التربة تم إخراجها و جمعها من أعماق تراوحت بين 0.5 متر إلى 3 أمتر من مناطق براك، العافية، أولاد يوسف، محروقة، سبها في الجنوب الليبي، و عدد 45 عينة تربة و وزن حوالي 2 كجم لكل عينة و ضعت في أكياس و علب و نقلت إلى معمل الإختبار و أجريت عليها الإحتياطات الازمة لتحضيرها للإختبارات. و لجميع إختبارات حدود القوام(حد السائلة، حد اللدونة، حد الإنكماش الطولي) فإن العينات تم تجفيفها و بعد التأكد من إكمال تجفيفها تم دقها و طحنها بالمطرقة و أخذت كمية من كل عينة تربة و تم نخلها بالمنخل رقم 40 ( $425\mu\text{m}$ ).

#### 1. اختبار محتوى الرطوبة

اختبار محتوى الرطوبة للتربة من الإختبارات الهامة و الضرورية و التي يلزم إجراءها لعينات التربة ، و في هذا البحث تم تحديد محتوى الرطوبة لعينات التربة و هي في حالتها الموقعة و التي تتطلب الحفاظ على رطوبة عينات التربة و وضعها في أوعية خاصة و إختبار عينة التربة و هي في حالتها الطبيعية الموقعة، و قد تم الإختبار حسب نظام و إرشادات الجمعية الأمريكية لإختبارات المواد (ASTM D2216-10).

## المحور الأول: تخطيط وتصميم المنشاءات في البيئة الصحراوية

### 2. اختبار حد السائلة

حد السائلة للترابة الطينية يمكن تعريفه بعدة تعريفات و منها إنه الحد الفاصل بين الحالة اللينة و الحالة السائلة و هو أقل محتوى مائي تكون فيه الترابة سائلة و لكنها تتمتع ببعض قوة المقاومة للقص، و هو من حدود القوام الهامة و يتم إيجاده عن طريق إختبار عينة الترابة في المعمل بجهاز (كاسغراندي) أو بإستخدام جهاز إختراق المخروط. و في هذا البحث تم إختبار العينات عن طريق جهاز كاسغراندي(شكل 2) و حسب تعليمات و إرشادات نظام الجمعية الأمريكية لاختبارات المواد(ASTM)، و لكل عينة تربة تم عمل خمسة محاولات إختبار و بعد عمل الحسابات الالزامية تم رسم العلاقة بين محتوى الرطوبة و بين عدد الدقات المتحصل عليها في الإختبار تم إيجاد محتوى الرطوبة المقابل للعدد(25 دقة) و الذي هو حد السائلة لعينة التربة.



شكل (2) جهاز كاسغراندي لتحديد حد السائلة للتربة

### 3. اختبار حد اللدونة

حد اللدونة للترابة الطينية و يمكن تعريفه بعدة تعريفات و منها إنه الحد الفاصل بين الحالة شبه الصالية و الحالة اللينة و هو المحتوى المائي أو نسبة الرطوبة للترابة و الذي إذا قل عنه تصبح التربة غير لينة، و هو من حدود القوام الهامة و يتم إيجاده بإختبار عينات الترابة في المعمل و حسب طريقة الإختبار المعتمدة، و تم إختبار العينات حسب تعليمات و إرشادات نظام الجمعية الأمريكية لاختبارات المواد(ASTM). و تم استخدام أدوات خاصة لهذا الإختبار و تم أخذ الحيطة و الدقة في إجراء الإختبار، و الشكل(3) يبين بعض الأدوات المستخدمة في الأختبار و لكل عينة تربة تم عمل أربعة محاولات إختبار و تحديد محتوى الرطوبة و متوسط قيم المحتوى الرطobi للعينة هو حد اللدونة لعينة التربة.



شكل(3) توضيح لبعض الأدوات المستخدمة في إختبار حد اللدونة

## المحور الأول: تخطيط وتصميم المنشاءات في البيئة الصحراوية

### 4. اختبار حد الإنكمash

حد الإنكمash للترابة الطينية و يمكن تعريفه بعدة تعريفات و منها إنه الحد الفاصل بين الحالة الصلبة و الحالة شبه الصلبة و هو أقل نسبة للمحتوى المائي للترابة و الذي لا يحدث بعده أي نقص في حجم الترابة نتيجة لفقدان الرطوبة منها، و هو من الحدود الهامة و يتم إيجاده في المعمل باستخدام أدوات خاصة حسب طريقة الإختبار. و في هذه الدراسة تم إيجاد حد الإنكمash الطولي حسب تعليمات و إرشادات نظام الجمعية البريطانية لاختبارات الترابة (BS 1377-2) و الشكل(4) يبين شكل القالب المستخدم في الإختبار.



شكل(4) القالب المستخدم في اختبار الإنكمash الطولي لعينات الترابة و بمعلومية حد السبيولة و حد اللدونة و محتوى الرطوبة لعينات التربة تم إيجاد علامة اللدونة، و علامة القوام ، حيث تعتبر هذه العلامات أو المؤشرات من الأدلة الهامة لتصنيف التربة و معرفة حالاتها و سلوكياتها.

### نتائج الإختبارات المعملية:

#### 1. نتائج اختبارات الخصائص الهندسية

نتائج اختبارات محتوى الرطوبة( $w$ )، حد السبيولة( $w_L$ )، حد اللدونة( $w_P$ )، علامة اللدونة( $I_c$ )، علامة القوام ( $I_c$ )، حد الإنكمash الطولي( $LS$ ) لعينات التربة من مناطق (العايفية، أولاد يوسف، محروقة، براك، سبها) كما هي مبينة في الجدول(1).

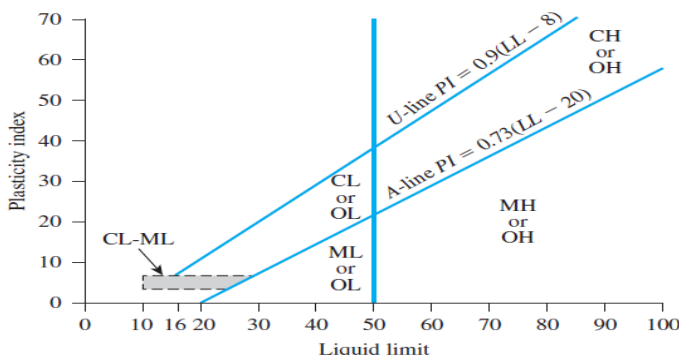
جدول (1): محتوى الرطوبة و حدود القوام لعينات التربة

عينات التربة من مناطق (براك، سبها) عند أعمق ( من 0.5 m إلى 3 m )	عينات التربة من مناطق (العايفية، أولاد يوسف، محروقة) عند أعمق ( من 0.5 m إلى 1 m )	الخصائص الهندسية
$w \leq 15$	$w \leq 25$	محتوى الرطوبة ( $w\%$ )
$30 < w_L < 45$	$20 < w_L < 30$	حد السبيولة ( $w_L\%$ )
$18 < w_P < 35$	$14 < w_P < 25$	حد اللدونة ( $w_P\%$ )
$5 < I_c \leq 15$	$4 < I_c \leq 10$	علامة اللدونة ( $I_c\%$ )
$1 \geq I_c > 0.75$	$0.75 \geq I_c \geq 0.5$	علامة القوام ( $I_c\%$ )
$LS \leq 8$	$LS \leq 5$	حد الإنكمash الطولي ( $LS\%$ )

## المحور الأول: تخطيط وتصميم المنشاءات في البيئة الصحراوية

### 2. تصنیف عینات التربة

صنفت عینات التربة بواسطه نظام التصنیف الموحد(USCS) و مخطط اللدونة شکل(5)، كان تصنیف عینات تربة عند الأعماق من 0.5 م إلى 1 م هي تربة طینية رخوة إلى تربة طینية سلتهیة رخوة ، أما عینات التربة عند الأعماق من 0.5 م إلى 3 م هي تربة طینية بها نسبة قليلة من الطمي و صلبة في حالة الجفاف . و نتائج تصنیف عینات التربة كما هو مبین في جدول(2).



شكل(5) مخطط اللدونة

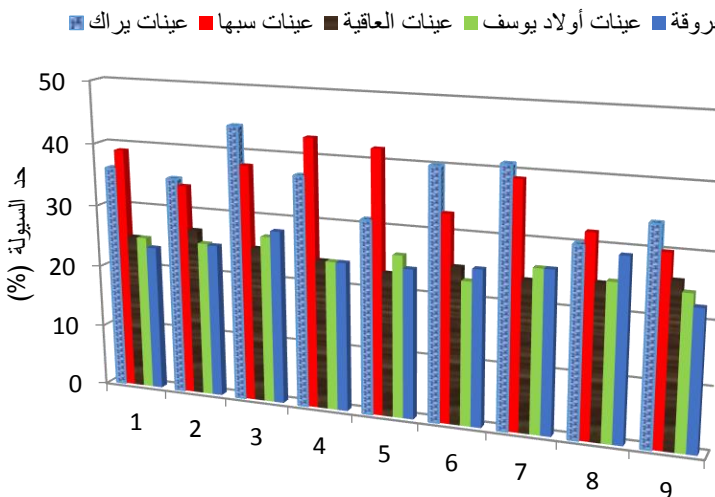
جدول (2): تصنیف عینات التربة

وصف العینات	تصنیف العینات حسب نظام(USCS)	أعماق العینات(م)	عدد العینات	مناطق عینات التربة
تربة طینية غير عضویة بها نسبة قليلة من الطمي و صلبة في حالة الجفاف	CL	من 0.5 إلى 3.0	18	(براك، سبهـا)
تربة طینية غير عضویة رخوة إلى تربة طینية سلتهیة رخوة	CL & ML	من 0.5 إلى 1.0	27	( العافية، أولاد يوسف، محروقة )

### تحليل و مناقشة النتائج:

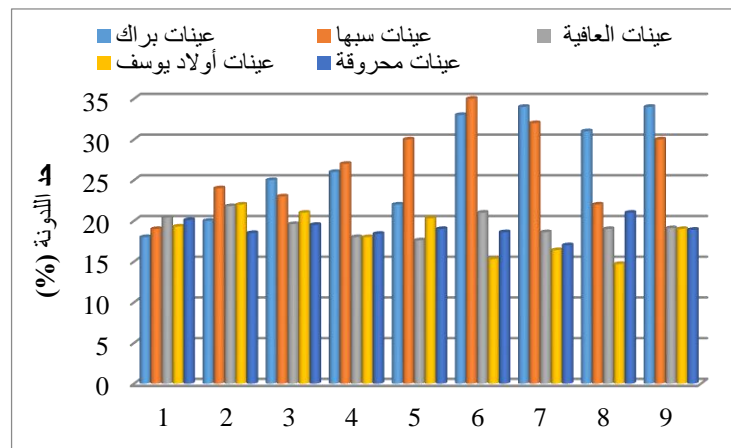
الشكل(6) يبيـن العلاقة بين قـيم حد السـيـولة لـعـینـاتـ الـتـرـبـةـ تمـ إـختـيـارـهاـ مـنـ مـنـاطـقـ الـجـنـوبـ بـلـيـبـياـ وـ مـنـ خـلـالـ الشـكـلـ نـلـاحـظـ التـقـارـبـ بـيـنـ قـيمـ حدـ السـيـولةـ لـعـینـاتـ مـنـاطـقـ الـعـافـيـةـ،ـ أـلـادـ يـوسـفـ،ـ مـحـرـوـقـةـ وـ التـقـاوـتـ بـيـنـهـاـ وـ بـيـنـ عـینـاتـ مـنـاطـقـ بـرـاكـ،ـ سـبـهـاـ،ـ وـ أـنـ قـيمـ حدـ السـيـولةـ لـعـینـاتـ مـنـاطـقـ الـعـافـيـةـ،ـ أـلـادـ يـوسـفـ،ـ مـحـرـوـقـةـ أـقـلـ مـنـ قـيمـ حدـ السـيـولةـ لـعـینـاتـ مـنـاطـقـ بـرـاكـ،ـ سـبـهـاـ،ـ كـمـ يـوـجـدـ تـقـارـبـ بـيـنـ عـینـاتـ بـرـاكـ وـ عـینـاتـ سـبـهـاـ،ـ وـ هـذـاـ التـقـارـبـ وـ التـقـاوـتـ بـيـنـ قـيمـ حدـ السـيـولةـ لـعـینـاتـ التـرـبـةـ يـرـجـعـ لـعـدـةـ أـسـبـابـ مـنـهـاـ الـأـخـلـافـ فـيـ نـوـعـيـةـ وـ مـكـوـنـاتـ التـرـبـةـ وـ الإـخـلـافـ فـيـ قـوـامـ التـرـبـةـ،ـ وـ أـعـماـقـ عـینـاتـ،ـ وـ لـجـمـعـ عـینـاتـ التـرـبـةـ فـإـنـ حدـ السـيـولةـ كـانـ أـكـثـرـ مـنـ 20%ـ وـ أـقـلـ مـنـ 50%，ـ وـ جـمـعـ عـینـاتـ التـرـبـةـ مـنـ الـأـعـماـقـ وـ الـمـنـاطـقـ الـمـخـلـفـةـ لـهـاـ حدـ سـيـولةـ قـلـيلـ.

## المحور الأول: تخطيط وتصميم المنشاءات في البيئة الصحراوية



شكل(6) حد السيولة لعينات التربة من المناطق

الشكل(7) يبين قيم حد اللدونة لجميع عينات التربة التي تم اختبارها من مناطق الجنوب بليبيا، و من خلال الشكل نلاحظ أن حد اللدونة لعينات مناطق العافية، أولاد يوسف ، و محروقة أقل من حد اللدونة لعينات مناطق براك و سباها، و هذا الإختلاف كان بسبب الإختلاف في مكونات التربة و قوام التربة و أعماق عينات التربة. و لجميع عينات التربة فإن قيم حد اللدونة تراوحت بين 15% و أقل من 35%.

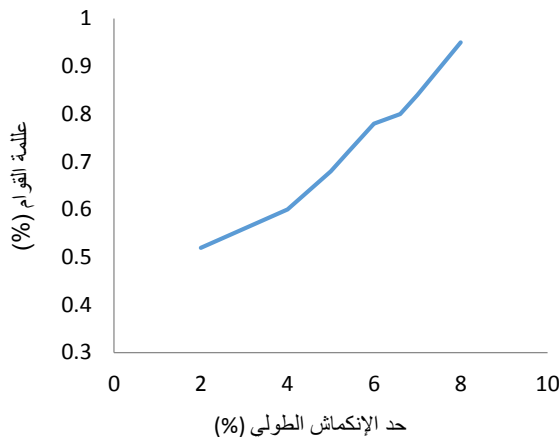


شكل(7) حد اللدونة لعينات التربة من المناطق

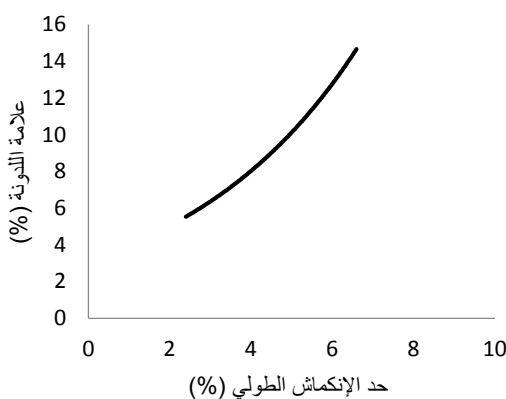
الشكل(8) يبين العلاقة بين حد الإنكمash الطولي و علامة اللدونة لعينات التربة، و نلاحظ أن حد الإنكمash الطولي يزيد بزيادة علامة اللدونة، و لجميع عينات التربة فإن التمدد و الإنكمash لها قليل أو متواضع.

الشكل(9) يبين العلاقة بين حد الإنكمash الطولي و علامة القوام لعينات التربة، و نلاحظ أن حد الإنكمash الطولي يزيد بزيادة علامة القوام و أن قوام عينات التربة يتراوح بين الرخو إلى الكثيف.

## المحور الأول: تخطيط وتصميم المنشاءات في البيئة الصحراوية



شكل(8) العلاقة بين حد الإنكمash الطولي و علامة اللدونة لعينات التربة



شكل(9) العلاقة بين حد الإنكمash الطولي و علامة القوام لعينات التربة

### الخلاصة

- عينات التربة من جميع المناطق كان تصنيفها بين(CL)، و (ML) و هي عينات تربة طينية إلى طينية سلانية.
- جميع عينات التربة كان حد السيولة لها أقل من 50% و حد اللدونة أقل من 40%
- جميع عينات التربة كانت قليلة إلى متوسطة اللدونة ، حيث تراوحت قيم معامل اللدونة لعينات مناطق العافية ، أولاد يوسف، و محروقة بين 4% إلى 10% بينما عينات مناطق براك و سبها تراوحت قيم معامل اللدونة لها بين 5% إلى 15%.
- قيم حد الإنكمash الطولي لجميع العينات أقل من 8% و جميع العينات لها إنكمash قليل أو متوسط
- نلاحظ أن عينات التربة التي في الأعماق القريبة من سطح الأرض قوامها تربة طينية و سلانية رخوة بينما عينات التربة التي أخذت من أعماق أكبر كان قوامها تربة طينية صلبة في حالة الجفاف.
- بناء على النتائج المتحصل عليها، فإن جميع العينات التي تمت دراستها هي عينات تربة قليلة التمدد و قليلة الإنفاخ و قليلة الإنضغاطية.

.7

### النوصيات

نوصي بإستخدام عدة طرق مختلفة لإختبارات حدود القوام للترابة المتماسكة الحبيبات و مقارنة و تحليل للنتائج، كما نوصي بزيادة الدراسات البحثية لإيجاد العديد من الخصائص الهندسية لإنواع مختلفة من التربة الطينية للتعرف على مزيد من السلوكيات و الخصائص التي تمكنا من وضع دليل إرشادي يساعدنا في كيفية التعامل و كيفية استخدام التربة الطينية في الأعمال والمشاريع الهندسية المختلفة في بلادنا.

### المراجع

- [1] Das, B.M. and Sabhan. (*Principles of Geotechnical Engineering*). Eight Edition, Cengage Learning, USA,( 2017).
- [2] Das, B.M. (*Principles of Geotechnical Engineering*). Seventh Edition, Cengage Learning, USA, (2010).
- [3] Budhu, M. (*Soil Mechanics and Foundations*). Hoboken: John Wiley sons, (2011).
- [4] Ishibashi, I. & Hazarika, H. (*Soil Mechanics Fundamentals and applications*). Second Edition, Boca Ratio: CRC Press, (2015).
- [5] Whitlow, R. (*Basic Soil Mechanics*). Third Edition, (1995).
- [6] Zulal Akbal and others. (*Estimation of consistency limits of fine-grained soils via regression analysis*). Engineering Journals, (2020).
- [7] Widjaja, B. & Chriswandi. (*New relationship between linear shrinkage and shrinkage limit for expansive soils*). IOP Conference Series, (2010).
- [8] American Society for Testing and Materials (*ASTM D4318-17, ASTM D2216-10*), and (*BS 1377-2*).
- [9] Ignatius Tommy and others. (*Linear shrinkage and its correlation to shrinkage limit and index properties of kaolinite, Bentonite, and eight banding fine grained soils*). 25<sup>rd</sup> Annual National conference on Geotechnical Engineering, Jakarta, (2021).
- [10] H O Abbas. (*Assessment of accuracy in determining Atterberg limits for four Iraqi local soil laboratories*). 2<sup>nd</sup> International Conference on Engineering Sciences, IOP Publishing, (2018).

### لدراسة مرجعية: استخدام خبث الأفران المنشط قلويا كبديل للاسمنت

د.هنا عبد الفتاح الجوفي<sup>1</sup> ، م. حسناء عيد الحميد صالح<sup>2</sup>

(1): معمل مواد البناء، جامعة عمر المختار، البيضاء، ليبيا

(2): الأكاديمية الليبية فرع الحبوب الأخضر، البيضاء، ليبيا

Email: [hana.aljewifi@omu.edu.ly](mailto:hana.aljewifi@omu.edu.ly); [hasna.arheym86@gmail.com](mailto:hasna.arheym86@gmail.com)

#### الملخص

الخبث هو من المخلفات الصناعية والتي تتكون كناتج ثانوية لعملية تصنيع الحديد الصلب في الأفران، وهو عبارة عن مادة مكونة من جزيئات زجاجية تتشكل عن تبريد خبث الفرن المنصهر بسرعة، على سبيل المثال باستخدام الماء. وهو منتج غير معدني يتكون من سيليكات وألومينوسيليكات الكالسيوم ومواد أخرى، والذي يمكن استخدامه وإعادة تدويره لصنع عناصر جديدة تكون بدائل لنتائج التي تضر بالبيئة. ونظراً لأنها من المواد القليلة البديلة للكلكر، سيوفر هذا البحث دراسة نظرية لإمكانية تصنيع بديل أقل ضرراً. بسبب تزايد الطلب على الاسمنت وتسارع وتيرة البناء لن يكون إلغاء تصنيعه بطريقته الاعتيادية أمراً ممكناً.

في هذه الورقة تمت مراجعة مجموعة من الدراسات التي تطرقت لإمكانية استخدام خبث الأفران من مصنع الحديد والصلب في صناعة مواد ذات تأثير بيئي منخفض للبناء. وسيكون هذا مفيدة للغاية في تقليل استخدام الاسمنت البورتلاندي الاعتيادي في صناعة الخرسانة، ونتيجة لذلك تقليل الانبعاثات من عملية التصنيع وتقليل تلوث الهواء. حيث يشمل الخبث مكونات مماثلة لتكوين الاسمنت مثل السيليكا والحديد والألومنينا وأكسيد الجير، والتي تؤهله لتوليد مادة رابطة مماثلة للاسمنت الاعتيادي.

بالإضافة لذلك، تهدف هذه الورقة إلى التتبُّؤ بكيفية أداء مكونات الخبث عند تنشيطها بالقلويات المختلفة من أجل إنتاج الإسمنت البديل حيث أنه من الصعب تعميم نتائج الدراسات المشابهة نظراً لوجود العديد من العوامل التي تؤثر ومن بينها البنية المجهرية، خصائص المصدر، التركيب الكيميائي، مدة الخلط، درجة حرارة الخليط، ونوع وتركيز المنشط القلوبي.

**الكلمات المفتاحية:** خبث فرن الصهر المحبب؛ التنشيط القلوبي؛ خواص الخرسانة؛ السلوك الميكانيكي.

### ١. المقدمة

تعد الخرسانة من أكثر المواد استهلاكاً من قبل البشر وتحتل المرتبة الثانية بعد الماء مباشرةً، حيث يستهلك الفرد حول العالم حوالي 3 أطنان سنوياً من الخرسانة ولا شك أن إجمالي هذه الكمية سيزداد بازدياد عدد السكان [1]. تتكون الخرسانة من مجموعة من المواد المفككة (الرمل والركام) التي تحتاج إلى مادة رابطة تكسبها القوة المطلوبة، وبعد الإسمنت هو أكثر المواد استخداماً لربط مكونات الخرسانة، ويستخدم أيضاً لأغراض التشطيبات للأسطح وتشكيل العناصر الزخرفية [2].

#### ١.١ أضرار صناعة الإسمنت

منذ بدء الثورة الصناعية ازداد الطلب على الإسمنت وخاصة الإسمنت البورتلاندي والذي بدأت صناعته منذ العام 1824 باستخدام مواد ذات نسب عالية من معادن الطين وذلك بحرقها في درجات حرارة تصل إلى 1450 درجة مئوية لإنتاج الكلنكر والذي يتكون بدوره من مركبات مثل سيليكات الكالسيوم والومينات الكالسيوم، والتي ينتج عن طحنها مادة ناعمة شديدة التفاعل مع الماء حيث تبدأ عمليات الترطيب والتثبيت على الفور تقريباً [2].

ينشأ عن عمليات إنتاج الإسمنت مشاكل بيئية خطيرة بدءاً من استخراج المواد الخام وما ينجم عنها من إتلاف المناظر الطبيعية واستنزاف الموارد، مروراً بعمليات التصنيع والتي تتضمن الحرق والتبريد والطحن والتعبئة في الأكياس وما تتطلبه هذه الأنشطة من استهلاك طاقة لها تأثيرات بيئية سلبية، جدول ١. حيث تشكل الانبعاثات في الهواء أكبر مصدر فلق للتلوث في صناعة الإسمنت كما ينتج عنها تلوث الماء والترية والتلوث الضوضائي، وت تكون الانبعاثات الغازية من غازات ثاني أكسيد الكربون وأكسيد النيتروجين وغيرها من الغازات والتي تساهم بشكل كبير في ظاهرة الاحتباس الحراري، مما تطلب البحث عن بدائل أخرى تحل مكان الإسمنت البورتلاندي في الخرسانة [3]. وتشمل المحاولات الحثيثة لقليل التلوث الناجم عن تصنيع الإسمنت البورتلاندي بذل الكثير من الجهد البحثي لإيجاد أفضل البدائل لصناعة إسمنت، كاستخدام مواد خام ناتجة بالأساس عن العمليات الصناعية المختلفة تتطلب إضافة القليل من العمليات التصنيعية البسيطة لتحويلها إلى إسمنت ومن بين تلك المواد الرماد المتطاير وخبث الأفران وغيرها [2].

جدول 1: انبعاثات غاز ثاني أكسيد الكربون من عملية إنتاج الكلنكر من مواد الخام في سيريلانكا [1].

السنة	إنتاج الكلنكر (طن)	عامل الانبعاث	إنتاج ثاني أكسيد الكربون (طن)
1990	382370	0.613	234392.81
1991	398875	0.613	244510.38
1992	408925	0.613	250671.03
1993	423455	0.613	259577.92
1994	415380	0.613	254627.94
1995	403210	0.613	247167.73
1996	439190	0.613	7269223.4
1997	453335	0.613	277894.36
1998	448505	0.613	274933.57
1999	378358	0.613	231933.45
2000	378286	0.613	231889.32
2001	379200	0.613	232449.60

## 2.1 خبث الأفران الحبيبية الأرضية (GGBS) (Ground granulated blast furnace slag)

### 1.2.1 تعريف الخبث

الخبث هو نفايات صلبة تنتج عن مجموعة من الصناعات من بينها صناعة الحديد والصلب، شكل 1 يوضح مظهر خبث افران الحديد والصلب. لكل طن من الحديد يتم الحصول على كمية تتراوح ما بين 0.2-0.5 طن من الخبث، وتعتمد الكمية الدقيقة الناتجة على مكونات المواد الخام وكفاءة وحجم فرن الصهر، حيث لا تتجاوز الكمية في أفران الصهر الحديثة 0.3 طن من الخبث، والتي تعتبر كمية كبيرة إذا ما اخذ في عين الاعتبار المخاطر البيئية لتراكمها وعدم إدارتها بشكل مناسب [4].

تعد عملية إعادة تدوير الخبث من أسس الإدارة السليمة لتلك النفايات، من خلال تقليل كميات النفايات التي يجب التخلص منها، وإنتاج مواد بديلة لمواد أخرى تتطلب صناعتها الحق أضرار جسيمة بالبيئة، ونظرًا لتركيبه الكيميائي والذي يشمل أكسيد الكالسيوم ( $\text{CaO}$ )، أكسيد السيليكون ( $\text{SiO}_2$ )، أكسيد الألومنيوم ( $\text{Al}_2\text{O}_3$ ) وأكسيد الحديد ( $\text{FeO}$ ) فهو يعد أحد البدائل الهامة للكانكر في صناعة الإسمنت. كما يحتوي الخبث على مكونات سامة مثل النيكل ( $\text{Ni}$ ) والكادميوم ( $\text{Cd}$ ) والكروم ( $\text{Cr}$ ) والسترونتيوم ( $\text{Sr}$ ) والتي قد تلوث البيئة. ويكمن التحدى في أن الخواص الهيدروليكيّة

## **المحور الثاني: مواد التشييد الملائمة للبيئة الصحراوية**

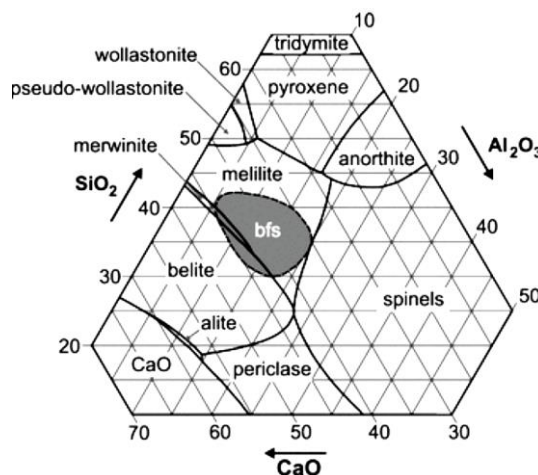
للخبث تحتاج الى عملية تنشيط لتحقيق التفاعل اللازم لاستخدامها كمادة رابطة بديلة عن الإسمنت البورتلاندي في الخرسانة [4].



شكل 1: خبث أفران مصنع الحديد والصلب بحسب [5].

### **2.2.1 تكوين خبث الأفران (GGBS)**

يتشكل خبث الأفران عن طريق اندماج الشوائب الموجودة في المواد الخام المستخدمة لإنتاج الحديد أثناء انصهارها، ويكون غالباً من السيليكا وأكسيد الكالسيوم والألومنيوم والماغنيسيوم والتي تحدد نسبها المركبات الأساسية للخبث، شكل 2. في أفران صناعة الحديد والصلب يطفو الخبث فوق الحديد السائل عند درجات حرارة تتراوح من 1300-1600 درجة مئوية، وعندما يخرج من الفرن يتم تبریده إما بشكل بطيء بواسطة الهواء أو بشكل سريع عن طريق نفاثات الماء. ويبلغ الحد الأقصى لحجم جسيمات الخبث حوالي 5 ملم وغالباً ما يكون زجاجياً إذا تم تبریده بالماء، وهذا المحتوى الزجاجي العالي هو شرط أساسي للتفاعل الهيدروليكي الكامن مما يصنع منه عند تعيمه وطحنه بديل للإسمنت ممتاز إذا ما توافرت فيه الاستجابة الكافية للتنشيط القلوي والتي ترتبط بطبيعة تكوينه [4].



شكل 2: مخطط مركبات الخبث الأساسية وفقاً لنسب ( $\text{CaO}-\text{SiO}_2-\text{Al}_2\text{O}_3$ ) مع نسبة  $(\text{MgO} = 10\%)$  بحسب [6].

والجدير بالذكر، أن تكوين الخبث تربطه علاقة وطيدة بطبيعة وتكوين المواد الخام المستخدمة في إنتاج الحديد، والتي سيكون لها تأثير على قابلية تنشيطه باستخدام المواد القلوية وكيفية استجابته أثناء التفاعل مع الماء وهذا ما يحد من إمكانية تعليم نتائج دراسات تنشيط الخبث قلويًا على المستوى العالمي، لتصبح حالات الدراسة على المستويات المحلية فريدة من نوعها بشكل نسبي [4]. جدول 2 يوضح بعض النسب المئوية للتكون الكيميائي الأساسي للخبث.

جدول 2: المركبات الكيميائية الأساسية لخبث الأفران وفقاً لبعض المراجع.

المراجع						المركب
[11]	[11]	[10]	[9]	[8]	[7]	
النسبة المئوية للمكونات الكيميائية الرئيسية (%)						
0.44	1.01	3.32	0.57	0.39	1.68	$\text{Fe}_2\text{O}_3$
11.87	12.15	11.69	10.32	13.65	11.66	$\text{Al}_2\text{O}_3$
34.72	35.5	34.94	30.10	35.54	40.20	$\text{SiO}_2$
8.24	8.34	7.42	0.77	4.11	5.88	$\text{MgO}$
41.05	41.45	40.89	53.32	41	35.90	$\text{CaO}$
0.83	0.92	-	-	1.91	-	$\text{S}^{-2}$
2.43	2.47	1.19	-	0.06	0.90	$\text{SO}_3$
-	-	0.16	-	0.01	0.30	$\text{Na}_2\text{O}$

## **المحور الثاني: مواد التشييد الملائمة للبيئة الصحراوية**

### **3.2.1 تنشيط الخبث قلويًا**

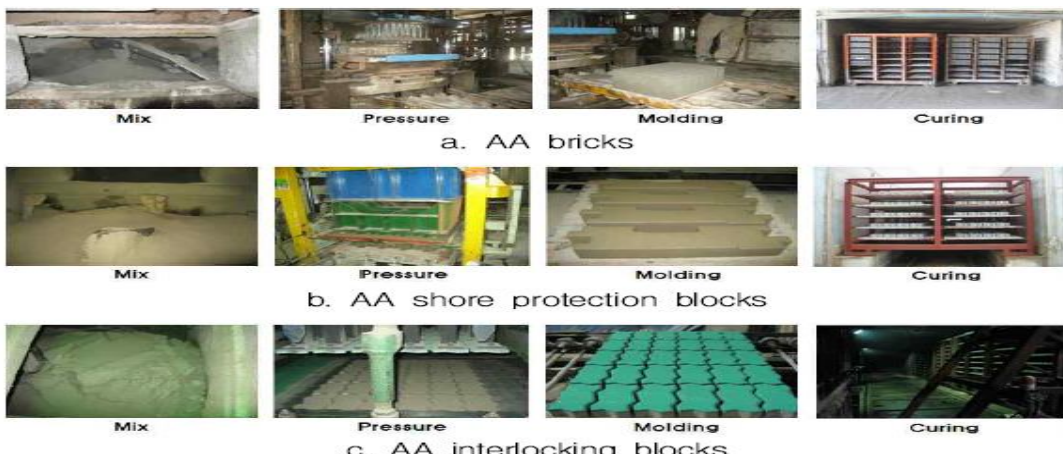
يتطلب الخبث استخدام مادة قلوية لتحفيز خواصه الهيدروليكيّة الكامنة لإطلاق التفاعلات عند خلطه مع الماء ويطلق على تلك المواد القلوية المستخدمة أحياناً اسم المنشطات القلوية، هذه المنشطات قادرة على تحرير مونومرات الألومينات والسيликات في مادة سيليكات الألومينيوم والتي تكون عند ذوبانها هلام الألومينوسيليكات. وبعض الأمثلة الشائعة للمنشطات القلوية (هيدروكسيد الصوديوم  $\text{NaOH}$ )؛ سيليكات البوتاسيوم ( $\text{KOH}$ )؛ سيليكات البوتاسيوم ( $\text{K}_2\text{O}_3\text{Si}$ ) وسيليكات الصوديوم ( $\text{Na}_2\text{O}_3\text{Si}$ ). من الناحية النظرية، كلما ارتفع مستوى القلوية زادت كمية الذوبان ومع ذلك فإنه في حالة هيدروكسيد الصوديوم وهيدروكسيد البوتاسيوم فقد أثبتت عملياً أن هيدروكسيد الصوديوم بإمكانه تحرير مونومرات السيليكات والألومينات أكثر مما يحرره هيدروكسيد البوتاسيوم، وتم توصيف سيليكات الصوديوم بأنها توفر تنشيط أعلى بكثير عند مقارنتها بهيدروكسيد الصوديوم وكربونات الصوديوم. كما وجدت البحوث العملية أن استخدام المنشطات المركبة هي أكثر فاعلية من استخدام منشط واحد وتخالف النسب المستخدمة في مخاليط التنشيط باختلاف نوع المنشط ونوع الخبث لإحداث توازن في نواتج التفاعل للحصول على الخصائص الخرسانية المرغوب فيها. حيث أن هذه المنشطات هي المسئول الأول عن وقت الإعداد السريع، والانكماش العالى، وتفاعل السيليكا القلوي المحتمل، وهناك عوامل أخرى تؤثر في الخصائص الرئيسية للخرسانة المنشطة قلويًا من بينها تأثير وقت الخلط، حرارة الماء وظروف المعالجة [4]، وغيرها من العوامل التي سيتم التطرق لها في البند 1.3 لاحقاً.

### **4.2.1 بعض تطبيقات الخبث المنشط قلويًا**

لخرسانة الخبث المنشط قلويًا مقاومة انضغاط عند عمر 10 سنوات أعلى بنسبة 100-200% من مقاومة الانضغاط عند 28 يوماً، مما يظهر تضوراً ممتازاً للقوة على المدى الطويل [12]. ومع ذلك، فإنه بالنسبة للتطبيق الميداني للخرسانة المنشطة القلوية، لا تزال هناك العديد من المشكلات التي يتبع حلها، مثل الفقدان السريع لقابلية التشغيل وتدهور الخرسانة بسبب تفاعل الركام القلوي. من أجل تطبيق الخرسانة المنشطة القلوية بمزاياها المختلفة على الأعضاء الإنسانية، يجب دعم البحث التجاري والتحليل على الأداء الميكانيكي وسلوك الأعضاء الإنسانية. من ناحية أخرى ، فإن التطبيق المباشر للمواد الرابطة المنشطة القلوية على المنتجات الثانوية الخرسانية غير معقد نسبياً وفعال للغاية. بشكل عام ، تكون منتجات الخرسانة الثانوية جافة، لذا فهي لا تتأثر بفقدان السائلة، والأداء المطلوب للمنتج ليس متطلباً

## المحور الثاني: مواد التشييد الملائمة للبيئة الصحراوية

مثل الخرسانة الإنشائية. على وجه الخصوص ، إذا تم استخدام الخرسانة المنشطة القلوية لمنتج الخرسانة الثانيسي سيكون لها مزايا مختلفة مثل الصدقة البيئية وذلك من خلال تقليل انبعاثات ثاني أكسيد الكربون والحفاظ على الموارد بسبب استخدام المنتجات الثانوية الصناعية عوضا عنها. شكل 3 يوضح بعض المنتجات الثانوية لخرسانة الخبث المنشط قلويا والمتمثلة في الطوب الخرساني وكل الرصف المعشق وكل حماية الشاطئ. حيث أظهرت هذه المنتجات اداءً بيئيًّا ممتازاً مقارنة بنظائرها من المنتجات الثانوية الاسمنتية، حيث كان الرقم الهيدروجيني لكتل حماية الشاطئ المصنوعة باستخدام مادة رابطة مكونة من خبث الفرن العالي المنشط قلويا قريباً من المحايد، مما قلل من السمية وخلق بيئه موائمه للنباتات والأسماك عند الشاطئ [12].



شكل 3: مراحل إنتاج بعض المنتجات الخرسانية الثانوية (طوب خرساني، كل حماية الشاطئ، وكل الرصف معشق) [12].

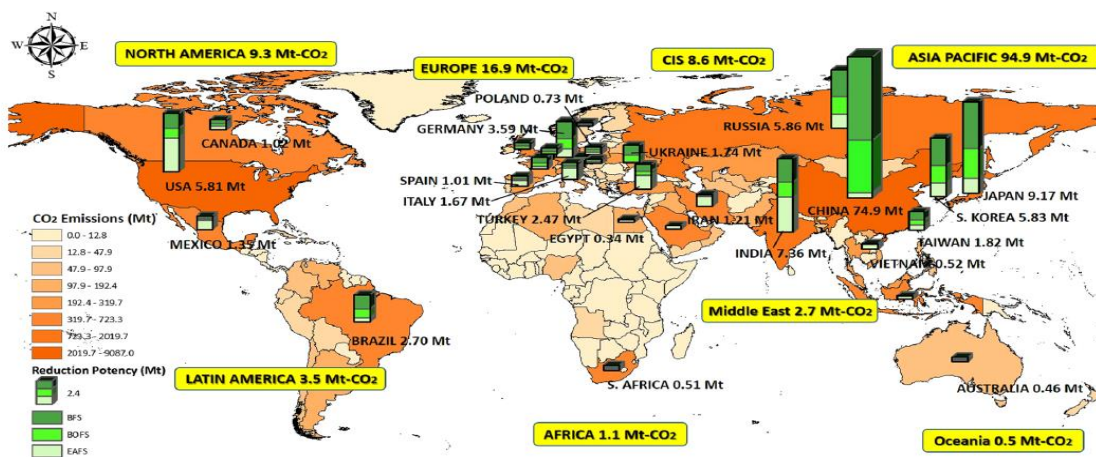
### 5.2.4.1 الأهمية البيئية لاستخدام خبث الأفران كبديل عن الكلنكر في إنتاج الإسمنت

في الوقت الراهن يعد تقليل ثاني أكسيد الكربون هدفاً بيئياً هاماً في جميع أنحاء العالم وذلك في محاولة للحد من غازات الاحتباس الحراري. حيث زادت الانبعاثات في الفترة الواقعة بين عامي 2000 و2006 بنسبة 54% مما كانت عليه على مستوى العالم، ومع النمو السكاني وزيادة الطلب على الخرسانة كمادة أساسية للبناء من المتوقع أيضاً أن يزداد إنتاج الإسمنت ما بين 1.2-0.8% سنوياً، لتبلغ كمية إنتاجه 3.7-4.4 مليار طن في عام 2050 [8].

وبسبب المشاكل البيئية المرتبطة بإنتاج الإسمنت بدأت بعض بذائع التنمية المستدامة في الظهور، كتطوير التقنيات المستخدمة في مصانع الإسمنت؛ استخدام مواد بديلة (نفايات ومنتجات صناعية) كبدائل جزئية أو كاملة للنفط أو الوقود أو المواد الخام أو الكلنكر (الإسمنت مع الإضافات) أو عبر تطوير مواد إسمنتية جديدة أكثر كفاءة من الناحية

## المحور الثاني: مواد التشييد الملائمة للبيئة الصحراوية

البيئية، وبعض أنواع الإسمنت البديلة هي تلك الناتجة عن التفاعل الكيميائي بين المحاليل القلوية القوية مع بعض المواد الطبيعية أو النفايات الصناعية مثل الرماد المتطاير أو خبث الأفران [8]. تعد استراتيجية استخدام الخبث كمكون رئيسي في إنتاج الخرسانة فعالة في تقليل البصمة الكربونية لإنتاج الإسمنت بنسبة تصل إلى 30%， حيث يستهلك إنتاج الخبث المنشط قلويًا حوالي 1300 ميجا جول من الطاقة ويطلق فقط 0.07 طن من ثاني أكسيد الكربون، بينما تتطلب عملية إنتاج نفس الكمية من الإسمنت البورتلاندي 5000 ميجا جول من الطاقة وينتج عنها 1 طن من ثاني أكسيد الكربون، وتعد صناعة الإسمنت مسؤولة عن حوالي 7% من إجمالي انبعاثات ثاني أكسيد الكربون حول العالم، حيث ينبعث حوالي 50% منها نتيجة حرق المواد الخام و50% المتبقية تتبع من استخدام الطاقة. شكل 4 يظهر فاعلية اتباع استراتيجية إعادة تدوير نفايات مصانع الحديد والصلب في تخفيض انبعاثات ثاني أكسيد الكربون حول العالم. [13].



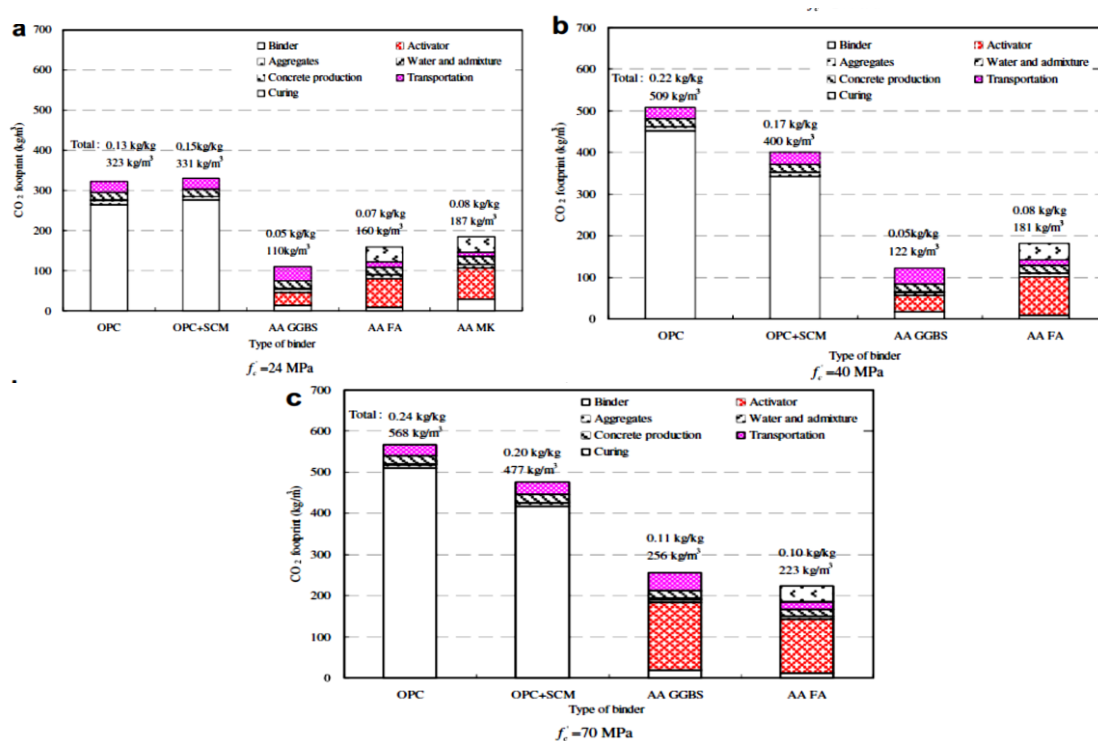
شكل 4: فاعلية التخفيض المباشر لغاز ثاني أكسيد الكربون من خلال إنشاء سلسلة إمداد لتحويل النفايات الصناعية إلى مورد متمثلاً في خبث الحديد والصلب و خبث أفران الصهر (BFS) وخبث أفران الأكسجين الأساسي (BOFS) وخبث أفران القوس الكهربائي (EAFS) طبقاً لـ [14].

يجب أن يصبح هدف تقليل البصمة الكربونية لعملية إنتاج الخرسانة أثناء تصميم الخلطة الخرسانية هدفاً أساسياً جنباً إلى جنب مع أهداف المتطلبات الهندسية المتعارف عليها مثل قوة الضغط المقبولة وقابلية التشغيل. إن قياس التأثيرات البيئية لمعاجين الخبث المنشط قلويًا يحتاج إلى المزيد من التقييم فيما يتعلق بموقع المصدر ومصدر الطاقة ونسبة مزيج الخرسانة وطريقة النقل، والأهم من ذلك المزيد من البحث لنقاش الأثر البيئي لنوع المادة القلوية المستخدمة كمنشط، والتي قد تنتج صناعة بعض أنواعها نسبة عالية نسبياً من انبعاثات ثاني أكسيد الكربون [15]، شكل 5.

## المحور الثاني: مواد التشييد الملائمة للبيئة الصحراوية

يعد نوع وكمية المادة الرابطة المضافة إلى الخليط من أهم العوامل المؤثرة في تحقيق هدف تخفيض ثاني أكسيد الكربون، أما انبعاثات ثاني أكسيد الكربون من عمليات استخراج ونقل الركام تحل في المرتبة الثانية مقارنة بانبعاثات استخراج وتصنيع المواد الخام للمادة الرابطة في الخلطات الخرسانية. شكل 5 يوضح اختلاف البصمة الكربونية لبعض أنواع الخرسانة تبعاً لاختلاف المادة الرابطة المستخدمة فيها، كما أنه يوضح نسبة مساهمة كل مكون من مكونات الخرسانة ومساهمة عمليات الإنتاج والمعالجة والنقل وذلك بحسب قاعدة البيانات في دولة كوريا الجنوبية، حيث نلاحظ أن انبعاثات ثاني أكسيد الكربون لجميع أنواع الخرسانة بشكل عام تزداد بزيادة قوة الانضغاط المطلوبة، وهذا ما يؤكد

### أهمية الأثر البيئي



شكل 5: البصمة الكربونية (Kg/m<sup>3</sup>) لأنواع مختلفة من الخرسانة بما في ذلك خرسانة الاسمنت البورتلاندي (OPC) وخرسانة الاسمنت البورتلاندي مع الاستبدال بالرماد المتطاير والخبث (OPC+SCM) وخرسانة الخبث المنشط قلوايا (AA GGBS) وخرسانة الرماد المتطاير المنشط قلوايا (AA FA) [15].

للمادة الرابطة المستخدمة في إنتاج الخلطات الخرسانية، وفيما يتعلق بالبصمة الكربونية لخرسانة الخبث المنشط قلوايا فإن مساهمة المادة القلوية في انبعاثات ثاني أكسيد الكربون كانت ملحوظة لهذا النوع، وبمقارنة بصمتها الكربونية الإجمالية وبصمة خرسانة الاسمنت البورتلاندي الاعتيادية (OPC) وخرسانة مزيج الاسمنت البورتلاندي مع الرماد المتطاير والخبث (OPC+SCM) كانت أقل بكثير [15].

### 2. مشكلة البحث

بولي العالم اهتماما كبيرا للاحتباس الحراري وطرق العلاج الممكنة وانتهت العديد من القطاعات الصناعية اجراءات مطورة للحد من ابعاث الغازات الدفيئة ومن بينها قطاع مواد البناء. حيث أنه يمكن تخفيض الانبعاثات والحفاظ على الموارد الطبيعية في آن واحد عن طريق إعادة تدوير نفايات القطاع بشكل ذاتي في اغراض صناعة الاسمنت ومن بين تلك المواد المرشحة بقعة للحلول مكان الاسمنت نفايات صناعة الحديد والصلب. سيتم في هذا البحث تسليط الضوء على اهم الدراسات التي تطرقت لهذا الموضوع وتلخيص اهم العوامل التي تحتاج للمزيد من البحث والتطوير.

### 3. مراجعة الدراسات السابقة

بعد البحث الذي نشره Kuhl في عام 1930 هو الأول من نوعه الذي استخدم المواد القلوية في صناعة الإسمنت حيث استخدم هيدروكسيد البوتاسيوم لتنشيط خبث أفران الصهر [16]، وفي عام 1940 أجرى Purdon أول دراسة واسعة النطاق على الإسمنت المصنوع من الخبث الممزوج بهيدروكسيد الصوديوم وفي غياب تام للكانكر [17]، خلال الفترة الزمنية الواقعة ما بين 1959 و 1979 تم قبول فكرة أن خبث الأفران مادة واحدة بديلة للإسمنت الاعتيادي وخصوصا بعد النجاح الكبير الذي حققه Glukhovsky في عام 1967 [18]. منذ ذلك الحين تم إجراء العديد من البحوث المكثفة لدراسة خصائص المواد المنشطة قلويا، وعلى الرغم من مرور ما يقرب القرن على اكتشاف خبث الأفران المنشط قلويا إلا أن قبوله في صناعات مواد البناء لا يزال تحت البحث والتطوير [4].

#### 1.3 اهم العوامل المؤثرة على خلطات الخبث المنشط قلويا

##### 1.1.3 تأثير نوع المنشط القلوبي

بحسب (Fernández et al. 1999) [11] فإن تأثير اختلاف نوع المنشط له التأثير الأكبر على قوة الانضغاط ثم بدرجة أقل على قوة الانحناء. حيث قام باستخدام منشطات قلوية مختلفة وهي هيدروكسيد الصوديوم وكربونات الصوديوم ومزيج من هيدروكسيد الصوديوم مع الزجاج المائي، فكان لمزيج هيدروكسيد الصوديوم مع الزجاج المائي أفضل متوسط نتائج في جميع حالات الاختبار، أما هيدروكسيد الصوديوم فكانت متوسط نتائجه في العمر المبكر للعينات 3 أيام هي الأفضل عند مقارنتها مع كربونات الصوديوم. في حين أن (Puerta et al. 2004) [19] قد أشار أن لنوع وتكوين المنشط القلوبي علاقة وثيقة مع تكوين وبنية نواتج تفاعل الترطيب الرئيسية حيث أثبتت دراسته أن معاجين الخبث

## **المحور الثاني: مواد التشييد الملائمة للبيئة الصحراوية**

المنشطة بواسطة هيدروكسيد الصوديوم كانت ذات ترتيب بنوي أعلى (بلورة أعلى) ومحتوى AL ونسبة Ca/Si أعلى من تلك المنشطة بواسطة الزجاج المائي وذلك خلال مدة زمنية من 3-24 ساعة من بداية الفاعل.

### **2.1.3 تأثير اختلاف نسبة أكسيد الصوديوم ( $\text{Na}_2\text{O}$ )**

طبقاً لـ Mohamed et al. (2019) فإن الخرسانة المسلحة/الملاط المصنوع من تنشيط خبث الأفران باستخدام مزيج من زجاج الماء وهيدروكسيد الصوديوم، والتي يتم التعبير فيها عن محتوى أكسيد الصوديوم كنسبة مئوية من إجمالي محتوى الخبث، فإن الخواص الميكانيكية للخرسانة/الملاط ترتبط بمحتوى أكسيد الصوديوم، حيث تحدث الزيادة في قوة الانضغاط بشكل متزامن مع زيادة محتوى أكسيد الصوديوم حتى حد معين ثم تعود للنطاق لاحقاً. أما بحسب Fernández et al. (1999) الذي قام بتحليل تأثير اختلاف محتوى أكسيد الصوديوم في منشطات مختلفة (هيدروكسيد الصوديوم وكربونات الصوديوم ومزيج من هيدروكسيد الصوديوم والزجاج المائي) على قوة الانضغاط والانحناء، فإن اختلاف محتوى أكسيد الصوديوم كان له تأثير ملحوظ على قوة الانضغاط في جميع الأعمار بينما كان تأثيره على قوة الانحناء ملحوظاً بعد عمر 28 يوماً، وأظهرت النتائج تحسن جيد ضمن نطاق معين لمحتوى أكسيد الصوديوم الذي يتراوح من 3-5% من وزن الخبث. في حين أن Atış et al. (2009) قام بدراسة تأثير اختلاف نسب أكسيد الصوديوم على خواص الخرسانة عن طريق تحضير عينات الملاط المصنوعة من الخبث القلوي المنشط باستخدام ثلاثة منشطات مختلفة وهي سيليكات الصوديوم السائلة (LSS) وهيدروكسيد الصوديوم (SH) وكربونات الصوديوم (SC) بتركيزات أكسيد صوديوم مختلفة ومن ثم تم قياس مقاومة الانضغاطية ووقت الإعداد لمونة الخبث المنشطة القلوية في 7 أيام و28 يوماً و3 أشهر، وخلص إلى أن ملاط الخبث المنشط باستخدام (LSS) بنسبة صوديوم مقدارها 8% أعطت أقصى مقاومة انضغاط عند جميع الأعمار ولكن قابلية التشغيل كانت منخفضة مقارنة ببقية العينات.

### **3.1.3 تأثير الخصائص الكيميائية والفيزيائية للخبث**

## **المحور الثاني: مواد التشييد الملائمة للبيئة الصحراوية**

وفقاً لـ (Humad et al. 2018) [22] فإن التركيب الكيميائي للخبث عامل هام في تفاعلاته مع المنشط، حيث أن المحتوى المرتفع من أكسيد الماغنيسيوم الموجود في الخبث المستخدم في الدراسة قد عزز من حرارة التفاعل وتكوين منتجات الترطيب بما حسن من قوة الانضغاط. وأشار (Wang et al. 1994) [23] أن اختلاف التركيب الكيميائي للخبث يؤثر بشكل ملحوظ على قوة الانضغاط عند عمر 28 يوم، حيث أنه استعمل منشطات مختلفة مع عدة أنواع من الخبث تختلف في تركيبها الكيميائي وأخضع جميع العينات لنفس ظروف المعالجة، فلاحظ أن تأثير اختلاف التركيب الكيميائي للخبث مع المنشطات القلوية الضعيفة يكون أكبر على القوة مقارنة بالمنشطات القلوية القوية مثل هيدروكسيد الصوديوم. أما فيما يتعلق بالخصائص الفيزيائية للخبث فإنه استنتج أن نعومة الخبث أحد أهم العوامل الفيزيائية المؤثرة في قوة الخبث المنشط قلويًا، حيث نصت نتائجه على أنه للحصول على قوة ميكانيكية عالية يجب أن تكون درجة نعومة الخبث في حدود 4000 – 5500 سم<sup>2</sup>/جم.

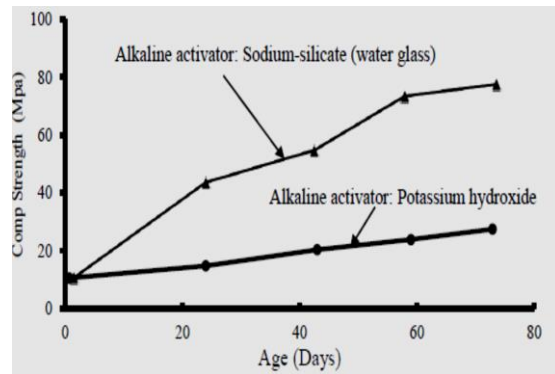
### **4.1.3 تأثير طرق المعالجة ودرجة الحرارة**

بحسب (Humad et al. 2018) [22] فإن اختلاف درجة حرارة المعالجة لها تأثير ملحوظ على المقاومة المبكرة والمتاخرة للخبث، حيث أظهرت نتائج الدراسة أن استخدام المعالجة الحرارية مع الجرعات العالية من منشطات (كريونات الصوديوم وسيليكات الصوديوم وتوليفات مختلفة من كريونات وسيليكات الصوديوم) أعطت مقاومة مبكرة ومتاخرة أفضل من المعالجة الحرارية مع الجرعات المنخفضة لنفس المنشطات.

### **2.3 بعض أهم النتائج الميكانيكية**

**1.2.3 تأثير اختلاف نوع المنشط على قوة الانضغاط**

درس تأثير اختلاف نوع المنشط القلوي على تطور قوة الانضغاط وذلك عبر مقارنته لنوعين من المنشطات وهي (سيليكات الصوديوم وهيدروكسيد البوتاسيوم)، حيث وجد أن سيليكات الصوديوم طورت قوة انضغاط أفضل من هيدروكسيد البوتاسيوم في جميع الأعمار بعد اليوم الأول، كما هو موضح في شكل 6.



شكل 6: تأثير اختلاف نوع المنشط القلوي (سيليكات الصوديوم، هيدروكسيد البوتاسيوم) على قوة الانضغاط.

### 4. الخلاصة

بناءً على ما سبق فإنه على الرغم من تباين نتائج تنشيط خبث الأفران فقد بات يُعرف على نطاق واسع كمادة بناء متعددة الأغراض يمكن استخدامها في أي مكان وفي أي نوع من أنواع البناء. من خلال نتائج الدراسات السابقة فإن قوة الضغط العالية ترتبط بنوع المنشط القلوي المستخدم وكذلك بنسب المواد الكيميائية الداخلة في تركيبه وذلك لأن منتجات تفاعل الترطيب ترتبط بنوع محلول المنشط المستخدم ، مثل استخدام الهيدروكسيد فقط أو مزيج السيليكات والهيدروكسيد . العوامل الأخرى التي تؤثر أيضاً على حركة التفاعلات هي المعالجة ، مثل ظروف العمر ودرجة الحرارة التي من الممكن أن تعمل كمحفزات للتفاعلات التي تنشط قلوباً ، وفيما يخص توصيات العمل المستقبلي لتحسين فهم آليات التفاعل لخبث المنشط قلوباً تبرز أهمية تطوير المعايير والإجراءات لتتلاءم مع التطبيق الحصري لهذه المواد أسوة بمعايير مواصفات مواد البناء الأخرى.

### 5. المراجع

- [1] Gagg, Colin R. "Cement and concrete as an engineering material: An historic appraisal and case study analysis." *Engineering Failure Analysis* 40 (2014): 114–140.
- [2] Gillot, Céline, and Arnaud Coutelas. "Cements, mortars, binders." *The Encyclopedia of Archaeological Sciences* (2018): 1–5.
- [3] Zainudeen, Nisa, and Jeyarajah Jeyamathan. "Cement and its effect to the environment: A case study in SriLanka." *Women's career advancement and training & development in the* (2021): 1408.

- [4] Awoyera, Paul, and Adeyemi Adesina. "A critical review on application of alkali activated slag as a sustainable composite binder." *Case Studies in Construction Materials* 11 (2019): e00268.
- [5] Elsageer, Mohammed Ali Abdalla, et al. "Effect of Misurata Iron and Steel Factory Slag as Aggregate on Fresh & Hardened Concrete Properties." [https://icts.tve.gov.ly/2020A\\_DOC/2020\\_AFile/DOC/AC/AC1019.pdf](https://icts.tve.gov.ly/2020A_DOC/2020_AFile/DOC/AC/AC1019.pdf) (2020).
- [6] V.I. Satarin, Portland slag cement, in: Proceeding of Sixth International Congress on Chemistry, Moscow. (1976) 45–56.
- [7] Aydin, Serdar. "A ternary optimisation of mineral additives of alkali activated cement mortars." *Construction and Building Materials* 43 (2013): 131–138.
- [8] Torres-Carrasco, Manuel, et al. "Alkali activated slag cements using waste glass as alternative activators. Rheological behaviour." *Boletín de la sociedad española de Ceramica y Vidrio* 54.2 (2015): 45–57.
- [9] Hashim, Aimi Noorliyana, et al. "Effect of sodium hydroxide (NaOH) concentration on compressive strength of alkali-activated slag (AAS) mortars." *Applied Mechanics and Materials* 754 (2015): 300–304.
- [10] Rashad, A. M., et al. "Chemical and mechanical stability of sodium sulfate activated slag after exposure to elevated temperature." *Cement and Concrete Research* 42.2 (2012): 333–343.
- [11] Fernández-Jiménez, Ana, J. G. Palomo, and F. Puertas. "Alkali-activated slag mortars: mechanical strength behaviour." *Cement and concrete research* 29.8 (1999): 1313–1321.
- [12] Sim, Jae-II, and Yang, Keun-Hyeok "Practical Application of GGBS-Based Alkali-Activated Binder to Secondary Products of Concrete". *Journal of the Korea Institute of Building Construction*. <https://koreascience.kr/article/JAKO201032654094346.page>. (2010) (5):37–44.
- [13] Sayed, Mohamad, and Sayeda R. Zeidan. "Green binding material using alkali activated blast furnace slag with silica fume." *HBRC Journal* 8.3 (2012): 177–184.
- [14] Pan, Shu-Yuan, et al. "CO<sub>2</sub> mineralization and utilization using steel slag for establishing a waste-to-resource supply chain." *Scientific reports* 7.1 (2017): 1–11.
- [15] Yang, Keun-Hyeok, Jin-Kyu Song, and Keum-II Song. "Assessment of CO<sub>2</sub> reduction of alkali-activated concrete." *Journal of Cleaner Production* 39 (2013): 265–272.

- [16] Maghsoodloorad, Hojjatollah, Hamidreza Khalili, and Ali Allahverdi. "Alkali-activated phosphorous slag performance under different curing conditions: Compressive strength, hydration products, and microstructure." *Journal of Materials in Civil Engineering* 30.1 (2018): 04017253.
- [17] Palomo, Ángel, et al. "A review on alkaline activation: new analytical perspectives." (2015).
- [18] Shi, Caijun, A. Fernández Jiménez, and Angel Palomo. "New cements for the 21st century: The pursuit of an alternative to Portland cement." *Cement and concrete research* 41.7 (2011): 750–763.
- [19] Puertas, F., A. Fernández-Jiménez, and M. T. Blanco-Varela. "Pore solution in alkali-activated slag cement pastes. Relation to the composition and structure of calcium silicate hydrate." *Cement and Concrete Research* 34.1 (2004): 139–148.
- [20] Mohamed, Osama, Rania Khattab, and Abdel kareem Alzo'ubi. "Factors Affecting Compressive Strength Development in Alkali-activated Slag Concrete." IOP Conference Series: Materials Science and Engineering. Vol. 603. No. 4. IOP Publishing, 2019.

## **إنتاج خرسانة ذاتية الدمك باستخدام بودرة الرخام**

1- د. عزالدين السنوسي العطشان ، 2- أ.د. فرحت غربي فرحت

(1) كلية التقنية الهندسية بهون ، الدرجة العلمية: محاضر ، الإيميل: [azzaldeen\\_2005@yahoo.com](mailto:azzaldeen_2005@yahoo.com)

(2) كلية التقنية الهندسية بهون ، الدرجة العلمية: أستاذ ، الإيميل: [farhat.g.farhat@gmail.com](mailto:farhat.g.farhat@gmail.com)

### **1. ملخص البحث**

يعتبر التطور العمراني أحد الركائز الأساسية الذي تقاس به تقدم الدول والذي يعتمد بدوره بشكل كبير على تقدم علم تقنية الخرسانة ومواد البناء. وقد شهدت العقود القليلة الماضية تطويراً ملحوظاً في علم تقنية الخرسانة والذي تمثل في إنتاج أنواع جديدة من الخرسانة ومنها الخرسانة عالية المقاومة والخرسانة ذات الألياف والخرسانة ذاتية الدمك، والتي تمتاز بقابليتها العالية للتشغيل وسهولة إنسابها وتدفعها الحر تحت تأثير وزنها الذاتي فقط.

تسبب بقايا مصانع الرخام مشاكل كثيرة ، فالأجزاء الصغيرة والغير متناسقة التي تنتج من قص الرخام ترمى وتلقى كنفاليات مسببة أضراراً للبيئة والإقتصاد. حيث يمكن تجميع الفاقد الناتج من عمليات قص وتسوية ألواح الرخام ثم تكسيره وطحنه بدرجة نعومة الأسمنت أو أعلى ثم استخدامه بديلاً نسبياً عن الأسمنت وبذلك يتم الاستفادة من بقايا مصانع الرخام والتقليل من استخدام الأسمنت الذي يشكل المادة الأساسية لإنتاج الخرسانة.

تم في هذا البحث دراسة خصائص الخرسانة ذاتية الدمك Self-Compacted Concrete (SCC) وأمكانية تنفيذها بالإستفادة من غرة الرخام (كريونات الكلسيوم) ليتم إحلالها جزئياً بديلاً عن الأسمنت بنسبة 10% و 25% و 35% ، حيث تمت دراسة الخواص اللدنية للخرسانة في هذا البحث. كما تم استخدام مادة سيكامنت 163 M والتي تعتبر كعامل عالي الكفاءة لخفض المحتوى المائي و ملدن قوى يزيد قابلية التشغيل بدرجة فائقة لإنتاج نوعية خرسانة ذات جودة عالية في المناخ الحار ، ويؤدي التأثير المزدوج لمادة سيكامنت 163 إلى تحسين سرعة التصلد وزيادة الإجهادات المبكرة والنهائية للخرسانة.

وقد تم التوصل في هذا البحث إلى أن إضافة بودرة الرخام بنسبة 10% و 25% تعطي نتائج ضمن الحدود المطلوبة لاختبارات الخرسانة وبشكل أفضل عند نسبة 25% ، و عند إضافتها بنسبة 35% لم تعطي النتائج المرجوة. كما أن إضافة الملدن بنسبة أقل من 760 جرام تعطي لدونة منخفضة للخرسانة ولا تحقق النتائج المطلوبة وعند إضافتها بنسبة

## **المحور الثاني: مواد التشييد الملائمة للبيئة الصحراوية**

أكبر من 760 جرام يحدث انفصال حبيبي. كما يجب مراعاة إضافة الملنن بشكل تدريجي أثناء عملية الخلط ليحدث التجانس المطلوب. بالإضافة إلى ذلك فإن السرعة أثناء عملية الخلط لها دور كبير في الحصول على النتائج المطلوبة.

: خرسانة ذاتية الدمك، بودرة الرخام، الملننات، الخرسانة اللدنـة، الإنسـيـابـيـة (Key words)كلمات دالة

### **2. المقدمة**

تمثل الخرسانة موقعاً متميزاً بين جميع المواد المستخدمة في الصناعات الإنشائية وتعتبر الأكثر استخداماً بين هذه المواد [1]. نتيجة للمنشاءات الخرسانية الضخمة أصبح التسليح والقوالب أكثر تعقيداً ولهذا نشاهد العديد من المشاكل تحدث في هذه الأماكن نتيجة لعدم كفاءة أعمال الدمك مما أدى إلى ظهور العديد من العيوب في الخرسانة كظاهرة التعشيش والتي أدت بدورها إلى التأثير على ديمومة ومتانة الخرسانة [2]. وقد استوجب هذا ضرورة التفكير في تطوير الخرسانة للحصول على خرسانة ذات إنسـيـابـيـة عـالـيـة دون اللجوء إلى أدوات الدمك كالهـزـازـاتـ وـغـيـرـهـ ، وقد سمـيـتـ هـذـهـ الخـرـسانـةـ بالـخـرـسانـةـ ذاتـيـةـ الدـمـكـ [3 & 2].

كان أول استخدام للخرسانة ذاتية الدمك في اليابان عام 1986 وقد صممت بحيث تتاسب ذاتياً لتلـمـأـ القـوـالـبـ والأـمـاـكـنـ ذاتـ التـسـليـحـ الـكـثـيـفـ دونـ الحاجـةـ إـلـىـ أدـوـاتـ الدـمـكـ [4]. بالإضافة إلى هذا فإن الخرسانة ذاتية الدمك تتميز بكافئتها في الموقع من حيث تقليل تكاليف اليد العاملة وزمن الصب والتقليل من الضوضاء والمشاكل البيئية والصحية الناتجة عن استخدام الهـزـازـاتـ [4].

بصورة عامة فإن الخرسانة ذاتية الدمك تتطلب ثلاثة أشياء رئيسية وهي القدرة على ملـأـ الفـرـاغـاتـ ، الـقـدـرـةـ عـلـىـ المرـورـ والـقـدـرـةـ عـلـىـ مقـاـوـمـةـ الإنـفـسـالـ الحـبـيـيـ. ومنـ أـجـلـ الحـصـولـ عـلـىـ هـذـهـ الـمـتـلـبـاتـ فإنـ الـخـلـطـةـ الخـرـسانـةـ تـحـتـاجـ إـلـىـ تصـمـيمـ منـاسـبـ منـ حـيـثـ نـسـبـ خـلـطـ موـادـ الـخـلـطـةـ الخـرـسانـةـ. ومنـ نـاحـيـةـ أـخـرـىـ فإنـ الـحـصـولـ عـلـىـ خـلـطـ خـرـسانـةـ ذاتـ قـدـرـةـ إـنـسـيـابـيـةـ وـاستـقـارـ عـالـيـةـ هيـ عمـلـيـةـ معـقـدـةـ بشـكـلـ أـكـبـرـ مـقـارـنـةـ بـالـخـلـطـاتـ الخـرـسانـةـ الـتـيـ تـعـتـمـدـ عـلـىـ الـهـزـازـاتـ. ولـلـحـصـولـ عـلـىـ نـسـبـ خـلـطـ منـاسـبـةـ لـلـخـرـسانـةـ ذاتـيـةـ الدـمـكـ فإنـ الـعـدـيدـ مـنـ الـأـبـحـاثـ عـلـىـ مـسـتـوـيـ الـعـالـمـ أـجـرـتـ اختـبـاراتـ وـدـرـاسـاتـ مـخـتـلـفةـ عـلـىـ نـسـبـ الـخـلـطـ الـمـنـاسـبـةـ لـلـخـرـسانـةـ ذاتـيـةـ الدـمـكـ. وـحتـىـ يـوـمـنـاـ هـذـاـ لمـ يـتمـ إـلـاقـقـ عـلـىـ نـسـبـ خـلـطـ مـوـحدـةـ لـلـخـرـسانـةـ ذاتـيـةـ الدـمـكـ للـحـصـولـ عـلـىـ الـمـوـاصـفـاتـ الـمـطـلـوـبـةـ لـهـذـهـ الخـرـسانـةـ [5, 6 & 7].

## **المحور الثاني: مواد التشييد الملائمة للبيئة الصحراوية**

اتجه الباحثين حول العالم مؤخراً لإعادة تدوير المخلفات الصناعية كمادة جزئية في الخلطات الخرسانية ، حيث تم استخدام الإضافات المعدنية مثل الرماد المتطاير وغبار السليكا والألياف الزجاجية والمخلفات البلاستيكية والتي يمكن أن تقلل التكلفة وتحسن أداء الخرسانة ذاتية الدمك. ففي أحد الدراسات بقسم الهندسة المدنية (الجامعة الأسمورية الإسلامية) تمت دراسة تأثير الألياف الزجاجية على الخواص الهندسية للخرسانة ذاتية الدمك. حيث تم استخدام الألياف الزجاجية بطولين مختلفين هما (40،20) مم وتم إضافتها إلى الخلطة بنسبة (0.1, 0.15, 0.20 %) من حجم الخرسانة ، وتم استخدام الركام الخشن والناعم بنسبة 1.5:1 وتم استخدام ماء الخلط كنسبة ثابتة من وزن الاسمنت (0.45) ومحتوى اسمنت 400 كجم/م<sup>3</sup> لجميع الخلطات. أظهرت نتائج البحث أن الخرسانة الليفية ذاتية الدمك بأطوال 20،40 مم قدرتها على الانسياب والانتشار ولكنه يتناقص بزيادة نسب إضافة الألياف. كما تبين أن الخرسانة الليفية بطول 40 مم تعرقل وتقلل من مرور الخرسانة ذاتية الدمك لأسياخ الحديد مقارنة بالخرسانة الليفية بطول 20 مم. وتتبين أيضاً وجود تحسن ملحوظ بشكل واضح بمقاومة الانضغاط لخرسانة ألياف بطول 20 مم يصل إلى 30 % مقارنة بالخرسانة الليفية بطول 40 مم [8].

وفي دراسة أخرى بكلية الهندسة رقدالين (جامعة صبراته) تمت دراسة تأثير خبث الأفران كبديل جزئي للرمل على الخواص الهندسية للخرسانة ذاتية الدمك. وتم في هذه الدراسة إضافة الخبث إلى الخرسانة ذاتية الدمك بإحلال الخبث بنسبة (20، 30، 40، 50 %) من وزن الرمل ، ومن ثم تم اختبار الخرسانة في الحالة اللينة التي تشمل قابلية الانسياب والانتشار والمرور ومقاومة الانزعال وكذلك في الحالة المتصلدة لمقاومة الضغط. وأوضحت نتائج الاختبارات أن إضافة الخبث إلى الخرسانة ذاتية الدمك كان له تأثير إيجابي في زيادة مقاومة الانضغاط ومقاومة الشد بالمقارنة مع الخلطة المرجعية ، كما بينت نتائج الاختبارات الطيرية للخلطات الخرسانية الحاوية على الخبث بأن إضافة الخبث يؤدي إلى زيادة في قابلية التشغيل للخرسانة ذاتية الدمك [9].

وفي دراسة مشتركة بين (كلية الهندسة رقدالين وكلية التقنية الهندسية زواره) تمت دراسة تأثير إضافة الألياف والمخلفات البلاستيكية على الخواص الهندسية للخرسانة ذاتية الدمك. حيث تم اختبار ثلاثة خلطات محتوية على نسب مختلفة من الألياف البلاستيكية ، حيث كانت تلك النسب (0.5 ، 1 ، 1.5 %) من وزن الاسمنت. وبيّنت الاختبارات أن إضافة

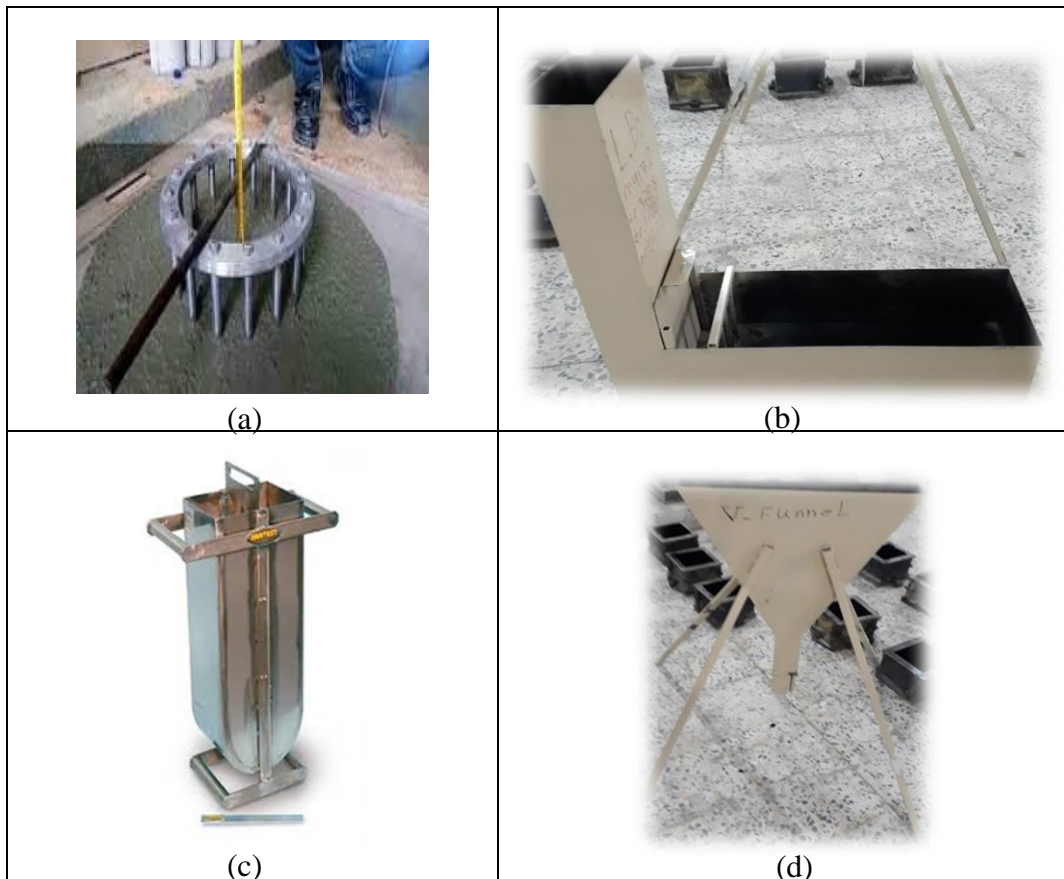
## **المحور الثاني: مواد التشييد الملائمة للبيئة الصحراوية**

الألياف البلاستيكية إلى الخرسانة ذاتية الدمك كان لها تأثير إيجابي في زيادة مقاومة الانضغاط والشد ولكنها أدت إلى انخفاض في قابلية التشغيل للخرسانة ذاتية الدمك [10].

وبشكل عام فإن هذه الإضافات غير متوفرة في ليبيا بالكميات المطلوبة ، ومع ارتفاع تكلفة استيرادها كان من الضروري البحث عن بديل يلبي احتياجات الخرسانة ذاتية الدمك ومتوفّر داخل البلاد كغرة الرخام ، حيث تنتج مخلفات معامل الرخام من عمليات قص ونشر وتهذيب وتسوية سطوح الرخام في هذه المعامل ، وتعتبر غرة الرخام متوفرة وأقل تكلفة نسبياً مقارنةً ببقية الإضافات الأخرى. إلا أن الأبحاث حول استخدام غرة الرخام أقل من غيرها خاصةً في الخرسانة ذاتية الدمك [11].

### **3. منهج البحث**

في هذا البحث تم دراسة خصائص الخرسانة ذاتية الدمك (SCC) وإمكانية تفريذها بالاستفادة من غرة الرخام ليتم احلالها جزئياً بديلاً عن الأسمنت بنسـب 10 ، 25 ، 35 %. حيث تمت دراسة الخواص اللدنـة لهذه الخلطـات وذلك بإجراء عدة اختبارـات منها اختبار المـهـطـول (Slump Flow Ring) واختبار حـلـقة جـيـرـينـق (Jirng test) واختبار (V-Funnel) واختبار (U-Box) حيث تم تصنيع هذه الأجهـزة الأربعـة محلـياً داخل مدـيـنـة هـونـ كما هو موضـح في الشـكـل (1).



شكل (1) الأجهزة المستخدمة في اختبارات الخرسانة اللدنة

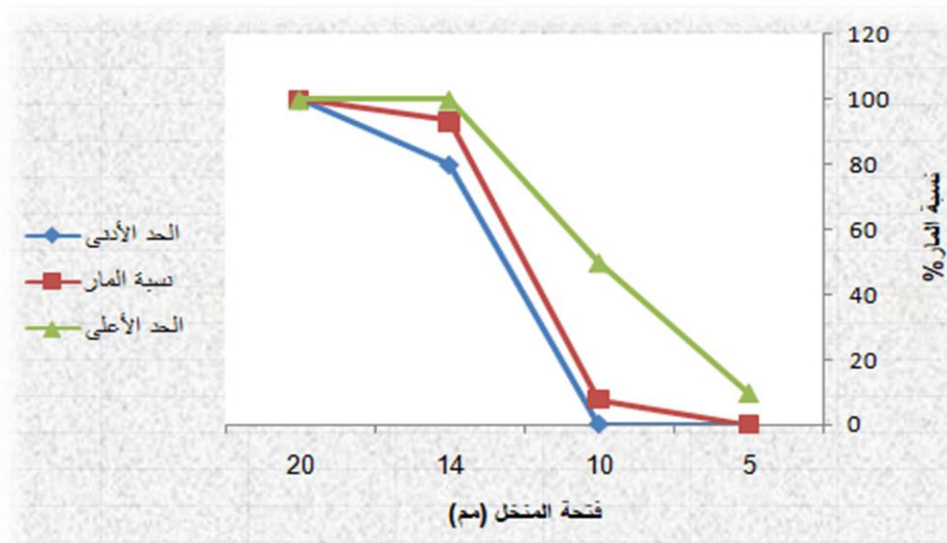
تم اختيار مكونات الخلطة الخرسانية من مواد متوفرة محلياً وهي الإسمنت والركام ( ركام صغير و ركام كبير ) والماء والمادة المالة (غيرة الرخام) والملدن الفائق ، وقد تم إجراء العديد من التجارب على هذه المواد للتأكد من مدى مطابقتها لمواصفات الخلطات الخرسانية. حيث تم استخدام الإسمنت البورتلاندي العادي المنتج من قبل مصنع الإسمنت بمدينة زليتن والشائع استخدامه محلياً. أما بالنسبة للركام الخشن فقد كان مصدره المحاجر بمدينة سوكنة وقد أجريت عليه مجموعة من التجارب المعملية لمعرفة مدى مطابقته للمواصفات وكانت النتائج كما هو موضح بالجدول (1).

## المحور الثاني: مواد التشييد الملائمة للبيئة الصحراوية

جدول (1) نتائج اختبارات الركام الكبير

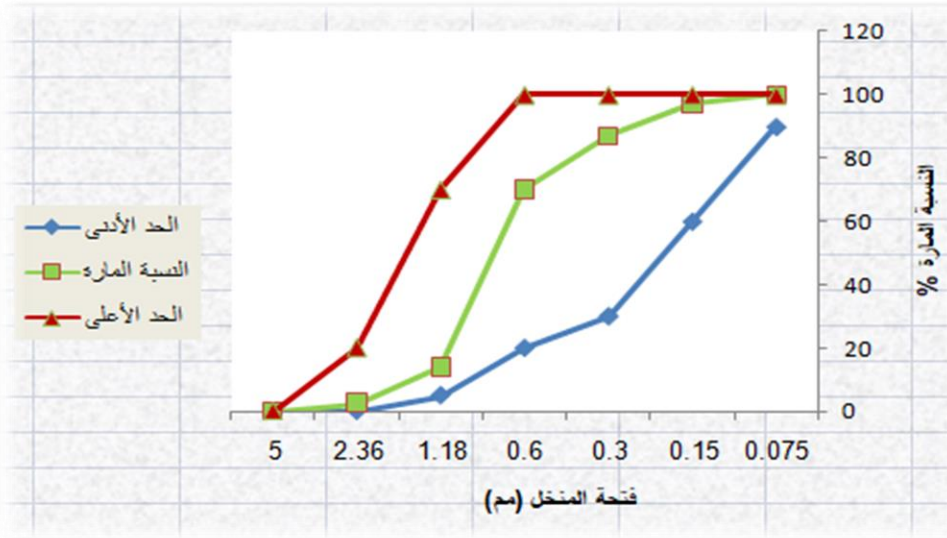
نسبة امتصاص الماء (%)	نسبة الفراغات (%)	الوزن الحجمي (طن/ $m^3$ )	نسبة الطين والمواد الناعمة (%)	الوزن النوعي الظاهري (جم)
1.65	37.2	1.278	2	2.9

كما يبين الشكل (2) التدرج الحبيبي للركام الكبير والحدود المسموح بها.



شكل (2) التدرج الحبيبي للركام الكبير

كما يبين الشكل (3) التدرج الحبيبي للركام الصغير والحدود المسموح بها.



شكل (3) التدرج الحبيبي للركام الناعم

## **المحور الثاني: مواد التشييد الملائمة للبيئة الصحراوية**

أما بالنسبة للملدن الفائق فقد تم استخدام سيكامنت 163 M ، حيث يستعمل كعامل عالي الكفاءة لخفض محتوى الماء وكمثال ملدن قوى يزيد قابلية التشغيل بدرجة فائقة لإنتاج نوعية خرسانة ذات جودة عالية في المناخ الحار ، وبؤدي التأثير المزدوج لمادة سيكامنت 163 إلى تحسين سرعة التصلد وزيادة الاجهادات المبكرة والنهائية.

أما بالنسبة للمادة المائية (بودرة الرخام) فقد تم استخدام بودرة من مصانع محلية ، حيث تعتبر بودرة الرخام انقى مصادر كربونات الكالسيوم في الطبيعة حيث تصل فيها نسبة كربونات الكالسيوم إلى 97 % بعد مرحلة التعدين واستخراج الرخام الخام من المحاجر يتم تكسيره في الكسارات الحصول على كسر الرخام ومن ثم فرزه عن الشوائب وغرينته وطحنه للحصول على بودرة الرخام.

### **1.3 تصميم الخلطات الخرسانية ذاتية الدمك**

تم الوصول إلى الخلطة الخرسانية ذاتية الدمك باستخدام (بودرة رخام) عن طريق إجراء عدة دراسات تشمل اختبارات الخرسانة ذاتية الدمك.

في الدراسة الأولى كانت نسبة الركام الناعم إلى الركام الخشن 51% بالإضافة إلى الملدن بكمية 560 جرام فكانت الخلطة جافة ولم يتم التحصل على النتيجة المطلوبة. فتبين أن جفاف الخلطة بسبب نسبة الملدن التي كانت قليلة فتم زيادتها في الدراسة الثانية إلى 1500 جرام ولكن كان الجريان أكثر من المطلوب وحدث بداية انفصال حبيبي.

وفي الدراسة الثالثة كانت نسبة الركام الناعم إلى الخشن 51% أيضاً وكانت كمية الملدن 760 جرام وتم الحصول على النتائج المطلوبة حسب الحدود والمواصفات كما هو موضح بالجدول رقم (2).

جدول (2) نسب الخلط المختلفة للخرسانة ذاتية الدمك (كل متر مكعب من الخرسانة)

الملدن (%)	وزن الركام الناعم (كجم)		وزن الركام الخشن (كجم)	وزن الماء (كجم)	المادة المائية (بودرة الرخام )		وزن الاسمنت (كجم)	رقم الخلطة
	كاولينا (كجم)	رمل (كجم)			الوزن (كجم)	النسبة %		
1.9	190	569	729	160	0	0	400	الخلطة 1
1.9	190	569	729	160	40	10	360	الخلطة 2
1.9	190	569	729	160	100	25	300	الخلطة 3
1.9	190	569	729	160	140	35	260	الخلطة 4

## المحور الثاني: مواد التشييد الملائمة للبيئة الصحراوية

### 4. النتائج والمناقشة

سيتم هنا عرض ومناقشة النتائج المتحصل عليها من الإختبارات التي تم اجراؤها للخرسانة في حالتها اللدنة باستخدام الأجهزة الموضحة في الشكل (1) ، وتم تلخيص هذه النتائج في الجدول (3).

جدول (3) نتائج اختبارات الخرسانة في حالتها اللدنة

نسبة المادة المائية %	الملدن %	U box (سم)	V funnel (ث)	L box (سم)	زمن الانسياط (ث)	حلقة Jirng (مم)	اختبار هطول الانسياط (مم)	اسم الخلطة
0	1.9	46	7.7	0.9	5	4.7	660	الخلطة 1 (%0)
10	1.9	43	6	0.82	5	10	652	الخلطة 2 (%10)
25	1.9	47	10.6	0.85	4	8.4	695	الخلطة 3 (%25)
35	1.9	36	4	7.1	7	16.9	600	الخلطة 4 (%35)
-	-0.8 % من وزن الإسمنت	L >30	6-12	0.8-1	2-5	(0-10)	650-800	حدود المواصفات

كانت العينة القياسية ضمن المواصفات وكذلك عند إضافة بودرة الرخام من (10-25) % كانت أيضاً ضمن المواصفات ، ولكن عند إضافة بودرة الرخام بنسبة 35 % لم تكن ضمن الحدود ولكنها قريبة منها.

#### 1.4 نتائج اختبار الهبوط الانسياط

كان اختبار الانسياط في الخلطة الأولى التي لا تحتوي على المادة المائية ضمن المواصفات وكذلك عند إضافة المادة المائية بنسبة 10 % كانت أيضاً ضمن المواصفات

وأفضل نتيجة كانت عند إضافة المادة المائية بنسبة 25 % وبعتبر الهبوط في هذه الحالة هبوط جيد ولكن عند إضافتها بنسبة 35 % كانت خارج المواصفات ولكن يعتبر هبوط مقبول لأنها ليست بعيدة عن الحدود المسموح بها.

## **المحور الثاني: مواد التشييد الملائمة للبيئة الصحراوية**

### **2.4 نتائج اختبار (حلقة – Jirng)**

كانت الخلطة القياسية ضمن الموصفات والحدود المسموح بها وهذا يدل على أن الخرسانة لها قدرة عالية على الصب والتدفق في وجود منطقة مزدحمة بحديد التسليح وكذلك عند إضافة المادة المالة من 10% إلى 25% كانت ضمن الموصفات ولكن عند إضافة المادة المالة بنسبة 35% كانت خارج الموصفات كما هو موضح بالجدول رقم (3).

### **3.4 نتائج اختبار زمن الانسياب**

كان زمن انسياب الخلطة القياسية ضمن الموصفات وكذلك زمن الانسياب عند إضافة المادة المالة من 10% إلى 25% ضمن الموصفات أيضاً ، ولكن عند إضافة المادة بنسبة 35% لم تكن ضمن الموصفات إلا أنها كانت تعلو الموصفات بثانيتين كما هو موضح بالجدول رقم (3).

### **4.4 نتائج اختبار L-box**

هذا الإختبار مهم لتقييم قدرة الخرسانة على الانسياب بين حديد التسليح في حالة صبها في عناصر كثيفة التسليح ، فالخلطة القياسية لهذا الإختبار كانت ضمن الحدود المسموح بها وهذا يعني أن هذه الخلطة لها قدرة على الانسياب والإستواء في منطقة مزدحمة بحديد التسليح ، وعند إضافة المادة المالة بنسبة 10% كانت أيضاً ضمن الموصفات وكانت النتيجة الأفضل عند إضافتها بنسبة 25%، ولكن عند إضافة المادة المالة بنسبة 35% كانت خارج الموصفات كما هو موضح بالجدول رقم (3).

### **5.4 نتائج اختبار V-Funnel**

هذا الاختبار يمكن من خلاله تحديد قدرة الملائم للخرسانة عن طريق حساب الزمن وكانت النتائج في هذه الدراسة بالنسبة للخلطة القياسية ضمن الموصفات وعند إضافة المادة المالة من 10% إلى 25% كانت أيضاً ضمن الموصفات وهذا يدل على أن الخرسانة لها قابلية عالية للملاء ، ولكن عند اضافتها بنسبة 35% لم تكن ضمن الموصفات ولكنها قريبة جداً كما هو موضح بالجدول رقم (3).

### **6.4 نتائج اختبار U-box**

## **المحور الثاني: مواد التشييد الملائمة للبيئة الصحراوية**

كانت نتائج هذا الاختبار لكل الخلطات جيدة وضمن الموصفات وهذا يدل على أن الخرسانة لها قابلية عالية للملا في حالة وجود حديد التسليح كما هو موضح بالجدول رقم (3).

### **7.4 اختبار الإمتصاص**

كانت نسب الإمتصاص لكل الخلطات جيدة وضمن الحدود المسموح بها والتي تنص على أن نسبة الإمتصاص لا تتجاوز 3% كما هو موضح بالجدول رقم (1).

### **5. الخلاصة والتوصيات**

يمكن تلخيص النتائج التي تم التوصل إليها إلى النقاط التالي:

- إضافة بودرة الرخام من 10% إلى 25% تعطي نتائج في الحدود ولكن عند اضافتها بنسبة 35% لم تعطي النتائج المطلوبة ، وكانت أفضل النتائج عند نسبة 25%.
- عند إضافة الملنن بمقدار أقل من 760 جرام كانت لدونة الخرسانة منخفضة ولا تتحقق النتائج المطلوبة وعند اضافتها بمقدار أكثر من 760 جرام يحدث انفصال حبيبي.
- إن الاختبارات التي تم إجراؤها بواسطة الأجهزة المصنعة محلياً أعطت النتائج المطلوبة ضمن الحدود المسموح بها.
- إن السرعة أثناء الخلط وإجراء الاختبارات مطلوبة لأن لها دور كبير في الحصول على النتائج المرجوة.
- عند إضافة الملنن يجب مراعاة عدم إضافته بصورة عشوائية وإنما يضاف بشكل تدريجي أثناء عملية الخلط ليحدث التجانس المطلوب.
- في هذا البحث تم تحقيق النتائج الموصى بها من قبل الموصفات العالمية وهي التدفق ومقاومة الانفصال الحبيبي للركام.
- يمكن إحلال بودرة الرخام محل جزء من الأسمنت بنسبة 25% وذلك من الناحية الاقتصادية وكذلك من الناحية البيئية حيث أن التقليل من كمية الأسمنت يعود بالفائدة الاقتصادية بصورة مباشرة على المنشآ.

كما أن هذه الدراسة تأكّد على التوصيات التالية:

- اجراء المزيد من الدراسات فيما يخص هذا النوع من الخرسانة بإضافة مواد موجودة ومتوفّرة في الطبيعة.
- يستخدم هذا النوع من الخرسانة في المنشآت التي يجب ان تكون فيها الأماكن مزدحمة بتحديد التسليح.
- اجراء عدة أبحاث على نسب الخلطة الخرسانية قبل اعتماد الخلطة.
- نخل بودرة الرخام والتخلص من الكتل الحجرية الموجودة بها.
- اجراء التجارب المعملية على الخرسانة ذاتية الدمك في حالتها المتصلة.

### 6. المراجع

- [1] Aïtcin, Pierre-Claude, (Cements of yesterday and today: concrete of tomorrow), Cement and Concrete research, 30.9, (2000), 1349–1359
- [2] Khayat, K. H., & De Schutter, G., (Mechanical properties of self-compacting concrete), Springer, Vol. 14, (2014), p. 161
- [3] Faraj, Rabar H., et al., (Use of recycled plastic in self-compacting concrete: A comprehensive review on fresh and mechanical properties.), Journal of Building Engineering, 30, (2020), 101283
- [4] Meko, Bikila, Joshua O. Ighalo, and Olatokunbo M. Ofuyatan., (Enhancement of self-compactability of fresh self-compacting concrete: A review.), Cleaner Materials, 1, (2021), 100019
- [5] Shi, Caijun, et al., (A review on mixture design methods for self-compacting concrete.), Construction and Building Materials, 84, (2015), 387–398
- [6] Abo Dhaheer, Mohammed S., et al., (Proportioning of self-compacting concrete mixes based on target plastic viscosity and compressive strength: Part I-mix design procedure.), Journal of Sustainable Cement-Based Materials, 5.4, (2016), 199–216
- [7] Abo Dhaheer, Mohammed S., et al., (Proportioning of self-compacting concrete mixes based on target plastic viscosity and compressive strength: Part II-experimental validation.), Journal of Sustainable Cement-Based Materials, 5.4, (2016), 217–232
- [8] د. عبدالله علي اغوبية، د. حمادة عبدالرحمن يوسف، (تأثير الألياف الزجاجية على الخواص الهندسية للخرسانة ذاتية الدمك)، قسم الهندسة المدنية-الجامعة الأسمورية، (2018)

- [9] أ. سعاد أبو القاسم سالم نليش، م. الطاهر لطفي الطاهر يوسف، (تأثير خبث الأفران كبديل جزئي للرمل على الخواص الهندسية للخرسانة ذاتية الدمك)، المؤتمر العالمي الثالث للعلوم الهندسية-طرابلس، (2020)
- [10] أ. سعاد أبو القاسم سالم نليش، م. ميار موسى الإدريسي، (دراسة تأثير إضافة الألياف والمخلفات البلاستيكية على الخواص الهندسية للخرسانة ذاتية الدمك)، كلية الهندسة رقدالين وكلية التقنية الهندسية زواره، (2019)
- [11] م. عائشة جمعة جبريل، أ.د. فرحات غربي فرات، د. نوري محمد البasha، (تأثير مسحوق الرخام على خصائص الخرسانة ذاتية الدمك)، المؤتمر الثاني للعلوم الهندسية والتكنولوجية، كلية الهندسة-جامعة صبراته، (2019)

### تأثير درجات حرارة الخلطات الإسفاتية على الخواص الحجمية والدمل

د. بشير معمر أبواروبي

أستاذ مساعد - قسم الهندسة المدنية / كلية الهندسة الخمس - جامعة المرقب

#### ملخص

تعتبر الطرق من أهم مكونات البنية الأساسية وخصوصاً في ليبيا فهي تمتد لربط جميع المدن والقرى ببعضها ثم بالدول المجاورة لخدمة المواطنين اجتماعياً واقتصادياً ف بواسطتها يمكن تبادل المنتجات الريفية والحضرية وعليها يمكن نقل البضائع من مكان إلى آخر فيعمر الرخاء وتسهل تجارة العبور وعليها ينتقل زوار البلد لدعم القطاع السياحي والتواصل مع الدول المجاورة. وتتميز المناطق الصحراوية بليبيا بارتفاع شديد في درجة حرارة سطح الرصف الإسفاتي والتبذبب الكبير في درجة حرارة الرصف خلال اليوم الواحد. كما أن هذه المناطق تتعرض إلى درجات حرارة متباينة خلال السنة.

تستعرض هذه الدراسة تأثير درجات حرارة الخلطات الإسفاتية على الخواص الحجمية والدمل ذلك من خلال دمك الخلطات الأسفاتية عند درجات حرارة مختلفة 110 و 120 و 130 و 140 درجة مئوية واحد القياسات والأوزان لجميع العينات وتحديد الخواص الحجمية للعينات بطريقة مارشال وتحديد قيمة الثبات والتدفق. تشير النتائج أن درجة حرارة الدمل للخلطات الإسفاتية من العوامل المهمة في ثبات الرصف الإسفاتي وبالتالي لابد من الاهتمام بتحديد درجة حرارة الخلط والدمك بطريقة دقيقة وأستخدام المعدات المناسبة والأفران الجيدة وأشارت النتائج أن زيادة درجة حرارة الدمل تزيد من ثبات الخلطة وكانت نسبة الزيادة في ثبات الخلطة من درجة حرارة 110 درجة مئوية إلى درجة حرارة 140 درجة مئوية حوالي 78% وأشارت النتائج أيضاً أن زيادة درجة حرارة الدمل تزيد من كثافة الخلطة في حين تقلل من قيمة التدفق بنسبة 28%.

الكلمات المفتاحية : الرصف الإسفاتي - المناخ الصحراوي - درجة حرارة الدمل - ثبات مارشال - التدفق.

#### مقدمة

يعتبر قطاع النقل من أهم القطاعات التي تدعم العملية الاقتصادية. ويعتبر الركيزة الأساسية للاقتصاد القومي حيث يمثل قطاع النقل الداعمة الأساسية لتقدم الدول ومقاييس مهم للتطور والرقي الحضاري. لهذا ظهرت الحاجة لوجود الطرق بمواصفات فنية ممتازة تكون فيها الحركة المرورية مريحة ومنتظمة وخالية من المشاكل والحوادث. كذلك فإنه يجب أن

## **المحور الثاني: مواد التشييد الملائمة للبيئة الصحراوية**

تتوفر في الطرق أسطح قيادة ناعمة و مقاومة للانزلاق وأن تكون قوية بما يكفي لتحمل الأحمال المطبقة عليها دون ظهور عيوب ومشاكل في طبقات الرصف مع المحافظة على هذه الخواص طوال العمر التصميمي. ومع مرور الوقت هذه الطرق تبدا في الانهيار ومن أجل توفير طرق ذات مواصفات جيدة لابد من اتباع الاساليب العلمية والمعملية وذلك باجراء الاختبارات من اجل تقييمها للتأكد من مدى جودتها ومطابقتها للمواصفات المعمول بها. وبالتالي فإن دراسة تقييم الطرق الاسفلتية ودراسة تأثير الرطوبة على الطرق الاسفلتية يعتبر من الامور المهمة في ضمان جودة الطرق.

هذه الطرق يستخدمها السكان للتنقل ونقل البضائع وعدم وجود دراسات سابقة محلية تتعلق بتقييم الخلطات الإسفلตية باستخدام تحديد الخواص الحجمية للخلطات الأسفلتية بطريقة مارشال. والتزايد المستمر في عدد وجسامه حوادث على هذه الطريق نتيجة للتamage المتزايد لمشكلة ظهور المشاكل في بعض الطرق الاسفلتية المنفذة حديثاً وانهيارها السابق لأوانه. تم انجاز هذه الدراسة لإيجاد رؤية واضحة عن أهم أسباب انهيار الخلطات الاسفلتية قبل أوانها وإيجاد أدلة فعالة لتقدير الخلطات الاسفلتية. ومحاولة لإيجاد الحلول والمقترنات اللازمة للحد من انهيار الخلطات الأسفلتية ومساهمة الدراسة في توجيه صناع القرار في اتخاذ ما يرون مناسب أو أن يؤثر في من يقرأه فيصبح أكثر التزاماً عند تنفيذ الخلطات الاسفلتية وفقاً للمواصفات العالمية.

يتأثر الرصف الإسفلتي بالعديد من العوامل التي تؤثر على أدائه وقابليته للخدمة كما أن عوامل مثل الأحمال المفرطة للمرور ودرجات الحرارة والماء وأخطاء التصميم والتنفيذ والافتقار إلى الصيانة تجعل من الرصف يتعرض إلى تدهور سريع مع مرور الوقت. ولقد ظهر مؤخراً في بعض الطرق الاسفلتية المنفذة حديثاً انهيارات مبكرة مما يترب على ذلك آثار سلبية على كل من سلامة الطرق والاقتصاد والسائق وكثيراً ما يكون نمط الفشل مرتبطة بالحمل (التآكل والتعب).

وتهدف هذه الدراسة لتقدير الخلطات الاسفلتية باستخدام تحديد الخواص الحجمية للخلطات الأسفلتية بطريقة مارشال. ومعرفة تأثير درجة حرارة الدملك على الخواص الميكانيكية للخلطات الاسفلتية.

وتعتبر الخلطات الاسفلتية المكون الرئيسي لطبقات الرصف في معظم الطرق الحديثة وبالنظر إلى الوظائف المهمة لهذه الطبقات وخاصة قدرتها على مقاومة الإجهادات المختلفة التي تتعرض لها نتيجة لأحمال المرور والتغيرات الحجمية بسبب اختلافات درجات الحرارة اليومية والموسمية فإن الخلطات الأسفلتية المطلوبة يجب أن تكون ذات جودة عالية. وبتحقق ذلك بتوفير عدد من الخواص الهندسية والميكانيكية والتي من أهمها الثبات والأنسياب و تعمل الخلطات الأسفلتية

## **المحور الثاني: مواد التشييد الملائمة للبيئة الصحراوية**

المستخدمة في مجال الرصف المرن على أساس الخضوع المؤكد بالانحناء قليلاً تحت كل حمل ثم الرجوع إلى الشكل الأصلي وهو ما يعبر عن خاصية المرونة لهذا النوع من الرصف.

ويتعرض الرصف الاسفلتي إلى العديد من الأضرار التي قد تؤثر على الوظيفة التي أنشأ من أجلها وهي جودة القيادة والراحة لمستخدمي الطريق للوصول إلى السلامة والأمان وهذه الأضرار قد تكون بسبب أحمال المرور أو عوامل بيئية (الحرارة والأمطار) أو سوء التصميم والتنفيذ وكذلك استخدام مواد ذات مواصفات لا تتطابق مع الظروف المحلية [1]. وهناك العديد من الاختبارات التي تجرى لمعرفة سلوك المواد الاسفلتية ومن هذه الاختبارات اختبار الشد الغير مباشر في تحديد ومعرفة تأثير الأضرار على الطرق الاسفلتية [2].

حيث تعتبر الخلطات الاسفلتية حساسة للمناخ (للتأثير البيئي سواء من ناحية الحرارة او الرطوبة) ونتيجة لذلك صممت لتلبيتها للظروف البيئية الموجودة حسب التاريخ المناخي لمنطقة معينة ففي حالة زيادة هطول الأمطار من المتوقع أن تزيد حالات التجريد في الخلطات الإسفلتية الساخنة وعند تصميم الخلطات الإسفلتية وفقاً للمناخ المحيط ستكون ارصفة الأسفلت ذات عمر أطول ولن تعاني من التلف ومع ذلك فإن طبيعة التجريد تعتمد على كيف ومتى يتم دخول المياه للأسفلت بالإضافة إلى سلسلة من العوامل المتعلقة بالتصميم والبناء والتحميل كلها عوامل تساهم في زيادة ضرر الرطوبة على أرصفة الأسفلت. وإن استخدام الإضافات التي تعزز قوة الربط في الخرسانة الإسفلتية كالبوليمرات والجير والإسمنت يمكن أن يعزز قوة الترابط بين مكونات الخلطة الإسفلتية [3]. ويتم تقييم حالة الرصف لتحديد أداء الرصف بعده طرق منها طريقة مؤشر حالة الرصف حيث يتم في هذه الطريقة عمل مسح لقطاع الرصف وتحديد كثافة ومستويات الأضرار في الرصف [4].

ويمكن تصميم خلطات اسفلتية بطريقة الرصف المتلوق الأداء ذات المستوى الأول (خلطة حجمية) لإنتاج الخلطات الإسفلتية تكون ذات نجاعة عالية التنفيذ والقضاء على المشاكل مثل (الظهور المكثف للشققات الطولية والعرضية والتمساحية على كامل مسار القطاع وتعد الحفر أيضاً من أبرز مشاكل هذا القطاع وغيرها من الأضرار) [5].

ويتم الدمج للرصف على تقارب حبيبات الخلطة الأسفلتية مع بعضها البعض لقليل الفراغات الهوائية إلى النسبة الموجودة في الخلطة الأسفلتية التصميمية مما يقلل من الفافية التي تسبب تاكسد الاسفلت كما أنها تؤدي إلى تأثير الرطوبة الضار كذلك فإن الدمج يزيد من متانة وثبات الخلطة الأسفلتية وعمرها ويحسن من سطح الرصف. وهناك عدة أبحاث

## **المحور الثاني: مواد التشييد الملائمة للبيئة الصحراوية**

لدراسة تأثير درجة حرارة الخلط على أداء الخلطة الإسفالية الساخنة حيث تم في دراسة سابقة استخدام 5% ستايرين بوتادين ستيرين (SBS) وتم تحضير عينات من الخلطة الأسفالية الساخنة عند درجات حرارة الخلط 10 درجة مئوية و 15 درجة مئوية و 20 درجة مئوية أقل من درجة حرارة الخلط التقليدية وتم إجراء اختبار مارشال لتحديد الثبات والتدفق ومقاومة التلف الناتج عن الرطوبة واختبارات إجهاد الشد غير المباشر على العينات وكانت النتائج تشير إلى أن الثبات وقوه الشد غير المباشرة بشكل عام قد انخفضت وتزداد قيم التدفق مع انخفاض درجة حرارة الخلط [6].

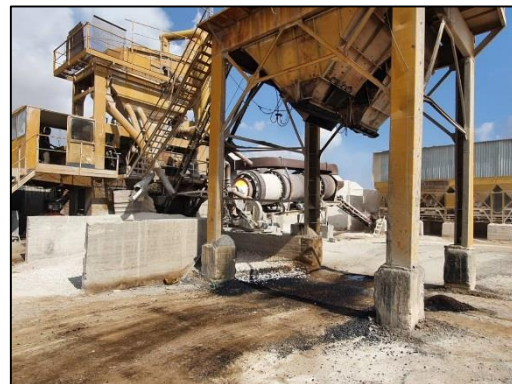
وتم تقييم تأثير المناخ على أداء الطرق الأسفالية بطريقتين مختلفتين حيث تم اختيار ثلاثة مناخية للمقارنات التي تتطوّي على تأثير درجة الحرارة استخدمت التحليلات التجريبية بالطريقة الفرنسية (معيار NF P98-086 ، كتيب LCPC-SETRA 1994 ، دليل NCHRP 2004 ، وجزءة برامج Alizé-LCPC وطريقة الولايات المتحدة (دليل AASHTO Ware Pavement ME Design)). نتائج الدراسة تسلط الضوء على أهمية أغراض التصميم من معدلات الكلال التجريبية كدالة لدرجة الحرارة. تشير النتائج إلى أن كلا الطريقتين تظهران اتجاهًا مشابهًا مع زيادة في درجة الحرارة. وتنظر النتائج أنأخذ درجة الحرارة والرطوبة في الاعتبار يؤدي إلى توقع حدوث تشوّه دائم أكثر حدة [7].

### **طريقة العمل**

في هذه الدراسة تم استهداف الخلطة الإسفالية المستخدمة في تنفيذ بعض الطرق بمدينة الخمس وبالتحديد الخلطة الإسفالية المستخدمة في تنفيذ طريق القبو المنتجة من شركة الأوصال للمقاولات والاستثمار العقاري وتم اختيارها من أجل تقييمها ودراسة تأثير الدملك على خواصها الحجمية بطريقة مارشال.

### **تجهيز العينات من الموقع**

تم الحصول على خلطة إسفالية من الخلطة المذكورة سابقاً ونقلها للمعمل وتم أخذ عدد 12 عينة تزن كل عينة 1200 جرام ووضع كل ثلاثة عينات في درجة حرارة مختلفة لمدة ساعتين. والشكل (1) يوضح الخلطة المنتجة للخلطة الإسفالية والشكل (2) يوضح الحصول على الخلطة من الخلطة المركزية الخاصة بالشركة المذكورة.



شكل (1) الخلطة المركزية لانتاج الخلطات الاسفلتية شكل (2) الخلطة المستخدمة في الدراسة

دمك العينات

توضع العينات في فرن التسخين والشكل (3) يوضح وضع الخلطة الأسفلتية بالأوعية وأدخالها للفرن لتسخينها إلى درجة حرارة الدmk المطلوبة. بعد مرور ساعتين تخرج كل ثلاثة عينات وتدمك بواسطة مطرقة مارشال 75 ضربة من الجهتين 3 عينات في درجة حرارة 110 درجة مئوية و 3 عينات في درجة حرارة 120 درجة مئوية و 3 عينات في درجة حرارة 130 درجة مئوية و 3 عينات في درجة حرارة 140 درجة مئوية والشكل (4) يوضح دmk العينات بواسطة مطرقة مارشال.



شكل (4) دmk العينات بمطرقة  
مارشال

شكل (3) الخلطة الأسفلتية داخل فرن التسخين

تترك العينات لتبرد في درجة حرارة الغرفة ليتم اخراجها من قالب مارشال واجراء القياسات عليها والشكل (5) يوضح شكل العينات بعد الدmk والشكل (6) يوضح شكل العينات بعد أخراجها من قوالب مارشال.



شكل (5) العينة داخل قالب مارشال بعد الدكك شكل (6) العينات بعد اخراجها من قوالب مارشال وبعد اخراج العينات من قوالب مارشال يتم اخذ القياسات والازان لجميع العينات وتحديد الخواص الحجمية للعينات بطريقة مارشال والشكل (7) يوضح وضع العينات في حمام مائي في درجة حرارة 60 درجة مئوية قبل اختبارها بجهاز مارشال لتحديد الثبات والتذبذب والشكل (8) يوضح شكل جهاز مارشال المستخدم في الدراسة.



شكل (7) العينات في الحمام المائي شكل (8) جهاز مارشال

### تحليل ومناقشة النتائج

سيتم عرض كافة النتائج المعملية التي تم إجرائها على كافة العينات على هيئة جداول وأشكال وسوف بإعداد المقارنات المختلفة وتبيان مدى كفاءة كل منها وبناء صورة عامة عنها. وتم اخذ المتوسط لكل قراءات النتائج للعينات التي تم دمكها عند درجات الحرارة المختلفة وتحديد الخواص الحجمية والهندسية لها.

#### عرض بيانات العينات

الجدول (1) يبين بيانات قراءات السمك والوزن وحساب الكثافة في المعمل لجميع العينات.

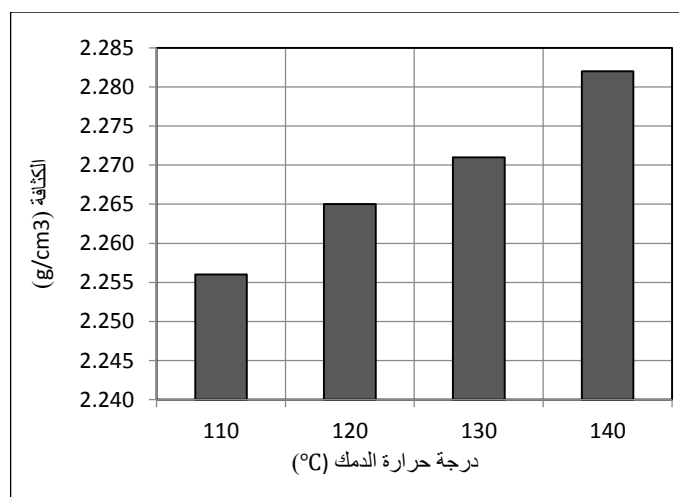
## المحور الثاني: مواد التشييد الملائمة للبيئة الصحراوية

**جدول (1) بيانات السمك والوزن وكثافة المعمل للعينات**

المتوسط (g/cm <sup>3</sup> )	الكثافة المعملية (g/cm <sup>3</sup> )	حجم العينة (cm <sup>3</sup> )	وزن العينة في الماء (g)	وزن العينة في الهواء (g)		السمك (mm)	رقم العينة	درجة حرارة الدمك (°C)
				العينة مشبعة بالماء	العينة جافة			
2.256	2.251	505.9	646.6	1152.5	1138.7	64.0	1	110
	2.259	516.8	664.2	1181.0	1167.2	65.0	2	
	2.258	515.6	666.2	1181.8	1164.2	66.0	3	
2.265	2.267	516.3	673.0	1189.3	1170.5	66.0	1	120
	2.260	531.8	689.7	1221.5	1201.8	69.0	2	
	2.268	514.0	668.0	1182.0	1166.0	65.0	3	
2.271	2.267	524.2	684.1	1208.3	1188.2	66.0	1	130
	2.275	506.9	664.0	1170.9	1153.0	64.0	2	
	2.271	512.4	667.6	1180.0	1163.7	66.0	3	
2.282	2.272	515.0	670.6	1185.6	1170.1	65.0	1	140
	2.294	523.7	693.8	1217.5	1201.5	67.0	2	
	2.280	506.0	662.4	1168.4	1153.6	64.0	3	

### نتائج كثافة مارشال للعينات

الشكل (9) يبين قيم كثافة مارشال لجميع درجات حرارة الدمك للعينات وأشارت النتائج أنه كلما زالت درجة حرارة الدمك فان كثافة مارشال تزيد وهذا يرجع الى ان قابلية التشغيل للخطة كانت جيدة عندما تكون درجة حرارة الخلطة عالية ويكون التقارب بين حبيبات الركام تحت الدمك جيد وبالتالي لابد من حساب درجة حرارة الدمك المناسبة للخلطة الاسفلتية للوصول الى كثافة مارشال المطلوبة.

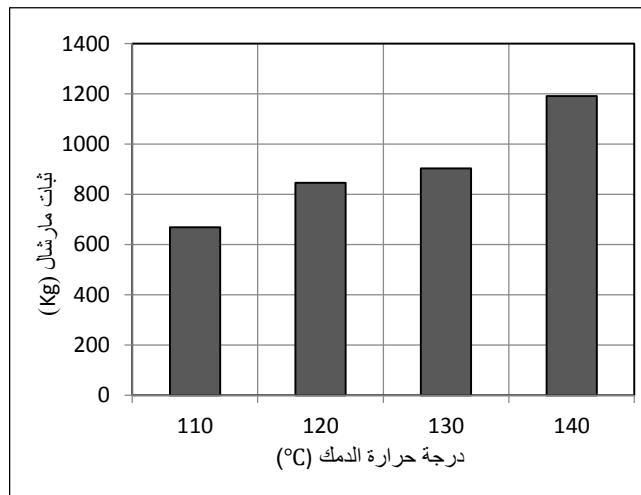


شكل (9) نتائج كثافة مارشال

## المحور الثاني: مواد التشييد الملائمة للبيئة الصحراوية

### نتائج ثبات مارشال

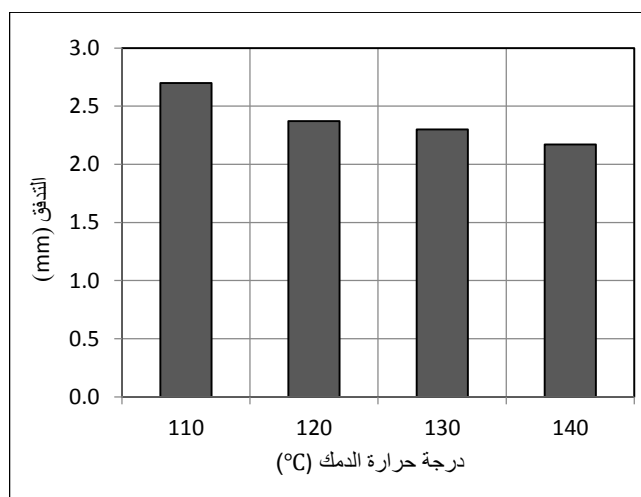
الشكل (10) يبين قيم ثبات مارشال لجميع درجات حرارة الدمك للعينات وأشارت النتائج أنه كلما زادت درجة حرارة الدمك فإن قيمة ثبات مارشال تزيد وبالتالي لا بد من حساب درجة حرارة الدمك المناسبة للخلطة الأسفلتيّة للوصول إلى قيمة ثبات مارشال التصميمية وهذا يرجع إلى أن زيادة درجة حرارة الدمك تحسن من امتصاص الركام للمادة الرابطة وتعطي تشغيلية جيدة للدمك.



شكل (10) نتائج ثبات مارشال

### نتائج التدفق

الشكل (11) يبين قيم التدفق لجميع درجات حرارة الدمك وأشارت النتائج أنه كلما زادت درجة حرارة الدمك فإن قيمة التدفق تقل وذلك لزيادة تماسك الخلطة الأسفلتيّة و مقاومتها للتشوّه الدائم بسبب التشغيلية المرتفعة.



## **المحور الثاني: مواد التشييد الملائمة للبيئة الصحراوية**

شكل (11) نتائج التدفق

### **الخلاصة**

يتعرض الرصف الاسفلتي إلى العديد من الأضرار التي قد تؤثر على الوظيفة التي أنشأها من أجلها وهي جودة القيادة والراحة لمستخدمي الطريق للوصول إلى السلامة والأمان وهذه الأضرار قد تكون بسبب أحمال المرور أو عوامل بيئية (الحرارة والأمطار) أو سوء التصميم والتنفيذ وكذلك استخدام مواد ذات مواصفات لا تتطابق مع الظروف المحلية.

تشير النتائج أن درجة حرارة الدمك للخلطات الأسفلتية من العوامل المهمة في ثبات الرصف المرن وبالتالي لابد من الاهتمام بتحديد درجة حرارة الخلط والدمك بطريقة دقيقة وأستخدام المعدات المناسبة والأفران الجيدة وأشارت النتائج أن زيادة درجة حرارة الدمك تزيد من ثبات الخلطة وكثافتها في حين نقل من قيمة التدفق.

### **الوصيات**

بعد اجراء هذه الدراسة نوصي بالاهتمام بتحديد درجة حرارة الدمك بصورة جيدة ودراسة عوامل أخرى مثل دراسة تأثير مستوى الدمك المناسب للخلطات الأسفلتية والاهتمام بعمل دراسات لتأثير المناخ وحساسية والرطوبة.

### **المراجع**

[1] سامر الصادق نمذجه سلوكيه التقادم لنماذج محلية مختلفة من الاسفلت الاسمنتى رسالة الماجستير في قسم الهندسة المدنية كلية الهندسة.

[2] بسام سلطان تحسين الخواص الريولوجية للبيتومين (60-70) بإضافة البولي بروبيلين مجلة جامعة تشرين العلوم الهندسية مجلد 40 العدد 6 2018

[3] أبوراوي وأخرون تأثير أضرار الرطوبة على الطرق الإسفانية مشروع تخرج لنيل درجة البكالوريوس قسم الهندسة المدنية جامعة المربى 2019.

[4] كاظم تقييم محطات الرصف الاسفلتي بالطرق الرئيسية في مدينة الديوانية 2019.

[5] الهمالي وأخرون تصميم خلطات اسفالية بطريقة الرصف المنقوص الأداء (سوبريف):للمنطقة الممتدة من اجدابيا حتى جالو اوجله 2019.

] Balik, G., Yilmaz, M., Vural KÖK, B., Alataş, T., (2019). Effects of Mixing 6[ Temperature on the Mechanical Properties of Hot Mix Asphalt. Construction and Building Materials, DOI: 10.18400/tekderg.405948.

[7] Rahma Ktari, Denis Saint-Laurent, Pierre Horny, Ferhat Hammoum, Paul Marsac, et al. Effect of climate on asphalt pavement performance using two mechanistic-empirical methods. International Journal of Pavement Engineering, 2020, 27 p. ff10.1080/10298436.2020.1806276ff. ffhal-02942289f.

## **تأثير نعومة البوزولانا بالجنوب الليبي على مقاومة المونة الاسمنتية**

أ . د . فؤاد فرج فرج

كلية الهندسة - جامعة وادي الشاطئ

قسم الهندسة المدنية

fff119631963@gmail.com

محمد عبدالسلام المبروك عكاشه

باحث بقسم الهندسة المدنية

كلية الهندسة - جامعة وادي الشاطئ

Maakasha96@gmail.com

### **الملخص :**

تعتبر البوزولانا من المواد التي يستهدف دائماً إضافتها كبديل جزئي للإسمنت والذي يعتبر المكون الرئيسي والمادة الرابطة في المونة الاسمنتية أو الخرسانة وتتقسم البوزولانا إلى قسمين القسم الأول الطبيعي والثاني صناعي ، وتميز منطقة الجنوب الليبي بامتداد الرقعة الجغرافية الصحراوية التي تتميز بوفرة الثروات الطبيعية التي تدخل في صناعة مواد البناء ، من أبرزها الطين المكلس أو ما يعرف بالبوزولانا الطبيعية ، حيث أشارت العديد من الدراسات إلى وجودها بشكل كبير حول منطقة سبها وضواحيها ، إضافة لمطابقتها للمتطلبات ، ويمكن استخدام تلك المواد كإضافات للخرسانة لعرض تحسين بعض خواصها أو جلها من جهة وتقليل تكلفة انتاجها. والمواد البوزولانية أو ما يعرف بالمادة متأخرة التميؤ هي عبارة عن خامات الومنيه أو سليكاتية أو خليط من كليهما ، هذه المواد لا تمتلك قدرة لاصقة اسمنتية ، ولكن بوجود الرطوبة فإنها تتفاعل كيميائيا مع هيدروكسيد الكالسيوم الذي ينتج من تفاعل مركبات الإسمنت البورتلاندي ( خاصة عالي الاليليت ) في درجات الحرارة الاعتيادية ، منتجة مركبات ذات خصائص اسمنتية. وتعتبر دراسة النعومة من الأشياء الهامة لدراسة ترابط المونة لما في ذلك من زيادة فعالية المادة الرابطة وباستخدام بوزولانا عالية النعومة فإن هذا التأثير يزداد ويصبح واضحا. يهدف هذا البحث إلى دراسة تأثير نعومة البوزولانا الطبيعية ( الطين المحروق ) على خصائص المونة الاسمنتية بعد حرقها إلى درجات حرارة تتراوح من 700-800 درجة مئوية وطحنه للوصول إلى النعومة المطلوبة بعدة درجات ( ناعم ، ومتوسط النعومة ، وخشون ) ومن تم إضافتها كبديل جزئي للإسمنت بنسبة 5% ، 10% ، 15% ، 20% ومن تم دراسة خواصها في حالتها الطيرية والمتصلة.

## **المحور الثاني: مواد التشييد الملائمة للبيئة الصحراوية**

### **الكلمات الدالة: البوزلانا ، المونة الإسمنتية ، النعومة**

#### **1. المقدمة :**

الإسمنت من أكثر مواد البناء استخداماً في صناعة هيكل المنشآت الخرسانية ، ونتيجة للطلب المتزايد عليه عكف عدد من الباحث على امكانية الحصول على بدائل أخرى للإسمنت ولو بشكل جزئي لتحقيق الاستدامة والمحافظة على البيئة ، وفي خلال السنوات الأخيرة زاد الأفراط في استهلاك مادة الأسمنت مما نتج عنه أضرار بيئية بسبب انبعاث ثاني أكسيد الكربون  $\text{CO}_2$  أثناء صناعة الإسمنت ، هذه المخاوف وغيرها جعلت التوسع في استخدام الطين المحروق أو ما يعرف بالبوزلانا الطبيعية والمتوفر محلياً في عدد من مناطق جنوب ليبيا محل اهتمام الباحث في مجال الخرسانة ومواد البناء. وتعتبر البوزلانا من المواد التي يستهدف دائماً إضافتها كبديل جزئي للإسمنت والذي يعتبر المكون الرئيسي والمادة الرابطة في المونة الإسمنتية أو الخرسانة.

#### **2. البوزلانا**

تعتبر البوزلانا من المواد التي يستهدف دائماً إضافتها إلى الأسمنت والذي يعتبر المكون الرئيسي والمادة الرابطة في المونة الإسمنتية أو الخرسانة، وتنقسم البوزلانا إلى قسمين الطبيعي منها والصناعي ، وتعتبر الطينات والمتوفرة بشكل كبير بمناطق جنوب ليبيا أحد الخامات المحلية الهامة، فتنوع التركيب الكيميائي والمعدني لها والذي يعتمد أساساً على بيئة التكوين يجعلها هدفاً بحثياً في هذا الاتجاه كأحد أنواع البوزلانا الطبيعية مقارنة ببعض الأنواع المتوفرة صناعياً، وبناءً على ذلك فقد تم التفكير في إمكانية عمل دراسة على تلك الطينات أو ما يعرف بالبوزلانا بعرض استخدامها كجزء من الأسمنت في المونة الإسمنتية ، وفي السابق تم استخدام مثل تلك الطينات أو ما يعرف بالبوزلانا الطبيعية في عدد من الدول في المونة الإسمنتية كجزء من كمية الأسمنت المطلوبة في الخلطة ، وقد أثبتت نجاحها وتحسينها لخواص الخرسانة الطيرية والجافة . البوزلانا هي عبارة عن مواد سيليكا والتي بنفسها لا تعطي خواص المواد الإسمنتية ، ولكن تتفاعل في وجود الماء عند درجة الحرارة العالية مع هيدروكسيد الكالسيوم لتعطي خواص المواد الإسمنتية، البوزلانا يمكن أن تكون طبيعية أو صناعية ، (fly ash) أحد الأنواع الصناعية المعروفة عالمياً ، عند إضافتها للمونة الإسمنتية

## **المحور الثاني: مواد التشييد الملائمة للبيئة الصحراوية**

جزء من الاسمنت تعطى عدة مميزات منها : تحسين تشغيلية المونتا ونقل انصفال المكونات ، كما ترفع من أداء مقاومة الخرسانة لهجوم الكبريتات وتفاعل القلويات مع السيليكا ونقل من حرارة التفاعل ، بالإضافة إلى ذلك كله فإن استعمال البوزولانا وخاصة المحلية في الخرسانة يقلل من تكلفة الاقتصادية .<sup>(1)</sup>

### **3. نعومة البوزولانا :**

يعد مقياس نعومة الاسمنت عاملًا هامًا يؤثر على مدى تفاعل الاسمنت مع الماء ، وذلك لأن مجموع مساحة السطوح لوزن معين من عينة الاسمنت ، ذات درجة نعومة معينة تكون أكبر من مجموع مساحة السطوح لنفس الوزن من هذا الاسمنت دي درجة النعومة الأقل . وعلى ذلك فمعدل تفاعل الماء مع عينة الاسمنت الناعم يكون الأكبر من هذا المعدل بالنسبة للإسمنت دي النعومة الأقل ، هذا بالإضافة إلى أن عملية التصلد للإسمنت الناعم تكون أسرع منها في الاسمنت الخشن ، وأبعد من ذلك ، فآن اتمام عملية التفاعل مع الماء تتوقف إلى حد كبير على حجم حبيبات الاسمنت ، فالقلب الداخلي للحبيبات الخشنة من الاسمنت قد يأخذ سنوات للتفاعل مع الماء تحت الظروف العملية ، وقد يصل الأمر إلى أن هذه الحبيبات الخشنة قد لا تتفاعل أطلاقًا مع الماء .

ومن هنا نري أن نعومة الإسمنت تؤثر على خواص الطبيعية للمادة الناتجة فكلما كانت حبيبات الإسمنت ناعمة كلما أمكنها تغطية المواد الخشنة من زلط ورمال وبالتالي تتصف العجينة الناتجة عن ذلك بالقوه، وزيادة على ذلك فإن نعومة الإسمنت تعمل على سرعة تفاعل حبيباته مع الماء فتكون ظروف تكوين البلورات الإسمنتية متقدمة وسريعة وحينئذ تزيد قيمة المقاومة النهائية للناتج بالإضافة إلى ما ينتج عن سرعة تكوين البلورات من الحصول على المقاومة المبكرة .<sup>(5)</sup>

والاتجاه الحديث في أنتاج الاسمنت ومنذ عدة سنوات هو طحن الاسمنت الى درجة كبيرة من النعومة للحصول على أكبر قوه في وقت متقدم ، ومن التجارب العديدة وجد ان الحبيبات ذات نعومة تصل الى ان تمر من منخل 170 ( 0.09 م ) هي التي تتفاعل مع الماء لتعطي قوه كبيرة الى الخرسانة .

وتؤثر النعومة الاسمنت على ثبات حجمه وذلك لأن تمدد بعض العناصر الموجودة في الحبيبات الكبيرة لن تكون تحت تأثير التغيرات الجوية التي تعمل على تكميله تفاعل الحبيبات الناعمة التي تتصرف بالثبات .

## **المحور الثاني: مواد التشييد الملائمة للبيئة الصحراوية**

يهدف هذا البحث الى دراسة تأثير درجة نعومة البوزولانا الطبيعية ( الطين المحروق ) المستخرجة من موقعى ( سبها ، تمنهنت ) على خصائص المونة الاسمنتية كبديل جزئي للإسمنت بعد حرقها وطحنه للوصول الى النعومة المطلوبة ، وبثلاثة درجات للنعومة ؛ ناعم وهو المار من المنخل 90 ميكرون ، متوسط النعومة وهو المحجوز على المنخل 90 ميكرون ؛ والخشن وهو المحجوز على المنخل 150 . وقد تم أحلال كل عينة من تلك الدرجات كبديل جزئي للإسمنت في المونة الإسمنتية بنسب وزنية من الإسمنت 5% ، 10% ، 15% ، 20% ، ومن تم القيام بدراسة خصائص المونة الإسمنتية لثلاث العينات .

### **4. المواد والبرنامج العملي :**

#### **1.4 المواد المستخدمة :**

1. الأسمنت : هو اسمنت منتج من قبل مصنع زليتن ( الاتحاد ) أسمنت بورتلاندي عادي .
2. البوزولانا : البوزولانا المحلية المستخرجة من موقعين طين سبها و تمنهنت كمضاد للخلطة الخرسانية وهى من الاضافات التي يكثر استخدامها في الخرسانة لتحسين جودة الخرسانة وتحسين خواصها ، وتستخدم كنسبة من وزن الإسمنت
3. الماء : ماء الشرب العادي المستعمل في هذه الدراسة ( منطقة البوانيس / سمنو ) في جميع الخلطات الخرسانية وهو مطابق للمواصفات .
4. الرمل : منطقة براك الشاطئ ( زلاف ) وكان المحجوز على منخل 600 ( رمل قياسي ) .

#### **2.4 البرنامج العملى :**

في هذه الدراسة تم استجلاب المواد الخام للبوزولانا من الموقع المستهدفة بالدراسة وهي ( سبها ، تمنهنت ) واعدادها وحرقها بالأفران الخاصة حتى 800 درجة مئوية لمدة ساعتان وطحنه لدرجات النعومة الموضحة بالجدول (1). ومن تم تصميم خلطة إسمنتية مع إضافة البوزولانا بدرجات النعومة المختلفة التي تحصلنا عليها من خلال طحن عينات البوزولانا المحروقة في معمل الخرسانة باستخدام آلة طحن خاصة ودراسة مقاومة الضغط لهذه العينات ، و الهدف من هذا الاختبار هو معرفة مقدار التحمل الذي يمكن أن تحمله المونة الاسمنتية المستخدمة، ويعتبر

## **المحور الثاني: مواد التشييد الملائمة للبيئة الصحراوية**

اختبار المقاومة من أهم الاختبارات التي تجري على المونة الإسمنتية، ولهذا السبب فقد تم تجهيز وخلط الإسمنت البورتلاندي مع عينات من البوزولانا بدرجات نعومه متفاوتة تتراوح من ناعمة إلى متوسطة النعومة إلى الخشنة، وبنسبة خلط 15، 10، 5، و 20% لكل درجة من درجات النعومة السابقة، وقد تم إعداد وصب عدد 260 مكعب مقاس 5\*5\*5 سم للعينات المختلفة وتم معالجتها بالماء إلى يوم الاختبار في ظروف معالجة متماثلة لجميع العينات، وتم اختبارها على فترات من الزمن 3 ، 14 ، 28 ، 60 ، و 90 يوم، وبعدد 3 مكعبات لكل عمر.

**جدول (1) درجات النعومة للبوزولانا المعتمدة في البحث**

الرمز	درجة النعومة	نوع البوزولانا	ر. م
A	ناعم	مار من منخل 90 ميكرون	.1
B	متوسط النعومة	محجوز على المنخل 90 ميكرون	.2
C	خشن	محجوز على المنخل 150 ميكرون	.3

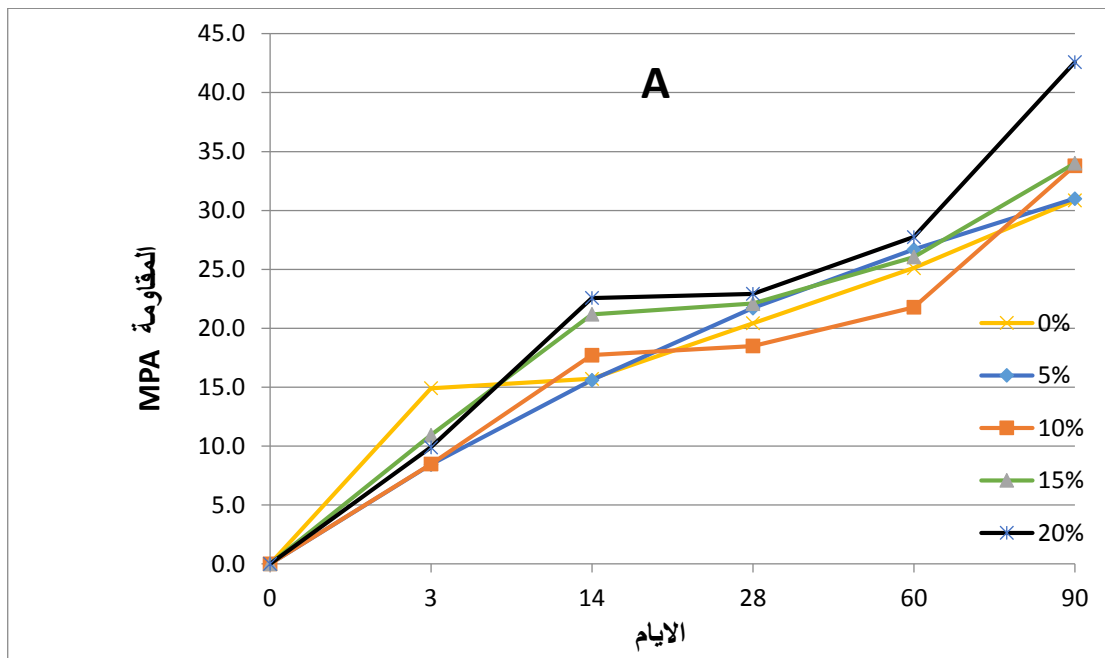
### **5. النتائج :**

من خلال النتائج يمكن القول بأن درجة نعومه البوزولانا المستبدلة لها تأثير كبير على مقاومه المونة الإسمنتية ويفترض هنا التأثير واضحًا وجليًا كلما زادت درجة النعومة حيث نجد أنه كلما زادت نعومة عينة البوزولانا المستخدمة كلما زادت مقاومه وزاد ترافق المونة المنتجة. أما في حال زيادة خشونة البوزولانا على سبيل المثال ( المحجوز على 150 ) فإن تأثير زيادة مقاومه يكون ضعيف ويقاد يكون سلبيا في المراحل النهائية الاشكال 22 ، 23 ، 24 . وعليه نجد أن مقاومه المونة الإسمنتية المستخدم فيها البوزولانا الناعمة زادت عن مقاومه المونة الإسمنتية المرجعية بنسبة 9% ، مقاومه المونة الإسمنتية المستخدم فيها البوزولانا الناعمة زادت عن مقاومه المونة الإسمنتية المرجعية بنسبة 38% للنسب 10 ، 15 ، 20 % على التوالي عند 90 يوم على فحص العينات . كما يلاحظ أن مقاومه المونة الإسمنتية خلال الثلاثة الأيام الأولى للعينة المرجعية كانت الأكبر ويرجع السبب في ذلك لبطيء التفاعل البوزولي . إن تفاعل البوزولانا بطئ ويبدأ بعد 14 يوم بشكل مبدئي ويفترض واضحًا بعد 60 يوم من صناعة المونة ويرافق ذلك انخفاض في حرارة التفاعل، لذلك فإن إضافة البوزولانا تخفف من حدة ارتفاع درجات الحرارة في الأيام الأولى من

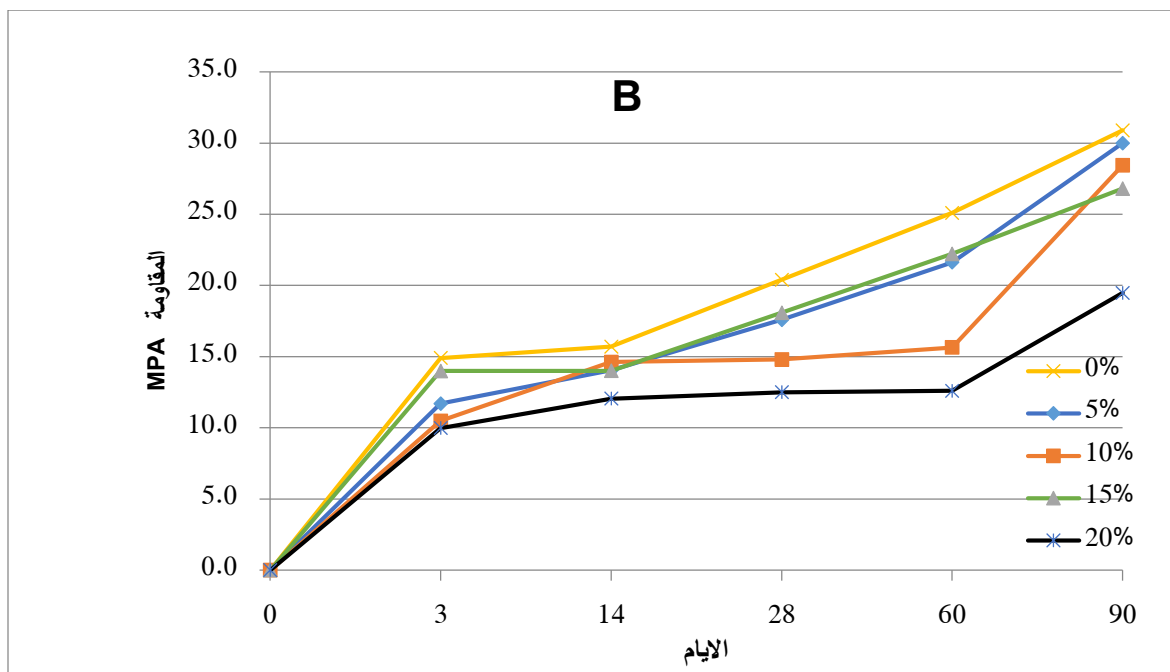
## المحور الثاني: مواد التشييد الملائمة للبيئة الصحراوية

تصنيعها وترتفع المقاومة في الأطوار الأخيرة 60/90 يوم، وقد بدا ذلك واضحاً في الخطوط البيانية في الأشكال (22)، (23)، (24)، أن زيادة نسبة البوزولانا المضافة تؤكّد هذه الحالة، حيث أن كمية البوزولانا المضافة لها تأثير إيجابي عند 15%， وزنادة على ذلك فإن نسبة 30% تؤدي إلى انخفاض المقاومة، وذلك بالمقارنة بدراسات سابقة تؤكّد هذه الحالة. بزيادة نعومة البوزولانا فإن المقاومة النهائية تتأثر بشكل واضح كلما زادت النعومة كانت المقاومة أفضل، أنظر الأشكال (1)، (2)، (3).

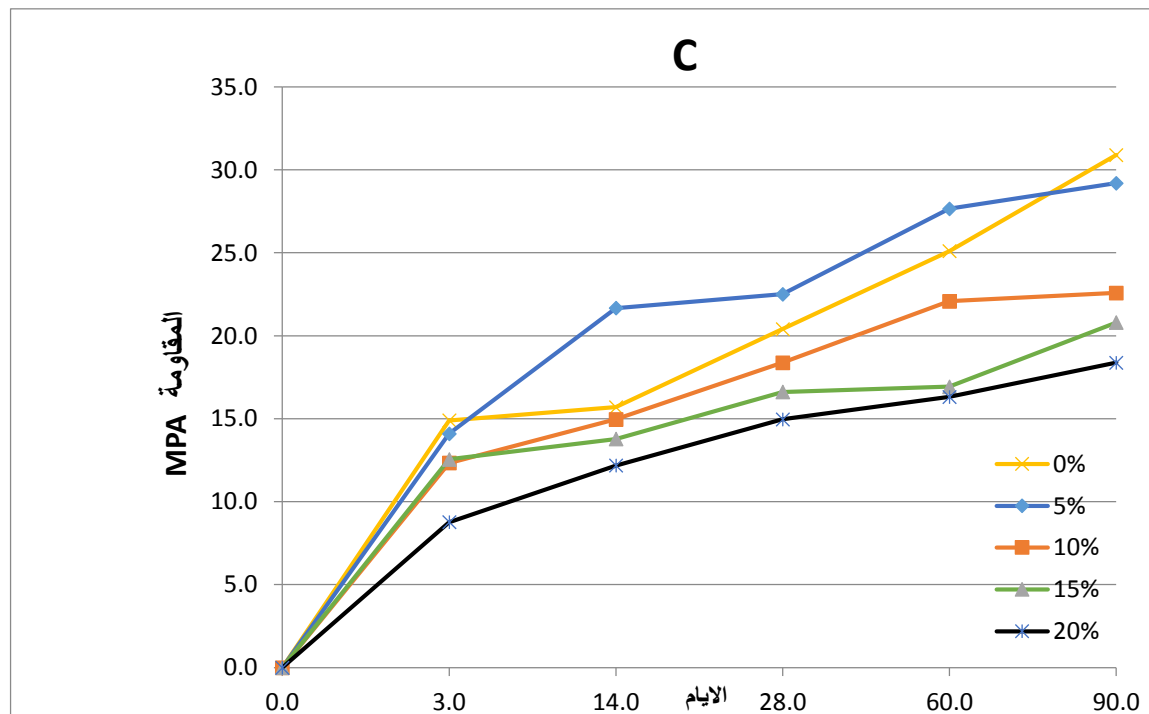
أن إضافة مادة البوزولانا إلى الأسمنت يعتبر من العوامل الاقتصادية في صناعة المونتا الأسمنتية حيث أن إضافته تخفض من تكلفة المنتج وتحافظ على ثبات في المقاومة وانخفاض في درجة الحرارة أثناء التصلب. كما تبين أن التركيب الكيميائي للبوزولانا له تأثير واضح على زيادة المقاومة في الأطوار الأخيرة باستبدال الأسمنت بالبوزولانا لاحظنا ويشكل واضح ولجميع أنواع البوزولانا بأن زيادة النعومة هي الأساس في زيادة المقاومة ولا تظهر هذه النتيجة في الأطوار المبكرة لجميع التدرجات بل في الأطوار الأخيرة لمراحل التصلب أي بعد 60 يوم من تاريخ صب المونتا الشكل 4.



الشكل (1) المقاومات تتبعاً لنسبة الاستبدال و زمن فحص العينات للبوزولانا الناعمة

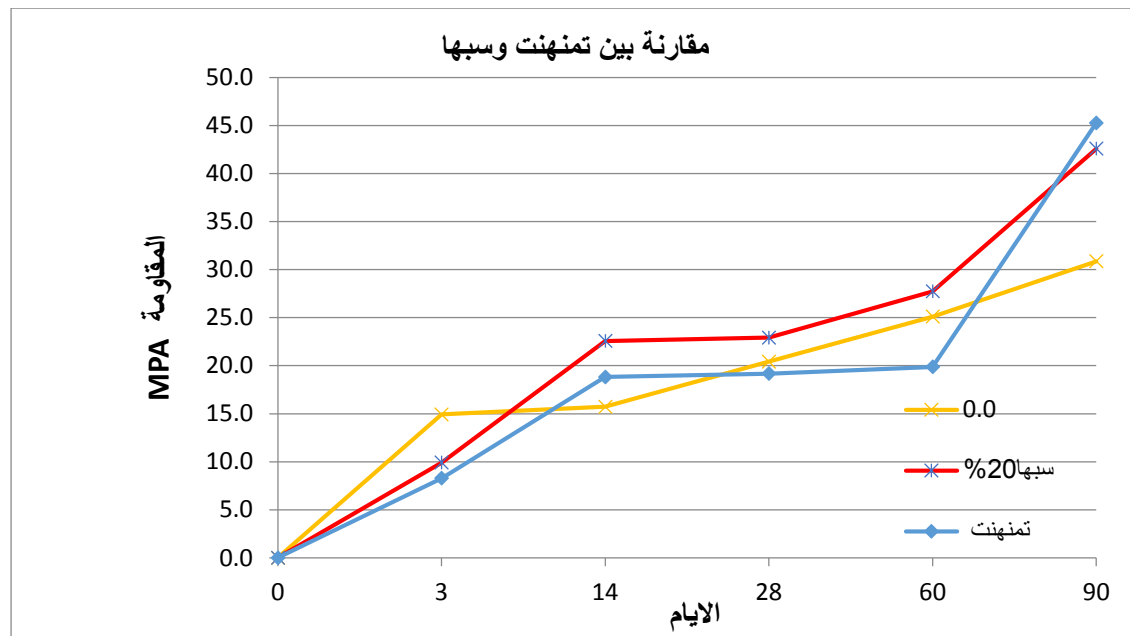


الشكل (2) المقاومات تبعاً لنسبة الاستبدال وزمن فحص العينات للبوزولانا متوسطة النعومة



الشكل (3) المقاومات تبعاً لنسبة الاستبدال وزمن فحص العينات للبوزولانا الخشنة

## المحور الثاني: مواد التشييد الملائمة للبيئة الصحراوية



الشكل (4) المقاومات تبعا لنوع البوزوولانا ( مكان المنشأ ) على مقاومة المونة الاسمنتية

### 6. الخلاصة :

تتأثر الخواص الميكانيكية للمونة الإسمنتية بإضافة البوزوولانا كبديل جزئي للإسمنت وخاصة إذا كان البوزوولانا المستبدل ذات درجات نعومة عالية لزيادة كمية التفاعل الحاصل بين البوزوولانا وبين هيدروكسيد الكالسيوم الذي يعتبر اساسي في تفاعل الايليت مع الماء.

من خلال النتائج المتحصل عليها من هذا البحث فقد تم التوصل إلى النقاط التالية :

1. بزيادة نعومة الاسمنت تزداد فعالية المادة اللاصقة وينطبق ذلك على زيادة نعومة البوزوولانا المستبدلة
2. لتركيبة البوزوولانا الكيميائية اثر واضح في ارتفاع المقاومة
- 3- لا تظهر نتائج استبدال البوزوولانا للإسمنت إلا بعد 60 يوم من تاريخ الصب وأكثر من ذلك

### 7. التوصيات :

1. عند استخدام البوزوولانا الطبيعية كبديل جزئي للإسمنت في المونة الإسمنتية ، يجب أن تكون نعومة البوزوولانا قريبة جداً أو متساوية لنعومة الإسمنت.
2. دراسة تأثير النعومة على فترات متباينة من الزمن من عمر المونة الإسمنتية.

## **المحور الثاني: مواد التشييد الملائمة للبيئة الصحراوية**

3. التأكيد على التركيب الكيميائي لعينات البوزلانا واحتواها على نسب عالية من أكسيد السيليكا واللومنيوم والحديد.
4. نوصي باستخدام نسب أحلال ما بين 15 - 20% للبوزلانا الطبيعية من موقع الدراسة.
5. نوصي بدراسة مدى تأثير درجة نعومة البوزلانا على متانة المونة الإسمنتية.
6. نوصي بزيادة البحث في مجال استبدال البوزلانا بالإسمنت لما في ذلك من وفر اقتصادي في صناعة الإسمنت .

### **8. المراجع :**

1. أ.د. عبد الرحمن مجاهد أحمد، الجزء الأول دليل المهندس الانشائي لتصميم وتنفيذ المنشآت الخرسانية ، سنة النشر 2000 ، جامعة اسيوط مصر.
2. أ.د. عبد الرحمن مجاهد أحمد، الجزء الثاني دليل المهندس الانشائي لتصميم وتنفيذ المنشآت الخرسانية، سنة النشر 2001، جامعة اسيوط مصر.
3. أ.د. ابراهيم علي الدرويش و الدكتور علي ابراهيم الدرويش، الجزء الاول، الخرسانة موادها وصناعتها و خواصها وضبط جودتها وترميمها، سنة النشر 2000 ، جامعة الاسكندرية مصر.
4. أ.د. عبد السلام المبروك عكاشه، الطبعة الاولى، تكنولوجيا الخرسانة، سنة النشر 2013، منشورات جامعة سبها- ليبيا.
5. د. أحمد علي العريان ، والدكتور عبد الكريم محمد عطا، تكنولوجيا الخرسانة، الطبقة الثانية، الجزء الأول، سنة النشر 1974، دار عالم الكتب، القاهرة مصر .
6. أ.د. محمود امام ، د. محمد أمين ، خواص المواد واختباراتها، سنة النشر 2007 ،جامعة المنصورة مصر .
7. محمد اسماعيل عمر – الإسمنت صناعته وخصائصه – القاهرة 2004 .

### دراسة خصائص المونة الجيوبوليمرية باستخدام البوزولانا المحلية

م. احمد بشير محمد البركولي

[a.albarkouli@wau.edu.ly](mailto:a.albarkouli@wau.edu.ly)

م. إبراهيم فضل إبراهيم الأجواد

[ib.alajwad@wau.edu.ly](mailto:ib.alajwad@wau.edu.ly)

أ.د. عبدالسلام المبروك عاكاشة

[a.akasha@wau.edu.ly](mailto:a.akasha@wau.edu.ly)

#### قسم الهندسة المدنية

كلية الهندسة - جامعة وادي الشاطئ

#### الملخص

في عام 1978، طور البروفيسور الفرنسي جوزيف دافيوفيتش مواد بوليميرية غير عضوية وساغ مصطلح «جيوبوليمر» لها. وهي عبارة عن خرسانة استبدالية والتي تستخدم فيها البوزولانا كمادة رابطة بين مكونات الخرسانة الأساسية بدلاً من مادة الإسمنت البورتلاندي العادي وتتقسم إلى نوعين البوزولانا الطبيعية المنشطة حرارياً مثل الطين (الموجود بكثرة في الجنوب الليبي) أو المنتجات الثانوية الصناعية مثل الرماد المتطاير أو خبث الأفران المحتوية على السيليكون (Si) والألومنيوم (Al) في شكل غير متبلور. وقد ثبت أن للخرسانة الجيوبوليمرية لها لخصائص أفضل من الخرسانة العادية من حيث مقاومة الأحماس، ومقاومة الكبريتات، وتحمل الحرارة والحرائق، ومقاومة التآكل.

في هذه الورقة سيتم العمل على البوزولانا الطبيعية (الطين المحروق) من الجنوب الليبي من موقع (سبها) التي تمت معالجتها حرارياً لمدة ساعتان في درجة حرارة 800 درجة مئوية وطحنتها وتمريرها من منخل 90 مايكرومتر واختبار البوزولانا كيميائياً وتخلط بمحفز كيميائي هيدروكسيد الصوديوم وسليلات الصوديوم بنسب معينة لتنمية عملية البلمرة والحصول على الخرسانة الجيوبوليمرية. ومن تم دراسة خصائص المونة الفيزيائية من كثافة ومقاومة الضغط. ومقارنتها بخليط مرجعية من الإسمنت البورتلاندي العادي.

كلمات مفتاحية: المونة الجيوبوليمرية، البوزولانا المحلية، المقاومة.

#### 1- مقدمة

نمت صناعة الخرسانة بشكل كبير في السنوات الأخيرة. وستستمر في النمو نتيجة للتنمية الحضرية المستمرة. وبذلك تعتبر الخرسانة هي المادة الرئيسية لبناء المباني. تتكون من الإسمنت كمكون رئيسي لها. ومع ذلك، تسببت صناعات الإسمنت في مشكلة بيئية بسبب انبعاث ثاني أكسيد الكربون الهائل. في عام 1995، بلغ الإنتاج العالمي لأسمنت

## المحور الثاني: مواد التشييد الملائمة للبيئة الصحراوية

بورتلاند العادي حوالي 1,4 مليار طن، مما أدى إلى انبعاث حوالي 1,4 مليار طن من ثاني أكسيد الكربون في الغلاف

الجوي حيث شكل هذا الرقم ما يصل إلى 7% من غازات الاحتباس الحراري المنبعثة إلى الغلاف الجوي<sup>[5][6][7]</sup>.

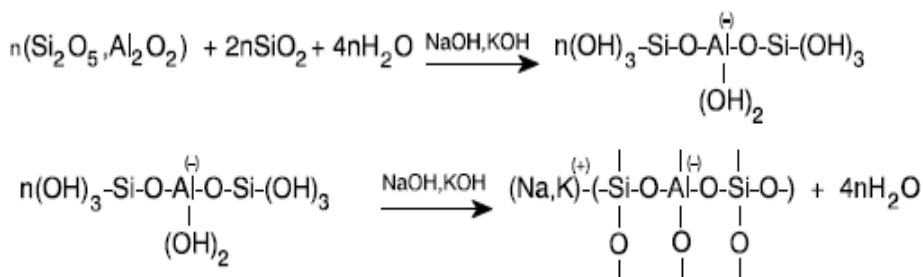
تم إجراء العديد من الدراسات لفهم تأثير الميتاكلولين كمادة مضافة في مونة الجيوبوليمر والخرسانة المحضرة بمصادر

مختلفة من سيليكات الألمنيوم مثل الرماد المنطاطير ورماد قشر الأرز لتعزيز عملية البلمرة، وتكتيف البنية المجهرية،

وزيادة المتانة. اكتشف معظم الباحث أن الميتاكلولين يستخدم كمادة رابطة وينتج منتجات جيوبوليمر أفضل<sup>[5][6][7]</sup>.

يتم إنتاج الجيوبوليمرات عن طريق خلط أكاسيد الألومنيوسيليكات مع بوليسيليكات قلوية غير عضوية لإنتاج روابط

سيليكات-أكسجين-قلوية بوليميرية (Si-O-Al)، وهي القاعادات الكيميائية الرئيسية المطلوبة لعملية الترابط.



شكل (1) يوضح التفاعل الكيميائي لعملية البلمرة<sup>[6]</sup>

### 1-1 الهدف من الدراسة

- إنتاج خرسانة من غير استخدام الاسمنت .
- استغلال الخامات المحلية .
- الحفاظ على البيئة وذلك بالتقليل من استخدام الاسمنت.
- تحسين خواص الخرسانة .

### 2- المواد المستخدمة

#### • البوزلانا

البوزلانا المحلية (الطين) المستخرج من منطقة سبها بالجنوب الليبي.

جدول (1) يبين نتيجة التحليل الكيميائي للبوزلانا

## المحور الثاني: مواد التشييد الملائمة للبيئة الصحراوية

$\text{SO}_3$	$\text{P}_2\text{O}_5$	$\text{TiO}_2$	$\text{Na}_2\text{O}$	$\text{K}_2\text{O}$	$\text{MgO}$	$\text{CaO}$	$\text{Fe}_2\text{O}_3$	$\text{Al}_2\text{O}_3$	$\text{SiO}_2$	Oxide (%)
0.971	-	5.2	-	0.533	<0.0001	1.08	2.87	29.4	58.3	البوزولانا (سبها)

- الركام الناعم

الرمل الطبيعي من منطقة زلاف كركام ناعم حسب المواصفات كركام ناعم في خلطات المونة<sup>[2]</sup>.

- ماء الخلط

ماء الشرب العادي في جميع خلطات المونة وكماء إضافي في خلطات المونة الجيوهوليمرية للمعالجة بعد ذلك

بالنسبة للمونة الاسمنتية<sup>[3]</sup>.

جدول (2) يبين التركيب الكيميائي للماء

ايون الهيدروجين	مجموع الكربونات والبيكربونات (mg/l)	ال الكبريتات (mg/l)	الكلوريدات (mg/l)	الاملاح الذائبة (mg/l)
7	32.3	12.9	21.4	120

- الملنن المتفوق

تم استخدام مضاد مقلل للماء بدرجة متفوقة وهو (agel -Technohyper<sup>[4]</sup>) بنسبة 1%.

- المنشطات القلوية

تم استخدام المنشطات المطلوبة لإكمال عملية البلمرة وهي عادة محلول سيليكات الصوديوم ( $\text{SiO}_2/\text{Na}_2\text{O}$ )

وهيdroكسيد الصوديوم (NaOH) مع ماء مقطر.

- الاسمنت البورتلاندي العادي

أسمنت البورتلاندي العادي المصنع في ليبيا (شركة الاتحاد العربي للمقاولات) لصناعة الخلطة المرجعية للمقارنة

<sup>[1]</sup>.

## **المحور الثاني: مواد التشييد الملائمة للبيئة الصحراوية**

جدول (3) يبين نتيجة التحليل الكيميائي للإسمنت

SO <sub>3</sub>	P <sub>2</sub> O <sub>5</sub>	TiO <sub>2</sub>	Na <sub>2</sub> O	K <sub>2</sub> O	MgO	CaO	Fe <sub>2</sub> O <sub>3</sub>	Al <sub>2</sub> O <sub>3</sub>	SiO <sub>2</sub>	Oxide (%)
4.4 1	0.13 6	0.39 2	-	0.45 9	-	64. 4	4.78	5.4	18. 9	الاسمنت

### **3- البرنامج العملي**

**أولاً: مرحلة جلب عينة (البوزلانا)**

تمت عملية جلب العينة من موقع في مدينة سوها.

**ثانياً: مرحلة حرق العينات (البوزلانا)**

تم حرق العينة بواسطة الفرن الكهربائي في معمل تكنولوجيا الخرسانة بقسم الهندسة المدنية بدرجة حرارة تصل إلى 800 مئوية لمدة ساعتين.

**ثالثاً: مرحلة طحن العينة (البوزلانا)**

تم طحن العينة وتمريرها من منخل رقم 170 (90 ميكرو متر) وبعد ذلك يتم تعبئه العينة في أكياس بلاستيكية ويتم إغلاقها جيداً وحفظها بعيداً عن الرطوبة.

**رابعاً: مرحلة اعتماد الخلطات (البوزلانا).**

تم عمل عدد من الخلطات التجريبية بنسب مختلفة واختبار مقاومة الضغط لها.

## المحور الثاني: مواد التشييد الملائمة للبيئة الصحراوية

جدول (4) يبين خلطات المونة ورموزها

النوع	الرمز	ر.م
الاسمنت	A	1
بوزولانا منطقة سبها + محلول القلوي (NaOH) + (SiO <sub>2</sub> /Na <sub>2</sub> O) إضافي %10	B	2
بوزولانا منطقة سبها + محلول القلوي (NaOH) + (SiO <sub>2</sub> /Na <sub>2</sub> O) + ماء إضافي %5 + ملدن	C	3

جدول (5) يبين نسب خلطات المونة

المواد \ الرمز	A	B	C
الاسمنت	1	0	0
الرمل	3	3	3
نسبة الماء للأسمنت	0.4	0	0
البوزولانا	0	1	1
المolare (NaOH)	0	20	20
نسبة (NS/NH)	0	0	2.5
نسبة محلول القلوي للبوزولانا	0	0	0.6
نسبة الماء الإضافي للبوزولانا	0	0	5
الملدن	0	0	1
درجة حرارة المعالجة	حرارة الغرفة	90°C <sup>0</sup>	90°C <sup>0</sup>

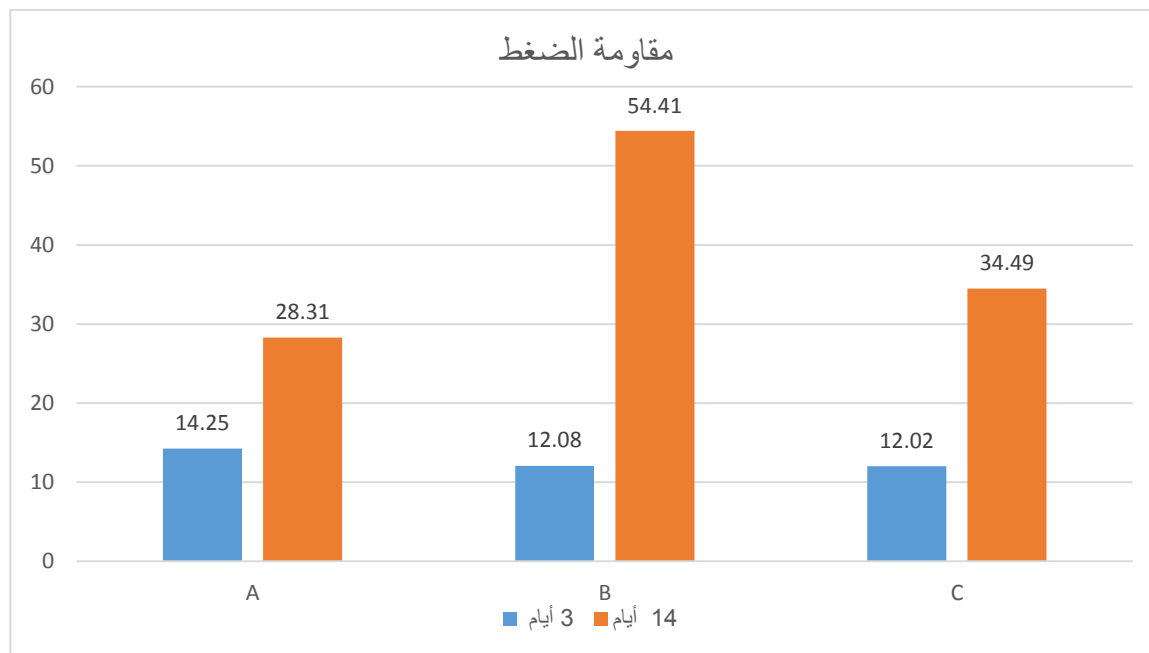
### 4- النتائج ومناقشتها

تم اختبار مقاومة الضغط والكتافة لعينات المونة والجدول التالي يوضح نتائج الاختبارات.

## المحور الثاني: مواد التشييد الملائمة للبيئة الصحراوية

جدول (6) يوضح نتيجة اختبار مقاومة الضغط والكثافة لخلطات المونة (A,B,C)

14 يوم		3 أيام		الرمز
المقاومة	الكثافة	المقاومة	الكثافة	
28.31	2.16	14.25	2.2	A
54.41	2.04	12.08	2.11	B
34.49	1.92	12.02	1.96	C

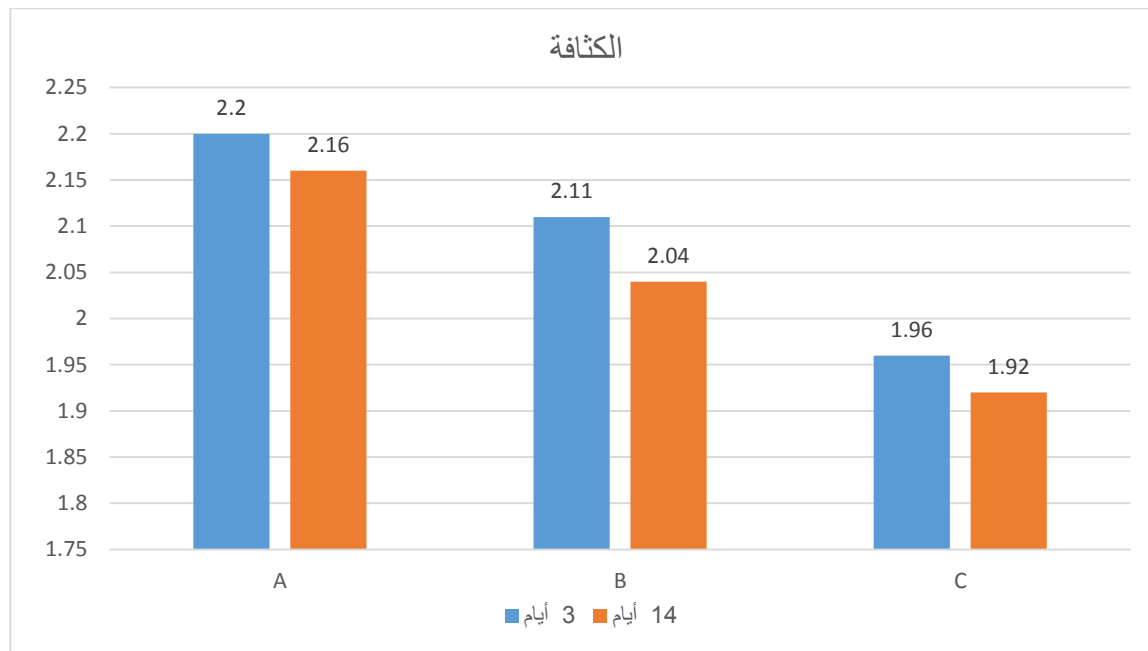


شكل (2) مخطط بياني يوضح نتيجة اختبار مقاومة الضغط للخلطات (A,B,C)

من خلال الشكل (2) يتضح لنا أن مقاومة الضغط عند عمر 3 أيام كانت أفضل للعينة A أما عند عمر 7 أيام كان

الفرق واضح بتفوق نتيجة العينة .

## المحور الثاني: مواد التشييد الملائمة للبيئة الصحراوية



شكل (3) مخطط بياني يوضح نتيجة اختبار الكثافة للخلطات (A,B,C)

من خلال الشكل (3) يتضح لنا أن كثافة المونة كانت أكبر قيمة للعينة A وبعد ها العينة B واقل قيمة للعينة .

### 5- الاستنتاجات

نتيجة لما تم دراسته، أصبح بالإمكان استنتاج ان الاستبدال الكلي للإسمنت بالبوزولانا يؤثر على خواص المونة بالشكل

- التالي :

1- بالإمكان الحصول على المونة الجيوبوليمرية باستخدام البوزولانا المحلية من منطقة سبها.

2- الحصول على تحسن واضح وكبير في مقاومة المونة الجيوبوليمرية عند 14 يوم عند الخلطة B بحيث كانت

الزيادة عن الخلطة A بنسبة 48.06% وعن الخلطة C بنسبة 36.72%.

3- ان نتائج الكثافة للخلطة A أكبر من B بنسبة 5.55 % وأكبر من الخلطة C بنسبة 11.4 % عند عمر 14

يوم.

نستطيع القول نتيجة لما ذكر أعلاه انه بالمكان استخدام البوزولانا من منطقة سبها في انتاج المونة الجيوبوليمرية

لما لها من افضلية واضحة من حيث المقاومة والكثافة.

### **6- التوصيات:**

- بناء على ما استنتج في هذه الدراسة نوصي بالاتي:-
- 1- دراسة المزيد من أنواع البوزولانا المحلية المتوفرة بالجنوب الليبي على المونة الجيوبوليمرية ودراسة تأثير كل نوع على خصائصها.
  - 2- دراسة خصائص المونة الجيوبوليمرية من زمن شك ابتدائي ونهائي وتمدد ونعومة ومقاومة الضغط والشد والمقومة لهجوم الكبريتات.
  - 3- دراسة تأثير المتغيرات المختلفة التي تكون في المونة الجيوبوليمرية من التركيب الكيميائي للبوزولانا ونسبة المنشط القلوي للبوزولانا ونسبة سليكات الصوديوم الى هيدروكسيد الصوديوم والمolarية لهيدروكسيد الصوديوم ودرجة حرارة المعالجة والماء الإضافي واضافة الملدبات.
  - 4- دراسة إمكانية الحصول على خرسانة جيوبوليمرية باستخدام البوزولانا المحلية من الجنوب الليبي.

### **7- المراجع**

- [1]-المركز الوطني للمواصفات والمعايير القياسية (اسمنت البناء البورتلاندي) رقم (470) سنة (2002).
- [2]-المركز الوطني للمواصفات والمعايير القياسية (الاختبارات الفيزيائية للإسمنت مقاومة الضغط) رقم 341 الجزء رقم 6 سنة (2005).
- [3]-المركز الوطني للمواصفات والمعايير القياسية (المياه المستعملة في الخرسانة) رقم (294) سنة (1988).
- [4]-Technohyper.(2022)-النشرة الفنية لمادة (agel )
- [5] -Bharat Bhushan Jindal, Thamer Alomayri, Assaedi Hasan & Cyriaque Rodrigue Kaze (Geopolymer concrete with metakaolin for sustainability: a comprehensive review on raw material's properties, synthesis, performance, and potential application)

[www.researchgate.net/](http://www.researchgate.net/) Environmental Science and Pollution Research (January 2022).

[6] –Joseph DAVIDOVITS (Geopolymer Chemistry and Applications, 4th edition) (2015).

[7] –Mr. G. Hemanaag , Mr. B. S. R. K. Prasad (Geo-Polymer Concrete using Metakaolin , Fly–Ash and their Comparision) [www.ijert.org/](http://www.ijert.org/) Volume 03, Issue 08 (August 2014).

### استخدام الخرسانة الاسمنتية المدموكة بالحدالات في انشاء الطرق و مقارنتها بالطرق الاسفلتية

#### في المناطق الصحراوية

1- مساعد محاضر بكلية التقنية الهندسية بعون : محمد مصطفى أبو قصيصة [mohammedaboghsesa86@gmail.com](mailto:mohammedaboghsesa86@gmail.com)

2- محاضر بالمعهد العالي للعلوم والتكنولوجيا - ترهونة : عصام محمد البنداق [libay1947@gmail.com](mailto:libay1947@gmail.com)

3- مساعد محاضر بجامعة درنة : محمد مصطفى زعوط [M\\_zatout@yahoo.com](mailto:M_zatout@yahoo.com)

#### ملخص

الخرسانة المدموكة بالحدالات (RCC) هي نوع مختلف من الخرسانة، وتأخذ اسمها من طريقة البناء المستخدمة في إنشائها، ولها نفس المكونات الأساسية للخرسانة التقليدية (PCC) وهي (الأسمنت والماء والركام، مثل الحصى أو الأحجار المكسرة) ولكن بنسب مختلفة. ويكون قوام الخرسانة الطازجة جافا بحيث يمكن دمكه بالحدالات بعد فرشه بنفس معدات فرش الخرسانة الاسفلتية وإنشاء الطرق بالخرسانة المدموكة بالحدالات (RCC) لا تحتاج إلى حديد تسليح ولا معدات تسوية السطح كما هو الحال في الخرسانة التقليدية (PCC) وإن نقل الأحمال بين فواصل التمدد يتم بطريقة الاحتكاك بين البلاطات الخرسانية للخرسانة المدموكة بالحدالات.

وسنستعرض في هذه الورقة تصميم الخرسانة المدموكة بالحدالات (RCC) و مقارنتها بالخرسانة الاسفلتية (Hot Mix Asphalt (HMA)) من حيث مقاومتها للمناخ الصحراوي وذلك لأن أهم العوامل في تصميم الطرق هو عامل المناخ متمثلة في اختلاف درجات الحرارة و درجة الرطوبة. وكذلك مقارنة الكلفة بين الخرسانة المدموكة بالحدالات والطرق الاسفلتية وذلك لجزء من طريق لم يتم رصده بشارع عمر المختار بمدينة هون .

Key words: Roller Compacted Concrete , Rigid Pavement.

الخرسانة المدموكة بالحدالات ، الرصف الصلب .

#### ١- المقدمة:

بعد استخدام الطرق الاسمنتية قليل في بلادنا لعدة عوامل ومن أهما قلة الخبرة في تنفيذها و طول فترة تنفيذها وقلة معدات التنفيذ الخاصة بها مقارنة بالطرق الاسفلتية المستخدمة فيأغلب الطرق في بلادنا. طريقة الرصف بالخرسانة الاسمنتية المدموكة بالحدالات لا تحتاج إلى المعدات الخاصة بتنفيذ الطرق المستخدم فيها الخرسانة الاسمنتية التقليدية اذ انه يتم تنفيذها بنفس المعدات المستخدمة في تنفيذ الطرق الاسفلتية حيث ان الخرسانة المدموكة بالحدالات RCC تقلل من العوامل التي تجعل من استخدام الخرسانة الاسمنتية مستبعد في بلادنا ومن هذه العوامل :

## **المحور الثاني: مواد التشييد الملائمة للبيئة الصحراوية**

- 1- سهولة تنفيذ الخرسانة الاسفلتية مقارنًا بالخرسانة الاسمنتية التي تحتاج إلى معدات خاصة بالتسوية سطح الطريق و الجوانب . لذا فإن RCC يتم تنفيذها بنفس معدات رصف الخرسانة الاسفلتية .
- 2- سرعة تنفيذ الخرسانة الاسفلتية وقلة زمن التنفيذ وامكانية فتح الطريق بمجرد انخفاض درجة حرارة الاسفلت ووصوله إلى درجة حرارة الجو المحيط بعكس الخرسانة الاسمنتية التي تحتاج إلى وقت أطول يصل إلى 7 أيام . لذا فإن RCC تحتاج إلى وقت أقل يصل إلى يومان ويمكن فتح الطريق عندما تصل مقاومة الخرسانة إلى  $7.6 \text{ N/mm}^2$  [1,3].
- 3- سطح الخرسانة الاسمنتية يعتبر أعم من سطح الخرسانة الاسفلتية مما يسبب في ازلاق المركبات ويستوجب معدات لكشط خطوط في الخرسانة الاسمنتية لزيادة خشونة السطح. لذا فإن RCC لها سطح يشبه سطح الخرسانة الاسفلتية ولا حاجة لمعدات الكشط المستخدمة في الخرسانة الاسمنتية التقليدية [4] .  
ومما ذكر سابقاً يصبح استخدام الرصف الصلب بطريقة الخرسانة الاسمنتية المدموكة بالحدادات ممكناً وذلك باستخدام نفس معدات الرصف المستخدمة في رصف الخرسانة الاسفلتية و مع امكانية تقليل تكلفة الرصف بألغاء طبقة الأساس الحبيبي المستخدمة في الرصف المرن و الاكتفاء بطبقة الأساس المساعد وذلك لأن الرصف باستخدام الخرسانة الاسمنتية أكثر تحمل للإحمال من الخرسانة الاسفلتية التي تحتاج إلى طبقتين على الأقل من الأساس المساعد و الأساس الحبيبي التي يحسب سمكها بحسب الإحمال المتوقع أن تتعرض لها الطريق و خواص المواد المستخدمة . وسنستعرض في هذه الورقة تصميم الرصف باستخدام الخرسانة الاسمنتية المدموكة بالحدادات طريق داخلي بمدينة هون وبالتحديد شارع عمر المختار لتحمل الإحمال التصميمية لها و مقارنتها بالرصف بالخرسانة الاسفلتية المصممة بالسابق و منفذ جزء كبير منه على الواقع .

### **2- تصميم الرصف باستخدام الخرسانة المدموكة بالحدادات : RCC :**

بشكل عام يقصد بالتصميم الإنثائي هو تحديد طبقات الرصف، واختيار المواد المكونة لها، وحساب سمكها، وتبداً عملية التصميم بدراسة العوامل المؤثرة في التصميم مثل: حمل المرور، وخصائص المواد المستخدمة، والظروف البيئية والمناخية للمنطقة، كما يدخل في ذلك أيضاً المحددات الاقتصادية ونوع ومستوى الخدمة المطلوبة. ويتم من خلال تلك الدراسات تحديد وتقدير عدد من القيم والثوابت ومعاملات الدالة في التصميم، مثل: مقاومة تربة الأساس، وخصائص مواد الرصف، وحمل المرور. وتختلف أساليب تحديد تلك المعاملات وكيفية التعبير عنها بإختلاف طرق التصميم؛ حيث إننا في هذا البحث استخدمنا طريقة الأشتو (AASHTO) لتصميم الرصف الصلب وسنستعرض أهم هذه العوامل وطرق تحديدها وقياسها .

#### **1.2- الطريقة المستخدمة في تصميم الرصف :**

يوجد هناك طريقتان رئيسيان في تصميم الرصف: الأولى مبنية على الخبرة العملية (Empirical)، والثانية مبنية على التحليل النظري (Analytical)، ومن أشهر الطرق العملية المستخدمة في تصميم الرصف على نطاق عالمي هي طريقة الأشتو الأمريكية لتصميم الرصف:

## المحور الثاني: مواد التشييد الملائمة للبيئة الصحراوية

تعتبر هذه الطريقة من أشهر وأوسع طرق تصميم الرصف، وهي طريقة مبنية على التجارب الحقلية والخبرة المتراكمة من مراقبة الأداء، وهي

.AASHTO Interim Guide For the Design

### 2.2 - عوامل التصميم :

هناك عدة عوامل تدخل في عملية تصميم الرصف أو تحديد سماكة طبقات الرصف وهي: حمل المرور، المناخ أو البيئة، وخصائص المواد المستخدمة في الرصف، كما يوجد عدد من العناصر الأخرى التي يجب أخذها في الاعتبار للوصول إلى تحديد السماكة التصميمية لطبقات الرصف، وتشمل: التكلفة، أسلوب الإنشاء والصيانة، والعمر التصميمي، وبذلك يتبين أن عملية التصميم عملية شاملة ومعقدة ومن الصعب أن توجد طريقة أو أسلوب مبسط يمكن أن يؤدي إلى تصميم ناجح ويأخذ في اعتباره كل الظروف المحيطة. وعوامل التصميم تم ايجادها وفقاً لبيانات (طريق شارع عمر المختار بمدينة هون) من دليل الاشتغال لأيجاد سماكة الرصف المناسب للاحتمال المروري الحالي و كذلك المتوقعة في المستقبل خلال فترة عمر الرصف . و عوامل التصميم كما هي مبينة في الجدول (1.2) وتم وضع هذه العوامل في معادلة ايجاد سماكة الرصف وفقاً لعوامل الطريق المصممة وهي :

#### 1.2.2 حجم المرور :

تم حساب حجم المرور لشارع (عمر المختار) باستخدام طريقة الحصر اليدوي، وشمل ذلك حصر جميع المركبات التي تمر على الطريق والتي تتمثل في (السيارات، والحافلات، والشاحنات)، حيث تعتبر طريقة الحصر اليدوي أكثر الطرق مصداقية ومقاربة ل الواقع. عليه تم اختيار نقطة معينة من نفس الشارع، والتي تقع في تقاطع على شكل حرف (T) يبعد 150 متر تقريباً عن بداية الوصلة المراد رصفيها، وقمنا بعد المركبات التي تمر من تلك النقطة، وذلك بهدف حصر العدد الحقيقي للمركبات التي ستتمر على الطريق المعنى بعد رصفه. وقد تم ذلك بحساب حجم المرور في وقت الذروة وهو من الساعة (7 إلى 8 صباحاً) أو من الساعة (1 إلى 2 مساءً) على مدار 7 أيام، وأخذنا منها أكبر حجم مرور في الساعة وتحويله إلى حجم مرور يومي ، ومن ثم تحويل هذا الحجم إلى حمل المحور المكافئ كما هو موضح في الجدول (1.2) :

الجدول (1.2) يوضح تحويل حجم المرور الكلي إلى المحور المكافئ [2]

نوع المركبة	وزن المحور (طن)	عدد المحاور	حملة المحور	عدد المركبات	معامل المحور الواحد	معامل تعقب المركبات	مجموع المركبات ESAL
	2.5	مفرد مفرد	1.25	1429	0.001	0.002	2858
			1.25		0.001		
	4.5	مفرد مفرد	2.25	46	0.0045	0.009	414
			2.25		0.0045		
	6	مفرد مفرد	3	23	0.015	0.030	690
			3		0.015		

## المحور الثاني: مواد التشييد الملائمة للبيئة الصحراوية

	18	ثاني مفرد	14 4	17	1.282 0.048	1.330	22610
	20	ثاني مفرد	16 4	5	2.237 0.048	1.928	11425

= المجموع 37997

حركة المرور : من خلال ماتم حسابه سابقاً يمكننا تحديد حركة المرور، حيث أن حمل المحور المفرد المكافئ  $ESAL = 37997$  ، ومعدل النمو غالباً مايؤخذ 5% في معظم تصاميم الطرق، وعامل توزيع الاتجاه ( $D_p$ ) 50%， وعامل توزيع الحرارات ( $DL$ ) 70%， وفقاً لدليل AASHTO 1993 وبالتالي فإن حركة المرور خلال فترة الأداء القصوى تكون 25 سنة وفترة التحليل 35 سنة وتم حسابها كالتالي:

$$ESAL = 37997 \times 0.5 \times 0.7 \times 365 \times ((1+0.05)^{25} - 1) / 0.05 = 231672910(25 \text{ years})$$

$$ESAL = 37997 \times 0.5 \times 0.7 \times 365 \times ((1+0.05)^{35} - 1) / 0.05 = 438425317 (35 \text{ years})$$

### 2.2.2 - معاملات الطريق :

وهي المعاملات اللازمة لحساب سماكة طبقة الرصف، ويتم تحديدها بناءً على ظروف الطريق ونوعه، وذلك من خلال الجداول والمنحنيات المبنية على الأبحاث العملية، وفي هذا البحث تم الإستدلال بطريقة آشتو الأمريكية لتصميم الرصف.

### 3.2.2 - الاعتمادية (Reliability) :

يُقصد بالإعتمادية ادخال درجة من التأكيد في عملية التصميم لضمان أن خيارات التصميم يمكنها الإستمرار طول العمر التصميمي للrucf، وفي الاعتمادية تأخذ عوامل التصميم في اعتبارها احتمال التغيرات التي تطرأ على كل من تنبؤات المرور والأداء. والجدول (2.2) يوضح خواص الطريق التي يأخذ منها قيمة الإعتمادية والتي يرمز له بالرمز (R) :

الجدول (2.2) من AASHTO لتحديد قيمة الإعتمادية [2]

TABLE 11.14 Suggested Levels of Reliability for Various Functional Classifications

Functional classification	Recommended level of reliability	
	Urban	Rural
Interstate and other freeways	85-99.9	80-99.9
Principal arterials	80-99	75-95
Collectors	80-95	75-95
Local	50-80	50-80

Note. Results based on a survey of AASHTO Pavement Design Task Force.

### 4.2.2 - الانحراف المعياري (Standard Deviation) :

## المحور الثاني: مواد التشييد الملائمة للبيئة الصحراوية

يكون معامل الاعتمادية دالةً في الانحراف المعياري الكلي، والذي يرمز له بالرمز ( $S_0$ )، ويقصد به الانحراف المعياري في المواد والإنشاء، واحتمال التغير في تنبؤات المرور، والاختلاف الطبيعي في أداء الرصف.

\* القيمة الموصي بها طبقاً لمواصفات AASHTO 1997 هي 0.45 للرصف المرن و 0.35 للرصف الصلب.

### 5.2.2 - معامل الموثوقية (Reliability Factor)

يُقصد بمعامل الموثوقية الانحراف الطبيعي للاعتمادية  $R$ ، ويمكن تحديد معامل الموثوقية من جدول AASHTO 1993 الموصي به

كما هو موضح بالجدول (3.2) :

الجدول (3.2) من AASHTO 1993 لتحديد قيمة معامل الموثوقية [2]

TABLE 11.15 Standard Normal Deviates for Various Levels of Reliability

Reliability (%)	Standard normal deviate ( $Z_R$ )	Reliability (%)	Standard normal deviate ( $Z_R$ )
50	0.000	93	-1.476
60	-0.253	94	-1.555
70	-0.524	95	-1.645
75	-0.674	96	-1.751
80	-0.841	97	-1.881
85	-1.037	98	-2.054
90	-1.282	99	-2.327
91	-1.340	99.9	-3.090
92	-1.405	99.99	-3.750

### 6.2.2 - الصرف :

التصريف المتراكم للرصيف الجامد يغير حالة الصرف، ويتوافق من (0.7 ضعيف) إلى (1.25 جيد) حسب دليل AASHTO 1993 الموصي به، وقد تم إهمال معامل الصرف بالنسبة للطريق في هذا البحث وأخذ قيمة الصرف ( $C_d=1$ ) لتجنب المخاطر المرتبطة باستخدامه، والذي تم تحديده من الجدول (4.2) :

## المحور الثاني: مواد التشييد الملائمة للبيئة الصحراوية

الجدول (4.2) من AASHTO لتحديد قيمة معامل الصرف [2]

TABLE 12.20 Recommended Values of Drainage Coefficients $C_d$ for Rigid Pavements					
Rating	Quality of drainage	Percentage of time pavement structure is exposed to moisture levels approaching saturation			
		Water removed within	Less than 1%	1-5%	5-25%
Excellent	2 hours	1.25-1.20	1.20-1.15	1.15-1.10	1.10
Good	1 day	1.20-1.15	1.15-1.10	1.10-1.00	1.00
Fair	1 week	1.15-1.10	1.10-1.00	1.00-0.90	0.90
Poor	1 month	1.10-1.00	1.00-0.90	0.90-0.80	0.80
Very poor	Never drain	1.00-0.90	0.90-0.80	0.80-0.70	0.70

### 7.2.2 - الخدمة :

يجب تحديد مؤشر الخدمة المبدئية والخدمة النهائية لاستخدامها في حساب التغير في مؤشر الخدمة الحالية ( $\Delta PSI$ ) في المعادلة التصميمية.

مؤشر الخدمة المبدئية: هو دالة في نوعية إنشاء الرصف، والقيمة النمطية المتحصل عليها من طريق آشتو التجاري هي 4.5 مؤشر الخدمة النهائية: هو أقل مؤشر مسموح به للrucf وذلك قبل حاجته الشاملة للصيانة، والقيمة المقترنة في دليل آشتو لرصف الطرق هي 2.5 تم اختيار امكانية الخدمة الأولية وصلاحية امكانية الخدمة الطرفية 2.5, 4.5 على التوالي وفقاً لدليل آشتو لتصميم الرصف لهذا الطريق هي :

$$\Delta PSI = P_O - P_T = 4.5 - 2.5 = 2.0$$

### 8.2.2 - نقل الحمولة (Load Transfer) :

تم تصميم الطريق بدون استخدام قضبان نقل الحمل، لهذا السبب حدبت قيمة معامل نقل الحمولة (L) باستخدام جدول AASHTO

: 1993 الموصى به كما هو موضح في الجدول (5.2) :

الجدول (5.2) من AASHTO 1993 لتحديد قيمة معامل نقل الحمولة [2]

TABLE 12.19 Recommended Load Transfer Coefficient for Various Pavement Types and Design Conditions

Type of shoulder	Asphalt		Tied PCC		
	Load transfer devices	Yes	No	Yes	No
JPCP and JRCP	3.2	3.8-4.4	2.5-3.1	3.6-4.2	
CRCP	2.9-3.2	N/A	2.3-2.9	N/A	

### 9.2.2 - فقدان الدعم (Loss of Support) :

يشير فقد الدعم الى احتمال حدوث ظاهرة الضخ (المواد الحبيبية غير المربوطة) عندما تتشكل الفراغات أسفل البلاطة، وقد تم اختيار

معامل فقد الدعم للشروط المحددة في هذا المشروع باستخدام جدول AASHTO 1993 الموصى به كما هو موضح في الجدول (6.2) :

## المحور الثاني: مواد التشييد الملائمة للبيئة الصحراوية

الجدول (6.2) من AASHTO لتحديد قيمة معامل فقد الدعم [2]

TABLE 12.18 Typical Ranges of LS Factors for Various Types of Materials

Type of material	Loss of support (LS)
Cement-treated granular base ( $E = 1 \times 10^6$ to $2 \times 10^6$ psi)	0.0 to 1.0
Cement aggregate mixtures ( $E = 500,000$ to $1 \times 10^6$ psi)	0.0 to 1.0
Asphalt-treated bases ( $E = 350,000$ to $1 \times 10^6$ psi)	0.0 to 1.0
Bituminous-stabilized mixture ( $E = 40,000$ to $300,000$ psi)	0.0 to 1.0
Lime-stabilized materials ( $E = 20,000$ to $70,000$ psi)	1.0 to 3.0
Unbound granular materials ( $E = 15,000$ to $45,000$ psi)	1.0 to 3.0
Fine-grained or natural subgrade materials ( $E = 3000$ to $40,000$ psi)	2.0 to 3.0

Note.  $E$  in this table refers to the general symbol of the resilient modulus.

### K Value : (Modulus of Subgrade Reaction) 10.2.2

يعتبر معامل رد فعل التربة من المعاملات المهمة التي تدخل في تصميم الطرق، ويُعرف معامل رد فعل التربة بأنه النسبة بين الإجهاد المطبق على التربة والهبوط المقابل له. أن هذا المعامل يتغير من تربة إلى أخرى حسب مواصفاتها الميكانيكية، ويمكن تحديد معامل رد فعل التربة من جدول AASHTO 1993 الموصي به كما هو موضح في الجدول (7.2) بحسب نوع تربة الأساس وهي في هذه الطريق خليط بين الحصى و الرمل :

الجدول (7.2) من AASHTO 1993 لتحديد قيمة معامل رد فعل التربة [2]

TABLE 12.14 Subgrade Soil Types and Approximate  $k$  Values

Type of soil	Support	$k$ Values (pci)
Fine-grained soils in which silt and clay-size particles predominate	Low	75-120
Sands and sand-gravel mixtures with moderate amounts of silt and clay	Medium	130-170
Sands and sand-gravel mixtures relatively free of plastic fines	High	180-220
Cement-treated subbases	Very high	250-400

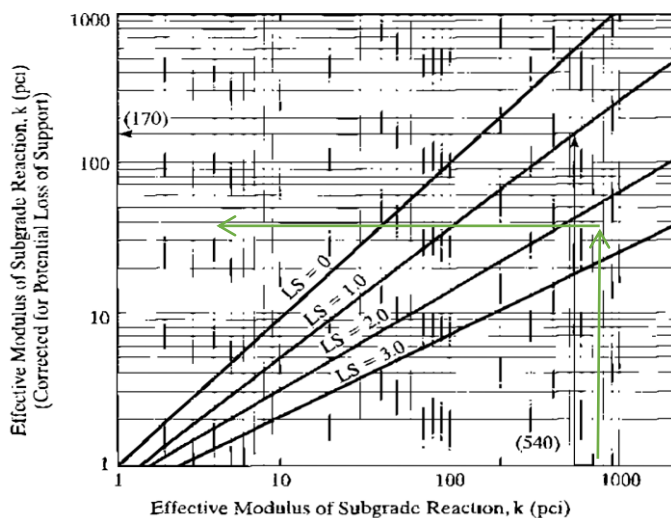
Note. 1 pci = 271.3 kN/m<sup>3</sup>.

علمًا بأنه لم يتم استخدام قيمة معامل رد الفعل الحقيقي في المعادلة العامة لإيجاد سماكة الرصف، وإنما تم استخدام معامل تصحيح رد الفعل، وهي القيمة المطلوبة في المعادلة العامة، وتم تحديد هذا المعامل على أساس معامل فقد الدعم الذي تم حسابه سابقًا (  $LS = 1.5$  ) من الشكل :

$$: (1.2)$$

## المحور الثاني: مواد التشييد الملائمة للبيئة الصحراوية

الشكل (1.2) يوضح منحنى لتحديد قيمة معامل رد فعل التربة [2]



### 3.2 - توصيف المواد :

تم تحديد معامل المرونة ( $E_c$ ) للخرسانة الاسمنتية المستخدم في هذا البحث، ومعامل التمزق لطبقة الاساس المساعد ( $S_c$ ) (Modulus of Rupture) باستخدام AASHTO 1993 وكانت القيم كالتالي :

$$E_c = 4200000 \text{ psi}$$

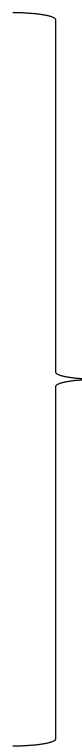
$$S_c = 650 \text{ psi (Modulus of Rupture) }$$

### 4.2 - تحديد سماكة بلاطة الرصف :

بعد تحديد قيمة معامل رد فعل التربة ( $K$ ) الفعالة والمصححة، كانت الخطوة التالية هي حساب سماكة الرصف، وباستخدام صيغة AASHTO 1993 لتصميم الرصيف الصلب كما هو موضح أدناه، وباستخدام معاملات الادخال التي تم تحديدها سابقاً كانت قيمة سمك الرصف كما يلي

$$\log(W_{18}) = Z_R \times S_o + 7.35 \times \log_{10}(D + 1) - 0.06 + \frac{\log_{10}(\frac{\Delta PSI}{4.5-1.5})}{1 + \frac{1.624 \times 10^7}{(D+1)^{8.46}}} + (4.22 - 0.32P_t) \times \log_{10}\left[\frac{(S'_c)(C_d)(D^{0.75}-1.132)}{215.63(J)\left[D^{0.75} - \frac{18.42}{(B'_c/k)^{0.25}}\right]}\right] :$$

## المحور الثاني: مواد التشييد الملائمة للبيئة الصحراوية



$W_{18} =$	231672910	سنة 25 ESALs
$S_c' =$	650	معامل التمزق
$E_c =$	4200000	معامل مرنة الخرسانة
$k\text{-value} =$	40	معامل رد الفعل المصحح
$D = 4.2 \text{ inch (10.668 cm)}$	سمك الرصف 95 .645 .35	الاعتمادية
$J =$	3.6	معامل الاعتمادية
$C_d =$	1	الاتحراف المعياري
$P_i =$	4.5	معامل نقل الحمولة
$P_t =$	2.5	معامل التصرف
		الخدمة الاولية
		الخدمة الطرفية

إذاً سماكة طبقة الخرسانة المدموكة اللازمة لرصف شارع (عمر المختار) الواقع في مدينة هون والذي يمكنه تحمل الاصدال الواقع عليه هو  $D = 4.2 \text{ inch (10.668 cm)}$  وحيث ان المواصفات تنص على أن السماكة يجب علي ان لا يقل عن 12.5 سم كما في الجدول 8.2 الاسترشادي الذي يبين سماكة طبقة رصف RCC و مقاومة الخرسانة المناسبة لها [3].

الجدول 8.2 يبين سماكة طبقة رصف RCC و مقاومة الخرسانة المناسبة لها [3]

مقاومة الخرسانة المطلوبة لـ RCC عند فتح الطريق		سماكة الرصف (Slab Thickness)
مرور مختلط (Mixed Traffic)	السيارات (Autos)	
4000 psi (27.6 MPa)	1100 psi (7.6 MPa)	$\leq 5 \text{ inches (125 mm)}$
3600 psi (24.8 MPa)		5 – 6 inches (125 – 150 mm)
2500 psi (17.2 MPa)		6 – 7 inches (150 – 175 mm)
2200 psi (15.2 MPa)		7 – 8 inches (175 – 200 mm)
2000 psi (13.8 MPa)		$> 8 \text{ inches (200 mm)}$

### 3 - تصميم الخرسانة المدموكة بالحدادات : RCC

تصمم الخلطة الخرسانية المدموكة بالحدادات RCC mix design حيث تكون ذات قوام جاف ليتم رصها بالحدادات بحيث يكون اختبار الهبوط لها صفرأ او اقل حيث يتم تحديد نسبة الماء بإجراء اختبار الدلك للخرسانة و تحديد نسبة الماء المقابلة لاعلي كثافة جافة كما هو الحال في التربة وذلك بإجراء اختبار بروكتور للدلك . وكذلك يتم تحديد نسب المواد من ركام كبير و كذلك ركام الكوليينة الناتجة من تكسير الاحجار

## **المحور الثاني: مواد التشييد الملائمة للبيئة الصحراوية**

و الرمل بحيث يكون الخليط ضمن التدرج الحبيبي لمواصفات RCC . و تختلف نسب الركام الصغير عن الكبير في RCC عن الخرسانة التقليدية حيث انه في RCC تكون نسبة الركام الصغير أكبر من نسبته في الخرسانة التقليدية وذلك لتعويض زيادة قابلية التشغيل لـ RCC لتعويض نقص قابلية التشغيل بسبب قلة نسبة الماء بها [1]. وكما في تصميم الخرسانة التقليدية يجب اجراء الاختبارات الازمة لتحديد خواص المواد المكونة لـ RCC وفيما يلي خصائص المواد المستخدمة المتحصل عليها من الاختبارات التي أجريناها على المواد المستخدمة في RCC :

### **1.3- الركام**

#### **1.3.1- الوزن الحجمي ونسبة الفراغات للركام الخشن :**

كانت نتيجة الوزن الحجمي للركام الكبير تساوي 2.39 ونسبة الفراغات تساوي 34.58%

#### **1.3.2- الوزن النوعي للركام الخشن والناعم :**

و كانت قيمة الوزن النوعي للركام الخشن تساوي 2.628 والوزن النوعي للركام الناعم يساوي 2.663 .

#### **1.3.3- نسبة امتصاص الركام الخشن للماء :**

كانت نسبة امتصاص الركام الكبير المستخدم في البحث للماء تساوي 1.495%

#### **1.3.4- كمية الطين والماء الناعمة بالركام الخشن والناعم :**

في هذا الإختبار كانت كمية الطين والماء الناعمة للركام الكبير 0.585 % من الوزن الكلي للعينة المختبرة، وهي تعتبر ضمن الحدود والمواصفات التي تنص على أن تكون نسبة الطين والماء الناعمة للركام أصغر من 6% من وزن العينة. أما الركام الصغير فكانت 1.25% وهي ضمن الحدود والمواصفات أيضاً.

#### **1.3.5- مقاومة الركام الكبير للبرى :**

بعد إجراء الاختبار على الركام كانت نسبة البرى تساوي 20.626 % وهي ضمن الحدود الموصى بها، والتي تنص على ان نسبة البرى لا تتجاوز 25% للركام المستخدم في الطرق.

#### **1.3.6- نتائج التحليل المنخلي للركام الخشن و الكولينية والركام الناعم وتحديد نسب كل منها حسب المواصفات :**

وكانت النتائج للتحليل المنخلي للركام الخشن و الكولينية و الركام الناعم كما بالجدول 1.3 :

## المحور الثاني: مواد التشييد الملائمة للبيئة الصحراوية

الجدول 1.3 يبين نتائج التحليل المنخلي لركام الخشن والكوالينا و الركام الناعم [3]

المواصفات	متوسط نسبة الماء (%)	نسبة الماء (%)			فتحة المنخل (mm)
		C الركام الناعم	B الكوالينا	A الركام الخشن	
الحد الادني - الحد الاعلي					
100 - 100	100	100	100	100	<b>19.5</b>
100 - 81	88.96	100	100	66.89	<b>12.5</b>
91 - 71	81.26	100	100	43.78	<b>9.5</b>
70 - 49	69.74	100	100	9.23	<b>4.75</b>
54 - 33	56.89	100	70.69	0	<b>2.36</b>
40 - 24	38.73	77.96	38.25	0	<b>1.18</b>
30 - 15	25.72	63.94	13.24	0	<b>0.6</b>
25 - 10	14.46	36.85	6.53	0	<b>0.3</b>
16 - 2	3.44	8.61	1.71	0	<b>0.15</b>
8 - 0	1.003	2.56	0.45	0	<b>0.075</b>

بما أن لدينا ثلاثة مواد داخلة في تكوين الخلطة الخرسانية باستثناء الماء وهي ( الركام الخشن، الكوالينا، الركام الناعم)، فلما بتحديد نسب هذه

المواد عن طريق نسبة المواد كما بالمعدلات الآتية :

$$(1) \quad 81.26 = C100 + B100 + A43.78$$

$$(2) \quad 69.74 = C100 + B100 + A9.23$$

$$(3) \quad 56.89 = C100 + B70.69$$

وبحل المعدلات الثلاث تحصل على قيمة C و B و A وبالتالي تكون نسب المواد في الخلطة بالخرسانية هي:  $(\frac{1}{3}, \frac{1}{3}, \frac{1}{3})$  للركام الخشن والكوالينا والركام الناعم لتحصل على ركام شامل ضمن المواصفات .

### 2.3 - الاسمنت :

تم عمل ثلاثة خلطات خرسانية بثلاث نسب مختلفة للإسمنت، وتم تحديد هذه النسب والتي تقع ضمن الحدود المسموح بها لخطة (RCC) وهي: %10 , %12 , %14 من وزن المواد الجافة للخلطة.

### 3.3 - اختبار الدك لتحديد المحتوى المائي :

تم تحديد المحتوى المائي الأفضل للخلطة الخرسانية باستخدام جهاز بروكتر المعدل (Modified Proctor Test)، حيث قمنا بعمل ثلاثة خلطات خرسانية بنسب مختلفة من الإسمنت وهي المذكورة في (2.3)، وت تكون الخلطات من نسب متساوية من الركام كما تم حسابها من (6.1.3)، وكل خلطة تتضمن ست عينات مختلفة بمحتويات مائية : %5 , %6 , %7 , %8 , %9 , %10 من الوزن الكلي للخلطة. وخلط هذه المواد جيداً لمدة دقيقة كاملة للحصول على مزيج متجانس، وهذه النسب تمثل المحتوى المائي المسموح به لخطة (RCC).

## المحور الثاني: مواد التشييد الملائمة للبيئة الصحراوية

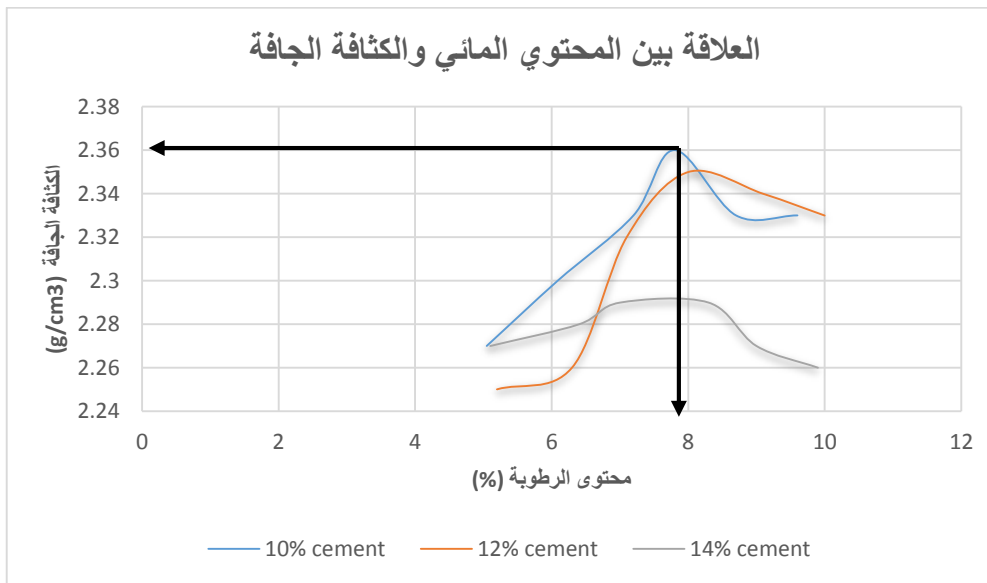
وبالتالي يصبح العدد الكلي للعينات: 3 خلطات  $\times$  6 عينات = 18 عينة وذلك ليتم تحديد أفضل محتوى مائي وأقصى كثافة جافة للخليطة الخرسانية من خلال الجدول 2.3 ، وقد تم اتباع الكود الإنجليزي في طريقة تحديد ذلك<sup>(2)</sup>.

الجدول 2.3 يوضح حساب المحتوى المائي وأقصى كثافة جافة للخلطة الخرسانية لنسب الاسمنت .%14 , .%12 , .%10 .

%10						نسبة الاسمنت
9.6	8.7	7.8	7.2	6.09	5.05	المحتوى المائي
2.33	2.33	2.36	2.33	2.3	2.27	(gm/cm <sup>3</sup> )
%12						نسبة الاسمنت
10	9.1	8	7.1	6.3	5.2	المحتوى المائي
2.33	2.34	2.35	2.32	2.26	2.25	(gm/cm <sup>3</sup> )
%14						نسبة الاسمنت
9.9	9	8.3	7	6.4	5.1	المحتوى المائي
2.26	2.27	2.29	2.29	2.28	2.27	(gm/cm <sup>3</sup> )

يرسم العلاقة بين المحتوى المائي والكثافة الجافة للعينات المختبرة بنسبة اسمنت 10%, 12%, 14% لكل خلطة، وتحديد أفضل محتوى مائي وأفضل محتوى اسمنت في الشكل 1.3 ، تحصلنا ان أفضل محتوى مائي و هو 8% بنسبة اسمنت 10%.

الشكل 1.3 يوضح العلاقة بين الكثافة الجافة و المحتوى المائي للخلطة و بحسب اسمنت مختلف



3.4- صنع الخلطة الخرسانية المدموعة:

## المحور الثاني: مواد التشييد الملائمة للبيئة الصحراوية

الشكل 3.3 يوضح العينات بعد تصفيتها  
واخراجها من القوالب



الشكل 2.3 يوضح العينات طازجة  
وهي مدمومة بالقوالب



الشكل 4.3 يوضح اختبار عينة من خرسانة RCC لاختبار مقاومة الضغط داخل الجهاز

بعد معرفة نسب المواد في الخلطة الخرسانية وهي: الركام، والكوالينا، والرمل، بنسبة 33.3% لكل منها، والإسمنت والماء بنسبة 10% ، على التوالي من وزن المواد الجافة؛ فمنا بصنع الخرسانة المدمومة بخلط هذه المواد ودمكها في قوالب مكعبية بواسطة معدات الدنك اليدوية كما هو موضح بالأشكال 2.3 و 3.3 .

### 5.3- اختبار الضغط على الخرسانة :

تم إجراء اختبار مقاومة الخرسانة للضغط (The Concrete Compression Test) وذلك عند عمر (7 أيام) كما هو موضح في الشكل 4.3

والجدول 5.3 يبين نتائج اختبار مقاومة الضغط للمكعبات الخرسانية عند عمر 7 أيام:

الجدول 5.3 يوضح قيمة الضغط للمكعبات

متوسط الضغط (MPA)	الضغط للعينات (MPA)		
	العينة 3	العينة 2	العينة 1
18.387	17.96	18.31	18.89

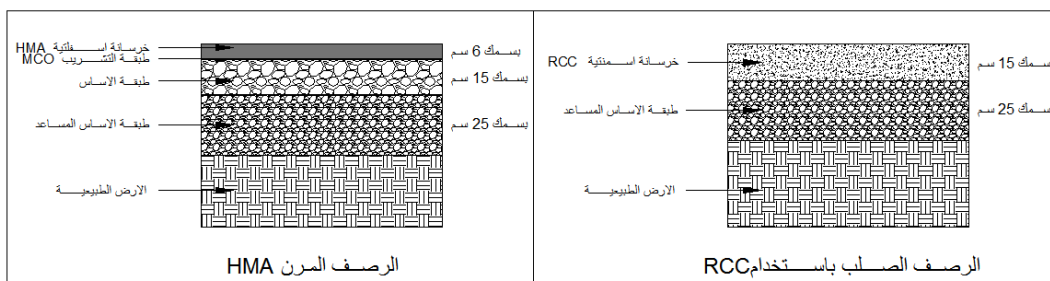
## المحور الثاني: مواد التشييد الملائمة للبيئة الصحراوية

وبالاشارة الى الجدول 8.2 الذي يبين سماكة طبقة رصف RCC و مقاومة الخرسانة المناسبة لها نجد أن سماكة الرصف لخرسانة مقاومتها لا تقل عن 150 مم MPA 17.20 .

### 4- مقارنة تكلفة الرصف باستخدام خرسانة RCC بالخرسانة الاسفلتية

ان استخدام الرصف الصلب لا يحتاج الى طبقات مساعدة و يمكن تطبيقه على الارض الطبيعية و لكن قمنا بتضميني الرصف الصلب RCC على طبقة الاساس المساعد ، وبالمقابل فإن الرصف المرن HMA يتطلب عمل طبقة الاساس المساعد فوق الارض الطبيعية بسمك 25 سم و تليه طبقة الاساس بسمك 15 سم و تليه طبقة التشريب MCO الرابطة بين طبقة الاساس و طبقة الخرسانة الاسفلتية ثم يتم عمل الرصف المرن بسمك 6 سم و المكون من الخرسانة الاسفلتية و الشكل 1.4 يبين الفرق بين الطبقات لكلا من الرصف الصلب و الرصف المرن الطريق قيد الدراسة .

الشكل 1.4 يبين الفرق بين الطبقات لكلا من الرصف الصلب و الرصف المرن



و كما هو مبين في الشكل 1.4 عند استخدام الرصف الصلب يتم توفير طبقة الاساس و طبقة التشريب MCO و سعر المتر المربع حسب أسعار مصلحة الطرق و الجسور لسنة 2017 هو 16 دينار و 5 دينار للمتر المربع على التوالي أي انه سيتم توفير 21 دينار للمتر المربع عند استخدام الرصف الصلب و يتم استبدال الخلاطة الاسفلتية بالخرسانة الاسمنتية RCC التي يستخدم لفرشها نفس معدات فرش الخرسانة الاسفلتية و سعر الخرسانة الاسمنتية بسمك 15 سم هو 45 دينار للمتر المربع و للخرسانة الاسفلتية بسمك 6 سم هو 65 دينار للمتر المربع أي انه سيتم توفير 20 دينار للمتر المربع نتيجة استبدال الخرسانة الاسفلتية HMA بالخرسانة الاسمنتية RCC وبعد مقارنة الرصف الصلب بالرصف المرن نجد انه يتم توفير قيمة اجمالية 41 دينار للمتر المربع بالإضافة الى ان عمق الحفر للوصول الى منسوب التأسيس في الرصف الصلب أقل من عمق التأسيس للرصف المرن مما يقلل من حجم الحفر في الارض الطبيعية بعمق 6 سم عند استخدام الرصف الصلب كما ننوه [ان فرق التكلفة في القيمة الاجمالية للمتر المربع بأنه سيقل عن 41 دينار للمتر و ذلك لمتطلبات الرصف الصلب لعمل فواصل تمدد وهذا البند الغير موجود في حالة الرصف المرن ومن خلالأخذ متوسط تكلفة عمل فواصل التمدد وذلك

## **المحور الثاني: مواد التشييد الملائمة للبيئة الصحراوية**

بقطع الرصف بعمق 31 سم سمك الرصف أي بمقدار 5 سم بعرض الطريق مع ملئ الفواصل بالمواد المرنة الخاصة بها وأن تكلفة الفواصل تتراوح ما بين 12 إلى 20 دينار للمتر المربع وذلك حسب المادة المثلثة المستخدمة وهذه القيمة تقديرية و غير موجودة بلائحة الاسعار [5,3] .

وبمقارنة هذه النتائج بأبحاث سابقة قامت بمقارنة تكلفة إنشاء الطرق بالرصف الصلب مع تكلفتها بالرصف المرن ولكن لم اخذ خرسانة RCC من ضمن انواع الرصف الصلب في المقارنة ، كانت النتائج هي أن تكلفة الرصف الصلب أعلى من تكلفة الرصف المرن ولكن نوهت على أن التكلفة على المدى البعيد عند حساب تكلفة أعمال الصيانة لنظامي الرصف تزداد تكلفة الرصف المرن عن الرصف الصلب وذلك لأسباب التالية :

العمر الافتراضي للرصف الصلب أكبر من العمر الافتراضي للرصف المرن وكذلك فترات الصيانة للرصف المرن أقصر من فترات الصيانة للرصف الصلب مما يؤدي إلى أن تكلفة الرصف المرن تصبح أعلى بنسبة 19% من الرصف الصلب بعد 20 عام . [6]

### **5- الخلاصة:**

استخدام الرصف الصلب بطريقة RCC في رصف الطرق الداخلية ذات كثافة المرور المنخفضة أقل تكلفة من الرصف المرن حسب التصاميم المعدة للطريق المقام عليه الدراسة و العديد من البحوث التي قارنة الرصف الصلب مع الرصف المرن من ناحية التكلفة تذكر في ملخصاتها أن الرصف الصلب يعتبر أقل تكلفة من الرصف المرن على المدى الطويل الا انها لم تأخذ في مقارنتها استخدام RCC من ضمن خيارات الرصف الصلب بل أخذت في اعتبارها الخرسانة الاسمنتية التقليدية و كذلك الخرسانة المسلحة .

### **6- التوصيات:**

ومن خلال هذه الورقة نوصي بدراسة استخدام RCC واضافة ألياف الحديد إليها ودراسة مدى ملائمتها لحركة المرور الكثيفة ومقارنة تكلفتها بالرصف المرن. ونوصي بإضافة بنود الاعمال الخاصة بالرصف الصلب الى لائحة الاسعار الخاصة بالطرق.

**المراجع :**

## **المحور الثاني: مواد التشييد الملائمة للبيئة الصحراوية**

---

Properties, materials and durability of rolled compacted concrete for pavements. Article in Zastita –1

Materijala · January 2015

American Association of State Highway and Transportation Officials Guide for Design of Pavement –2

Structures 1993

ACPA Guide Specification | Roller-Compacted Concrete Pavements | ver. 1.2 September 4, 2014 –3

Pavement Analysis and Design Second Edition University of Kentucky Yang H . Huang –4

–5 أسعار مصلحة الطرق و الجسور بالحكومة الليبية المؤقتة لسنة 2017.

A Comparative Study on Rigid and Flexible Pavement: A Review Milind V. Mohod 1\*, Dr. –6

K.N.Kadam IOSR Journal of Mechanical and Civil Engineering (IOSR-JMCE) e-ISSN: 2278-

1684,p-ISSN: 2320-334X, Volume 13, Issue 3 Ver. VII (May– Jun. 2016), PP 84-88

### تأثير إضافة ألياف البولي بروبيلين فايبر على خواص الخرسانة

إبراهيم سالم الحرير<sup>(1)</sup>، مسعود الطيف المقرحي<sup>(2)</sup>

<sup>(1)</sup> محاضر مساعد بقسم الهندسة المدنية - كلية الهندسة - جامعة درنة [i.alharir@uod.edu.ly](mailto:i.alharir@uod.edu.ly)

<sup>(2)</sup> محاضر بقسم الهندسة المدنية - كلية الهندسة - جامعة درنة [m.altaif@uod.edu.ly](mailto:m.altaif@uod.edu.ly)

#### الملخص:

أهمية هذه الدراسة هو معرفة تأثير ألياف البولي بروبيلين فايبر (Polypropylene fibers) على خواص الخرسانة في حالتها الطيرية والمتصلدة ومقارنتها مع إضافة غبار السيليكا كبديل جزئي للأسممنت مع إضافة الملدنت HRWR، ولتحقيق ذلك تم إجراء أربع خلطات وكانت نسبة ألياف البولي بروبيلين فايبر من حجم الخرسانة  $0.9 \text{ Kg/m}^3$  وتم اختبارها عند الأعمار 3-7-28-90 يوم. تم دراسة الخرسانة في حالتها المتصلدة عن طريق اختبار مقاومة الضغط X-Ray Diffraction (Shrinkage) وتحليل الأشعة (Compressive Strength Test)، كما تم اجراء اختبار الهبوط (Slump Test) وكثافة الخرسانة الطيرية لمعرفة الخرسانة في حالتها الطيرية. تشير نتائج هذه الدراسة إلى أن إضافة ألياف البولي بروبيلين فايبر مع أو بدون إضافة غبار السيليكا تقلل كل من قابلية التشغيل وكثافة الخرسانة الطيرية وللحفاظ على قابلية التشغيل للخرسانة يتطلب إضافة الملدنت HRWR ، إضافة غبار السيليكا كبديل جزئي للأسممنت أدى إلى زيادة مقاومة الضغط للخرسانة نتيجة لتفاعل هيدروكسيد الكالسيوم CH مع غبار السيليكا (قل CH من 2.45% إلى 0.226%) ومع إضافة ألياف البولي بروبيلين فايبر في الحالتين مع أو بدون إضافة غبار السيليكا حدوث زيادة طفيفة في مقاومة الضغط في جميع أعمار الخرسانة، إنخفاض طول الإنكمash في خلطات بدون إضافة غبار السيليكا بنسبة 11.37%-12.12%-6.75% عند الأعمار 4-7-28-90 يوم مقارنتها بالخلطة المرجعية أما مع إضافة غبار السيليكا إنخفاض طول الإنكمash بنسبة 8.80%-15.64%-13.92% عند نفس الأعمار مقارنتها بالخلطة المضاف إليها غبار السيليكا. يفضل استخدام ألياف البولي بروبيلين فايبر في الخرسانة مع أو بدون إضافة غبار السيليكا.

#### الكلمات الدالة:

ألياف البولي بروبيلين فايبر، غبار السيليكا، مقاومة الضغط، الإنكمash.

### المقدمة.

ألياف البولي بروبيلين Polypropylene fibers عبارة عن مادة بوليميرية من مضادات الخرسانة وتضاف إلى الخلطات الخرسانية لتقليل ظاهرة الشروخ والانكمash اللدن وتزيد من قدرة الخرسانة على مقاومة التجمد والذوبان، ويبين الشكل 1 ألياف البولي بروبيلين فايبر المستخدمة في الدراسة. حيث أجريت العديد من الدراسات والأبحاث حول إضافة ألياف البولي بروبيلين فايبر إلى الخرسانة وكانت أفضل نسبة لإضافتها في الخرسانة بنسبة (0.1%) من حجم الخرسانة (والتي تعادل  $0.90 \text{ كجم}/\text{م}^3$ ) يعمل على تقليل مساميتها ونسبة امتصاصها وكذلك نفاذيتها إلى أقل ما يمكن بالمقارنة مع بقية العينات، وإن زيادة استخدام هذه الألياف بنسب إضافة أعلى يجعل من الخرسانة أكثر مسامية وامتصاص للماء [1]، الألياف المصنعة تقل فرص حدوث الانكمash اللدن وتشققات الهطول اللدن من خلال توفير نظام دعم داخلي للخرسانة حيث تساعد الخرسانة خلال الفترة التي تكون بها مائلة للتشقق وهذا يحدث عندما تبدأ الخرسانة بالتصلب والانكمash نتيجة التغير الحجمي الناتج من فقدان الماء. في هذه المرحلة الألياف المصنعة توقف التشققات اللدنية قبل أن تبدأ [2].



الشكل 1 : ألياف البولي بروبيلين فايبر المستخدمة في الدراسة.

### منهجية البحث.

يهدف هذا البحث إلى دراسة إضافة ألياف البولي بروبيلين فايبر إلى الخرسانة بنسبة  $0.9 \text{ Kg}/\text{m}^3$  من حجم الخرسانة [3] وكذلك إضافة غبار السيليكا بنسبة استبدال 10% من وزن الأسمنت ومعرفة مدى تأثيرها على خواص الخرسانة في حالتها الطيرية والمترسبة.

## المحور الثاني: مواد التشييد الملائمة للبيئة الصحراوية

المواد المستعملة والبرنامج العملي.

الأسمنت

تم استخدام الأسمنت البورتلاندي الاعتيادي المورد من جمهورية مصر العربية.

الملنات

تم في هذه الدراسة استخدام الملنات الفائقة (مخفضات الماء عالية المدى من Range Water Reducer High) [4] صنع شركة Sika نوع Plastocrete-N [3] وهي إضافة سائلة تعمل على زيادة قابلية التشغيل لخرسانة ومتباقة للمواصفة الأمريكية ASTM C494 Tape A [5].

### Silica Fume

تم استخدام Silica Fume بنسبة استبدال 10% من وزن الأسمنت، من انتاج شركة Sika ويوضح الجدول التالي الخواص الفيزيائية والتركيب الكيميائي لها وتم استخدامها طبق للمواصفة الأمريكية (ACI 234 R, 1996) [6].

الجدول 1 : الخواص الفيزيائية والتركيب الكيميائي لي Silica Fume (ACI 234 R, 1996)

Chemical Composition (%)	Property	Value
SiO <sub>2</sub>	90–96	Particle size (typical) <1μm
Fe <sub>2</sub> O <sub>3</sub>	0.07–1.9	Bulk density 130–430 kg/m <sup>3</sup>
Al <sub>2</sub> O <sub>3</sub>	0.5–0.8	(AS-Produced) (Slurry) 1320–1440kg/m <sup>3</sup>
Na <sub>2</sub> O	0.3–0.42	(Densified) 480–720 kg/m <sup>3</sup>
K <sub>2</sub> O	0.5–1.3	Specific gravity 2.15
CaO	0.5	Surface area 13000–30000 m <sup>2</sup> /kg
MgO	0.04–0.9	

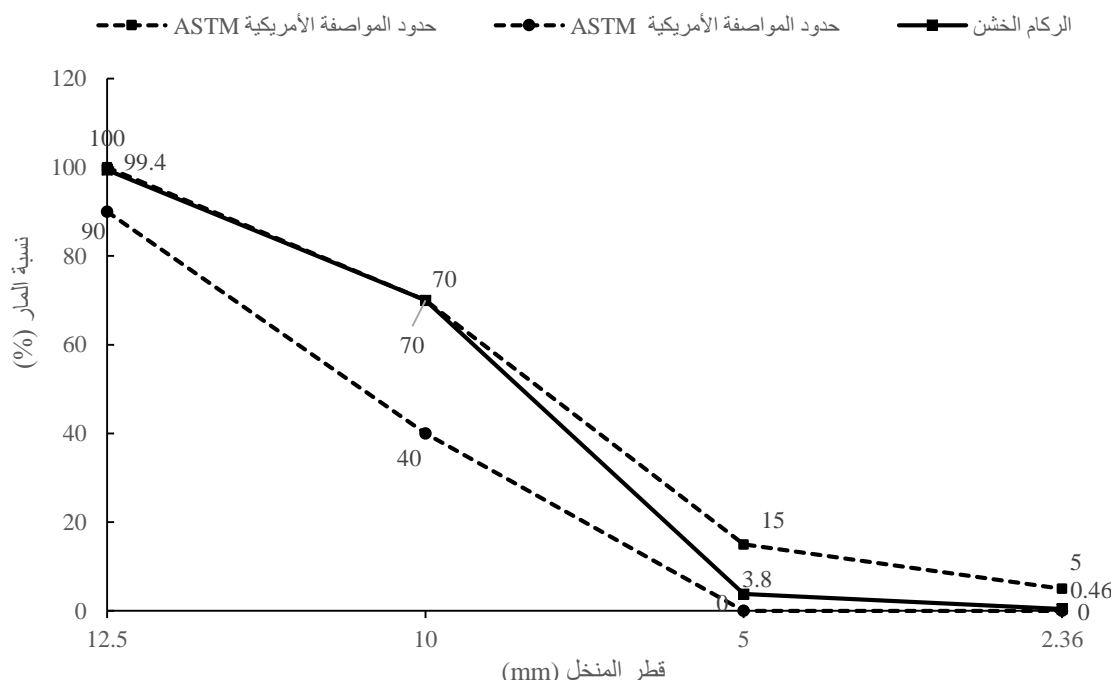
الركام الخشن والناعم

## المحور الثاني: مواد التشييد الملائمة للبيئة الصحراوية

تم استخدام الركام بنوعيه الخشن والناعم وبين الجدول 2 الخواص الفيزيائية للركام الخشن والناعم المستخدم في هذه الدراسة حيث كان المقاس الاعتباري الأكبر 12.5 mm، كما تم إجراء التحليل المنخلي للركام الخشن الموضح بالشكل 2 والركام الناعم الموضح بالشكل 3.

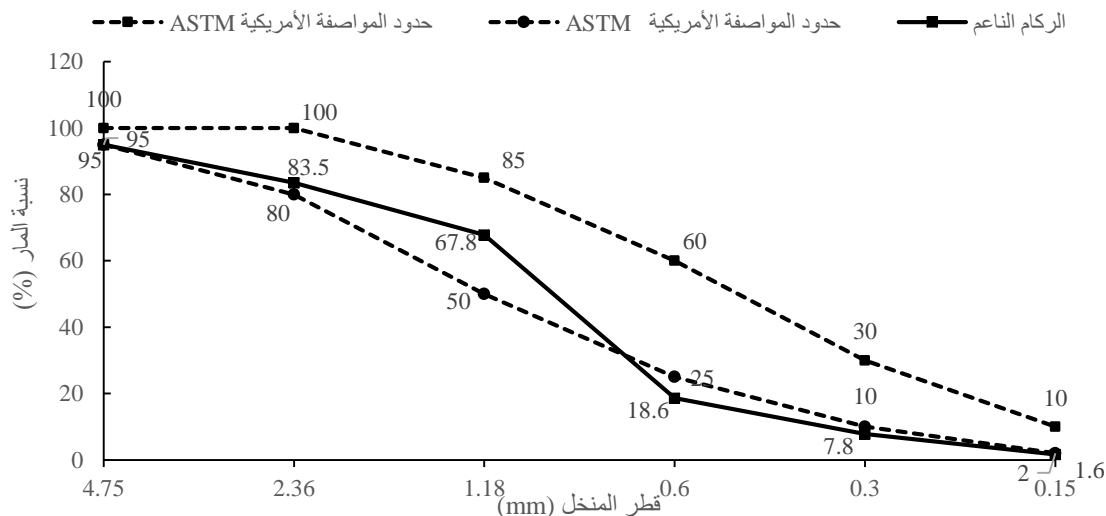
الجدول 2 : يوضح الخواص الفيزيائية للركام الخشن والناعم.

النوعة	(g/cm <sup>3</sup> )	الوزن الحجمي (%)	الامتصاص (%)	الوزن النوعي	الاختبار
-	1.590		1.80	2.62	الركام الخشن
3.25	1.720		0.42	2.61	الركام الناعم



الشكل 2 : منحني التحليل المنخلي للركام الخشن.

## المحور الثاني: مواد التشييد الملائمة للبيئة الصحراوية



الشكل 3 : منحنى التحليل المنخلي للركام الناعم.

### الخلطات الخرسانية

تم تصميم الخلطات بالطريقة الأمريكية ACI 211.1 [7] وكانت نسبة الماء إلى الأسمنت ( $W/C=0.30$ ) أي أن محتوى الماء كان ثابت في جميع الخلطات الخرسانية. تم تفزيذ أربع خلطات اثنان منها تحتوي على ألياف البولي بروبيلين فايبر مع أو بدون إضافة غبار السيليكا بنسبة  $0.9 \text{ kg/m}^3$  من حجم الخرسانة و خلطة مرجعية بدون إضافة ألياف البولي بروبيلين فايبر وبدون إضافة غبار السيليكا وخلطة واحدة بدون إضافة ألياف البولي بروبيلين فايبر ومع إضافة غبار السيليكا والجدول التالي يبين مكونات لكل خلطة خرسانية.

الجدول 3 : يوضح مكونات الخلطات الخرسانية .  $\text{kg/m}^3$

P-P $\text{kg/m}^3$	مكونات لكل خلطة					الخلطات الخرسانية
	الركام الناعم $\text{kg/m}^3$	الركام الخشن $\text{kg/m}^3$	S-F $\text{kg/m}^3$	HRWR $\text{L/m}^3$	الأسمنت $\text{kg/m}^3$	
-	700	1044	-	10.42	500	الخلطة المرجعية بدون إضافة غبار السيليكا
-	700	1023	50	11.25	450	الخلطة المرجعية مع إضافة غبار السيليكا
0.9	700	1040	-	10.83	500	الخلطة المرجعية بدون إضافة غبار السيليكا

## المحور الثاني: مواد التشييد الملائمة للبيئة الصحراوية

0.9	700	1019	50	11.66	450	و مع إضافة ألياف البولي بروبلين فايبر الخلطة المرجعية مع إضافة غبار السيليكا و مع إضافة ألياف البولي بروبلين فايبر
-----	-----	------	----	-------	-----	---

النتائج والمناقشة.

خواص الخرسانة الطيرية:

يبين الجدول التالي خواص الخرسانة الطيرية للخلطات الخرسانية حيث تم اجراء اختبار الهبوط طبقاً للمواصفة الامريكية ASTM C143 [8] لتحديد قابلية التشغيل للخرسانة وكذلك تم تحديد كثافة الخرسانة الطيرية.

الجدول 4 : خواص الخرسانة الطيرية للخلطات الخرسانية.

كثافة الخرسانة الطيرية $\text{Kg/m}^3$	الهبوط mm	الملنن $\text{HRWR (L/m}^3)$	الخلطات الخرسانية
2429	230	10.42	الخلطة المرجعية بدون إضافة غبار السيليكا
2425	226	11.25	ال الخلطة المرجعية مع إضافة غبار السيليكا
2413	212	10.83	الخلطة المرجعية بدون إضافة غبار السيليكا و مع إضافة ألياف البولي بروبلين فايبر
2410	212	11.66	الخلطة المرجعية مع إضافة غبار السيليكا و مع إضافة ألياف البولي بروبلين فايبر

من النتائج المبينة بالجدول 4، للحصول على نفس الهبوط عند نفس المحتوى المائي يتطلب الخرسانة المصنوعة من ألياف البولي بروبلين فايبر بدون إضافة غبار السيليكا زيادة الملننات HRWR من  $10.83 \text{ L/m}^3$  الى  $10.42 \text{ L/m}^3$  أي أن استخدام ألياف البولي بروبلين فايبر تقلل من قابلية التشغيل للخرسانة. وكذلك أدى الى تقليل كثافة الخرسانة الطيرية من  $2413 \text{ Kg/m}^3$  الى  $2429 \text{ Kg/m}^3$ .

## المحور الثاني: مواد التشييد الملائمة للبيئة الصحراوية

أما بالنسبة للخلطات المضافة لها غبار السيليكا يتطلب زيادة الملنات HRWR من  $L/m^3$  11.25 إلى  $L/m^3$  11.66 ، أي أن استخدام ألياف البولي بروبلين فايبر تقلل من قابلية التشغيل للخرسانة. وكذلك أدى إلى تقليل كثافة الخرسانة الطيرية من  $Kg/m^3$  2425 إلى  $Kg/m^3$  2410.

أما عن تأثير إضافة غبار السيليكا بنسبة 10% من وزن الأسممنت يقلل من قابلية التشغيل للخرسانة والحصول على نفس الهبوط مقارنة بال الخلطة المرجعية يتطلب زيادة الملن HRWR من  $L/m^3$  10.42 إلى  $L/m^3$  11.25 وذلك بسبب زيادة المساحة السطحية لغبار السيليكا. غبار السيليكا وزنه النوعي 2.15 أقل من الوزن النوعي للأسممنت هو 3.15. قلل من كثافة الخرسانة الطيرية.

### مقاومة الإنضغاط Compressive Strength Test

تم إجراء مقاومة الإنضغاط وفقاً للمواصفة الأمريكية ASTM C39 وتم اختبارها عند الأعمار 3، 7، 28، 90 يوم من وقت المعالجة تم إختبار 3 عينات وأخذ متوسط النتائج لكل خلطة كما هو موضح بالجدول التالي:

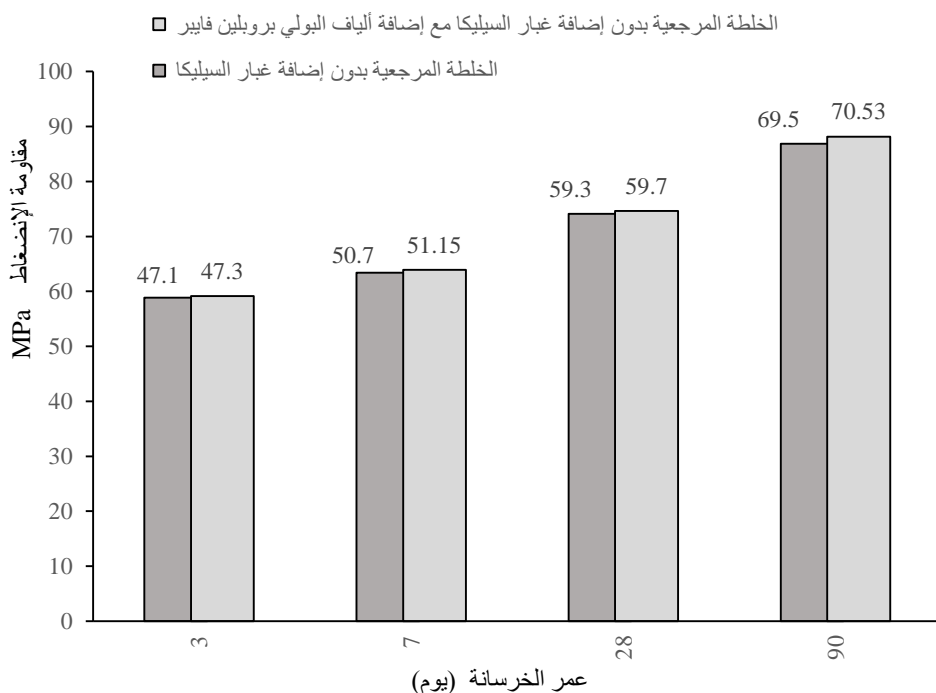
الجدول 5 : مقاومة الإنضغاط لمختلف أعمار الخرسانة.

الخلطات	الخلطة المرجعية مع إضافة غبار السيليكا ومع إضافة ألياف البولي بروبلين فايبر	الخلطة المرجعية بدون إضافة غبار السيليكا	الخلطة المرجعية بدون إضافة ألياف البولي بروبلين فايبر	الخلطة المرجعية مع إضافة غبار السيليكا
العمر (يوم)	MPa	MPa	MPa	MPa
3	47.10	42.80	47.30	44.80
7	50.70	58.86	51.15	60.80
28	59.30	78	59.70	78.40
90	69.50	84	70.53	84

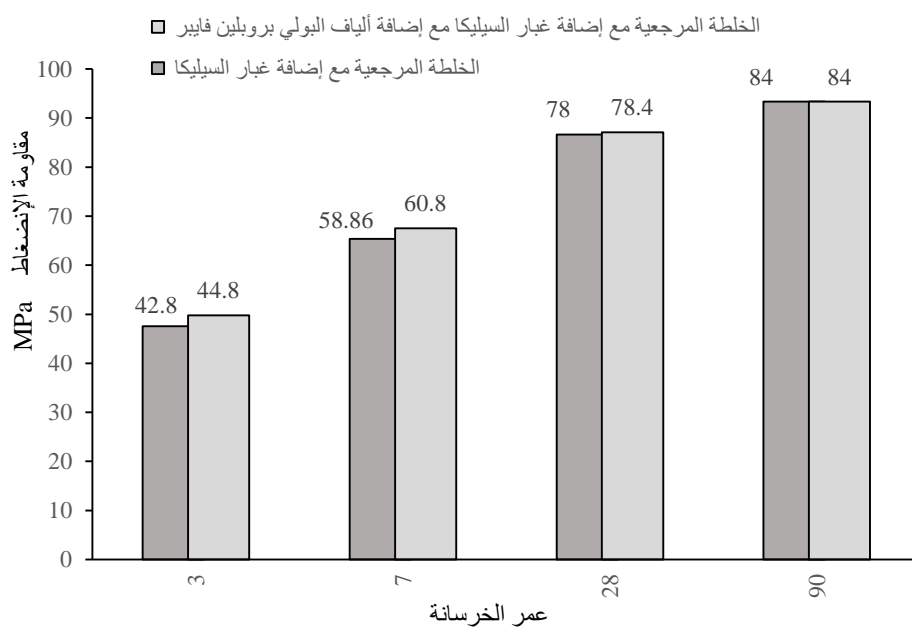
يبين الشكل 4 تأثير ألياف البولي بروبلين فايبر على مقاومة الإنضغاط للخرسانة بدون إضافة غبار السيليكا نلاحظ أن إضافة  $0.9 Kg/m^3$  من ألياف البولي بروبلين من حجم الخرسانة تحسن في مقاومة الإنضغاط بشكل طفيف في الأعمار المبكرة والمتأخر للخرسانة مقارنتها بالخلطة المرجعية. بينما يوضح الشكل 5 تأثير ألياف البولي بروبلين فايبر على مقاومة الإنضغاط للخرسانة مع إضافة غبار السيليكا نلاحظ أن إضافة  $0.9 Kg/m^3$  من ألياف البولي بروبلين

## المحور الثاني: مواد التشييد الملائمة للبيئة الصحراوية

من حجم الخرسانة تحسن في مقاومة الإنضغاط في الأعمر المبكرة بينما لم تأثر مقاومة الإنضغاط في الأعمر المتأخر مقارنة بالخرسانة التي تم إضافة غبار السيليكا لها.



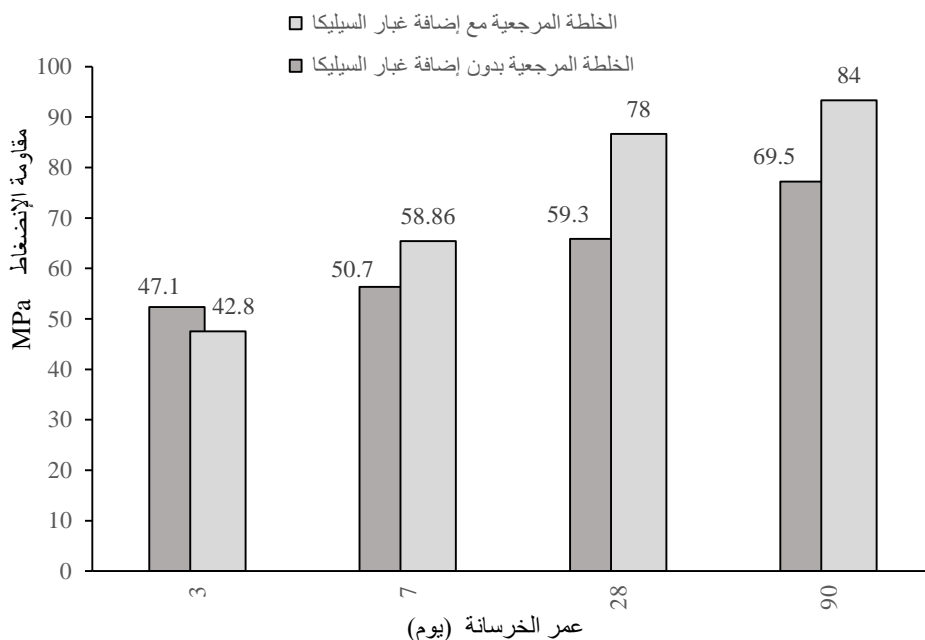
الشكل 4 : تأثير ألياف البولي بروبيلين فايبر على مقاومة الإنضغاط للخرسانة بدون إضافة غبار السيليكا.



الشكل 5 : تأثير ألياف البولي بروبيلين فايبر على مقاومة الإنضغاط للخرسانة مع إضافة غبار السيليكا.

## المحور الثاني: مواد التشييد الملائمة للبيئة الصحراوية

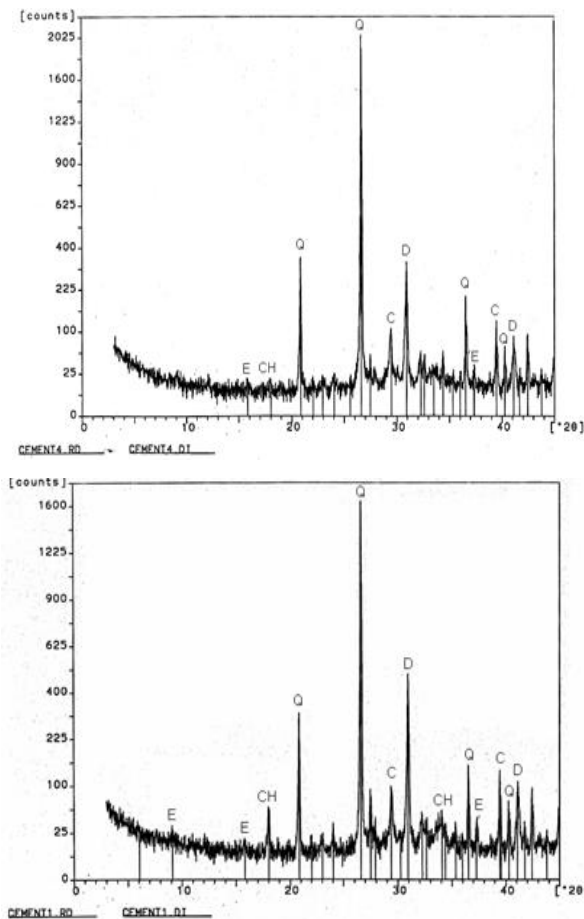
من نتائج الجدول 5 والشكل 6 نلاحظ أن إضافة غبار السيليكا بنسبة استبدال 10% من وزن الأسمنت يؤدي إلى إنخفاض مقاومة الإنضغاط بنسبة 9.13% بعمر 3 أيام بينما أدى إلى زيادة مقاومة الإنضغاط في الأعمار 7، 28، 90 يوم بنسب 20.86%，31.53%，16.1% على التوالي مقارنة بالخلطة المرجعية، أي أن إضافة غبار السيليكا يزيد من مقاومة الإنضغاط للخرسانة [9].



الشكل 6 : يبين تأثير إضافة غبار السيليكا بنسبة استبدال 10% من وزن الأسمنت.

تأثير استبدال غبار السيليكا كبديل جزئي للأسمنت على محتوى هيدروكسيد الكالسيوم في الخرسانة باستخدام تحليل

X-Ray diffraction analysis (XRD)



الشكل 7: تحليل (XRD)

من الشكل 7 نلاحظ أن إضافة 10% من غبار السيلييكا كبديل جزئي للأسمنت يقلل من هيدروكسيد الكالسيوم (CH) من 0.226% إلى 0.45% هذا بسبب تفاعل بزواني بين الخرسانة وغبار السيليكا وبذلك يؤدي إلى زيادة مقاومة الإنضغاط للخرسانة [9].

#### الإنكماش Shrinkage

يبين الجدول 6 نتائج قياس طول الإنكماش للعينات الخرسانية والتي تم اجرائها بالمواصفة الامريكية ASTM C157 [10] حيث تم قياس الطول عند الأعمار 4, 7, 14, 28, 56, 90 يوم من عمر الخرسانة. تم اختبار عينتين ومن ثم أخذ متوسط النتائج.

## المحور الثاني: مواد التشييد الملائمة للبيئة الصحراوية

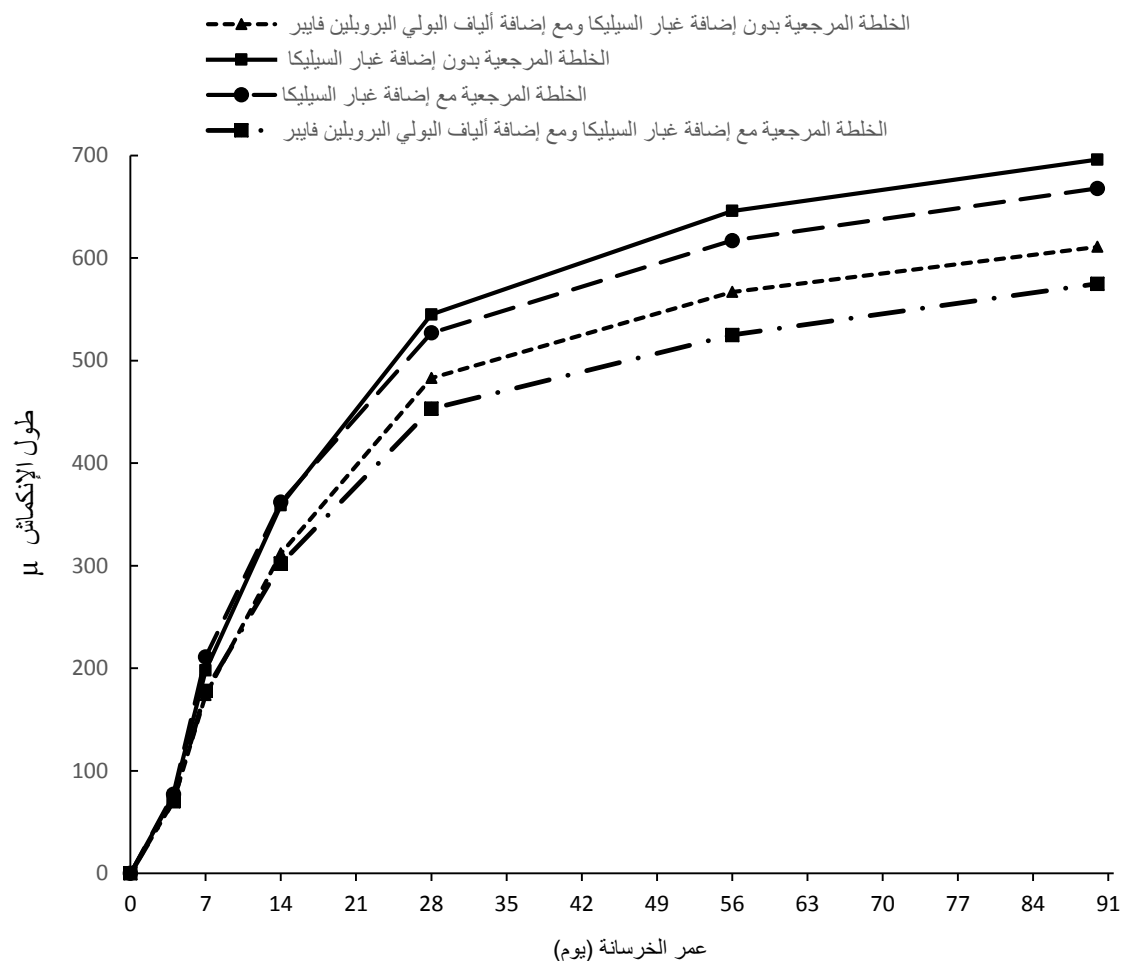
الجدول 6 : قياس الإنكمash في جميع الأعماres الخرسانية.

الخلطات الخرسانية	الخلطة المرجعية بدون إضافة غبار السيليكا	الخلطة المرجعية مع إضافة غبار السيليكا وبدون إضافة غبار السيليكا	الخلطة المرجعية مع إضافة ألياف البولي بروبلين فايبر	الخلطة المرجعية مع إضافة ألياف البولي بروبلين فايبر
العمر (يوم)	م<sup>3</sup>	م<sup>3</sup>	م<sup>3</sup>	م<sup>3</sup>
4	75.50	77.20	70.40	70.40
7	198	211	174	178
14	359	362	312	302
28	545	527	483	453
56	646	617	567	525
90	696	668	611	575

من نتائج الجدول 6 والشكل 8 لوحظ أن إضافة  $0.9 \text{ Kg/m}^3$  من ألياف البولي بروبلين من حجم الخرسانة وبدون إضافة غبار السيليكا أدي إلى إنخفاض الإنكمash بنسبة 6.75% عند عمر 4 أيام. بينما أدي إضافة غبار السيليكا إلى إنخفاض الإنكمash عند الأعماres 90، 28، 7 يوماً بنسبة 12.21%， 11.37%， 12.12% على التوالي مقارنتها الخلطة المرجعية بدون إضافة غبار السيليكا. أما إضافة ألياف البولي بروبلين للخرسانة مع إضافة غبار السيليكا أدي إلى إنخفاض الإنكمash بنسبة 8.80% عند عمر 4 أيام. بينما أدي إضافة غبار السيليكا إلى إنخفاض الإنكمash عند الأعماres 90، 28، 7 يوماً بنسبة 15.64%， 14.04%， 13.92% على التوالي مقارنتها الخلطة المرجعية مع إضافة غبار السيليكا.

أما فيما يتعلق بي تأثير إضافة غبار السيليكا كبديل جزئي للأسمنت مقارنة مع الخلطة المرجعية أدي إلى إنخفاض طفيف للإنكمash في الأعماres المتأخرة للخرسانة أي أن إضافة غبار السيليكا يؤدي إلى تقليل الإنكمash للخرسانة [11].

## المحور الثاني: مواد التشييد الملائمة للبيئة الصحراوية



الشكل 8 : يبين تأثير ألياف البولي بروبيلين فايبر على طول الإنكماش للعينات الخرسانية.

الإستنتاجات.

من النتائج المعملية المتحصل عليها من إضافة ألياف البولي بروبيلين فايبر (Polypropylene fibers) إلى الخرسانة

بنسبة  $0.9 \text{ Kg/m}^3$  من حجم الخرسانة مع أو بدون إضافة غبار السيليكا تبين ما يلي:

1. تقلل إضافة ألياف البولي بروبيلين فايبر من قابلية التشغيل للخرسانة مع أو بدون إضافة غبار السيليكا.
2. إضافة ألياف البولي بروبيلين فايبر في الخرسانة مع أو بدون إضافة غبار السيليكا هناك زيادة طفيفة في مقاومة الإنضغاط في مختلف أعمار الخرسانة.

## **المحور الثاني: مواد التشييد الملائمة للبيئة الصحراوية**

3. إضافة ألياف البولي بروبيلين فايبر إلى الخرسانة بدون إضافة غبار السيليكا يقلل من انكمash الخرسانة في أعمار 4 و 7 و 28 و 90 يوماً بنسب 12.12% و 11.37% و 12.75% على التوالي، مقارنة بالخلطة المرجعية.
4. تقلل إضافة ألياف البولي بروبيلين فايبر مع إضافة غبار السيليكا من انكمash الخرسانة في أعمار 4 و 7 و 28 و 90 يوماً بنسب 15.64% و 14.04% و 13.92% على التوالي، مقارنة بالخلطة المضافة لها غبار السيليكا.
5. يفضل استخدام ألياف البولي بروبيلين فايبر في الخرسانة مع أو بدون إضافة غبار السيليكا.

### **النوصيات.**

نوصي بتوسيعة دراسة تأثير نسب أخرى من ألياف البولي بروبيلين فايبر على خواص الخرسانة الطيرية و المتصلة وكذلك بنسب مقاوتة من غبار السيليكا ومعرفة مدى تأثيرها على متانة الخرسانة وخاصة عند تعرض الخرسانة لبيئة كلورايد أو كبريتات.

### **المراجع.**

- [1] X. Y. Li, J. Zhao, W. Z. Wang, and A. Jiang, "Effects of Polypropylene Fiber on Plastic Shrinkage Crack and Mechanical Properties of Concrete," in Key Engineering Materials, 2006, vol. 324, pp. 487–490: Trans Tech Publ.
- [2] D. H. Nguyen, V. T. Dao, L .O'Moore, and P. Dux, "Effects of micro-fibres on early-age properties of concrete," 2015.
- [3] "Sika Egypt, 2006, Construction Products Catalog,11th Edition; El Abour; Egypt".
- [4] A. J. E. A. W. L. L. Neville, "Properties of concrete, Harlow," 1995.
- [5] "ASTM C494 – Standard Specification for Chemical Admixtures for Concrete".
- [6] J. M. Aldred et al., "Guide for the use of silica fume in concrete," vol. 234, 2006.

- [7] "ACI 211.1-91 "Standard practice for selecting proportions for normal, heavyweight and mass concrete," American Concrete Institute, Famington Hills, Mich, USA.," International, West Conshohocken.
- [8] "ASTM C143-15 – Standard Test Method for Slump of Hydraulic-Cement Concrete," International, West Conshohocken.
- [9] X. Cong, S. Gong, D. Darwin, and S. L. McCabe, "Role of silica fume in compressive strength of cement paste, mortar, and concrete," University of Kansas Center for Research, Inc.1990.
- [10] "ASTM C 157 – Standard Test Method for Length Change of Hardened Hydraulic–Cement Mortar and Concrete1".
- [11] A. Alaskar, C. Hooton, and B. Materials, "Effect of binder fineness and composition on length change of high–performance concrete," vol. 237, p. 117537, 2020.

## **دراسة مرجعية لاستخدام بعض المواد كبديل جزئي للركام الناعم في ليبيا**

د. أبو القاسم يحيى أبوصبيع د. محمد العربي المحروق

قسم الهندسة المدنية، كلية الهندسة، جامعة صبراتة، ليبيا

E-mail: abulgasem.abusbuea@sabu.edu.ly

### **١- الملخص**

نظرأً للطلب المتزايد على مواد الخرسانة لما تشهده ليبيا من نهضة عمرانية وبالتالي تزايد الطلب على الخرسانة ومكوناتها وهذا يؤدي الي استنزاف الموارد الطبيعية لإنتاج الخرسانة وصناعة البناء والتشييد. ومن هنا تأتي ضرورة وضع حلول للتوازن بين الطلب المتزايد ومحاولة الحفاظ على الموارد الطبيعية والبيئية. ونظرأً لزيادة الوعي وظهور اهتمام عام بضرورة البحث عن حلول للتقليل من الآثار السلبية عن تراكم المخلفات وإمكانية تدوير هذه المواد (الرمل الصناعي، الإطارات، الأجر ، والبلاستيك) وذلك باستبدال الركام الناعم جزئياً لإنتاج خرسانة تدخل في صناعة البناء والتشييد بشكل عام وتطويرها وبالتالي تحقيق الإستدامة للأجيال القادمة. تهدف هذه الدراسة الشاملة الى إمكانية استخدام بعض المخلفات كإطارات السيارات وطوب الاجر وبقايا الزجاج والركام الصناعي والبلاستيك كبديل جزئي للركام الناعم في إنتاج خرسانة جديدة للإنشاء أو لصناعة الطوب الاسمنتي، حيث تم جمع البيانات للتجارب المعملية المتحصل عليها من الدراسات السابقة.

خلصت نتائج هذه الدراسة أنه عند استخدام مخلفات البلاستيك كبديل للركام الناعم لصناعة الطوب الاسمنتي ووصلت المقاومة للطوب بزيادة 100% عند نسبة استبدال 3% وهي نسبة مشجعة على استخدام هذا النوع من المخلفات. من ناحية أخرى، أظهرت نتائج مخلفات الاجر بإضافة بعض الملدّنات انخفاضاً أقل في المقاومة بنسبة 13% من المرجعية بينما في الرمل الصناعي الناتج من طحن الركام الخشن فقد كانت المقاومة أكثر بزيادة 11% من العينات المرجعية عند استبدال نسبة 100%. بالإضافة إلى ذلك، فإن استخدام مادة الكاولينا كبديل للركام الناعم سجلت المقاومة 100% بنسبة استبدال 25% في حين أن، استخدام الإطارات كبديل للركام الناعم وصلت المقاومة أقل من المرجعية بنسبة 17%-40% لكل النسب التي تم اضافتها. ونتيجة لذلك، فقد أظهرت الدراسة نتائج مهمة يمكن الاعتماد عليها في استخدام المواد البديلة للركام الناعم في اعمال صناعة الطوب والبلاط وخرسانة الأرصفة.

## **المحور الثاني: مواد التشييد الملائمة للبيئة الصحراوية**

الكلمات الدالة: الركام الناعم، مخلفات البلاستيك، مخلفات الاجر، مخلفات الإطارات، صناعة الطوب الاسمنتي.

### **2- المقدمة**

شهدت ليبيا خلال العقود الأخيرة طفرة ونهضة حضارية وصناعية شملت الكثير من المجالات والقطاعات التنموية في المباني السكنية والإنشاءات الخرسانية والتي بدورها تحتاج إلى انتاج خرسانة مكونة من ركام متدرج ناعم وخشن واسمنت وماء حيث تكون متماسكة مع بعضها البعض، ومع أن الإسمنت متفاعلاً مع الماء مكوناً عجينة إسمنتية وهي المادة الرابطة للخرسانة والمسؤولة بشكل كاف عن المقاومة إلا أنه يصعب عمل وتصنيع الخرسانة من الإسمنت والماء فقط لسببين أساسين هما التكلفة العالية والتغير الحجمي العالي لعجينة الإسمنت (الانكماش والزحف) ولذلك يمكن التغلب على هذه المشاكل باستخدام الركام الناعم والخشن كعنصر أساسي متندداً مع عجينة الإسمنت ومكوناً الخرسانة.

يتكون الركام الناعم والخشن نتيجة لترسب المعادن وتشكلها خلال العمليات الجيولوجية حيث تشظي جسيمات الركام من الصخور أما طبيعياً نتيجة لعمليات التجوية والبرى والتآكل أو صناعياً بواسطة تهشيم الصخور بالأجهزة والآلات وتنشأه العديد من المركبات في خواصها بينما تختلف أخرى باختلاف مصادرها ومن العناصر الضارة التي يحتويها الركام الفحم والطين والطمي والحجر الكلسي أو الطباشيري ومركبات الحديد والغبار والكلوريدات والكبريتات والميكا ومواد عضوية وشوائب عضوية وهذه المواد العضوية مع الطين والرمل قد يكون لتلك المواد العضوية الذاتية في الماء تأثيرات ضارة على الخرسانة حيث تؤثر على تميُّز الإسمنت ومن الممكن أن يؤدي وجود نسبة 0.1% من وزن الرمل من هذه المركبات العضوية إلى تأخير تصلب الخرسانة [1]. وبالتالي فإن مفتاح الحصول على خرسانة قوية ومتينة يقع في نسب الخلط وطريقة الخلط للخلط المشكّل للخرسانة والركام الناعم والخشن والإسمنت والماء والذي يعتبر فيه الركام المكون الأساسي للخرسانة ما نسبته (60-75%) من حجم الخرسانة وعليه أنه من الضروري الاحتراس عند اختيار نوعية وحجم الركام المستخدم في خليط الخرسانة الأخذ في الاعتبار مقاومة العوامل الجوية والذي تعتبر من أهم الخواص المطلوبة لمعظم أنواع الركام الشائع في ليبيا بالدرجة الكافية التي تضمن استعمالها في أعمال الخرسانة.

### **3- تصميم الخلطة الخرسانية**

## **المحور الثاني: مواد التشييد الملائمة للبيئة الصحراوية**

تصميم الخلطات الخرسانية يعني تحديد القيم النسبية لمكوناتها بما يتفق مع المتطلبات المرغوبة لعمل معين ويكون ذلك باستخدام نسب ثابتة من الخبرة وقد يكون بطرق حسابية مبنية على أساس فني وبالنسبة الوضعية والتي تتضمن خواص المواد المستخدمة والخواص المطلوبة في الخرسانة المتصلة (مثل مدى المقاومة للأحمال أو المقاومة للبرى) والاشتراطات التي تطلبها خطوات صناعة الخرسانة. مع وجود عدة طرق لتصميم الخلطات الخرسانية منها الطريقة الإنجليزية والطريقة الأمريكية وذلك مع مراعاة التكاليف الاقتصادية حسب نوع العمل الإنسائي المطلوب والطريقة الحسابية تهدف إلى استخدام المواد الموجودة لخرسانة ذات خواص مطلوبة في الحالتين الطازجة والمتعلقة وذلك بأقل التكاليف ويمكن اعتبار أن مقاومة الخرسانة للضغط تبين مدى جودة الخرسانة الطازجة، حيث أن تحديد نسب الخلطة الخرسانية يعتبر من أهم العوامل التي تؤثر على جودة الخرسانة وعلى اقتصاديّات المشروع. فمن الممكن الحصول على خرسانات متباينة في جودتها وثمنها بالرغم أن جميعها تتكون من نفس المواد، حيث يعتمد الاقتصاد النسي للخلطات الخرسانية على أثمان مكوناتها.

### **4- تقييم نتائج البحث لإحلال المواد المختلفة كبديل جزئي للركام في ليبيا**

#### **4-1 استبدال تكسير مخلفات الخرسانة بدل الركام التاعم في صناعة الخرسانة**

لتقليل من استنزاف الموارد الطبيعية لمصادر الركام يتم إعادة استخدام المخلفات الخرسانية كما بالشكل رقم (1) بدلاً من رميها في المكبّات، حيث يتم استخدام المخلفات الخرسانية وتكسيرها ومن ثم نخلها على المنخل واستخدامها بنسب .%10 ، %20 ، %30 ، %40 ، %50 وكانت النتائج كالتالي كما بالجدول رقم (1) [2].



الشكل رقم (1): عينات من المخلفات الخرسانية [2].

جدول رقم (1): نتائج المقاومة والشد والهيابوت والامتصاص للخرسانة [2].

## المحور الثاني: مواد التشييد الملائمة للبيئة الصحراوية

نسبة استبدال المخلفات بالركام الناعم						الاختبار		
%50	%40	%30	%20	%10	%0			
20	22	20	18	23	25	7 أيام	الضغط (MPa)	
25	26	27	30	33	35	28 يوم		
75	78	80	82	85	90	الهبوط (مم)		
2.7	2.8	2.8	2.8	3.1	3	الشد (MPa)		
5.4	5.2	4.7	4.5	4.3	4	الامتصاص		

### 4-2 استبدال تكسير الركام الخشن بدل الركام الناعم في صناعة الخرسانة

تم استخدام الرمل الناتج من تكسير ركام خشن باستخدام جهاز لوس أنجلوس في عملية الطحن تم الغربلة يدوياً [3]، كما هو موضح بالشكل رقم (2). حيث كان الركام الناعم الناتج وفق المواصفة ونسبة الاستبدال 25%， 50%， 100% وكانت النتائج كما بالجدول رقم (3) [3].



الشكل رقم (2): عملية الطحن تم الغربلة يدوياً [3].

جدول رقم (2): نتائج الاختبارات المقاومة والشد والهبوط [3].

نسبة استبدال الركام الناعم بالركام الناعم الصناعي				الاختبار		
%100	%50	%25	%0			
34.1	30.8	30.6	27.2	7 أيام	الضغط (MPa)	
40.1	38.5	37.9	36	28 يوم		
25	45	50	55	الهبوط (مم)		
3.2	3.1	3	2.8	الشد (MPa)		

4-3 استبدال تكسير مخلفات الاجر بدل الركام ناعم لصناعة الخرسانة تساهم عملية استبدال ركام مخلفات الاجر كنسب احلال من الركام الطبيعي على المحافظة على البيئة تم استخدام كسر الاجر وطحنه واستخدامه كبديل للركام الناعم بنسب 10%, 20%, 30% وكانت نتائج الاختبارات لمقاومة الشد والضغط كما هو موضح بالجدول رقم (3) [4].

جدول رقم (3): نتائج الاختبارات المقاومة والشد والهبوط [4].

	نسبة الخلط				الاختبار	
	%30	%20	%10	%0	28 يوم	الضغط (MPa)
W/C=0.4	49.55	47.29	45.5	54.02	56 يوم	(cm) الهبوط
	61.9	63.2	58.7	63.1	28 يوم	(MPa) الشد
	682	713	739	760		
	5.13	5.10	4.5	4.87		

#### 4-4 إنتاج الخرسانة بدون ركام ناعم

تم إنتاج خرسانة خالية من الركام الناعم (أسمنت وركام حشن وماء فقط) بنسب مختلفة كما بالشكل رقم (3) والشكل رقم (4) وكانت النتائج كما بالجدول رقم (4) [5].



الشكل رقم (4): مكعبات خرسانية [5].



الشكل رقم (3): أسطوانات خرسانية [5].

جدول رقم (4): نتائج الاختبارات لمقاومة الضغط والشد والهبوط [5].

## المحور الثاني: مواد التشييد الملائمة للبيئة الصحراوية

الامتصاص %	عند عمر 28 يوم				نسب خلط المواد			
	الهبوط (cm)	الشد (MPa)	مقاومة الضغط (MPa)		الماء	الركام	الإسمنت	نسبة الخلط
9.6	150	2.05	28.95	0.45	4	1	4:1	
10.4	150	0.97	24.3	0.50				
11.2	150	0.44	17.3	0.55	8	1	8:1	

### 4-5 خلط نوعين من الركام الناعم لصناعة الخرسانة

تعتبر نعومة الركام الناعم من العوامل التي تؤثر في قوام الخلطات الخرسانية بشكل مباشر حيث تعمل على زيادة نسبة الماء اللازمة للخلط ونظرًا لوجود أكثر من مصدر للركام الناعم في ليبيا تم اخذ بعض المصادر وخلط كل نوعين من الركام الناعم مع بعض وانتاج خلطة خرسانية. حيث تم خلط مصدر سوف الجين وسيدي السائح زلين وكانت نتائج الخلط بالخلطة الخرسانية كما بالجدول رقم (5) [6].

جدول رقم (5): نتائج اختبار الضغط [6].

نسبة الاستبدال بين كل نوعين				مصادر الركام الناعم	
%50		%0			
%1 ملدن	%50	%1 ملدن	%0		
مقاومة الضغط (MPa)					
		25	15	زلين	
		25	33	سيدي السائح	
		20	12	سوف الجين	
34.7	32			سوف الجين-زلين	
30	27			سوف الجين-سيدي السائح	
24	23			زلين-سيدي السائح	

### 4-6 استبدال الركام الناعم بمسحوق مطاط إطار السيارات

4-6-1 استبدال الركام الناعم بمسحوق الإطارات بنسبة ماء إلى الإسمنت 0.6

## المحور الثاني: مواد التشييد الملائمة للبيئة الصحراوية

للحافظة على البيئة وعدم ترك المخلفات في المسطحات وعدم حرقها الأمر الذي يسبب أضرار بيئية وصحية على سلامه المواطن تم العمل علىأخذ اطارات السيارات من المخلفات وإعادة تدويرها كمسحوق لاستخدامه بدل الركام الناعم بالخلطة الخرسانية [7]. حيث تم عمل عدة خلطات وكانت  $w/c$  الأفضل 0.6 وكانت النتائج كما بالجدول رقم (6) وعمل خلطة خرسانية بالملدن وكانت النتائج كما بالجدول رقم (7) ومنها تم استبدال الركام الناعم بمسحوق الاطارات بنسبة 5%，10%，15%，20%،25% وكانت النتائج كما بالجدول رقم (8) ومنها تم اضافة الملن (ملدن سيكا) بنسن 1.1 الى 2 من وكانت نتائج المقاومة كما بالجدول رقم (9) حيث تم اختيار نسبة 1.4% واستبدال الركام الناعم بمسحوق الإطارات [7].

جدول رقم (6): اختبار المقاومة للخلطة الخرسانية [7].

الهيابط (cm)	الكثافة يوم 28 (g/cm <sup>3</sup> )	المقاومة يوم 28 (MPa)	المقاومة 7 أيام (MPa)	الركام الخشن	الركام الناعم	الماء	الإسمنت	نسبة الماء للإسمنت
18	2228	22.3	14.8	1070	640	154	250	0.6

جدول رقم (7): نسب الملن للخلطة الخرسانية بدون استبدال [7].

الهيابط Cm	المقاومة (MPa)		الكثافة (g/cm <sup>3</sup> )		نسبة الملن
	يوم 28	7 أيام	يوم 28	7 أيام	
18.5	23.7	14.8	2264	2246	1.1
13.5	29.10	16.70	2264	2272	1.4
13.5	28.4	20.70	2270	2282	1.7
16	27.3	19.7	2264	2264	2

جدول رقم (8): مقاومة الضغط للخرسانة مع مسحوق الإطارات [7].

الهيابط (cm)	المقاومة (MPa)		الكثافة (g/cm <sup>3</sup> )		نسبة استبدال مسحوق الإطارات
	يوم 28	7 أيام	يوم 28	7 أيام	
12	19.9	12	2228	2289	%5
12	17.8	11.8	2234	2195	%10
12	15.7	9.9	2145	2153	%15
12	11.6	9.07	2198	2153	%20
12.5	13.4	8.10	2074	2072	%25

جدول رقم (9): مقاومة الضغط للخرسانة مع اضافة ملن [7] %1.4 .

## المحور الثاني: مواد التشييد الملائمة للبيئة الصحراوية

الهيبوت Cm	المقاومة (MPa)		الكثافة (g/cm³)		نسبة الملنن	نسبة استبدال مسحوق الإطارات
	28 يوم	7 أيام	28 يوم	7 أيام		
15	21.8	15.3	2216	2210	%1.4	%5
15.5	17.2	11.3	2086	2046	%1.4	%10
15.5	18.8	12.5	2139	2116	%1.4	%15
16	14.7	9.97	2062	2035	%1.4	%20
16	13	8.57	2027	2040	%1.4	%25

4-6-2 استبدال الركام الناعم بمسحوق الإطارات السيارات بنسبة ماء للاسمنت 0.49

حيث تم عمل عدة خلطات وكانت  $w/c = 0.49$  ومنها تم استبدال الركام الناعم بمسحوق الإطارات بنسبة 5%

%20، %15، %10 وقد تم اضافة غبار السليكا 50 جرام وكانت النتائج للمقاومة والشد والهيبوت كما بالجدول

رقم (10) [8].

جدول رقم (10): اختبارات المقاومة والشد والانحناء والامتصاص والكثافة للخرسانة [8].

الكثافة (Kg/m³)	الامتصاص (%)	مقاومة الانحناء (MPa)	مقاومة الضغط MPa			الهيبوت (mm)	ماء	حببات المطاط	ركام خشن	ركام ناعم	اسمنت	نسبة الاستبدال %
			56 يوم	28 يوم	7 أيام							
2459	3.56	3.8	43.2	42	32	110	205	0	1120	620	415.8	0
2400	3.89	3.5	38	35	28.6	102	205	13.08	1120	589	415.8	5
2370	4.19	3.15	33	30	23	94	205	26.17	1120	558	415.8	10
2340	4.48	2.75	28	26	19	82	205	39.26	1120	527	415.8	15
2311	4.63	2.3	25	22	16	75	205	52.3	1120	496	415.8	20

4-7 خلط الرمل بالمشتقات النفطية (بنزين - زيت مستعمل-زيت الغاز)

تهدف هذه الدراسة الى مدى تأثير الركام الناعم من الثلوج بالزيوت النفطية بنس比 1.5% ، 3% ، 6% ، 9% قبل

الخلطة مع بقية مكونات الخلطة الخرسانية وكانت نتائج اختبارات المقاومة والشد كما بالجدول رقم (11) [9].

جدول رقم (11): اختبارات المقاومة والشد [9].

زيت مستعمل	زيت الغاز	بنزين	نسبة الإصابة (%)	الاختبار
52.2		0		

## المحور الثاني: مواد التشييد الملائمة للبيئة الصحراوية

40	48.1	43.8	1.5	مقاومة الضغط للخرسانة (MPa) عند عمر 28 يوم
33.5	43.1	50	3	
25.6	42.4	45.2	6	
10.5	40.7	41.3	9	
7		0		مقاومة الضغط للخرسانة (MPa) عند عمر 28 يوم
4.9	6.1	6.7	1.5	
5	6.5	7	3	
4.8	6	5.8	6	
3.7	5	5.9	9	

### 4- استبدال مخلفات البلاستيك بدل الركام الناعم لصناعة الطوب الاسمنتي

نظراً لكثرة مخلفات البلاستيك في الطبيعة وللحفاظ على البيئة تم استخدام مسحوق البلاستيك بدل الركام الناعم لصناعة الطوب الاسمنتي باستعمال الاسمنت البورتلاندي الايبضم والبوتلاندي العادي ونسبة استبدال 3% - 12% وكانت النتائج لمقاومة والشد كما بالجدول رقم (12) [10].

جدول رقم (12): نتائج اختبار مقاومة الضغط والشد للطوب الاسمنتي [10].

مواصفات الطوب الليبية رقم 2002/47	مقاومة الضغط (MPa)				نسبة مسحوق البلاستيك %	نوع الإسمنت
	28 يوم	21 يوم	14 يوم	7 أيام		
5.7 (MPa)	17.8	16.3	16.3	13.3	0	إسمنت بورتلاندي أبيض
	20.33	19.4	18.5	17.3	3	
	19	19.5	19.5	15	6	
	7.33	7.33	7.33	5.8	12	
	16.5	15.2	14	11.5	0	إسمنت بورتلاندي العادي
	30.5	28	26.5	21.8	3	
	15.7	15.5	15.3	9.16	6	
	8.83	7.63	6.66	6.33	12	

### 5- مناقشة النتائج

عند استبدال ركام ناعم ناتج من طحن مخلفات الخرسانة بدل الركام الناعم بالخرسانة كانت المقاومة في تناقص مع زيادة الاستبدال حيث كانت عند استبدال نسبة 10% تتحفظ المقاومة بنسبة 6% وعند استبدال 20% تتحفظ المقاومة 22% وعند استبدال 30% تتحفظ المقاومة 25%. من جانب آخر، لوحظ أن المقاومة في تزايد مع زيادة نسبة الاستبدال حيث كانت عند نسبة استبدال 25% من الركام الناعم تزيد المقاومة بنسبة 6% عن المقاومة المرجعية وعند زيادة نسبة 100% ركام صناعي كانت المقاومة في زيادة بنسبة 11%. أما عند استبدال طحن الاجر تتحفظ المقاومة

## **المحور الثاني: مواد التشييد الملائمة للبيئة الصحراوية**

مع زيادة نسبة الاستبدال حيث كانت عند استبدال 10% وصلت قيمة الانخفاض بالمقاومة بنسبة 16% وعند استبدال 30% وصلت قيمة الانخفاض بالمقاومة إلى 8%. وعند استخدام خرسانة خالية من الركام الناعم لوحظ ان كلما زادت نسبة الركام الخشن كلما قلت المقاومة عن المقاومة المرجعية. ولكن عند خلط الركام الناعم ببعض الانواع مع بعض حيث كانت المقاومة في زيادة 8.5% عن المرجعية عند خلط ركام سوف الجين وريلتين بنسبة خلط 50%. وصلت ايضاً زيادة المقاومة 4% عند خلط سيدي السائح وريلتين. وعند خلط سوف الجين وسidi السائح وصلت زيادة المقاومة بنسبة 11%. أيضاً تبين عند استخدام مسحوق الإطارات ان المقاومة تتحفظ عند زيادة نسبة الاستبدال عند استخدام نسبة الماء للإسمنت 0.6 أو 0.49 حيث قلت المقاومة عند الأولى عند نسبة استبدال 5% إلى 10% اما الثانية وصلت نسبة انخفاض المقاومة عن المرجعية إلى 16% اما عند نسبة استبدال 20% فكانت نسبة انخفاض المقاومة تقريباً متساوية 48%. حيث انه عند ثلوث الركام الناعم بالبنزين والزيوت فأن المقاومة تتحفظ بنسبة 13% عند ثلوث الركام الناعم بنسبة 6% بنزين. وقلت المقاومة بنسبة 28% عن المرجعية عند ثلوث الركام الناعم 6% بالزيت المستعمل. اما عند استخدام مسحوق البلاستيك لتصنيع الطوب الاسمنتي لوحظ زيادة المقاومة للطوب بنسبة 12% وعند نسبة استبدال 3% وكذلك عند نسبة استبدال 6% زيادة المقاومة بنسبة 3% عند استخدام الاسمنت البوتاندي الأبيض. اما عند استخدام الإسمنت البوتاندي العادي فكانت نسبة زيادة المقاومة 100% عن المرجعية عند استبدال نسبة 3%.

### **6- الاستنتاجات**

1. يتبيّن ان الركام الناعم يتأثر بتلوث المشتقات النفطية.
2. كانت اعلى زيادة للمقاومة عن المرجعية 11% عند استبدال طحن الركام الخشن بنسبة 100% عن الركام الناعم.
3. كانت زيادة المقاومة بنسبة 11% عن المقاومة المرجعية عند خلط 50% ركام سوف الجين مع سidi السائح.
4. كانت اقل نسبة مقاومة بالمقارنة بالمرجعية 16% عند استبدال نسبة 5% مسحوق الإطارات بدل الركام الناعم.
5. تبيّن ان خلط بعض انواع الركام الناعم يعطي نتائج ممتازة.
6. تبيّن ان عند استخدام طحن الركام الخشن الى ناعم كانت النتائج جيدة ولكن قد تكون مكافحة.
7. استخدام كسر الاجر ومسحوق الإطارات وكسر الخرسانة كانت غير فعالة حيث تزداد نسبة انخفاض المقاومة عند زيادة نسبة الاستبدال.

## **المحور الثاني: مواد التشييد الملائمة للبيئة الصحراوية**

8. امكانية استخدام مسحوق البلاستيك في تصنيع الطوب الإسمنتى بنسبة استبدال 3%.

### **7- التوصيات**

1. امكانية اجراء دراسة عن تصنيع الطوب الاصناعي باستخدام الركام الناعم بمسحوق الاطارات او كسر الخرسانة او الاجر.

2. امكانية خلط انواع الركام الناعم مع بعض لإنتاج الخرسانة.

### **8- قائمة المراجع**

[1] محمود الامام، الخرسانة، دار الكتب، مصر، 2002.

[2] عمر، اشرف حامد، "استخدام مخلفات الخرسانة كركام ناعم في صناعة الخرسانة" المؤتمر الوطني السابع لمواد البناء، البيضاء، ليبيا، 2018.

[3] امال ووفاء عبد العاطي، غادة صالح، "استخدام الرمل الصناعي بدلاً عن الركام الناعم في الخلطات الخرسانية" المؤتمر الوطني السادس لمواد البناء، البيضاء، ليبيا، 2018.

[4] د. مختار معمر، اياس الجيلي، "تأثير الركام الناعم الناتج من مخلفات الاجر على خواص الخرسانة ذاتية الدمك" المؤتمر الوطني الثامن لمواد البناء، بنى وليد، ليبيا، 2021.

[5] د. عمر رمضان، احمد جميل، "تأثير نسب الخلط على خواص الخرسانة الخالية من الرمل" المؤتمر الوطني السابع لمواد البناء، البيضاء، ليبيا، 2018.

[6] د. ابراهيم الفقيهي، "تأثير درجات النعومة للرمل على خواص الخرسانة" المؤتمر الوطني الثامن لمواد البناء، بنى وليد، ليبيا، 2021.

[7] محمد احمد، "دراسة استخدام المخلفات الإطارات في إنتاج الخرسانة الإسمنتية المحلية" بحث الإجارة العالمية الماجستير، الأكاديمية الليبية، ليبيا، 2017-2018.

[8] د. نوري البasha، م. عبدالناصر الزوم، "الخرسانة المحتوية على نفايات مطاط الإطارات" المؤتمر الوطني السابع لمواد البناء، البيضاء، ليبيا، 2018.

[9] د. محمد سلمان، د. مسعود حركات، "تلوك الخرسانة بالمشتقات النفطية" المؤتمر العربي الثاني عشر للهندسة الانشائية، طرابلس، ليبيا، 2013.

## **المحور الثاني: مواد التشييد الملائمة للبيئة الصحراوية**

---

[10] د. إِمَّاَدْ بَاشَا، اَحْمَدْ جَاسِمْ، "تَأْثِيرُ إِضَافَةِ الْمُخَلَّفَاتِ الْبَلاسِتِيكِيَّةِ فِي الطُّوبِ الإِسْمَنِيِّ بَدْلِ الرَّمْلِ" مَجَلَّةُ جَامِعَةِ سَبَها لِلعلومِ الْتَّطَبِيقِيَّةِ العَدْدُ ٣، سَبَها، لِيَبِيَا، ٢٠١٣.

### خصائص البوزلانا المحلية الموجودة بالجنوب الليبي

د. إبراهيم أحمد المختار الحضيري

دكتوراه مهنية في الإدارة الهندسية

نقابة المهن الهندسية / فرع سوها

Almokhtar\_72@yahoo.com

#### الملخص:

تزرع منطقة الجنوب بليبيا بالعديد من الثروات الطبيعية المختلفة، لعل من أبرزها تلك الخامات الأولية التي تدخل في صناعة مواد البناء ومن أهمها الطين المكلس أو ما يعرف بالبوزلانا. حيث أشارت العديد من الدراسات إلى توفرها ويشكل كبير حول منطقتي سبها وبراك بوادي الشاطيء. وقد تم تشكيل فريق بحثي بقسم الهندسة المدنية بكلية العلوم الهندسية والتكنولوجيا بجامعة سبها للقيام بسلسلة من الدراسات البحثية حول إمكانية الاستفادة من تلك المواد الطينية وإدخالها في مجال صناعة الإسمنت وإنتاج الخرسانة، وذلك لعرض تحسين خصائصها من جهة وتقليل تكلفة المتر المكعب من جهة أخرى. حيث بينت نتائج الأبحاث مطابقة التركيب الكيميائي ومعدلات المقاومة الإنضغاطية لهذه الخامات

للمواصفة ASTM C618-03.

في هذه الورقة سنتعرف على خصائص هذه المواد من خلال خمسة مواقع هي: موقعان أحدهما بشمال شرق مدينة سبها والآخر بتمنهنت، وثلاثة مواقع حول مدينة براك هي آفار والعافية وتاروت.

الكلمات المفتاحية: الخرسانة، البوزلانا، الخلطة الخرسانية، المواد البوزلانية، الإسمنت

#### 1. المقدمة:

تعتبر البوزلانا من المواد التي يتزايد الطلب عليها، وذلك نظراً لاستخداماتها المتعددة والتي من أهمها استبدالها بكمية من الإسمنت اللازم لصناعة الخرسانة، والذي يؤدي بدوره إلى التقليل من كمية الحرارة الناتجة عن عملية تفاعل الإسمنت مع الماء (التميسق) نتيجة هذا الاستبدال، وتقليل انبعاث غاز ثاني أكسيد الكربون المصاحب لعملية صناعة الإسمنت عند إضافتها إليه. وهو توجه مطلوب من أجل خرسانة خضراء صديقة للبيئة وميزة قد تحتاجها بشكل أكبر في المنشآت كبيرة الحجم ذات الخرسانة الكتلية ( كالسدود ) والتي قد تتسبب الحرارة في حدوث تصدعات بها، أيضاً حاجتنا إليها في

## **المحور الثاني: مواد التشييد الملائمة للبيئة الصحراوية**

الأجواء الصحراوية والحرارة والتي تغطي رقعة كبيرة من بلادنا خاصة الجنوبية منها. بالإضافة لذلك، فإن استعمال مادة البوزلانا يعمل على تقليل الكلفة الإقتصادية - نظراً لرخصها مقارنة بمادة الإسمنت - وإكساب الخرسانة خصائص إضافية من حيث الجودة والمثانة لتحمل الظروف التي صُممَت من أجلها وتعمل في محيطها طيلة عمرها الافتراضي لمقاومة المتغيرات التي تحاول إحداث ثلف أو تدهور في بُنيتها.

توفر هذه المواد بكميات معتبرة ؛ وذلك وفقاً لدراسات أجريت من قبل ( مركز البحوث الصناعية ) بتاجوراء بطرابلس وأكدت وجودها في مناطق بالجنوب الليبي حول مدينة سبها وبراك بوادي الشاطيء، وهي ثروة يتطلب استغلالها ويمكن أن تساهم في دعم الاقتصاد الوطني وزيادة الدخل القومي بإدخالها في إحدى أهم الصناعات الإستراتيجية وهي صناعة الإسمنت، وبالتالي الاستفادة منها هندسياً وبائيأً كما تم ذكره. وقد أقيمت حول هذه المواد العديد من الدراسات قام بها فريق بحثي بقسم الهندسة المدنية بكلية العلوم الهندسية والتكنولوجية بجامعة سبها.

ارتكز البحث على دراسة خمسة مواقع هي: (سبها وتمنهنت والعافية وأفار وتاروت)، حيث اعتمدت هذه الدراسات في برنامجها العملي على أحد عينات من هذه الواقع واستخدام كميات منها بحسب محددة تراوحت بين (10 - 20%) وضافتها لمكونات الخلطة الخرسانية بدل جزء من مادة الإسمنت الداخلة في مكوناتها.

## 2. المواد البوزلانية:

البوزلانا؛ وتعرف أيضاً بالمواد البوزلانية أو متأخرة التميؤ: هي خامات ألومنينية أو سليكية أو خليط من كليهما<sup>(2)</sup>، وهذه المواد لا تملك قدرة لاصقة إسمنتية إلا أنها وبوجود الماء تتفاعل كيميائياً عند درجات الحرارة العادمة مع هيدروكسيد الكالسيوم (الجبير) الناتج من عملية التميؤ - تفاعل الإسمنت مع الماء - مكونة مركبات ذات خصائص إسمنتية غير قابلة للذوبان - مثل سيليكات وألومنيات الكالسيوم - تعمل على سد الفجوات الداخلية والمسامات الشعرية بالخرسانة<sup>(3)</sup>.

## 1.2 أنواع المواد البولازانية:

تتقسم المواد البوذلانية إلى نوعين:

### 1.1.2 البوذلانا الصناعية:

وهي مواد ثانوية يحصل عليها من المخلفات الصناعية، وتشمل رماد الفحم، والطوب المحروق، وغبار السيليكا وخبث الحديد الناتج من مخلفات صناعة الحديد والصلب.

## المحور الثاني: مواد التشييد الملائمة للبيئة الصحراوية

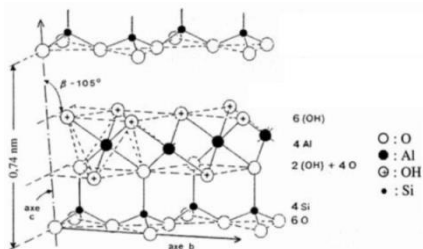
### 2.1.2 البوزلانا الطبيعية:

هي مواد توجد في الطبيعة على هيئة رواسب بركانية أو مواد أوبالية أو تربات طينية، ومنها الطين المحتوي على الكاولين موضوع الدراسة.

#### 2.2 البوزلانا المحلية (الكاولين):

الكاولين هو أحد المعادن الطينية ، تركيبه الكيميائي ( $\text{Al}_2\text{Si}_2\text{O}_5(\text{OH})_4$ ) . وبالإضافة إلى المواد الأساسية المشكّلة له؛ هناك نسب معينة من الشوائب هي في العموم عبارة عن أكسيدات مثل MnO و Fe<sub>2</sub>O<sub>3</sub> و CaO و Na<sub>2</sub>O و K<sub>2</sub>O كما توجد بها مواد عضوية والتي تنزول بتخزين الكاولين إلى درجات حرارة معينة، وهذه الشوائب يمكن أن تكون موزعة بانتظام على المادة الأصلية الخام، كما يمكن لها أن تكون على شكل تجمعات بالشقوق الصخرية<sup>(4)</sup>.

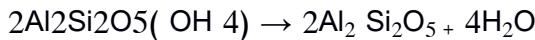
إن التحليل بواسطة الأشعة السينية للكاولين النقي يدل على وجود ترتيب ذري لمدى طويل وبنية بلورية محدودة للكاولين كما هو موضح بالشكل رقم (1)، ومنه يمكننا أن نلاحظ بأن التوزيع غير متجانس في الأبعاد الثلاثة. والكاولين عبارة عن طبقات من شبكة بلورية حيث تتماسك طبقاتها مع بعضها البعض بقوى تجاذب كبيرة، والأشكال الناتجة للبلورات هي في غالبيها صفائح سداسية مجهرية تعكس البنية الذرية للمادة.



شكل (1): التركيب البلوري للكاولين

والكاولين مركب غير نشط كيميائياً، ومن أهم خصائصه تفككه بارتفاع درجات الحرارة<sup>(4)</sup>، حيث أن معادن الكاولين تتبلور بخروج ماء الرطوبة أو الماء الممتص بعد تفاعل أولي ماص للحرارة بين درجة الحرارة 100° C و 110° C، وتؤدي هذه العملية باقتراب الحبيبات من بعضها البعض، لكن يحدث هذا بدون تغير في الشبكة البلورية، وإبتداء من 500° C تقريباً ينتج ثانوي تفاعل ماص للحرارة، والذي ينتج عن تحول الكاولين إلى طور آخر يدعى الميتاكاولين ( $\text{Al}_2\text{O}_3\text{SiO}_2$ ) حيث يتم التخلص من جزيئي الماء ( $\text{H}_2\text{O}$ ) الداخل في التكوين، وهو بدوره يتفكك إلى الومينا (AL<sub>2</sub>O<sub>3</sub>) وسيليكا (SiO<sub>2</sub>) . وهذا التحول يوصف كيميائياً بمعادلة التفاعل التالية:

## المحور الثاني: مواد التشييد الملائمة للبيئة الصحراوية



2. استخدام البوزلانا كبديل جزئي للإسمنت:

عادةً ما تتم إضافة المواد البوزلانية في ثلاثة صور هي:

- 1 - كبديل عن جزء من الأسمنت البورتلاندي ( وهي الحالة الأكثر شيوعاً لأسباب اقتصادية ).
- 2 - كبديل عن جزء من الرمل ( إما لعدم وجود الرمل الجيد أو لأن التدرج الحبيبي للرمل غير مطابق للمواصفات ).
- 3 - كإضافة للأسمنت بدلاً عن استبداله ، وذلك لزيادة المحتوى الأسمنتية في الخرسانة.

وغالباً ما يتم الخلط أعتماداً على النسبة الوزنية، ونادرًا بحسب حجمية. وقد تناولت عدة دراسات سابقة إمكانية استخدام البوزلانا المحلية على صورة ميتاكاولينا كبديل لجزء من الإسمنت في الخلطات الخرسانية، حيث تراوحت نسبة الاستبدال من 10% إلى 20% من وزن الإسمنت، أعطت في مجلها مؤشرات إيجابية لاستخدامها كبديل جزئي للإسمنت.

3. تفاعل البوزلانا مع الغير ( التميؤ ):

تفاعل السليكا المتواجدة بالبوزلانا مع هيدروكسيد الكالسيوم الناتج من عملية التميؤ - تفاعل الإسمنت مع الماء -

مكونة هيدرات سيليكات الكالسيوم ، حيث يكون التفاعل الرئيسي على الصورة:

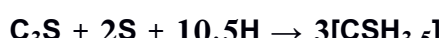


وتفاعل السليكا الغير المتبلورة ( كاولين ) بشكل أسرع من السليكا ذات الشكل البلوري ( كوارتز ) مع هيدروكسيد الكالسيوم.

وعند احتواء البوزلانا على مقادير من الألومينا النشطة، تتشكل هيدرات ألومنيوم الكالسيوم كما بالصيغة التالية:



ومع أنواع البوزلانا عالية التفاعالية ، يظهر التفاعل البوزلاني الثنائي منتجًا ثلاثي سيليكات الكالسيوم الذي يكون بالصيغة:



وتظهر هذه التفاعلات بشكل واضح مع أغلب أنواع البوزلانا الطبيعية أو الصناعية في فترة ما بين 3 إلى 14 يوماً بعد خلطها بالماء<sup>(3)</sup>.

4.2 التأثير على متانة الخرسانة:

## **المحور الثاني: مواد التشييد الملائمة للبيئة الصحراوية**

- تبعد أهمية التفاعل البوزلاني من تأثيره على التركيب الداخلي للخرسانة كما يلي:
- إعادة توزيع الفراغات: حيث يتم تحويل الفراغات الكبيرة الموجودة في بيئه الخرسانه إلى فراغات صغيرة (أكثر عددا وأصغر حجما) كنتيجة مباشرة لترسيب مادة C-S-H المكونة من التفاعل البوزلاني في هذه الفراغات.
  - تغير في حجم المكونات: وخاصة الجير المطفأ المكون حديثاً من تفاعل الأسمنت مع الماء، حيث تتحول بلورات الجير الصلدة والكبيرة إلى مادة C-S-H الخيطية الشكل وغير المتبلورة وذات المساحة السطحية الكبيرة، والتي تشغله حيزاً كبيراً من الفراغات. حيث تزداد مادة C-S-H الأسمنتية في الخرسانة مع تقليل نسبة الجير.
- وتساعد هاتان الآليتان في ديمومة الخرسانة، حيث تقل الفراغات الكبيرة التي تساعده على دخول المواد الضارة ( مثل الماء، ثاني أكسيد الكربون، الكلوريدات، الخ). كما أن صغر حجم الجير المطفأ (يسبب التفاعل البوزلاني ) يساعد على تقوية المنطقة الإنتقالية ( Transition Zone ) بين العجينة الأسمنتية والحصى في الخرسانة، حيث تعتبر هذه المنطقة أضعف منطقة في الخرسانة. كما أن إسْتِهْلاَكَ الجير في التفاعل البوزلاني يقلل من التفاعلات الكيميائية الضارة الناتجة عن دخول بعض الأيونات ( مثل الكبريتات ) إلى الخرسانة<sup>(8)</sup>.

### **5. خصائص المواد البوزلانية:**

تجري الدراسات المختلفة على المواد البوزلانية لمعرفة خصائصها ومدى مطابقتها للمواصفات وبالتالي استخدامها كمواد بناء بديلة تضاف للخرسانة أو الإسمنت. وأهم هذه الخصائص يمكن توضيحها على النحو التالي:

#### **5.1. التحليل الكيميائي:**

يتم عن طريق استخدام الأشعة السينية الوميضية (XRF) ويوضح بصورة عامة المواد المتفاعلة (الداخلة في التفاعل) وتحديد نسبة كل من السليكا والألومنيا في العينة، حيث تتصـون المواصفـة ASTM C618-03 على ألا تقل نسبتها عن 70%، وتحسب نتائج تحليل العينات عادة عن طريق النسبة المئوية لكل عنصر في العينة. بالإضافة إلى حساب الفاقد في الوزن نتيجة تسخين العينة إلى درجة حرارة معينة وهروب المواد الطيارة ( volatiles ).

#### **5.2. الشكل البلوري:**

## المحور الثاني: مواد التشييد الملائمة للبيئة الصحراوية

تستخدم الأشعة السينية ذات الطول الموجي من 10 - 0.01 نانومتر لكشف العناصر الداخلة في تركيب المواد المختلفة وتحليلها، ويستخدم انحراف الأشعة السينية (X.R.D) في دراسة المواد الصلبة والتركيب البلوري لها. وبهدف التحليل بشكل عام إلى تحديد الشكل العام للسليكا ( بلوري - غير بلوري ) أي سليكا نشطة أكثر تفاعل مع الجير أو سليكا غير نشطة.

### 3.5.2 الفعالية البوزلانية:

تردد الفعالية البوزلانية أو ما يعرف بـ (مؤشر قوة نشاط البوزلان) كلما احتوت على سليكا غير متبلورة. وهناك عدة طرق لقياس فعالية المادة البوزلانية ( Strength Activity Index ) مثل طريقة قياس كمية الجير المتهد مع المادة البوزلانية، أو عن طريق قياس درجة حرارة الإذابة للمادة البوزلانية في خليط مكون من حمض النتريك وحمض الهايدروفلوريك، أيضاً هناك طريقة لقياس عن طريق المقاومة الإنضغاطية من خلال العلاقة الواردة في المواصفة ASTM C311 على النحو التالي:

$$SAI = \frac{A}{B} \times 100$$

حيث أن:

A : هو متوسط مقاومة الضغط لمكعبات الخلطة المحتوية 20% من البوزلانا مقدرة بـ (MPa).

B : هو متوسط مقاومة الضغط لمكعبات الخلطة المكونة من الإسمنت فقط مقدرة أيضاً بـ (MPa).

ويمكن تنشيط البوزلانا وزيادة فعاليتها ( عملية الكلسنة ) بعدة طرق<sup>(17)</sup> منها:

- التنشيط بواسطة الحرق.
- التنشيط بواسطة زيادة النعومة.
- التنشيط بواسطة إضافة مواد كيميائية.

ووفقاً لأغلب الدراسات، فإن الفعالية البوزلانية للكاولين المحلي المدروس تزيد عن طريق المعالجة الحرارية - التي تحوله إلى ميتاكاولين نشط - في درجة حرارة 800 درجة مئوية لمدة ساعتين، والطحن حتى درجة نعومة 150 ميكرومتر. أنظر الشكلين رقم (2) و(3).

## المحور الثاني: مواد التشييد الملائمة للبيئة الصحراوية



شكل (2): تشغيل البولازانا المحلية بواسطة الحرق



شكل (3): عملية نخل العينات بعد طحنها

### 3. منطقة الدراسة:

أكّدت دراسات عديدة قام بها مركز البحوث الصناعية " طرابلس - ليبيا " على تواجد كميات من أنواع مختلفة من الخامات والمواد الطينية مثل الجبس وال الحديد والبازلت وغيرها، وذلك في مناطق واسعة من ليبيا، من أهمّها: غريان، الخمس، بنغازي، درنة، زليتن، سبها، وادي الشاطيء<sup>(2,16)</sup>.

وتوضح الخريطة في الشكل رقم (4) المناطق الجنوبية وبالتحديد منطقة سبها وما حولها ومناطق وادي الشاطيء التي تتوارد بها المواد البولازانية الطبيعية - موضوع الدراسة - على هيئة صخور طينية حاوية على معدن الكاولين.

## المحور الثاني: مواد التشييد الملائمة للبيئة الصحراوية



شكل (4): مناطق تواجد الكاولين بمنطقة الدراسة

### 1.3 موقع سبها:

يقع على بعد حوالي 10كم شمال شرقى مدينة سبها على بعد 100م يمين الطريق الوالى إلى منطقة وادى البوانيس.

أنظر الشكل رقم (5) والشكل رقم (6).



شكل (6): الموقع الحفلي بسبها



شكل (5): صورة قمر صناعي لموقع سبها

#### 1.3.1 الشكل واللون:

عينات الموقع هي عبارة عن كتل بيضاء غير منتظمة الشكل سهلة التفتت. أنظر الشكلين رقم (7) و(8).



شكل (8) : عينة موقع سبها بعد حرقها وطحنها



شكل (7) : صخور موقع سبها

#### 2.1.3 التركيب الكيميائي:

## المحور الثاني: مواد التشييد الملائمة للبيئة الصحراوية

الجدول رقم (1) يوضح التحليل الكيميائي لعينة موقع سبها.

جدول (1): التحليل الكيميائي لموقع سبها

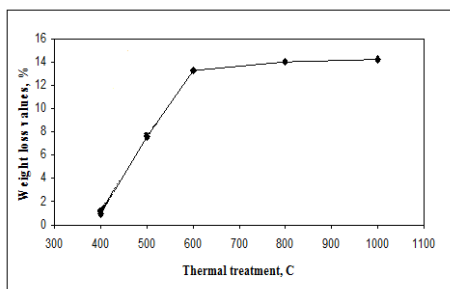
المتطلب	القيمة الفعلية	المتطلب	القيمة الفعلية
أكسيد(السيليكون، الألومنيوم، الحديد)	95.2	أكسيد الكالسيوم	0.1
ثالث أكسيد الكبريت	3.033	أكسيد البوتاسيوم	0.16
المحتوى المائي	---	ثاني أكسيد التيتانيوم	3.019
القلويات (أكسيد الصوديوم)	0.22	خامس أكسيد الفوسفور	0.137
ثاني أكسيد السيليكون	53.42	أكسيد المنجنيز	0.0088
ثالث أكسيد الألومنيوم	40.84	ثالث أكسيد الكروم	---
ثالث أكسيد الحديد	0.975	أكسيد السترانشيوم	0.034
أكسيد الماغنسيوم	0.13	الفقدان بالحرق ٠ . ٥ . L	0.88

### 3.1.3 البنية البلورية:

نسبة السليكا ذات الشكل البلوري ( الكوارتز ) إلى الكاولين لعينة موقع سبها بلغت ( 5 : 95 ) %.

### 4.1.3 الخصائص الحرارية:

يبين الشكل رقم (9) قيم فقدان الوزن لعينة في درجات الحرارة المختلفة لمدة ساعتين.



شكل (9): قيم فقدان الوزن لعينة موقع سبها

### 5.1.3 الفعالية البوزلانية:

الفعالية البوزلانية أو ما يعرف بمؤشر نشاط البولانا بالنسبة لموقع سبها هي: 99.8 % بعد 7 أيام و 109.1 % بعد

28 يوم.

### 2.3 موقع تمنهنت:

يوجد على بعد 10كم من بلدة تمنهنت في اتجاه الشمال من الطريق المعبد الواصل لمنطقة سمنو.

## المحور الثاني: مواد التشييد الملائمة للبيئة الصحراوية

أنظر الشكلين رقم (10) و(11).



شكل (11) : الموقع الحقلي بتمنهنت



شكل (10) : صورة قمر صناعي لموقع تمنهنت

### 1.2.3 الشكل واللون:

صخور هذا الموقع عبارة عن كتل صلبة بيضاء تميل قليلاً للاحمرار. أنظر الشكلين رقم (12) و(13).



شكل (13): عينة موقع تمنهنت بعد حرقها وطحنها



شكل (12): صخور موقع تمنهنت

### 2.2.3 الترسيب الكيميائي:

الجدول رقم (2) يوضح التحليل الكيميائي لعينة موقع تمنهنت.

جدول (2): التحليل الكيميائي لموقع تمنهنت

القيمة الفعلية	المتطلب	القيمة الفعلية	المتطلب
0.0801	أكسيد الكالسيوم	96.7	أكسيد (السيليكون، الألومنيوم، الحديد)
0.366	أكسيد البوتاسيوم	0.016	ثالث أكسيد الكبريت
1.51	ثاني أكسيد التيتانيوم	---	المحتوى المائي
---	خامس أكسيد الفوسفور	0.35	الفلويات (أكسيد الصوديوم)
---	أكسيد المنجنيز	70.33	ثاني أكسيد السيليكون
0.011	ثالث أكسي الكروم	25.32	ثالث أكسيد الألومنيوم
0.0063	أكسيد السترانشيوم	1.05	ثالث أكسيد الحديد
0.76	الفقدان بالحرق . O . L	0.14	أكسيد الماغnesia

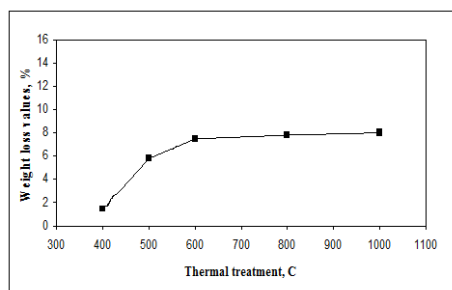
### 3.2.3 البنية البلورية:

## **المحور الثاني: مواد التشييد الملائمة للبيئة الصحراوية**

بلغت نسبة السليكا ذات الشكل البلوري (الكوارتز) إلى الكاولين لعينة موقع تمنهنت (50 : 50 %).

### **4.2.3 الخصائص الحرارية:**

يبين الشكل رقم (14) قيم فقدان الوزن لعينة بعد حرقها في درجات الحرارة المختلفة لمدة ساعتين.



شكل (14): قيم فقدان الوزن لعينة موقع تمنهنت

### **5.2.3 الفعالية البورزانية:**

الفعالية البورزانية بالنسبة لموقع تمنهنت هي: 95.6% بعد 7 أيام و 104% بعد 28 يوم.

### **3.3 موقع العافية:**

يقع على يسار الطريق الرئيسي المعبد، بجانب خزان مياه المنطقة. أنظر الشكلين رقم (15) و(16).



شكل (16): الموضع الحقلـي لموقع العافية

شكل (15): صورة قمر صناعي لموقع العافية

### **1.3.3 الشكل واللون:**

## المحور الثاني: مواد التشييد الملائمة للبيئة الصحراوية

هي عبارة عن كتل متوسطة الصلابة، رمادية اللون تتخللها بقع صفراء. أنظر الشكلين رقم (17) و(18).



شكل (18): عينة موقع العافية بعد حرقها وطحنتها



شكل (17): صخور موقع العافية

### 2.3.3 التركيب الكيميائي :

الجدول رقم (3) يوضح التحليل الكيميائي لعينة موقع العافية.

جدول (3): التحليل الكيميائي لموقع العافية

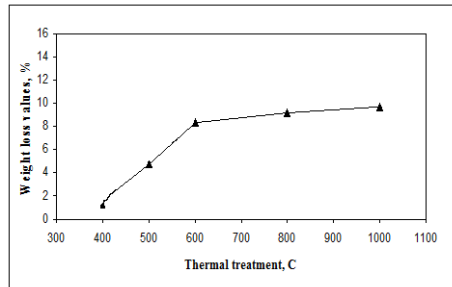
المتطلب	القيمة الفعلية	المتطلب	القيمة الفعلية
أكسيد(السيلكون، الألومنيوم، الحديد)	92.4	أكسيد الكالسيوم	0.133
ثالث أكسيد الكبريت	0.28	أكسيد البوتاسيوم	2.919
المحتوى المائي	---	ثاني أكسيد التيتانيوم	1.12
القلويات (أكسيد الصوديوم)	0.35	خامس أكسيد الفوسفور	0.241
ثاني أكسيد السيلكون	57.95	أكسيد المنجنيز	0.034
ثالث أكسيد الألومنيوم	24.52	ثالث أكسى الكروم	---
ثالث أكسيد الحديد	9.973	أكسيد السترانشيوم	0.0167
أكسيد الماغنسيوم	0.724	الفقدان بالحرق ا . ٠ . ل	1.68

### 3.3.3 البنية البلورية:

بلغت نسبة السليكا ذات الشكل البلوري ( الكوارتز ) إلى الكاولين لعينة موقع العافية (46 : 54 %).

### 4.3.3 الخصائص الحرارية:

يبين الشكل رقم (19) قيم فقدان الوزن للعينة بعد حرقها في درجات الحرارة المختلفة لمدة ساعتين.



شكل (19): قيم فقدان الوزن لعينة موقع العافية

#### 5.3.3 الفعالية البوزلانية:

الفعالية البوزلانية لعينة موقع العافية بلغت: 93.3% بعد 7 أيام و 99% بعد 28 يوم.

#### 4.3 موقع آثار:

يقع بجوار الطريق المعبد المقابل لمحطة الكهرباء بالمنطقة. أنظر الشكلين رقم (20) و(21).



شكل (21): الموقع الحقلي بأثار



شكل (20): صورة قمر صناعي لموقع آثار

#### 1.4.3 الشكل واللون:

يمكن وصف عينات هذا الموقع بأنها عبارة عن طبقات رمادية مزرقة اللون صفائحية الشكل وصلبة.

أنظر الشكلين رقم (22) و(23).



شكل (23): عينة موقع آثار بعد حرقها وطحنها



شكل (22): صخور موقع آثار

#### 2.4.3 التركيب الكيميائي:

الجدول رقم (4) يوضح التحليل الكيميائي لعينة موقع آثار.

## المحور الثاني: مواد التشييد الملائمة للبيئة الصحراوية

**جدول (4): التحليل الكيميائي لموقع آثار**

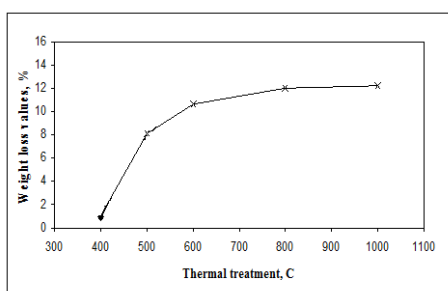
القيمة الفعلية	المتطلب	القيمة الفعلية	المتطلب
<b>0.162</b>	أكسيد الكالسيوم	<b>95.1</b>	أكسيد(السيليكون، الألومنيوم، الحديد)
<b>1.44</b>	أكسيد البوتاسيوم	---	ثالث أكسيد الكبريت
<b>1.37</b>	ثاني أكسيد التيتانيوم	---	المحتوى المائي
<b>0.11</b>	خامس أكسيد الفوسفور	<b>0.22</b>	القلويات (أكسيد الصوديوم)
---	أكسيد المنجنيز	<b>58.46</b>	ثاني أكسيد السيليكون
---	ثالث أكسيد الكروم	<b>34.36</b>	ثالث أكسيد الألومنيوم
<b>0.0209</b>	أكسيد السترانشيوم	<b>2.266</b>	ثالث أكسيد الحديد
<b>1.25</b>	الفقدان بالحرق ا . O . L	<b>0.28</b>	أكسيد الماغنيسيوم

### 3.4.3 البنية البلورية:

بلغت نسبة السليكا ذات الشكل البلوري ( الكوارتز ) إلى الكاولين لعينة موقع آثار ( 90 : 10 ) %.

### 4.4.3 الخصائص الحرارية:

يبين الشكل رقم (24) قيم فقدان الوزن للعينة بعد حرقها في درجات الحرارة المختلفة لمدة ساعتين.



شكل (24): قيم فقدان الوزن لعينة موقع آثار

### 5.4.3 الفعالية البوزلانية:

الفعالية البوزلانية أو ما يُعرف بمؤشر نشاط البولانا بالنسبة لموقع آثار هي: 80 % بعد 7 أيام و 80 % بعد 28 يوم.

### 5.3 موقع تاروت:

يقع أمام مفرق تاروت القديمة والجديدة على بعد 10م من الطريق الرئيسي. أنظر الشكلين رقم (25) و (26).

## المحور الثاني: مواد التشييد الملائمة للبيئة الصحراوية



شكل (26): الموقع الحقلي بتاروت



شكل (25): صورة قمر صناعي لموقع تاروت

### 1.5.3 الشكل واللون:

هي عبارة عن كتل رمادية حبيبية المظهر ومتوسطة الصلابة. أنظر الشكلين رقم (27) و(28).



شكل (28): عينة موقع تاروت بعد حرقها وطحنها



شكل (27): صخور موقع تاروت

### 2.5.3 الترتيب الكيميائي:

الجدول رقم (5) يوضح التحليل الكيميائي لعينة موقع العافية.

جدول (5): التحليل الكيميائي لموقع العافية

القيمة الفعلية	المتطلب	القيمة الفعلية	المتطلب
0.163	أكسيد الكالسيوم	93.1	أكاسيد (السيليكون، الألومنيوم، الحديد)
1.06	أكسيد البوتاسيوم	0.319	ثالث أكسيد الكبريت
0.966	ثاني أكسيد التيتانيوم	---	المحتوى المائي
0.36	خامس أكسيد الفوسفور	0.93	القلويات (أكاسيد الصوديوم)
0.028	أكسيد المنجنيز	71.88	ثاني أكسيد السيليكون
---	ثالث أكسي الكروم	20.2	ثالث أكسيد الألومنيوم
0.036	أكسيد السترانشيوم	1084	ثالث أكسيد الحديد
1.06	الفقدان بالحرق ا . . O	0.35	أكاسيد الماغنسيوم

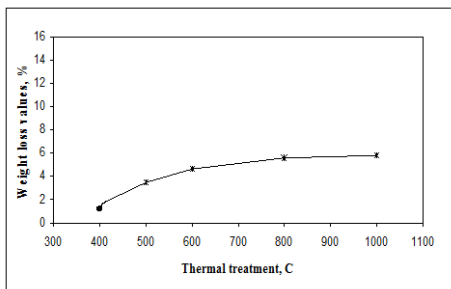
### 3.5.3 البنية البلورية:

## المحور الثاني: مواد التشييد الملائمة للبيئة الصحراوية

بلغت نسبة السليكا ذات الشكل البلوري ( الكوارتز ) إلى الكاولين لعينة موقع تاروت ( 70 : 30 ).

### 4.5.3 الخصائص الحرارية:

يبين الشكل رقم ( 29 ) قيم فقدان الوزن لعينة بعد حرقها في درجات الحرارة المختلفة لمدة ساعتين .



شكل ( 29 ): قيم فقدان الوزن لعينة موقع تاروت

### 5.5.3 الفعالية البوزلانية:

الفعالية البوزلانية (مؤشر نشاط البولانا) بالنسبة لموقع تاروت هي: 101% بعد 7 أيام و 102% بعد 28 يوم.

## 4. الخلاصة والاستنتاجات:

بشكل عام؛ يتبيّن أن الدراسات التي أُجريت لمعرفة خصائص المواد البوزلانية المحلية المتمثلة في الطين المكلس ( الكاوليينا ) أعطت في مجلتها نتائج جيدة ومشجعة ل القيام بمزيد من البحوث حول هذه المواد، ويمكن من خلالها استخلاص النتائج التالية:

- مطابقة هذه الأطيان - تحديداً المادة الفعالة وهي مجموع أكسيد السليكا والأمونيا وال الحديد - للمواصفة الأمريكية **ASTM C618-03** وبالتالي إمكانية استخدامها كمواد بوزلانية طبيعية بعد معالجتها حرارياً وطحنها إلى درجة نعومة كافية، ومن ثم إدخالها في إنتاج الخرسانة لتحقيق بعض الأهداف المرجوة كخفض التكاليف وزيادة المتنانة.
- القليل من كمية الإسمنت في الخرسانة نتيجة عملية الاستبدال بجزء من المادة البوزلانية والذي يؤدي بدوره إلى التقليل من كمية الحرارة الناتجة عن عملية التميّز، هو توجّه مطلوب من أجل خرسانة خضراء صديقة للبيئة وهي ميزة تحتاجها بشكل أكبر في المنشآت الخرسانية الكتلية الكبيرة ( كالسدود ) والتي قد تتسبّب الحرارة في حدوث تصدعات بها، بالإضافة إلى حاجتها إليها في الأجزاء الصحراوية والحرارة والتي تغطي رقعة كبيرة من البلاد خاصة الجنوبيّة منها.

### 5. التوصيات :

من خلال ما تم عرضه ؛ يمكن إجمال عدة توصيات على النحو التالي:

- الإستمرار في عمل الدراسات حول الأطيان المحتوية على الكاولينا الموجودة بالمنطقة لاستخدامها كمواد بوزلانية مضافة للخرسانة وذلك مع الأنواع الأخرى من الإسمنت. بالإضافة إلى المزيد من البحوث والدراسات حول خصائص أخرى مثل المرونة والزحف والنفاذية وغيرها.
- توسيع مجال الدراسات وإجراء التجارب بحيث تشمل مواقع أخرى متوفرة في نفس المنطقة، ومحاولة إضافة عدة أنواع من الكاولينا المدروسة وخلطها ببعض وبنسب مختلفة للحصول على مركبات قد تكون أفضل من استخدام العينات منفردة.
- العمل على إعداد مشروع مواصفة محلية بخصوص المواد البوزلانية الموجودة بالمنطقة.
- إدراج هذه الثروات الطبيعية كأحد مصادر الدخل القومي للبلاد؛ وهذا يتطلب إجراء دراسة شاملة وتفصيلية لكافة المناطق الأخرى التي تتوارد بها هذه المواد وتقدير الاحتياطيات لها.

### المراجع :

- 1- Ibrahim A. Mokhtar " Shrinkage properties of concrete using local pozzolanic materials", Thesis Submitted for Partial Fulfillment for the Requirements of M.Sc. Degree Sebha university–Libya, 2017.
- 2- Hamza M. A. " Use of Local Pozzolanic Materials for Concrete Production", Thesis Submitted for Partial Fulfillment for the Requirements of M.Sc. Degree Sebha university–Libya, May, 2008.
- 3- Abdelkader.M.Alajwad " Durability of pozzolanic concrete: Corrosion reactivity of south Libya clay", Thesis Submitted for Partial Fulfillment for the Requirements of M.Sc. Degree Sebha university–Libya, May 2013.
- 4- Michael Zeljkovic " METAKAOLIN EFFECTS ON CONCRETE DURABILITY " University of Toronto , 2009 .Ahmed M. Al-Saleem "Effect of Local Natural Pozzolanic Material on the Properties of Concrete" King Saud University, February 2006 .
- 5- Mohamed .A.Aboubakar, A.M. Akash ,et " A Study of the Strength Activity Index of Libyan Kaolin Treated by a Thermal Method " April 2013 .

## **المحور الثاني: مواد التشييد الملائمة للبيئة الصحراوية**

- 6- Mohamed -A-Aboubakar, A.M. Akash ,et " A Study on the Effect the addition of thermally treated Libyan Natural Pozzolan has on the Mechanical Properties of Ordinary Portland Cement Mortar " January 2013
- 7- Eshmaiel Ganjian ,et " Properties of sonochemically treated Libyan kaolin pozzolan clay " Coventry University.
- 8- Mohamed A Aboubakar, A.M. Akash ,et " Influence of Treatment Tarot Kaolin by Thermal Method on Hard and Fresh Properties of Cement Mortar" April 2013 .
- 10- إبراهيم الحضيري ، أ.د.عبدالسلام عكاشه " الإنكماش في الخرسانة البوزلانية " المؤتمر الوطني السادس لمواد البناء ، 2014 .
- 11- وسام أبوالقاسم " خصائص الإسمنت الخليط بمخلفات الآجر المحلي المطحون " الأكاديمية الليبية - طرابلس ، سبتمبر 2012
- 12- المواصفة القياسية الليبية رقم 470 " الإسمنت البناء البورتلاندي " 2002 .
- 13- موقع فيسبوك : الفريق البحثي لتطوير الخرسانة باستخدام البوزيلانا المحلية Team Work For Deve
- 14- American Society for Testing and Materials "ASTM C618-03 : Standard Specification for Coal Fly Ash and Raw or Calcined Natural Pozzolan for Use in Concrete" 2003 .
- 15- American Society for Testing and Materials "ASTM C157-03 : Standard Test Method for Length Change of Hardened Hydraulic-Cement Mortar and Concrete" 2003 .
- 16- K. al-nnas, "Study on the physico-chemical properties of local clay and its applications", M.Sc thesis, Faculty of Science, Sebha university, Libya, (2007).
- 17- Libyan mining company, "Kaolin clay deposits in Libya", Website: [www.libyanminingco.com.](http://www.libyanminingco.com.), (2004) .
- 18- Industrial Research Center, "Raw materials in Sebha and Wadi Shatti regions", Industrial Research Journal, Tripoli, Libya, 7, 126-138, (1998) .
- 19 – Akasha and H. Abdussalam, "Using of south local Libya pozzolana as blended cement", proceedings, 3rd International Conference of Building Materials and Structural Engineering, 7 October University, Musurata, Libya, (2006).
- 20 – Akasha, M. Shoib and H. Abdu-Alsalam, "Utilization of some deposited clay in south Libya as a pozzolanic material", 7th International congress, 4-6 September, (2007), Dundee, Scotland, UK.
- 21 – Akasha, and H. Abdussalam, "Using of south Libya pozzolana as replacement cement", proceedings of 8th International Conference on Concrete Technology in Developing Countries, Hammamat, Tunis, November 8-9, (2007) .

### دراسة الخصائص الانسيابية للأسفلت المعدل ببوليمر الأكريليت وجسيمات أكسيد الألومنيوم النانوية في درجات الحرارة العالية

فرج طيوش<sup>1</sup> ، منصور بن مسكن<sup>2</sup> ، و شعبان إسماعيل البرك<sup>3</sup> ، محمد مباركي<sup>4</sup>

<sup>1</sup>قسم الهندسة المدنية، المعهد العالي للعلوم والتكنولوجيا، الشاطئ، ليبيا

<sup>2</sup>قسم الهندسة المعمارية وتخطيط المدن، كلية الهندسة ، جامعة وادي الشاطئ، ليبيا

<sup>3</sup>قسم الهندسة المدنية، كلية الهندسة والعلوم البيئية، جامعة الشرق الأدنى، قبرص الشمالية

<sup>4</sup>قسم الهندسة المدنية ، كلية الهندسة ، جامعة جازان ، المملكة العربية السعودية

#### الملخص

تهدف هذه الدراسة إلى تقييم وتصنيف خواص الإسفلت المعدل تحت درجات الحرارة العالية، أكريلونيتريل ستايرين Nano Acrylate Styrene Acrylonitrile ( ) بوليمر و جسيمات نانو أكسيد الألومنيوم Oxide Aluminum تم إضافتها إلى الأسفلت بنسبة 3 و 5 و 7% من وزن الأسفلت لتقدير الخصائص الانسيابية، تم الأخذ بعين الاعتبار اختبار التخزين في درجات الحرارة العالية واختبار الزوجة و امتداد التردد. أظهرت النتائج أن إضافة بوليمر والجسيمات الألومنيوم النانوية إلى خليط الأسفلت له تأثير كبير على الخصائص الانسيابية للإسفلت في درجات الحرارة العالية. بالإضافة إلى ذلك ، تبين أن التوافق بين الإسفلت والمعدلات المستخدمة جيد في حالة التخزين في درجات الحرارة العالية. علاوة على ذلك، عند إضافة المعدلات إلى خليط الأسفلت لوحظ زيادة في معدل الصلابة للعينات مع زيادة نسبة المعدل لكلا المعدلين، وكانت نسبة التحسن بحوالي 63.70% لـ 5% لبوليمر ، و 71.12% لـ 5% من جسيمات الألومنيوم عند 75 درجة مئوية. وعلاوة على ذلك، فإن النتائج تشير إلى أن الإسفلت المعدل يظهر مقاومة كبيرة للتسلق في درجات الحرارة العالية ، وكانت نسبة التحسين تصل إلى 59 و 80% لكل من تركيز 5% من المعدلين على التوالي. ووجد أيضاً أن استخدام البوليمر وجسيمات الألومنيوم النانوية قادر على التقليل من مشاكل التي يتعرض لها الإسفلت في درجات الحرارة العالية ، ويعتبر 5% المحتوى الأمثل لكلا المعدلين.

**الكلمات المفتاحية:** بوليمر ASA ، وجسيمات Al2O3 النانوية ، ومقاييس انسيابية القص الديناميكي ، وزحف الإجهاد المتعدد والتعافي.

#### 1- المقدمة

الأسفلت عبارة عن مادة تدعيم ذات لونبني غامق إلى أسود، والذي يتواجد في الطبيعة أو يستخلص من معالجات البترول، فيعتبر الأسفلت سائل لزج أو صلب يتكون أساساً من الهيدروكربونات ومشتقاتها ، والتي تنوب في ثاني كبريتيد الكربون [1]. كما تم استخدام مادة الأسفلت على نطاق واسع في إنشاء الطرق السريعة وشبكاتها ، حيث أن الإسفلت قادر على مقاومة الضغوط بسبب أحصار المرور ودرجة الحرارة [2]. ونظرًا لحساسية الأسفلت لدرجات الحرارة ، فيجب تحسين أدائه في كلا من درجات الحرارة المنخفضة والمتوسطة والعالية. لذلك ، بعد تعديل الأسفلت ضروريًا لتحسين أداء المواد المستخدمة في بناء الطرق [3-5]. هناك عدة أنواع من معدلات الإسفلت ، بما في ذلك المطاط والكربون والبوليمرات والألياف والمواد النانوية [3 ، 6 ، 7]. تحتاج الطرق الحديثة إلى أداء أفضل في ظل كثافة حركة المرور

## **المحور الثاني: مواد التشييد الملائمة للبيئة الصحراوية**

العالية والأوزان الزائدة مقارنةً بالطرق السابقة. يوفر تطبيق الأسفلت المعدل طريقة واعدة لتحسين مزيج الأسفلت [8]. لقد لوحظ لفترة طويلة أن استخدام الإسفلت المعدل بالبوليمرات يحقق أداءً أفضل للإسفلت ، كما أن محتوى البوليمر في الخلطة الإسفاتية وخصائصه يلعبان دوراً مهماً في تعزيز خصائص الأسفلت. تم استخدام المضافات البوليمرية مثل البوليمرات المشتركة للكتل أو المطاط الفئات أو البوليمرات المعاد تدويرها على نطاق واسع لتعزيز خصائص الأسفلت أثناء الخدمة. لذلك ، يجب أن تكون المواد المضافة لخلط الإسفلت قادرة على تحسين خصائص الموثق في درجات حرارة الخدمة المنخفضة والمتوسطة والعالية. علاوة على ذلك ، عند استخدامها كمعدلات للأسفلت ، يجب أن تكون البوليمرات المختارة متوافقة مع الإسفلت في الخليط مع معدات الخلط التقليدية ، ويمكن أن تستمر في الحفاظ على خصائصها الرئيسية. كما تشمل البوليمرات الأكثر استخداماً في جميع أنحاء العالم على 75% من الإسفلت المعدل بالمطاط الصناعي ، و 15% من البلاستومر و 10% تنتهي إما إلى فئات المطاط أو تعديلات أخرى (9 ، 10 ، 11). يمكن تقسيم البوليمرات التي تم استخدامها كمعدلات للأسفلت إلى فئتين ، وهما (1) اللدائن مثل فئات المطاط (CR) والستايرين بوتايدن ستيرين (SBS) ، و (2) اللدائن مثل البولي إيثيلين (PE) والإيثيلين أسيتات الفينيل (EVA). تعمل معدلات اللدائن المرنة في الإسفلت على تحسن الأداء في درجات حرارة الخدمة المنخفضة والعالية ، في حين تُعرف البلاستومرات بالمعدلات الفعالة في درجات حرارة الخدمة المرتفعة [12 - 13]. العيب الرئيسي لتعديل الأسفلت بالبوليمرات هو الإنفصال أثناء التخزين المطول في درجات الحرارة العالية. وللتغلب على هذه العيوب تم حالياً دمج تقنية جسيمات النانو في مجال الإسفلت، حيث يتم استخدام أنواع مختلفة من الجسيمات النانوية لتعديل خلطات الإسفلت. لقد وجد أن المواد النانوية قادرة على تحسين أداء الخلطات الإسفاتية. إن الإسفلت المعدل بطبقة النانو يمكن أن يقلل من معدل الفشل بسبب الضغط ويزيد من صلابة الأسفلت الغير معدل. علاوة على ذلك ، فإن إضافة جسيمات النانو تعمل على التقليل من ضرر الرطوبة لمزيج الإسفلت [15,14] علاوة على ذلك ، فإن استخدام مواد الأنابيب النانوية أحادية الجدار لتعديل الإسفلت يوضح أن درجة أداء الإسفلت المعدل تزداد ، ومعدل المرونة لمعامل الأسفلت الغير المعدل أقل من الإسفلت المعدل [16]. بناءً على الدراسة التي قدمها [14] باستخدام نانوسيليكا (Nano silica) لتعديل الأسفلت ، وجدوا أن إضافة جسيمات السيليكا تقلل قليلاً من معدل لزوجة الإسفلت الأساسي. وتلعب قيم اللزوجة المنخفضة والعالية للأسفلت دوراً مؤثراً في تحديد درجات حرارة الخلط والدمك. علاوة على ذلك ، فإن إضافة جسيمات السيليكا قادرة على تقليل وتأخير عملية التقادم للأسفلت. يمكن أن يؤدي تعديل الإسفلت باستخدام البوليمرات والجسيمات النانوية إلى تحسين الأداء العام والمتانة والخصائص الفيزيائية للأسفلت [12-18].

### **2- التجارب المخبرية**

#### **1.2 المواد المستخدمة**

الأسفلت الأساسي المستخدم في الدراسة هو 70/60 نسبة درجة الإختراق، بينما البوليمر هو الأكريليت (Acrylate) ومواد النانو هو جسيمات أكسيد الألومنيوم (Nano Aluminum Oxide) موردة من شركة في الصين. الخصائص الفيزيائية للأسفلت الأساسي والبوليمر وجسيمات النانو موضحة في الجدول 1.

**(الجدول 1) الخصائص الفيزيائية للأسفلت الأساسي والبوليمر وجسيمات النانو**

المواد	الخصائص	رقم الإختبار	النتائج
--------	---------	--------------	---------

## المحور الثاني: مواد التشييد الملائمة للبيئة الصحراوية

1.03	ASTM D70	الكتافة النسبية	أسفلت 70/60
70	ASTM D5	درجة الإخترار	
46.0	ASTM D36	درجة الليونة	
0.5	ASTM D4402	اللزوجة	
≥125	ASTM D113	الإستطالة	
0.30	-	الكتافة النسبية	البوليمر
2	-	الحجم	
مسحوق	-	الشكل	
40	-	الحجم	جسيمات النانو
مسحوق	-	الشكل	

### 2.2 - طريقة إعداد العينات

تم تحضير العينات المعدلة في هذه الدراسة باستخدام طريقة المزج المنصهر بإضافة 3 ، 5 و 7% من وزن الأسفلت من كلا المعدلين (البوليمر وجسيمات النانو) إلى الأسفلت. في البداية تم تسخين الأسفلت حتى تحول إلى سائل ثم إضافة النسب المطلوبة من المعدلات و باستخدام خلط المزج العالي، تمت عملية الخلط عند درجة حرارة 170 درجة مئوية ( $\pm 1$  درجة مئوية) وبسرعة خلط 5000 دورة في الدقيقة لمدة 90 دقيقة، لإنتاج مخاليط أسفلت متجانسة.

### 3.2 اختبار الزوجة

تم استخدام جهاز مقياس الزوجة البروكفيلا في هذه الدراسة لتحديد لزوجة الأسفلت الغير معدل و عينات الأسفلت المعدلة. تم استخدام المغزل رقم 27 بسرعة دوران تبلغ 20 دورة في الدقيقة وفقاً لمعايير اختبار السوبريف [14] تم تدوين ثلاثة قراءات لكل من درجات حرارة الاختبار ، وتم اختيار متوسط القيم كنتيجة نهائية للإختبار. لقد تم إجراء الاختبار تحت درجات حرارة 135 درجة مئوية و 165 درجة مئوية لجميع العينات.

### 4.2 اختبار التخزين في درجات الحرارة العالية

تم قياس ثبات تخزين الأسفلت الأساسي والإسفلت المعدل بحسب العينات في أنبوب رقائق الألومنيوم بارتفاع 16 سم وقطر 3 سم. وبعدها تم إغلاق أنابيب الرقائق وتخزينها عمودياً عند درجة حرارة  $163 \pm 5$  درجة مئوية في فرن لمدة 48 ساعة. ومن ثم تم تبريدها بعد ذلك في درجة حرارة -7 و تقسيمها أفقياً بعد التبريد إلى ثلاثة أجزاء متساوية. تم استخدام العينات المستخرجة من المقاطع العلوية والسفلى لتقدير القدرة على التخزين في البوليمر وجسيمات النانوية المعدلة للأسفلت عن طريق تحديد نقاط التلين للمقاطع. إذا كان الفرق بين الأجزاء العلوية والسفلى أقل من 2.5 درجة مئوية ، فإنه يتم اعتبار أن العينات تتمتع بقدرة تخزين جيدة في درجات الحرارة العالية أي مستقرة. أما إذا كانت نقاط التلين تختلف بأكثر من 2.5 درجة مئوية ، فسيتم اعتبار عينات الأسفلتي المعدل ليس لها القدرة على التخزين في درجات الحرارة العالية أي غير مستقرة [15].

### 5.2 خصائص الانسيا比ة

يستخدم مقياس القص الديناميكي (Dynamic Shear Remoter) لإختبار الخصائص الانسيا比ة للأسفلت ، بما في ذلك معامل الصلابة ( $G^*$ ) ومعامل المرونة ( $\delta$ ) عند درجات حرارة الاختبار التي تتراوح من المتوسط إلى العالي. يمكن استخدام هذه المعايير لتوصيف السلوكيات اللزجة والمرنة للرابط الإسفلتي. تعتمد قيم  $*G$  و  $\delta$  للأسفلت بشكل كبير على درجة حرارة الاختبار وعدد مرات التحميل (وزن المرور). في هذه الدراسة ، تم استخدام مقياس Thermo Electron Corporation Rheometer HAAKE Rheo Stress 600 لتقييم الخصائص

## المحور الثاني: مواد التشييد الملائمة للبيئة الصحراوية

الانسيابية لدرجات الحرارة العالية للأسفلت العادي والمعدل باستخدام اختبار التردد المتغير. تم استخدام الترددات في النطاق من 1 إلى 100 رadian/ثانية (0.159-15 رترن)، تحت درجة الحرارة  $45^{\circ} \text{C}$  حتى  $75^{\circ} \text{C}$  درجة مئوية. فيما يتعلق بـ DSR ، تم استخدام مستويين مختلفين من الإجهاد 100 Pa و 3200 Pa ، وتم إجراء الاختبار عند درجة حرارة 65 درجة مئوية. علاوة على ذلك ، تم استخدام عمود دوران بقطر 25 مم مع فجوة 1 مم في كل الاختبارين.

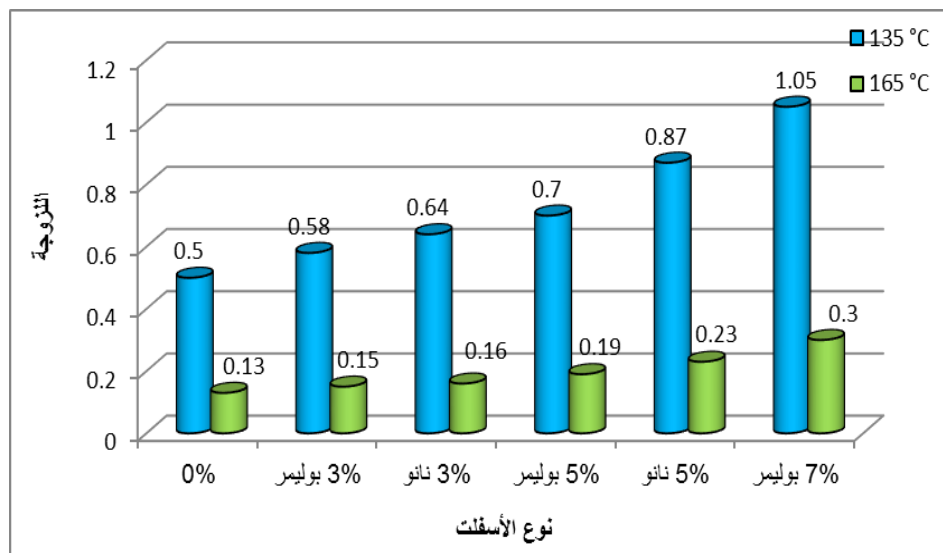
### 3. مناقشة النتائج

#### 1.3 تأثير درجات الحرارة العالية على الزوجة

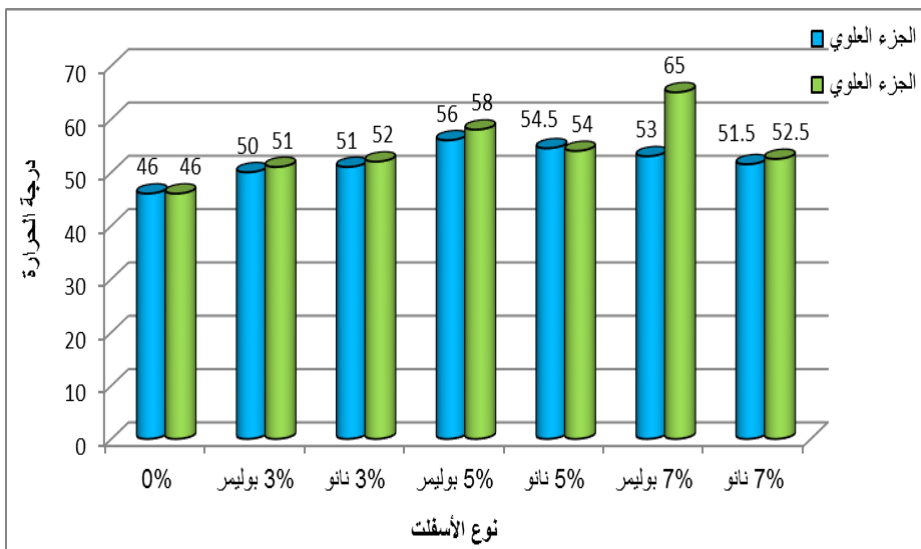
يظهر تأثير زيادة التركيز ودرجة الحرارة على لزوجة الأسفلت المعدل بالبوليمر وجزيئات النانو في الشكل 1. من النتائج وبغض النظر عن التركيز ، من الواضح بأن الزوجة الإسفليت المعدل تتناقص مع زيادة درجة الحرارة ، وقد لوحظ هذا السلوك أيضاً في الأسفلت الأساسي (الغير معدل). بزيادة نسبة تركيز البوليمر والجسيمات النانوية يؤدي إلى زيادة لزوجة الإسفليت بشكل كبير، مما يعني زيادة سمك الإسفليت وتغطية الركام بشكل أفضل في خليط الأسفلت.

#### 2.3 قدرة التخزين في درجات الحرارة العالية

وفقاً لاختلاف في الكثافة بين رابط الإسفليت والبوليمر ، فإنه من المرجح أن يحدث الإنصال في الإسفليت المعدل بالبوليمر أثناء التخزين في درجات الحرارة المرتفعة. وفي الوقت نفسه ، فإن الحجم الصغير للجسيمات النانوية يمنحك القدرة على أن تكون قابلية التشغيل والتواافق كبيرة جداً. ومع ذلك ، قد يحدث تكتل في الجزيئات النانوية في الخليط الإسفليتي. نتائج عينات القدرة على تخزين الأسفلت الأساسي والمعدل موضحة في الشكل 2. من الشكل 2 يمكن القول بأن الاختلاف في نقاط التلين بين الأسفلت الأساسي والمعدل كانت تصل إلى 12 درجة مئوية. علاوة على ذلك ، تعزيز نقطة التلين للإسفليت المعدل يعني أن الإسفليت أصبح أكثر صلابة من الأسفلت الأساسي. بالإضافة إلى أن الفرق بين الجزء العلوي والسفلي.



(الشكل 1). لزوجة الأسفلت المعدل بالبوليمر وجزيئات النانو



(الشكل 2). قابلية القدرة على التخزين للأسفلت الأساسي والمعدل

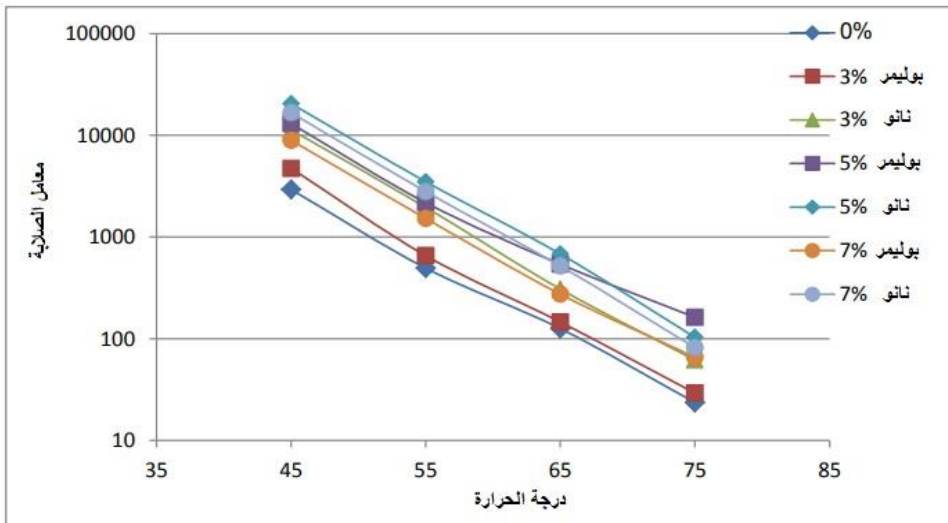
للأسفلت المعدل بالبوليمر أقل من 2.5 درجة مئوية للنسبة 3 و 5 % ، مما يعني أن الأسفلت المعدل بالبوليمر كان مستقرًا أثناء التخزين في درجات حرارة عالية. وفي الوقت نفسه ، بالنسبة لتركيز البوليمر 7 % ، فإن الفرق بين الجزئين السفلي والعلوي أكبر من القيمة المسموح بها، مما يعني حدوث طور الفصل بين الأسفلت الأساسي والبوليمر عند زيادة تركيز البوليمر في خليط الأسفلت. يظهر الإسمنت الأسفلتي باستخدام الجزيئات النانوية أن جميع الأسفلت المعدل تتمتع عيناته باستقرار تخزين كبير في درجات حرارة عالية نظرًا لاختلافات بين القيمة والمقاطع السفلية أقل من 2.5 درجة مئوية. على العكس من البوليمر لوحظ أن النانو على الرغم من أن 7 % منه لا يزال مستقرًا ، فإن الفرق في الجزئين العلوي والسفلي مقارنة بـ 5 % مما يعني أن التكثيل بين الجسيمات النانوية بدأ يحدث مع زيادة تركيز الجسيمات في الخليط الأسفلتي. بشكل عام، فإن عينات الأسفلت المعدل بجزيئات النانو أظهرت قدرة تخزين عالية مقارنةً بعينات الأسفلت المعدلة بالبوليمر.

### 3.3 تأثير درجات الحرارة العالية على خصائص الإنسيب

#### 1.3.3 مخطط الايزوكورنال (Isochronal Plot)

تعرف بعض متغيرات اللزوجة والمرنة ، مثل معامل الصلابة أو معامل المرنة مقابل درجة الحرارة بتردد ثابت أو وقت التحميل على أنها مخطط الايزوكورنال. وهكذا ، الخصائص الريلوجية يمكن تمثيل ببيانات عبر نطاق واسع من درجات الحرارة عند تردد معين باستخدام مخطط الايزوكورنال. مخطط الايزوكورنال لمعامل الصلابة ( $G^*$ ) مع درجة الحرارة (درجة مئوية) عند تردد 1 راد / ثانية (0.159 هرتز) موضح في الشكل 3. إن الزيادة في قيمة  $G^*$  للأسفلت المعدل مماثل لزيادة اللزوجة. من النتائج لوحظ أن قيمة  $G^*$  تتزايد بشكل ثابت لجميع الخلطات الإسفنتية المعدلة مقارنةً بالأسفلت الأساسي الغير معدل ، وكان أفضل أداء للأسفلت المعدل هو إضافة 5 % من البوليمر و 5 % للجسيمات النانوية. أعلى قيمة  $G^*$  هي أكثر مقاومة لعامل التشوه ، وبالنسبة لتركيز 7 % من البوليمر وجزيئات النانو المعدلة تظهر انخفاضًا طفيفًا في قيمة  $G^*$  كنتيجة لطور الإنصال والتكتل على التوالي.

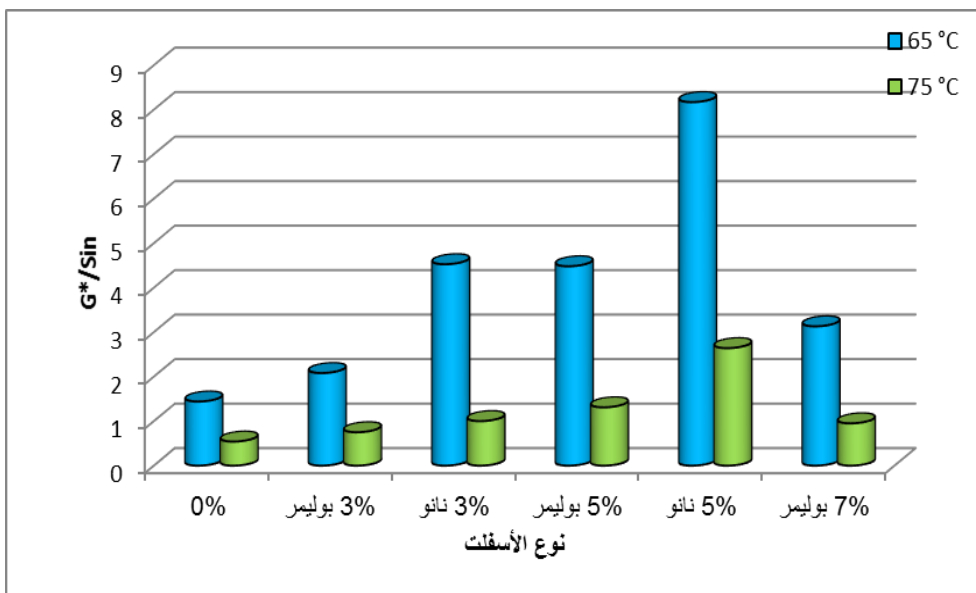
## المحور الثاني: مواد التشييد الملائمة للبيئة الصحراوية



(الشكل 3). مخطط الايزوكورنال لمعامل الصلاة للأسفالت الأساسية والمعدل بالبوليمر وجسيمات النانو

### 2.3.3 تأثير درجة الحرارة على عامل التشوه الدائم

في طريقة السوبر بيف ، قيمة  $\delta G^*/\sin \delta$  هي المعيار المستخدم لتقدير الثابت للتشوه الدائم في الإسفلت. تحدد مواصفات السوبر بيف قيمة دنيا 1.0  $L \text{ KPa}/G^*/\sin \delta$  للأسفالت الأساسية عند درجة حرارة الأداء. يوضح الشكل 4 عامل التشوه للأسفالت الأساسية والمعدل. يمكن إدراك أن إضافة كلا المعدلين لديها القدرة على زيادة مقاومة الأسفلت بشكل كبير ضد التشوه الدائم. تحصل الأسفلت الأساسية على أقل قيمة  $L \text{ } \delta G^*/\sin \delta$  ، بينما 5% له أعلى قيمة  $L \text{ } \delta$  بين جميع العينات المختبرة. ويلاحظ أن بزيادة تركيز كلا المعدلين ، مقاومة الإسفلت لعامل التشوه زادت بنسبة تصل إلى 5%. بينما 7% يظهر سلوك مختلف حيث تقل قيمة  $\delta G^*/\sin \delta$  بشكل طفيف بسبب عدم التوافق بين الإسفلت والبوليمر مما يؤدي إلى الإنصال بين الأسفلت والمعدل، بينما التكثيل هو السبب الرئيسي لنقص مقاومة التشوه بالنسبة لجسيمات النانو.



(الشكل 4). معامل التشوه للأسفالت الأساسية والمعدل بالبوليمر وجسيمات النانو

### 4. الخاتمة

أجريت الدراسة لتقييم خصائص الأسمنت الإسفلتي المعدل ببوليمر ASA وجزيئات Al<sub>2</sub>O<sub>3</sub> النانوية في درجات حرارة عالية باستخدام اختبار الزوجة وختبار ثبات التخزين وختبار اكتساح التردد وختبار MSRC. يمكن استخلاص الاستنتاجات التالية بناءً على النتائج التي تم الحصول عليها:

- تزداد قيم الزوجة للأسمنت الإسفلتي المعدل مع زيادة تركيز المعدل ، وكانت جميع قيم الزوجة ضمن نطاق المواصفات.
- يمكن تخزين الأسمنت الإسفلتي المعدل في درجات حرارة عالية ، وخاصة الأسمنت الإسفلتي المعدل مع جزيئات Al<sub>2</sub>O<sub>3</sub> النانوية. وفي الوقت نفسه ، فإن بوليمر ASA قادر على تخزين ما يصل إلى 5% ASA. • قيم G \* و G \* sin δ لها أعلى قيمة بين الأسمنت الإسفلتي المعدل مما يعني أداء أفضل للأسمنت الإسفلتي المعدل فيما يتعلق بمقاومة التمزق.
- أظهرت نتائج اختبار MSRC استرداداً رائعاً للزحف للأسمنت الإسفلتي المعدل مقارنة بأسمنت الأسفلت الأساسي. تشير النتائج إلى زيادة صلابة الأسمنت الإسفلتي المعدل. إلى جانب ذلك ، وجد أن الأسمنت الإسفلتي المعدل تأثر بشدة بالمعدلات من 3٪ إلى 5٪ ، وانخفاض التحسن بنسبة 7٪ ، لكنه لا يزال أفضل من الأسمنت الأسفلت الأساسي.
- بشكل عام ، فإن تعديل الأسمنت الإسفلطي باستخدام بوليمر ASA وجزيئات Al<sub>2</sub>O<sub>3</sub> النانوية له تأثيرات ملحوظة على خصائص الأسمنت الإسفلطي. علاوة على ذلك ، تُظهر العينات المعدلة مع الجسيمات النانوية Al<sub>2</sub>O<sub>3</sub> نتائج أفضل من العينات التي تحتوي على بوليمر ASA ، ويمكن اعتبار 5٪ المحتوى الأمثل لكلا المعدلين.

### المراجع والمصادر.

- [1] Lesueur, D. (2009). The colloidal structure of bitumen: Consequences on the rheology and on the mechanisms of bitumen modification. *Advances in colloid and interface science*, 145(1-2), 42-82.
- [2] البركة ، ش،!، إسماعيل ، أ، يحيى ، ح، لدين ، م.أ. (2014). تطبيق Transyt-7f في شبكات تقاطعات الطرق ذات الإشارات في شاه علم وبيتلنج جايا. مجلة جورنال تكنولوجى 69 (2):
- [3] Fang, C., Yu, R., Liu, S., & Li, Y. (2013). Nanomaterials applied in asphalt modification: a review. *Journal of Materials Science & Technology*, 29(7), 589-594.
- [4] Fang, C., Yu, R., Liu, S., & Li, Y. (2013). Nanomaterials applied in asphalt modification: a review. *Journal of Materials Science & Technology*, 29(7), 589-594.
- [5] Fu, H., Xie, L., Dou, D., Li, L., Yu, M., & Yao, S. (2007). Storage stability and compatibility of asphalt binder modified by SBS graft copolymer. *Construction and Building Materials*, 21(7), 1528-1533.
- [6] Yao, H., Yu, Z., Lee, L., Lee, S.H., Wingerd, D., Yap, Y.K., Shi, X, and Gu, S.E. (2012). Rheological properties and chemical bonding of nanosilica modified asphalt. *Journal of Materials in Civil Engineering* 25 (11): 1619-1630
- [7] Zare-Shahabadi, A., Shokuhfar, A., & Ebrahimi-Nejad, S. (2010). Preparation and rheological characterization of asphalt binders reinforced with layered silicate nanoparticles. *Construction and Building Materials*, 24(7), 1239-1244.

## المحور الثاني: مواد التشييد الملائمة للبيئة الصحراوية

- [8] Lu, X., & Isacsson, U. (2000). Modification of road bitumens with thermoplastic polymers. *Polymer testing*, 20(1), 77-86.
- [9] مباركي ، م. (2015). تعزيز صلابة الرصيف الخرساني للمطار باستخدام قصير الأساسية. مجلة العلوم البحرية والتكنولوجيا ، 23 (3) ، 379-373
- [10] العامري، م، منصوريان ، أ، وشيخ متيفالي، أ.ه. (2013). التقييم المعملي للإيثيلينبنتومين والخلائط المعدلة من خلات الفينيل بناءً على معايير الأداء. مجلة المواد في الهندسة المدنية 40: 447-438.
- [11] حبيب ، ن.ر ، قمر الدين، إ، نبيهه، م. وعيسي، م.ت. (2011). تأثير اللدائن الحرارية البوليمرات المشتركة على البنية المجهرية وسلوك المرونة للزجة للقار. وقائع منتدى ومؤتمرات أبحاث النقل بالجامعات الماليزية.
- [12] الحديدی ، أ.وی-کیو ، ت. (2009). النهج الميكانيکی لمادة البولی بروپیلن کمعدل للأرصفة المرونة. مجلة المواد والتصميم 30 (4): 1140-1133
- [13] Kök, B. V., & Çolak, H. (2011). Laboratory comparison of the crumb-rubber and SBS modified bitumen and hot mix asphalt. *Construction and Building Materials*, 25(8), 3204-3212.
- [14] معهد الأسفلت. كتاب كتيب الأسفلت. الطبعة السابعة. معهد الأسفلت؛ 2007
- [15] Zhang, F., and Yu, J. Whan, J. (2011). Effects of thermal oxidative aging on the dynamic viscosity of SBS-modified asphalt and SBS-sulphurized asphalt. *Journal of Materials in Civil Engineering* 25 (1): 129-37.
- [16] Schimann, L., Schimann, A., Spetsyna, N. Wollbach, A.; (2011). Effects of nanocomposites on the rheological properties of high temperature asphalt. *Prosiding 58*
- [17] H., Yu, Z., Lee, L., Shi, X., Jo, C.E., Mellis-Bell, J., and Wingard, D. (2012). Performance asphalt binder blended with unmodified polymer modified nanoclay material. *Journal of Materials in Civil Engineering* 35 (159-170.)
- [18] Yu, Z., Mills-Bell, J., Foley, J.M., Roy, S., Odegaard, J.M., Day, K, and Joe, C.E. (2011). Nanoclay-modified asphalt materials: preparation and characterization. *Journal of Materials in Civil Engineering* 25 (2): 1072-1078.

### دراسة مدى تأثير كبريتات الصوديوم على الخرسانة المصنعة بمواد البناء المحلية

أ.د.حسن عبدالله<sup>2</sup>

م.أكرم التريكي<sup>1</sup>

[akram.altriki@gmail.com](mailto:akram.altriki@gmail.com)

[h.sagri@sabu.edu.ly](mailto:h.sagri@sabu.edu.ly)

1 معيد بقسم الهندسة المدنية جامعة صبراته

2 أستاذ بقسم الهندسة المدنية جامعة صبراته

#### الملخص

شهد العقدان الأخيران من القرن الماضي تطويراً ملحوظاً في صناعة الخرسانة وأصبح الشغل الشاغل للباحثين والماراكز البحثية المحافظة على الأداء الجيد للخرسانة وسلامة المنشآت الخرسانية والمنشآت الخرسانية المسلحة ضد الأوساط الخارجية المخربة؛ من خلال ما يعرف بتحسين ديمومة الخرسانة فإلى وقت ليس بالبعيد كان تقييم جودة الخرسانة من خلال مقاومتها الميكانيكية على الضغط دون الأخذ بالحسبان قرائن أخرى، لكن مع التطور العمراني السريع وتتنوعه؛ لم تعد مقاومة الضغط وحدها هي القرينة الأساسية المقيدة لجودة الخرسانة خصوصاً عندما تتعرض الخرسانة لأوساط كيميائية مخربة (حامضية، كبريتية). وبصورة عامة فإن هناك مصدرين اساسيين للكبريتات التي تهاجم الخرسانة وهما الكبريتات الموجودة في المياه الجوفية أو السطحية أو في التربة المحبيطة بالخرسانة وهذا ما يعرف بالكبريتات الخارجية. والكبريتات الموجودة ضمن المواد الداخلة في إنتاج الخرسانة كالرمل والحسى والاسمنت والماء والمضافات وهذا ما يعرف بالكبريتات الداخلية هجوم الكبريتات يسبب انخفاض مقاومة الضغط للخرسانة مما يسبب تدهور الهياكل الخرسانية، وشدة هذا التدهور تعتمد على كمية التركيز وقت التعرض لهذه الكبريتات، حيث إن أعمال الصيانة للمباني المعرضة لهجوم الكبريتات يكلف مبالغ طائلة.

ويختلف تأثير هجوم الكبريتات على خصائص الخرسانة باختلاف المواد الداخلة في الخلطة الخرسانية، وكذلك باختلاف الموقع الجغرافي والظروف البيئية بين بلد وآخر، لذلك فإن الأبحاث مازالت تنشر إلى وقتنا هذا لتفادي مشكلة هجوم الكبريتات وعلاجها، وبالتالي سنقدم في هذه الدراسة معلومات عن أداء الخرسانة المصنعة بمواد البناء المحلية تحت تأثير الكبريتات.

## **المحور الثاني: مواد التشييد الملائمة للبيئة الصحراوية**

ولتحقيق ذلك تم اعداد برنامج عملی مکثف تم من خلاله دراسة تأثير کبریتات الصودیوم على خواص الخرسانة من أهمها مقاومة الضغط ومقاومة الشد، وذلك بإضافة هذه الكبریتات إلى ماء معالجة الخرسانة وبتركيز مختلف وعمر العينات الخرسانية في محاليل الكبریتات ودراستها عند أعمار مختلفة للمعالجة عند (60, 90, 120) يوم.

أشارت نتائج الاختبارات أن مقاومة الضغط ومقاومة الشد للخرسانة تتحفظ بالنسبة للعينات المغمورة في محلول کبریتات الصودیوم وذلك بزيادة تركيز محلول الكبریتات ويتقدم العمر ولوحظ أن نسبة الامتصاص تزداد بزيادة نسبة تركيز کبریتات الصودیوم.

**كلمات دالة:** ديمومة الخرسانة، هجوم الكبريتات، خواص الخرسانة، مقاومة الضغط، مقاومة الشد

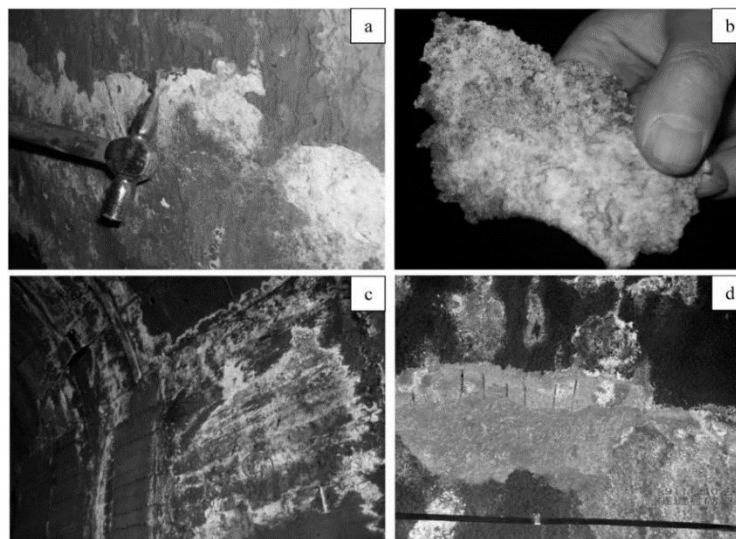
### **المقدمة:**

تعتبر الخرسانة والمواد التي تعتمد في تصنيعها على الاسمنت من أكثر مواد البناء المستعملة على مستوى العالم، والتي يمكن استعمالها في العديد من التطبيقات فوق او تحت مستوى سطح الأرض او تحت مستوى سطح البحر ، ومن أهم خصائص الخرسانة هي المتانة و مقاومة الضغط وقلة نفاذيتها و مقاومتها للبيئة العدائية كمقاومتها للكبريتات، والتي تتواجد في الطبيعة ومن أمثلتها کبریتات الصودیوم، کبریتات البوتاسيوم، کبریتات الكالسیوم وكبریتات المغذیسیوم والتي تتواجد في التربة ومياه البحر والمياه الجوفية، كما تستخدم الكبريتات على نطاق واسع في صناعة الأسمنت والتي قد تسبب تلوث التربة والمياه الجوفية.

هجوم الكبريتات من أكثر العوامل البيئية عدوانية والذي يؤثر على متانة الخرسانة على المدى البعيد وهجوم الكبريتات ينتج من عمليتين، الأولى عملية تفاعل ايونات الكبريتات مع هیدروکسید الكالسیوم، وينتج عن هذا التفاعل هیدرات کربونات الكالسیوم والذي يعرف بالجبس (gypsum)، ثانياً تفاعل ايونات الكبريتات مع هیدرات الومینات الكالسیوم وينتج عن هذا التفاعل سلفو الومینات الكالسیوم والذي يعرف بالاترینجایت (Ettringite) ونتائج هذه التفاعلات يكون ذو حجم أكبر من حجم المركبات الأصلية للخرسانة، مما ينتج عنه زيادة في حجم مكونات الخرسانة المتصلة وبالتالي حدوث تشوه وتفتت للخرسانة، ويسبب تغلغل ايونات الكبريتات عبر مسام الخرسانة والذي يحدث التفاعل الكيميائي لهذه الكبريتات مع المواد المكونة للخرسانة مما يؤدي إلى بداية تشوه وفقدان الخرسانة لمقاومتها [1].

## المحور الثاني: مواد التشييد الملائمة للبيئة الصحراوية

والضرر الذي يحدث في الخرسانة نتيجة لهجوم الكبريتات يمكن ان يكون داخلي لاحتواء المواد المكونة للخرسانة على الكبريتات، أو خارجي بسبب تعرض الخرسانة لبيئة عدوانية تحتوي على الكبريتات وكلاهما يسبب تشققات بالخرسانة، حيث تظهر الخرسانة المهاجمة من قبل الكبريتات بمظاهر مائل للبياض، كما أن الضرر يبدأ بالظهور عادة في حواف وأركان جسم الخرسانة ويتبعه تشققات وتشظي متزايد يجعل الخرسانة هشة سهلة التفت [2]. الشكل 1 يوضح الخرسانة تحت تأثير الكبريتات.



الشكل 1: الخرسانة تحت تأثير الكبريتات.

### البرنامج العملي

#### المواد المستخدمة

**الركام الناعم** -- استخدم في هذه الدراسة الرمل المورد من منطقة زليطن له وزن نوعي 2.62، حيث اجري اختبار التحليل المنخلي للرمل وكانت العينة مطابقة للمواصفات القياسية الليبية 2022/29 [3].

**الركام الخشن** -- الركام الخشن المستخدم في هذا البحث هو ركام محلّي حيث تم استخدام الركام المورد من منطقة وادي الحي، ومقاسه الاعتباري الاكبر 20 مم، وهو ركام حبيباته غير منتظمة الشكل وبه حبيبات ذات حواف كروية، حيث تم استخدامه كركام متدرج طبقاً للمواصفات القياسية الليبية [3]، وذلك عن طريق خلط مقاساته المختلفة (1.5, 1, 0.5) بنسبة (0.2:0.5:0.3) على التوالي.

## **المحور الثاني: مواد التشييد الملائمة للبيئة الصحراوية**

**الاسمنت** -- تم في هذه الدراسة استخدام الإسمنت البورتلاندي العادي نوع 42.5N من مصنع الاتحاد زليطن، ومطابق للمواصفات القياسية الليبية رقم 340/2009م.

**ماء الخلط** -- الماء المستخدم في هذه الدراسة ماء صنبور يصلح لتنفيذ الخرسانة ولم يتم استخدام أي إضافات كيميائية.

### **الخلطة الخرسانية**

بعد أن تم فحص المواد الأولية وهي (الاسمنت والماء والركام الناعم والركام الخشن) وبعد التأكد من صلاحيتها ومطابقتها

للمواصفات تم عمل الخلطة الخرسانية بحسب خلط 4:2:1 وبحتوى اسمنتى 320 كغم/م<sup>3</sup> وكانت نسبة الماء للإسمنت 0.6 وذلك لجميع العينات.

### **عملية الخلط واعداد العينات**

تم اعداد الخلطة الخرسانية وفقا للخلطة التصميمية السابقة حيث تم ضبط نسب الخلط لمكونات الخرسانة بدقة باستعمال ميزان الكتروني حساس حيث بدأت عملية الخلط بإضافة المواد الجافة للخلطة الكهربائية أولا ومن ثم تم إضافة ماء الخلط تدريجيا، واستمر الخلط لمدة 2 الى 4 دقائق بعد إضافة الماء، وبعد الانتهاء من عملية الخلط تم إجراء اختبار الهبوط للخرسانة اللينة، ومن ثم تم صب الخرسانة في قوالب حديدية مخصصة حسب نوع الاختبار والتي تم اعدادها وتقطيفها جيدا قبل الصب، حيث تم استخدام مكعبات حديدية ذات أبعاد (150x150x150) مم و (100x100x100) مم، واسطوانات ذات قطر 150 مم وارتفاع 300 مم، وبعد الانتهاء من عملية الصب تم تسوية أسطح القوالب ومن ثم تركت لمدة 24 ساعة في درجة حرارة الغرفة وبعدها غمرت جميع العينات الخرسانية بعد فكها من القوالب مباشرة في ماء صالح للشرب في درجة حرارة الغرفة، وتركت العينات لمدة 28 يوم لمعالجتها في المياه النقية وذلك محكاة ل الواقع حيث أنه يتم اخذ الاحتياطات الازمة لمعالجة الخرسانة قبل تعرضها للتربة والأوساط البيئية المخربة، وبعد ذلك تم اختبار العينات المرجعية وباقى العينات تم تقسيمها لمجموعات في مياه الغمر وهي عبارة عن محليلات كبيرة الصوديوم بتراكيز مختلفة كانت ( /l 12000 mg , 6000 mg , 1200 mg ) حيث تقارب هذه النسب

## **المحور الثاني: مواد التشييد الملائمة للبيئة الصحراوية**

المواصفات الأمريكية لتأثير الكبريتات على الخرسانة من ناحية التصنيف العادي والخطير والخطير جدا وكانت

المجموعات كما يلي:

**المجموعة 1** تم في هذه المجموعة غمر العينات الخرسانية في المياه النقية بدون أي إضافة للكبريتات وكانت هي العينات المرجعية وتم عمل عدد 12 مكعب مقاس (100×100×100) مم، وعدد 12 أسطوانة قطرها 150مم وارتفاعها 300مم وعدد 8 مكعبات مقاس (150×150×150) مم وتم اختبارها بعد (60, 90, 120) يوم.

**المجموعة 2** تم في هذه المجموعة إضافة 1200 mg/l من كبريتات الصوديوم لمياه الغمر للعينات الخرسانية حيث تم عمل عدد 9 مكعبات مقاس (100×100×100) مم، وعدد 9 أسطوانة قطرها 150مم وارتفاعها 300مم وعدد 6 مكعبات مقاس (150×150×150) مم وغمرها في محلول ومن ثم اختبارها بعد (60, 90, 120) يوم بعد 28 يوم من معالجتها في المياه النقية.

**المجموعة 3** تم في هذه المجموعة إضافة 6000 mg/l من كبريتات الصوديوم لمياه الغمر للعينات الخرسانية حيث تم عمل عدد 9 مكعبات مقاس (100×100×100) مم، وعدد 9 أسطوانة قطرها 150مم وارتفاعها 300مم وعدد 6 مكعبات مقاس (150×150×150) مم وغمرها في محلول ومن ثم اختبارها بعد (60, 90, 120) يوم بعد 28 يوم من معالجتها في المياه النقية.

**المجموعة 4** تم في هذه المجموعة إضافة 12000 mg/l من كبريتات الصوديوم لمياه الغمر للعينات الخرسانية حيث تم عمل عدد 9 مكعبات مقاس (100×100×100) مم، وعدد 9 أسطوانة قطرها 150مم وارتفاعها 300مم وعدد 6 مكعبات مقاس (150×150×150) مم وغمرها في محلول ومن ثم اختبارها بعد (60, 90, 120) يوم بعد 28 يوم من معالجتها في المياه النقية.

### **الاختبارات المتبعة**

في هذه الدراسة تم اجراء اختبار التحليل المنخلي على الركام الناعم والركام الخشن بما يوافق المواصفة القياسية الليبية رقم(49) [2]، وتم اجراء اختبار الهبوط للخرسانة اللدنة للخلطة مباشرة قبل أن يتم صبها في القوالب المعدة

## المحور الثاني: مواد التشييد الملائمة للبيئة الصحراوية

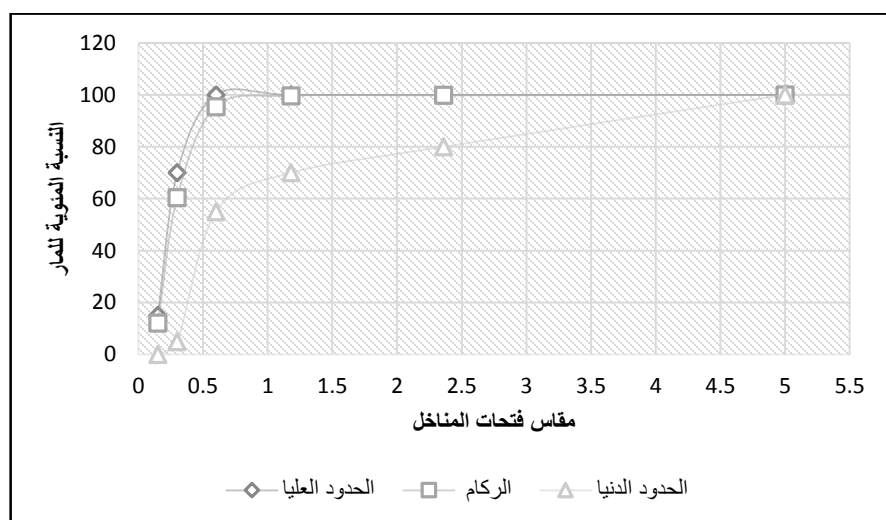
للصي، بالإضافة إلى أنه تم إجراء مجموعة من الاختبارات على عينات الخرسانة المرجعية والعينات المغمورة في محليل كبريتات الصوديوم بعد (120, 90, 60) يوم، وهي اختبار مقاومة الضغط واجري للعينات ذات مقاس (100×100×100) مم، وفقاً لطريقة الاختبار IS-516 [4] واختبار مقاومة الشد للعينات الاسطوانية والتي قطرها 150مم وارتفاعها 300مم، طبقاً للمواصفة ASTM 496-96 [5] بالإضافة إلى إجراء اختبار امتصاص الماء بالعمر للعينات ذات المقاس (150×150×150)مم.

### النتائج والمناقشة

#### التحليل المنخلي

الدرج الحبيبي للرمل المورد من منطقة زليطن، كما موضح في شكل 3، داخل حدود المواصفة القياسية الليبية

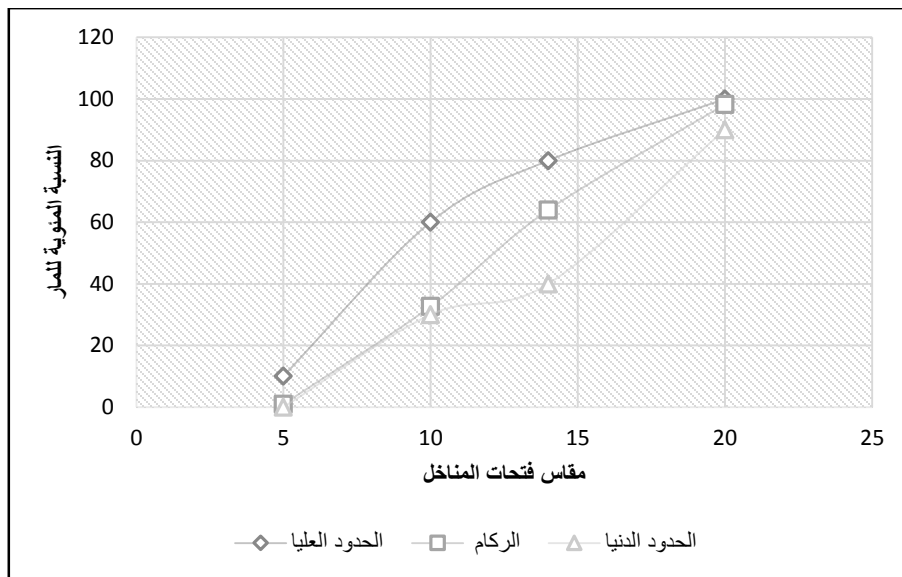
.[3] 2022/29



الشكل 3: الدرج الحبيبي للركام الناعم (زليطن)

وأيضاً كان الدرج الحبيبي للركام الخشن والمورد من منطقة وادي الحي كما موضح في شكل 4، داخل حدود

المواصفة القياسية الليبية رقم 29 [3].



الشكل 4: التدرج الحبيبي للركام الخشن (وادي الحي)

#### هبوط الخرسانة

الغرض من الاختبار تحديد قوام الخلطة الخرسانية بتعيين مدى هبوطها وبالتالي تعين القابلية التشغيلية للخرسانة، وذلك بعد تشكيلها على هيئة مخروط ناقص بواسطة استخدام قالب المخروط، وهو من أفضل الاختبارات لضبط جودة الخرسانة والتأكد من نسب مكونات الخلطة [6]، ويتم اجرائه بعد اخراج العينة من الخلطة الكهربائية مباشرة وفقا طريقة الاختبار ASTM C143/143M [7].

#### مقاومة الضغط

تعتبر مقاومة الضغط من أهم خواص الخرسانة المتصلدة، وهي تعبر عن درجة جودتها وصلاحيتها، وتعتبر المقاومة الألية للخرسانة حيث أن معظم الخواص والمقاومات الأخرى مثل الشد والانحناء والقص والتماسك مع حديد التسليح تتحسن وتزيد بزيادة مقاومة الضغط، وببيان الجدول (2) نتائج اختبار مقاومة الضغط للخرسانة المعرضة لكبريتات الصوديوم بتراكيز مختلفة ( 12000 mg/l , 6000 mg/l , 1200 mg/l ) وفي أعمار ( 120, 90, 60 ) يوم بعد تركها فترة معالجة 28 يوم، وتمت مقارنتها مع النتائج المرجعية وهي نتائج العينات المغمورة في ماء صالح للشرب حيث كانت مقاومة الضغط للعينات المرجعية بعد 28 يوم من المعالجة في ماء نقي كانت 46.86Mpa ووصلت مقاومة الضغط عند 120 يوم إلى 51Mpa وعند إضافة الكبريتات لماء المعالجة لوحظ انخفاض في مقاومة الضغط ويزداد هذا

## المحور الثاني: مواد التشييد الملائمة للبيئة الصحراوية

النقصان بزيادة تركيز المحلول ووصلت نسبة الانهفاض عند اقصى تركيز 12000 خلال 120 يوم الى 10.31% مقارنة بالعينات المرجعية.

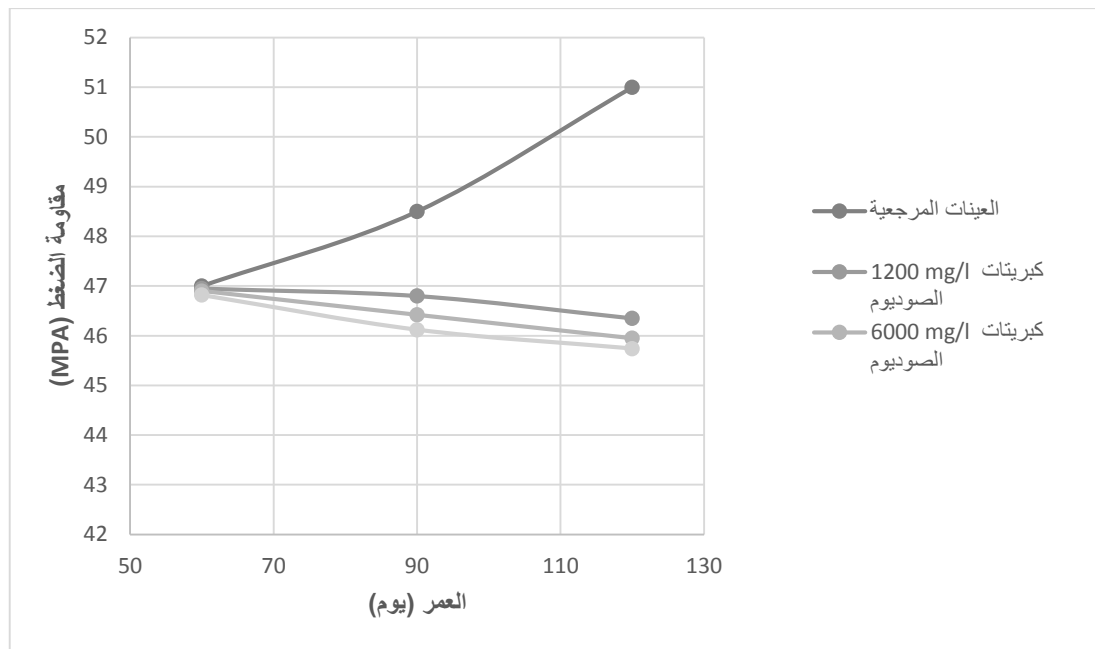
جدول 2: نتائج اختبار مقاومة الضغط للخرسانة المعرضة لكبريتات الصوديوم

نسبة النقصان (-) في مقاومة الضغط للعينات المعرضة للكبريتات مقارنة بالعينات المرجعية (%)			مقاومة الضغط للخرسانة Mpa			تركيز المحلول Mg/l	نوع الكبريتات
عند 120 يوم	عند 90 يوم	عند 60 يوم	عند 120 يوم	عند 90 يوم	عند 60 يوم		
---	---	---	51	48.5	47	0	كبريتات الصوديوم
-9.11	-3.50	-0.10	46.35	46.8	46.95	1200	
-9.90	-4.28	-0.21	45.95	46.42	46.90	6000	
-10.31	-4.90	-0.38	45.74	46.12	46.82	12000	

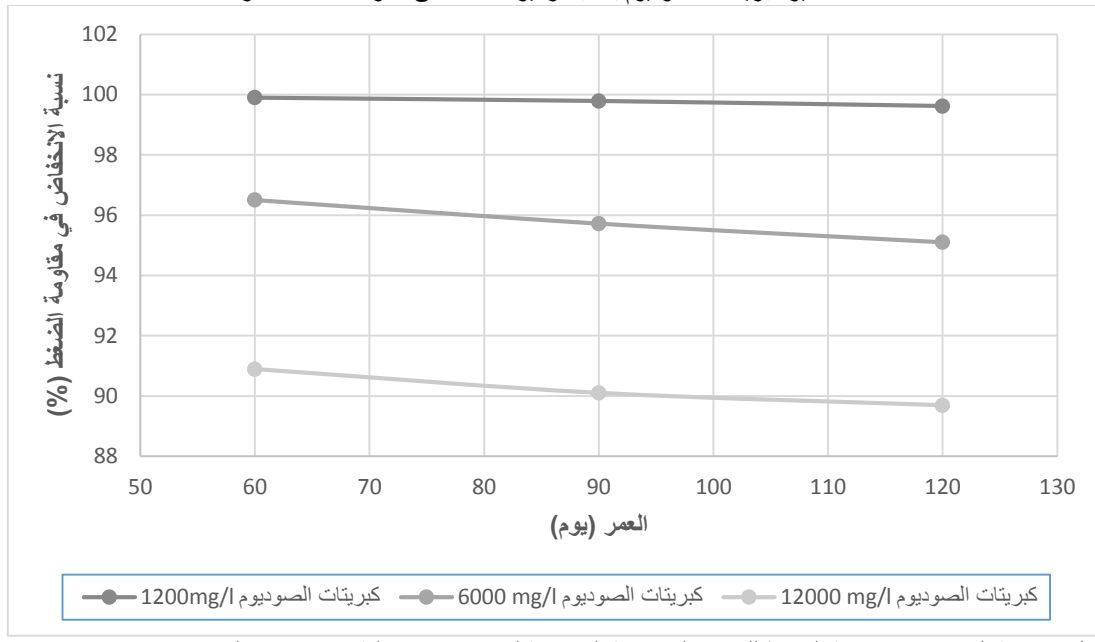
الملحوظ أيضاً من الشكل (5) والشكل (6) أن قيم مقاومة الضغط للعينات المرجعية زادت خلال الأعمار المختلفة ( 120, 90, 60, 28 ) يوم حيث وصلت قيم مقاومة الضغط ( 51Mpa, 48.5Mpa, 47Mpa, 46.86Mpa ) على التوالي للأعمار المذكورة أعلاه، وبلغت نسبة الزيادة في مقاومة الضغط عند أقصى مدة 120 يوم الى 8.86%. أما النتائج الأخرى للعينات المغمورة في محلول كبريتات الصوديوم ( NaSO<sub>4</sub> ) وبتركيز مختلف فإنه قد لوحظ تناقص في مقاومة الضغط بزيادة تركيز المحلول وزيادة العمر حيث انخفضت مقاومة الضغط عند تركيز ( 1200mg/l ) من 51Mpa الى 46.35Mpa عند أقصى مدة 120 يوم وكانت نسبة الانهفاض 9.11%، وعند تركيز ( 6000mg/l ) انخفضت مقاومة الضغط في عمر 60 يوم من 47Mpa الى 46.95Mpa بنسبة انهفاض 0.1% واستمرت بالانهفاض حيث وصلت الى 46.35Mpa في عمر 120 يوم، وبزيادة التركيز الى ( 12000mg/l ) استمرت مقاومة الضغط بالنقصان حيث وصلت القيم الى ( 45.74Mpa, 46.12Mpa, 46.82Mpa ) عند الأعمار ( 60, 90, 120 ) يوم

## المحور الثاني: مواد التشييد الملائمة للبيئة الصحراوية

على التوالي، وأبرز ما لوحظ من النتائج المتحصل عليها أن مقاومة الضغط تقل بزيادة تركيز محلول كبريتات الصوديوم وزنادة العمر لجميع العينات.



الشكل 5: تأثير كربونات الصوديوم بنسب تركيز مختلفة على مقاومة الضغط للخرسانة



شكل 6: نسبة النقصان في مقاومة الضغط للعينات الخرسانية المعرضة لنسب تركيز مختلفة من كربونات الصوديوم عند جميع الأعمار  
مقاومة الشد

## المحور الثاني: مواد التشييد الملائمة للبيئة الصحراوية

ان مقاومة الشد للخرسانة (سواء المباشر أو الغير مباشر) تعتبر ضعيفة إذا ما قورنت بمقاومتها للضغط، ويرجع ذلك لكونها مادة قاسية (Brittle)، والاهتمام بها ظهر نتيجة لحدوث التشققات والشروخ في المناطق التي تتعرض للشد في الخرسانة بسبب ضعف مقاومتها للشد، ويظهر الجدول 3 نتائج اختبار مقاومة الشد للخرسانة المعرضة لمحلول كبريتات الصوديوم بتراكيز مختلفة (12000 mg/l, 1200 mg/l, 6000 mg/l) وفي أعمار (60, 90, 120) يوم بعد تركها فترة معالجة 28 يوم وتمت مقارنتها مع النتائج المرجعية.

جدول 3: نتائج اختبار مقاومة الشد للخرسانة المعرضة لكبريتات الصوديوم

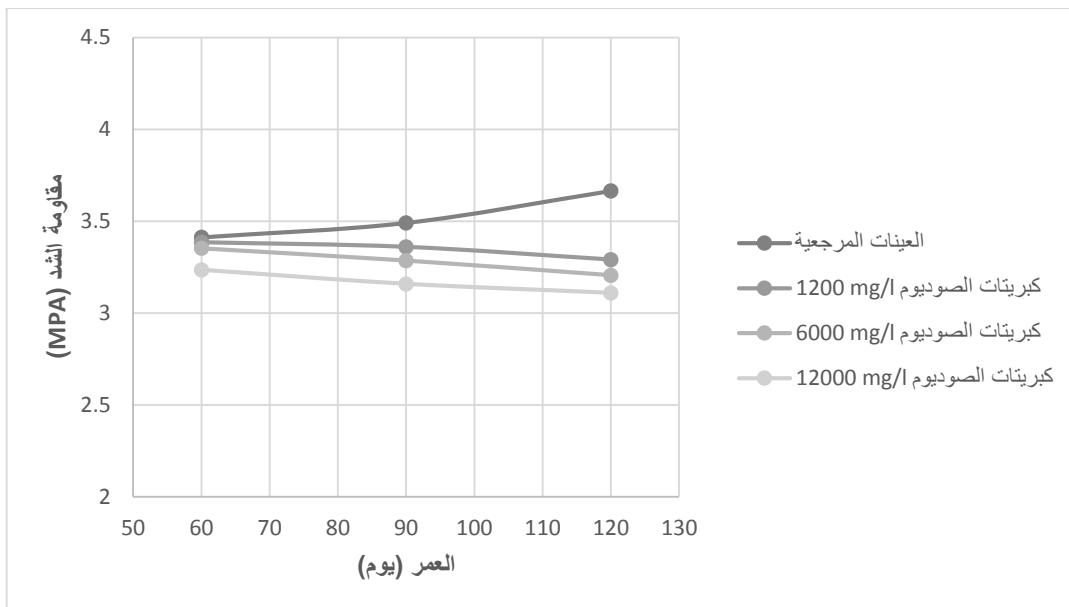
نسبة النقصان (-) في مقاومة الشد للعينات المعرضة للكبريتات مقارنة بالعينات المرجعية (%)			مقاومة الشد للخرسانة Mpa			تركيز محلول Mg/l	نوع الكبريتات
عند 120 يوم	عند 90 يوم	عند 60 يوم	عند 120 يوم	عند 90 يوم	عند 60 يوم		
---	---	---	3.665	3.491	3.412	0	الصوديوم
-10.20	-3.75	-0.79	3.291	3.360	3.385	1200	
-12.52	-5.87	-1.73	3.206	3.286	3.353	6000	
-15.14	-9.51	-5.18	3.110	3.159	3.235	12000	

يبين الشكل 7 والشكل 8 أن قيم مقاومة الشد للعينات المرجعية زادت خلال الاعمار المختلفة حيث كانت مقاومة الشد 3.31 Mpa عند 28 يوم ووصلت قيمة مقاومة الشد في اقصى مدة والتي بلغت 120 يوم الى 3.665 Mpa بنسبة زيادة تصل الى 9.68%. أما النتائج الأخرى للعينات المغمورة في محلول كبريتات الصوديوم ( $\text{NaSO}_4$ ) وبنتراكيز مختلفة فإنه قد لوحظ تناقص في مقاومة الشد بزيادة تركيز محلول وزيادة العمر حيث انخفضت مقاومة الشد عند تركيز 1200 mg/l من 3.291 Mpa الى 3.665 Mpa، وعند تركيز 6000 mg/l انخفضت مقاومة الشد في عمر 60 يوم من 3.412 Mpa الى 3.353 Mpa بنسبة انخفاض 1.73% واستمرت بالانخفاض حيث وصلت 3.286 Mpa في عمر 90 يوم وعند 120 يوم انخفضت الى 3.206 Mpa واستمرت بالانخفاض حيث وصلت 3.286 Mpa في عمر 90 يوم وعند 120 يوم انخفضت الى 3.206 Mpa بنسبة 12.52% مقارنة بالعينات المرجعية. وبزيادة تركيز محلول الى 12000 mg/l استمرت مقاومة الشد للعينات نقصان

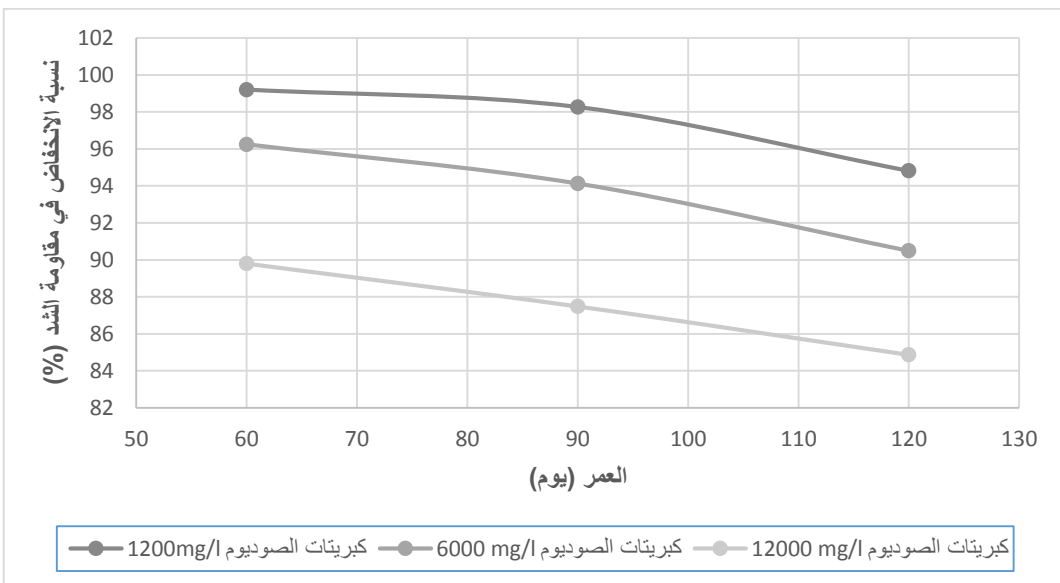
## المحور الثاني: مواد التشييد الملائمة للبيئة الصحراوية

الخرسانية بالنقسان حيث سجلت (3.110 Mpa, 3.159 Mpa, 3.235 Mpa) عند الاعمار (60 , 90 , 120) يوم تصل الى 15.14% مقارنة بالعينات المرجعية.

يوم على التوالي، مما سبب في نسبة انخفاض خلال 120 يوم تصل الى 15.14% مقارنة بالعينات المرجعية.



الشكل 7: تأثير كربونات الصوديوم بحسب تركيز مختلف على مقاومة الشد للخرسانة



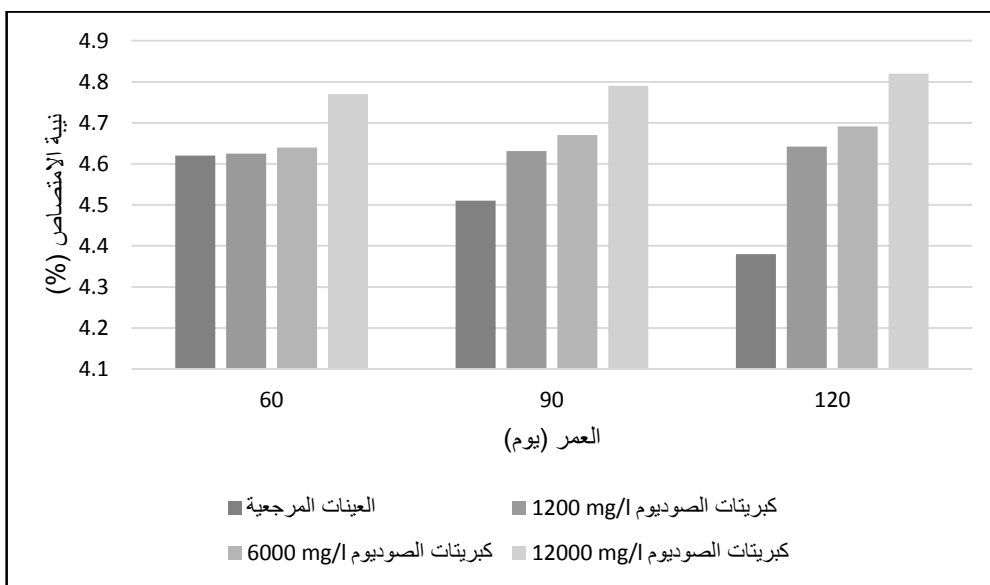
الشكل 8: النقسان في مقاومة الشد للخرسانة نتيجة تأثير كربونات الصوديوم

### نسبة امتصاص الماء

نتائج اختبار امتصاص العينات الخرسانية للماء والمعرضة لهجوم محاليل كربونات الصوديوم بتركيزات عديدة

## المحور الثاني: مواد التشييد الملائمة للبيئة الصحراوية

( ) 1200 mg/l, 6000 mg/l, 12000 mg/l) موضحة في الشكل 9. ومن خلال النتائج يتبين أنه كلما زاد تركيز المحلول تزداد القدرة على امتصاص الخرسانة للماء، فعند 28 يوم كانت نسبة الامتصاص 4.76% وزادت بزيادة تركيز المحلول فسجلت عند أعلى تركيز للكبريتات 4.82%، فعند تعريض الخرسانة للكبريتات بالتركيز المذكورة أعلاه لوحظ زيادة بمعدل 0.005%، 0.02%، 0.15% على التوالي عند العمر 60 يوم، وزيادة بمعدل 0.121%، 0.16%، 0.28% على التوالي عند العمر 90 يوم وسجلت نسبة الامتصاص زيادة بمعدل 0.311%， 0.262%، 0.44% على التوالي عند العمر 120.



الشكل 9: تأثير كبريتات الصوديوم على نسبة امتصاص الخرسانة

### الاستنتاجات

من خلال البرنامج العملي والذي تم فيه تعريض العينات الخرسانية إلى محاليل كبريتات الصوديوم بتركيزات مختلفة وإجراء اختبارات الحالة المتصلة، تم استنتاج الآتي:

- 1- تزداد مقاومة الضغط للخرسانة المغمورة بالماء النقي والخالي من الكبريتات بتقدم العمر .
- 2- تتناقص مقاومة الضغط للخرسانة بالنسبة للعينات المغمورة في محلول كبريتات الصوديوم بزيادة تركيز محلول الكبريتات وبتقدم العمر .

## **المحور الثاني: مواد التشييد الملائمة للبيئة الصحراوية**

3- تتناقص مقاومة الشد للخرسانة بالنسبة للعينات المغمورة في محلول كبريتات الصوديوم  $\text{NaSO}_4$  بزيادة تركيز محلول

الكبريتات ويتقدم العمر.

4- نسبة الامتصاص كانت قليلة للعينات المرجعية (الغير مغمورة في محليل الكبريتات)، وللعينات الخرسانية المغمورة

في محليل الكبريتات فإنه يزداد التآكل بزيادة تركيز الكبريتات مما يؤدي إلى زيادة الامتصاص تدريجياً.

### **شكر وتقدير**

كل الشكر للعاملين بشركة الصاري وشركة العاليا للأعمال الانشائية لإجراء اختبارات الخرسانة المتصلدة بمعملها.

ونتقدم بالشكر الى الدكتور ابوالقاسم ابوصبيح مشرف معمل الخرسانة بكلية الهندسة صبراته على رحابة صدره ومساعدته

جزاه الله عنا كل خير.

### **المراجع**

[1] R. Vedalakshmi, A. Sandra Raj & K. Ganesh Babu (Effect of magnesium and sulphate ions on the sulphate resistance of blended cement in low-and medium-strength concretes) Central Electrochemical Research Institute (April 2005).

[2] Neville, A., & Brooks, J (Concrete Technology). Second Edition. (2010)

[3] المواصفة القياسية الليبية (ركام الخرسانة من المصادر الطبيعية: طريقة اجراء التحليل المنخلي رقم 49 ) (2002). Indian Standard, pp. 1–30 )Method of Tests for Strength of Concrete( IS-516 4[ (1959).

[5] ASTM C 496 – 96: Test Method for Splitting Tensile Strength of Cylindrical Concrete Specimens.

[6] كتاب تكنولوجيا خرسانة، من إعداد محمد حمودة مهنا (2019 – 2020)

[7] C143/C143M Test Method for Slump of Hydraulic - Cement Concrete.

### مقارنة للكميات المطلوبة في تصميم الخلطة الخرسانية دراسة مقارنة ل الكميات المطلوبة في تصميم الخلطة الخرسانية بطرق مختلفة

محمد مصطفى فرات<sup>1</sup> ، د. زيدان علي حتوش<sup>2</sup> ، د. عبد الحميد مفتاح كشلاف<sup>3</sup>

1 شركة الانماء للهندسة وإدارة المشاريع ، طرابلس

2 عضو هيئة تدريس ، قسم الهندسة المدنية ، كلية الهندسة ، جامعة طرابلس ، طرابلس

3 شركة البنية للاستثمار والخدمات ، طرابلس

[farhatm1998@gmail.com](mailto:farhatm1998@gmail.com)<sup>1</sup>

[z.hatush@uot.edu.ly](mailto:z.hatush@uot.edu.ly)<sup>2</sup>

[Hamid5966@yahoo.com](mailto:Hamid5966@yahoo.com)<sup>3</sup>

#### ملخص

تصميم الخلطة الخرسانية هو عملية اختيار نسب المكونات (الأسممنت والماء والركام وأي مواد مضافة) التي ستنتج الخرسانة بالخصائص المرغوبة لتطبيق معين. ، قوي ، متين ، واقتصادي تتضمن عملية تصميم المزيج، تحديد الخصائص المطلوبة للخرسانة مثل القوة وقابلية التشغيل والمتانة وأي متطلبات خاصة ، تحدد طريقة تصميم الخلطة المناسبة بناءً على التطبيق المحدد والمواد المتاحة وتشمل الطرق الأكثر استخداماً طريقة معهد الخرسانة الأمريكي ، والطريقة البريطانية .

تحدد نسبة الماء إلى الأسممنت بناءً على القوة المطلوبة وقابلية التشغيل للخرسانة ، تحديد النوع والكمية المناسبة من الركام ، مثل الرمل أو الحصى أو الحجر المكسر ، بناءً على توزيع حجم الجسيمات والشكل والملمس ، تحديد كمية الأسممنت والماء المطلوبين للخلط بناءً على نسبة الماء/الأسمنت والنسبة الكلية ، أضف أي مواد مضافة ، مثل عوامل امتصاص الهواء ، أو عوامل تقليل المياه ، أو المسرعات ، لتحسين قابلية التشغيل أو المتانة أو ضبط وقت الخرسانة .

تهدف هذه الورقة إلى حساب الكميات المكونة للخرسانة باستخدام طرق مختلفة لتصميم الخلطة الخرسانية ومنها معهد الخرسانة الأمريكي والطريقة البريطانية، ويأمل الباحثان من نتائج هذه الورقة توضيح الاختلاف في المكونات وبالتالي اثرها على تكلفة الخرسانة وبالتالي المنشآت.

**الكلمات المفتاحية:** مقاومة الخرسانة، نسبة W/C، تصميم الخلطات، الطريقة الأمريكية، الطريقة البريطانية

#### مقدمة :

تصميم الخلطات الخرسانية يعني تحديد القيم النسبية لمكوناتها بما ينفق مع المتطلبات المرغوبة لعمل معين، ويكون ذلك بإستخدام نسب أثبتت فاعليتها من الخبرة وقد تكونت بطرق حسابية مبنية على أساس فني بالنسبة الوضعية .

تضمن خواص المواد المستخدمة والخواص المطلوبة في الخرسانة المتصلة ( مثل مدى المقاومة للاحتمال او المقاومة للبرق ) والاشترادات التي تتطلبها خطوات صناعة الخرسانة مثل السهولة المناسبة للصب والتسوية النهائية وذلك مع مراعات التكاليف الاقتصادية حسب نوع العمل الانشائي المطلوب .

وهذه الطرق نحصل منها على المواد المطلوبة لتصميم خرسانة ذات خواص مطلوبة في الحالتين الطازجة والمتصلة وذلك بأقل التكاليف.

## **المحور الثاني: مواد التشييد الملائمة للبيئة الصحراوية**

ويعتبر تحديد نسبة غلط الخرسانة من اهم العوامل التي تؤثر على جودة الخرسانة وعلى اقتصادية المشروع . فمن الممكن الحصول على خرسانات متباعدة في جودتها وثمنها بالرغم من انها جميعا تتكون من نفس المواد، ويعتمد الاقتصاد النسبي للخلطات الخرسانية على اثمان مكوناتها وعلى اجر العمال وتكاليف النقل ل تلك المكونات .  
ويعتبر الاسمنت احد المكونات الأساسية للخرسانة والذي تؤثر نسبة وجوده في الخلطة تأثيرا كبيرا على التكاليف نظرا لغلو ثمنه بالنسبة لباقي المكونات.

### **هدف البحث :**

يهدف هذا البحث إلى تحديد نسب الخلط للخرسانة بالطريقة الحجمية ( طريقة الحجم المطلق ) الموجودة في الكود البريطاني وهي الطريقة التي يتم تدريسها والثانع إستعمالها من قبل الطلبة في قسم الهندسة المدنية بجامعة طرابلس وبين نسب الخلط المستعملة في كل من طريقة المعهد الأمريكي لتصميم الخلطات الخرسانية والطريقة البريطانية الحديثة .

### **منهجية البحث :**

في هذه الورقة ستم المقارنة بالطرق الثلاثة لخرسانة بقوه 35 نيوتن /م<sup>2</sup> من خلال الخطوات المحددة في كل طريقة:

#### **أولاً : طريقة الحجم المطلق :**

تفترض هذه الطريقة ان الحجم المطلق للخرسانة هو مجموع الحجوم المطلقة للمواد المكونة للخلطة، أي ان الحجم المطلق للاسمنت والماء والركام بنوعيه كما يلي :

$$C + Ca + Fa + W = 1m^3$$

حيث :

C ..... وزن الاسمنت

Ca ..... وزن الركام الخشن

Fa ..... وزن الركام الناعم ( الرمل )

W ..... وزن الماء

وهذه الاوزان تكون بوحدة كجم/م<sup>3</sup>

الخطوات المتبعة في هذه الطريقة :

1. يتم تحديد مقاومة الخرسانة للضغط خلال 28 يوم ومنها يتم تحديد نسبة الماء الى الاسمنت من الشكل(1).

2. تحديد الاشتراطات المطلوبة في التشغيلية من جدول(1) ودرجة نعومة الرمل .

3. تحديد مقاس ونوع الركام المستخدم من جدول(2) ومن هذه البيانات نقوم بإيجاد نسبة الركام الى الاسمنت .

4. بالاستعانة بالبيانات السابقة نقوم بإيجاد نسبة الركام الناعم ( الرمل ) الى نسبة الركام الكلي من جدول(3) .

5. تحديد قيمة الوزن النوعي لكل من الاسمنت والركام الخشن والناعم .

## المحور الثاني: مواد التشييد الملائمة للبيئة الصحراوية

6. بإستخدام المعادلة التالية نحصل على قيمة الاسمنت ومنها نقوم بایجاد قيم باقى المواد :

$$\frac{W/C \times C}{1000} + \frac{A/C \times C}{1000 \rho_A} + \frac{C}{1000 \rho_C} = 1.0$$

هذه النسب كانت لخرسانة القواعد (C35)

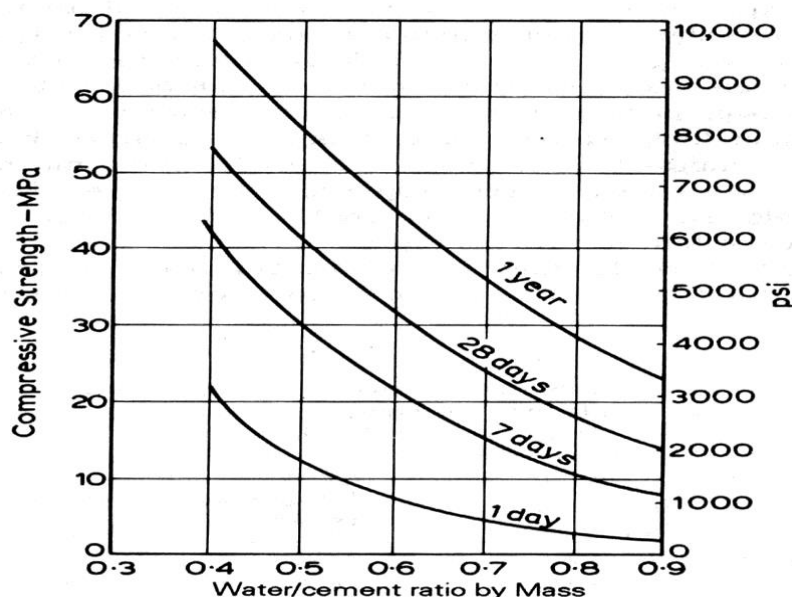
الوزن النوعي للإسمنت =  $\rho_C$

الوزن النوعي للركام بنوعيه =  $\rho_a$

تشغيلية الخلطة معتدلة

نوع الركام المستخدم ركام زاوي مقاس 19.5 مم

درجة نعومة الرمل 3



شكل (1): العلاقة بين مقاومة الضغط ونسبة الماء للإسمنت

بناء على اختبار عينات مكعبية (100×100×100)مم

## المحور الثاني: مواد التشييد الملائمة للبيئة الصحراوية

جدول(1): درجات التشغيل للاعمال الخرسانية المختلفة

الاستعمالات الملامة للخرسانة	قيمة الهبوط ، مم	درجة التشغيل
أعمال الطرق والخرسانة سابقة الصب .	صفر - 25	منخفضة جدا
الخرسانة الكتالية والأساسات الضخمة ذات التسليح غير الكثيف.	50 - 25	منخفضة
الأعمال العادية.	100 - 50	متوسطة
الخرسانة ذات التسليح الكثيف، وعندما يكون الدماك يدوياً أو بدون دمك.	170 - 100	عالية

جدول(2) : نسبة وزن الركام للإسمنت اللازمة لإنتاج خرسانة ذات درجة تشغيل معينة (مقاس 19.5 مم)

نوعة الرمل	درجة التشغيلية	منخفضة جدا				منخفضة				معتدلة				عالية			
		1	2	3	4	1	2	3	4	1	2	3	4	1	2	3	4
(W/C)0.55	0.35	3.2	3.0	2.9	2.7	2.7	2.7	2.5	2.4	2.4	2.4	2.3	2.2	2.2	2.3	2.1	2.1
	0.40	4.5	4.2	3.7	3.5	3.5	3.5	3.2	3.0	3.1	3.1	2.9	2.7	2.9	2.9	2.8	2.6
	0.45	5.5	5.0	4.6	4.3	4.3	4.2	3.9	3.7	3.7	3.7	3.4	3.3	3.5	3.5	3.2	3.1
	0.50	6.5	5.8	5.4	5.0	5.0	4.9	4.5	4.3	4.2	4.2	3.9	3.8	/	3.9	3.8	3.5
	0.55	7.2	6.6	6.0	5.6	5.7	5.4	5.0	4.8	4.7	4.7	4.5	4.3	/	/	4.3	4.0
	0.60	7.8	7.2	6.6	6.3	6.3	6.0	5.6	5.3	/	5.2	4.9	4.8	/	/	4.7	4.4
	0.65	8.3	7.8	7.2	6.9	6.9	6.5	6.1	5.8	/	6.2	5.4	5.2	/	/	5.1	4.9
	0.70	8.7	8.3	7.7	7.5	7.4	7.0	6.5	6.3	/	/	5.8	5.7	/	/	5.5	5.3
	0.75	-	-	8.2	8.0	7.9	7.5	7.0	6.8	/	/	6.2	6.1	/	/	5.8	5.7
	0.80					-	-	7.4	7.2	/	/	6.6	6.5	/	/	6.1	6.0
	0.85					-	-	-	-	/	/	7.1	6.9	/	/	6.4	6.3
	0.90									/	/	7.5	7.3	/	/	/	6.7
	0.95									/	/	8.0	7.6	/	/	/	7.0
	1.00									/	/	-	-	/	/	/	7.3

( / ) يشير الى ان الخليط معرض لحدوث انفصال حبيبي

( - ) يشير الى ان الخليط خارج حدود المواصف

## المحور الثاني: مواد التشييد الملائمة للبيئة الصحراوية

جدول (3) : النسبة الركام الناعم إلى الركام الكلي بالوزن (%)

مرتفعة	معتدلة	مرتفعة	معتدلة	مرتفعة	معتدلة	مرتفعة	معتدلة	درجة التشغيل	مقاومة الخرسانة (ن/مم <sup>2</sup> )
المقاس الاعتباري الأكبر للركام (مم)									
40	20	14	10					نوعة الرمل (*)	
40–30	40–35	–	–	–	–	–	–	–	15 أو أقل
40	35	45	40	50	45	55	50	1	40~20
35	30	40	35	45	40	50	45	2	
30	30	35	30	40	35	45	40	3	
25	25	30	25	35	30	40	35	4	

(\*) تمثل الدرجة "4" أنعم حالات الرمال، وهي الرمال السائدة في معظم الحالات على الساحل الليبي العربي

النواتج : من خلال الخطوات المحددة سابقاً وبالاستعانة بالجدول والأشكال امكن تحديد مكونات المواد لخرسانة C35

$$C = 374 \text{ Kg/m}^3 \quad (\text{كمية الاسمنت})$$

$$W/C = 57\% \quad (\text{نسبة الماء الى الاسمنت})$$

$$W = 214 \text{ Kg/m}^3 \quad (\text{كمية الماء})$$

$$A/C = 4.66\% \quad (\text{نسبة وزن الركام الى الاسمنت})$$

$$Fa = 523 \text{ Kg/m}^3 \quad (\text{كمية الركام الناعم})$$

$$Ca = 1220 \text{ Kg/m}^3 \quad (\text{كمية الركام الخشن})$$

### ثانياً : الطريقة الامريكية :

هذه هي الطريقة الشائعة لتصميم مزيج الخرسانة. فيما يلي الخطوات المتتبعة:

1. تحديد قيمة الهبوط او التشغيلية من جدول(4) ، والمقاس الاعتباري الأكبر للركام الموصى به لأنواع البناء، يجب استخدام

الحجم الأقصى المسموح به، باستثناء ما تمليه عليه الحالة المتوفرة والاقتصاد.

2. تحديد كمية الماء اللازمة للخلطة من جدول(5) ، بدلالة المقاس الاعتباري الأكبر للركام و درجة التشغيلية .

3. إيجاد نسبة الماء الى الاسمنت من جدول(6) ، بمعلومية إجهاد الضغط للخرسانة للضغط خلال 28 يوم .

4. يتم حساب محتوى الاسمنت بقسمة إجمالي محتوى الماء على نسبة الوزن.

## المحور الثاني: مواد التشييد الملائمة للبيئة الصحراوية

5. يتم تحديد الحجم الكلي للركام الخشن لكل وحدة حجم من الخرسانة ومعامل نعومة الرمل من جدول(7) للحجم الأقصى المعين للركام.
6. تحديد وزن الخرسانة الطيرية من جدول(8) ، بدلالة المقاس الاعتباري الأكبر للركام .
7. حساب وزن الركام الناعم من طرح مجموع أوزان مكونات الخلطة الخرسانية من وزن الخرسانة الطيرية .
- عما بأن :

هذه النسب كانت لخرسانة (C35) على نفس الطريقة الاولى  
الهيبوت = 50مم

المقاس الاعتباري الأكبر للركام = 20مم

معامل نعومة الرمل 2.6

$\nabla$  وزن وحدة الحجوم للركام الخشن = 1600 كجم/ $m^3$

جدول (4) : درجة تشغيلية الخرسانة لبعض الأعمال الإنسانية

هبوط القوام (مم)		نوع الإنشاء	ر.م
الحد الأعلى	الحد الأدنى		
75	25	خرسانة مسلحة لقواعد وأسasات الهوائي	1
75	25	خرسانة للهوائيات الساندة وأكتاف الجسور	2
100	25	الكرات والهوائيات المسلحة	3
100	25	أعمدة المباني	4
75	25	أعمال البلاطات والطرق	5
50	25	القطاعات الخرسانية الضخمة	6

جدول (5) : الكمية الماء ومحنتي الهواء لقيم مختلفة من درجات التشغيل و المقاس الاعتباري الأكبر للركام(مم)

كمية الماء (كجم/ $m^3$ )	درجة التشغيل (مم)							
	المقاس الاعتباري الأكبر للركام (مم)							
150	75	50	37.5	25	20	12.5	9.5	
خرسانة بدون هواء محبوس								
113	130	154	166	179	190	199	207	50-25
124	145	169	181	193	205	216	228	100-75
-	160	178	190	202	216	228	243	175-150
0.2	0.3	0.5	1	1.5	2	2.5	3	% الهواء
خرسانة ذو هواء محبوس								
107	122	142	150	160	168	175	181	50-25
119	133	157	165	175	184	193	202	100-75

## المحور الثاني: مواد التشييد الملائمة للبيئة الصحراوية

-	154	166	174	184	197	205	216	175-150 الهواء%
3.0	3.5	4.0	4.5	4.5	5.0	5.5	6.0	

جدول (6) : العلاقة بين نسبة الماء الى الاسمنت (م/س) وأجهاد الضغط للخرسانة

م/س		أجهاد ضغط الخرسانة بعد 28 يوم نيوتن/مم <sup>2</sup>
ذو هواء محبوس	بدون هواء محبوس	
0.30	0.38	45
0.34	0.42	40
0.39	0.47	35
0.45	0.54	30
0.52	0.61	25
0.60	0.69	20
0.70	0.79	15

جدول (7) : حجم الركام الخشن من الخرسانة (م<sup>3</sup>)

حجم الركام الخشن /م <sup>3</sup> لقيم مختلفة من معامل النعومة				المقياس الاعتباري الأكبر (مم)
معامل النعومة للرمل				
3.00	2.8	2.6	2.4	
0.44	0.46	0.48	0.5	9.5
0.53	0.55	0.57	0.59	12.5
0.60	0.62	0.64	0.66	20
0.65	0.67	0.69	0.71	25
0.69	0.71	0.73	0.75	37.5
0.72	0.74	0.76	0.78	50
0.76	0.78	0.80	0.82	75
0.81	0.83	0.85	0.87	150

جدول (8) : وزن الخرسانة الطيرية(الطازجة)

وزن الخرسانة الطيرى (كجم/م <sup>3</sup> )		المقياس الاعتباري الأكبر للركام (مم)
ذو هواء محبوس	بدون هواء محبوس	
2200	2280	9.5

## المحور الثاني: مواد التشييد الملائمة للبيئة الصحراوية

2230	2310	12.5
2275	2345	20
2290	2380	25
2350	2410	37.5
2345	2445	50
2405	2490	75
2435	2530	150

النتائج : كما سبق من خلال الخطوات المحددة سابقا وبالاستعانة بالجدائل من 4 الى 8 امكن تحديد مكونات المواد لخرسانة C35 فكانت

$$W = 190 \text{ Kg/m}^3 \quad (\text{كمية الماء})$$

$$W/C = 47\% \quad (\text{نسبة الماء الى الاسمنت})$$

$$C = 405 \text{ Kg/m}^3 \quad (\text{كمية الاسمنت})$$

$$\text{حجم الركام الخشن} = 0.64 \text{ من الحجم الكلي للخلطة}$$

$$\text{وزن الخرسانة الطيرية (الطاژة)} = 2345 \text{ كجم}/\text{م}^3$$

$$\text{حجم الهواء} = \% 2$$

ولحساب كمية الركام الناعم هناك طريقتان

### 1. طريقة الوزن :

$$\text{وزن الركام الخشن} = 0.64 * 1600 = 1024 \text{ كجم}/\text{م}^3$$

$$\text{وزن الركام الناعم} = 1024 - 405 - 190 - 2345 = 726 \text{ كجم}/\text{م}^3$$

### 2. طريقة الحجم :

$$\text{حجم الركام الناعم} = 1 - \{0.02 + (1000 * 2.6 / 1024) + (1000 * 3.15 / 405) + (1000 * 1 / 190)\}$$

$$\text{كمية الرمل} = 1000 * 2.6 * 0.268 = 697 \text{ كجم}/\text{م}^3$$

### الاستنتاج :

نلاحظ وجود اختلاف في كميات الرمل عند استخدام الحجم والوزن وذلك يرجع لأن حجم الهواء لم يؤخذ في عين الاعتبار في طريقة الوزن .  
بحكم أن الهواء لا وزن له .

### ثالثاً : الطريقة البريطانية :

الخطوات المتبعة في هذه الطريقة هي:

## **المحور الثاني: مواد التشييد الملائمة للبيئة الصحراوية**

1. تحديد كمية المياه للمتر المكعب من جدول(9) حسب التشغيلية المطلوبة عن طريق قيمة الهبوط للعنصر الخرساني من جدول(1)
2. إيجاد قيمة مقاومة الضغط للخلطة الخرسانية خلال 28 يوم والمناظرة لسبة ماء إلى الأسمنت 50% من جدول(10).
3. إيجاد نسبة الماء إلى الأسمنت الفعلية من شكل(2) ومنها حساب كمية الأسمنت للمتر مكعب.
4. تحديد وزن الخرسانة الطيرية من شكل(3) من خلال كمية الماء ونوع الركام المستخدم.
5. حساب وزن الركام الكلي للمتر المكعب من الخرسانة وذلك بطرح وزن الماء والأسمنت من الوزن الكلي للخرسانة الطيرية.
6. من خلال شكل(4) وبمعلومات نسبة الماء إلى الأسمنت والمقاس الاعتباري الأكبر للركام والهبوط ونوع الرمل نوجد نسبة الركام الناعم إلى الركام الكلي.

**علمًا بأن :**

هذه النسب كانت لخرسانة (C35) كما سبق في الطريقتين الأولى والثانية

الهبوط 50مم

المقاس الاعتباري الأكبر للركام 20مم

نوع الركام هو ركام غير محطم

رتبة الأسمنت 42.5

وزن النوعي للركام بنوعيه = 2.6

جدول (9) : محتوى المياه الحرجة التقريري ( $\text{كم}^3/\text{م}^3$ ) المطلوبة لإعطاء مستويات مختلفة من قابلية التشغيل

## المحور الثاني: مواد التشييد الملائمة للبيئة الصحراوية

الهبوط (مم)		0-10	10-30	30-60	60-180
Vebe time(s)		>12	6-12	3-6	0-3
المقادس الاعتباري الأكبر للركام (مم)	نوع الركام				
10	غير محطم	150	180	205	225
10	محطم	180	205	230	250
20	غير محطم	135	160	180	195
20	محطم	170	190	210	225
40	غير محطم	115	140	160	175
40	محطم	155	175	190	205

جدول (10) : إجهاد ضغط الخرسانة (نيوتن/مم<sup>3</sup>) المناظر لنسبة ماء الى الاسمنت 50%

		إجهاد ضغط الخرسانة (نيوتن/مم <sup>3</sup> )			
نوع الاسمنت (رتبة الاسمنت)	نوع الركام	3	7	28	91
42.5	غير محطم	22	30	42	49
42.5	محطم	27	36	49	56
52.5	غير محطم	29	37	48	54
52.5	محطم	34	43	55	61

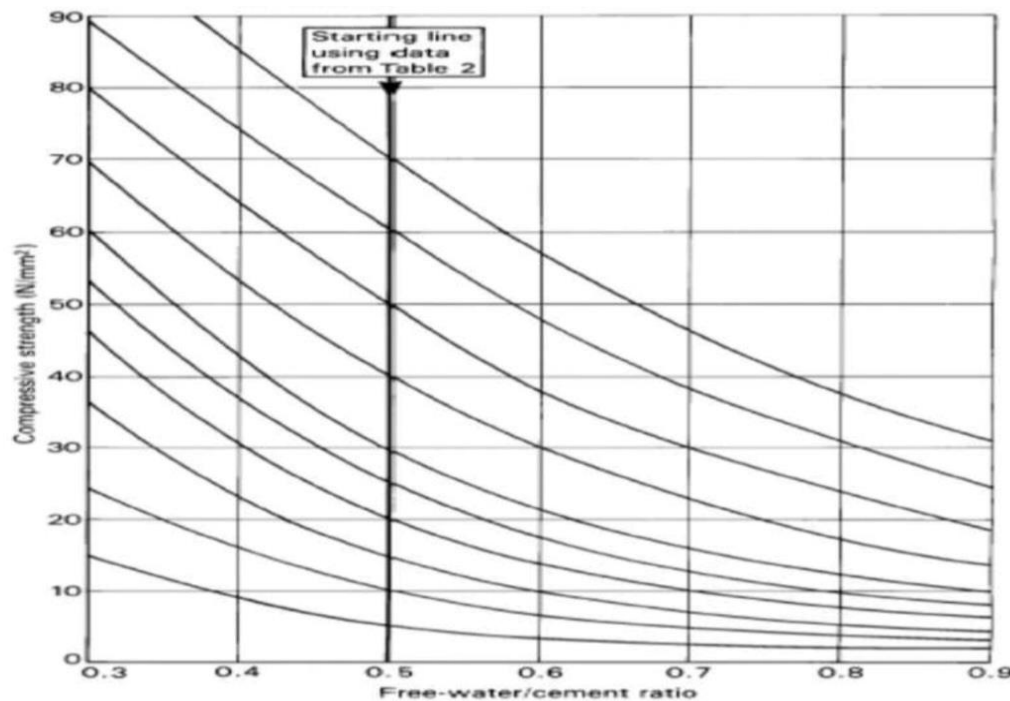


Figure 4. Relation between compressive strength and free-water/cement ratio

شكل (2) : العلاقة بين مقاومة الضغط ونسبة الماء الى الاسمنت

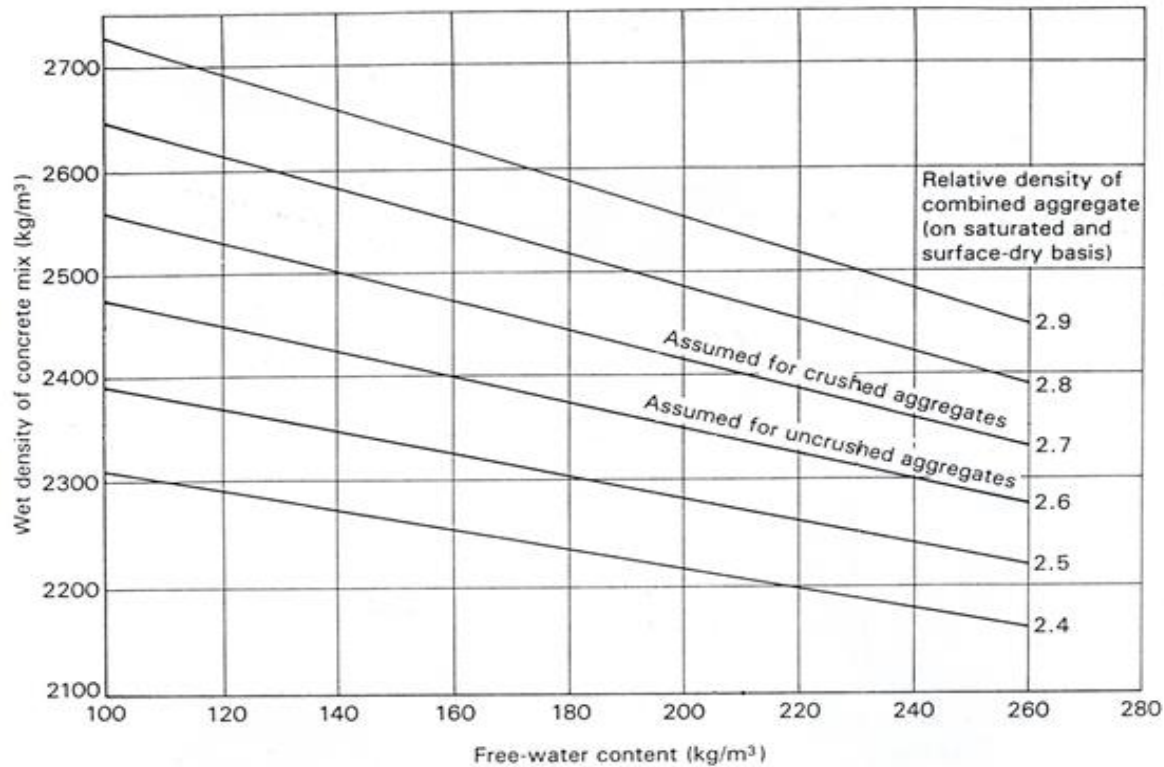
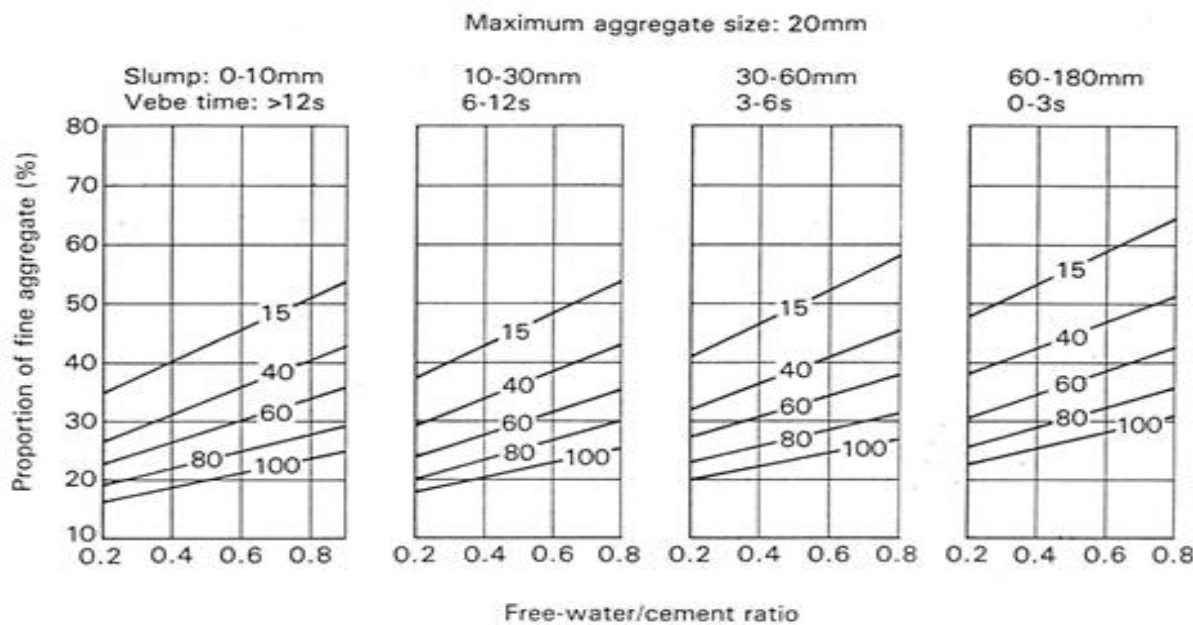


Figure 6.5 Estimated wet density of fully compacted concrete

شكل (3) : العلاقة بين كمية المياه و وزن الخرسانة الطيرية



شكل (4) : العلاقة بين نسبة الماء الى الاسمنت ونسبة الركام الناعم الى الركام الكلي بدلالة المقاس الاعتباري الأكبر للركام

## المحور الثاني: مواد التشييد الملائمة للبيئة الصحراوية

النتائج : على نفس سياق الطريقتين السابقتين وخلال الخطوات المحددة في هذه الطريقة امكن تحديد مكونات المواد لخرسانة C35 فكانت

$$W = 180 \text{ Kg/m}^3 \quad (\text{كمية الماء})$$

مقاومة الخرسانة المبدئية المقابلة لنسبة ماء إلى الاسمنت 50% هي 42.5Mpa

$$W/C = 56\% \quad (\text{نسبة الماء إلى الاسمنت})$$

$$C = 322 \text{ Kg/m}^3 \quad (\text{كمية الاسمنت})$$

$$\text{وزن الخرسانة الطيرية (الطاژة)} = 2380 \text{ كجم/m}^3$$

$$\text{وزن الركام الكلي} = 2380 - 322 = 1878 \text{ كجم/m}^3$$

$$\text{نسبة الركام الناعم إلى الركام الكلي} = \%36$$

$$\text{كمية الركام الناعم} = 1878 * 0.36 = 676 \text{ كجم/m}^3$$

$$\text{كمية الركام الخشن} = 1878 - 676 = 1202 \text{ كجم/m}^3$$

**مقارنة النتائج :** يبين الجدول 11 مقارنة بين الطرق الثلاثة وثم اعتبار

الاساس هي الطريقة الحجمية المعتمل بها في ليبيا

جدول (11) : مقارنة بين الطرق الثلاثة وبيان الفروقات

نسبة الخلط لخرسانة C35					
الطريقة الحجمية	الطريقة الامريكية (ACI)	المقارنة (كغم/m <sup>3</sup> )	الطريقة البريطانية	المقارنة (كغم/m <sup>3</sup> )	
(كغم/m <sup>3</sup> ) الماء	213	190	23	180	33
W/C %	57	47	10	56	1
(كغم/m <sup>3</sup> ) الاسمن ـ ت	374	405	31	322	52
(كغم/m <sup>3</sup> ) الركام ـ الخشن	1220	1024	196	1202	18

## المحور الثاني: مواد التشييد الملائمة للبيئة الصحراوية

(كغم/ $\text{م}^3$ ) الركام الناعم	523	697	174	676	153
---------------------------------------	-----	-----	-----	-----	-----

الاستنتاجات :

من خلال النتائج التي تم الحصول عليها من هذا البحث يمكن الخروج بالاستنتاجات التالية :

1. الاختلاف الكبير بين الطريقة الحجمية و الامريكية راجعة لأن نسبة الماء الى الاسمنت كانت اكبر بشكل ملحوظ في الطريقة الحجمية وكذلك كون الطريقة الحجمية مرکزة على نوع الركام والذي بدوره يؤثر في كمية الماء اللازمة للخلطة حيث كمية الركام الخشن كانت اكبر بكثير في الطريقة الحجمية عكس الركام الناعم الذي كانت كميته اكبر في الطريقة الامريكية .
2. الاختلاف بين الطريقة الحجمية والبريطانية هي ان كمية الماء في الطريقة البريطانية كانت اقل والتي بدورها أدت الى انخفاض كمية الاسمنت بسبب تقاربهم في نسبة الماء الى الاسمنت .
3. وزن الخلطة للمتر المكعب في الطريقة البريطانية اكبر منه في الطريقتين الامريكية والحجمية .
4. تعتبر الطريقة البريطانية اكثر اقتصادية من الطريقة الحجمية بالرغم من كونها الأكبر وزنا وذلك بسبب ان كمية الاسمنت اقل من الطريقتين الامريكية والحجمية.
5. يصعب معرفة أي من الطريقتين الامريكية والبريطانية هو الأكثر اقتصادية بالرغم من كون الطريقة البريطانية تحتوي على كمية اقل من الاسمنت والذي يعتبر الاغلى ثمنا إلا ان الطريقة الامريكية تحتوي على كمية من الركام الخشن اقل كما ان وزن الخلطة للمتر المكعب الواحد اقل من الطريقة الامريكية ولكن بحكم كون سعر الركام فيمكن القول ان الطريقة البريطانية هي الأفضل من الناحية الاقتصادية .

المراجع :

1. جدول (4) من المواصفة الامريكية رقم (ACI 211.1)
2. جدول (5) من المواصفة الامريكية رقم (ACI,2000)
3. جدول(6) من المواصفة الامريكية رقم (ACI:211.1:1991) من جدول (TABLE A1.6.3.4)
4. جدول (7) من المواصفة الامريكية رقم (ACI:211.1:1991) من جدول (TABLE A1.6.3.6)
5. كتاب مقدمة في مواد البناء الطبعة الثالثة 3rd ed. Essex: Pearson Education Limited

## **المحور الثاني: مواد التشييد الملائمة للبيئة الصحراوية**

---

6. كتاب تصميم الخلطات الخرسانية بالطريقة البريطانية (DOE – British) Method

7. الجداول (9) (10) والأشكال (2)(3)(4) من المعايير البريطانية رقم (British standards BS 8500-1:2006)

### دراسة تأثير استخدام أنواع الأسمنت بالسوق المحلي على إنساب الخرسانة ذاتية الدمك

- 1- حمزة علي إبراهيم الصحراوي - مساعد محاضر بكلية الهندسة جامعة بنى وليد ، ليبيا
- 2- أ.د إبراهيم محمد الحاج الفقهي - أستاذ ، عميد كلية الهندسة جامعة بنى وليد ، ليبيا
- 3- أحمد عاكاشة فرج 4- فرج الحسين المروم ، طلبة بكلية الهندسة جامعة بنى وليد ، ليبيا

#### الملخص

نظراً للحاجة الملحة لاستخدام الخرسانة ذاتية الدمك في تنفيذ مشاريع البناء الحديثة في بلادنا وعلى وجه الخصوص لتنفيذ الأبراج والتي تصمم حالياً لتواكب التصاميم المعمارية الحديثة فقد تم وضع خطة البحث لنقيم دراسة معملية لتنفيذ خرسانة ذاتية الدمك باستخدام المواد المتوفرة محلية في ليبيا بحيث تحقق الخصائص اللدننة والمتمنلة في قدرة الأنسياب والعبور الذاتي لملء الشدات والقوالب ذات التسليح الكثيف بالكامل على أن تبقى متجانسة المكونات بالرغم من إنسابيتها العالية.

ولتحقيق الهدف من هذه الدراسة أُستخدمت ملدنات فائقة لتنفيذ الخلطات كمادة اسمنتية رابطة وأيضاً نسب مختلفة من الماء للأسمنت كما نفذت خلطات خرسانية بنسب مختلفة من الماء مع نسب مختلفة من الملنن على أنواع الأسمنت وأجريت الاختبارات للخرسانة ذاتية الدمك المتوفرة حالياً لنقييم أدائها وتم ذلك عن طريق اختبار تعين قطر الهبوط Slump flow وكما تم إختبار الخرسانة في الحالة الصلبة حيث نفذت مقاومة الضغط على مكعبات خرسانة عند أعمار 7-28 يوم.

بالرغم من استخدام نسب ماء للأسمنت من دون ملنن ( $0.45-0.5-0.55$ ) إلا ان معظم النتائج في الحالة الطيرية على جميع أنواع الأسمنت (الأول الاتحاد، الثاني التركي، الثالث التونسي، الرابع سوق خميس) مقبوله والنتائج في الحالة المتصلة تزيد مقاومة الضغط عند خفض الماء، وعندنسبة الماء للأسمنت مع الملنن ( $0.4-0.425-0.45$ ) كانت أفضل مقاومة النوع الرابع وأقل مقاومة النوع الأول

#### 1. المقدمة .

يسعى بعض المقاولين ومهندسي الموقع في تنفيذ خرسانات عالية الانسياب بعرض استخدامها في بعض التطبيقات الخاصة. وفي الأغلب يتم ذلك عن طريق استخدام محتوى مائي عالي نسبياً وأحياناً استخدام الإضافات الملننة بحسب

## **المحور الثاني: مواد التشييد الملائمة للبيئة الصحراوية**

غير مدرستة. إلا أنه في الأحيان تنتج خرسانة لها نضح عالي وغير متجانسة في مكوناتها مما يسبب انفصال حبيبات الركام عن المونتاين الإسمنتية نتيجة عدم الموازنة في اختيار نسب الخلط مما يجعل الخرسانة ضعيفة وذات نفاذية ومسامية عالية وبالتالي تكون أكثر عرضة للمؤثرات البيئية المختلفة كالمحاولات الكيميائية. وبناء على ما تقدم، اعتبرت الخرسانة الذاتية الدمك حلًا جيداً للمشكلة التي ذكرت أعلاه بالإضافة إلى العديد من المشاكل الأخرى وأصبح من السهل صب الخرسانة في القوالب والأشكال المتغيرة الأبعاد وذات السمك المحدود وأيضاً في العناصر الكثيفة التسلیح بخصائص انسیابیة عالیة وبالتجانس المطلوب.

### **2. خطوة البحث**

يتضمن الجانب العملي للدراسة البحث عن أي دراسات سابقة متوفرة وتجميع المعلومات منها بالإضافة إلى تجميع الأسمنت مختلف المصادر وإجراء الاختبارات الميكانيكية والكيميائية ومن تم إعداد وتصميم سبعةمجموعات من الخلطات الخرسانية حيث أن التلات مجموعات الأولى تحتوي على تلات نسب ماء من دون ملدن وكان نسبة الماء للأسمنت 0.45-0.55 والمجموعات الأخرى تحتوي على تلات نسب ماء مع ملدن وكان نسبة الماء للأسمنت 0.4 مع نسبة ملدن 0.85% ونسبة الماء للأسمنت 0.425 مع نسبة ملدن 0.8% ونسبة الماء للأسمنت 0.45 مع نسبة ملدن 0.8% تم خلط جميع هذه الخلطات ومن تم قياسها بأختبار الهبوط وأيضاً تم قياس مقاومة الضغط لكل العينات التي تم إعدادها لكل فترة زمنية للحصول على النتائج والبيانات الموجودة من هذه الدراسة التي شملت أربع مجموعات رئيسية وتلاتة تجريبية وفي كل مجموعة تحتوي على تلاتة نسب ماء مع ملدن والمجموع التجريبي تحتوي على تلاتة نسب ماء من دون ملدن تحتوي كل منها على 9 مكعبات بحجم (150\*150\*150مم) أي تشمل هذه الدراسة 45 مكعب.

### **3. الخرسانة ذاتية الدمك**

تعتبر الخرسانة ذاتية الدمك واحدة من أكثر التطورات البارزة في تكنولوجيا الخرسانة وهي صنف جديد من الخرسانة عالية الأداء التي لها درجة عالية من السيولة والانسياب تحت تأثير وزنها الذاتي ، حيث لها القدرة على التدفق الحر في القوالب وإزالة الهواء المحبوس ورص نفسها بنفسها وذلك بدون الاستعانة بأي وسيلة دمك خارجية والخرسانة ذاتية

## **المحور الثاني: مواد التشييد الملائمة للبيئة الصحراوية**

الدمك (SCC) عرف بأنها الخرسانة شديدة التدفق وغير المنفصلة التي يمكن أن تنتشر في الموقع ، وملء القوالب ، وتغليف التسليح دون أي تدخل ميكانيكي.

للحصول على درجة انسياب وسيولة عالية وذلك عن طريق زيادة سبيولة العجينة باستخدام الملدنات الفائقه او استخدام نسبة عاليه من ماء الخلط أو تقليل الاحتكاك الداخلى بين الحبيبات بتقليل نسبة الركام الكبير فى الخلطة ولکي لا يحدث الانفصال بين المواد الصلبة فى الخلطة يتم تقليل المقاس الاعتبارى الاكبر للركام و/أو تقليل نسبة الركام و/أو استخدام اضافات تحسين التشغيلية و/أو تقليل نسبة ماء الخلط ، وتنقلي النضح الى اقل درجة ممكنه باستخدام نسبة اقل من ماء الخلط و/أو استخدام مواد ناعمه ذات مساحة سطحية عاليه و/أو زيادة نسبة اضافات تحسين التشغيلية فیمل يلي عرض لأهم مميزات الخرسانة ذاتية الدمك:

- تعطي انسيابية أسرع مع القدرة على ملئ الأماكن الضيقة عندما يكون التسليح كثيف وبالتالي لا تحتاج إلى استخدام هزازات في الموقع مما يؤدي إلى سهولة الصب والتغلب على مشكلة الضوضاء الناتجة عن الهزازات. الامر الذي يخفض التكاليف وذلك من حيث الوقت والجهد أثناء عملية الصب و عمالة أقل..
- لها مزايا صحية خاصة للعمال ، حيث أن الهزازات التي لها ترددات عالية وجد أنها تسبب مشاكل صحية للعمال تعطي خرسانة كثيفة ونظيفة غير منفذة وخالية من التعشيش ومقاومة الانفصال الحبيبي ، أثناء الصب وبالتالي خرسانة ذات مقاومة عالية وجودة وديمومة أكثر.
- تكون سطوح خرسانية ملساء وكثيفة لا تحتاج إلى تسوية سطحها بعد صبها ولها قدرة على مقاومة الخدوش .

### **4. الدراسات السابقة**

- قامت سناء عبد الستار باجقني بعمل دراسة على تنفيذ الخرسانة ذاتية الدمك باستخدام المواد المحلية سنة 2010 حيث أجراعت العديد من الاختبارات على الخرسانة ذاتية الدمك في الحالة اللينة وفي الحالة الصلبة وتحديد نسبة الأمتصاص لها أظهرت النتائج علي أنه يمكن تنفيذ تلك الخرسانة وبخصائص مقبولة للاستخدامات المختلفة ذات الخصوصية مثل الخرسانة كثيفة التسليح ومختلفة الأبعاد
- قامت سعاد أبو قاسم وآخرون بعمل دراسة على تأثير محتوى الأسمنت على خواص الخرسانة ذاتية الدمك سنة 2018 في المؤتمر الوطني السابع للمواد البناء والهندسة الإنسانية حيث استخدم محتويات مختلفة من

## المحور الثاني: مواد التشييد الملائمة للبيئة الصحراوية

الإسمنت 300-350-400 كجم مع بعض الملدنات وتم إجراء اختبار الهبوط والانسياب للخرسانة الطيرية ومقاومة الضغط للخرسانة الصلبة ووجد أن اللخطة التي تحتوي على محتوى إسمنت 350 كجم أعطت أفضل نتائج للخرسانة الطيرية وخلطة 300 كجم من الإسمنت أعطت أفضل نتائج للخرسانة المتصلة.

- قام مختار أبوراوي وأخرون بعمل دراسة على تأثير الألياف على الخرسانة الذاتية الدمك سنة 2018 في المؤتمر الوطني السابع للمواد البناء والهندسة الإنسانية حيث تم استخدام الحديد والبولي بروبيلين وزجاج بمحتوى 0.1% لدراسة تأثير على خواص خرسانة ذاتية الدمك الطيرية والمتعلقة حيث وجد أن ألياف الحديد مع أنواع أخرى حققت نتائج جيدة إلا أنها عملت الألياف على إنخفاض انسيابية للخرسانة ذاتية الدمك وخاصة استخدام إلیاف الزجاج.

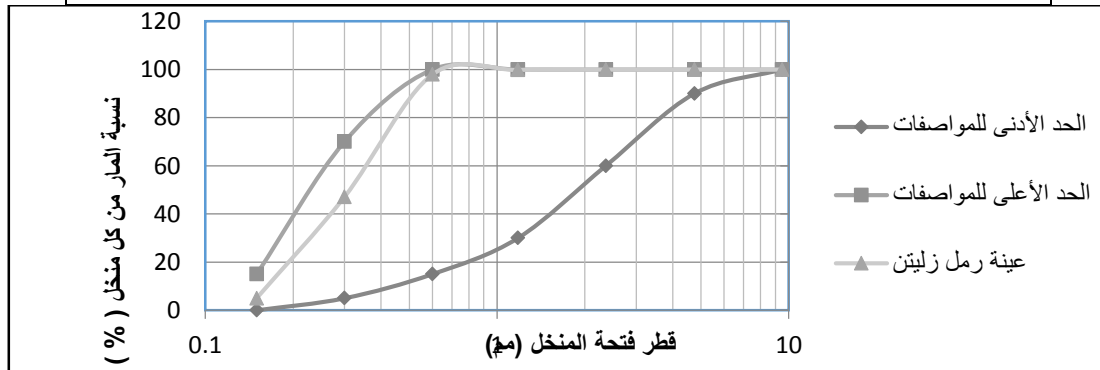
### 5. المواد المستخدمة .

#### 1.5 الركام الناعم

في هذه الدراسة تم استخدام ثلاثة أنواع من الركام الناعم وهي رمل وادي سوف الجين -بني وليد ورمل سيدي السايج ورمل زليتن والجدول (1) والشكل (1) يوضح التحليل المنخلي لهذه الأنواع والجدول (2) يوضح التحليل الكيميائي

جدول (1) يوضح التحليل المنخلي لعينات الركام الناعم

حدود المعاصفات		النسبة المئوية العابرة للمنخل (%)	فتحة المنخل (مم)
LQS 49 -2002	BS882:2002	رمل زليتن	
90-100	90-100	100.00	4.75
60-100	60-100	100.00	2.36
30-100	30-100	99.86	1.18
15-100	15-100	97.94	0.6
5-70	5-70	47.04	0.3
0-15	0-15	4.95	0.15
			معامل النعومة= 1.5



شكل (1) التدرج الحبيبي لعينة الركام الناعم وحدود المعاصفات .

## المحور الثاني: مواد التشييد الملائمة للبيئة الصحراوية

جدول (2) يوضح نتائج الاختبارات افزيائية والميكانيكية لرکام الناعم حسب المعايير .

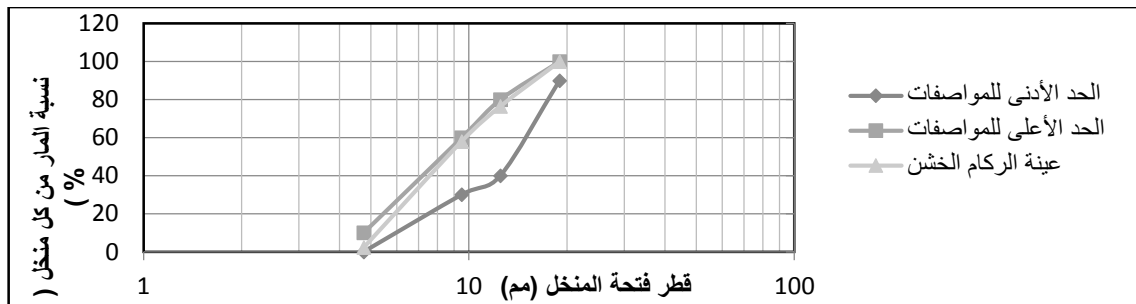
حدود المعايير		نتيجة اختبارات رمل زليتن	نوع الاختبار
LQS:49 – 2002	BS:882:2002		
2.75>S.G>2.5	2.75>S.G>2.5	2.69	الوزن النوعي
1800-1400	1800-1400	1530	وزن وحدة الحجم(كم/3)
%3.0>	%3.0>	0.517	الامتصاص (%)
%4.0>	%3.0>	1.72	نسبة المواد الناعمة (%)
%0.05<	%0.05<	0.0092	محتوى الكلوريدات (%)
%0.5<	%0.5<	0.0033	محتوى الكبريتات (%)
-	-	0.0258	نسبة المواد الصلبة الذاتية (%)
-	-	9.17	pH الأس الهيدروجيني

### 2.5 الرکام الخشن

تم توريد الرکام الخشن من إحدى الكسارات الموجودة بمدينة بنى وليد لصناعة الزلط بجميع أنواعه ، ومن الاختبارات الميكانيكية والفيزيائية والكيميائية كما هو موضح بالجدول (3) والشكل (2) والجدول (4)

جدول (3) يوضح التحليل المنخل لعينة الرکام الخشن

حدود المعايير		النسبة المئوية العابرة للمنخل (%)	فتحة المنخل (مم)
LQS 49 – 2002	BS882:2002		
100	100	100.00	19
100-90	100-90	96.51	12.5
80-40	80-40	78.05	9.5
60-30	60-30	2.24	4.75
		المقاس الأعتباري الأكبر=12.5مم	



شكل (2) التدرج الحبيبي لعينة الرکام الخشن وحدود المعايير .

## المحور الثاني: مواد التشييد الملائمة للبيئة الصحراوية

جدول (4) يوضح نتائج الاختبارات افيريائية والميكانيكية للرخام الخشن حسب المعايير .

نوع الاختبار	النتيجة	حدود المعايير 2002 BS 882-2002	حدود المعايير 2002 LQS 49
الوزن النوعي	2.6	2.75>S. G>2.5	2.75>S. G>2.5
وزن وحدة الحجوم(كجم/م³)	1959.33	1800-1400	1800-1400
الامتصاص (%)	%0.755	%3.0>	%3.0>
محتوى الرطوبة (%)	1.42		
معامل الصدم (%)	%19.93	%45>	%45>
معامل التهشيم (%)	%12.46	%45>	%5<
محتوى الكلوريدات (%)	0.0241	%5<	%20>
محتوى الكبريتات (%)	0.0241	%20>	%10>
نسبة الأملاح (%)	0.6704	%10>	

### 3.5 الأسمنت

تم استخدام خمس مصادر مختلفة للأسمنت البورتلاندي العادي وهي .

- الأول\_أسمنت بورتلاندي عادي N 42.5 ، من إنتاج شركة الإتحاد العربي للمقاولات مصنع البرج زليتن طبقاً للمعابر القياسية الليبية م.ق.ل 2662.316
  - الثاني-أسمنت بورتلاندي عادي من إنتاج مجمع سوق الخميس حسب المعايير القياسية الليبية ( 97:340 )
  - الثالث-أسمنت بورتلاندي عادي من إنتاج شركة آشيمينتو-L ( ascimentoEN197-1CEM-P )
  - الرابع-أسمنت بورتلاندي عادي إنتاج شركة تونسية حسب المعايير 336 N 47.01NT 42.5
- كل أنواع الأسمنت المستخدمة في هذه الدراسة هو الأسمنت البورتلاندي العادي ( Type I )

جدول (5) يوضح نتائج الاختبارات زمن الشك الابتدائي والنهائي للأسمنت حسب المعايير .

الرابع	الثالث	الثاني	الأول	
3.6	3.3	4.75	3.5	زمن الشك الابتدائي (ساعة)
4.33	4.73	4.9	4	زمن الشك النهائي(ساعة)
%31	%29.5	%30	29%	القوم القياسي(%)

### 4.5 ماء الخلط

تم استخدام ماء صالح لإعداد الخلطات الخرسانية ، وتم اختباره في مركز البحوث الصناعية بتاجوراء للتأكد من مطابقته للمعايير القياسية الليبية رقم 294 لسنة 2013 كما هو موضح بالجدول (6) الجدول (6) يوضح التركيب المعذني للماء .

الاختبار	النتيجة (mg/L)	المعابر القياسية الليبية رقم 294 لسنة 2013 (mg/L)
محتوى الكبريتات (SO4)	117.5	1000
محتوى الكلوريدات (Cl)	296.33	500

## المحور الثاني: مواد التشييد الملائمة للبيئة الصحراوية

2000	888	الأملاح الذائية (T.D.S)
1000	190	الكريونات والبيكرونات (Ca,CO3)
8-6	7.87	الأس الهيدروجيني PH

### 6. البرنامج العملي

تم تنفيذ ثلاثة نسب ماء مع ملدن ويوضح جدول (7) نسب خلط المواد للخلطات الأساسية

جدول (7) نسب خلط المواد للخلطات الأساسية

الملدنات (وزن المواد الإسمنتية%)	ركام ناعم Kg/m³	ركام حشن Kg/m³	نوع الإسمنت	الإسمنت Kg/m³	الماء Kg / m³	W/cm	رقم الخلطة
0.85%	892.571	892.571	الاول	450	180	0.4	M1
0.80%	877.67	877.67	الاول	450	191.25	0.425	M2
0.80%	862.78	862.78	الاول	450	202.5	0.45	M3
0.85%	892.571	892.571	الرابع	450	180	0.4	M4
0.80%	877.67	877.67	الرابع	450	191.25	0.425	M5
0.80%	862.78	862.78	الرابع	450	202.5	0.45	M6
0.85%	892.571	892.571	الثالث	450	180	0.4	M7
0.80%	877.67	877.67	الثالث	450	191.25	0.425	M8
0.80%	862.78	862.78	الثالث	450	202.5	0.45	M9
0.85%	892.571	892.571	الثاني	450	180	0.4	M10
0.80%	877.67	877.67	الثاني	450	191.25	0.425	M11
0.80%	862.78	862.78	الثاني	450	202.5	0.45	M12

### 7. اختبارات الخرسانة الطيرية والمتصدلة

#### 7.1 اختبار الخرسانة اللدننة

تم دراسة نوع لخواص أساسية للخرسانة ذاتية الدمك وهي قابلية الأسماك ودرست تلك الخاصية عن طريق إجراء الأختبار التالية

- Slump Flow Test,T50
- مؤشر الاستقرار البصري VSI

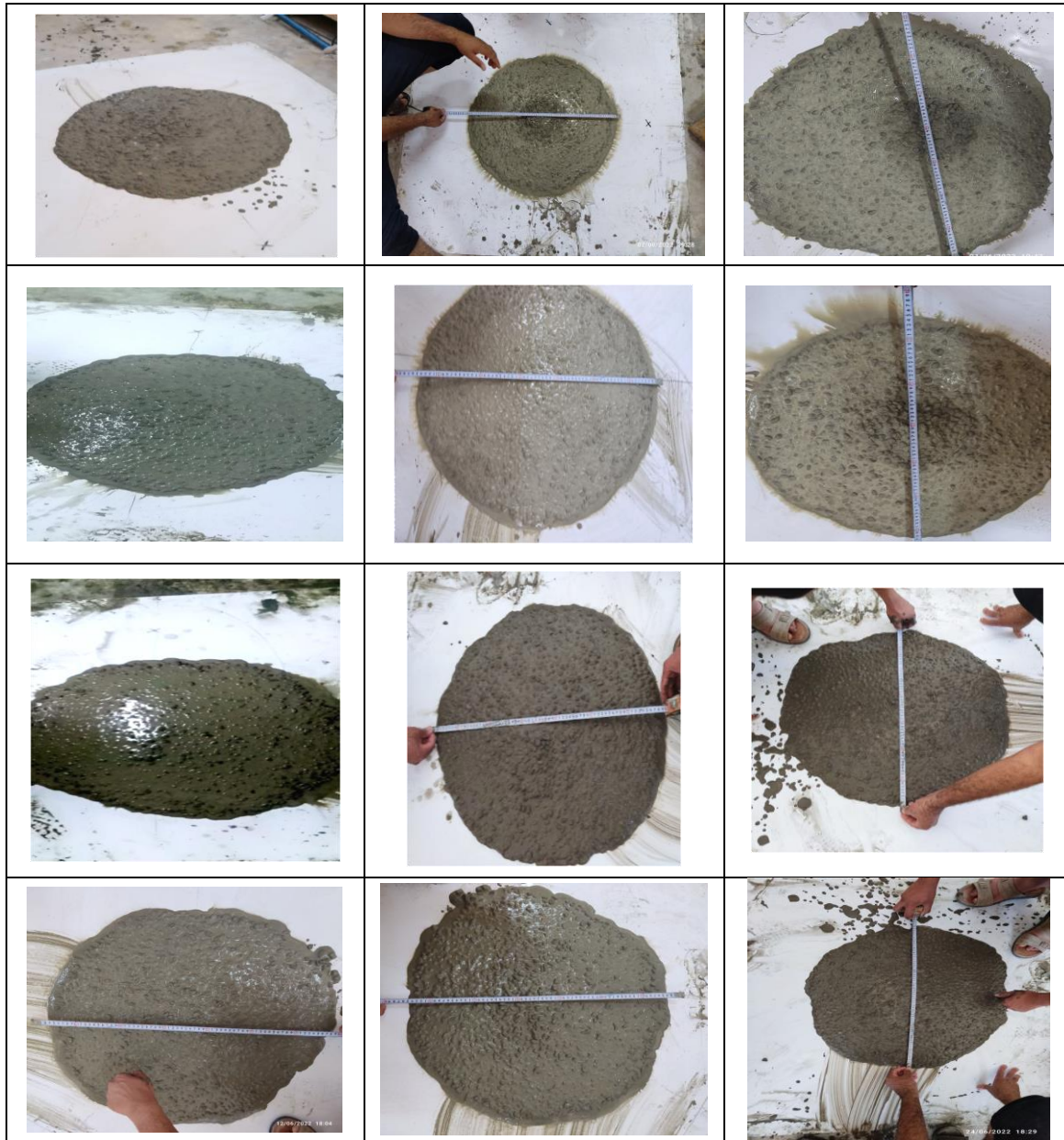
##### 7.1.1 اختبار هبوط التدفق (Slump Flow +T50 ) :

اختبار الهبوط أو الركود الخرساني وهو قياس قابلية تشغيل الخرسانة أو السائلة، إنه قياس غير مباشر للاتساق أو الصلابة. اختبار الركود هو طريقة تُستخدم لتحديد اتساق الخرسانة، يشير الاتساق أو الصلابة إلى كمية المياه المستخدمة في الخليط ويجب مطابقة صلابة خليط الخرسانة مع متطلبات جودة المنتج النهائي. تحديد قابلية التعبئة لـ (SCC) وذلك بتعيين قطر انتشار التدفق وزمن (T50).

## المحور الثاني: مواد التشييد الملائمة للبيئة الصحراوية

### 1.1.7 مؤشر الاستقرار البصري (VSI)

هو اختبار مترافق لاختبار الهبوط Slump Flow بعد الانتهاء من تنفيذ اختبار Slump Flow ترك الخرسانة لفترة زمنية وهي في حالة السكون وبين مراقبتها ما إذا بقيت الخرسانة متباينة كما كانت في البداية الأخبار أم حدث لها انفصال وظهور ماء النضح عند الأطراف والسطح وتقييم استقرارية الخرسانة ويوضح شكل (3) نماذجا مختلفة لمجموعه من الخلطات التي تم تصنيفها بصريا حسب طبيعة استقرارها.



شكل (3) يوضح نماذجا مختلفة لمجموعه من الخلطات

جدول (8): يوضح نتائج الخواص الأسيابية للخلطات الخرسانية التجريبية

## المحور الثاني: مواد التشييد الملائمة للبيئة الصحراوية

VSI	النضح	ثT50	Slump Flow (mm)	w/cm
0	لابيوجد	1.3	300	0.45
0	لابيوجد	1.5	425	0.5
0	لابيوجد	1.7	460	0.55

### 8. اختبار مقاومة الضغط

يتم إجراء اختبار مقاومة الضغط على العينات ذات المقاس 150\*150\*150 ملم عند فترة زمنية قدرها 7 أيام و 28 يوم من تاريخ الصب .

تم إجراء هذا الاختبار على العينات حسب المعايير البريطانية (BS 1881 Part 116:1983) (4) باستعمال جهاز تكسير عينات بمعدل

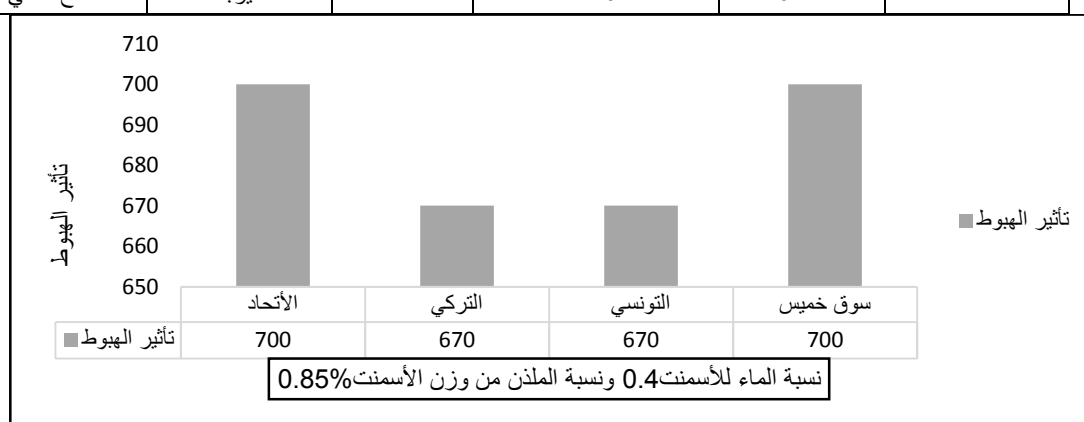
تحميل 6 كيلو نيوتن لكل ثانية والموجود بكلية الهندسة جامعة بنى وليد .

## 9. النتائج ومناقشة

### 6. نتائج اختبارات الخرسانة الطرية

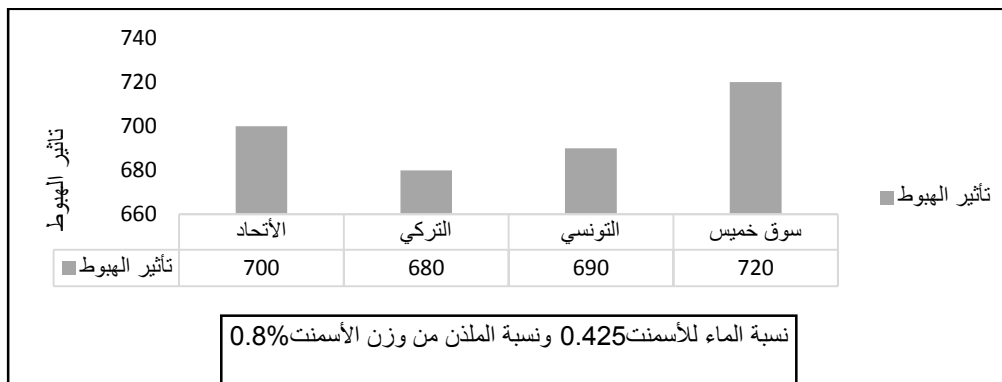
جدول(9): يوضح نتائج الخواص الانساضية لخلطات الخرسانة الأساسية

VSI	النضح	ثT50	Slump Flow (mm)	w/cm	رقم الخلطة
نضح بسيط	متوسط	3.7	700	0.4	M1
نضح بسيط	متوسط	3.4	700	0.425	M2
نضح مثالي	لابيوجد	2.5	710	0.45	M3
نضح بسيط	متوسط	3.6	700	0.4	M4
نضح مثالي	لابيوجد	3.2	720	0.425	M5
نضح مثالي	لابيوجد	2	725	0.45	M6
نضح مثالي	لابيوجد	4.7	670	0.4	M7
نضح مثالي	لابيوجد	4.5	690	0.425	M8
نضح بسيط	متوسط	2.2	750	0.45	M9
نضح مثالي	لابيوجد	3.6	670	0.4	M10
نضح مثالي	لابيوجد	3.4	680	0.425	M11
نضح مثالي	لابيوجد	2.3	750	0.45	M12

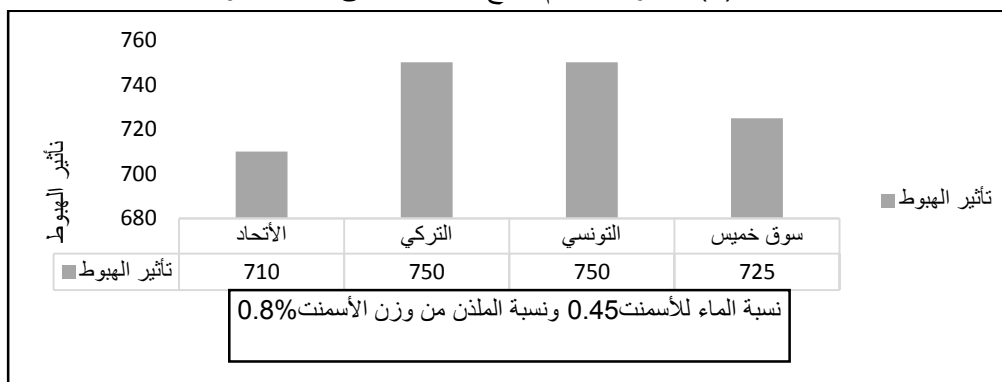


## المحور الثاني: مواد التشييد الملائمة للبيئة الصحراوية

شكل (4): تأثير استخدام أنواع الأسمنت على هبوط الخرسانة



شكل (5): تأثير استخدام أنواع الأسمنت على هبوط الخرسانة



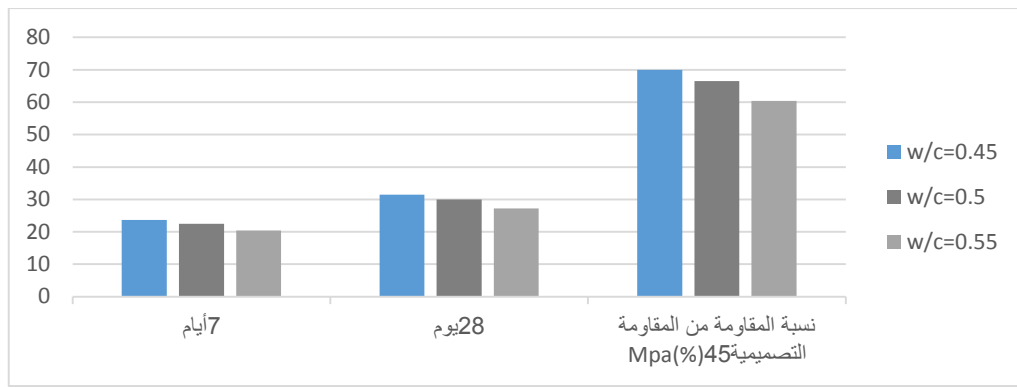
شكل (6): تأثير استخدام أنواع الأسمنت على هبوط الخرسانة

### 2. نتائج اختبارات مقاومة الخرسانة

جدول(10): يوضح نتائج الخلطات التجريبية لمقاومة الضغط المتحصل عليها

نسبة المقاومة من المقاومة التصميمية (%) Mpa45	متوسط مقاومة الضغط (MPa)		w/cm
	28 يوم	7 أيام	
70	31.5	23.625	0.45
66.5	29.96	22.47	0.5
60.4	27.2	20.4	0.55

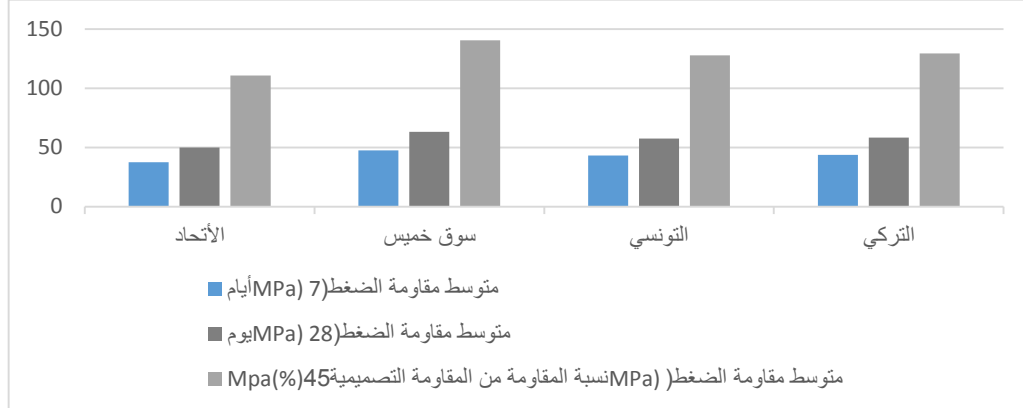
## المحور الثاني: مواد التشييد الملائمة للبيئة الصحراوية



شكل(7): نتائج الخلطات التجريبية لمقاومة الضغط المتحصل عليها

جدول(11):: نتائج الخلطات الأساسية لمقاومة الضغط المتحصل عليها

نسبة المقاومة من المقاومة التصميمية (%)	متوسط مقاومة الضغط (MPa)		نوع الأسمنت	w/cm
	28 يوم	7 أيام		
110.8	49.86	37.4	الاول	0.4
129.5	58.30	43.73	الثاني	0.4
127.7	57.50	43.13	الثالث	0.4
140.5	63.24	47.43	الرابع	0.4

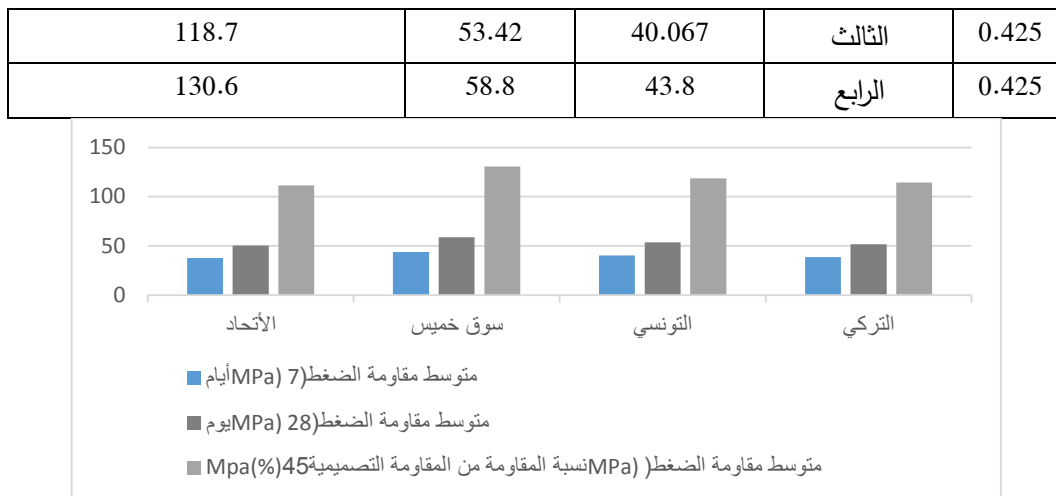


الشكل(8): يوضح نتائج نسبة مقاومة الضغط للخلطات الأساسية لمقاومة الضغط المطلوبة

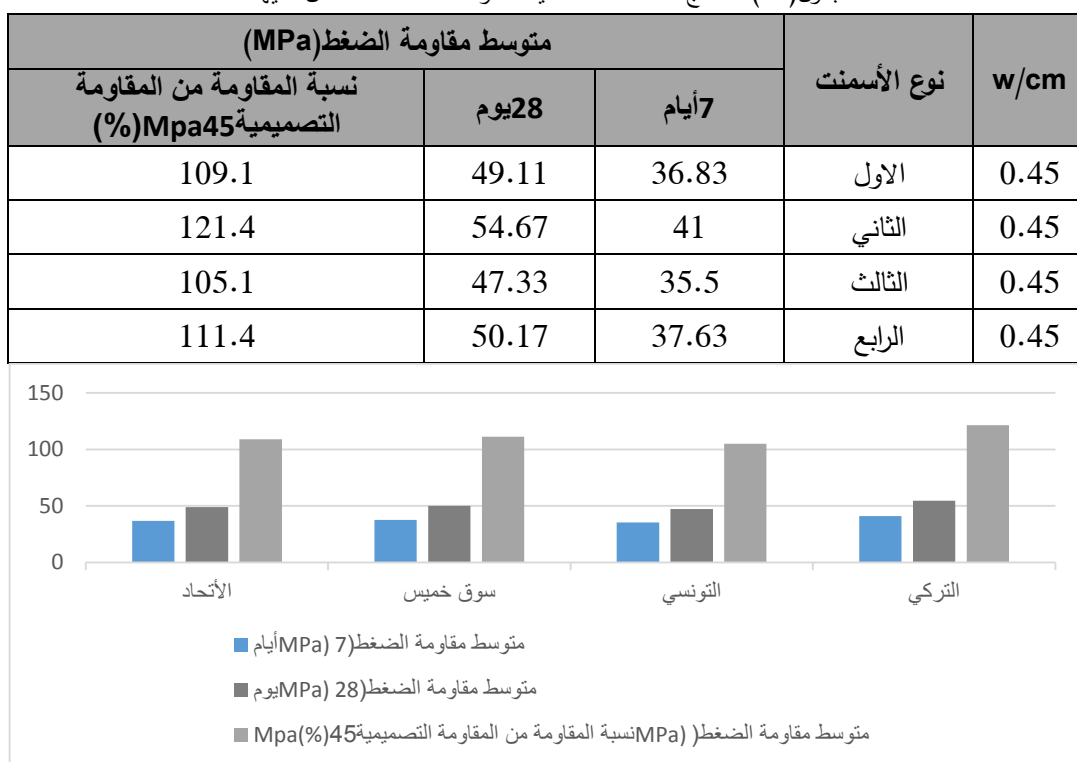
جدول(12):: نتائج الخلطات الأساسية لمقاومة الضغط المتحصل عليها

نسبة المقاومة من المقاومة التصميمية (%)	متوسط مقاومة الضغط (MPa)		نوع الأسمنت	w/cm
	28 يوم	7 أيام		
111.4	50.13	37.6	الاول	0.425
114.3	51.46	38.6	الثاني	0.425

## المحور الثاني: مواد التشييد الملائمة للبيئة الصحراوية



جدول(13):: نتائج الخلطات الأساسية لمقاومة الضغط المتحصل عليها



## 10. الخلاصة

ومن خلال النتائج المتحصل عليها تم التوصل إلى الإستنتاجات التالية :

- (1) يعتبر المصدر الثاني(التركي) الأفضل في الخرسانة الطيرية لانه يعطي انسياپ عالي.

## **المحور الثاني: مواد التشييد الملائمة للبيئة الصحراوية**

- (2) يعتبر المصدر الرابع (سوق خميس) يعطي أعلى مقاومة ضغط مع معدل انسياب عالي.
- (3) زيادة محتوى الأسمنت في الخرسانة يعمل على تحسين مقاومتها للضغط إلا أنه يزيد من التكلفة.
- (4) الملن 12 Tempo منأحدث الملنات للخرسانة ذاتية الدمك فيليبيا اعطى نتائج جيدة يمكن الحصول على الخرسانة ذاتية الدمك بأقل نسبة الماء للخرسانة العادية .

### **11. التوصيات**

بناء على نتائج الدراسة المتحصل عليها تم اقتراح جملة من المقترنات والتوصيات الآتية :

- (1) استخدام نسب أخرى من الأسمنت والماء وتحديد الخلطة المرجعية الأمثل حسب المواد المحلية .
- (2) استخدام أنواع أخرى من الملنات الفانقة التي تعمل على تحسين خواصها.
- (3) البحث في استخدام الخرسانة ذاتية الدمك في التطبيقات التي تتطلب فيها أداء عالي للخرسانة من حيث الأنساب .
- (4) التوسيع في البحث عن هذا النوع من الخرسانة وتوفير أكبر قدر من المعلومات عن خصائصها

### **12. المراجع**

- [1] المعايير القياسية الليبية رقم 340 لسنة 2002 ف الخاصة بركام الخرسانة ، المركز الوطني للمعايير القياسية – طرابلس
- [2] BS 882:2002" Specification for aggregates from natural sources ".British Standards Institution, 389 Chiswick high road, London,W4 4AL,UK,2002.
- [3] BS188:part102:1983"Method for determination of slump " .British Standards Institution , 2 park street,London,W1 2BS,UK,1983.
- [4] BS1881:part102:1983" Method for determination of compressive strength of concrete cubes ".British Standards Institution , 389 Chiswick high road , London ,W4 4AL,UK,1983.
- [5] Okamurh & ozawak. mix–design fo rselfe–compaction concrete, library of jsce,no25pp 107–120, june1995
- [6] Neville A M., " Properties of Concrete ", 4th Edition, London Group Ltp., Essex,1995
- [7] Hajime Okamura and Masahiro Ouchi, "Self–Compacting Concrete", Journal Of Advanced Concrete Technology Vol.1, No.1,5–15 ,April 2003.
- [8]المعايير القياسية الليبية رقم 340 لسنة 2009 ف الخاصة بالإسمنت البورتلاندي ، المركز الوطني للمعايير القياسية – طرابلس
- [9] م.سناء عبدالستار الباجقى " ، تنفيذ الخرسانة ذاتية الدمك باستخدام المواد المحلية ، " رسالة مقدمة لاستكمال متطلبات التخرج لنيل درجة الاجازة العليا ( الماجستير ، ) قسم الهندسة المدنية بكلية الهندسة جامعة طرابلس - ليبيا ، فصل الخريف 2010-9200

## **المحور الثاني: مواد التشيد الملائمة للبيئة الصحراوية**

[10] م . عبد الرحمن محمد احمد " تأثير نسبة الرمل  $s/a$  على مقاومة الخرسانة ذاتية الدمك عالية المقاومة ، " رسالة مقدمة لاستكمال متطلبات التخرج لنيل درجة الاجازة العليا ( الماجستير ، ) قسم الهندسة المدنية بكلية الهندسة جامعة طرابلس - ليبيا ، فصل الخريف 2012-2013

## دراسة مقارنة تصميم الخلطة الخرسانية باستخدام طريقة المعادلات الثلاثة

(1)م. يوسف علي بلفاسم، (2)أ.د. حكيم سالم عبدالقادر السموعي، (3)د. محمد عبدالفتاح صالح

(<sup>1</sup>)طالب دراسات عليا - كلية الهندسة - جامعة عمر المختار [Yousuf.ali@omu.edu.ly](mailto:Yousuf.ali@omu.edu.ly)

(2) أستاذ دكتور بقسم الهندسة المدنية - كلية الهندسة - جامعة طرابلس [h.abdelgader@uot.edu.ly](mailto:h.abdelgader@uot.edu.ly)

(3) أستاذ مشارك بقسم الهندسة المدنية - كلية الهندسة - جامعة عمر المختار [Mohamed.aljewifi@omu.edu.ly](mailto:Mohamed.aljewifi@omu.edu.ly)

### الملخص

يتسبب إنتاج الخرسانة في كمية كبيرة من ثاني أكسيد الكربون وهو مسؤول عن 8% من إجمالي انبعاثات ثاني أكسيد الكربون في جميع أنحاء العالم، يرجع تأثير الخرسانة السيئ على البيئة بشكل أساسي لإنتاج الأسمنت والذي يطلق تقريباً 1 طن من ثاني أكسيد الكربون لكل طن من الكلنكر ، لذلك فإن الاختيار الجيد لنسب مكونات الخرسانة الازمة لقابلية تشغيل وقوة معينة بأقل نسبة لمحتوى الإسمنت مهم جداً في التقليل من التأثير السيئ على البيئة، تعتبر ACI و BS أكثر طرق التصميم استخداماً محلياً، هناك أيضاً طريقة المعادلات الثلاثة (Bolomeya) وهي طريقة بسيطة تعتمد على دمج تأثير امتصاص الماء بواسطة الأسمنت والركام الناعم والخشن ، ودمج تأثير تدرج الركام في الخليط.

في هذه الدراسة تمت مقارنة مقاومة الضغط ونسب الخلط باستخدام طريقة المعادلات الثلاثة ومن ثم استبدال معادلة الأولى بمعادلة Abram لقوية ضغط تصميمية (45-40-35-30-25) ن/م<sup>2</sup>، مع نتائج اختبار مصانع إنتاج خرسانة محلية، أظهرت النتائج أن محتوى الاسمنت عند استخدام معادلة Bolomeya يتراوح بين (286) و (879) كجم/م<sup>3</sup> وفي معادلة Abram's يتراوح بين (180) و (497) كجم/م<sup>3</sup>، بينما أظهرت مصانع الخرسانة المحلية والتي يتم فيها استخدام الإضافات نتائج جيدة لمقاومة الضغط مقارنة بكميات الاسمنت المستخدمة في الخلطة الخرسانية، والذي بدوره يخفض من تكلفة الخرسانة إضافة إلى التقليل من أضراره على البيئة.

تعطي هذه الدراسة رؤية مبدئية لإمكانية استخدام طريقة المعادلات الثلاثة في تصميم الخلطات الخرسانية في ليبيا، لذا لا يزال هناك حاجة لعمل المزيد من التجارب للتحقق من فاعلية هذه الطريقة.

## **المحور الثاني: مواد التشييد الملائمة للبيئة الصحراوية**

**الكلمات الدالة:** الخرسانة، الاجهادات، نسب الخلط.

### **مقدمة**

الخرسانة هي واحدة من أكثر المواد المستخدمة شيوعاً في جميع أنحاء العالم تعتبر الخرسانة في ليبيا الجزء الأساسي من مواد البناء لأنواع مختلفة من الهياكل كالمدارس والمنازل والمصانع والمباني الشاهقة والسدود والمطارات وغيرها، عند إنتاج الخرسانة يجب الأخذ في عين الاعتبار أن تكون مرضية في حالتها الطرية والصلبة، أثناء نقل الخرسانة من الخلط ووضعها في قالب العمل يجب أن تظهر الخرسانة تنسقاً جيداً وأن يكون المزيج متماساً بدرجة كافية لطريقة الصب، الشرط الأساسي المعتمد للخرسانة الجيدة في حالتها المتصلبة هي قوة ضغط مقبولة، ولكن يجب ضمان خصائص مثل الكثافة وقوة الشد وعدم النفاذية ومقاومة التآكل وذلك لضمان ديمومة الخرسانة [1] [2].

في الوقت الحاضر يهتم الباحثون بهذا الجانب وهو الحصول على خرسانة ذات كفاءة ذات تكلفة، ركز البعض منهم على نوع وخصائص الركام الناعم والخشن وأن لهما تأثيرات كبيرة على أداء الخرسانة المتصلبة، لأنه يمثل النسبة الأكبر من حجم الخرسانة [3]، آخرون على التقليل من نسبة الاسمنت أو استبدال الاسمنت ولو جزئياً باعتبار تكلفته العالية مقارنةً بمكونات الخرسانة الأخرى وما يسببه من تلوث ناتج عن عملية صناعته يقدر بحوالي 8% من جميع انبعاثات ثاني أكسيد الكربون التي يسببها البشر [4]، لذلك أصبح من الضروري الاتجاه إلى التصميم الخرساني الذي يعتمد على مبدأ التصميم المستدام الم توفير للموارد.

إن الاختيار الجيد لنسب مكونات الخلطة الخرسانية الذي يقلل من نسبة الاسمنت يساهم في الحد من التأثيرات السيئة للإسمنت، يتم استخدام عدة طرق للحصول على مزيج الخرسانة المثالي وفقاً للمعايير المطلوبة، هناك العديد من الأساليب الدولية التي يتم استخدامها الآن إقليمياً ومحلياً لتصميم الخلطات، وأكثرها استخداماً هي طريقة معهد الخرسانة الأمريكي (ACI) [5] والطريقة البريطانية القياسية (BS) [6]، تعتمد هذه الطرق على معادلات ورسوم بيانية معينة تم إنشاؤها بواسطة التحليل الرياضي لنتائج أبحاث سابقة ، في منشآت البحث البولندية تعد طريقة المعادلات الثلاث المعروفة أيضاً باسم طريقة (Bolomeya) والذي يعتبر أحد المقدمات الأولية لتقنيات تصميم الخلطة

## المحور الثاني: مواد التشييد الملائمة للبيئة الصحراوية

الخرسانية، وتمتاز هذه الطريقة بالأخذ في الاعتبار تأثير امتصاص الماء بواسطة الإسمنت والركام الناعم والخشن وتأثير التدرج في الخلطة [7].

في هذه الدراسة ستم مقارنة نسب الخلط ومقاومة الضغط في مصانع الخرسانة بمدن بنغازي والبيضاء ومصراته مع النتائج المتحصل عليها من طريقة المعادلات الثلاث (Bolomeya) وطريقة المعادلات الثلاث المعدلة (Abrams).

### طريقة المعادلات الثلاثة.

يتم إجراء خطوات هذه الطريقة في تصميم الخلطة الخرسانية باستخدام معادلتي (Bolomey) (Abram) [8] كما يلي:

1. اختيار درجة قابلية التشغيل والتي سيتم مقارنتها في المختبر بـ (اختبار الهبوط).
2. تحديد مقاومة الضغط المتوقعة  $F_c(pr)$ .
3. باستخدام معادلة (Bolomey) المعادلة الأولى للتصميم يتم تحديد نسبة الأسمنت إلى الماء ( $C/W$ ) على النحو التالي:

If  $(C/W) < 2.5$ :

$$\frac{c}{w} = \left[ \frac{(F_c(pr))}{A_1} + 0.5 \right] \quad \text{معادلة (1-a)}$$

If  $(C/W) \geq 2.5$ :

$$\frac{c}{w} = \left[ \frac{(F_c(pr))}{A_2} - 0.5 \right] \quad \text{معادلة (1-b)}$$

**A1 & A2** هي متغيرات تم تحديدها من (الجدول 1) وفقاً لمقاومة الضغط للإسمنت وشكل الركام الخشن.

بدايةً بالمعادلة (1-a) إذا كان  $(C / W)$  أقل من 2.5 نستخدم (1-a) وإلا ننتقل للمعادلة (1-b).

## المحور الثاني: مواد التشييد الملائمة للبيئة الصحراوية

الجدول 1: قيم المعاملات A1 و A2 (Jamrozy 1999).

شكل الركام	A المتغير	مقاومة الضغط للاسمنت (ميجا باسكال)		
		32.5	42.5	52.5
مستدير	A1	18	20	21
	A2	12	13	14.5
ذو زوايا	A1	20	22	24
	A2	13.5	14.5	16

4. تحديد كمية الماء المطلوبة ( $W_{total}$ ) عن طريق المعادلة (2):

$$W_{total} = C * (W_c) + A * (W_A) \quad \text{معادلة (2)}$$

حيث أن:

C: وزن الأسمنت المطلوب (كجم /  $m^3$ ).

W<sub>c</sub>: كمية الماء التي يمتصها كيلوغرام واحد من الأسمنت.

A: وزن الركام الناعم والخشن المطلوب (كجم /  $m^3$ ).

W<sub>A</sub>: كمية الماء التي يمتصها كيلوغرام واحد من الركام الناعم والخشن.

يتم حساب قيم W<sub>c</sub> و W<sub>A</sub> من (الجدول 2) والتي تعتمد على قابلية التشغيل وتدرج الركام الناعم والخشن.

الجدول 2: مؤشر المياه للركام والأسمنت حسب جدول Bolomey

قياس المنخل (مم)	التشغيلية		
	ضعيفة	متوسطة	عالية
37/19	0.011	0.013	<b>0.015</b>
19/14	0.014	0.016	<b>0.018</b>
14/10	0.017	0.02	<b>0.023</b>
10/5	0.022	0.026	<b>0.029</b>
5/2.36	0.028	0.032	<b>0.037</b>
2.36/1.18	0.037	0.043	<b>0.048</b>
1.18/0.6	0.05	0.058	<b>0.065</b>

## المحور الثاني: مواد التشييد الملائمة للبيئة الصحراوية

0.6/0.3	0.072	0.084	<b>0.095</b>
0.3/0.15	0.104	0.122	<b>0.137</b>
0.15/0	0.205	0.239	<b>0.225</b>
الماء اللازم للأسمنت	0.271	0.273	<b>0.275</b>

5. باستخدام معادلة التصميم الثالثة(3) - معادلة الحجم - يتم حساب حجم المكونات.

$$\frac{W}{1000} + \frac{C}{1000\rho_c} + \frac{A}{1000\rho_a} = 1 \quad \text{معادلة (3)}$$

W: وزن الماء (كجم / م<sup>3</sup>).

C: وزن الأسمنت (كجم / م<sup>3</sup>).

A: الوزن الكلي للركام (كجم / م<sup>3</sup>).

$\rho_c$ : الوزن النوعي للأسمنت.

$\rho_a$ : الوزن النوعي للركام.

6. عن طريق حل المعادلات الثلاث (1,2,3) يتم حساب كميات المزيج (W & C & A).

7. يتم استبدال معادلة Bolomeya الأولى (1-a) بمعادلة Abram (1-b) وتحديد نسبة الإسمنت إلى الماء

.Fc (pr) (C/W) بنفس قيمة

$$Fc (pr) = 147 * 0.0779^{w/c} \quad \text{معادلة (4)}$$

8. بعد حساب قيمة (C/W) بنفس الخطوات السابقة يتم حساب كميات المزيج (W & C & A) عن طريق حل

المعادلات (2,3,4).

تحليل النتائج:

## المحور الثاني: مواد التشييد الملائمة للبيئة الصحراوية

تم الاعتماد في هذه الدراسة على نتائج اختبارات قام بها [8] حيث استخدم طريقة المعادلات الثلاثة في تحديد نسب خلطات خرسانية لمقاومات ضغط تصميمية باستخدام معادلتي (Abram) و(Bolomeya) ومقارنتها بنتائج الاختبار مقاومة الضغط عند 28 يوم جدول (3) جدول(4).

هذه النتائج تمت مقارنتها بقيم تم الحصول عليها من مصانع خرسانة محلية في كل من مدينة بنغازي والجل الأخضر ومصراته جدول(5) بدون إضافات، جدول(6) مع وجود إضافات.

جدول 3: يوضح قيم مقاومة الضغط التصميمية والمعملية وكمية الاسمنت ونسبة الماء إلى الاسمنت باستخدام معادلة

(Bolomeya)

مقواومة الضغط التصميمية	نسبة الماء إلى الاسمنت (W/C)	كمية الاسمنت كجم / م <sup>3</sup>	مقواومة الضغط عند 28 يوم
25	0.57	286	<b>36.1</b>
30	0.5	356	<b>41.1</b>
35	0.44	451	<b>49.7</b>
40	0.39	579	<b>55.7</b>
45	0.33	879	<b>58.4</b>

جدول 4: يوضح قيم مقاومة الضغط التصميمية والمعملية وكمية الاسمنت ونسبة الماء إلى الاسمنت باستخدام معادلة (Abram)

مقواومة الضغط التصميمية	نسبة الماء إلى الاسمنت (W/C)	كمية الاسمنت كجم / م <sup>3</sup>	مقواومة الضغط عند 28 يوم
25	0.78	180	<b>23</b>
30	0.68	219	<b>29.8</b>
35	0.6	264	<b>39.3</b>
40	0.53	393	<b>43.3</b>
45	0.46	497	<b>52</b>

يوضح الجدول(3) أن مقاومة الضغط عند 28 يوم أعلى بكثير من المقاومة المطلوبة وكمية الاسمنت مرتفعة للغاية وخاصةً عند المقاومات العالية حيث وصل إلى 879 كجم / م<sup>3</sup> عند مقاومة 45 ن/م<sup>2</sup> إذا ما تمت مقارنتها بكمية

## المحور الثاني: مواد التشييد الملائمة للبيئة الصحراوية

الاسمنت لنفس مقاومة في الجدول(4) حيث بلغت 497 كجم / م<sup>3</sup> عند نفس مقاومة وأعطت مقاومة ضغط جيدة عند 28 يوم، ولكن عند مقاومة تصميمية (25 - 30) ن/م<sup>2</sup> لم يحقق استخدام معادلة (Abram) مقاومة المطلوبة.

جدول 5: يوضح قيم مقاومة الضغط التصميمية والمعملية وكمية الاسمنت ونسبة الماء إلى الاسمنت بمصانع الخرسانة من غير إضافات

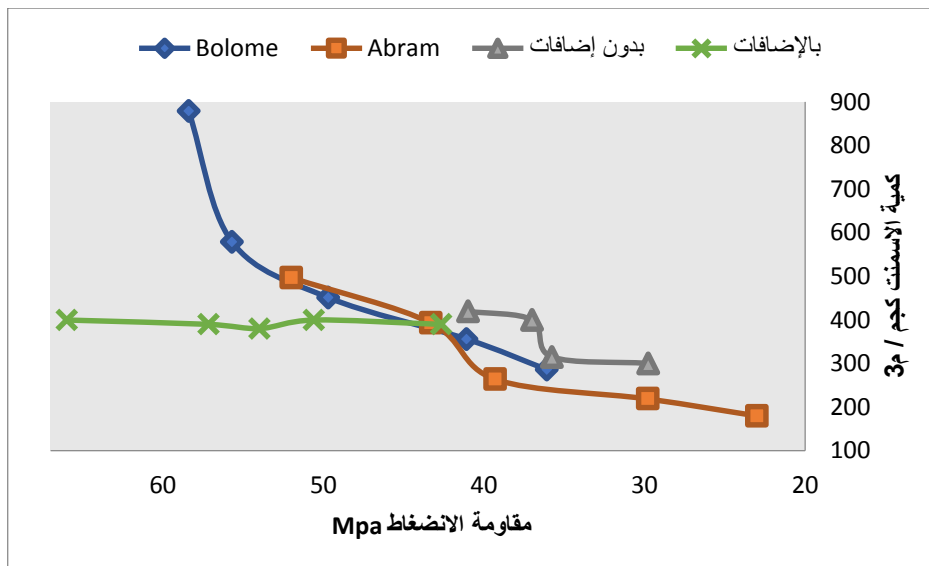
مقاييس الضغط التصميمية	نسبة الماء إلى الاسمنت (W/C)	كمية الاسمنت كجم / م <sup>3</sup>	مقاييس الضغط عند 28 يوم
20	0.65	300	29.77
25	0.6	315	35.77
35	0.58	400	37
35	0.5	420	41

جدول 6: يوضح قيم مقاومة الضغط التصميمية والمعملية، وكمية الاسمنت، ونسبة الماء إلى الاسمنت، بمصانع الخرسانة مع إضافات

مقاييس الضغط التصميمية	نسبة الماء إلى الاسمنت (W/C)	كمية الاسمنت كجم / م <sup>3</sup>	مقاييس الضغط عند 28 يوم
35	0.52	390	42.66
35	0.49	400	50.6
40	0.447	380	54
45	0.423	390	57.17
50	0.4	400	66

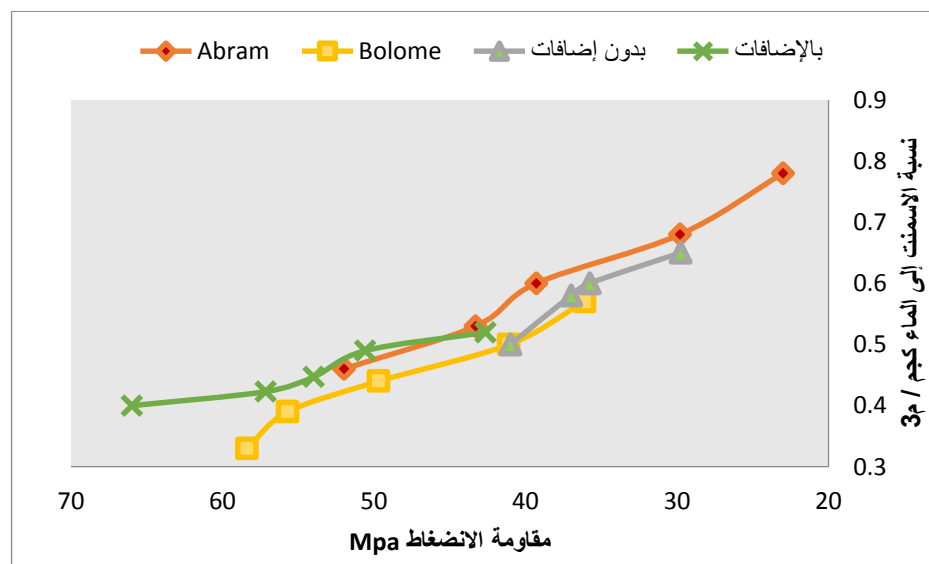
الجدول(5) والجدول(6) يوضحان قيم مقاومات الضغط لخلطات خرسانية محلية حيث أن قيم مقاومة الضغط عند 28 يوم الموضحة في الجدول(6) تزداد بشكل كبير مع استهلاك أقل لقيمة الاسمنت إذا ما تم مقارنتها ببقية القيم في الجداول(3)(4)(5) ويرجع ذلك إلى الإضافات التي تم استخدامها في هذه الخلطات الشكل(1) يوضح التغير في مقاومة الضغط اعتماداً على كمية الاسمنت.

## المحور الثاني: مواد التشييد الملائمة للبيئة الصحراوية



شكل 1: منحنى بياني يوضح التغير في مقاومة الضغط اعتماداً على كمية الاسمنت.

من المعلومات المهمة المؤثرة على مقاومة الضغط نسبة الماء إلى الاسمنت، لا ينبغي تجاهل هذه المعلومة، يوضح الشكل(2) التغير في مقاومة الضغط اعتماداً على التغير في نسبة الماء إلى الاسمنت (W/C) كلما زادت هذه النسبة قلت مقاومة الخرسانة.



شكل 2: منحنى بياني يوضح التغير في مقاومة الضغط اعتماداً على التغير في نسبة الماء إلى الاسمنت (W/C).

الاستنتاجات و التوصيات.

## المحور الثاني: مواد التشييد الملائمة للبيئة الصحراوية

تم في هذه الدراسة مقارنة نتائج اختبار أجريت وفقاً لطريقة المعادلات الثلاث باستخدام معادلة (Bolomey) مع نتائج اختبار لمصانع خرسانية محلية من عدة مدن في ليبيا، حيث تمت مناقشة تأثير كمية الاسمنت ونسبة الماء إلى الاسمنت وتأثيرها على مقاومة الضغط، يمكن من خلال هذه المقارنة أن نستنتج الآتي:

- أظهرت النتائج أن كمية الاسمنت كانت هي الأعلى عند استخدام معادلة (Bolomey) حيث بلغ  $879 \text{ كجم}/\text{م}^3$  عند مقاومة ضغط  $45 \text{ ن}/\text{م}^2$  و  $497 \text{ كجم}/\text{م}^3$  عند استخدام معادلة (Abram) و  $390 \text{ كجم}/\text{م}^3$  للخرسانة المحلية مع إضافات عند نفس المقاومة، لذلك يعتبر استخدام معادلة (Bolomey) غير مرغوب فيه من حيث الحماية البيئية والاقتصادية على الأقل في قيم مقاومة الضغط العالية.
- يوضح الشكل (2) التأثير العكسي لنسبة الماء إلى الاسمنت على مقاومة الخرسانة، لذا يجب تقليل هذه النسبة دون زيادة مفرطة في كمية الاسمنت قد يكون أحد الحلول هو الإضافات والتي تساهم بشكل كبير في الحصول على مقاومة جيدة بكمية قليلة من الاسمنت كما في الشكل (2).
- يعتبر استخدام معادلة (Bolomey) جيد لمقاومات الضغط التي تقل عن  $35 \text{ ن}/\text{م}^2$  ، بينما استخدام معادلة (Abram) جيد لمقاومات الضغط التي تزيد عن  $35 \text{ ن}/\text{م}^2$ .
- يجب الأخذ في عين الاعتبار جودة الركام الناعم والخشن والتي بدورها أيضاً تساهم في زيادة مقاومة الضغط وبالتالي تقليل كمية الاسمنت في الخرسانة، كذلك لا يجب التركيز فقط على نسب الخلط ومقاومة الضغط فحسب ولكن أيضاً الأخذ في عين الاعتبار الخصائص الكيميائية والفيزيائية لمواد الخلط وطريقة الخلط والمعالجة ونوع وكمية الإضافة وغيرها.
- نظراً لامتناع العديد من مصانع الخرسانة عن إعطاء بيانات حول تصميم الخلطات، فإن توسيع نطاق البحث يساهم الحصول على نتائج أكثر موثوقية تمكننا من تقليل أضرار الاسمنت ووضع الحلول الملائمة حيال ذلك.

### المراجع:

[1] P. K. Mehta and P. J. M. Monteiro, ‘Concrete, Microstructure, Properties and Materials’, p. 239.

- [2] A. M. Neville, *Properties of concrete*, vol. 4. Longman London, 1995.
- [3] A. M. Blash, ‘Properties of Concrete Produced Using Locally Available Aggregates in Libya’, *Int. J. Res. Appl. Sci. Eng. Technol.*, vol. V, no. IX, pp. 1480–1488, Sep. 2017, doi: 10.22214/ijraset.2017.9215.
- [4] N. Mahasenan, S. Smith, and K. Humphreys, ‘– The Cement Industry and Global Climate Change: Current and Potential Future Cement Industry CO<sub>2</sub> Emissions’, in *Greenhouse Gas Control Technologies – 6th International Conference*, J. Gale and Y. Kaya, Eds. Oxford: Pergamon, 2003, pp. 995–1000. doi: 10.1016/B978-008044276-1/50157-4.
- [5] D. E. Dixon *et al.*, ‘Reported by ACI Committee 21’, p. 39.
- [6] T. Harrison, *THE NEW CONCRETE STANDARDS – GETTING STARTED – AN INTRODUCTORY GUIDE TO THE NEW STANDARDS FOR CONCRETE BS EN 206-1 AND BS 8500*. 2003. Accessed: Oct. 17, 2022. [Online]. Available: <https://trid.trb.org/view/753874>
- [7] H. Abdelgader, R. Suleiman, A. El-Baden, A. Fahema, and N. Angelescu, *CONCRETE MIX PROPORTIONING USING THREE EQUATIONS METHOD (LABORATORY STUDY)*. 2013.
- [8] S. Abdelgader, M. Kurpinska, J. Khatib, and H. Abdelgader, ‘CONCRETE MIX DESIGN USING ABRAMS AND BOLOMEY METHODS’, *BAU J. – Sci. Technol.*, vol. 4, no. 1, Dec. 2022, doi: 10.54729/MJPS9917.

## **الخرسانة ذاتية الدمك باستخدام البوزولانا المحلية**

أ.د.عبدالسلام المبروك عاكاشة<sup>1</sup> -م/أحمد نصر الفتخي<sup>2</sup> - م / الصديق سعد عبدالله<sup>3</sup> - م / مسعود عبدالكريم عمر سالم<sup>4</sup>

### **الملخص :-**

تعتبر الخرسانة ذاتية الدمك من الأنواع الحديثة للخرسانة العالية الأداء ، وتمتاز هذه النوعية بالأنسيابية العالية واللزوجة التي تجعل الخرسانة قادرة على الحفاظ على حبيبات الركام معلقة بحيث لا يحدث فيها اي انفصال حبيبي ، تتعكس هذه المميزات في أدائية الخرسانة ذاتية الدمك حيث تجعلها قادرة على التشكّل والمرور خلال القوالب الإنسانية الضيقه أو المقاطع الإنسانية ذات نسب التسلیح المرتفعة مع تحقيق نسبة دمك عالية بدون الحاجة إلى دمك خارجي وكذلك بدون حدوث انفصال حبيبي أو نضوح في الخرسانة وهنا تستخدم البوزولانا في الخرسانة ذاتية الضغط لتحسين خواصها كما في الخرسانة التقليدية.

تتناول فكرة هذا البحث دراسة الاستفادة من البوزولانا الطبيعية المحلية المتوفّرة بالجنوب الليبي وبكثرة وذلك في نوع الخرسانة ذاتية الدمك ودراسة تأثيرها على هذا النوع من الخرسانة وذلك بإضافة البوزولانا المحلية المستخرجة من تربة منطقة الشاطئ بطريقة استبدالها وزنياً من نسبة الإسمنت وكانت النسب كالتالي (20%, 15%, 10%) من وزن الإسمنت ودراسة إمكانية إنتاج خرسانة ذاتية الدمك باستخدام هذا النوع من البوزولانا المحلية مما له دور في الكلفة بعد استبداله بالإسمنت ودراسة مدى تأثير كل نسبة على نوعية وجودة الخرسانة وخواصها حيث كان الموقع المستهدف موقع (العاافية- براك) وبالتالي كان عدد الخلطات 3 خلطات بالإضافة للخلطة المرجعية التي صممت بدون بوزولانا للمقارنة بالتغييرات الحاصلة نتيجة إضافة البوزولانا للخرسانة ودراسة مدى تأثيرها عليها .

كلمات مفتاحية: الخرسانة ذاتية الدمك، البوزولانا المحلية، الكفاءة

### **-1- المقدمة :**

منذ إنشائها في أواخر عام 1980، جلبت الخرسانة ذاتية الدمك Self-Compacting Concrete والتي يرمز لها بالإختصار (SCC) موجة من التغيير في صناعة البناء والخرسانة بشكل عام. وقد اعتبرت الخرسانة ذاتية الدمك

## **المحور الثاني: مواد التشييد الملائمة للبيئة الصحراوية**

(SCC) "ثورة هادئة" في بناء الخرسانة، حيث صاحبها فوائد رئيسية في زيادة الإنتاجية للخرسانة مقارنة مع الخرسانة التقليدية، وتعزيزاً لجودة البناء، وتحسين لبيئة العمل في الموقع، وقد تم تنفيذ الكثير من البحوث حول خصائص جديدة على هذا النوع، من حيث التصميم والخلط، وحيث أنه قد شهدت صناعة الخرسانة في العقود الأخيرة من الزمن تطوراً كبيراً تمثل في إنتاج أنواع جديدة منها لتشييد منشآت خرسانية موثوقة في خواصها من حيث القدرة على تحمل الضغوط المسلطة عليها والديمومة العالية مع سهولة التنفيذ والصب و الرص وتقليل فترة الإنشاء وتقليل الاعتماد على مهارة العمالة إثناء التنفيذ.

وتعتبر الخرسانة الذاتية الدmek من الأنواع الحديثة للخرسانة العالية الأداء، وتمتاز هذه النوعية بالانسيابية العالية والزروحة التي تجعل الخرسانة قادرة على الحفاظ على حبيبات الركام معلقة بحيث لا يحدث فيها أي انفصال حبيبي، تعكس هذه المميزات في أدائية الخرسانة الذاتية الدmk حيث تجعلها قادرة على التشكيل والمرور خلال القوالب الإنسانية الضيقة أو المقاطع الإنسانية ذات نسب التسلیح المرتفعة مع تحقيق نسبة دمك عالية بدون الحاجة إلى دمك خارجي وكذلك بدون حدوث انفصال حبيبي أو نضوح في الخرسانة وهنا تستخدم البوزولانا في الخرسانة ذاتية الضغط لتحسين خواصها كما في الخرسانة التقليدية حيث تعتبر كل من إضافات تحسين الزوجة وإضافات تقليل ماء الخلط (الملدبات الفائقة) بما العنصرين الأساسيين اللازمين لإنتاج هذه الخرسانة. ويعتبر اليابانيون هم رواد صناعة هذه الخرسانة حيث قاموا في السنوات الأخيرة باستخدامها في منشآت وتطبيقات عديدة ومفيدة. بعد ذلك تم إنتاج هذه الخرسانة في العديد من الدول مثل تركيا وأمريكا وغيرها من الدول.

الخرسانة ذاتية الدmk يتم استخدامها كمادة في كثير من الأسواق العالمية وهي الخرسانة التي لها درجة عالية من السيولة والانسياب (Deformability) كما أن لها مقاومة عالية لانفصال الحبيبي ويمكن صبها بنجاح في القطاعات الضيقة والمزدحمة بحدid التسلیح بدون الاستعانة بأي وسيلة دمك خارجية.



الشكل (1) صورة توضح معدات إختبار الخرسانة الذاتية الدمك - داخل معمل الخرسانة ومواد البناء كلية الهندسة جامعة وادي الشاطئ

- 1-1 الهدف من الدراسة:

يهدف هذا البحث إلى

- دراسة تأثير استخدام أحد أنواع البوزولانا المحلية كبديل جزئي عن الإسمنت ومدى تأثيره على خواص  
الخرسانة ذاتية الدمك الطيرية والمتصلة.

- وكذلك إلى التحقق من إمكانية الاستفادة من مزايا استخدام البوزولانا المحلية في تحسين الخصائص  
الهندسية للخرسانة ذاتية الدمك دون إن يؤثر ذلك على خواصها الانسيابية.

- 2- منهجة البحث:

سيتم من خلال هذا البحث دراسة لخواص الخرسانة ذاتية الدمك بعد اضافة البوزولانا المحلية من منطقة وادي الشاطئ  
تحديداً موقع العافية والمتواجدة بكثرة بهذه المنطقة حيث سوف يتم دراسة مدى تأثير البوزولانا على التشغيلية للخرسانة

## **المحور الثاني: مواد التشييد الملائمة للبيئة الصحراوية**

الطريقة عن طريق اختبار الركود والتدفق وبعض اختبارات التشغيلية الخاصة بهذا النوع من الخرسانة وأيضاً مدى تأثير هذا النوع من على الخرسانة المتصلة وذلك بدراسة تأثيرها على الكثافة و المقاومة خلا الفترات (3,7,28,60 ) يوما .  
وسوف يتم إضافة البوزولانا المحلية بنسب متفاوتة من وزن الخرسانة (10%,15%,20%) واختبار الخصائص السابق ذكرها على كل عينة.

### **- 1- المواد المستخدمة:**

#### **الإسمنت**

تم استخدام الإسمنت البورتلاندي العادي من إنتاج مصنع لبرج زليتن لجميع الخلطات المستخدمة.  
**الركام الناعم**

تم استخدام رمل طبيعي من منطقة الشاطئ زلاف كركام ناعم بعد نخله على المناخل القياسية ومطابق لمواصفات الركام الناعم حسب المواصفات القياسية الليبية (1).

#### **الركام الخشن**

تم استخدام حصى مكسر من منطقة الشاطئ كركام خشن، وبمقاس أقصى 10 ملم ومن خلال التحليل المنخلي وجد أنه مطابق للمواصفات الليبية(2). لهذا الحجم من الركام.

#### **الملنن المتفوق**

تم استخدام في هذا البحث مضاف مقلل للماء بدرجة متقدمة أحد الملننات الخاصة بهذا النوع من الخرسانة وهو **(agel -Technohyper)** (3) بنسبة 1.8% لكل الخلطات.

#### **البوزولانا المحلية**

تم استخدام في هذه الدراسة البوزولانا المحلية المستخرجة من تربة وادي الشاطئ (العافية - براك) كمضاف للخلطة الخرسانية وذلك بعد نخلها على منخل 150 ميكرومتر واستخدام المار منها كنسبة من وزن الإسمنت جزئيا وهي من الإضافات التي يكثر استخدامها في الخرسانة لتحسين جودة الخرسانة وتحسين خواصها ، وتستخدم كنسبة من وزن الإسمنت.

وفيما يلي التركيب الكيميائي لعينة البوزولانا المستخدمة في الدراسة.



الشكل (2) صورة توضح موقع استجلاب عينة البوزو لانا منطقة العافية براك الشاطئ

#### Analyzed result

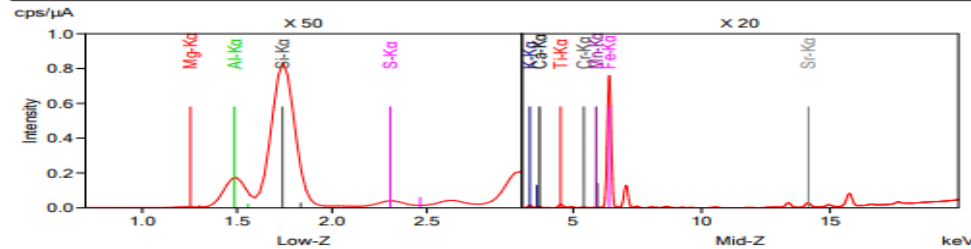
##### Sample Information

Sample name	Alafya
File name	Dr Abdalmenam_202202271229
Application	Dr Abdalmenam
Date	2/27/2022 12:29 PM
Analyzed by	Mansour
Counts	1
Comment	Dr Abdalmenam

##### Analyzed result(FP method)

No.	Component	Result	Unit	Stat. Err.	LLD	LLQ	Element line	Intensity(cps/µA)
1	SiO <sub>2</sub>	59.7	mass%	0.0435	0.0111	0.0331	L:Si-K $\alpha$	246.127
2	Al <sub>2</sub> O <sub>3</sub>	25.9	mass%	0.0175	0.0367	0.110	L:Al-K $\alpha$	48.494
3	Fe <sub>2</sub> O <sub>3</sub>	7.63	mass%	0.0138	0.0002	0.0005	M:Fe-K $\alpha$	115.427
4	K <sub>2</sub> O	3.17	mass%	0.0457	0.0311	0.0932	M:K-K $\alpha$	1.957
5	TiO <sub>2</sub>	1.32	mass%	0.0157	0.0102	0.0305	M:Ti-K $\alpha$	2.816
6	SO <sub>3</sub>	0.884	mass%	0.0045	0.0057	0.0172	L:S-K $\alpha$	12.337
7	MgO	0.811	mass%	0.0545	0.149	0.448	L:Mg-K $\alpha$	0.311
8	CaO	0.489	mass%	0.0167	0.0277	0.0831	M:Ca-K $\alpha$	0.474
9	Cr <sub>2</sub> O <sub>3</sub>	0.0701	mass%	0.0021	0.0019	0.0058	M:Cr-K $\alpha$	0.428
10	MnO	0.0199	mass%	0.0012	0.0027	0.0081	M:Mn-K $\alpha$	0.197
11	SrO	0.0148	mass%	0.0001	<0.0001	0.0003	M:Sr-K $\alpha$	5.767

##### Spectrum

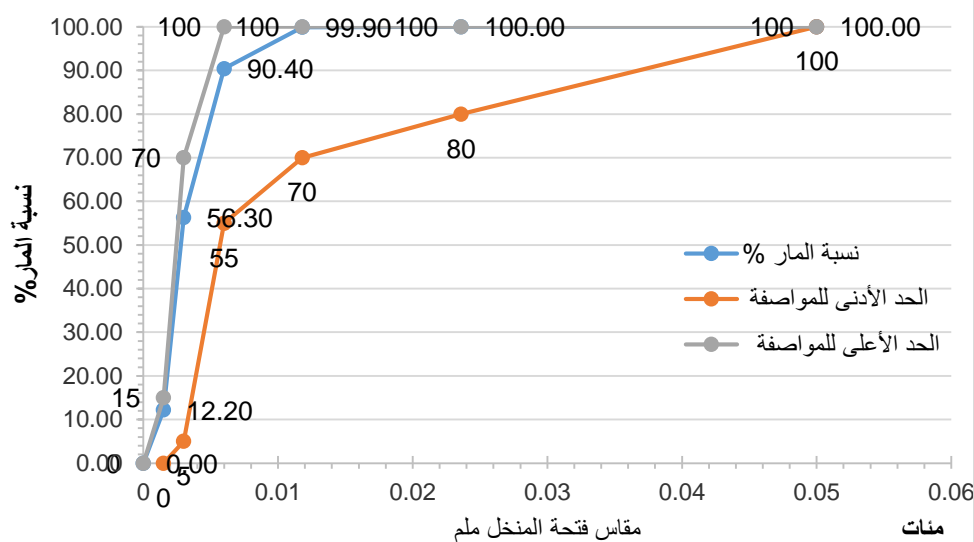


الشكل (2) يوضح نتائج التحليل الكيميائي لعينة البوزو لانا المستخدمة.

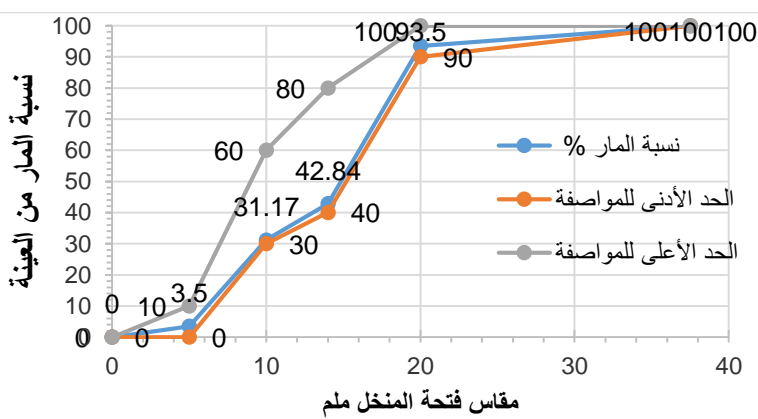
الماء

ماء الشرب الاعتيادي من شركة دجلة المحلية لصناعات المياه هو المستخدم في هذه الدراسة في جميع الخلطات الخرسانية ولغرض الإنضاج حسب المواصفات القياسية الليبية.

## المحور الثاني: مواد التشييد الملائمة للبيئة الصحراوية



الشكل (3) منحني تدرج الركام الناعم



الشكل (4) منحني تدرج الركام الحسن

وفيما يخص الخلطة الخرسانية فقد تم تصميم الخلطة باستخدام طريقة المحاولة<sup>(5)</sup> وتم ضبط وتعديل نسب الخلط بحيث تتوافق مع المواصفة الأوروبية (EFNARC)<sup>(4)</sup> وتم تنفيذ عدد 4 خلطات بنساب (0, 10, 15, 20) كنسبة مئوية من وزن الإسمنت وذلك بالإستبدال جزئياً كما هو موضح بالجدول التالي: -

## المحور الثاني: مواد التشييد الملائمة للبيئة الصحراوية

الجدول رقم (1) أوزان المواد بالخلطات الخرسانية

4	3	2	1	رقم الخلطة
368	391	414	460	الإسمنت(kg)
%20	%15	%10	%0	البوزولانا المطحية
210	210	210	210	الماء لتر
818.18	818.18	818.18	818.18	ركام ناعم(kg)
818.18	818.18	818.18	818.18	ركام خشن(kg)
9	9	9	9	%1.8 (agel -Technohyper )

لقد تم إجراء بعض الإختبارات على الخرسانة وهي في حالتها الطيرية لدراسة مطابقتها لمواصفات الخرسانة الذاتية الدمك

وفقاً للمواصفات الأوروبية للخرسانة الذاتية الدمك (EFNARC) حيث تم إجراء الإختبارات السابق ذكرها.

### - 3 - النتائج

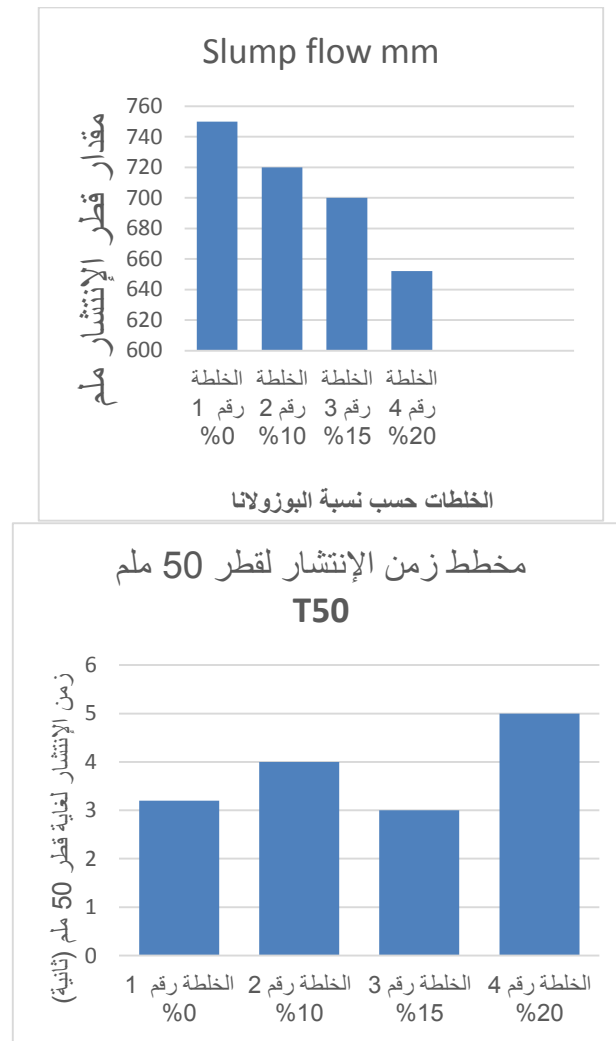
نتائج اختبارات الخرسانة في الحالة الطيرية ومناقشتها

الجدول رقم (2) نتائج اختبارات الخرسانة الطيرية وحدود المواصفات

رقم الخلطة	Slump flow mm	T50 SEC	V-Funnel Test SEC	L – Box Test	المضاف %	نسبة المواد البوزولانية %
1	750	3.2	10	0.96	1.8	0
2	720	4	7	0.88	1.8	10
3	700	3	6.2	0.89	1.8	15
4	652	5	10.3	0.7	1.8	20
حدود المواصفة	800-650	5-2	12-6	1-0.8	%2-0.5%	/

## المحور الثاني: مواد التشييد الملائمة للبيئة الصحراوية

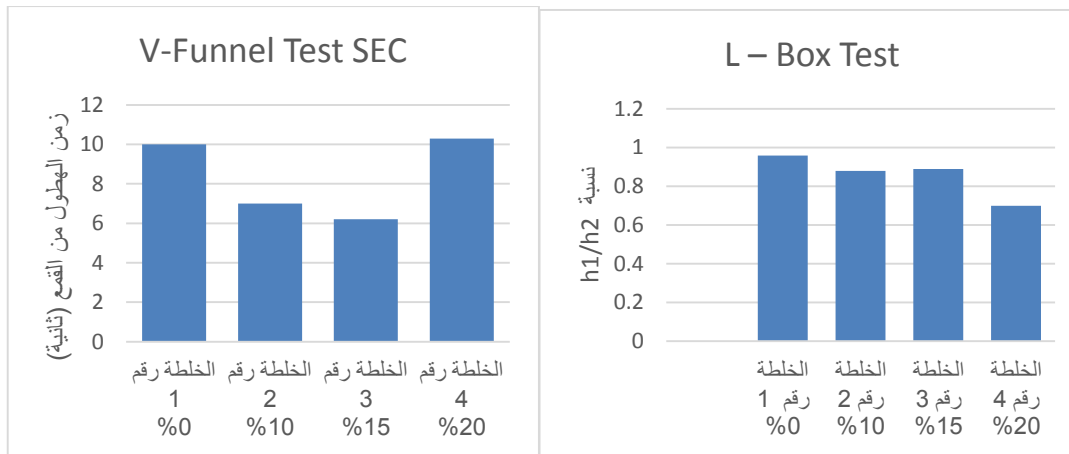
تبين الإختبارات أن الإختبارات المنفذة لها قطر انتشار يقع ضمن حدود المواصفة المحددة وهي من 650-800 ملم باستثناء الخلطة الحاوية على أعلى نسبة من المواد البوزولانية وذلك بسبب ارتفاع اللزوجة لديها والسبب يكمن في زيادة المساحة السطحية الذي يؤثر عكسياً على انسياب الخرسانة وكمية الماء فيها.



الشكل رقم (5) يوضح مقدار وزمن الانتشار لكل الخلطات المتبعة

بينما اختبار زمن الندف كانت كل النتائج ضمن الحد المسموح به للمواصفة وهو ما بين 2 إلى 5 ثواني وكذلك الحال فيما يخص اختبار القمع 7 وزمن الانسياب خلاله حيث كانت كل النتائج ضمن الحدود ولوحظ ارتفاع الزمن عند زيادة نسبة المواد البوزولانية عند الخلطة الحاوية على 20% من المواد البوزولانية.

## المحور الثاني: مواد التشييد الملائمة للبيئة الصحراوية



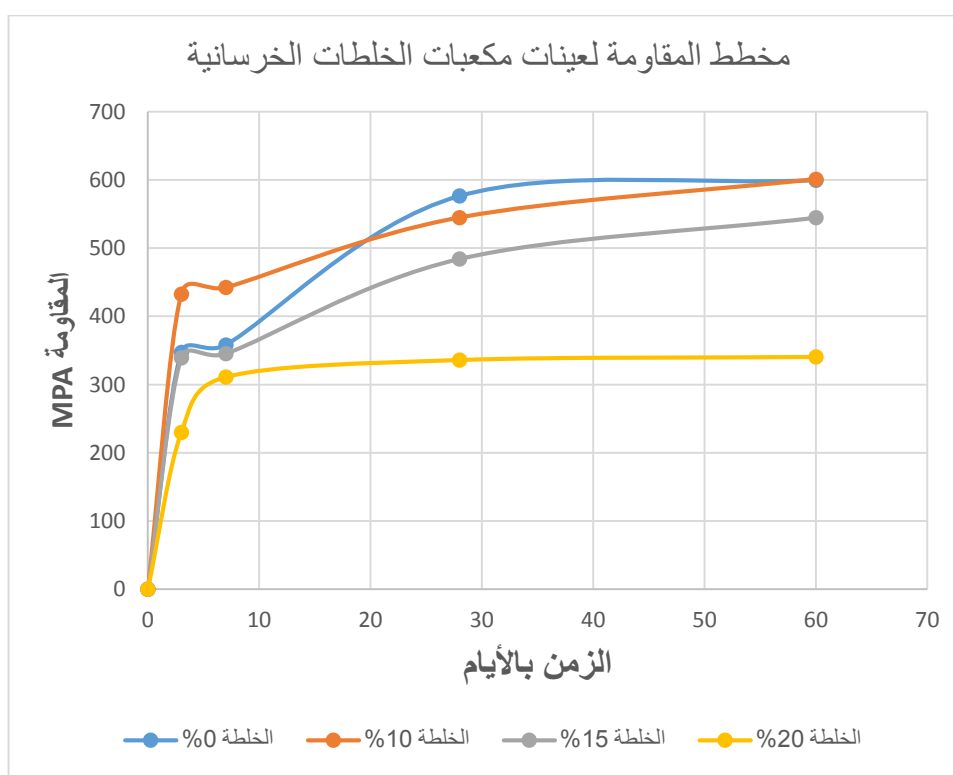
الشكل رقم (6) يوضح زمن الهطل من القمع ٧ ونتائج اختبارات L-BOX لكل الخلطات.

ونتائج اختبار L-BOX فكانت النتائج ضمن الحدود باستثناء الخلطة الحاوية على أعلى نسبة من البوزولانا عند 20%

فكانـت النـتيـجة 0.7 وهـي خـارـج حـدـود المـواصـفة بـسـبـب صـعـوبـة الإـسـتوـاء لـدى الـخـلـطـة وـذـلـك كـمـا ذـكـرـنـا سـابـقـا يـعـود لـلـزـوجـة

الـعـالـيـة فـيـهـا

### نتائج اختبارات الخرسانة في الحالة الصلدة ومناقشتها



الشكل رقم (9) يوضح نتائج اختبارات مقاومة الضغط لكل الخلطات

## **المحور الثاني: مواد التشييد الملائمة للبيئة الصحراوية**

من خلال النتائج في المنحني تبين أنه في بداية عمر الخرسانة في الأيام الأولى كما هو معروف فلا يوجد تحسن يذكر في مقاومة الخرسانة بعد إضافة البوزولانا حيث أنه من المعروف أن المواد البوزولانية تمنح مقاومة أكثر عادة بعد فترة زمنية تتجاوز الشهر وهذا ما لوحظ خلال القيم بعد عمر 28 يوم في الجدول حيث كانت الخلطة الحاوية على 10% هي الخلطة الأمثل بين بقية الخلطات.

ولو وحظ خلال زيادة المواد البوزولانية لنسبة 20% يكون لها تأثير عكسي عال مقاومة والكتافة وذلك يرجع لعدم قدرتها على المليء الذاتي للفراغات داخل الخرسانة وبالتالي ضعف مقاومة الخرسانة.

### **-4 الخلاصة**

4- بالإمكان الحصول على خرسانة ذاتية الدمك ضمن شروط المواصفات الأوروبية (EFNARC) باستخدام البوزولانا المحلية من منطقة برانك الشاطئ.

5- بالإمكان توفير كمية من الإسمنت بإستبداله وزنيا بمادة البوزولانا المحلية بالجنوب الليبي مما يساهم في تقليل التكلفة الإقتصادية.

6- الحصول على تحسن واضح بعد استخدام البوزولانا وحيث كانت النسبة المئوية هي 10% حيث حققت كل شروط المواصفة فيما يخص الخواص الطيرية للخرسانة ذاتية الدمك وكذلك في مقاومة والكتافة.

7- حدوث نتائج عكسية في كلا من اختبارات الخرسانة الطيرية والمتصلة عند زيادة نسبة المواد البوزولانية بالخلطة الخرسانية وذلك ظهر جليا عند اختبارات النسبة 20% من وزن الإسمنت.

### **-8 التوصيات:-**

بناءا على ما استنتج في هذه الدراسة نوصي بالآتي:-

5- دراسة المزيد من أنواع البوزولانا المحلية المتوفرة بالجنوب الليبي على الخرسانة ذاتية الدمك ودراسة تأثير كل نوع على الخصائص الطيرية والمتصلة لها.

6- دراسة بقية الخصائص للخرسانة المتصلة على نفس النوع من البوزولانا ومدى تأثيرها على الإمتصاص والنفاذية

## **المحور الثاني: مواد التشييد الملائمة للبيئة الصحراوية**

7- دراسة تأثير نعومة البروزولانا بقيم مختلفة على نوعية الخرسانة الذاتية الدمك ومدى التغير في خصائصها

### **9- المراجع**

1- المواصفات القياسية الليبية رقم (49) ركم الخرسانة من المصادر لطبيعة 20002.

2- المواصفات القياسية الليبية للمواد الأولية 2014

3- النشرة الفنية لمادة (agel -Technohyper) لسنة 2022

**Specification and Guidelines for Self-Compacting Concrete February 4**

.2002

5- ورقة بحثية بعنوان دراسة تأثير إضافة البوليمر الملين السائل البولي كربوكسيلات المحور على خواص

الخرسانة الإسمنتية \_ مجلة البحث الأكademie عبد العالى بشير أحمد بن صالح، علي فرج

زويونخ، حمزة مفتاح خير جاء.

### دراسة بعض الخواص الميكانيكية للخرسانة المسلحة بالياف البروبيلين

أ. عبد الجليل عبدالرحيم المجدوب      د. عمر السنوسى فرجات  
استاد الخرسانة ومواد البناء      محاضر مساعد كلية التقنية الهندسية هون  
[O.Falagush@ceh.edu.ly](mailto:O.Falagush@ceh.edu.ly)      [farhat.g.farhat@gmail.com](mailto:farhat.g.farhat@gmail.com)  
[0913majd@gmail.com](mailto:0913majd@gmail.com)

قسم الهندسة المدنية ،كلية التقنية الهندسية - هون

#### الملخص

تعتبر الخرسانة من أهم المواد الإنسانية التي استخدمت ولا زالت تستخدم إلى يومنا الحالي في أعمال البناء والإنشاءات الهندسية نظراً لتوفر موادها الأولية وسهولة التعامل معها . ولقد تطورت صناعة الخرسانة منذ بداية القرن الماضي كمادة إنسانية بسيطة إلى مادة إنسانية سيطرت على قطاع البناء في أرجاء العالم . ومن ضمن هذه التطورات استخدام الألياف في الأعمال الخرسانية للاستفادة منها لتحسين خصائص الخرسانة وتعمل الألياف على تحسين مقاومة الخرسانة في القص والشد والانحناء والصدم والانكماس كما أنها تعمل على تقليل اتساع الشروخ وإعادة توزيعها. ومن أكثر أنواع الألياف استخداماً في الخرسانة هي الياف الحديد والزجاج و البروبيلين . وفي هذا الدراسة تم استخدام الياف البروبيلين والتي تتكون من مادة بوليمرية من مشتقات البترول.

تهدف هذه الورقة إلى دراسة بعض الخواص الميكانيكية لعينات من الخرسانة والمحتوية على نسب مختلفة من الياف البروبيلين (0.1%, 0.2%) ومن خلال النتائج تبين أن إضافة الياف البروبيلين لها تأثير واضح على إجهاد الانحناء وتأثير بسيط جداً على إجهاد الضغط والشد الغير مباشر. كما أوصت الدراسة ببعض التوصيات التي من شأنها أن تعزز استخدام الخرسانة المسلحة بالياف البروبيلين

**الكلمات الافتتاحية :** الألياف ، البروبيلين ، الخرسانة المسلحة بالياف

#### ١- المقدمة

مما لا شك فيه ان للخرسانة مقاومة عالية للضغط الا انها ضعيفة في الشد. وان استعمال حديد التسلیح او كميات كافية من الالياف قادره على تحسين مقاومتها للشد، واستخدام الالياف يؤدي ايضا الى تحسين سلوكية الخرسانة اثناء وبعد عملية التشقق وبهذا تتحسن خاصية المتانة. توجد انواع عديده من الالياف مثل الياف الكربون والالياف الزجاجية والالياف البروبيلين وتستخدم هذه الالياف في مشاريع عديده مثل الابنية الخرسانية العالية والخرسانة مسبقة الصب والكريدي والسود.

تعرف الخرسانة المسلحة بالياف بأنها خليط من عجينة الاسمنت والركام مع قطع من الالياف رقيقة القطر. وهناك الياف طويلة واخرى قصيرة وذلك حسب الاغراض المطلوبة.

وكما هو شائع ومعرف أن للخرسانة استعمالات كثيرة في جميع المجالات الا ان من العيوب الرئيسية للخرسانة هي مقاومتها الضعيفة للشد والانحناء وانها تميل الى درجة الهشاشة brittleness . وهذه العيوب تنتج تشغقات تؤدي الى تدهور الخرسانة ويعتبر وجود الالياف القصيرة بشكل عشوائي يساعد في تحسين خواص الخرسانة ويمنع او يقلل تتمدد

## **المحور الثاني: مواد التشييد الملائمة للبيئة الصحراوية**

هذه التشققات crack propagations وتعتمد كفاءة خرسانة الالياف على الكثير من العوامل من اهمها خواص الخليط وتجانسه, نوع الالياف, نسبة الالياف وكذلك شكل الالياف. وجد ان مادة الالياف ونوعها لها مقدرة في حلقة مشكلة تكوين التشققات وذلك بزيادة المقاومة والمتانة والمرنة للخرسانة.

ان اضافة الياف البروبيلين للخرسانة بطريقة متوزعه توفر توزيعا منتظماما تؤثر في سلوكية الخرسانة كما هو عليه في الخرسانة العادية. توزيع الالياف واتجاهاتها يساعد في التحكم في تمدد التشققات وذلك عن طريق خلق رابط بين فجوات الخرسانة **bridging** والمتعرضة للشد والانحناء.

وخلال السنوات السابقة تم اجراء العديد من الدراسات والتجارب على خرسانة الالياف وعلاقة الياف البروبيلين

بالخرسانة بكل من المقاومة والديمومة ومن اهم هذه الدراسات [1] [2] [3] [4]

وأكملت اغلب هذه الدراسات عل ان اضافة الياف البروبيلين للخرسانة تساعد في تحسين بعض الخواص الميكانيكية ولكن بدرجات متفاوتة.

نظرا لأهمية وظيفة الالياف في الخرسانة العادية والمسلحة حيث ان توزيع الالياف يعتبر توزيعا عشوائيا داخل مكونات الخرسانة الامر الذي يقتضي حديد التسليح الذي يجب وضعه في الخرسانة في اماكن محددة وحيث انه من خلال دراستنا للعديد من الالياف الطبيعية منها والصناعية وجدنا انه من الاهمية بمكان استخدام الالياف الصناعية والتي تعتمد اساسا على الصناعات البترولية كالياف البروبيلين حيث انه بالإمكان تصنيع هذه الالياف داخل ليبيا وتكون تكلفتها الاقتصادية قليلة بالمقارنة مع غيرها من الالياف الصناعية كالياف الحديد والزجاج وأيضا إضافة هذه الالياف الى الخرسانة تقلل من عملية الانكماس اللدن وكذلك الانكماس الجفافى والذى نشاهد كثيرا في المنتجات الخرسانية وبالتحديد في المناطق الحارة والتي تكون نسبة الرطوبة فيها قليلة وهذا الامر ظاهر للعيان من خلال التشققات التي تظهر على الخرسانة في المراحل المبكرة من صبها .

### **2- اهداف الدراسة**

تهدف هذه الدراسة إلى معرفة تأثير الياف البروبيلين على بعض خواص الخرسانة العادية وذلك عن طريق إجراء بعض التجارب والاختبارات الميكانيكية للخرسانة ومنها اختبارات على مواد الخرسانة الأولية، وكذلك إجراء اختبارات على الخرسانة الطازجة ومنها اختبار الهبوط وكذلك على الخرسانة المتصلدة كاختبارات الضغط والشد المباشر والانحناء لإيجاد قيمة معامل الكسر (Modulus of rubture) ، ولم تجرى اختبارات على مادة الفايبر وذلك لعدم وجود إمكانات معملية لذلك ، وإنما تم الاكتفاء في هذه الدراسة بالمواصفات الموجودة بالنشرة المرفقة مع مادة الفايبر ، وقد تم تجهيز 27 عينة من الخرسانة القياسية وكذلك الخرسانة المسلحة بنسب مختلفة من الفايبر وهذه العينات موضحة في الجدول رقم 1 .

## المحور الثاني: مواد التشييد الملائمة للبيئة الصحراوية

جدول 1 نوع وعدد العينات المستخدمة في الدراسة

الارتفاع (m)	العرض القطر (m)	الطول (m)	العدد	النوع	العينات
0.15	0.15	0.15	3	المكعبات	القياسية
0.30	0.15	-	3	الاسطوانات	
0.10	0.1	0.5	3	العتبات	
0.15	0.15	0.15	3	المكعبات	Fiber 0.10%
0.30	0.15	-	3	الاسطوانات	
0.10	0.1	0.5	3	العتبات	
0.15	0.15	0.15	3	المكعبات	Fiber 0.20%
0.30	0.15	-	3	الاسطوانات	
0.10	0.1	0.5	3	العتبات	

### 3 المواد المستخدمة

في هذه الدراسة تم استخدام اسمنت بورتلاندي عادي منتج من مصنع الاتحاد العربي للإسمنت بزليتن والمصنع طبقاً للمواصفات البريطانية BS 12: 1996 . كما تم استخدام رمل مورد من محاجر منطقة زلة وذلك لجودته وخلوه من الشوائب ذو تدرج حبيبي وخواص فيزيائية مطابقة للمواصفات البريطانية (BS882:1992) واستخدم في الخلطات الخرسانية ايضاً ركام كبير والذي يشكل من 70 – 75 % من حجم الخلطة الخرسانية مصدره كسارات مدينة سوكنه منطقة جبال السوداء وقد تم اجراء الاختبارات الضرورية كاختبارات التدرج الحبيبي وبعض الاختبارات الفيزيائية الاخرى اما الماء فمصدره كلية التقنية الهندسية ، واخيراً الألياف ( Fiber ) وهي عبارة عن منتج من مادة البروبيلين عالية الكفاءة ، ومصممة للتحكم في تشغقات الانكماش في الخرسانة ، وهي مبينة كما في الشكل (1) والجدول رقم (2)

جدول 2 بعض الخواص الميكانيكية لمادة البروبيلين

900 kg/m <sup>3</sup>	الكثافة
18 mm	الطول
18 Micron	القطر
300–400 Mpa	مقاومة الشد
6000–9000 N/mm <sup>2</sup>	معامل المرونة
160 C	نقطة الليونة



شكل 1 مادة البروبيلين

#### 4- تصميم الخلطات الخرسانية

في هذه الدراسة تم العمل على الخلطة حسب النسب المبينة في الجدول (3)  
جدول 3: نسب المواد المستخدمة في الخلطة الخرسانية

فابر $\text{Kg}/\text{m}^3$	ماء $\text{Kg}/\text{m}^3$	زلط $\text{Kg}/\text{m}^3$	رمل $\text{Kg}/\text{m}^3$	اسمنت $\text{Kg}/\text{m}^3$	Specimen نوع العينة
-	219.8	1050	700	350	Control
0.91	219.8	1050	700	350	Fiber 0.10%
1.82	219.8	1050	700	350	Fiber 0.20%

#### 5- الاختبارات

في هذه الدراسة تم اجراء مجموعة من الاختبارات على الخرسانة الطازجة والمتصلدة وقد شملت ما يلي:

##### 1.5 اختبار الهبوط للخرسانة الطازجة

تم اجراء اختبار الهبوط على الخرسانة الطازجة وفقا للمواصفات البريطانية BS 1881:part 102: 1983 (4) يوضح نتيجة اختبار الهبوط للخرسانة الطازجة وقد تم اجراء هذا الاختبار بثلاث عينات من الخرسانة وهى خرسانة قياسية وخرسانة الاليف بنسبة 0.1 % وخرسانة الاليف بنسبة 0.2 % وقد أظهرت النتائج بأن اضافة الاليف الى الخرسانة تزيد قليلا من هبوط الخرسانة وان هذا التغير ربما لا يذكر حيث ان نسبة زيادة الهبوط للخرسانة المزودة بـ 0.1 % هي 1.18 % , وان نسبة زيادة الهبوط للخرسانة المزودة بـ 0.2 % من الاليف هي 2.35 % وعلى العموم وكما ذكرنا سابقا انه لا يوجد تغير يذكر في قوام وهبوط الخرسانة بإضافة هذه النسب من الاليف .ويرجع السبب في هذا ربما الى ان نسب البولي بروبلين قليلة وذلك ايضا لخفة وزن الاليف بالإضافة الى ان المساحة السطحية النوعية للركام الخشن والناعم ثابتة والامتصاص ايضا ثابت [7]

## المحور الثاني: مواد التشييد الملائمة للبيئة الصحراوية

جدول 4 نتائج اختبار الهبوط للخرسانة الطازجة

وصف القوام	مقدار الهبوط (مم)	العينة
قوام رخو	85	القياسية
قوام رخو	86	نسبة البروبيلين 0.1 %
قوام رخو	88	نسبة البروبيلين 0.2 %



شكل 2: نتائج اختبار الهبوط للخرسانة الطازجة

### 5-2 اختبار مقاومة الضغط

تعتبر مقاومة الخرسانة للانضغاط من الخصائص التي تتأثر بشكل كبير بنسبة ماء الخلط حيث انه اذا كانت هذه النسبة كبيرة سيؤدي ذلك الى الحصول على عجينة مخففة عالية الانكمash وضعيفة وبالتالي فأن الخرسانة الناتجة ستكون منخفضة المقاومة وقليلة التحمل للتغيرات المناخية [8]

جدول 5 نتائج اختبار مقاومة الضغط للمكعبات الخرسانية

متوسط مقاومة الضغط (Mpa)	مقاومة الضغط ( Mpa)	مساحة العينة ( mm <sup>2</sup> )	الحمل (KN)	رقم العينة	نوع العينة
34.8	36.44	22500	820	C11	القياسية
	35.20	22500	792	C12	
	32.71	22500	736	C13	
32	32.17	22500	724	C21	نسبة البروبيلين
	32.17	22500	724	C22	

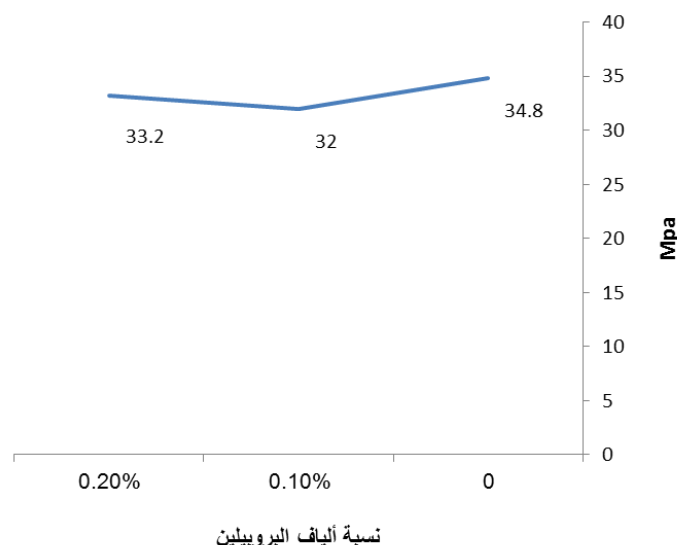
## المحور الثاني: مواد التشييد الملائمة للبيئة الصحراوية

				0.1%
32.2	31.64	22500	712	C23
	33.6	22500	756	C31
	33.6	22500	756	C32
	29.51	22500	664	C33



شكل 3: المكعبات بعد إجراء اختبار مقاومة الضغط

اجريت اختبارات الضغط طبقاً للمواصفات البريطانية 1983 BS 1881 Part 1116: 1983 حيث تم اجراء التجارب على مكعبات معدنية مقاس 150mm بحيث تملأ المكعبات ويتم وزنها بوزان طاولة معدنية مربعة الشكل وبعد فك العينات في اليوم التالي تم وضعها في حوض مائي لمدة 28 يوماً وبعدها تم اجراء اختبارات الضغط وقد ثبتت النتائج المدونة في الجدول (5) والشكل 4. بأنه عند اضافة الياف البروبيلين الى الخرسانة العادي بنسبة 0.1% يحدث انخفاض لمقاومة الخرسانة في الضغط بنسبة 8% وعند اضافة الياف البروبيلين الى الخرسانة العادي بنسبة 0.2% تبقى مقاومة الخرسانة ثابتة بالنسبة للخرسانة بنسبة 0.1% من الالياف.

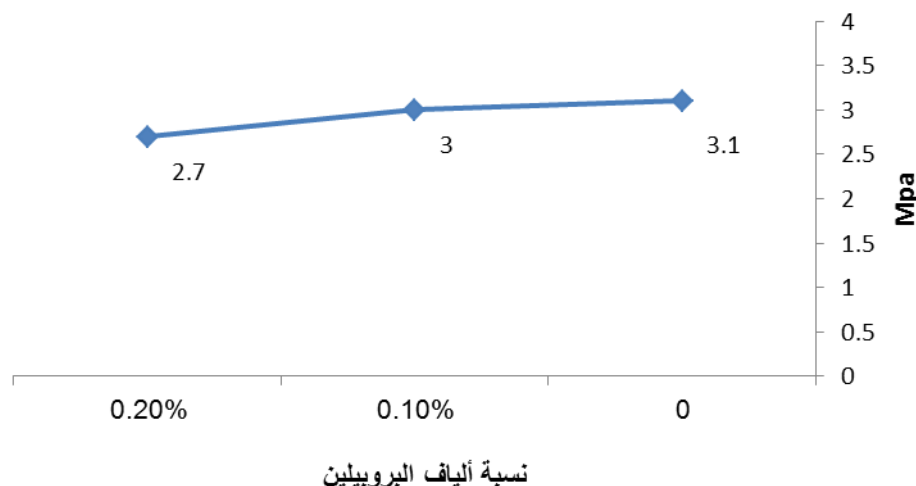


## **المحور الثاني: مواد التشييد الملائمة للبيئة الصحراوية**

شكل 4 تأثير نسبة اللياف البروبيلين على مقاومة الضغط

### ٥-٣ اختيار مقاومة الشد الغير مباشر

تم اجراء هذا الاختبار طبقاً للمواصفات القياسية البريطانية 1983 Part 117: BS 1881 حيث يملاً القالب الاسطواني بالخرسانة ويوضع على طاولة الميكانيكي ويسمى السطح النهائي للخرسانة باستعمال أدوات التسوية وترك العينات داخل المعمل في جو رطب ويتم فكها بعد مرور أربع وعشرون ساعه وتغمر في حوض مائي لمدة ثمانية وعشرون يوماً ثم يتم اختبارها بعد رفعها من الماء ومسح رطوبتها السطحية.



شكل 5 تأثير نسبة الباف البر وبيلين على مقاومة الشد

تحسب مقاومة الشد الغير مباشر لكل اسطوانة من العلاقة التالية:

$$F = \frac{2p}{\pi Dl} I$$

حيث  $F$  مقاومة الشد الغير مباشر للخرسانة.  $P$  الحمل.  $D$  قطر العينة.  $L$  طول العينة  
أظهرت النتائج المدونة في الجدول 6 والشكل 5 أن إضافة ألياف البروبيلين إلى الخرسانة تخفض قليلاً من مقاومة  
الخرسانة للشد، حيث يوضح الجدول إن نتيجة اختيار الشد الغير مباشر للخرسانة العادي هو  $MP = 3.1$  وللخرسانة  
المقواه بالألياف بنسبة 0.1% تتحفظ إلى 3.00 Mpa وللخرسانة المقواه بالألياف بنسبة 0.2% هي 2.7 Mpa وتقيد هذه النتائج بـ  
أن هناك نسبة تحفيض 3.2% و 12.9% للخرسانة المقواه بالألياف 0.1% و 0.2% على التوالي.  
تعتبر هذه النتيجة غير متوقعة حيث أن إضافة ألياف البروبيلين للخرسانة تعمل على زيادة مقاومة الشد وليس العكس  
وهذا ما أثبتته العديد من التجارب السابقة حيث أن الألياف تعمل على زيادة الترابط بين مكونات الخلطة الخرسانية وكذلك  
تعمل على التقليل من اتساع التشققات حيث كلما زادت الاحمال تبدأ التشققات الدقيقة في الظهور لقابلها الألياف التي

## المحور الثاني: مواد التشييد الملائمة للبيئة الصحراوية

تعمل على سدها وتنمع تأثيرها وايقاف تطورها. وقد أكد شاه (1991) [5] بأن اضافة نسبة البروبيلين الى الخرسانة لا تؤثر في مقاومة الشد ولكنها تساهم بشكل كبير في ربط التشغقات، وهذا ما أكد احد الباحث [6] الذي أكد انه لا يوجد تغير يذكر في نتيجة اختبار الشد للخرسانة بين الخرسانة العادي وخرسانة الياف البروبيلين بنسب بسيطة



شكل 6: الاسطوانات بعد إجراء اختبار مقاومة الشد الغير المباشر

جدول 6: نتائج اختبار مقاومة الشد الغير المباشر

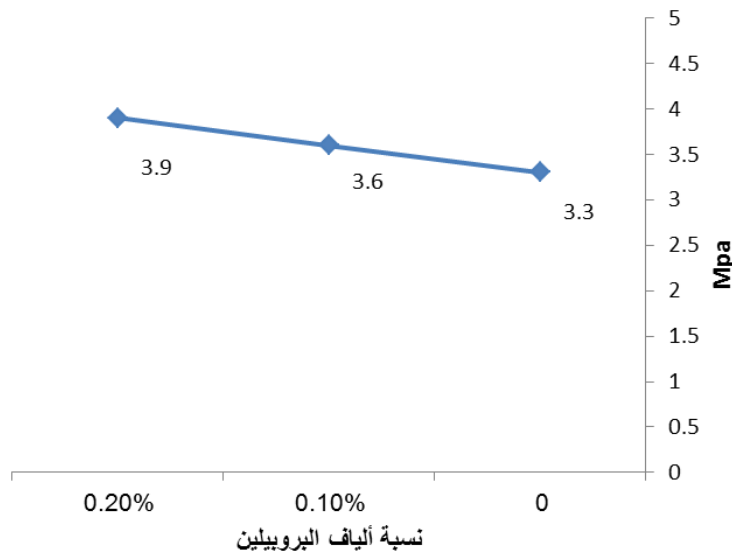
نوع العينة	رقم العينة	الحمل (KN)	مقاومة الشد ( Mpa)	متوسط مقاومة الشد ( Mpa)
القياسية	M11	228	3.22	3.1
	M12	228	3.22	
	M13	204	2.88	
نسبة البروبيلين 0.1%	M21	212	3.00	3.0
	M22	208	2.94	
	M23	208	2.94	
نسبة البروبيلين 0.2%	M31	181	2.56	2.7
	M32	181	2.56	
	M33	212	3.00	

### 4- اختبار الانحناء

تم اجراء هذا الاختبار طبقا للمواصفات القياسية البريطانية BS 1881 : Part 117: 1983 حيث تملا قوالب الصلب مقاس 100x100x500 mm بالخرسانة وتوضع على طاولة الهزاز الميكانيكي ويسمى السطح النهائي للخرسانة باستعمال ادوات التسوية وتترك العينات داخل المعمل في جو رطب ويتم فكها بعد اربع وعشرون ساعه وتغمر في حوض مائي لمدة ثمانية وعشرون يوما ثم يتم اختبارها بعد رفعها من الماء ومسح رطوبتها السطحية. وقد تم اجراء الاختبار رباعي النقطة (Four point bend) حيث يفضل اجراء هذه الطريقة لأن ذلك يجعل جزء من العبنه يحدث

## المحور الثاني: مواد التشييد الملائمة للبيئة الصحراوية

بداخلها كسر معرض الى عزم خالص Pure bending دون تواجد قص في ذلك الجزء الأمر الذي يجعل الكسر نتيجة الانحناء فقط.



شكل 7 تأثير نسبة الألياف البروبيلين على مقاومة الانحناء

الجدول 7 والشكل 7 يوضح نتيجة اختبار الانحناء لكل من الخرسانة القياسية والخرسانة المدعمة بالألياف وقد ثبتت النتائج انه بزيادة نسبة الألياف تزيد مقاومة الانحناء للخرسانة حيث انه عندما تصاف نسبة الألياف الى الخرسانة العادية بنسبة 0.1% فان مقاومة الانحناء تزيد بمقدار 9% وعندما تصاف نسبة الألياف بمقدار 0.2% تزداد مقاومة الخرسانة للانحناء بنسبة 18%. وهذه النتيجة تعتبر متوقعة وهي تتوافق الى حد ما مع بعض الدراسات السابقة [4]

الجدول 7 نتائج اختبار مقاومة الانحناء للعينات

نوع العينة	رقم العينة	الحمل (KN)	مقاومة الانحناء (Mpa)	مقاومة الانحناء (Mpa)
القياسية	B11	7	3.15	3.3
	B12	8	3.6	3.3
	B13	7	3.15	3.3
نسبة البروبيلين 0.1%	B21	6	2.7	3.6
	B22	7	3.15	3.6
	B23	11	4.95	3.6
نسبة البروبيلين 0.2%	B31	11	4.95	3.9
	B32	8	3.6	3.9
	B33	7	3.15	3.9



شكل 8 العينات بعد اجراء اختبار مقاومة الانحناء

### 6- الخلاصة

من خلال الاختبارات والنتائج المتحصل عليها من هذه الدراسة نستخلص ان التجارب المبدئية التي اجريت على ثلاثة انواع من الخرسانة (العادية - خرسانة الياف بنسبة 0.10 % - خرسانة بنسبة الياف 0.20 % ) بيّنت انه لا يوجد تغيرات جوهريّة تطرأ على الخرسانة في خواصها الميكانيكية سواء كانت الخرسانة الطازجة او الخرسانة المتصلدة وان أي زيادة او نقصان حدثت لا يمكن الاعتماد عليها كدليل على تحسن او تغيير في الخرسانة لان نسب الزيادة او النقصان التي تم مشاهدتها في هذه الدراسة هي نسب بسيطة جدا لا يمكن الاستدلال بها ولا تعتبر كمؤشر على تأثير هذه الالياف بالنسبة للخرسانة وبالتحديد عندما تكون نسبة الالياف قليلة جدا كالنسب الموجودة في هذا الدراسة وهذه النتيجة تتوافق وتتضارب مع العديد من الباحثين الذين قاموا باختبارات مماثلة لهذا الاختبار كاختبار الهبوط ومقاومة الخرسانة للضغط ومقاومة الخرسانة للشد اما بالنسبة لمقاومة الخرسانة للانحناء فنستطيع ان نؤكد الى حد ما بان للالياف دور كبير في تحسين هذه الخاصية وهذا واضح من خلال نتائج الدراسة ويمكن تبرير ذلك بان الياف البروبيلين قد ساهمت بشكل او باخر في ربط التشققات في منطقة الشد .

### 1.6 التوصيات

- هذه الدراسة اعتمدت على استخدام نوع واحد من الالياف عليه نوصي بإجراء تجرب اخرى على الخرسانة المدعمة بأنواع اخرى من الالياف الطبيعية والزجاجية والحديدية .
- نوصي بإجراء اختبارات على نسب اكبر من النسب التي تم تضمينها في هذا البحث مثل ( 0.3 - 0.4 - 0.5 % ) من حجم الخرسانة وهذا ممكن ان يعطينا نتائج اكثر دقة .
- نوصي بإجراء العديد من التجارب الأخرى على الخرسانة الطازجة والخرسانة المتصلدة كما نوصي ايضا بإجراء بعض التجارب الميكانيكية عي مادة الالياف ايضا .

### 7- المراجع

- [1] Ahmed, S.,Bukhari, I and Siddiqi, JA. Study on the Properties of Poly Propylene Fiber reinforced concrete in the 31st Conference on our world in concrete and Structures. (2006)

- [2]Kakooei ,S., Akil, H., Jamshidi, M and Rohi, J The effects of Poly Propylene Fiber on the Properties of reinforce Concrete Structures, construction and building materials 27, (1), (2012) (73-77).
- [3]Petal M.J and S.Kulkami Effect of Polypropylene fiber on the high strength concrete . Journal of information, knowledge and Research in civil Engineering. (2012), 0975 – 6744.
- [4] Pong Zhang and Q Li Effect of Poly Propylene Fibers on d durability of concrete containing fly ash and silica fume composites part B 45- (2013), 1587 – 1594.
- [5] Shah S p., Do Fibers Increase the tensile strength of cement based materials ? ACI Mat Journal, (1991)
- [6] Gao D,Zhao J and Tong, An experimental Study gon the behavior of fiber reinforced high Strength concrete under Splitting tension. China civil Engineering Journal, (2005) 38(7) , 21 – 26.

**المراجع العربية**

- [7] عمر الزروق ، أحمد إبراهيم ، سحر عبدالجود ، عبد العاطي راف الله عيسى مراجع خواص وسلوك الخرسانة المسلحة الحاوية على الياف البروبيلين المؤتمر العربي الثاني عشر طرابلس ليبيا (2013).
- [8] عمر الزروق و أحمد إبراهيم خواص الخرسانة الليفية العاديّة وعاليّة المقاومة المجلس الدولي المحكمة للعلوم والهندسة وتقنيّة المعلومات المجلد 4 العدد 1 . (2017)

### دراسة تأثير إضافة خبث الأفران لركام خشن على بعض خواص الخرسانة

م . خالد محمد عمرو أحمد<sup>1</sup> ، م . طارق محمد علي العربي<sup>2</sup>

Tarik.aboshena@gu.edu.ly<sup>2</sup> , khaled.emhamed@gu.edu.ly<sup>1</sup>

<sup>1</sup> عضو هيئة تدريس، أستاذ مساعد ، كلية الهندسة ، جامعة غربان

<sup>2</sup> عضو هيئة تدريس ، محاضر ، كلية الهندسة ، جامعة غربان

#### الملخص

في إطار تحسين جودة الخلطات الخرسانية و الاستفادة من المخلفات كنواتج المصانع و من هذه المخلفات نواتج مخلفات مصنع الحديد و الصلب بليبيا ، حيث أنه في هذه الدراسة تم استخدام مخلفات صناعة الحديد والصلب (خبث الأفران) لركام خشن بديلا عن الركام المحلي في تصنيع الخرسانة العادية ، حيث تم تصميم الخلطات الخرسانية وهي محتوية على نسب مختلفة من الركام المضاف حيث كانت النسب المضافة من الخبث كال التالي ( 50% ، 25% ، 0% ) وكانت الاختبارات التي تم اجرائها هي اختبار الوزن النوعي ونسبة الإمتصاص للخبث واختبار الهبوط ومقاومة الضغط للخرسانة.

للحظ من نتائج مقاومة الضغط للعينات الخرسانية عند نسب إستبدال الركام الخشن بركام الخبث بعمر 28 يوم تزداد عند بداية الإستبدال 25% مقارنة بالخلطة المرجعية حيث أعطت مقاومة ضغط قدرها  $N/mm^2$  40.03 وقلت عند باقي النسب فعند نسبة الإستبدال 50% كانت مقاومة الضغط  $N/mm^2$  28.19، وعند نسبة الإستبدال 75% كانت  $N/mm^2$  29.2 ثم عند نسبة الإستبدال 100% كانت في حدود  $N/mm^2$  29.5.

الكلمات الدالة : المخلفات الصناعية ، خبث الأفران ، الخرسانة العادية ، الركام الخشن ، مقاومة الضغط .

#### المقدمة :

يشهد العالماليوم تغيرا تقنيا في مجال الخرسانة من حيث تحسين خواصها وزيادة مقاومتها مع قدرة تحملها للظروف الطبيعية ، وكذلك بعض من المناطق الصناعية تعاني من مشكلة تراكم وتكدس المخلفات الصناعية و التي من ضمن هذه المخلفات هو وجود مخلفات أفران صناعة الحديد والصلب التي تزداد يوما بعد يوم بكميات كبيرة ، مما يؤثر على

## **المحور الثاني: مواد التشييد الملائمة للبيئة الصحراوية**

البيئة المحيطة وأخذ المساحات الكبيرة لهذه المخلفات ، لذلك تم اللجوء إلى استخدام هذه المخلفات كمادة إنشائية وزنك بإستعمالها كركام خشن في الخرسانة . [1]

وقد أخذت الدول المتقدمة المنتجة للخبث على محمل الجد بحث ودراسة وتطوير طرق معالجته حيث تم الاستفادة منه والحصول على خرسانة ذات كلفة إقتصادية مناسبة بالإضافة إلى خواص هندسية جيدة ، أما محليا فقد أخذت البحوث حول الخبث طريقها من أجل تغطية كافة خواص الخبث المحلي وتحديد الاستفادة منه . [2]

ان استخدام مخلفات صناعة الحديد والصلب يمكن ان يزداد إذا تم استعماله كركام ناعم او خشن في المونة الإسمنتية و الخرسانة و من جهة أخرى تكلفة مواد البناء تتزايد يوما بعد يوم بسبب ارتفاع الطلب وارتفاع أسعار الطاقة ، ومن المنظور الإقتصادي في استهلاك الطاقة والمحافظة على الموارد الطبيعية فإن استخدام مكونات بديلة لمواد البناء هو الآن مصدر اهتمام عالمي لهذا يتquin البحث ويتوجب نحو استكشاف مصادر جديدة للإنتاج مواد بناء تحقق الإستدامة وتكون صديقة للبيئة . [3]

تهدف هذه الدراسة إلى استخدام مخلفات صناعة الحديد والصلب كركام خشن بديلا للركام المحلي في تصنيع الخرسانة العادية حيث يشغل الركام ما نسبته 60% - 80% من حجم الخرسانة ، حيث سيتم تقييم مدى صلاحية استخدام خبث الأفران وذلك كركام خشن من خلال عدد من الإختبارات المتمثلة في الإختبارات الميكانيكية و الفيزيائية للركام المدروس إضافة إلى اختبارات الخرسانة المعروفة مثل تحديد التشغيلية و مقاومة الضغط .

### **المواد المستخدمة في البرنامج العلمي**

الماء : تنص المواصفات الليبية على أن الماء المستخدم في خلط الخرسانة يجب أن يكون خال من المواد الضارة مثل الزيوت والشحوم والأملاح والأحماض والقلويات والمواد العضوية.[4]

الاسمنت : هو المادة التي لها خاصية التماسك والتلاصق بوجود الماء والتي تمكن من ربط جزيئات الركام ومواد البناء لتكون كتلة متكاملة ، وللأسمنت أنواع متعددة ومتغيرة إذا كانت جميعها تتفق في تواجد بعض المكونات مثل الجير الحر والألومنيوم وأكسيد الحديد والسليكا وبنسب مقاومة ويعتبر الإسمنت من أهم المواد الإنشائية حيث إن له أهمية

## المحور الثاني: مواد التشييد الملائمة للبيئة الصحراوية

كبيرة في العمليات الإنشائية ، ويستخدم في صناعة الخرسانة بأنواعها المختلفة وذلك لإنشاء المباني والأساسات والمباني والكباري وخزانات المياه والسدود وأغراض متعددة أخرى. [3]

الركام : هو المادة المالة الخاملة للخرسانة بنوعيها الناعم و الخشن ، وهي رخيصة نسبيا، حيث يمثل أحد العناصر الأساسية التي تشكل مع الماء والإسمنت المكونات الأساسية للخرسانة، يطلق إسم الركام على الحبيبات الصخرية التي تكون متدرجة الحجم من حبيبات رملية صغيرة إلى حصى حبيبات كبيرة من الزلط أو الأحجار المكسرة و الجدول 1 و 2 يوضح خواص الرمل و الركام الخشن المستخدم في الخلطات الخرسانية. [4]

جدول 2 يوضح خواص الركام الخشن

نتيجة الإختبار	الخواص الفيزيائية
2.53	الوزن النوعي الظاهري
2.506	الكثافة الرطبة
2.489	الكثافة الجافة
%0.68	نسبة الإمتصاص (%)

جدول 1 يوضح خواص الركام الناعم

نتيجة الإختبار	الخواص الفيزيائية
2.66	الوزن النوعي الظاهري
2.62	الكثافة الرطبة
2.59	الكثافة الجافة
%0.90	نسبة الإمتصاص (%)

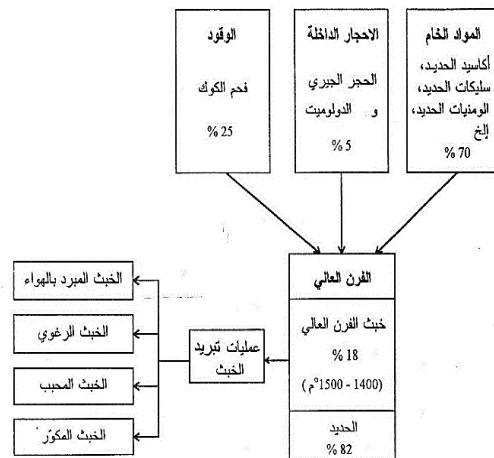
الخبث: يمكن تعريف الخبث (SLAG) بكونه منتجا ثانويا ينتج عن صناعة الصلب في أفران مصانع صهر الحديد و الشكل 1 مخطط انسيابي يبين المراحل التي يتم الحصول من خلالها على الخبث، ويكون الخبث من عمليات صهر المواد الخام (الخردة) والمواد المضافة كالدولوميت والحجر الجيري في درجة حرارة تتراوح ما بين 1400\_1600 درجة مئوية [5].

تم توريد عينة مخلفات ركام الخبث من مصنع الحديد والصلب بمنطقة الرابطة حيث تم إحضاره بأحجام وبأوزان متفاوتة إلى محجر تكسير الركام (الكسارات) وتم الحصول على ركام تدرج مماثل لدرج الركام التقليدي ، والشكل (1) يبين مخطط انسيابي لانتاج الحديد والخبث المستخدم، والجداول (3) و (4) يوضحان نتائج إختبار التحليل المنхиلى وخواص ركام الخبث على التوالي.

## المحور الثاني: مواد التشييد الملائمة للبيئة الصحراوية

جدول 3 يوضح نتائج اختبار التحليل المنخلي لركام الخبث

المواصفات البريطانية (BS 882-1992)	النسبة المئوية للمار %	النسبة المئوية للمحوز %	الوزن التراكمي للمحوز (gm)	وزن المحوز (gm)	مقاس فتحة المنخل (mm)
100-100	100	0	0	0	37.5
90-100	98.4	1.6	47	47	19
40-80	62.44	37.56	1125.5	1078.5	14
30-60	31.98	68.02	2040	914.5	10
0-10	0.7	99.3	2976	936	5
/	/	/	2997	20	Pan



شكل(1) يوضح مخطط انتسابي لعمليات إنتاج الحديد

جدول 4 يوضح خواص ركام الخبث

نتيجة الإختبار	الخواص الفيزيائية
3.14	الوزن النوعي الظاهري
2.94	الكتافة الجافة
3.0	الكتافة الرطبة
%2.15	نسبة الإنمتصاص (%)

تصميم الخلطات الخرسانية :

يعرف بتصميم الخلطات الخرسانية بأنه إيجاد نسب المواد المستعملة في الخرسانة من إسمنت وركام خشن البديل ( خبث الأفران ) وركام ناعم وماء، ويجب أن يكون التصميم مبنياً على الدقة والأمان والاقتصادية بحيث تكون خلطة خرسانية تفي بالغرض المطلوب حسب الخواص المطلوبة وبأقل تكاليف. [3]

## **المحور الثاني: مواد التشييد الملائمة للبيئة الصحراوية**

وقد يكون التصميم مبنياً على الخبرة واللماحة وعلى الأسس التجريبية أو الوضعية حيث يتم تحديد نسب مكونات الخلطة الخرسانية استناداً لخلطات تجريبية أو وضعية سابقة تم تصميمها وتنفيذها وأعطت نتائج مقبولة نسبياً ، أو قد يكون التصميم مبنياً على أساس علمية وعملية وذلك عن طريق الحسابات والاختبارات الازمة ، وبعد إتمام عملية حساب الاوزان لكل خلطة كان وزن الموان لجميع الخلطات كما هو موضح بالجدول أدناه لكل عينة [3].

- الخلطة الأولى نسبة الإستبدال (0%) و الجدول (5) يوضح اوزان المواد للخلطة رقم (1)

جدول (5) نسب اوزان الخلطة رقم (1)

الإسمنت kg	الركام الناعم kg	الركام الخشن kg	الخبث kg	الماء lt
10.125	21.51	41.76	0.00	6

- الخلطة الثانية نسبة الإستبدال (25%) و الجدول (6) يوضح اوزان المواد للخلطة رقم (2)

جدول (6) نسب اوزان الخلطة رقم (2)

الإسمنت kg	الركام الناعم kg	الركام الخشن kg	الخبث kg	الماء lt
10.125	21.51	31.32	11.70	6

- الخلطة الثانية نسبة الإستبدال (50%) و الجدول (7) يوضح اوزان المواد للخلطة رقم (3)

جدول(7) نسب اوزان الخلطة رقم (3)

الإسمنت kg	الركام الناعم kg	الركام الخشن kg	الخبث kg	الماء lt
10.125	21.51	20.88	23.4	6

- الخلطة الثانية نسبة الإستبدال (75%) و الجدول (8) يوضح اوزان المواد للخلطة رقم (4)

جدول(8) نسب اوزان الخلطة رقم (4)

الإسمنت kg	الركام الناعم kg	الركام الخشن kg	الخبث kg	الماء lt
10.125	21.51	10.44	35.1	6

- الخلطة الثانية نسبة الإستبدال (100%) و الجدول (9) يوضح اوزان المواد للخلطة رقم (5)

جدول(9) نسب اوزان الخلطة رقم (5)

الإسمنت kg	الركام الناعم kg	الركام الخشن kg	الخبث kg	الماء lt
10.125	21.51	0.00	46.8	6

## المحور الثاني: مواد التشييد الملائمة للبيئة الصحراوية

الجدول(10) نسب مكونات المواد لكل الخلطات المتبعة بالدراسة

رقم الخلطة	نسبة الخبث (%)	الإسمنت (Kg)	الركام الناعم (Kg)	الركام الخشن (Kg)	الخبث (Kg)	W/C %	الماء (Liter)
1	%0	10.125	21.51	41.76	0	0.60	6
2	%25	10.125	21.51	31.32	11.7	0.60	6
3	%50	10.125	21.51	20.88	23.4	0.60	6
4	%75	10.125	21.51	10.44	35.1	0.60	6
5	%100	10.125	21.51	0	46.8	0.60	6

### 4 - تجهيز العينات

تم تجهيز عدد من العينات الخرسانية لكل الخلطات الخمس على شكل قوالب حديدية مكعبية الشكل بأبعاد (15cm×15cm×15cm) لإجراء مختلف الإختبارات المطلوبة عليها، حيث يجب تنظيفها جيداً من العوالق والأترية والتأكد من تمام عملية تماسك براغي المكعبات جيداً بالمفاتيح لضمان عدم إنفصالها ويجب طلاء الأوجه الداخلية للقوالب الحديدية بطبقة من الزيت مما يسهل عملية فك المكعبات الخرسانية بعد عملية إنصажها. [3]

### الاختبارات الخرسانية :

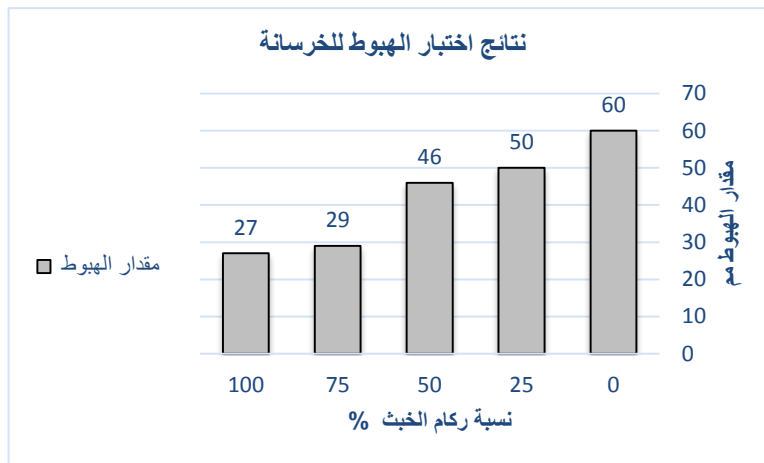
#### 1 - إختبار هبوط الخرسانة ( Slump test )

إختبار الهبوط يعتبر من أقدم الإختبارات وأكثرها إستعمالاً للخرسانة الطازجة في جميع أنحاء العالم طبقاً للمواصفات الأمريكية (**ASTM C143-C143M**) حيث من خلاله يتم تحديد الدرجة التشغيلية للخلطة الخرسانية بتعيين مدى هبوطها بعد تشكيلها على هيئة مخروط ناقص وأن أي تغيير للنسب المكونة للخلطة الخرسانية تتغير فيها قيمة الهبوط وكذلك طريقة وقوة الدملك لها تأثير عالي على قيمة الهبوط ووجبأخذ هذا في الإعتبار والجدول (11) يوضح مخطط يوضح قيم إختبار الهبوط للخلطات الخرسانية حسب نسبة ركام الخبث. [5]

جدول (11) يوضح نتائج إختبار الهبوط لعينات ركام الخبث

10-280	60	0	Mix1
10-280	50	25	Mix2
10-280	46	50	Mix3
10-280	29	75	Mix4
10-280	27	100	Mix5

## المحور الثاني: مواد التشييد الملائمة للبيئة الصحراوية



شكل (2) مخطط نتائج اختبار الهبوط

من النتائج المتحصل عليها الموضحة أعلاه تعبّر الدرجة التشغيلية على مقدار المحتوى المائي للخلطة الخرسانية في حالتها الطازجة ومقدرتها على التشكّل حيث تم إجراء الاختبار طبقاً للمواصفة الأمريكية (ASTM C642-97) ، و من النتائج المتحصل عليها في الجدول (11) قيم الهبوط المتحصل عليها للخلطات الخرسانية ، حيث يتضح أن قيمة الهبوط نقل كلما زادت نسبة استبدال الركام الخشن بركام الخبث ، و من خلال مقدار الهبوط في الخلطة التي لا تحتوي على الخبث كان 60 mm وانخفض تدريجياً بزيادة نسبة الإستبدال حتى وصلت إلى 27mm عند نسبة استبدال الركام بالخبث 100% ، أي أن ركام الخبث يحتاج إلى كمية أكبر من الماء ليصل إلى درجة تشغيله مناسبة مقارنة بالركام المتحصل عليه من الكسارات نتيجة لدرجة امتصاصه و لخشونته العالية ويمكن ملاحظة ذلك من خلال اختبار الامتصاص لركام الخبث حيث كانت نسبة الامتصاص عالية ، مقارنة بالركام الخشن المستعمل في هذه الدراسة ، ويمكن مشاهدة الفرق في مقدار الهبوط من المخطط كما في الشكل(2).

### 2 - اختبار مقاومة الضغط : (Compressive strength test)

متوسط مقاومة الضغط (N/mm <sup>2</sup> )	مقاومة الضغط (N/mm <sup>2</sup> ) أيام 7	مقاومة الضغط (N/mm <sup>2</sup> ) أيام 7	مقاومة الضغط (N/mm <sup>2</sup> ) أيام 7	نسبة الخبث (%)	رمز الخلطة
24.43	25.33	24.34	23.62	0	Mix <sub>1</sub>
26.77	26.52	27.29	26.51	25	Mix <sub>2</sub>
19.7	19.78	19.50	19.82	50	Mix <sub>3</sub>
20.81	21.17	20.97	20.30	75	Mix <sub>4</sub>
21.79	21.06	23.35	20.98	100	Mix <sub>5</sub>

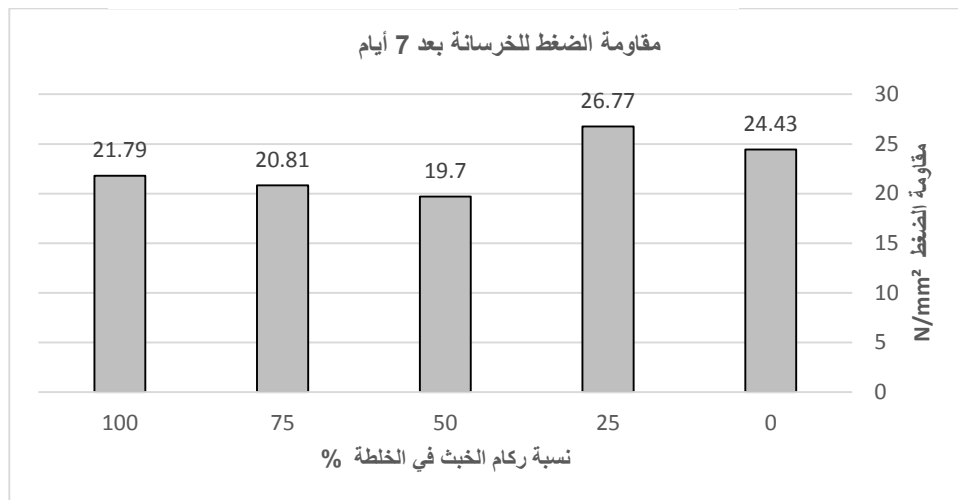
## المحور الثاني: مواد التشييد الملائمة للبيئة الصحراوية

تم إجراء اختبار مقاومة الضغط لتحديد الخاصية الميكانيكية لمقاومة الضغط للخرسانة المتصلدة وذلك حسب المعايير الأمريكية "ASTM C143-C143M" ، بتحميل أحمال قياسية على مكعبات مقاس 150mm \* 150mm \* 150mm ، حيث تم إجراء الاختبار على فترات زمنية مختلفة عند 7 أيام و 14 يوم و 28 يوم لعدد 3 عينات لكل فترة .

- نتائج اختبار العينات بعد 7 أيام من عملية المعالجة : الجدول رقم (12) و الشكل رقم (3) أدناه يوضح نتائج

أختبار مقاومة الضغط لعدد 3 عينات عند النسب المختلفة بعد مدة معالجة 7 أيام .

جدول (12) يوضح نتائج اختبار مقاومة الضغط للخرسانة بعد 7 أيام



شكل (3) يوضح نتائج اختبار مقاومة الضغط للخرسانة بعد 7 أيام

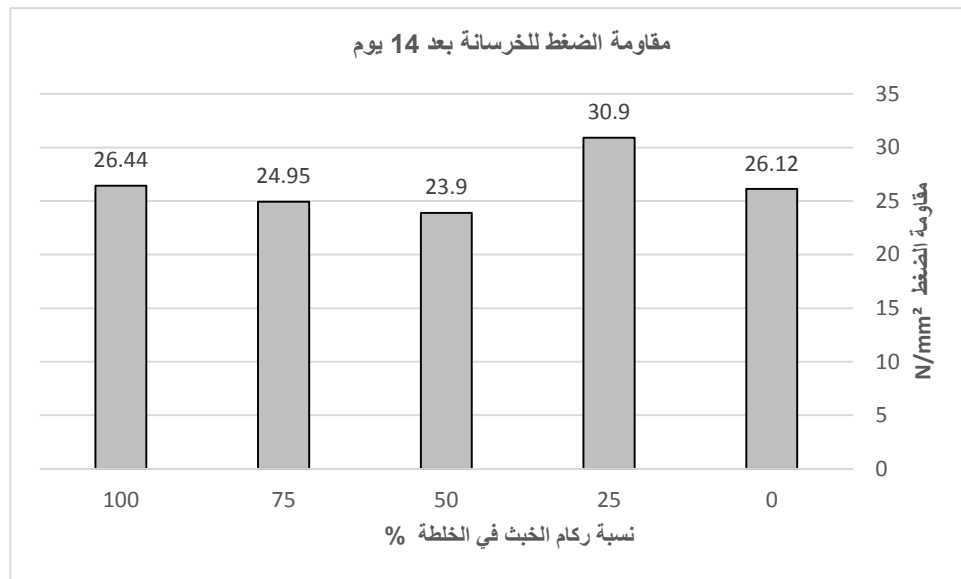
- نتائج اختبار العينات بعد 14 يوم من عملية المعالجة : الجدول رقم (13) و الشكل (4) أدناه يوضح نتائج اختبار

مقاومة الضغط لعدد 3 عينات عند النسب المختلفة بعد مدة معالجة 14 يوم .

جدول (13) يوضح نتائج اختبار مقاومة الضغط للخرسانة بعد 14 يوم

متوسط مقاومة الضغط (N/mm²)	مقاييس الضغط (N/mm²)		مقاييس الضغط (N/mm²)		نسبة الخبث (%)	رمز الخلطة
	14 يوم	14 يوم	14 يوم	14 يوم		
26.12	26.10	25.65	26.62	0	Mix <sub>1</sub>	
30.9	32.11	31.52	29.15	25	Mix <sub>2</sub>	
23.9	24.12	24.15	23.45	50	Mix <sub>3</sub>	
24.95	24.49	24.98	25.39	75	Mix <sub>4</sub>	
26.44	26.87	27.97	24.50	100	Mix <sub>5</sub>	

## المحور الثاني: مواد التشييد الملائمة للبيئة الصحراوية



شكل (4) يوضح نتائج اختبار مقاومة الضغط للخرسانة بعد 14 يوم

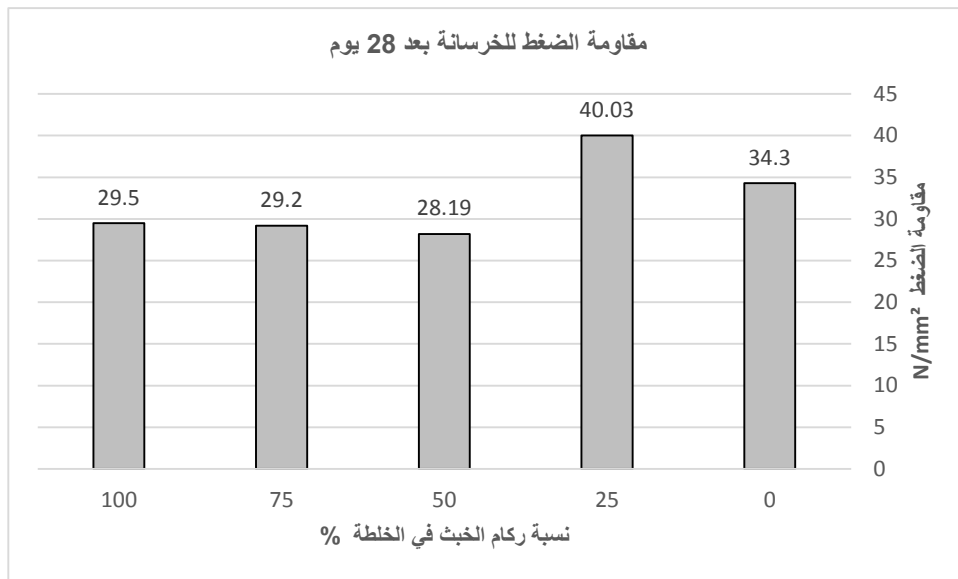
- نتائج اختبار العينات بعد 28 يوم من عملية المعالجة : الجدول رقم (14) والشكل (5) أدناه يوضحان نتائج

أختبار مقاومة الضغط لعدد 3 عينات عند النسب المختلفة بعد مدة معالجة 28 يوم .

جدول (14) يوضح نتائج اختبار مقاومة الضغط للخرسانة بعد 28 يوم

متوسط مقاومة الضغط (N/mm <sup>2</sup> )	مقاومة الضغط (N/mm <sup>2</sup> ) يوم 28	مقاومة الضغط (N/mm <sup>2</sup> ) يوم 28	مقاومة الضغط (N/mm <sup>2</sup> ) يوم 28	نسبة الخبث (%)	رمز الخليطة
	28	28	28		
34.3	32.64	35.79	34.47	0	Mix <sub>1</sub>
40.03	41.86	39.46	38.77	25	Mix <sub>2</sub>
28.19	29.32	27.25	28.0	50	Mix <sub>3</sub>
29.20	30.43	27.67	29.51	75	Mix <sub>4</sub>
29.50	29.20	30.02	29.30	100	Mix <sub>5</sub>

## المحور الثاني: مواد التشييد الملائمة للبيئة الصحراوية



شكل (5) يوضح نتائج اختبار مقاومة الضغط للخرسانة بعد 28 يوم

للحظ مما سبق من النتائج الموضحة بالأشكال و الجداول أعلاه أن مقاومة الضغط للعينات الخرسانية عند نسبة استبدال الركام الخشن بركام الخبث تزداد بنسبة بسيطة بداية عند نسبة استبدال 25% وتقل في الزيادة في نسبة استبدال 50% ثم تزداد تدريجيا في نسب استبدال 75% و 100% ، يلاحظ من متوسط النتائج أن نسبة استبدال 25% هي الأعلى قيمة لمقاومة الضغط حيث ترتفع بنسبة 16.7% عن الخلطة المرجعية ذات الركام الخشن كليا عند عمر 28 يوم وترتفع بنسبة 9.57% عن الخلطة ذات ركام الخبث بشكل كلي عند 7 أيام ، بينما مقاومة الضغط عند 28 يوم للخلطة ذات نسبة الاستبدال 50% تتحفظ بنسبة 17.8% فقط عن الخلطة المرجعية ذات الركام الخشن كليا وتحفظ بنسبة 19.3% عن الخلطة ذات ركام الخبث بشكل كلي عند عمر 7 أيام .

### التوصيات :

1. عند استخدام ركام الخبث فإنه يراعي زيادة المحتوى المائي للحصول على تشغيلية جيدة نظرا لإمتصاص ركام الخبث العالي نسبيا مقارنة بالركام الخشن المستخدم في الدراسة وذلك لتعويض الماء الخاص بعملية الاماهة.
2. بعد أن أعطت بعض نتائج استبدال الركام الخشن بركام الخبث نتائج جيدة نوصي بإستبدال نسبة معينة من الرمل الناعم برمel آخر مسحوق من خبث الإفران.

## **المحور الثاني: مواد التشييد الملائمة للبيئة الصحراوية**

3. إجراء المزيد من الاختبارات المعملية على ركام الخبث كمعامل التهشيم والإهتزاء ومقارنة النتائج المتحصل عليها بنتائج الركام المتحصل عليه من الكسارات .
4. نوصي بإجراء المزيد من الدراسات الأخرى عند نسب صغيرة تكون أقل من 25 % .
5. إجراء بعض الاختبارات الأخرى على مخلفات الأفران مثل اختبار الشد .

### **المراجع :**

- [1]. د. نور الدين الطوير " دراسة الخواص الميكانيكية لركام خبث الأفران العالية بمصنع الحديد والصلب بمصراته وتأثيره علي خواص الخرسانة عالية المقاومة ) ، المؤتمر الثاني لعلوم البيئة (2015) ، رقم الصفحة 700 [2]. فيصل كاظم ، ( تأثير استخدام الخبث المحلي علي الإمتصاص ومسامية الخرسانة عالية الأداء ) ، معهد التكنولوجيا - بغداد ، (2009) ، صفحات 15 .
- [3]. أ. د محمود إمام ، " الخرسانة "الخواص والجودة والاختبارات سنة 2002 .
- [4]. أ. د محمود إمام، محمد أمين، " خواص المواد و إختباراتها "، الجزء الثاني، كلية الهندسة جامعة المنصورة سنة 2007 .
- [5] .American society for testing and materials (ASTM C642-97 ) , Standard test method for density, Absorption, and voids in hardened concrete.

### دراسة تأثير درجة حرارة مكونات الخرسانة على خواصها في الحالة الطازجة

إبراهيم ابوبكر

مصابح<sup>1</sup>

مهندس

مصطفى عبد القادر

كوراي<sup>1</sup>

مهندس

خالد محمد

لخضري<sup>1</sup>

مهندس

عبد المجيد محمد

النلامي<sup>2</sup>

عضو هيئة تدريس

فيصل عبد اللطيف

العشنان<sup>1\*</sup>

عضو هيئة تدريس

<sup>1</sup> قسم الهندسة المدنية، كلية التقنية الهندسية هون

<sup>2</sup> قسم الهندسة المدنية والمعمارية، جامعة سرت

[f.alatshan@ceh.edu.ly](mailto:f.alatshan@ceh.edu.ly)\*

#### 1. الملخص:

إن درجة حرارة الخلطة الخرسانية هي أحد العوامل المهمة التي تستوجب البحث لما لها من أثر على الجودة النهائية للخرسانة. لذا تهدف هذه الورقة إلى دراسة تأثير درجة حرارة المكونات على خصائص الخرسانة الطازجة، مثل حرارة الخلطة وقيمة الهبوط ونسبة الفراغات الهوائية. تم تحضير خلطات خرسانية مختلفة بنفس النسب والمواد، ولكن بدرجات حرارة مختلفة للماء والركام الخشن والناعم، وتم قياس خصائص الخرسانة الطازجة لكل خلطة. وقد أظهرت النتائج أن درجة حرارة الماء هي المتغير الأكثر تأثيراً على حرارة الخلطة، بينما كانت حرارة الركام الخشن الأكثر تأثيراً على قيمة الهبوط ونسبة الفراغات. كما أظهرت النتائج أن ارتفاع درجة حرارة المكونات يقلل من قيمة الهبوط، مما يحد من قابلية التشغيل والانسيابية للخرسانة الطازجة. بالإضافة إلى هذا، يؤدي ارتفاع درجة حرارة الركام إلى زيادة نسبة الفراغات الهوائية، بينما يؤدي ارتفاع درجة حرارة الماء إلى انخفاضها.

**الكلمات المفتاحية:** المناطق الصحراوية، الحرارة، الخرسانة الطازجة، الهبوط، نسبة الفراغات، الركام.

### 2. المقدمة

الخرسانة هي المادة الأكثر استخداماً في قطاع الإنشاءات في ليبيا، ولكنها تتأثر بشكل كبير بظروف الطقس الحار والجاف في المناطق الصحراوية. درجات الحرارة العالية والتذبذبات الحرارية تؤثر على خصائص الخرسانة الطازجة والمتصلبة، مثل التشغيلية والمقاومة والديمومية. لذلك، من المهم اتخاذ تدابير لتبريد مواد الخرسانة والحفاظ على رطوبة الخرسانة أثناء عملية الصب والمعالجة. وفقاً لحدود المعهد الأمريكي للخرسانة (ACI)، يجب أن لا تزيد درجة حرارة الخرسانة عند الصب عن 35 درجة مئوية، ويجب تبريد المكونات إذا كانت درجة حرارة الخرسانة تزيد عن هذا الحد [1]. في حين أن مواصفات الجمعية الأمريكية لاختبار المواد (ASTM - C94) تضع حدًا أقل بمقدار 3 درجات مئوية عن ACI.

ليست درجة الحرارة العالية هي المعامل الوحيد المؤثر على أداء الخرسانة في المناطق الحارة، إنما تتأثر أيضاً بعوامل أخرى مثل انخفاض الرطوبة النسبية أو زيادة سرعة الرياح أو التعرض للإشعاع الشمسي الكثيف وال مباشر. تتبنى مواصفات ACI مخطط Menzel لقياس تأثير درجات حرارة الهواء و حرارة الخرسانة والرطوبة النسبية وسرعة الرياح على معدل التبخر من سطح الخرسانة [1]. حيث تؤثر الرطوبة النسبية للجو بشكل مباشر على خصائص الخرسانة الطازجة أن انخفاضها يزيد من معدل تبخر ماء الخرسانة وبالتالي يسبب جفاف الخرسانة وانخفاض قابليتها للتشغيل مما ينعكس على المقاومة النهائية للخرسانة [3, 4] .

إن متوسط درجات الحرارة في فصل الصيف في المناطق الصحراوية أعلى بكثير من حدود المواصفات (35 درجة)، الأمر الذي يقلل من الجودة النهائية للخرسانة. تشير هذه المواصفة القياسية بأن مقاومة الانضغاط للخرسانة بعد 28 يوم ستتخفض بنسبة 10-15٪ إذا كانت درجة حرارة المعالجة عند 38 درجة مئوية في اليوم الأول [1]. إلى جانب حدوث انخفاض إضافي في القوة بعد التعرض المبكر لظروف الطقس الجاف وهي سائدة في مناطق جنوب ليبيا على سبيل المثال.

بالإضافة إلى ذلك، يؤدي ارتفاع حرارة الخلطة الخرسانية إلى زيادة سرعة التفاعل بين الإسمنت والماء، وتقلل من زمن التصلب، وتزيد من حرارة التفاعل، وتؤدي إلى انكماش أكبر للخرسانة [5]. ولكن هذه الزيادة في حرارة الخلطة قد يكون

## **المحور الثالث: تنفيذ وصيانة المنشاءات في البيئة الصحراوية**

لها اثار معاكسة، فقد قام Nasir وآخرون [6] بدراسة تأثير درجة حرارة الخلطة الطازجة على خصائص الخرسانة المتصلدة في ظروف الطقس الحار. وقد تم إجراء التجارب على عينات من خرسانات مصنوعة من أنواع مختلفة من الأسمنت، وتم تجهيزها في درجات حرارة مختلفة (من 25 إلى 45 درجة مئوية) وتتم معالجتها في الهواء الطلق مع تغطيتها بالخيش الرطب، إلى حين اختبارها عند عمر 3 و 7 و 28 و 90 و 180 يوم. وقد أظهرت النتائج أن درجة حرارة الصب المثلث هي من 32 إلى 38 درجة مئوية حسب نوع الاسمنت، وأن زيتها سيودي إلى تقليل جودة الخرسانة الناتجة.

كذلك، لدرجة الحرارة تأثير مباشر على درجة تشغيلية الخرسانة. فعلى سبيل المثال، في دراسة قام بها Sampebulu [7] ، تم تقييم خصائص الخرسانة الطازجة في درجات حرارة مختلفة، وهي 20، 30، 35 درجة مئوية. وأظهرت النتائج أن هبوط الخرسانة الطازجة (Slump) يتاسب عكسياً مع ارتفاع درجة حرارة الخلطة الخرسانية. وهو ما يوافق توصيات المعهد الأمريكي للخرسانة (ACI 305R-20) [1] حيث تشير إلى أن زيادة حرارة الخلطة بمقدار 11 درجة مئوية تقل الهبوط بحوالي 25 ملم. كذلك بالنسبة للخرسانة ذاتية الدمك، تم اثبات العلاقة العكسية بين التشغيلية ودرجة حرارة الخلطة [8] .

ولذلك، من الناحية العملية فإن معرفة تأثير التغير في حرارة كل مكون من مكونات الخرسانة على أدائها سيكون مفيداً خصوصاً عند تخزين هذه المكونات في ظروف مختلفة (معطاه أو معرضة للشمس). لهذا تهدف هذه الورقة إلى دراسة واستكشاف تأثير درجة حرارة مكونات الخلطة الخرسانية على أدائها في الحالة الطازجة، بناءً على اختبارات معملية لـ 7 خلطات بمكونات لها درجات حرارة مختلفة (0 و 10 و 20 و 30 و 40 و 50 و 60 درجة حرارة مئوية).

### **3. البرنامج العملي:**

#### **1.3. المواد وتصميم الخلطة**

في هذا الجزء، يتم عرض خصائص المواد المستخدمة في صنع الخرسانة الطازجة، وهي الإسمنت، والركام الناعم، والركام الخشن، والماء. لا تحتوي الخرسانة المستخدمة في هذه الدراسة على أي إضافات كيميائية أو معدنية.

## المحور الثالث: تنفيذ وصيانة المنشاءات في البيئة الصحراوية

### 1.1.3. الإسمنت:

في هذه الدراسة، تم استخدام الإسمنت البورتلاندي العادي (Type I). الجدول 1 يبين نتائج اختبار نعومة الإسمنت المستخدم حسب المواصفات الأمريكية (ASTM C 150) [9].

الجدول (1): نتائج اختبار نعومة الإسمنت

وزن العينة	نسبة المحجوز على المنخل #200 (%)	الحدود المسموح بها
100 جم	%19.1=100×(100/19.1)	لا يزيد عن 22%

### 2.1.3. الركام الناعم:

وهو الركام الذي يمر من منخل قياسي له فتحات بمقاس 4.75 مم. في البداية تم تجميع الأنواع المتاحة من الركام الناعم في المنطقة (شكل 1)، والأنواع هي رمل ودان ورمل زلة ونواتج تكسير الصخور المعروفة بـ(الكوالينا) المارة من المنخل 2.36 مم ومحجوزة على المنخل 1.18 مم.



كوالينا



رمل زلة

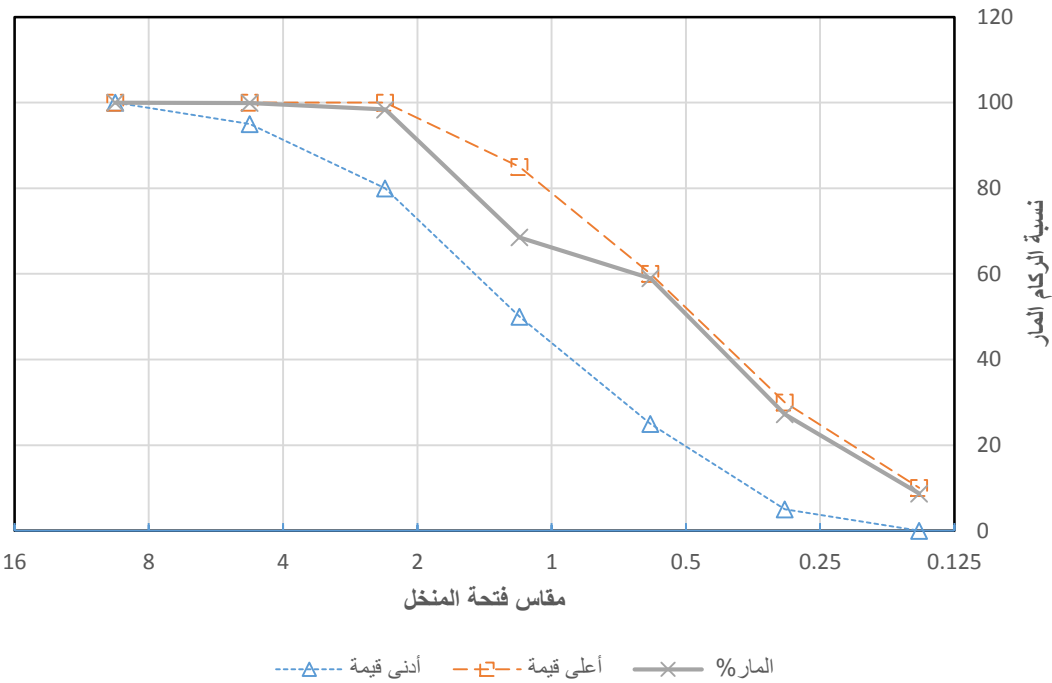


رمل ودان

الشكل (1) عينات من الركام الناعم المستخدم.

### المحور الثالث: تنفيذ وصيانة المنشاءات في البيئة الصحراوية

بعدها تم خلط نسب محددة من كل الأنواع الموجودة مع إضافة نسبة من الكوالينا للحصول على تدرج جيد. كما يبين الشكل 2 منحنى التدرج الجيد المتحصل عليه من إدماج الأنواع المختلفة للركام الناعم حسب المواصفات القياسية [10] (ASTM C33).



شكل(2): منحنى التدرج الحبيبي للركام الناعم (رمل ودان، رمل زلة، كوالينا)

كما تم إجراء اختبار الوزن الحجمي للركام الناعم لاستخدام هذه القيمة في تصميم الخلطة الخرسانية وكانت نتائج الوزن الحجمي للركام الناعم =  $1703 \text{ كجم}/\text{متر}^3$ .

#### 3.1.3. الركام الخشن:

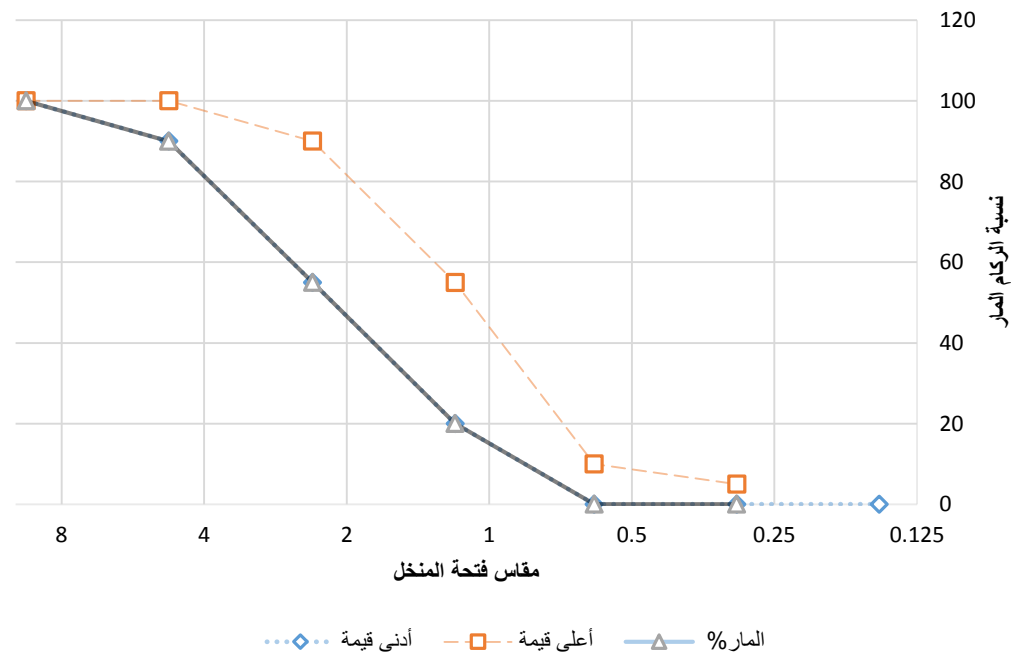
الركام الخشن المستخدم في هذه الدراسة هو ركام الجفرة البركانية المستجلبة من كسارات جبال السوداء بسوكتونه (شكل 3). وتم استعمال ثلث مقاسات من الركام الخشن وهي (2, 1, 0.8 مم).

### المحور الثالث: تنفيذ وصيانة المنشاءات في البيئة الصحراوية



الشكل (3) الركام الخشن المستخدم في الخلطة.

تم الخلط بين هذه المقاسات بنسب محددة لتحديد مقاس اعتباري 25 مم. حيث تم اعتماد أسلوب المحاولة والخطأ للوصول إلى التدرج المطلوب حسب المواصفات الأمريكية (ASTM C33) [10]. والشكل 4 يبين منحنى التدرج الحبيبي والذي يقع ضمن الحدود حسب المواصفات الأمريكية.



شكل (4): منحنى التدرج الحبيبي للركام الخشن

#### 4.1.3 الماء:

تم استخدام ماء صالح للشرب من شبكة المياه العامة بالمدينة وخالي من الشوائب متطابق مع المواصفات المحلية رقم 294 لسنة 1988 في تصميم الخلطة الخرسانية.

## المotor الثالث: تنفيذ وصيانة المنشاءات في البيئة الصحراوية

### 2. الخلطة الخرسانية:

تم تصميم خلطة خرسانية عادية غير هوائية بمقاومة ضغط مستهدفة 35 ميجاباسكال بعد 28 يوماً من الصب، باستخدام الطريقة المقترحة من الكود الأمريكي (ACI 211.1-91) [11]. تم اختيار قيمة الهبوط (Slump) المناسبة للخرسانة حسب نوع العنصر الإنشائي، وفي هذه الحالة كانت 75-100 ملم. كما تم تحديد المقاس الاعتباري الأكبر للركام الخشن بناءً على تعليمات الكود، وفي هذه الحالة كان 25 ملم. كذلك تم تحديد محتوى الماء المطلوب للخلطة من جدول التصميم الموصى به في الكود، عبر اختيار المقاس الاعتباري الأكبر للركام وهبوط الخرسانة الطازجة، وكان 205 كجم/م<sup>3</sup>. وتم تحديد نسبة الماء إلى الإسمنت من جداول الكود، استناداً إلى القيمة التصميمية لمقاومة الخرسانة المطلوبة، وكانت 0.48. عليه، تم حساب محتوى الإسمنت بقسمة محتوى الماء على نسبة الماء إلى الإسمنت، وكان 427 كجم/م<sup>3</sup>. بعد ذلك، تم تحديد نسبة الركام في الخلطة للمتر المكعب عبر اختيار المقاس الاعتباري الأكبر للركام ومعامل النعومة للركام، وكانت 66%. وعليه تم حساب محتوى الركام الخشن بضرب نسبة الركام في الوزن الحجمي للركام الخشن، وكان 1071 كجم/م<sup>3</sup>. تم حساب محتوى الركام الناعم بضرب نسبة الرمل في الوزن النوعي للرمل، وكان 800 كجم/م<sup>3</sup>. أخيراً، تم تقدير كمية الخرسانة المطلوبة للإختبار. الجدول 2 يوضح مكونات الخلطة الخرسانية المستعملة.

الجدول (2): اوزان مكونات الخلطة للمتر المكعب

وزن مكونات الخلطة (kg/m <sup>3</sup> )			
الماء	الإسمنت	الركام الخشن	الرمل
205.0	427.1	1070.6	800.2

### 3. الاختبارات المعملية

في هذا الجزء، يتم شرح الاختبارات المعملية التي تم إجراءها في هذا البحث لدراسة تأثير درجة حرارة مكونات الخلطة على خواص الخرسانة الطازجة. و تعرف الخرسانة الطازجة على أنها الخرسانة التي تتكون من لحظة إضافة الماء

## **المحور الثالث: تنفيذ وصيانة المنشاءات في البيئة الصحراوية**

إلى مكونات الخرسانة الجافة حتى لحظة حدوث الشوك الابتدائي. وتمتاز هذه المرحلة بالقدرة على الخلط والنقل إلى الصب والدمك، وتم اختبار الخرسانة الطازجة باستخدام 7 درجات حرارة مختلفة للمكونات الرئيسية للخرسانة من الركام الخشن والركام الناعم والماء، لقياس الهبوط ونسبة الفراغات الهوائية.

### **1.3.3. اختبار الهبوط**

الغرض من الاختبار هو تحديد قوام الخلطة الخرسانية بتعيين مدى هبوطها بعد تشكيلها على هيئة مخروط ناقص وذلك إما في المعمل أو في موقع التنفيذ، و ذلك للتأكد من نسب مكونات الخلطة الخرسانية حيث أن أي تغيير في نسبة الاسمنت أو كمية الماء والركام يؤثر على قيمة الهبوط. تم اجراء الاختبار حسب تعليمات المواصفات القياسية الأمريكية [12] (ASTM C143) .

### **2.3.3. اختبار نسبة الفراغات الهوائية**

هي النسبة بين حجم الفراغات الموجودة بين حبيبات الركام من جانب، والحجم الكلي الذي تشغله الخلطة الخرسانية من جانب اخر، حيث أن زيادة حجم الفراغات في الخلطة الخرسانة يقلل من مقاومة الخرسانة عادتاً. في هذه الدراسة تم استخدام جهاز قياسي مخصص (شكل 5) لحساب نسبة الفراغات في الخلطة الخرسانية متوافق مع المواصفات القياسية الأمريكية [13] (ASTM C231) .



الشكل (5) الجهاز المستخدم في اختبار نسبة الفراغات الهوائية

### **المحور الثالث: تنفيذ وصيانة المنشاءات في البيئة الصحراوية**

#### **4. النتائج:**

في هذا الجزء سيتم عرض نتائج اختبارات الخرسانة الطازجة. حيث يعرض الجدول (3) تأثير تغيير درجة حرارة الركام الخشن وتثبيت درجة حرارة المكونات الأخرى كما يعرض الجدول (4) تأثير تغيير درجة حرارة الركام الناعم وتثبيت درجة حرارة المكونات الأخرى، كذلك يعرض الجدول (5) تأثير تغيير درجة حرارة الماء وتثبيت درجة حرارة المكونات الأخرى.

جدول (3) تأثير تغيير درجة حرارة الركام الخشن وتثبيت درجة حرارة المكونات الأخرى

نسبة الفراغات%	الهبوط (cm)	درجة حرارة (C°)					الركام الخشن
		الخلطة	الركام الناعم	الاسمنت	الماء		
1.4%	21.7	15.3	20	20	19	<b>0</b>	
1.6%	18.7	16.8	20	20	19	<b>10</b>	
2%	16.4	21.8	20	20	19	<b>20</b>	
2.2%	12.5	23.5	20	20	19	<b>30</b>	
2.3%	10.0	26.0	20	20	19	<b>40</b>	
2.4%	9.3	27.1	20	20	19	<b>50</b>	
2.5%	6.7	30.5	20	20	19	<b>60</b>	

جدول (4) تأثير تغيير درجة حرارة الركام الناعم وتثبيت درجة حرارة المكونات الأخرى

نسبة الفراغات %	الهبوط (cm)	درجة حرارة (C°)					الركام الخشن
		الخلطة	الركام الناعم	الاسمنت	الماء		
1.6%	25.0	15.2	<b>0</b>	16	16	17	

### المحور الثالث: تنفيذ وصيانة المنشاءات في البيئة الصحراوية

1.7%	23.7	16.6	<b>10</b>	16	16	17
1.8%	22.2	19.3	<b>20</b>	16	16	17
2.0%	21.5	20.1	<b>30</b>	16	16	17
2.0%	20.9	22.3	<b>40</b>	16	16	17
2.1%	19.2	25.0	<b>50</b>	16	16	17
2.3%	18.0	27.2	<b>60</b>	16	16	17

جدول (5) تغيير درجة حرارة الماء وتثبيت درجة حرارة المكونات الأخرى

نسبة الفراغات %	الهبوط (cm)	درجة حرارة (C°)				
		الخلطة	الركام الناعم	الاسمنت	الماء	الركام الخشن
1.9%	22.7	11.9	16	15	<b>0</b>	16
1.9%	20.5	13.9	16	15	<b>10</b>	16
1.7%	19.5	17.5	16	15	<b>20</b>	61
1.6%	18.7	15.2	16	51	<b>30</b>	61
1.5%	17.1	24.8	16	51	<b>40</b>	61
1.5%	16.5	29.1	16	51	<b>50</b>	61
1.4%	15.2	30.8	16	51	<b>60</b>	61

من خلال مقارنة الجداول الثلاث السابقة، يمكن ملاحظة أن تغيير درجة حرارة الماء يؤثر بشكل كبير على حرارة الخلطة، حيث يزيد منها بمقدار 18.9 درجة مئوية عند زيادة درجة حرارة الماء من 0 إلى 60 درجة مئوية. بينما تغير درجة حرارة الركام الخشن يؤثر بشكل متوسط على حرارة الخلطة، حيث يزيد منها بمقدار 15.2 درجة مئوية عند زيادة درجة حرارة الركام الناعم من 0 إلى 60 درجة مئوية. أما تغيير درجة الركام الناعم فيؤثر بشكل ضعيف على حرارة

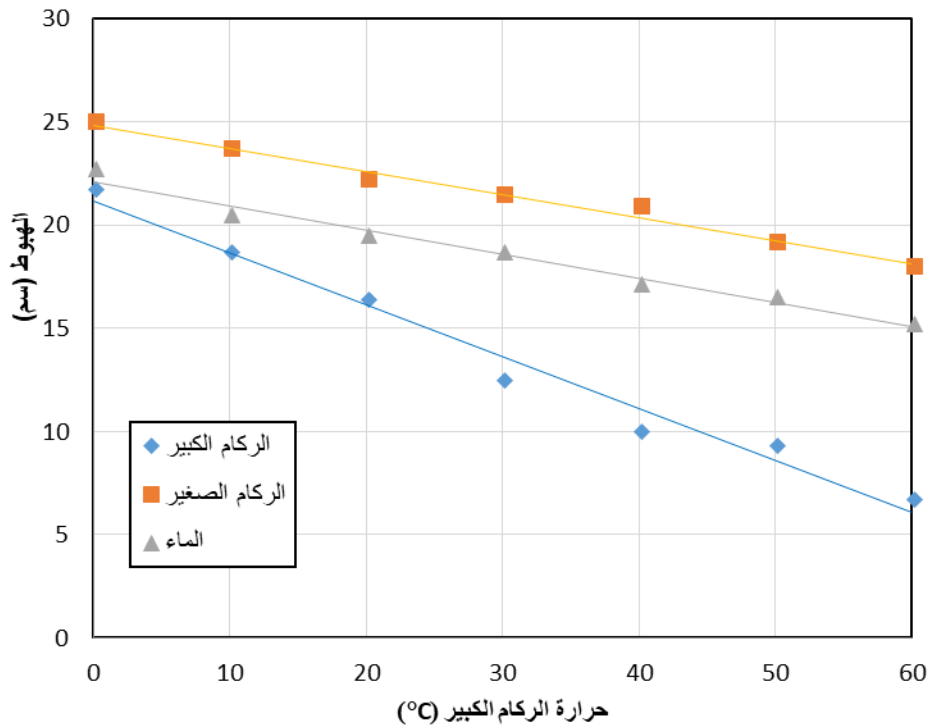
## **المحور الثالث: تنفيذ وصيانة المنشاءات في البيئة الصحراوية**

الخلطة، حيث يزيد منها بمقدار 12 درجة مئوية عند زيادة درجة حرارة الماء من 0 إلى 60 درجة مئوية. وهذا يعني أن الماء هو المكون الأكثر تأثيراً على حرارة الخلطة.

### **4.1 نتائج اختبار الهبوط:**

الهبوط هو مقياس لسهولة التشغيل أو الانسيابية للخرسانة الطازجة. وهو يعتمد على عدة عوامل، منها نسبة الماء إلى الأسمنت، وحجم وشكل ونوع الركام. في هذه الدراسة، تم دراسة تأثير عامل آخر وهو درجة حرارة المكونات على قيمة الهبوط للخلطات المختلفة. وقد أظهرت النتائج (الشكل 6) أن هناك علاقة عكسية بين درجة حرارة المكونات وقيمة الهبوط، بمعنى أن زيادة درجة حرارة المكونات تؤدي إلى نقص قيمة الهبوط. يمكن أن يعزى هذا إلى حقيقة أن زيادة درجة حرارة المكونات يمكن أن تؤدي إلى جفاف الماء الموجود في الخلطة بشكل أسرع، مما يؤدي إلى تقليل كمية الماء المتاحة للتفاعل مع الأسمنت وبالتالي تقليل قيمة الهبوط. وبالإضافة إلى ذلك، يؤدي ارتفاع درجة حرارة الماء إلى تقليل لزوجته، مما يؤدي إلى تقليل قدرته على تشكيل طبقة رقيقة حول جزيئات الركام وبالتالي تقليل قيمة الهبوط. ومع ذلك، يجب ملاحظة أن هذه التأثيرات قد تختلف اعتماداً على الظروف المحيطة وتركيب الخلطة.

من خلال مقارنة بين الجداول الثلاث السابقة أو العلاقات في الشكل 6، يمكن ملاحظة أن تغيير درجة حرارة الركام الخشن يؤثر بشكل أكبر على قيمة الهبوط، حيث تقلل منها بمقدار 15.0 سم عند زيادة درجة حرارة الركام الخشن من 0 إلى 60 درجة مئوية. بينما تغيير درجة حرارة الركام الناعم والماء أثرت بشكل أقل على قيمة الهبوط، حيث قالت منها بمقدار 7 و 7.5 سم عند زيادة درجة حرارة الركام الناعم والماء من 0 إلى 60 درجة مئوية على التوالي. وهذا يعني أن الركام الخشن هو المكون الأكثر تأثيراً على قيمة الهبوط، نظراً للحجم الذي يشغله من الخلطة الخرسانية وسعته الحرارية.



الشكل (6) العلاقة بين الهبوط ودرجة حرارة مكونات الخرسانة.

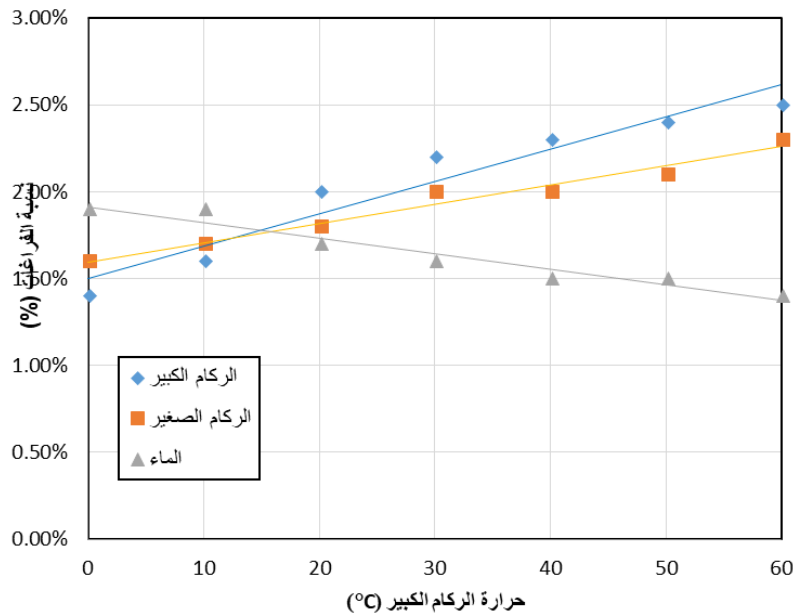
#### 4. نتائج اختبار نسبة الفراغات الهوائية:

نسبة الفراغات الهوائية هي مقياس لمسامية الخرسانة الصلبة. وهي تعتمد على عديد العوامل. في هذه الورقة، تم دراسة تأثير درجة حرارة المكونات على نسبة الفراغات للخلطات المختلفة. وقد أظهرت النتائج (الشكل 7) أن هناك علاقة طردية بين درجة حرارة الركام الخشن والناعم من جانب ونسبة الفراغات من جانب آخر، بمعنى أن زيادة درجة حرارة الركام تؤدي إلى زيادة نسبة الفراغات. بينما كانت العلاقة عكسية بين درجة حرارة الماء ونسبة الفراغات. تستدعي هذه النتيجة الملفتة المزيد من البحث والتحليل ليتم تفسيرها استناداً إلى مزيد من الاختبارات المعمقة.

من خلال مقارنة بين الجداول الثلاث السابقة أو العلاقات في الشكل 7، يمكن ملاحظة أن تغيير درجة حرارة الماء يقلل نسبة الفراغات بمقدار 0.5% عند زيادة درجة حرارة الماء من 0 إلى 60 درجة مئوية. بينما تغيير درجة حرارة الركام الناعم زادها بمقدار 0.7% عند زيادة درجة حرارة الركام الناعم من 0 إلى 60 درجة مئوية. أما تغيير درجة حرارة الركام

### المحور الثالث: تنفيذ وصيانة المنشاءات في البيئة الصحراوية

الخشن فيوثر بشكل أكبر على نسبة الفراغات، حيث يزيدها بمقدار 1.1% عند زيادة درجة حرارة الركام الخشن من 0 إلى 60 درجة مئوية. وهذا يعني أن الركام الخشن هو المكون الأكثر تأثيراً على نسبة الفراغات.



الشكل (7) العلاقة بين نسبة الفراغات ودرجة حرارة مكونات الخلطة الخرسانية.

#### 5. الاستنتاجات:

في هذه الدراسة، تم التتحقق من تأثير درجة حرارة مكونات الخلطة الخرسانية (الركام الخشن، الركام الناعم، الماء) على خواصها في الحالة الطازجة. وقد أظهرت النتائج أن درجة حرارة المكونات لها تأثير كبير على خواص الخرسانة الطازجة، بما في ذلك حرارة الخلطة وقيمة الهبوط ونسبة الفراغات الهوائية. وعلى ضوء هذه النتائج، يمكن تقديم الاستنتاجات

التالية:

1. كان لدرجة حرارة الماء التأثير الأكبر على حرارة الخلطة، حيث زادت بمقدار 18.9 درجة مئوية عند زيادة درجة حرارة الماء من 0 إلى 60 درجة مئوية.

## **المحور الثالث: تنفيذ وصيانة المنشاءات في البيئة الصحراوية**

2. اشارت النتائج الى علاقة عكسية بين درجة حرارة المكونات وقيمة الهبوط، وكان الركام الخشن المكون الأكبر تأثيراً على قيمة الهبوط، حيث قلل منها بمقدار 15.0 سم عند زيادة درجة حرارته من 0 إلى 60 درجة مئوية.
3. تم التحقق من وجود علاقات طردية وعكسية بين درجات حرارة مكونات الخلطات ونسبة الفراغات الهوائية. حيث ادت زيادة درجة حرارة الركام الخشن والناعم إلى زيادة نسبة الفراغات، في حين أدت زيادة درجة حرارة الماء إلى انخفاض نسبة الفراغات.
4. تم التتحقق من أن الركام الخشن كان المكون الذي أثر بشكل أكبر على نسبة الفراغات، حيث زادها بمقدار 1.1% عند زيادة درجة حرارته من 0 إلى 60 درجة مئوية.
- وعلى ضوء هذه النتائج، يمكن اقتراح التوصيات التالية:
1. يجب الحرص على الحفاظ على درجة حرارة مكونات الخرسانة وخصوصاً الركام الخشن في حدود معقولة، لتجنب زيادة حرارة الخلطة ونسبة الفراغات بشكل غير مرغوب فيه. ويمكن استخدام تقنيات التبريد أو التسخين المناسبة للركام الخشن قبل خلطه مع المكونات الأخرى.
  2. يجب إجراء المزيد من الأبحاث والتجارب على تأثير درجة حرارة الماء على نسبة الفراغات، وتقسيم الخلفيات الفيزيائية والكيميائية وراء هذه العلاقة. كما يجب دراسة تأثير درجات حرارة أعلى من 60 درجة مئوية على خصائص الخرسانة.

### **6. المراجع**

- [1] ACI:305R-20. *ACI 305R-20, Guide to Hot Weather Concreting*. in American Concrete Institute. 2020.
- [2] ASTM:C-94, *Standard Specification for Ready Mixed Concrete*. 1999, American Society for Testing and Materials, West Conshohocken, PA.
- [3] Kosmatka, S.H .and M.L. Wilson, *Design and control of concrete mixtures*. 2011: Portland Cement Association Skokie, IL.
- [4] Ishee, C. and S. Surana, *6 – Hot weather concreting*, in *Developments in the Formulation and Reinforcement of Concrete (Second Edition)*, S. Mindess, Editor. 2019, Woodhead Publishing. p. 131–150.
- [5] تقنيات واعمال الخرسانة. 2008, السعودية: الادارة العامة لتطوير وتصميم المناهج السعودية.

- [6] Nasir, M., et al., *Effect of casting temperature on strength and density of plain and blended cement concretes prepared and cured under hot weather conditions*. Construction and Building Materials, 2016. **112**: p. 529–537.
- [7] Sampebulu, V., *Influence of high temperatures on the workability of fresh ready-mixed concrete*. None, 2012. **44**(1): p. 21–32.
- [8] Cygan, G., J .Gołaszewski, and M. Drewniok, *The effect of temperature on the properties of fresh self-compacting concrete*. Archives of Civil Engineering, 2016. **62**(3): p. 23–32.
- [9] C150/C150M-20, A., *Standard specification for Portland cement*. ASTM: West Conshohocken, PA, USA, 2020.
- [10] C33/C33M-18, A., *Standard specification for concrete aggregates*. ASTM International: West Conshohocken, PA, USA, 2018.
- [11] ACI, A. *ACI 211.1-91 Standard, Standard Practice for Selecting Proportions for Normal, Heavyweight, and Mass Concrete*. in American Concrete Institute. 1991.
- [12] C143, A., *Standard test method for slump of hydraulic-cement concrete*. Book of ASTM Standards, 2015.
- [13] Concrete, C. and B. Statements, *ASTM C 231: 2003, Standard Test Method for Air Content of Freshly Mixed Concrete by the Pressure Method*. American Society for Testing and Materials. M, 2003. **4**.

### تأثير درجة حرارة التجفيف ونوع المعالجة على خصائص المونة الاسمنتية

#### (دراسة بارامترية)

م. فرج الحداد

أ.د. حمزة ابريك بن عمران

\*أ. عبدالله محمد الساعدي

aslan.industriyel.faraj@gmail.com

benomranham3a@gmail.com

gen7rudan@gmail.com

مهندس ميكانيكي، الشركة الليبية للأسمنت، درنة –  
أستاذ، عضو هيئة تدريس، جامعة درنة،  
ليبيا.

درنة – ليبيا.

جامعة درنة، درنة – ليبيا.

#### الملخص

الهندسة المدنية نشاط يهتم بشكل أساسي بالظروف المناخية وكيفية التكيف معها والحد من تأثيراتها المتباينة في قطاع البناء. يهدف هذا البحث الى تقديم بعض الإجابات حول المشكلات التكنولوجيا التي تواجه الباحثين حول خصائص المونة الاسمنتية، لذلك تبحث هذا الدراسة في معرفة مدى تأثير درجة حرارة التجفيف ونوع المعالجة على المونة الاسمنتية. اشتملت المواد المستخدمة في هذه الدراسة الاسمنت البورتلاندي الاعتيادي (OPC) والرمل القياسي. تبعاً لذلك، تم فحص الخواص الكيميائية والفيزيائية بسبب متفاوتة في المونة الاسمنتية. وفقاً لأهداف البحث ، تم استخدام خمس درجات (T) من حرارة التجفيف ( $100^{\circ}\text{C}$ ,  $90^{\circ}\text{C}$ ,  $80^{\circ}\text{C}$ ,  $70^{\circ}\text{C}$ ,  $60^{\circ}\text{C}$ ) ، واعتماد نظامين من أنظمة المعالجة وهما المعالجة بالهواء (A) والمعالجة بالماء (W).بناء على النتائج، لوحظ انخفاض في الخصائص الميكانيكية للمونة الاسمنتية المعرضة لدرجات حرارة عالية وذلك يعكس ما مدى تأثير درجة الحرارة وتأثيرها السلبي على المقاومة وبالتالي على النسيج الاسمنتي للعينات، إجمالاً بينت الدراسة ان درجات الحرارة  $80^{\circ}\text{C}$  و  $90^{\circ}\text{C}$  هي الأكثر ملائمة عند تجفيف عينات الاختبار كما وأشارت جميع الخلطات الى تحسن في كافة خصائص المونة الاسمنتية في نظام المعالجة بالماء.

بشكل عام، يساهم هذا البحث في فهمنا لكيفية التعامل مع المونة الاسمنتية في ظروف المعالجة المختلفة.

الكلمات الدالة: المونة الاسمنتية – حرارة التجفيف – نوع المعالجة – المسامية الكلية – الامتصاص.

## المحور الثالث: تنفيذ وصيانة المنشآت في البيئة الصحراوية

### ١. المقدمة:

الإسمنت عبارة عن مسحوق معدني مطحون بشكل ناعم جداً وعادة ما يكون رمادي اللون. يستخدم الإسمنت في المونة الاسمنتية وهي أحد أكثر المواد المستخدمة في البناء كما يعمل الإسمنت عند مزجه بالماء كمادة لاصقة لربط الرمل والركام معًا في الخرسانة، وهي مادة البناء الأكثر استخداماً في العالم.

في كثير من الأحيان تتعرض المنشآت الخرسانية إلى درجات حرارة متغيرة وذلك بسبب الاختلافات الحاصلة في المناخ وكما هو معلوم فإن المونة الاسمنتية المتمثلة في اللياسة على سبيل المثال هي أول الطبقات التي تتعرض إلى هذه التغيرات في درجات الحرارة وبالتالي فهي الأكثر تأثراً بها، ومن ناحية أخرى فإن دراسة تأثير درجات الحرارة ونظم المعالجة على عينات المونة الاسمنتية يعتبر أمر هام جداً في دولة مثل ليبيا ينقسم المناخ الخاص بها إلى مناخ متواطي بالشريط الساحلي للبلاد ومناخ صحراوي والذي يمثل غالبية مساحة البلاد وكذلك المناخ شبه الصحراوي الموجود بين المناخ المتوسط والمناخ الصحراوي.

يهدف برنامج هذه الدراسة إلى تقديم بعض الإجابات على المشكلات التكنولوجية التي يسببها الاستخدام المكثف للإسمنت البورتلاندي وذلك لتقييم ومقارنة خصائص المونة الاسمنتية وما هو مقدار تأثيرها بنظم المعالجة المختلفة ودرجات الحرارة المتفاوتة في وقت واحد وكما يتمثل النطاق الرئيسي لهذه الدراسة في الحصول على درجة الحرارة المثلث عند إجراء الاختبارات لكل نوع من أنواع المعالجة وذلك دون أن يكون هناك أي ضرر بالنسبي للعينات.

أجريت بحوث ودراسات عديدة حول تأثيرات نظم المعالجة المختلفة على خصائص المونة الاسمنتية وبالمثل كان هناك العديد من البحوث حول تأثير العينات الاسمنتية بدرجات الحرارة المختلفة منها البحث الذي أجراه (الطوير وآخرون) [1] حول تأثير ظروف المعالجة واختلاف درجات الحرارة على خواص المونة الاسمنتية، وقد لوحظ أنه للمعالجة بالماء الأثر الإيجابي في تحسين المقاومة ضد الاختلافات في درجات الحرارة. أجرى الباحث (محمد ناصر) [2] دراسة حول تأثير درجة حرارة الصب ونظام المعالجة على الخواص الميكانيكية ودينومية الخرسانة وقد توصلت الدراسة إلى أن المعالجة بالماء هي أكثر أنظمة المعالجة كفاءة لزيادة القوة وسرعة النبض وتعزيز الدينومية.

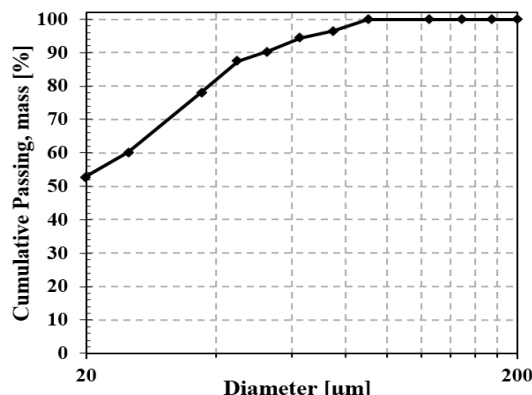
## المحور الثالث: تنفيذ وصيانة المنشاءات في البيئة الصحراوية

تم اعداد هذا البحث دعماً للبحوث والدراسات السابقة في هذا المجال ومن هنا جاءت فكرة هذا البحث والذي تناول دراسة تأثير درجة حرارة التجفيف ونوع المعالجة على خصائص المونة الاسمنتية المتمثلة خصوصاً في المسامية الكلية ومعدل امتصاص الماء عند التغير في درجات حرارة التجفيف من  $60^{\circ}\text{C}$  الى  $105^{\circ}\text{C}$ .

### 2. البرنامج العلمي

#### 1.2 المواد المستخدمة

##### 1.1.2 الاسمنت البورتلاندي الاعتيادي OPC



الشكل 1: توزيع حجم الحبيبات للإسمنت [4]

تم استخدام اسمنت بورتلاندي عادي CEM-42.5 N خلال الاختبارات، تم الحصول عليه من الشركة الوطنية للإسمنت بني سويف، كما تم تقييم الخصائص الفيزيائية للإسمنت، أي النعومة والوزن النوعي والكثافة الظاهرية ومقاومة الضغط، من خلال الإجراءات الواردة في المواصفة القياسية 1 BS EN 197-1 [3].

نتائج الخصائص الفيزيائية والتركيب الكيميائي باستخدام X-ray fluorescence technique (XRF) للإسمنت المستخدم مبينة في الجدول التالي

الجدول 1: يبين الخصائص الفيزيائية والتركيب الكيميائي للإسمنت المستخدم

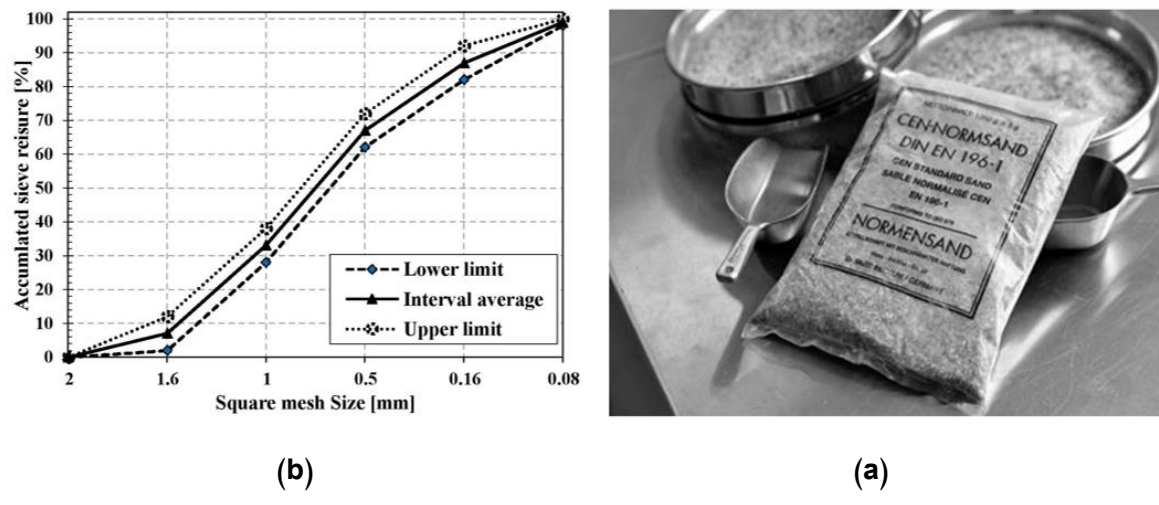
التركيب الكيميائي		الخصائص الفيزيائية والكيميائية				
		المركيبات %	النهاية [3]	النهاية %	النهاية %	الخصائص
15 - 25%	20.44	SiO <sub>2</sub>	$\leq 10$	0	النعومة (المتبقي من منخل 90 ميكرون)	
3 - 5%	4.69	Al <sub>2</sub> O <sub>3</sub>	-	3625.18	السطح النوعي (cm <sup>2</sup> /g)	
2.0 - 3.5%	3.62	Fe <sub>2</sub> O <sub>3</sub>	3.15	3.145	الوزن النوعي (g/cm <sup>3</sup> )	
60 - 70%	62.26	CaO	-	2350.00	الكثافة الظاهرية (kg/m <sup>3</sup> )	
0.5 - 1.5%	2.29	MgO	-	-	مقاومة الضغط (MPa)	
0.75% $\leq$	0.29	Na <sub>2</sub> O	$\geq 10$	32.46	• يومين	

### المحور الثالث: تنفيذ وصيانة المنشاءات في البيئة الصحراوية

-	0.30	$K_2O$	-	42.20	7 أيام	•
-	0.016	Cl	$\geq 42.5$	54.40	28 يوم	•
$3.5\% \leq$	3.37	$SO_3$	$\leq 5$	2.55	الفاقد بالحرق (%)	
-	0.45	$TiO_2$	-	79.32	Gypsum purity	نقاء الجبس
-	0.055	$MnO$				
-	0.22	$P_2O_5$				

#### 2.1.2 الرمل القياسي Standard Sand

الرمل القياسي CEN هو منتج مركب يتكون من عدة كسور مختلفة من نوع الرمل، حيث انه لا يتوفر أي رمل طبيعي يلبي متطلبات توزيع حجم الجسيمات في المعاشرة EN 196-1 [5]. ويتم تصنيع كسور الرمل من خلال الغربلة ويتم خلط أجزاء الرمل المختلفة في أجزاء محددة. الشكل 2 يوضح المظهر الفيزيائي وتوزيع حجم الحبيبات للرمل القياسي المستخدم.



الشكل 2: a. المظهر الفيزيائي للرمل القياسي المستخدم b. توزيع حجم الحبيبات للرمل القياسي المستخدم (التحليل المنخي) [4]

تم استخدام الرمل القياسي الذي تتراوح أبعاده بين 0.08 و 2.00 مم (الشكل 2.b)، وهو رمل سيليكات طبيعي يتكون من جزيئات مستديرة تحتوي على 98% سيليكا على الأقل. نتائج الخصائص الفيزيائية والتركيب الكيميائي باستخدام X-ray fluorescence technique (XRF)

### المحور الثالث: تنفيذ وصيانة المنشاءات في البيئة الصحراوية

الجدول 2: يبين الخصائص الفيزيائية والتركيب الكيميائي للرمل القياسي المستخدم

التركيب الكيميائي			نتيجة الاختبار	الخصائص الفيزيائية
المواصفة [5]	القيمة %	المركبات %		
≥ 98	98.22	SiO <sub>2</sub>	2.65	(g/cm <sup>3</sup> ) G <sub>s</sub>
-	-	Al <sub>2</sub> O <sub>3</sub>	2.93	معامل النعومة
-	-	Fe <sub>2</sub> O <sub>3</sub>	1≤	مقدار الامتصاص (%)
-	-	CaO	Zone II	منطقة التدرج
-	-	MgO	0.2≤	محتوى الرطوبة (%)

#### 2.2 إعداد خلطات المونة الاسمنتية

الجدول 3: نسب الخلط ل قالب واحد من المونة الاسمنتية

المواد	الرمel القياسي	الاسمنت	الماء
المحتوى (بالجرام)	225	450	1350

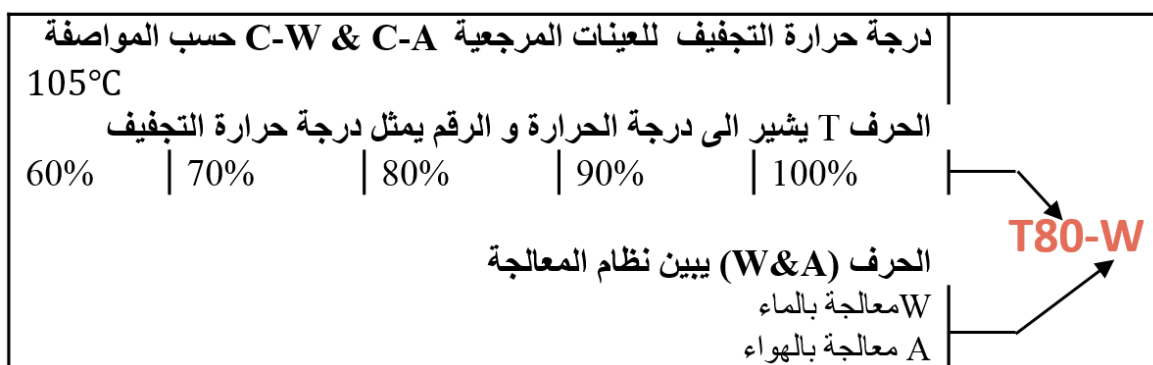
تم اتباع استراتيجية تتضمن صب مجموعة من عينات

المونة بنسبة ماء الى اسمنت  $w/c=0.5$  ، وبنفس نسب  
الخلط (اسمنت: رمل: ماء) (0.5:3:1) ، الجدول 3.

وتم مراعاة التمثيل الصحيح والتجانس للمواد قبل عملية الصب كما أن جميع العينات تم صبها في نفس الظروف تماماً.

في هذا السياق، اتبعت هذه الدراسية نظمتين من نظم المعالجة وهما المعالجة بالهواء والمعالجة بالماء وكانت درجات

حرارة التجفيف لكل نوع من أنواع المعالجة هي الناعم (60%، 70%， 80%， 90%， 100%).



الشكل 3: يبين مخطط خلطات المونة

## المحور الثالث: تنفيذ وصيانة المنشاءات في البيئة الصحراوية

### 3.2 الفحوصات المختبرية

تم تحديد الخصائص الفيزيائية والكيميائية لعينات الاسمنت والمونة الاسمنتية باستخدام المواصفة القياسية BS EN

والمواصفة القياسية ASTM، كما هو مبين بإيجاز في الجدول التالي

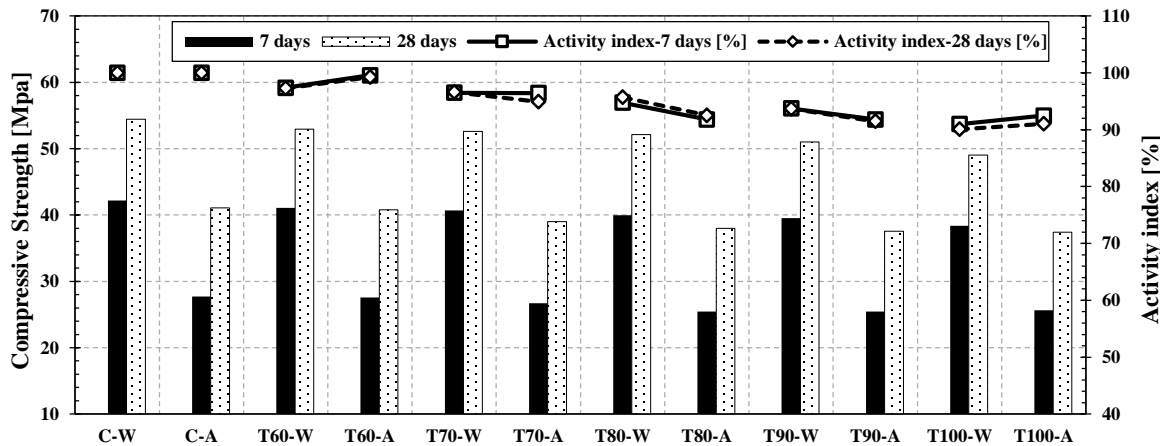
الجدول 4: يبين تفاصيل الفحوصات المختبرية التي تم اجراؤها

نº الاختبار	طريقة الاختبار
1	التحليل الكيميائي – Chemical analysis
2	امتصاص الماء للركام الناعم – Water absorption
3	الوزن النوعي للركام الناعم – Specific gravity
4	الكثافة الجافة – Dry bulk density
5	مقاومة الضغط – Compressive strength
6	المسامية الكلية – Vacuum saturation porosity
7	معدل امتصاص الماء – Capillary water absorption
8	سرعة النبض بالوموجات فوق الصوتية – Ultra pulse velocity

### 3. تحليل ومناقشة النتائج

#### 1.3 مقاومة الضغط ومؤشر النشاط (القوة النسبية)

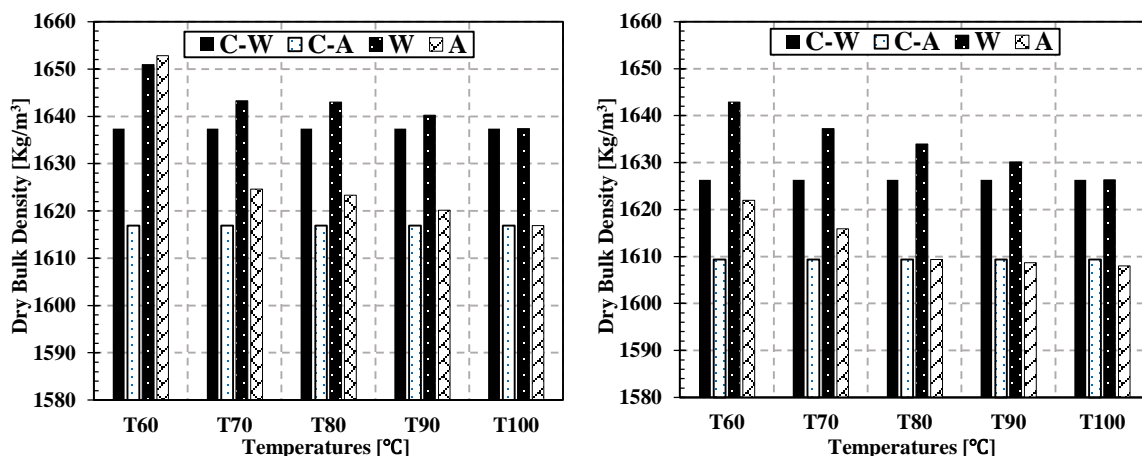
مؤشر النشاط هو نسبة قوة عينة عينات الاختبار الى قوة عينة الاسمنت المرجعية في كل نوع ووقت معالجة، كما ويوفر مؤشر النشاط نمرة لمعدلات التفاعل عينات الاختبار بالنسبة للعينة المرجعية. من خلال الشكل 4 الذي يوضح مقاومة الضغط ومؤشر النشاط عند اختلاف درجات حرارة التجفيف وفي ظروف المعالجة المختلفة وفي أعمار مختلفة لكافة الخلطات الاسمنتية. بينت النتائج ان العينات المعالجة بالماء أعطت قيم لمقاومة الضغط أعلى من العينات المعالجة بالهواء وذلك بسبب توفر ظروف المعالجة المثالية وانخفاض كمية الفراغات والمسامات فيها، كما وأظهرت النتائج أن الخلطات التي تعرضت لدرجة حرارة  $60^{\circ}\text{C}$  و  $70^{\circ}\text{C}$  أعطت مقاومة ضغط مقاربة للعينات المرجعية بل وان الخلطة  $60^{\circ}\text{C}$  قد أظهرت تحسن في مؤشر نشاط الخلطة وجاء ذلك موافق لدراسة سابقة [6]. درجات الحرارة المنخفضة نسبياً أدت الى تجفيف العينات من ناحية ومن ناحية أخرى لم تسبب أي ضرر بالنسيج الاسمنتي لعينات الاختبار. بالرغم من ذلك فإنه يلاحظ أن العينات التي تعرضت لدرجات حرارة عالية انخفضت فيها مقاومة الضغط مقارنة بالعينات المرجعية، وذلك يعكس ما مدى تأثير درجة الحرارة وتأثيرها السلبي على المقاومة وبالتالي على النسيج الاسمنتي لعينات.



الشكل 4: مقاومة الضغط ومؤشر النشاط عند اختلاف درجات حرارة التجفيف وفي ظروف المعالجة المختلفة وفي أعمار مختلفة

### 2.3 الكثافة الجافة

من خلال الشكل 5 الذي يوضح قيم الكثافة الجافة عند اختلاف درجات حرارة التجفيف وفي ظروف المعالجة المختلفة وفي أعمار مختلفة لكافة الخلطات الاسمنتية حيث تراوحت قيم الكثافة الجافة بين 1608 كجم / م<sup>3</sup> و 1652.8 كجم / م<sup>3</sup>. وبشكل عام، مع زيادة درجات حرارة التجفيف، تتحفظ الكثافة الظاهرية للمونة المتصلبة بشكل تدريجي. وقد يعزى ذلك بسبب تبخر الماء الموجود بالمسامات والفراغات داخل النسيج الاسمنتى للعينات. أخيراً، لوحظ أن العينات المعالجة بالماء أعطت كثافة جافة أعلى من العينات المعالجة بالهواء وذلك كون العينات لم تحتوي على مسامات نتيجة فقد الماء خلال عملية الاماهة حيث أنه الماء المفقود تم تعويضه بالماء الخاص بالمعالجة.



الشكل 5: الكثافة الجافة عند اختلاف درجات حرارة التجفيف وفي ظروف المعالجة المختلفة وفي أعمار مختلفة

## المحور الثالث: تنفيذ وصيانة المنشاءات في البيئة الصحراوية

### 3.3 المسامية الكلية وسعة امتصاص الماء ومعامل الامتصاصية

المسامية هي مجموع المسام الهوائية والفراغات داخل العجينة الاسمنتية. تم قياس المسامية الكلية لجميع خلطات المونة الاسمنتية باستخدام تقنية تشبع الفراغ (vacuum saturation)، تمت معالجة عينات الاختبار حتى عمر 28 يوماً.

ويتم التعبير عن قيم المسامية كنسبة مئوية من حجم المسام إلى الحجم الإجمالي للعينة.

تظهر النتائج التي تم الحصول عليها في الشكل 6 أن مسامية جميع العينات انخفضت مع تقدم زمن المعالجة، بينما

كانت مسامية العينات المعالجة بالهواء أقل من مسامية العينات المعالجة بالماء. يتبع الانخفاض في المسامية الاتجاه العام لزيادة تكوين منتج الماء. تملأ منتجات الترطيب هذه الفراغات تدريجياً في عجينة الإسمنت وبالتالي نقل مسامية

العينات. كما هو متوقع، اختلفت المسامية باختلاف درجة حرارة التجفيف ونوع المعالجة. هذا يدل على أهمية وتأثير

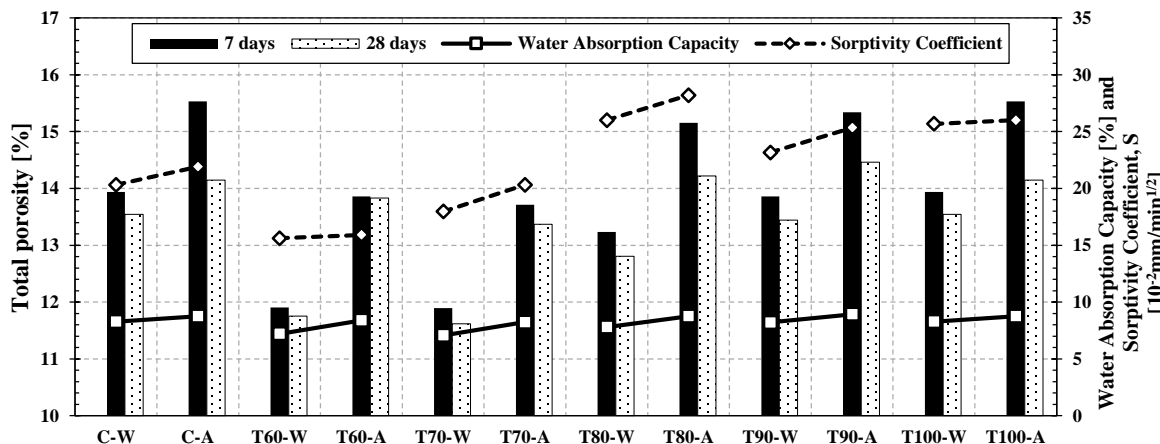
المعالجة بالماء في ملء المسام وصنع مونة غير منفذة. كما يمكن ملاحظة أن درجات حرارة التجفيف المنخفضة أعطت قيم مسامية غير حقيقة ويعزى ذلك إلى أن درجات حرارة التجفيف المنخفضة التي تم تجفيف العينات بها حتى ثبات الوزن لم تكن قادرة على تجفيف العينة بالشكل المثالي دون الاضرار بالنسيج الاسمنتى للعينات، وأن درجات الحرارة

80°C و 90°C هي الأكثر ملائمة عند تجفيف عينات الاختبار بسبب أنها تعطي قيمة مسامية قريبة جداً من قيم العينات 100°C و 105°C التي أوصت بها المواصفة القياسية ASTM C642-97 دون أن يكون هناك تأثير كبير

على النسيج الاسمنتى للعينات كما اتضح لنا من اختبارات الضغط السابقة ومن اختبارات UPV اللاحقة.

يمكن أن تؤثر كل من سعة امتصاص الماء ومعامل الامتصاصية على ديمومة المونة الاسمنتية. كما وتشير الأبحاث

بأنه كلما زادت كمية المياه التي تمتصها المونة الاسمنتية، كلما قلت ديمومتها [7]. وتعد سعة امتصاص الماء من الخصائص المهمة التي تحدد ديمومة المونة الاسمنتية. تحتوي خلطات المونة الاسمنتية الجيدة على سعة امتصاص أقل من 10% بالكتلة [7]. وبشكل عام يمكن القول بأن قدرة امتصاص الماء ومعامل الامتصاصية لجميع العينات تتبع نفس سلوك المسامية الكلية.



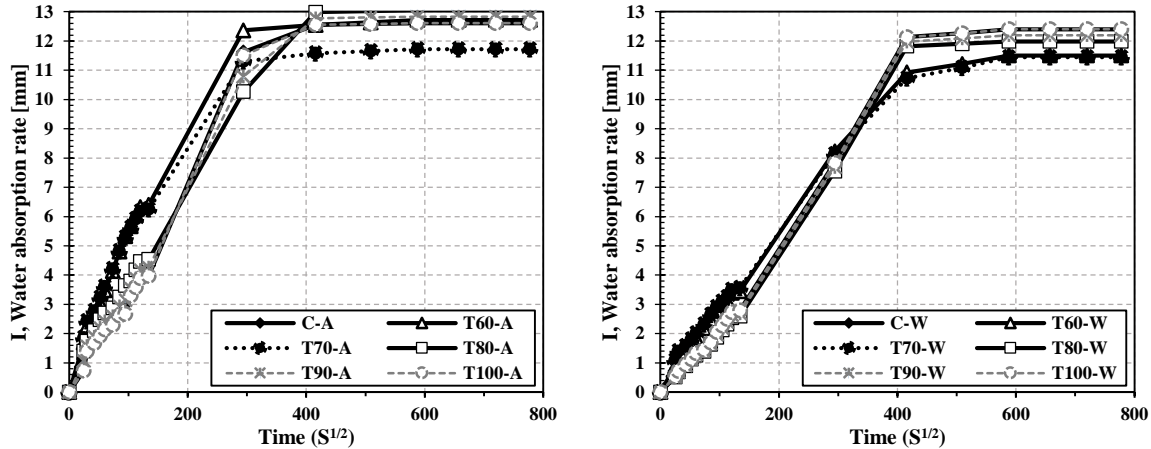
الشكل 6: المسامية الكلية وسعة امتصاص الماء ومعامل الامتصاصية عند اختلاف درجات حرارة التجفيف وفي ظروف المعالجة المختلفة وفي أعمار مختلفة

#### 4.3 معدل امتصاص الماء

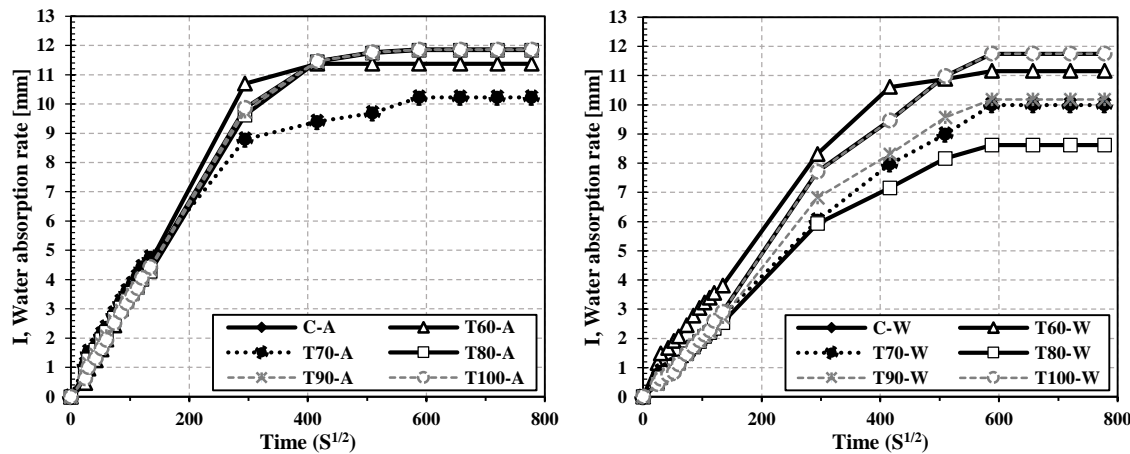
بعد امتصاص الماء بسبب الخاصية الشعرية مؤشرًا مهماً على ديمومة المونة الاسمنتية. فإذا كانت المونة الاسمنتية تحتوي على نسبة عالية من امتصاص الماء، فإنها ستنصح بظهور الرطوبة وستؤثر سلباً على الديمومة، وكذلك يعتمد امتصاص الماء بسبب عمل الشعيرات على النسيج الاسمنتى. وبالتالي فإن عينات المونة الاسمنتية الأكثر كثافة سيكون لها امتصاص أقل للماء.

الشكلين 7 و 8 يوضحان معدل امتصاص الماء عند اختلاف درجات حرارة التجفيف وفي ظروف المعالجة المختلفة وفي أعمار مختلفة لكافية الخلطات الاسمنتية. يلاحظ من خلال الشكلين أن العينات المعالجة بالهواء أعطت نسبة امتصاص للماء أعلى من العينات المعالجة في الماء. ويعزى ذلك لكون المسامات والفراغات الموجودة بالنسيج الاسمنتى للعينات المعالجة بالماء كانت أكثر تعرضاً للتأثير الإيجابي أثناء عملية الاماهة مما أدى إلى إغلاق أكبر كمية ممكنة من المسامات والفراغات داخل النسيج الاسمنتى وعلى النقيض من ذلك العينات المعالجة بالهواء. أظهرت النتائج أيضاً أن نسبة الامتصاص انخفضت مع تقدم زمن المعالجة وذلك بسبب تكون منتجات الاماهمة وكذلك عند درجات حرارة  $90^\circ\text{C}$  و  $100^\circ\text{C}$  و  $105^\circ\text{C}$  قلت قيمة نسبة الامتصاص مقارنة بباقي العينات وزاد الامتصاص للعينات عند باقي درجات الحرارة، تتفق هذه النتائج مع الدراسة السابقة [01].

### المحور الثالث: تنفيذ وصيانة المنشاءات في البيئة الصحراوية



الشكل 7: معدل امتصاص الماء عند اختلاف درجات حرارة التجفيف وفي ظروف المعالجة المختلفة عند 7 أيام



الشكل 8: معدل امتصاص الماء عند اختلاف درجات حرارة التجفيف وفي ظروف المعالجة المختلفة عند 28 يوم

### 5.3 سرعة النبض بالموجات فوق الصوتية UPV

تم إجراء اختبار سرعة النبض بالموجات فوق الصوتية UPV لإيجاد الانضغاط الداخلي لعينات الاختبار من حيث

التجانس والمسامية والعيوب الأخرى بعد معالجتها لمدة 7 و 28 يوماً كما هو موضح في الشكل 9.

أظهرت النتائج أن قيم UPV لجميع العينات زالت مع تقدم زمن المعالجة، بينما كانت سرعة النبض UPV في العينات

المعالجة بالماء أعلى من العينات المعالجة بالهواء، حيث أنه بالنسبة للعينات التي تبلغ أطوالها 40 مم، فإن UPV قبل

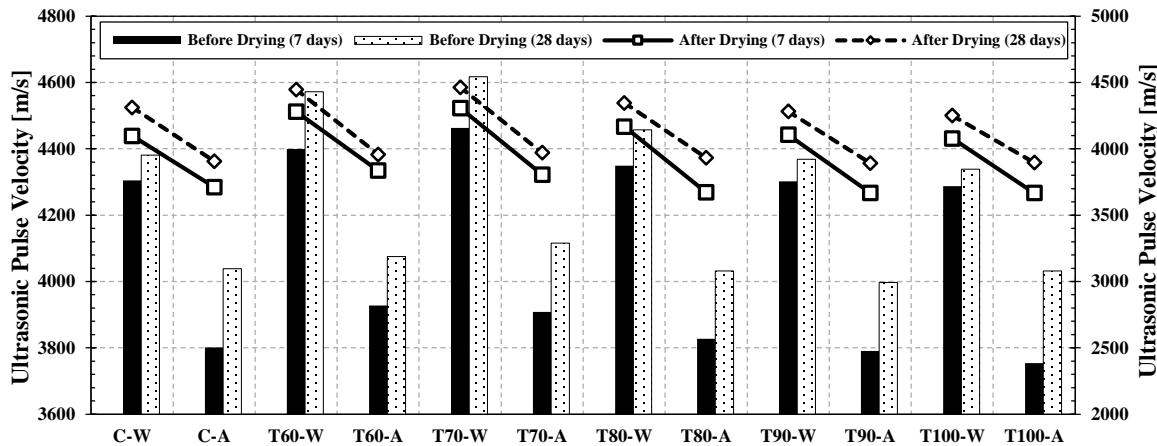
التجفيف يتراوح بين 3754 م / ث و 4617 م / ث وبعد التجفيف يتراوح بين 3667 م / ث و 4464 م / ث في

جميع أعمار المعالجة. وذلك يعزى لكون المعالجة بالماء تساهم في تكوين منتجات الاماهة وتقليل المسامات بصورة

أفضل. كما يمكن ملاحظة ان جميع عينات الاختبار اتبعت نفسك سلوك مقاومة الضغط حيث ان سرعة النبض UPV

### المحور الثالث: تنفيذ وصيانة المنشاءات في البيئة الصحراوية

تتحفظ مع زيادة درجة حرارة التجفيف الامر الذي يعكس حالة المسامية والفراغات في النسيج الاسمنتي، وبشكل عام يمكن القول أن القيم متقاربة إلى حد كبير، وأن درجة الحرارة  $90^{\circ}\text{C}$  هي الأكثر ملائمة عند تجفيف عينات الاختبار.

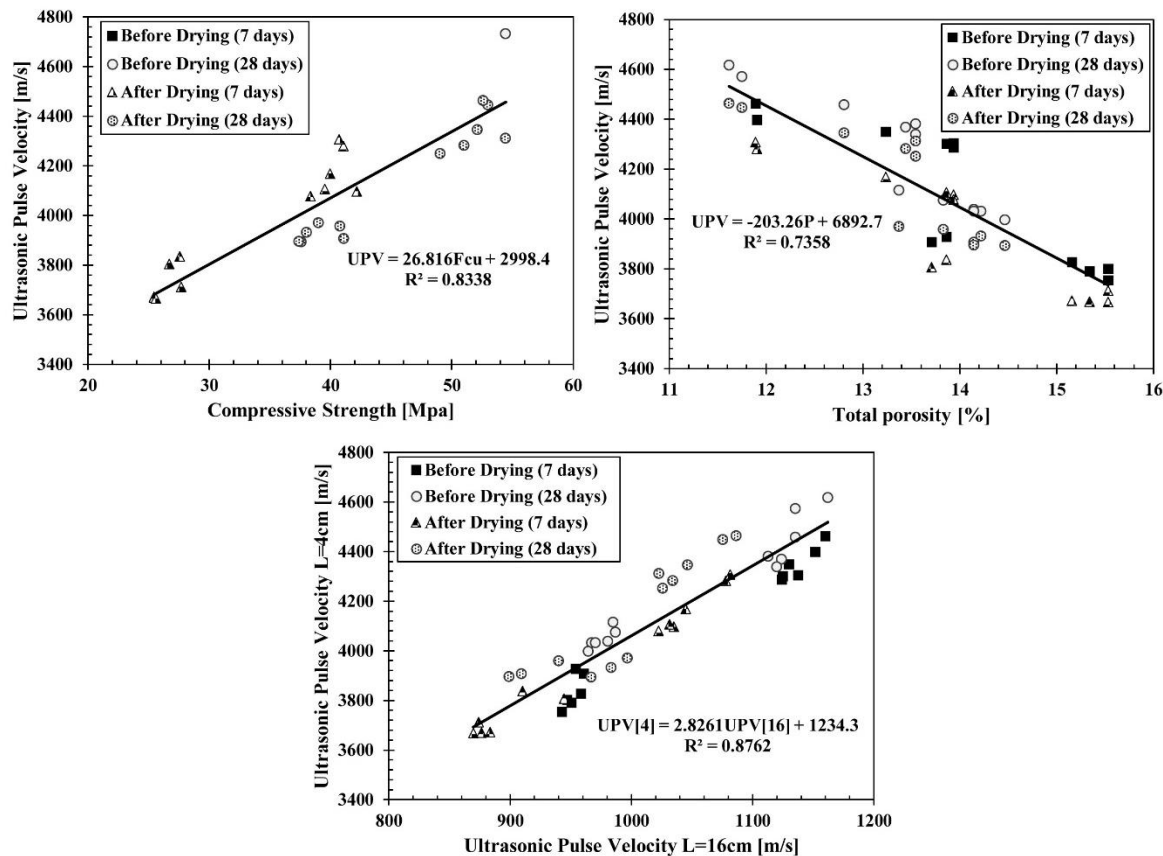


الشكل 9: سرعة النبض بالموجات فوق الصوتية UPV عند اختلاف درجات حرارة التجفيف وفي ظروف المعالجة المختلفة وفي أعمار مختلفة

في الممارسة العملية، يتم تحديد خصائص المونة الاسمنتية بشكل عام بواسطة اختبار UPV. لذلك فإن العلاقة بين UPV ومقاومة الضغط، UPV والمسامية الكلية مهمة جدًا حيث تشير النتائج إلى أن مقاومة الضغط تتناسب طرديًا مع UPV وعلى النقيض من ذلك، فإن المسامية الكلية تتناسب عكسياً مع UPV.

بالنسبة لجميع العينات يمكن ملاحظة أن مع معامل الارتباط  $R^2 = 0.8338$ ،  $R^2 = 0.7358$  على التوالي وكما ينخفض UPV مع ارتفاع طول القياس ويكون التوهين وهو فقدان طاقة الموجة أثناء تحركها عبر الوسط، هو المسؤول عن تباطؤ سرعة النبض ويكون معامل الارتباط بين طول القياس 4 سم و 16 سم هو  $R^2 = 0.8762$  وبشكل عام، تتبع عينات المونة الاسمنتية قبل التجفيف اتجاههاً مشابهاً لاتجاه عينات المونة الاسمنتية بعد التجفيف في مختلف الأعمار. العلاقة بين UPV ومقاومة الضغط، UPV والمسامية الكلية، UPV مع التغيير في طول القياس لعينات المونة الاسمنتية قبل وبعد التجفيف موضحة في الشكل 10.

### المحور الثالث: تنفيذ وصيانة المنشاءات في البيئة الصحراوية



الشكل 10: العلاقة بين (a) UPV ومقاومة الضغط، (b) UPV والمسامية الكلية، (c) UPV مع التغير في طول القياس لعينات المونة

الاسمنتية قبل وبعد التجفيف وفي أعمار مختلفة

#### 4. الاستنتاجات

اعتماداً على النتائج المعملية التي تم التوصل إليها ومناقشتها في هذه الدراسة يمكننا أن نستخلص الاستنتاجات التالية:

- إجمالاً بينت الدراسة ان درجة الحرارة  $90^{\circ}\text{C}$  هي درجة الحرارة المثلث مقارنة بباقي درجات الحرارة وذلك ضمن شروط واعتبارات هذه الدراسة.
- العينات التي تعرضت لدرجات حرارة عالية انخفضت فيها مقاومة الضغط مقارنة بالعينات المرجعية، وذلك يعكس ما مدى تأثير درجة الحرارة وتأثيرها السلبي على المقاومة وبالتالي على النسيج الاسمنتي للعينات.
- العينات المعالجة بالماء أعطت كثافة جافة أعلى من العينات المعالجة بالهواء وذلك كون العينات لم تحتوي على مسامات نتيجة فقد الماء خلال عملية الاماهة.
- درجات الحرارة  $80^{\circ}\text{C}$  و  $90^{\circ}\text{C}$  هي الأكثر ملائمة عند تجفيف عينات الاختبار بسبب أنها تعطي قيمة مسامية

## **المحور الثالث: تنفيذ وصيانة المنشاءات في البيئة الصحراوية**

- قريبة جداً من قيم العينات  $100^{\circ}\text{C}$  و  $105^{\circ}\text{C}$  دون أن يكون هناك تأثير كبير على النسيج الاسمنتي للعينات.
- بشكل عام، قلت قيمة نسبة الامتصاص عند درجات حرارة  $90^{\circ}\text{C}$  و  $100^{\circ}\text{C}$  و  $105^{\circ}\text{C}$  مقارنة بباقي العينات وزاد الامتصاص للعينات عند باقي درجات الحرارة.
  - إجمالاً فإن سرعة النبض UPV تتضخم مع زيادة درجة حرارة التجفيف الأمر الذي يعكس حالة المسامية والفراغات في النسيج الاسمنتي. إضافة إلى ذلك فإن جميع عينات الاختبار اتبعت نفسك سلوك مقاومة الضغط.

### **5. التوصيات**

- بناء على نتائج الدراسة المتحصل عليها يوصى بما يلي:
- يوصى بإجراء دراسة مشابهة تكون فيها درجات الحرارة بين  $80^{\circ}\text{C}$  و  $100^{\circ}\text{C}$  وبمعدل  $5^{\circ}\text{C}$  بين العينات وذلك لتحديد درجة الحرارة المثلثي بشكل أكثر دقة وتأكيداً لنتائج هذه الدراسة.
  - يوصى بإجراء دراسة تشمل حالات للمعالجة بشكل أوسع كاستخدام المعالجة بالبخار.
  - يوصى بإجراء اختبارات البنية المجهرية لعينات من المونة الاسمنتية والخرسانة باستخدام XRD و SEM للتأكد من حالة النسيج الإسمنتي للعينات عند درجات الحرارة المختلفة.

### **6. قائمة المراجع**

- [1] نور الدين الطوير، عبدالله العزاوي، حسام الببومي، (تأثير ظروف المعالجة واختلاف درجات الحرارة على خواص المونة الاسمنتية) ، المؤتمر الدولي للعلوم التقنية، (2019م)، ص883.
- [2] محمد ناصر، (تأثير درجة حرارة الصب ونظام المعالجة على الخواص الميكانيكية وديمومة الخرسانة)، رسالة ماجستير ، جامعة الملك فهد ، السعودية ، (2013م)، ص219-220.
- [3] European Standard, cement, Part 1: Composition, specifications and conformity criteria for common cements.” BS EN 197-1, European Committee for Standardization CEN, Brussels, (2011).
- [4] European Standard, Methods of testing cement, Part 6: Determination of fineness.” BS EN 196-6, European Committee for Standardization CEN, Brussels, (2018).
- [5] European Standard, Methods of testing cement, Part 1: Determination of strength.” BS EN 196-1, European Committee for Standardization CEN, Brussels, (2016).

### **المحور الثالث: تنفيذ وصيانة المنشاءات في البيئة الصحراوية**

---

- [6] Toumi B., Resheidat, M., Guemmadi, ZChabil, H. Coupled (effect of high temperature and heating time on the residual strength of normal and high strength concretes), Jordan Journal of Civil Engineering, 3(4), (2009), pp. 322-330.
- [7] M. S. J. Gani. (Cement and Concrete). 1st ed. 2-6 Boundary Row, London SE1 8HN, UK:Chapman & Hall, (1997).

## المحور الرابع: المشاكل والحلول في البيئة الصحراوية

### دراسة تأثير العزل الحراري على وحدات تكييف الهواء

بشير قارح محمد قارح<sup>١</sup>

[ayoupm25@gmail.com](mailto:ayoupm25@gmail.com)

١ محاضر في المعهد العالي لتقنيات التبريد والتكييف بسوكتة الجفرة - هون

منصور احمد المهدى عبداللطيف<sup>٢</sup>

[alabaas\\_80@yahoo.com](mailto:alabaas_80@yahoo.com)

٢ مساعد محاضر في المعهد العالي لتقنيات التبريد والتكييف بسوكتة الجفرة - سوكتة

#### الملخص

المناخ القاري الذي يسود الجنوب الليبي تتفاوت فيه درجات الحرارة صيفاً وشتاء تفاوتاً ملحوظاً مما يؤثر تأثيراً كبيراً على أجهزة تكييف الهواء والأشخاص القاطنين في حيز التكييف، ولكن أجهزة التكييف تستهلك قدرًا كبيرًا من الطاقة الكهربائية مما يؤثر على الشبكة العامة للكهرباء، وهذا بدوره ينعكس سلبًا على محطات توليد الطاقة الكهربائية بزيادة الاحمال عليها. وتستحوذ أجهزة تكييف الهواء على نسبة كبيرة من استهلاك الطاقة الكهربائية وتتراوح هذه النسبة تقريباً ما بين (60 إلى 75) % صيفاً، ولتنقلي اهدر هذه الطاقة المستهلكة والناتجة عن زيادة التبادل الحراري بين الحيز المراد تكييفه والمحيط الخارجي، تعين استخدام العزل الحراري للحيز مما يوفر ظروف راحة الانسان ويقلل تكلفة الكهرباء ويحافظ على كفاءة محطات توليد الطاقة الكهربائية، سنقوم بدراسة تأثير العزل الحراري على وحدات تكييف الهواء في منطقة الجفرة لعدة مبانٍ بعوازل مختلفة من خلال حساب الاحمال الحرارية لها.

( العزل الحراري - الجبس بورد - وحدة تكييف الهواء - توفير الطاقة )

#### المقدمة

تشكل الطاقة أحد ركائز التطور في شتى مجالات الحياة، حيث أن استهلاك الطاقة يتتناسب تناصباً طردياً مع تطور المستوى المعيشي. وهذا التطور أدى إلى خلق مشاكل صحية وبيئية. وللتقليل من هذه المشاكل هو إنشاء مباني موفرة للطاقة، وبما أن قطاع البناء قد شهد تطوراً كبيراً من حيث المواد المستخدمة فيه لتقليل الفقد الحراري. فالمواد العازلة تلعب دوراً أساسياً في ترشيد استهلاك الطاقة داخل المباني، ويضم العزل الحراري في المباني للمحافظة على الحرارة داخل المبنى شفاء وتسرب الحرارة إلى المبنى صيفاً في المناطق الصحراوية. والذي بدوره يقلل التكلفة من خلال اطالة عمر أجهزة التكييف والمحافظة على كفاءتها والتنقلي من تكاليف صيانتها. فزيادة زمان تشغيل أجهزة التكييف بسبب الحمل الحراري المتسرّب للمبنى يؤدي لزيادة استهلاك الطاقة الكهربائية والتكلفة على المالك [2]. تتميز المناطق الصحراوية بارتفاع درجات الحرارة صيفاً وانخفاضها في فصل الشتاء مما يتطلب استخدام مواد وطرق عزل أكثر كفاءة للوصول إلى الغرض المطلوب وهو ظروف راحة الانسان والتي تترواح درجات الحرارة فيها ما بين 23 – 25 درجة مئوية، ومدينة غدامس في الجنوب الليبي هي أحد المناطق الصحراوية التي أجريت عليها بحوث من حيث العزل الحراري [4]. تتمثل أغلفة المباني الرئيسية لعمليات الحفظ الحراري لكونها عازلة للبيئة الداخلية عن البيئة الخارجية، وهي تتمثل أحد العناصر الإنسانية التي لها تأثيراً مباشرًا على الحمل الحراري للمبنى. وتتمثل الحرارة المتسرّبة عبر جدران واسقف المباني حوالي 60-70% [1]. استخدم الإنسان المواد الطبيعية مثل الاخشاب ومشتقاتها لعزل الحرارة والتي بدأ ظهورها في اوائل هذا القرن وكما استخدمت بعض المواد مثل الحجر الجيري والألوان البيضاء ، كما ظهرت مواد أخرى مثل الصوف الزجاجي مع بداية الثلاثينيات وصناعة البوليستر و البولي يورثان في أواسط الأربعينيات وظهر الفينيل الرغوي في الخمسينيات [2]. ولهذا اتضحت أهمية دراسة تأثير العزل الحراري على المباني في منطقة الجفرة لمباني بعوارز مختلفة والمتمثلة في الواح من الجبس بورد مع فراغ هوائي يقدر بـ 3 سم تقريباً والأخرى بدونه من خلال حساب الاحمال الحرارية لها.

يعتبر عزل المباني عن المحيط الخارجي ذو أهمية لتوفير ظروف الراحة للإنسان، حيث تم التوصل إلى أن وجود مادة بولي يورثان (داخل فجوة سمك 10 سم ضمن جدار مجوف سمكه من الخارج 12 سم ومن الداخل 12 سم يعطي أقل قيمة لكمية الحرارة المنتقلة بين البيئة الخارجية

والداخلية وبالتالي يمثل البديل الأفضل للعزل الحراري [1]

## المحور الرابع: المشاكل والحلول في البيئة الصحراوية

واشارت بعض الدراسات أيضاً إلى أن نسبة الحرارة المنتقلة من الحوائط واسقف المباني الواقعة في المناخ الصحراوي الجاف بحوالي 60-70% بينما تأتي البقية عن طريق فتحات النوافذ والأبواب [3]

وقد تم حساب الأحمال الحرارية للمبني باستخدام طريقة الإشري وفقاً لأبعاد المبني وخواص أنواع الطوب والاسقف المختلفة ، ومن الحسابات اتضحت أن أكبر قيمة للحمل الحراري تأتي من السقف ومن هذا فإن استخدام السقف الأكثر عزلاً له الأولوية عند إنشاء المباني [4] كما أثبتت بعض الدراسات أن الحائط المزدوج والسقف المفرغ والاسقف المطللة ذات الاشكال المنحنية تعتبر جيدة في مقاومة تأثير شدة الأشعة الشمسية الساقطة [5]

وبيّنت النتائج المختبرية وبعد مقارنتها بالمواصفات القياسية الأمريكية أن الصخور الجبسية تمتلك معامل توصيل حراري جيد يتراوح بين (0.41-0.64) وات/متر.م [7] أن

وتوصلت بعض الدراسات في العزل الحراري إلى أن استخدام الألواح الجبسية المقترحة التي تحتوي طبقة نشرة خشبية خشنة أو سعف النخيل تحقق توفير في الطاقة قدره 36% سنوياً مقارنة بأكساء الجدار بالجص [8] ومن جانب آخر الفراغات المهواء ذات مقاومة حرارية تقل عن تلك التي تمتاز بها الفراغات المغلقة ، لذلك تستعمل الفراغات الهوائية المغلقة لرفع كفاءة العزل الحراري للعناصر الإنسانية التي تحتويها لتقليل الفقدان الحراري [9]

ولذا ستقوم هذه الدراسة على بيان تأثير العزل الحراري باستخدام الواح الجبس مع الفراغ المغلق والطوب الاسمنتي والطوب الجيري على أداء وحدة التكييف وذلك بحساب الأحمال الحرارية لثلاثة غرف (4×4) متر بهذه المواصفات المذكورة وتوضيح تأثيرها على وحدة تكييف الهواء في المناطق الصحراوية (منطقة الجفرة) بتسليط الضوء على الجانب العملي.

### 1 - الجبس

يُعتبر الجبس من المواد الصَّلبة التي تتكون من ثنائي هيدرات كالسيوم ( وهو مرَّكب كيميائي يظهر على شكل مسحوق أبيض، يوجد في الطبيعة بعدة أشكال يمكن تحديدها بالاعتماد على محتويات ماء التبلور الموجود في البنية البلورية للجبس) و ويُكتون هذا الاسم من كبريتات الكالسيوم  $\text{CaSO}_4 \cdot 2\text{H}_2\text{O}$  الصيغة الكيميائية للجبس يُطلق على الجبس عدَّة مُسميات منها: الجص أو الجبس، قد يظهر بعدة ألوان إما الرمادي أو الأبيض وقد يميل في بعض الأحيان إلى الأحمرار، هذا وقد يمكن العثور عليه إما على سطح الأرض أو في الأعمق، كما يمتاز الجبس بمظهره النَّاعم الذي يمكن خدشه بالأظفر.

### 2 - الجبس بورد

مجموعة من الواح الجبس توضع على الجدران والاسقف كعزل حراري في البناء وتستخدم أيضاً كديكورات جمالية. وهي خليط بين الجبس والسليلكون والفيبر جلاس ومغلفة بطبقة من الكرتون المعالج وهي نتيجة تكنولوجيا ألمانية المنشأ .. ظهرت لتكون بديل للأسقف المستعارة والجدران وتصنع الألواح الجبسية بمقاس 120 سم × 240 سم وأيضاً هناك مقاسات أخرى للطول من 80 سم إلى 400 سم، ولكنها قليلة الاستعمال هو



الشكل(1) أنواع الجبس بورد

### 3 - محور الدراسة

أجريت هذه الدراسة لثلاث غرف مساحة كل منها  $16\text{m}^2$  مع اختلاف مكونات الجدار والاسقف من حيث المواد ، من حيث دور العزل

### 3-1 حساب المقاومة الحرارية الناتجة عن الجدران.

## المحور الرابع: المشاكل والحلول في البيئة الصحراوية

حيث ان  $U = \frac{1}{R_{th}}$  ..... 1 - معامل انتقال الحرارة الكلي للجدران ( $w/m^2.C$ ) ،  $R_{th}$ - المقاومة الحرارية لعناصر البناء الرئيسية

$$R_{th} = \frac{1}{h_i} + X_b/K_b + X_e/K_e + \frac{1}{h_o} ..... 2$$

حيث أن:  $X_b$  \_ سمك الطبقة الأولى (بالمتر)

$X_e$  \_ سمك الطبقة الثانية (بالمتر)

$K_b$  \_ الموصليّة الحراريّة لمادة الطبقة الأولى

$K_e$  \_ الموصليّة الحراريّة لمادة الطبقة الثانية ،  $h_i$  \_ إنتالبي طبقة الهواء الداخليّة ( $W/m.C$ )  $k$  - الموصليّة الحراريّة ( $W/m.C$ ) .

- إنتالبي طبقة الهواء الخارجي ( $W/m.C$ )  $h_o$

$$q = A * U * \Delta T ..... 3$$

(C) :- المساحة ،  $U$  :- معامل انتقال الحرارة ،  $\Delta T$  :- الفرق في درجات الحرارة ،  $t_r$  :- هي درجة حرارة الغرفة ووحدتها (°C)

(t\_o) :- هي درجة حرارة الهواء الخارجي ووحدتها (°C)

هناك نوعان من الجدران في الغرفة تنتقل الحرارة عبرهما أولاً يفصل الغرفة عن المحيط الخارجي والثاني يفصلها عن الغرفة المجاورة

المكيفة أو الغير مكيفة

جدول (1) المواصفات الإنشائية لمبني الغرفة (A)

مكونات الجدار (طبقات)	السمك (cm)	الموصليّة الحراريّة $k(w/m.C)$
اسمنت	1.5	0.76
الطوب الجيري	15	0.56
أسمنت	1.5	0.76

حساب معامل انتقال الحرارة الكلي للجدران (  $W/m^2.C^0$  ) ،  $U = \frac{1}{R_{th}}$  (  $W/m^2.C^0$  )

$$U = \frac{1}{R_{th}} = \frac{1}{30.77} = 0.032 ( W/m^2.C ) , R_{th} = \frac{1}{0.76} + \frac{1.5}{0.56} + \frac{1.5}{0.76} + \frac{1}{72} = 30.77$$

حساب فرق درجات الحرارة لحمل التبريد CLTD

تمت حسابات حمل التبريد عند الساعة الثالثة ظهر وفي شهر (يوليو-July) وعند خط عرض °32 (32)

$$CLTD_{corr} = [(CLD + LM) * K + (25.5 - tr) + (tom - 29.4)] ..... 4$$

حيث أن: CLTD الفرق في درجات الحرارة لحمل التبريد ويتم إيجادها من جدول قيم CLTD للجدران من [10]

LM-معامل تصحيح خط العرض والشهر لكل جدار على حدا ويتم إجادها من جدول قيم LM من 24° الى 40° للجدران والأسقف [11]

#### **المحور الرابع: المشاكل والحلول في البيئة الصحراوية**

- معامل لون الجدار أو السقف/جدار غامق( $K=1$ ) ،  $t_{\text{tr}}$ -درجة حرارة الغرفة ووحدتها( $^{\circ}\text{C}$ ) ،  $t_0$ -درجة حرارة الهواء الخارجي ووحدتها( $^{\circ}\text{C}$ )  
-متوسط درجات الحرارة الخارجية( $^{\circ}\text{C}$ )  
 $\text{tom}$

### 3-1 حساب فرق درجات الحرارة لحمل التبريد للغرفة (A)

#### 1-حساب فرق درجات الحرارة لحمل التبريد بالنسبة للجهة الجنوبية

CLTD corer = 11°C, LM ..... 6 TOM = -1.6, K = 1, DR = 10°C

$T_0 = 42^\circ\text{C}$ ,  $T_R = 23^\circ\text{C}$

$$TOM = TO - (DR/2) = 42 - (10/2) = 37^\circ C$$

$$\text{CLTD corer} = (11 + (-1.6)) * 1 + (25.5 - 23) + (37 - 29.4) = 19.5\text{w}$$

الجهة الشمالية -: CLTD = 6 °C , LM = 0.5

$$\text{CLTD corer} = \{(6 + 0.5) * 1 + (25.5 - 23) + (37 - 29.4)\} = 16.6\text{w}$$

الحمة الغربية : CLTD = 8 °C , LM = 0

$$\text{CLTD score} = \{(8 + 0) * 1 + (25.5 - 23) + (37 - 29.4)\} = 18.1$$

الجمعة الشرقية = 4 LM = 0 °C LTD = 18

$$\text{CLTD corer} = \{(18 + 0) * 1 + (25.5 - 23) + (37 - 29.4)\} = 28.1\text{W}$$

### 3-3 حساب الأحمال الحرارية للجدران

$$A = (11,6) - (1,8) = 9,8 \text{ m}^2$$

$$A = (L * W) - \text{مساحة الباب} = (4 * 2.9) - (2 * 0.90)$$

$$= (9.8) * (0.032) * (28.1) = 8.812 \text{ WO}_E$$

$$Q_N = ((4 * 2.9) - (1.2 * 1)) * (0.032) * (16.1) = 5.358 \text{ W}$$

$$Q_N = A * U * CLTD_C \quad - \quad \text{الحداد الشمالي} :-$$

$$WQ_w \equiv (4 * 2.9) * (0.032) * (18.1) \equiv 6.718$$

$$Q_w = A * U * CLTD_C \quad =: \quad \text{الحدار الغبار}$$

$$Os = (4 * 2.9) * (0.032) * (19.5) = 7.238w$$

$$Q_s = A * U * CLTD_C \quad -:- \text{الحدار الحنوي}$$

$$8.812 + 5.358 + 6.718 + 7.238 = 28.126 \text{W}$$

$$\omega_{\text{total}} = \omega_E + \omega_W + \omega_S + \omega_N$$

$$8.612 + 5.358 + 0.718 + 7.258 - 28.120 \text{W} \quad Q_{\text{total}} = Q_E + Q_W + Q_S + Q_N$$

$Q_{\text{total}} =$

## المحور الرابع: المشاكل والحلول في البيئة الصحراوية

### 3-4 حساب الكسب الحراري للسقف

جدول (2) الموصفات الإنشائية للسقف

الموصلية $K(W/M.C)$	$x(M)$ السمك	مكونات الجدار (طبقات)
$K(w/m.c)$		خرسانة

نقوم بحساب المقاومة الحرارية للسقف

$$R_{th} = \frac{1}{h_i} + \frac{\Delta x}{k} + \frac{1}{h_o}$$

من المخطط السيكومتري نجد الأنثالي الهواء الداخلي والخارجي عند ظروف الغرفة الداخلية والخارجية:

$$h_i(23c^0, 30\%) = 37 \text{ kJ/kg}, \quad h_o(42c^0, 23\%) = 72 \text{ kJ/kg}$$

بالتعويض في المعادلة

$$.c) U = \frac{1}{R_{th}} = \frac{1}{0.206} = 4.854 \text{ (w/m}^2\text{)} \quad R_{th} = \frac{1}{37} + \frac{0.25}{1.51} + \frac{1}{72} = 0.206 \quad R_{th} = \frac{1}{h_i} + \frac{\Delta x}{k} + \frac{1}{h_o}$$

$$Q = A * U * CLTD_C$$

$$CLTD \text{ corr} = [(CLD + LM) * K + (25.5 - tr) + (tom - 29.4)]$$

$$CLTD \text{ corr} = (18 + 0.5) * 0.72 + (25.5 - 23) + (37 - 29.4) = 23.42 C$$

$$Q = (4 * 4) * (4.854) * (23.42) = 1818.89 W$$

### 5-3 الكسب الحراري خلال الزجاج

جدول (3) حساب الكسب الحراري خلال الزجاج

SHG	CLF	SC	الجهة
126	076.	1	الشمالية
227	0.53	1	الجنوبية
678	0.29	1	الشرقية
678	0.40	1	الغربية

$$Q = A * U * \{(CLTD)c + SHG_F * CLF * SC\} ..... 8 \quad \text{و يتم إيجاده من المعادلة التالية: -}$$

$$A \text{ مساحة النافذة (m}^2\text{)}, \quad U \text{ معامل انتقال الحرارة للنافذة ويساوي (c.m}^2\text{.W/m}^2\text{)}$$

## المحور الرابع: المشاكل والحلول في البيئة الصحراوية

فرق درجات الحرارة لحمل التبريد للزجاج ويتم إيجادها من جداول حمل التبريد CLTD معامل حمل التبريد للزجاج ويتغير حسب الاتجاه والساعة ويستخرج من جداول حمل التبريد CLF عامل التضليل و يتغير حسب سمك ونوع الزجاج ولزجاج ذو سمك 3مم ذو طبقة واحدة SC يساوي واحد

$$CLTD_c = CLTD + (25.5 - Ti) + (To - 29.4)$$

$$CLTD_c = 8 + (25.5 - 23) + (42 - 29.4) = 23.1 \text{ w}$$

يتم حساب حمل التبريد الحراري للزجاج بالتعويض في المعادلة التالية:

$$Q = A^* (U * CLTD_c + SHG_f * CLF * SC)$$

$$QE = 2.376 * (6.25 * 23.1 + 678 * 0.20 * 1) = 665.22 \text{ w} / \text{الجهة الشرقية}$$

### 3-6 حساب الكسب الحراري للإنارة الداخلية

عدد المصايب الموجودة بالغرفة هي (1) عدد 1 مصباح ؛معامل الانتفاع للمصباح داخل الغرفة يساوي 50% إلى (0.5)%

جدول (4) حساب الكسب الحراري للإنارة الداخلية

الغرفة	NL	W	FU	Fb	CLF	QW
A	1	60	0.5	1.2	1	36

حيث يتم حساب الحمل الحراري للإنارة الداخلية من المعادلة التالية:-

$$Q = NL * W * FU * Fb * CLF ..... 9$$

حيث أن: NL عدد المصايب - Wقدرة المصباح الإنارة وتساوي 60 watt - FU معامل الانتفاع أو نسبة المصايب المستخدمة وتساوي (0.5)

ـ Fb معامل الكبح وتساوي (1.2) للمصباح الفلورسنت.

$$Q = 1 * 60 * 0.5 * 1.2 * 1 = 36 \text{ w} \quad Q = NL * W * FU * Fb * CLF$$

ـ QS هي الحرارة المحسوسة - qI هي الحرارة الكامنة

ـ يتم إيجاد كل من كمية الحرارة الكامنة والمحسوسة للأشخاص الشغالين للغرفة حسب حالة الإنسان واستخدام الغرفة مكتب - شقة -

سكن(45,72)

جدول (5) حساب الكسب الحراري للأشخاص الشغالين للغرفة

عدد الأشخاص	الحرارة المحسوسة للشخص (QS)	الحرارة الكامنة للشخص (QI)
3	72	45

$$QS = 72 * 3 = 216 \text{ w}$$

$$QI = 45 * 3 = 135 \text{ w}$$

#### **المحور الرابع: المشاكل والحلول في البيئة الصحراوية**

### 3-7 حساب الكسب الحراري للهواء التخلخل

$$T_0 = 42^\circ \text{C} \quad , \quad \varnothing = 23\% \quad , \quad T_i = 23^\circ \text{C}$$

حيث إن :  $T_d$  درجة الحرارة الداخلية (°C) ،  $T_o$  درجة الحرارة الخارجية (°C) ،  $\phi$  رطوبة النسبة (%)

$$\text{حجم الغرفة (} m^3 \text{)} = L \times W \times h \quad , \quad \text{عرض الغرفة (m)} = W \quad , \quad \text{ارتفاع الغرفة (m)} = h$$

٧ عدد مرات تغير الهواء للغرفة في الساعة الواحدة (الغرف مع نوافذ او ابواب في جانبين) وتساوي (١.٥)

$$M_{air} = Q * \rho ..... 12 \quad M_{air} = L * w * h * n / 3600 * \rho$$

حيث أن :- Mair كتلة الهواء (kg/s) ،  $\rho$  كثافة الهواء ( $\text{kg/m}^3$ )

ويمثل اتحاد انتالبي، الهواء الخارجى، والداخلى، (hi, ho) من المخطط السايكومترى

$$T_o = 42^{\circ}\text{C}, \varnothing_o = 23\%, \quad h_o = 72 \text{ kJ/kg}, \quad \varnothing_i = 30\%, \quad T_i = 23^{\circ}\text{C}, h_i = 35 \text{ kJ/kg}$$

$$Q = (1.5 * 46.4) \quad Q = n * v / 3600$$

$$/3600=0.019\text{m}^3/\text{s}$$

$$Mair = 0.019 * 1.2 = 0.0228 \text{ kg/s}$$

حيث ان :  $CP$  السعة الحرارية للهواء عند ثبوت الضغط( $1.005 \text{ kJ/kg.K}$ ) ،  $Q$  معدل التدفئة، الهواء ووحدته ( $\text{m}^3/\text{s}$ )

$$Q_s = 0.019 * 1.005 * (42 - 23) = 0.36 \text{ W} \quad , \quad T_0 = 23^\circ\text{C}$$

## دول (6) حساب هواء التخلخل

$Q_L(w)$	$Q_s(w)$	$(w)Q_{total}$	Mair kg/s	$Q(m^3/s)$	الغرفة
0.438	0.36	0.798	0.0228	0.019	A

## المحور الرابع: المشاكل والحلول في البيئة الصحراوية

جدول (7) الموصفات الإنشائية لمبني الغرفة (B)

الموصلية الحرارية $k(w/m.c^0)$	السمك (cm)	مكونات الجدار (طبقات)
1.2	1.5	مونة اسمنتية
1	15	طوب اسمنتي
1.2	1.5	مونة اسمنتية

$$=0.057 \text{ w/m}^2.\text{c}^0\text{U} = \frac{1}{R_{\text{th}}} = \frac{1}{17.540} = 17.540\text{R}_{\text{th}}$$

### 3-8 حساب فرق درجات الحرارة لحمل التبريد بالنسبة للغرفة (B)

بإتباع نفس الخطوات السابقة المتتبعة على الغرفة (A)

$$\text{الجدار الشمالي } c_{\text{LTD}} = 18.1\text{c}^0 \quad \text{الجدار الغربي } c_{\text{LTD}} = 16.6\text{c}^0$$

$$\text{الجدار الشرقي } c_{\text{LTD}} = 19.5\text{c}^0 \quad \text{الجدار الجنوبي } c_{\text{LTD}} = 8.818\text{c}^0$$

وكذلك تم حساب الحمل الحراري لجدار العرفة

$$\text{الجدار } Q_w = 11.967\text{w} \quad Q_e = 15.696\text{w} \quad \text{الجدار الشمالي } Q_s = 12.893\text{w} \quad \text{الجدار الجنوبي } Q_n = 9.840\text{w}$$

الشمالي

$$Q_{\text{total}} = 50.396\text{w}$$

### 3-9 حساب الحمل الحراري للسقف

جدول (8) الموصفات الإنشائية للسقف (B) [9]

الموصلية الحرارية $K(w/m.c^0)$	X (cm)	المادة
1.51	0.25	خرسانة
0.22	6	الخرسانة الرغوية

$$Q = 13.489\text{w} \quad U = 0.036\text{w/m}^2.\text{c}^0 \quad R_{\text{th}} = 27.479$$

ملحوظة الحمل الحراري للنوافذ وهواء التخلخل بنفس موصفات الغرفة (A)

### 3-10 حساب الحمل الحراري للغرفة (C)

## المحور الرابع: المشاكل والحلول في البيئة الصحراوية

جدول (9) الموصفات الإنشائية لمبني الغرفة (C) [9]

الموصلية الحرارية $k(w/m.c)$	السمك (cm)	مكونات الجدار (طبقات)
1.2	1.5	مونة اسمنتية
1	15	طوب اسمنتى
0.02	3	فراغ
0.35	1.5	ألواح جبسية

$$U = \frac{1}{R_{th}} = \frac{1}{170.577} = 0.006 \text{ W/m}^2\cdot\text{C}^0 \quad R_{th}=170.577$$

### 3-11 حساب فرق درجات الحرارة لحمل التبريد بالنسبة للغرفة (C)

بإتباع نفس الخطوات السابقة المتتبعة على الغرفة (A)

$$\text{الجدار الجنوبي } C_{LTDc} = 18.1 \text{ C}^0, \quad \text{الجدار الغربي } C_{LTDc} = 19.5 \text{ C}^0$$

$$\text{الجدار الشمالي } C_{LTDc} = 16.6 \text{ C}^0, \quad \text{الجدار الشرقي } C_{LTDc} = 8.818 \text{ C}^0$$

وكذلك تم حساب الحمل الحراري لجدار الغرفة

$$Q_W = 1.26w \quad \text{الجدار الغربي}, \quad Q_S = 1.357w \quad \text{الجدار الجنوبي}$$

$$Q_E = 0.518w \quad \text{الجدار الشرقي}, \quad Q_N = 1.004w \quad \text{الجدار الشمالي}$$

$$Q_{total} = 4.157w$$

جدول (10) حساب الحمل الحراري للسقف

الموصلية الحرارية $K (w/m.c^0)$	X (cm)	المادة
1.51	0.25	خرسانة
0.22	6	الخرسانة الرغوية

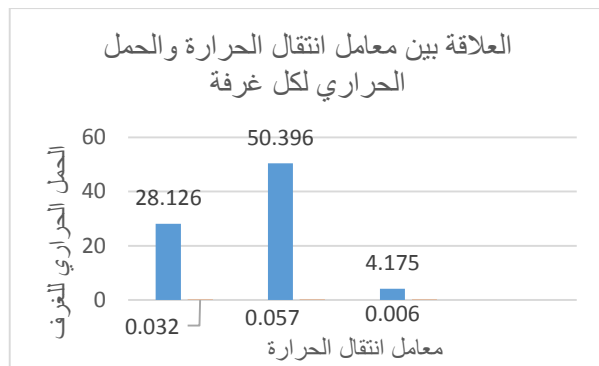
$$Q = 13.489w$$

$$U = 0.036w/m^2.$$

$$R_{th}=27.479$$

ملحوظة الحمل الحراري للنوافذ وهواء التخلخل بنفس مواصفات الغرفة (A)

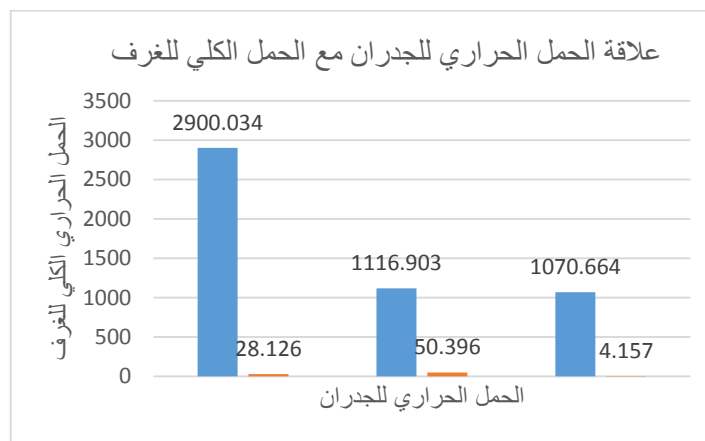
#### **المحور الرابع: المشاكل والحلول في البيئة الصحراوية**



الشكل (2) العلاقة بين معامل انتقال الحرارة والحمل الحراري لكل غرفة

### جدول (11) حساب حمل التبريد للغرف

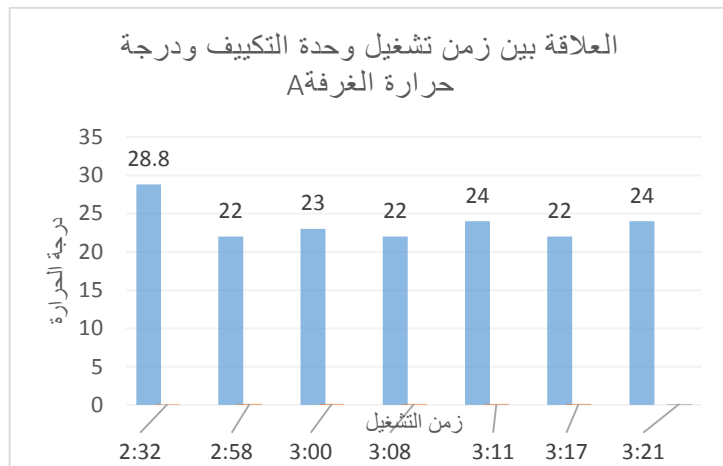
$Q_{\text{ الكلية}}^{(w)}$	$Q_{\text{ الاشخاص}}$	$Q_{\text{ الإنبار}}$	$Q_{\text{ هواء}}$	$Q_{\text{ التخلخ}}$	$Q_{\text{ السقف}}^{(w)}$	$Q_{\text{ الجدران}}^{(w)}$	$Q_{\text{ النوافذ}}^{(w)}$	$\text{الغرفة}$
2900.034	351	36	0.798	1818.89	28.126	665.22		A
1116.903	351	36	0.798	13.489	50.396	665.22		B
1070.664	351	36	0.798	13.489	4.157	665.22		C



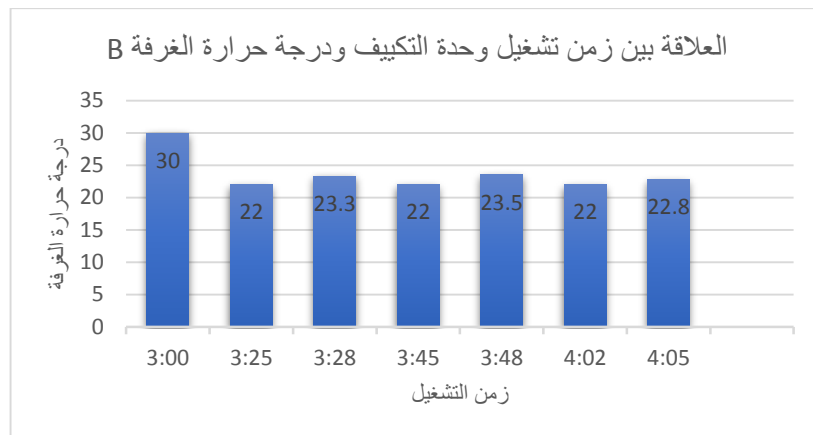
الشكل (3) علاقة الحمل الحراري للجدران مع الحمل الكلي للغرف

## المحور الرابع: المشاكل والحلول في البيئة الصحراوية

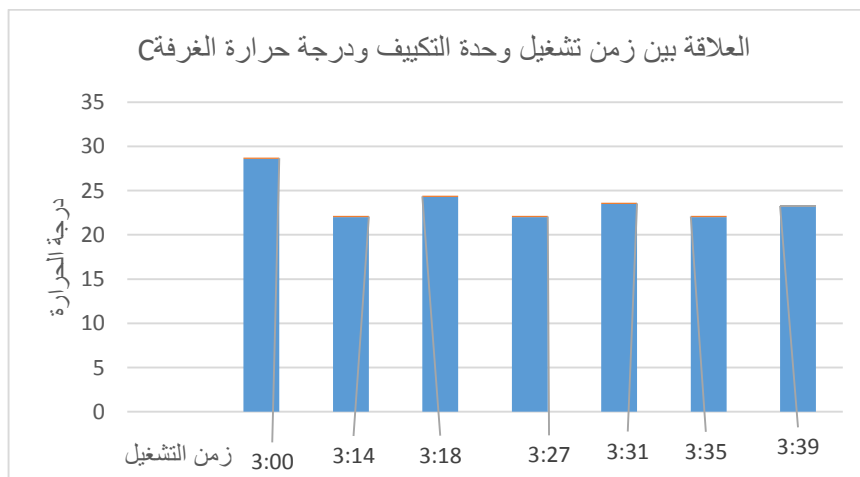
### 4- الجانب العملي



الشكل(4) العلاقة بين زمن تشغيل جهاز التكييف و درجة حرارة الغرف



الشكل(5) العلاقة بين درجة حرارة الغرفة و زمن تشغيل جهاز التكييف



الشكل(6) العلاقة بين درجة حرارة الغرفة و زمن تشغيل جهاز التكييف

## المحور الرابع: المشاكل والحلول في البيئة الصحراوية

### 5- مناقشة النتائج

بناء على النتائج المبينة في الحسابات أعلاه، تراوحت نتائج حمل التبريد الحراري للغرف من 0.034 وات إلى 0.664 وات، ويلعب الحمل الحراري دوراً كبيراً في كمية الحرارة المنتقلة خلال المادة وهو يتأثر بالظروف المحيطة بالحيز المراد تكييفه من حيث الخواص الفيزيائية لمواد البناء المكونة للغرفة ويرجع سبب الحصول على قيم مرتفعة لحمل التبريد الحراري للغرفة A و B للموصولة الحرارية لمواد البناء لهذه الغرفة. كلما زادت الموصولة الحرارية لمواد بناء الغرفة زاد حمل التبريد الحراري لها وبيهـنـ ذلك قيمة الحمل الحراري للغرفة A حيث كانت القيمة الأعلى بين الغرف، وعلى العكس تماماً فإن الغرفة C سجلت أقل حمل حراري وكلما زاد الحمل الحراري للغرفة زاداً عدد ساعات وحدة التكييف داخلاً ويتربّ على ذلك إستهلاك أكبر للطاقة والتكلفة، حيث ان اختيار وحدة التكييف المناسبة للغرفة تعتمد على كمية حمل التبريد الحراري لهذه الغرفة، يتضح من النتائج ان العزل الحراري المستخدم في الغرفة C هو الأفضل مقارنة بالغرف A و B. ونلاحظ ان أكبر حمل تبريد حراري للسقف كان في الغرفة A وقيمه (1818.89) وات، وبالنسبة لأعلى حمل تبريد حراري للجدار كان في الغرفة B وقيمه (50.396) وات، ونلاحظ من خلال هذه النتائج ان السقف له التأثير الأكبر على الحمل الحراري للغرفة

### 6- الخلاصة

- أظهرت النتائج ان الواح الجبس أمبورد مع فراغ هوائي 3 سم تقريباً تعتبر المادة الأفضل كعزل حراري للجدران والاسقف مكونات الجدار في الغرفة C سجلت أقل حمل حراري وهو (4.175 W)
- يمكن استخدام الواح الجبس بورد مع الفراغ كعزل حراري في المناطق الصحرافية بدلاً عن المونتا إلسمنتية لانخفاض موصليتها الحرارية
- سهولة تركيب الواح الجبس بورد مع الفراغ وقلة تكلفتها وتشطيبها تقريباً يشجع على استخدامها كعزل حراري في المناطق الصحرافية.
- يتضح من الاشكال الثلاثة في الجانب العملي (6-5-4) ان الغرفة C تمتلك أقل تأثير على وحدة التكييف حيث ان زمن السيطرة على الحمل الحراري داخل الغرفة سجل أقل من الغرفة (A-B) حيث وصلت درجة حرارة الغرفة المطلوبة  $C^0$  في زمن وقدره (14) دقيقة ، بينما إستغرقت وحدة التكييف للسيطرة على الحمل في الغرفة A (25) دقيقة و (26) دقيقة وهذا يقلل من استهلاك الطاقة ويزيد من عمر وحدة التكييف

### المراجع

- [1] نوال عبد الأمير خميس، د- ضياء ناصر حسن، د- إيمان عبد محمد، شهادة حكمة محمد علوي (اختيار البديل الأمثل للعزل الحراري في الجدران الخارجية للابنية لغرض تحقيق الاستدامة البيئية (الجزء 1)، العدد 22، آذار 2018

## **المحور الرابع: المشاكل والحلول في البيئة الصحراوية**

- [2] د-الغالي عبدالرحمن محمد مصوبي (دور العزل الحراري في المنشآت الخرسانية لترشيد استهلاك الطاقة الكهربائية 2018)
- [3] رواد احمد عبدالكريم، عز الدين حسن الشبوكي، نزار أبوبكر غميسن (العوازل الحرارية ودورها في تحسين البيئة الداخلية لمباني المناطق الصحراوية) 03.01 ديسمبر 2020
- [4] محمد إبراهيم إعلوه، قاسم عبدالسلام الزين (تأثير بعض أنواع مواد البناء على الاحمال الحرارية لمبني سكني في منطقة سيبها ) المجلد الخامس عشر - العدد الأول 2016
- [5] محمد الوالي الشريف ، بشير مصباح النعاس ، منصور بن مسکین ، محمد المهدى العمرانى (التصميم الحراري وتحسين الأداء الوظيفي للمباني بالمنطقة الجنوبية لليبيا) VOL . 20 NO. 0.4 2021
- [6] عباني السعيد حفصي فؤاد ، كريكر عبد الواحد (دراسة العزل الحراري للبنات الجبسية المدعمة بألياف النخيل ) 2019
- [7] محمد راشد عبود، نهاد سعود نجم (قياس معامل التوصيل الحراري للصخور الجبسية من تكوين الفتحة (منطقة الفتحة) لاستخدامها كعوازل لتغليف الجدران 1013(1) 2013)
- [8] عاطف علي حسين (اقتراح استخدام الألواح الجبسية غير التقليدية لإنتهاء السطوح الداخلية للأبنية في مدينة بغداد) المجلد التاسع العدد الثاني- 2016
- [9] خضر عكاوي (كودة العزل الحراري) 2013/10/13
- [10] ASHRAE, Thermal loads, 1985
- [11] AsHRAE (LM values° of walls and roofs) 1989

## المحور الرابع: المشاكل والحلول في البيئة الصحراوية

### تطبيق العزل الحراري على نموذج مبني سكني في منطقة الجفرة يوضح أهمية استخدام العوازل الحرارية للمباني السكنية في المناطق الحارة والصحراوية

د. مهدي عمران على سلامه

المعهد العالي لتقيية التبريد والتكييف سوكنه

[omranmahade@gmail.com](mailto:omranmahade@gmail.com)

#### الملخص

من خلال دراسة الاحمال الحرارية للمباني تبين الدراسات ان كمية الحرارة المنتقل من خارج المبنى الى داخله عبر مكونات المبنى تشكل من 60% الى 70%، من الاحمال الحرارية للمبني ويشكل بقية الاحمال الحرارية الاخرى مثل هواء التهوية المتسرّب من الأبواب والنواذن وحمل المعدات وغيرها، و في هذا البحث تم اجراء دراسة لحساب الاحمال الحرارية للتقليل من تلك الاحمال ومعالجتها على برنامج (HAP) لمبني سكني من طابق واحد حسب الظروف الجوية لمنطقة الجفرة، تنت الدراسة لأربع حالات مختلفة من العزل الحراري للجدران والنواذن والسلف و اوضحت النتائج ان حمل التبريد عند استخدام جدار عادي بدون عازل حراري كانت نسبة الاحمال الخارجية 70% من الحمل الكلي و بعد استخدام الواح الجبس في الحالة الثانية في الجدران والسلف انخفضت الحمل بنسبة 22.1% و في الحالة الثالثة عند إضافة طبقتين لزجاج النواذن انخفضت الحمل بنسبة 33.4% اما في الحالة الرابعة عند استخدام العزل في السلف والجدران بالمواصفات القياسية انخفض حمل التبريد بنسبة 53.4% و حمل التدفئة بنسبة 33%.

**الكلمات الدالة:** - العزل الحراري، حمل التبريد، استهلاك الطاقة، معامل انتقال الحرارة الكلي، برنامج (HAP)

#### مقدمة

يتتصف مناخ المناطق الصحراوية بالجفاف والارتفاع الكبير في درجات الحرارة التي قد تتجاوز 47 درجة مئوية في بعض الأحيان، ونتيجة لذلك تتسرب كميات كبيرة من الحرارة إلى داخل المبنى مما يتطلب استهلاك كمية كبيرة من الطاقة الكهربائية لتبريد المبنى. وللتقليل من استهلاك الطاقة فإنه يلزم استخدام عزل حراري في مكونات المبنى للحد من انتقال الحرارة وتسرّبها إلى داخله. حيث يكون الفرق بين درجتي الحرارة داخل وخارج المبنى كبيراً جداً، ولهذا يلجأ سكان المبنى إلى استخدام أجهزة التكييف لفترات طويلة وذلك للحد من ارتفاع درجات الحرارة داخل المبنى. ونظراً لكون أجهزة التكييف تمثل حملاً كبيراً لا يستهان به في استهلاك الطاقة الكهربائية [1], [2], [3] حيث تشكل أجهزة تكييف الهواء 60% من كامل الطاقة الكهربائية المستهلكة خلال شهر الصيف [4]، ([5] لذلك فإن استخدام مواد العزل الحراري في المبني يعتبر أحد أهم تقنيات ترشيد استهلاك الطاقة الكهربائية [6], [7] و يعمل العزل الحراري في المبني السكنية

## **المحور الرابع: المشاكل والحلول في البيئة الصحراوية**

على تحسين كفاءة استهلاك الطاقة، وتطورت مواد العزل الحراري ليس فقط من حيث الخصائص الحرارية، ولكن أيضا فيما يتعلق بتحقيق جودة البيئية الداخلية والتأثير البيئي [8] ، [9] ، [10]. وتقدر كمية الحرارة التي تخترق الجدران والأسقف في أيام الصيف بنسبة 60 – 70% وأما البقية فتأتي من النوافذ وفتحات التهوية والاحمال الاخرى [11]. ومن هنا يتضح أهمية العزل الحراري لتخفيض استهلاك الطاقة الكهربائية المستخدمة في أغراض التكييف. وتركز هذه الورقة البحثية على دراسة أهمية استخدام مواد العزل الحراري في الجدران والأسقف والنوافذ ودورها في تقليل استهلاك الطاقة الكهربائية اللازمة لتوفير مستوى الراحة المناسب لمستخدمي المباني.

### **1. تعريف العزل الحراري:**

العزل الحراري للمباني هو التقليل من انتقال الحرارة من مكان إلى آخر وذلك باستخدام مواد لها خواص عازلة للحرارة بحيث تساعد في الحد من تسرب وانتقال الحرارة من خارج المبنى إلى داخله صيفاً ومن داخله إلى خارجه شتاءً، وذلك من خلال الاستفادة من خصائص هذه المواد كضعف التوصيل الحراري والانعكاس [12].

### **مصادر حمل التكييف:**

هناك مصدرين للحرارة داخلي وخارجي يؤديان إلى رفع أو خفض درجة حرارة المبني مما يؤدي إلى عدم توفر نطاق الراحة لمستخدمي المبني.

#### **المصادر الداخلية**

- السكان: حيث أنه من المعروف أن الإنسان يطلق كمية من الطاقة تنتقل إلى الهواء مما يؤدي إلى رفع درجة الحرارة الداخلية [13].
- الإنارة: تشع مصادر الإنارة كمية من الحرارة تعتمد على قوتها ونوعيتها ومن المعروف أن كمية الحرارة تتراوح بين 35% إلى 75% من قدرة الإنارة حسب نوعية المصدر [13].
- الأجهزة: تصدر عن الأجهزة المستخدمة في المبني مثل الأفران والغسالات والثلاجات... كمية من الحرارة.

#### **المصادر الخارجية**

- أشعة الشمس: يتحول جزء كبير من أشعة الشمس إلى حرارة بمجرد ملامستها للجدران والأسقف والنوافذ والأبواب وتنتقل الحرارة عبر عناصر المبني إلى داخله، وهذا يعتمد على درجة امتصاصية هذه العناصر لها.

## المحور الرابع: المشاكل والحلول في البيئة الصحراوية

- الهواء الخارجي: يؤدي ارتفاع درجة حرارة الهواء الخارجي إلى رفع درجة حرارة عناصر المبنى [13].

الحرارة التي تخترق المبنى والتي يفترض إزالتها باستعمال أجهزة التكييف للوصول إلى درجة الحرارة المناسبة [13]. وتقدر كمية الحرارة التي تخترق الجدران والأسقف في أيام الصيف بنسبة من 60 – 70 % وأما البقية فتأتي من النوافذ وفتحات التهوية. ويعمل تكييف الهواء على خفض درجة حرارة المبنى لكي يشعر القاطنون بالراحة. وتقدر نسبة الطاقة الكهربائية المستهلكة في الصيف لتبريد المبني بنسبة حوالي 66 % من كامل الطاقة الكهربائية [14]. ومن هنا يتضح أهمية العزل الحراري لتخفيض استهلاك الطاقة الكهربائية المستخدمة في أغراض التكييف، وذلك للحد من تسرب الحرارة خلال الجدران والأسقف إلى الداخل وتحقيق الظروف الملائمة وتقليل تكلفة استهلاك الطاقة. وتعتمد كمية الحرارة المنقولة خلال مكونات المبني على المعامل الكلي لانتقال الحرارة ( $U$ ) لهذه المكونات ومساحة الجدار وفرق درجات الحرارة داخل المبني وخارجها.

$$Q=A \cdot U \cdot CLTD$$

حيث ان

$$Q = \text{كمية الحرارة المنقولة خلال مكونات المبني (W)}$$

$$A = \text{مساحة الجدار (m}^2\text{)}$$

$$U = \text{معامل انتقال الحرارة الكلي (w/m}^2.\text{k)}$$

وتتصس المواصفات القياسية الدولية على ان قيمة معامل انتقال الحرارة الكلي ( $U$ ) للمناطق الصحرافية والحرارة ومنطقة الخليج العربي يجب ان لا تزيد على القيم التالية [15].

- الجدران  $U=0.57w/m^2.k$
- الأسقف  $U=0.33w/m^2.k$
- زجاج النوافذ  $U=1.9 w/m^2.k$

### 2. منهاجية البحث:

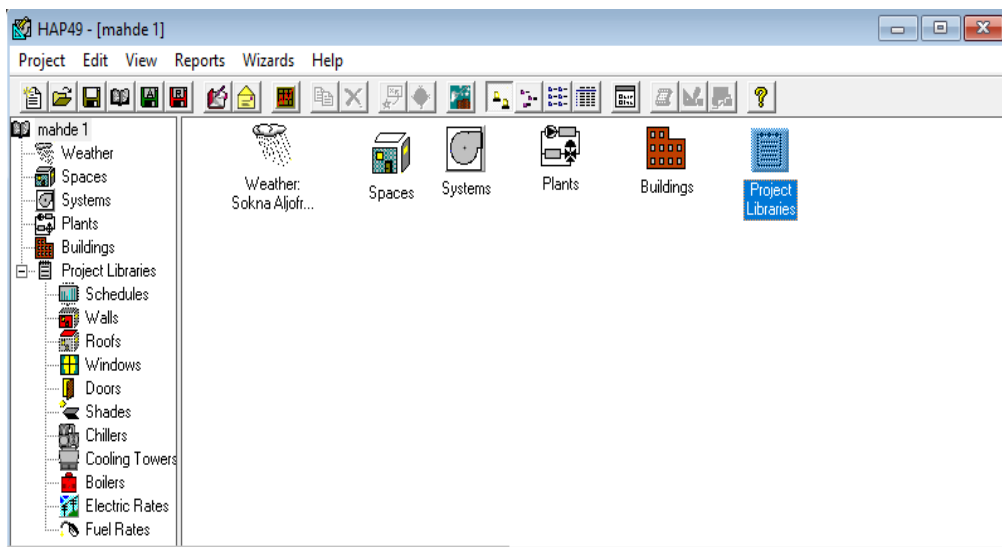
تم عمل دراسة تحليلية للأحمال الحرارية لنموذج مبني سكني من طابق واحد كما في الشكل (2) بمساحة 156 متر مربع على برنامج (HAP) Hourly Analysis Program 4.90 بمناخ منطقة الجفرة باعتماد اربع حالات لدراسة الاحمال الحرارية على المبني، في الحالة الاولى بدون استخدام اي عازل حراري وفي الحالة الثانية تم استخدام الواح جبس مع فجوة هوائية في السقف والجدران وفي الحالة الثالثة استخدام الواح الجبس للسقف والجدران و اضافة طبقتين

## المحور الرابع: المشاكل والحلول في البيئة الصحراوية

من الزجاج في النوافذ واعتماد لون فاتح للجدران الخارجية للمبنى وفي الحالة الرابعة تم عزل الجدران الخارجية والأسقف بالواح البولي ستيرين بسمك 30مم، وتمت المقارنة بين الحالات الأربع من حيث احمال التبريد والتدفئة و استهلاك الطاقة.

### HAP4.9 برنامج

يعتبر برنامج هاب (HAP) من اهم البرامج التي تساعد المهندسين على حساب الاحمال الحرارية وتقدير استهلاك الطاقة وتحديد سعة اجهزة التكييف، مقدم من شركة Carrier ويعمل وفق اسلوب طريقة فرق درجات الحرارة لتحديد حمل التبريد (CLTD) ضمن Cooling Load Temperature Differences ضمن مواصفات الجمعية الأمريكية لمهندسي التكييف والتبريد والتهوية (ASHRAE, 2007) والشكل (1) يوضح واجهة البرنامج.



الشكل (1) واجهة برنامج (HAP) (Hourly Analysis Program 4.9)

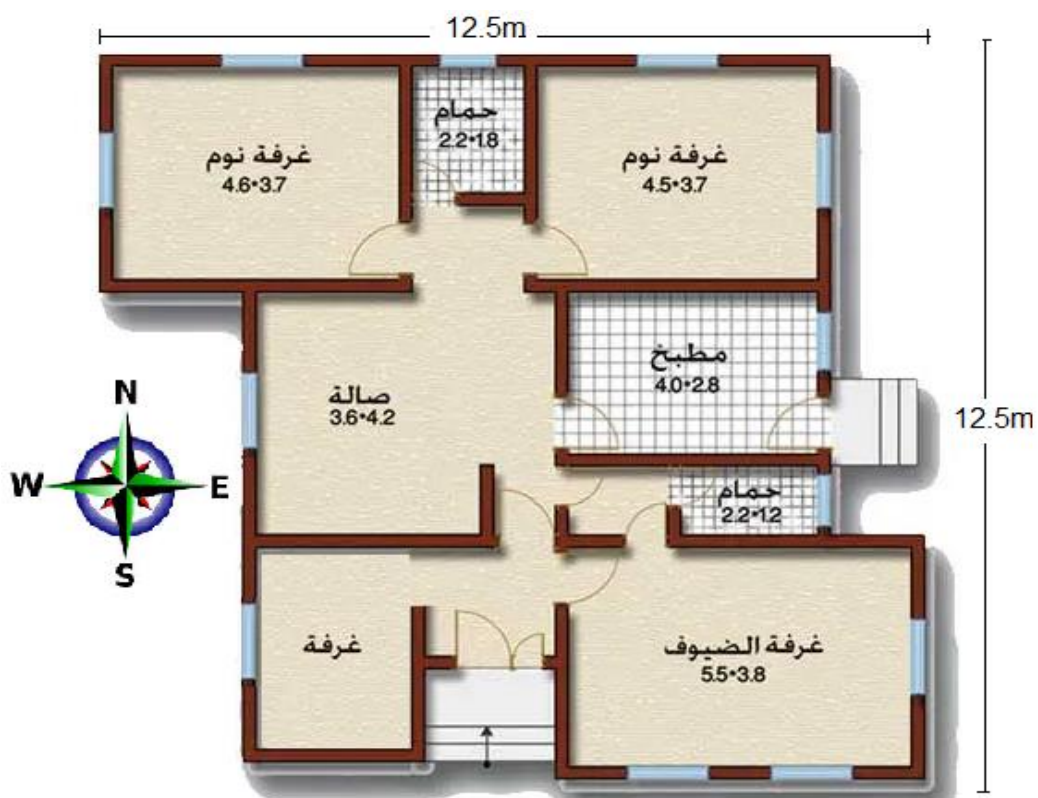
### نماذج الدراسة

تم اجراء هذه الدراسة، حساب الاحمال الحرارية للمبنى في أربع حالات تختلف فيها مكونات المبنى (السقف، الجدران، الأرضية، وزجاج النوافذ) والجدول التالي يوضح مكونات المبنى في كل حالة من حالات الدراسة.

## المحور الرابع: المشاكل والحلول في البيئة الصحراوية

الجدول (1) مكونات المبني في حالات الدراسة الاربعة

ال الحالات	مكونات الجدار	مكونات السقف	زجاج النوافذ	اللون الخارجي للمبني
الحالة الاولى	لياسة خارجية-طوب اسمنتى - لياسة داخلية	خرسانة-لياسة	زجاج مفرد	لون متوسط
الحالة الثانية	لياسة خارجية-طوب اسمنتى - فجوة هوائية - الواح جبس	خرسانة-فجوة هوائية - الواح جبس	زجاج مفرد	لون متوسط
الحالة الثالثة	لياسة خارجية-طوب اسمنتى - فجوة هوائية - الواح جبس	خرسانة-فجوة هوائية - الواح جبس	طبقتين زجاج بينهم 13مم هواء	لون فاتح
الحالة الرابعة	لياسة خارجية - 5مم الواح بولي ستيرين - طوب اسمنتى 20سم- لياسة داخلية	خرسانة خفيفة 10مم - خرسانة مسلحة - عازل حراري 5مم - الواح جبس	طبقتين زجاج الطبقة الداخلية عاكسة بينهم 13مم هواء	لون فاتح



الشكل (2) نموذج خريطة المبني المستخدم لحساب الأحمال الحرارية

## المحور الرابع: المشاكل والحلول في البيئة الصحراوية

### النتائج

بعد ادخال بيانات المنطقة من حيث خطوط الطول ودوائر العرض والارتفاع عن مستوى سطح البحر وفرق درجات الحرارة اليومي وبينات المبني من حيث مساحات الجدران ومكوناتها واتجاهاتها ومساحة السقف والارضية ومكوناتها ومساحات النوافذ والابواب ومكوناتها واتجاهاتها، يقوم البرنامج بحساب الاموال كما في الجداول التالية.

الجدول (2) احمال التبريد والتدفئة للمبني في الحالة الاولى من برنامج (HAP)

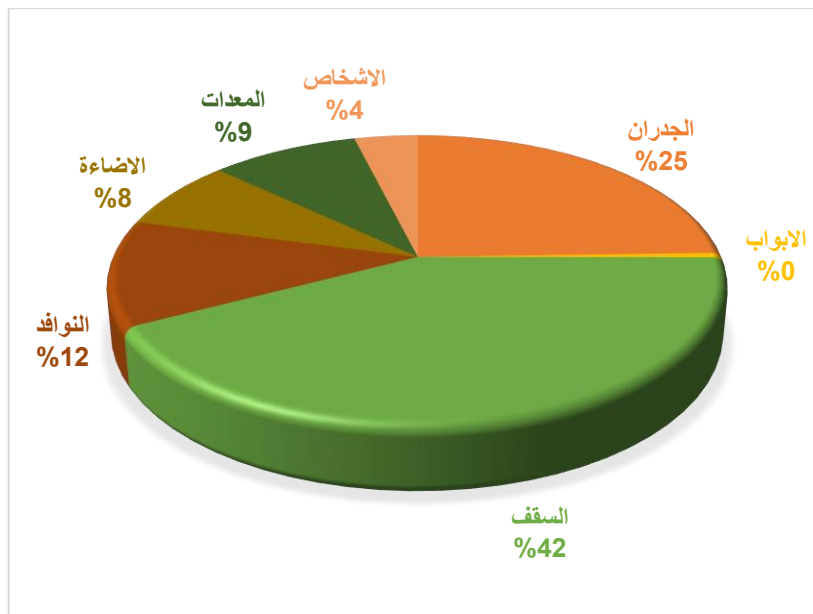
ZONE LOADS	DESIGN COOLING			DESIGN HEATING			
	COOLING DATA AT Jul 1700			HEATING DATA AT DES HTG			
	COOLING OA DB / WB 40.6 °C / 21.9 °C			HEATING OA DB / WB 6.5 °C / 1.2 °C			
OCCUPIED T-STAT 23.9 °C			OCCUPIED T-STAT 21.1 °C				
Details	Sensible (W)	Latent (W)	Details	Sensible (W)	Latent (W)		
Window & Skylight Solar Loads	14 m <sup>2</sup>	2357	-	14 m <sup>2</sup>	-		
Wall Transmission	116 m <sup>2</sup>	6213	-	116 m <sup>2</sup>	4238		
Roof Transmission	165 m <sup>2</sup>	10711	-	165 m <sup>2</sup>	5333		
Window Transmission	14 m <sup>2</sup>	1357	-	14 m <sup>2</sup>	1326		
Skylight Transmission	0 m <sup>2</sup>	0	-	0 m <sup>2</sup>	0		
Door Loads	5 m <sup>2</sup>	130	-	5 m <sup>2</sup>	127		
Floor Transmission	165 m <sup>2</sup>	0	-	165 m <sup>2</sup>	58		
Partitions	0 m <sup>2</sup>	0	-	0 m <sup>2</sup>	0		
Ceiling	0 m <sup>2</sup>	0	-	0 m <sup>2</sup>	0		
Overhead Lighting	1984 W	1984	-	0	0		
Electric Equipment	2314 W	2314	-	0	0		
People	9	607	317	0	0		
Infiltration	-	2941	-218	-	2110		
Miscellaneous	-	120	0	-	0		
Safety Factor	0% / 0%	0	0	0%	0		
>> Total Zone Loads	-	28733	99	-	13191		

### الحالة الاولى

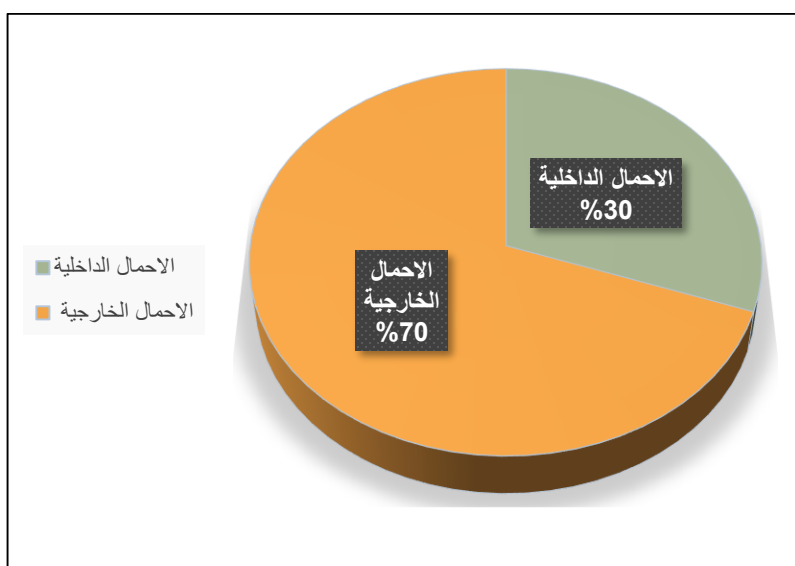
حيث المبني التقليدي دون اعتماد اي مواد عازلة للحرارة، الجدار مكون من طوب اسمنتي 200مм وطبقتين من اللياسة الداخلية وخارجية والسطح خرسانية مسلحة مع هوردي وزجاج النوافذ من طبقة واحدة والجدول (2) يوضح الاموال الحرارية للتدافئة والتبريد. من خلال النتائج من برنامج هاب نجد ان الاموال كانت اعلى قيمة الحرارة المنتقلة من السقف في احمال التبريد حيث بلغت 10.711kw، وفي حمل التدافئة بلغت 5.333kw نظراً لتعرض السطح لأشعة

## المحور الرابع: المشاكل والحلول في البيئة الصحراوية

الشمس لساعات طويلة في اليوم، ويليه الجدران  $6.312\text{ kW}$  تم الحرارة المنتقلة عبر زجاج النوافذ بالإشعاع والمواد المتسلل من النوافذ والأبواب لأغراض التهوية  $2.941\text{ kW}$ . وكانت كمية الحرارة المنتقلة بالترسيب خلال زجاج النوافذ  $1.018\text{ kW}$  و الشكل ( 3 ) يوضح النسبة المئوية للأحمال الحرارية للمبني، والشكل ( 4 ) يوضح نسبة الأحمال الخارجية والداخلية للمبني حيث بلغت الأحمال الخارجية  $70\%$  من الحمل الكلي للمبني أي أن  $70\%$  من حمل التبريد هي حرارة تدخل للمبني عبر السقف و الجدران والنوافذ والأبواب و  $30\%$  هي احمال داخلية و من هنا يتضح اهمية استخدام العوازل الحرارية في الجدران والسقف.



الشكل (3) النسب المئوية للأحمال الحرارية للمبني في الحالة الأولى



الشكل (4) نسبة الاحمال الخارجية والداخلية للمبني في الحالة الأولى

## المحور الرابع: المشاكل والحلول في البيئة الصحراوية

الجدول رقم (3) يوضح تفاصيل الاحمال الحرارية على الجدران حسب الاتجاهات والاسقف. ونجد ان اعلى حمل هو السقف رغم انخفاض معامل انتقال الحرارة الكلى له مقارنة مع الجدران والنوافذ وبليه الجدار الغربي ثم الشرقي ثم الجنوبي والشمالي. ولذلك فإن عزل الجدران والاسقف بغاز حراري يشكل أهمية كبيرة في تقليل الحمل الحراري الذي يجب إزالته عن طريق أجهزة التدفئة والتبريد. وبالتالي يتم تقليل قدر كبير في استهلاك الطاقة في المبني. ويهدف هذا البحث إلى توضيح أهمية استخدام العازل الحراري في السقف والجدران في المبني ودورها في ترشيد استهلاك الطاقة الكهربائية المستخدمة في أغراض التكييف

الجدول (3) تفصيل الاحمال الخارجية على الجدران والاسقف وعامل انتقال الحرارة (U) في الحالة الأولى.

" ENVELOPE LOADS FOR SPACE " G " IN ZONE " Zone 1 .TABLE 1.1.B						
	Area ( <sup>2</sup> m)	U-Value (w/m <sup>2</sup> .k))	Shade .Coeff	COOLING TRANS	COOLING (W)	HEATING (W)
<b>N EXPOSURE</b>						
WALL	31	2.503	-	1397	-	1144
1 WINDOW	2	6.302	0.991	226	229	221
2 WINDOW	1	6.302	0.991	113	114	110
<b>E EXPOSURE</b>						
WALL	27	2.503	-	1447	-	976
1 WINDOW	4	6.302	0.991	339	550	331
2 WINDOW	1	6.302	0.991	113	183	110
DOOR	2	1.703	-	56	-	55
<b>S EXPOSURE</b>						
WALL	28	2.503	-	1313	-	1009
1 WINDOW	2	6.302	0.991	226	189	221
DOOR	3	1.703	-	74	-	72
<b>W EXPOSURE</b>						
WALL	30	2.503	-	2056	-	1108
1 WINDOW	4	6.302	0.991	339	1091	331
<b>H EXPOSURE</b>						
ROOF	165	2.208	-	10711	-	5333

### الحالة الثانية

في هذه الحالة تم اعتماد الواح الجبس بدل اللياسة الداخلية وترك طبقة هواء بسمك 12م لزيادة العزل الحراري ونجد ان حمل التبريد انخفض من 28.733 كيلو وات الى 22.410 كيلو واط وحمل التدفئة من 13.191 كيلووات الى 10.057 كيلو واط، والجدول (4) يوضح احمال التدفئة والتبريد للمبني في الحالة الثانية.

## المحور الرابع: المشاكل والحلول في البيئة الصحراوية

الجدول (4) الاحمال الحرارية للمبني في الحالة الثانية من برنامج (HAP)

	DESIGN COOLING			DESIGN HEATING		
	COOLING DATA AT Jul 1700			HEATING DATA AT DES HTG		
	COOLING OA DB / WB 40.6 °C / 21.9 °C			HEATING OA DB / WB 6.5 °C / 1.2 °C		
	OCCUPIED T-STAT 23.9 °C			OCCUPIED T-STAT 21.1 °C		
ZONE LOADS	Details	Sensible (W)	Latent (W)	Details	Sensible (W)	Latent (W)
Window & Skylight Solar Loads	14 m <sup>2</sup>	2357	-	14 m <sup>2</sup>	-	-
Wall Transmission	116 m <sup>2</sup>	3811	-	116 m <sup>2</sup>	2785	-
Roof Transmission	165 m <sup>2</sup>	6790	-	165 m <sup>2</sup>	3652	-
Window Transmission	14 m <sup>2</sup>	1357	-	14 m <sup>2</sup>	1326	-
Skylight Transmission	0 m <sup>2</sup>	0	-	0 m <sup>2</sup>	0	-
Door Loads	5 m <sup>2</sup>	130	-	5 m <sup>2</sup>	127	-
Floor Transmission	165 m <sup>2</sup>	0	-	165 m <sup>2</sup>	58	-
Partitions	0 m <sup>2</sup>	0	-	0 m <sup>2</sup>	0	-
Ceiling	0 m <sup>2</sup>	0	-	0 m <sup>2</sup>	0	-
Overhead Lighting	1984 W	1984	-	0	0	-
Electric Equipment	2314 W	2314	-	0	0	-
People	9	607	317	0	0	0
Infiltration	-	2941	-216	-	2110	0
Miscellaneous	-	120	0	-	0	0
Safety Factor	0% / 0%	0	0	0%	0	0
<b>&gt;&gt; Total Zone Loads</b>	<b>-</b>	<b>22410</b>	<b>100</b>	<b>-</b>	<b>10057</b>	<b>0</b>

### الحالة الثالثة

في هذه الحالة الجدران والأسقف مثل الحالة الثانية ولكن تم اضافة طبقتين من الزجاج للنوافذ واعتماد لون فاتح لجدران المبني الخارجية، ونجد ان احمال التبريد والتدفئة انخفضت بنسبة بسيطة عن الحالة الثانية. والجدول (4) يوضح احمال التدفئة والتبريد للمبني في هذه الحالة.

## المحور الرابع: المشاكل والحلول في البيئة الصحراوية

الجدول (5) الاحمال الحرارية للمبني في الحالة الثالثة من برنامج (HAP)

Zone 1	COOLING DESIGN			HEATING DESIGN		
	DATA AT Jul 1700 COOLING C° C / 21.9° OA DB / WB 40.6 COOLING			DATA AT DES HTG HEATING C° 1.2 / C° OA DB / WB 6.5 HEATING		
	C° T-STAT 23.9 OCCUPIED			C° T-STAT 21.1 OCCUPIED		
ZONE LOADS	Details	Sensible (W)	Latent (W)	Details	Sensible (W)	Latent (W)
Skylight Solar Loads & Window	2m 14	1842	-	2m 14	-	-
Wall Transmission	2m 116	3283	-	2m 116	2785	-
Roof Transmission	2m 165	5382	-	2m 165	3824	-
Window Transmission	2m 14	528	-	2m 14	516	-
Transmission Skylight	2m 0	0	-	2m 0	0	-
Door Loads	2m 5	130	-	2m 5	127	-
Floor Transmission	2m 165	0	-	2m 165	58	-
Partitions	2m 0	0	-	2m 0	0	-
Ceiling	2m 0	0	-	2m 0	0	-
Lighting Overhead	W 1984	1984	-	0	0	-
Equipment Electric	W 2314	2314	-	0	0	-
People	9	607	317	0	0	0
Infiltration	-	2941	216-	-	2110	0
Miscellaneous	-	120	0	-	0	0
Safety Factor	% / %	0	0	%	0	0
<b>Total Zone Loads &lt;&gt;</b>	<b>-</b>	<b>19130</b>	<b>101</b>	<b>-</b>	<b>9419</b>	<b>0</b>

### الحالة الرابعة

في هذه الحالة تم استخدام الواح البولي ستيرين بسمك 30مм لعزل الجدران من الخارج، وللسقف تم استخدام طبقة من الخرسانة الخفيفة بسمك 100مм من الأعلى وطبقة عازل حراري بسمك 50مм من الأسفل، واستخدام زجاج عاكس للنوافذ في الطبقة الداخلية، حتى وصلت قيمة (U) في جميع المكونات الى المواصفات الفياسية، والجدول (6) يوضح احمال التدفئة والتبريد للمبني في الحالة الرابعة ونجد ان حمل التبريد انخفض الى 12.351kw وحمل التدفئة الى 4.359kw .

## المحور الرابع: المشاكل والحلول في البيئة الصحراوية

الجدول (6) احمال التبريد والتدفئة للمبني في الحالة الرابعة من برنامج (HAP)

Zone 1	DESIGN COOLING			DESIGN HEATING		
	COOLING DATA AT Jul 1500 COOLING OA DB / WB 42.1 °C / 22.3 °C		HEATING DATA AT DES HTG HEATING OA DB / WB 6.5 °C / 1.2 °C		OCCUPIED T-STAT 23.9 °C	
ZONE LOADS	Details	Sensible (W)	Latent (W)	Details	Sensible (W)	Latent (W)
Window & Skylight Solar Loads	14 m <sup>2</sup>	2034	-	14 m <sup>2</sup>	-	-
Wall Transmission	116 m <sup>2</sup>	809	-	116 m <sup>2</sup>	918	-
Roof Transmission	165 m <sup>2</sup>	724	-	165 m <sup>2</sup>	762	-
Window Transmission	14 m <sup>2</sup>	410	-	14 m <sup>2</sup>	384	-
Skylight Transmission	0 m <sup>2</sup>	0	-	0 m <sup>2</sup>	0	-
Door Loads	5 m <sup>2</sup>	136	-	5 m <sup>2</sup>	127	-
Floor Transmission	165 m <sup>2</sup>	0	-	165 m <sup>2</sup>	58	-
Partitions	0 m <sup>2</sup>	0	-	0 m <sup>2</sup>	0	-
Ceiling	0 m <sup>2</sup>	0	-	0 m <sup>2</sup>	0	-
Overhead Lighting	1984 W	1984	-	0	0	-
Task Lighting	0 W	0	-	0	0	-
Electric Equipment	2314 W	2314	-	0	0	-
People	9	607	317	0	0	0
Infiltration	-	3214	-216	-	2110	0
Miscellaneous	-	120	0	-	0	0
Safety Factor	0% / 0%	0	0	0%	0	0
>> Total Zone Loads	-	12351	101	-	4359	0

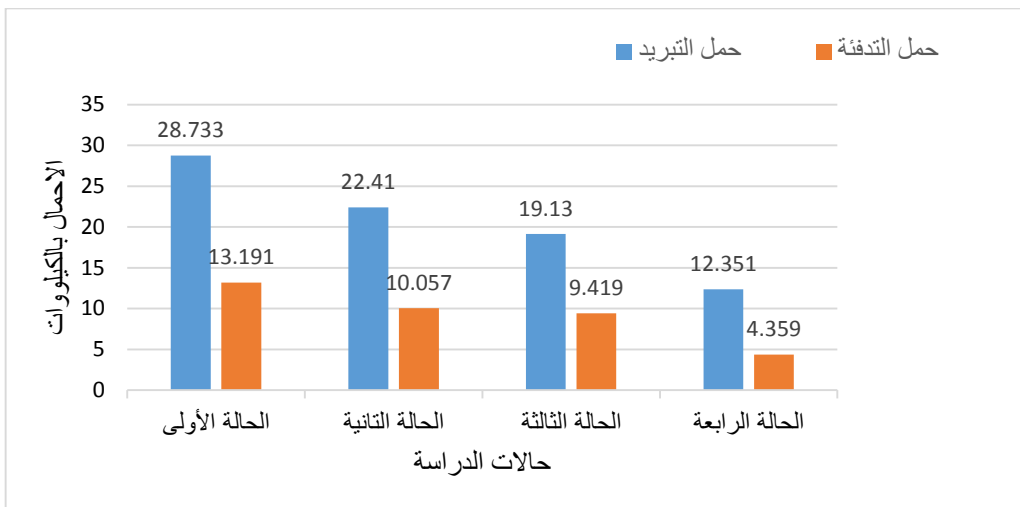
### مناقشة النتائج

من خلال نتائج الحالات الأربع ومقارنتها بالمواصفات القياسية نجد ان في الحالة الأولى كانت قيمة المعامل الكلي لانطلاق الحرارة (U) في السقف والجدران والنوافذ أكبر من المواصفات القياسية بشكل كبير. اما في الأرضية لا توجد احمال للتبريد لأن درجة حرارة الأرض مساوية او اقل من درجة الحرارة داخل المبني فيقتصر عزل الارضيات فقط على احمال التدفئة. وفي الحالة الثانية عند استخدام الواح الجبس مع فجوه هوائية في الجدران والسقف نجد ان الحمل انخفض بشكل ملحوظ ولكن معامل انتقال الحرارة لم يصل الى المواصفات القياسية، وفي الحالة الثالثة عند استخدام طبقتين من الزجاج نلاحظ انخفاض في حمل النوافذ. اما في الحالة الرابعة تم استخدام عازل حراري في السقف والجدران واستخدام زجاج عاكس في الطبقة الداخلية للنوافذ حتى كان معامل انتقال الحرارة الكلي (U) في جميع مكونات المبني في نطاق المواصفات القياسية الدولية، ونجد ان حمل التبريد انخفض الى 12.351kw وحمل التدفئة الى 4.359kw والجدول (7) يوضح قيمة معامل انتقال الحرارة الكلي U لمكونات المبني في النماذج الأربع مقارنة مع المواصفات الدولية القياسية، والشكل (5) يوضح رسم بياني لأحمال التبريد والتدفئة في الحالات الأربع.

## المحور الرابع: المشاكل والحلول في البيئة الصحراوية

الجدول (7) معامل انتقال الحرارة الكلي U لمكونات المبني مقارنة مع الموصفات القياسية

السقف	زجاج النوافذ	الجدران	U-Value (w/m <sup>2</sup> .k)
2.208	6.3	2.503	الحالة الاولى
1.51	6.3	1.64	الحالة الثانية
1.54	2.45	1.64	الحالة الثالثة
0.316	1.824	0.54	الحالة الرابعة
0.33	1.9	0.57	الموصفات الدولية القياسية



الشكل (5) الاحمال الحرارية في حالات الدراسة الاربعة

### المستخلص

من خلال نتائج هذه الدراسة نستنتج النقاط التالية

- يتبيّن بأن معامل انتقال الحرارة الكلي (U) لمواد البناء الأساسية المستخدمة في بناء الجدران والأسقف حالياً في المنطقة هي أعلى بكثير من الموصفات القياسية الدولية المحددة للمناطق الصحراوية والحرارة ومنطقة الخليج العربي [15].
- أن نسبة 70% من حمل التبريد هي أحمال خارجية تنتقل عبر مكونات المبني مثل الجدار والأسقف والنوافذ والابواب وهذا يوضح أهمية عزل تلك المكونات.
- أن أكبر حمل هو حمل السقف حيث يشكل 42% من حمل التبريد للمبني ثم الجدار الغربي ثم الشرفي ثم الشمالي والجنوبي ولذلك يجب التركيز على عزل السقف.

## المحور الرابع: المشاكل والحلول في البيئة الصحراوية

- ضرورة الاستفادة من طبقات الهواء الساكن بين طبقات المبنى وفي التوافذ بين طبقتين من الزجاج فهو عازل حراري جيد ورخيص الثمن.
- عند استخدام العزل الحراري بالمواصفات الدولية القياسية انخفض حمل التبريد بنسبة 53.4% وحمل التدفئة بنسبة 33%.

### References

- [1]. Pérez-Lombard, L., Ortiz, J., & Pout, C. (A review on buildings energy consumption information) Energy and buildings, 40(3), 394-398 (2008).
- [2]. Kaynakli, O. (A review of the economical and optimum thermal insulation thickness for building applications) Renewable and Sustainable Energy Reviews, 16(1), 415-425 (2012).
- [3]. Al-Din, S. S., M., & Surchi, Z. N. S. (Building Thermal Comfort Based on Envelope Development: Criteria for selecting right case study in Kyrenia-North Cyprus) Energy Procedia, 115, 80-91. (2017).
- [4]. Sozer, H. (Improving energy efficiency through the design of the building envelope) Building and environment, 45(12), 2581-2593. (2010).
- [5]. Yoshino, H., Yoshino, Y., Zhang, Q., Mochida, A., Li, N., Li, Z., & Miyasaka, H. (Indoor thermal environment and energy saving for urban residential buildings in China) Energy and buildings, 38(11), 1308-1319. (2006).
- [6]. Wang, Y., Huang, Z., & Heng, L (Cost-effectiveness assessment of insulated exterior walls of residential buildings in cold climate) International Journal of Project Management, 25(2), 143-149 (2007).
- [7]. Banfi, S., Farsi, M., Filippini, M., & Jakob, M (Willingness to pay for energy-saving measures in residential buildings) Energy economics, 30(2), 503-516 (2008).
- [8]. Papadopoulos, A. M. State of the art in thermal insulation materials and aims for future developments. Energy and Buildings, 37(1), 77-86 (2005).
- [9]. Feng, Y. Thermal design standards for energy efficiency of residential buildings in hot summer/cold winter zones. Energy and Buildings, 36(12), 1309-1312 (2004).
- [10]. Nair, G., Gustavsson, L., & Mahapatra, K. Factors influencing energy efficiency investments in existing Swedish residential buildings. Energy Policy, 38(6), 2956-2963 (2010).
- [11]. رواد احمد كريم (العوازل الحرارية ودورها في تحسين البيئة الداخلية لمباني المناطق الصحراوية) المؤتمر الثالث للعلوم الهندسية والتكنولوجيا 03-01-2020 (C'EST-2020) الخامس - ليبيا (2020)
- [12]. مركز أبحاث البناء (العزل الحراري للمباني) برنامج الأمم المتحدة الإنمائي، فلسطين 2006.
- [13]. احمد هلال محمد، (العزل الحراري وترشيد الطاقة في عمارة الصحراء) جامعة أسيوط، مصر، 2008
- [14]. هيئة السعودية للمهندسين (مشروع اللائحة التنفيذية لاستخدامات العزل الحراري في المباني)، المملكة العربية السعودية، 2008/03/23 <http://www.saudieng.org/>

## **المحور الرابع: المشاكل والحلول في البيئة الصحراوية**

---

[15].(Regulation of technical specification of thermal insulation system), chapter one, articale7, Dubai municipality, 2009